

مقدمة المؤلف

PREFACE AUTHOR

من الطبيعي أن يكون مهندس مصادر المياه الذي يعمل في المجال الاستشاري ، مهتماً بتطوير حلول المشكلات الهيدرولوجية والهيدروليكية في عالم التطبيق الحقيقي وذلك بأسلوب سريع نسبياً، عن طريق استخدام طرق بسيطة للتحليلات والتصميمات. وفي كثير من المواقف العملية لابد من اتخاذ قرارات مهمة وذلك اعتماداً على كميات محدودة من البيانات، وكما أن هناك قليل من الموارد وقليل من الزمن المتاح لجمع كل المعلومات والبيانات اللازمة لأداء دراسات معقدة تتضمن أحدث طرق الصياغة والتحليلات. ويتم غالباً عمل حسابات بسيطة نسبياً لتطوير خطط المشروع التي يمكن أن تتضمن استثمارات مالية وافرة ويمكن أن يكون لها تطبيقات اجتماعية ومالية وبيئية مهمة. ويتم معالجة الصياغة والتحليلات المعقدة والمطورة إذا كانت ضرورية على أنها دراسات خاصة.

يشمل هذا الكتاب الطرق والمعادلات التي يمكن تطبيقها في المجالات ذات المستويات المختلفة من البيانات المتاحة، وبوجه خاص عندما تكون البيانات المتاحة الخاصة بالموقع غير كافية. ويركز العرض على كيفية حل المشكلة العملية التي توجد في أقل عدد من الكتابات البحثية ويحاول أن يوفق بين المعادلات المعروفة نظرياً والأحوال الواقعية. يتم عرض الطرق لتطوير التصميمات التمهيدية، التي يجب أن يتم مراجعتها أو تعديلها عن طريق الصياغة الفيزيائية أو الرقمية الإضافية، والتجريب،

والاختبارات الميدانية. ويمكن أن يتضح أن بعض التبسيطات والتقريبات والطرق، تافهة بل وحتى غير مناسبة للمتخصص في هيدرولوجيا المياه الجوفية والمياه السطحية، وميكانيكا الموائع، وجودة المياه، وموضوعات أخرى متعلقة بها، لكنها يمكن أن تبدو ملائمة لعمل مهندس مصادر المياه. وبشكل عام يمكن أن تتضمن التصميمات النهائية تحليلات بنائية إضافية، وتحليلات واختبارات تغير خصائص التربة، وإعداد الرسومات التفصيلية، وتقديرات التكلفة.

يستهدف هذا الكتاب المهندس الاستشاري، الذي يحمل درجة البكالوريوس في الهندسة أو العلوم التطبيقية مع بعض الخبرة العملية، والطالب المتخرج الذي يخطط لدراسة الطرق شائعة الاستخدام في التحليل ليدخل إلى المجال الاستشاري، والمهندس الممارس الذي قام بمراجعة الدراسات أو التصميمات التي قام بإعدادها آخرون. يتوقع من القارئ أن يكون له معرفة بالأسس الهيدروليكية، وميكانيكا الموائع، والهيدرولوجيا ويجب أن يكون قد توصل إلى المراجع القياسية حول هذا الموضوع.

تشمل المادة العلمية المعروضة في هذا الكتاب إجابات على مشكلات محددة من خلال الصيغ والمعادلات شائعة الاستخدام ومراجع لقيم الثوابت والمعاملات التي تتعلق بالموضوع. وتدرج الإجراءات الحسابية من "الحسابات المتعجلة" حتى الحسابات التفصيلية بعض الشيء، والتي تسمح لمستويات متعددة من البيانات المتاحة. وهناك مراجع مذكورة لهذه النماذج شائعة الاستخدام. وقد تم تجنب المناقشة التفصيلية للنماذج المركبة والمعقدة والموضوعات البحثية. إن تقييد حجم هذا الكتاب قد حال دون مناقشة أسس الموضوعات والمبادئ الأساسية والاستنتاجات الرياضية، وكان التركيز على عرض المادة العلمية التي يمكن أن تكون قابلة للاستخدام من قبل مهندس مصادر المياه الممارس.

إهداء المترجم

COURTESY TRANSLATOR

أهدي هذا العمل المتواضع إلى خير الأبناء و إلى خير الأمم.

المترجم

obeikandi.com

شكر وتقدير

ACKNOWLEDGEMENTS TRANSLATOR

يتقدم المترجم بجزيل الشكر وجميل العرفان للشيخ محمد بن حسين العمودي على تمويله ودعمه لبرنامج كراسي البحث بجامعة الملك سعود <http://www.ksu.edu.sa>، حيث مول ثلاثة كراسي بحثية، ومنها "كرسي الشيخ محمد بن حسين العمودي في أبحاث المياه" <http://awc.ksu.edu.sa>، ويعد هذا الكتاب باكورة إنتاج الترجمة للكرسي ضمن محور التأليف والترجمة.

كما يود المترجم التعبير عن خالص الشكر والتقدير للمهندس محمد سيد عبد الجيد المعيد بقسم الهندسة الزراعية <http://ageng.ksu.edu.sa> على جهوده المضنية والتي بذلها معنا في تنسيق الكتاب ونسخه كتابتا على الحاسب الآلي وإخراجه بالصورة المشرفة، فله منا أجمل الثنايا وأثمن العطايا.

المترجم

obeikandi.com

مقدمة المترجم

PREFACE TRANSLATOR

تحتاج المكتبة العربية إلى مزيد من الكتب العربية في المجالات العلمية المختلفة وبخاصة في المجالات الطبية والهندسية. وهذا الكتاب تكمن أهميته أيضاً في كونه يتعلق بموضوع حيوي وهو المياه الذي هو عصب الحياة وشرائها التاجي. ومما لاشك فيه أن المتخصص والباحث العربي في شؤون المياه، مهما كان لديه من القدرة على التحدث بلغة أخرى غير لغته الأم، فإنه في حاجة مستمرة وملحة لأن يكون لديه كتباً علمية أصيلة بلغته العربية التي يتقنها إتقاناً كبيراً يفوق تلك التي تعلمها في مراحل حياته المتقدمة.

وهذا الكتاب المترجم يحتوي على سبعة فصول حيث يتناول الفصل الثاني والثالث أهم المواضيع العملية المتعلقة بالمياه، وهما الهيدرولوجيا والهيدروليكا، حيث تتعلق المفردة الأولى "الهيدرولوجيا" بعلم المياه، بينما تتعلق المفردة الأخرى "الهيدروليكا" بهندسة المياه. وبالطبع، فقد كان الفصل الأول عبارة عن مقدمة يتناول فيها المؤلف ثلاث موضوعات رئيسية هي "هندسة مصادر المياه"، و "تخطيط مشروعات هندسة مصادر المياه"، بالإضافة إلى "توثيق دراسات هندسة مصادر المياه". كما خصص المؤلف فصلاً كاملاً عن المياه الجوفية وهو الفصل الرابع، أما الفصل الخامس فقد تناول فيه المؤلف موضوعاً بعنوان "التصاميم الهيدروليكية".

obeikandi.com

شكر المؤلف

ACKNOWLEDGMENTS AUTHOR

يشعر المؤلف بالامتنان لزوجته، تشاندرا كانتا، لدعمها، وتحفيزها، وتشجيعها أثناء الإعداد لإكمال هذا الكتاب. ويتوجه بالشكر أيضاً لـ URS (السدود والمستنقعات سابقاً)، المروج الدوارة، إلينوى، لدعمهم، ولسوزان كولادوناتو وشارلوت ماك ناوتون من ASCE لمساعدتهم وتشجيعهم. وأخيراً، يشعر المؤلف بالامتنان لابنته، مانجوب شارما، وابنه، د. أجى براكاش، لمساعدتهم.

obeikandi.com

تبرؤ المؤلف

AUTHOR'S DISCLAIMER

يقصد من الطرق المعروضة في هذا الكتاب أن تستخدم لمستوى الجدوى ولعمل التصميمات التمهيدية مع عوامل السلامة والتعديلات المناسبة اعتماداً على الحكم الاحترافي. الخلاصات والنتائج المستخلصة من التطبيقات الدقيقة وغير الدقيقة للطرق هي مسئولية المستخدم وحده. ولا يتحمل المؤلف، ومؤلفو المراجع ، والناشر أي مسئولية لعواقب مثل هذه الخلاصات والنتائج. المادة العلمية المعروضة لا تعكس سياسات أو ممارسات المؤلف.

مقدمة

INTRODUCTION

هندسة مصادر المياه

Water Resources Engineering

يشمل موضوع هندسة مصادر المياه طرق التحليلات الهيدرولوجية والهيدروليكية وتحليلات المياه الجوفية المتعلقة بتخطيط وتصميم المعالجة، والإمداد بالمياه، والتحكم في الفيضان، والمباني الملاحية، والأنواع المختلفة من الأبنية الهيدروليكية، وتدفق المياه الجوفية والمياه السطحية، وفحص الجودة، وتحليلات التأثيرات البيئية على المشروعات المختلفة المتعلقة بالمياه، وكذلك تصميمات الأبنية الهيدروليكية الملحقه. يمكن أن تتنوع التحليلات بدءاً من استخدام المعادلات العددية أو المعادلات التحليلية إلى استخدام نماذج الحاسب الآلي البسيطة أو المطورة، بناءً على متطلبات المشروعات المحددة. إن تلك التصميمات قد تشمل الأحجام المبدئية والنهائية للمكونات المختلفة للبنية الهيدروليكية. إن نطاق المبدأ الأساسي يعتبر متسعاً وشاملاً حيث إنه يشمل كل الأوجه الخاصة بالدراسات والتصاميم المتعلقة بالمياه. ومن وجهة نظر مهندس المياه الجوفية الممارس، فإن موضوع هندسة مصادر المياه يمكن أن يشمل عناصر أساسية للأنظمة المتعلقة بالمياه (مثل هيدرولوجيا المياه السطحية، وهيدرولوجيا المياه الجوفية، وميكانيكا الموائع، وهيدروليكا القنوات المائية المفتوحة، ونقل الرواسب، وتصميم

الأبنية الهيدروليكية بما فيها السدود والمفائض والقنوات، ومباني الملاحة والتحكم في الفيضان، وأنظمة الإمداد بالمياه، وحماية الشواطئ، والطاقة المائية، ومنشآت الري). وهناك وفرة من الدراسات المنشورة التي تنصب على موضوعات عديدة متخصصة تهتم بكل من المجالات المذكورة أعلاه. إلا أنه، وبسبب محدودية البيانات والميزانيات أو الأهداف ونطاق المشروعات المحددة، فغالباً ما يكون مطلوباً من مهندس مصادر المياه الممارس تغطية معظم هذه الموضوعات على مستوى أساسي وتفصيلي إلى حد ما. ويشار إلى الدراسات المتخصصة، عند ضمان فعاليتها على أنها تخصصية في المجالات الخاصة بها.

وقد ركزت مشروعات تطوير مصادر المياه الأولى أساساً على الجوانب الهندسية. وقد ألفت الخبرة المكتسبة من تشغيل مشروعات هندسة مصادر المياه السابقة الضوء على بعض من أثارها العكسية على الموارد الطبيعية الأخرى والبيئة. ومع زيادة الكثافة السكانية ونقص الموارد الطبيعية، تزايد الاهتمام بالآثار المجملية لمشروعات هندسة مصادر المياه. إن التخطيط والتصميم لمشروع هندسة مصادر المياه اليوم وللسنوات وعقود قادمة يجب أن يأخذ في الاعتبار أثاره على الموارد الأخرى (مثل الأحياء المائية، والنظام البيئي، والتجدد، والترفيه). ويجب أن يشمل على التوقع الكمي لحجم ومعدل التدفق الحجمي للمياه، وطرق التحكم في حجم المياه والتدفق لخدمة الحاجات المختلفة للمجتمع، وإدارة مصادر المياه المحدودة تحت قيود الكمية والجودة، وفوق كل شيء، عواقب التقاطعات للخطة المقترحة.

وتتناسب تفاصيل الموضوعات العديدة المذكورة في هذا الكتاب مع متطلبات مهندس مصادر المياه الممارس، كما إن المواصفات المختصرة للمعادلات المختلفة والتقنيات التحليلية المبسطة المعروضة في الفصول المتنوعة هي بهدف أن يكون كتاباً مرجعياً وليس كتاباً دراسياً. ويحتوي الكتاب على أمثلة عملية توضح طرقاً محددة

للهسابات أو التحليلات. ويجب على القارئ أن يرجع إلى الدراسات الأخرى المتعلقة بالموضوع للإطلاع على التحليلات المطورة والتفاصيل النظرية للطرق الموصوفة في هذا الكتاب. ومن الأمثلة على بعض تلك المراجع: (1989) McCuen، (1996) ASCE، (1993) Maidment، (1990) Bras و (1989) Ponce للتحليل الهيدرولوجي (الفصل الثاني). (1999) Martin and McCutcheon، (1997) Chapra، (1996) Brater *et al.*، (1991) Potter and Wiggert و (1991) Tchobanoglous and Burton للتحليل الهيدروليكي (الفصل الثالث). و (2002) Zheng and Bennett، (2001) Fetter، (2000) Charbeneau، (1999) Delleur، (1999) Fetter، (1998) Batu، (1998) Domenico and (1998) Schwartz و (1992) Anderson and Woessner للماء الأرضي (الفصل الرابع). و (1999) Mays، (1992) Simons and Senturk، (1993) Zipparro and Hansen، (1987) USBR و (1981) Barfield *et al.* للتصاميم الهيدروليكية (الفصل الخامس). و (1992) Linsley *et al.* للتحليلات الاقتصادية (الفصل السادس). بالإضافة إلى عدد آخر من المراجع وثيقة الصلة اشتملت عليها قائمة المراجع.

تخطيط مشروعات هندسة مصادر المياه

Planning of Water Resources Engineering Projects

إن المشروع النموذجي الذي يُطلب من مهندس مصادر المياه القيام بالتخطيط له وتحليله وتصميمه قد يشمل التحليل الهيدرولوجي والتحليل الهيدروليكي وتقييم المياه الجوفية وتصميم الأبنية الهيدروليكية والتحليل الاقتصادي لمشروعات تطوير مصادر المياه وتقييم الآثار البيئية للأنشطة المتعلقة بالمياه. ويتضمن التخطيط للانتهاء من مثل هذه المشروعات ما يلي:

- **تعيين الأهداف:** من خلال قائمة من الأهداف المحددة أو النتائج التي يتوقع أن يحققها المشروع أو ينجزها.
- **تحليل النطاق:** ويشمل هذا تحديد تتابع المهام التقنية اللازم إنهاؤها لتحقيق الأهداف المذكورة (مثل، جمع المعلومات، وفحص الموقع، والتحليلات التي تشمل نماذج الحاسب، وإعداد التصميم والرسمات، وإعداد التقارير).
- **متطلبات البرمجيات والمعدات الأخرى:** يشمل ذلك التعرف علي نماذج الكمبيوتر والمعدات (مثل الأوتوكاد، وخدمات نظم المعلومات الجغرافية GIS، ومعدات مسح الحقل وجمع البيانات) المطلوبة من أجل استكمال التحليلات اللازمة أو لإعداد التصميمات المقترحة للأبنية الهيدروليكية.
- **تقدير التكلفة:** ويشمل هذا تقدير ساعات العمل والأنشطة الأخرى التي قد تؤثر على تكلفة المشروع (مثل عمليات المسح والمراقبة الميدانية وتفتيش الموقع ووسائل الاتصالات والعروض والتحليلات وإنتاج التقارير والرسمات وخطط الإنشاء).
- **الجدولة:** ويشمل هذا إعداد جدول لاستكمال المهام الفنية مع التوثيق المتعلق بها، ولا بد من ملاحظة أن جمع البيانات الميدانية والمعلومات المتعلقة بذلك من مصادر مختلفة تعد مهام مستهلكة للوقت ولا بد من استكمالها قبل أداء أي مهام أخرى.

توثيق دراسات هندسة مصادر المياه

Documentation of Water Resources Engineering Studies

يمثل إعداد التقارير أو توثيق الطرق والنتائج جزءاً مهماً من الدراسات المتعلقة بهندسة مصادر المياه. يعتمد تنظيم وتفاصيل محتويات تقرير الدراسة على مجال الدراسة (مثل المياه السطحية، والمياه الجوفية، وجودة المياه، والأثر البيئي، والنمذجة، والمعالجة، ودراسة تصميم مستوى الجدوى)، ونطاق الدراسة، ونوع القيادة (مثل،

الجمهور العام، أو الوكالات المنظمة، أو المخططين والمصممين، أو مقاولي البناء). ويمكن أن يشمل تقرير دراسة هندسة مصادر المياه النموذجي العناصر الأساسية التالية:

- العنوان: يجب أن يكون العنوان مختصراً وأن يشير إلى الهدف الأساسي للدراسة مثل "الدراسة الهيدرولوجية لحوض سيلفر جريك بكنساس"، "تقييم احتمال إمداد المياه الجوفية بإقليم ساراسوتا، فلوريدا".

- جدول المحتويات: يجب أن يشمل جدول المحتويات العناوين الرئيسية والفرعية وقوائم الجداول والصور والمراجع والملحقات والفهارس ولا بد أن تكون كلها ذات ترقيم.

- الملخص التنفيذي: إذا كان التقرير كبيراً، لا بد من وجود ملخص يصف النتائج الرئيسة وحدود الدراسة، وأما بالنسبة للتقارير القصيرة نسبياً فقد يتم اشتغال ذلك في الاستنتاج الأخير والتوصيات.

- المقدمة: يجب أن تشتمل المقدمة على وصف ملخص للمشكلة التي يتم تحليلها والأهداف والمجال والمنهج العام للدراسة والمراجع من أجل القراءة والاستزادة. وبالإضافة إلى ذلك لا بد من أن يكون هناك وصف مختصر للموقع ومكانه والبيئة المائية في الجوار القريب أيضاً. وذلك قد يشمل المجاري المائية القريبة والبحيرات ومتوسط المطر السنوي وسقوط الجليد والمسارات الخاصة بالجريان السطحي للماء وتبخر المياه من السطح الحر بالمنطقة. وبالنسبة لتقرير التصميم، فإنه قد يشمل الموقع والغرض من الأبنية الهيدروليكية.

- الخصائص الهيدرولوجية لمناشئ المياه أو منطقة الدراسة: في حالة الدراسة المتعلقة بهيدرولوجية المياه السطحية فيجب أن يشمل الامتداد الفعلي وأنواع التربة

وغطاءها والطول الهيدروليكي وانحدارات مجاري السريان الفرعية ، والبيانات الأخرى المتعلقة بتقدير أزمنة التركيز وأزمنة الإعاقة وأعماق التساقط للفترات المطلوبة وفترات العودة (الرجوع)، ومعلومات حول سقوط الجليد وذوبانه. وفي حالة دراسة التصميم، فإن ذلك قد يشمل وصف بنيات المجاري المائية حيث توجد البنيات الهيدروليكية (أقصى تدفق سبعة أيام- عشر سنوات، التدفق المنخفض، ومساحة منطقة الصرف). وفي حالة دراسة المياه الجوفية والتي يجب أن تشمل تخطيط لدراسة طويلة للمنطقة وذلك لابد أن يتمشى مع الحدود الهيدروليكية مثل المجاري المائية والبحيرات وتقسيات المياه الجوفية، وبيانات حول متوسط التساقط والتسرب والبحر-نتج وموقع وأحجام البحيرات والمياه الأرضية في منطقة الدراسة.

• جمع البيانات والتحليل: إن ذلك يشمل بيانات خاصة بالموقع ومعلومات هيدرولوجية إقليمية يتم تجميعها من مصادر مختلفة مثل بيانات نزول المطر والتدفق بالمجرى المائي بالنسبة للمحطات الموجودة في المنطقة، والبيانات الجيولوجية المائية الخاصة بالطبقة الحاملة للمياه، وبيانات عن المسح الطبوغرافي واستخدامات المياه السطحية والمياه الأرضية. البيانات الأولية الضخمة التي لا يمكن أن تعرض في المرجع المذكور يجب أن تشتمل عليها الملحقات. هناك طرق لتحليل وفحص البيانات من أجل استخلاص أو تطوير القيم أو أنظمة البيانات من أجل استخدامها في الدراسة ولا بد من اشتغال ذلك في هذا القطاع. بالإضافة إلى ذلك لابد من وجود قيود علي دقة البيانات وتحليلها وضبط استخدام البيانات والقيم أو طرق التحليل وتبرير استخدام مجموعات البيانات، أو القيم، أو الطرق المختارة للتحليل.

• الدراسات التحليلية أو العددية أو غيرها: ذلك يجب أن يشمل طرق التحليل أو المحاكاة والمعادلات ووصف النماذج الفيزيائية والرقمية مع الافتراضات الواضحة

أو الضمنية والمراجع المناسبة. ويجب أن تحتوي طرق ونتائج معايرة وصلاحيّة النموذج. تحليلات الحساسية لتوضيح حساسية النتائج للاختلافات في البيانات وقيمها خلال الحدود المسموح بها ويجب أن يتم توثيقها في هذا القطاع. وإن التفاصيل التي يجب اشتغالها قد تختلف اعتماداً على الهدف والمجال والمتلقين لتقرير الدراسة. وفي دراسات التصميم، قد يشمل ذلك طرق وحسابات لتطوير العديد من أبعاد التصميم المختلفة.

• النتائج: إن ذلك يجب أن يشمل نتائج الدراسة مع حدود الدقة. ويجب أن يتم وصف طرق التحقق وإظهار معقولة النتائج (مثل المقارنة مع البيانات الماثلة لمواقع أخرى، والتقديرات المعتمدة على طرق أخرى أكثر بساطة أو عملية أكثر، والقيم المنشورة لحالات مماثلة).

• الخاتمة والتوصيات: يجب أن تشمل بعناية الاستنتاجات المصاغة حول الدراسة مع بيان واضح بقيود النتائج. ويجب أن تشمل التوصيات التحذيرات المناسبة والحاجة للتعديل عن طريق الدراسات الإضافية، إذا كانت وثيقة الصلة بالموضوع. ويجب أن تكون الصياغة واضحة لتجنب التفسير الخاطئ من قبل القارئ المستهدف.

• الجداول والأشكال: يجب أن يتم توضيح النص من خلال بيانات ملائمة من خلال الجداول والأشكال والصور الفوتوغرافية. وفي أحوال عديدة يتم تمثيل المعلومات المهمة بأسلوب موجز من خلال الجداول والأشكال.

• المراجع: البيانات الرئيسة المستخدمة للدراسة يجب أن يكون لها مرجع يُستشهد به، يمكن أن يرجع إليه القارئ للتحقق أو للحصول على معلومات إضافية

متعلقة بالموضوع. ويجب أن يكون المرجع الذي يُستشهد به كاملاً ومشملاً على المؤلف (المؤلفين)، وسنة النشر، والعنوان، والناشر.

• الملاحق: البيانات التي تستخدم للدراسة ولكنها غير متاحة في المراجع التي تم الإشارة إليها ولا يمكن اشتغالها في النص الأساسي (بدون تشتيت انتباه القارئ) يجب أن توضع في الملاحق.

في الواقع العملي يُنصح بإعداد مسودة للتقرير ليقوم بمراجعتها الزملاء، والمحررين، وأي متلقين آخرين مستهدفين. ويجب أن تكتمل المسودة بعد دمج الردود على تعليقات المراجعة. ولإيضاح العرض، يمكن تقسيم المقاطع الرئيسة إلى مقاطع فرعية تحتوي على المعلومات حول الموضوعات الفرعية المنفصلة.

التحليل الهيدرولوجي

HYDROLOGIC ANALYSES

يشمل موضوع الهيدرولوجيا (علم المياه)، دراسة وتحليل حدوث، وتدفق، وتوزيع الماء خلال الدورة الهيدرولوجية، والتي تشمل نقل الرطوبة من المحيط إلى الجو، وسطح الأرض، ثم العودة إلى المحيط. وتكون التحليلات الهيدرولوجية مطلوبة في معظم المشروعات التي تشمل التخطيط، أو التصميم، أو الإنشاء، أو الترميم، أو المعالجة، أو تقييم الجدوى للأنواع المختلفة من المباني. وبرغم أن أنواع التحليلات الهيدرولوجية المطلوبة لأنواع مختلفة من المشروعات ربما تكون مختلفة بعض الشيء، إلا أن المبادئ الأساسية والمنهجيات تكون متماثلة بوجه عام. والتحليلات الهيدرولوجية الشائعة الاستخدام للأنواع المختلفة من المشروعات تشمل التالي:

١- مشروعات التنمية الاجتماعية

- تحليل شدة سقوط المطر - المدة - التكرار أو تحليل سقوط المطر - العمق - المدة - التكرار.

- تقدير قمم التدفقات السابقة واللاحقة لتصميم أنظمة صرف العواصف، ومعايرة البرابخ والجسور، ودراسات تأمين الفيضان، وتخطيط السهل الفيضي.

- تطوير وتحديد المنحنيات المائية للجريان السطحي للتدفق المفاجئ لتصميم أحواض الاحتجاز/ التوقيف والأراضي الرطبة.

• تحليل حصيلة الماء في المجاري المائية والخزانات وأحواض الصرف.

٢- مشروعات التعدين

• تقدير قمم التدفقات لتصميم قنوات التحويل.

• تطوير وتحديد المنحنى المائي للجريان السطحي لتصميم أحواض الترسيب وأربطة النفايات.

• تقييم خصائص التدفق المنخفض للمجاري المائية المستقبلية لترسب ماء المنجم الفائض.

• تقدير الجريان السطحي الذي ينتج أحواض الصرف المحتملة بما فيها انسياب الجليد الذائب.

• تقدير أحوال التعدين السابقة واللاحقة للتقارير البيئية.

٣- السدود، والخزانات، والمقائض

• إنتاج متابعات من تدفقات المجاري المائية لتقييم حصيلة حوض الصرف.

• التحليلات الهيدرولوجية لمعرفة الاعتمادية على إمداد المياه المتاح.

• التحليلات الهيدرولوجية لحساب تخزين الخزان المطلوب.

• تحديد المنحنيات المائية لتصميم حوض الفيضان في المقائض الذي تساهم به

نزول الأمطار وذوبان الجليد أو كلاهما.

• تحديد الخزان لمعايرة المقائض والخزانات والسدود.

• تحليل تشغيل الخزان للاستخدام المنفرد والمتعدد للمياه المتاحة.

• تحليل التدفق المنخفض للمجرى المائي لحساب متطلبات تدفق المجرى

المائي.

• تحليل تصدع السد لتقييم السلامة وتحليل المخاطر.

• تقييم الظروف السابقة واللاحقة لفيضان المشروع وتدفق المجاري المائية لأجل عمل التقارير البيئية.

٤- مشروعات الطاقة الكهرومائية

- توليد متتابعات من تدفقات المجاري المائية لتقييم حصيلة حوض الصرف.
- التحليلات الهيدرولوجية لحساب قابلية الاعتماد على إمداد الماء المتاح.
- دراسات تشغيل الخزان لحساب القمة والكمية الثابتة لجهد توليد الطاقة.
- التقييم السابق واللاحق لأنماط تدفق المجاري المائية في المشروع يومياً وشهرياً.

٥- مشروعات الطاقة النووية

- تقدير أقصى تسريب محتمل أثناء العواصف محلياً وبشكل عام.
- تحديد أقصى فيضان محتمل وتصميم المنحنيات المائية لفيضان حوض النهر.
- تحديد المنحنيات المائية لفيضان تصدع السد.
- تحديد المنحنيات المائية للحدث المتحد (مثلاً، ذوبان الجليد المتحد مع أقل من أقصى حدث تسريب محتمل).

• تقدير التدفقات المنخفضة للمجاري المائية لتقييم أثار تراجع مياه التبريد لترسبات الماء الفائض من محطة الطاقة.

• تقدير أقصى حمل جليد محتمل على المباني المتعلقة بالسلامة.

وبشكل عام، فإن التقارير البيئية لمعظم مشروعات التطوير تتطلب التقييم السابق واللاحق لتدفقات المجاري المائية يومياً وشهرياً، والمنحنيات المائية للفيضان، وتدفقات القمة، والتدفقات المنخفضة للمجاري المائية في الجوار القريب من الموقع.

التحليلات الهيدرولوجية المطلوبة للتسهيلات المذكورة أعلاه يتم وصفها في الأجزاء اللاحقة من هذا الفصل.

تقدير تدفقات القمة

Estimation of Peak Flows

تكون تقديرات تدفقات القمة مطلوبة لأجل التصميمات الهيدروليكية للجسور والبرابيح، وتحليلات شكل سطح الماء لأجل دراسات تأمين الفيضان، ولتقييم الفيضان المحتمل في مواقع مختلفة. من المرغوب فيه عمل تقدير لتدفقات القمة باستخدام طرق عديدة مختلفة واختيار القيم المعقولة عن طريق الحكم. بعض الطرق شائعة الاستخدام لتحديد المنحنيات المائية للجريان السطحي يتم وصفها في هذا الجزء تحت عنوان "المنحنيات المائية للجريان السطحي". ويمكن استخدام المنحنيات المائية للجريان السطحي كذلك لتقدير تدفقات القمة.

الطريقة المنطقية Rational Method

المعادلة المنطقية لتقدير تدفقات القمة هي:

$$Q = 0.2755 C I A \quad (٢,١)$$

حيث إن:

Q = تدفق القمة (م^٣/ث).

C = معامل الجريان السطحي (لابعدي) المقدر عن طريق الحكم في ضوء

القيم النموذجية المعطاة في الجدول رقم (٢,١).

I = شدة سقوط المطر في فترة العودة المطلوبة، المناظرة للمدة المساوية لـ زمن

تركيز حوض الصرف (مم/ساعة).

A = مساحة حوض الصرف (كم^٢).

وهذه الطريقة مفيدة لتقدير تدفقات القمة لفترات العودة المختلفة لأحواض صرف بمساحة أقل من ٢,٥ كم^٢، برغم أن المبادئ الأساسية لأحواض الصرف يمكن أن تكون قابلة للتطبيق على مساحات تصريف أكبر أيضاً.

معاملات الجريان السطحي Runoff Coefficients

القيم شائعة الاستخدام لمعاملات الجريان السطحي موضحة في الجدول رقم (٢, ١) (ASCE 1976). والقيم المعطاة في الجدول رقم (٢, ١) قابلة للتطبيق للعواصف التي تمتد فترات عودتها من خمس سنوات إلى عشر سنوات. والقيم الأعلى يمكن استخدامها لفترات عودة أكبر ولأنواع تربة طفلية متماسكة. وفي حالة أحواض صرف تشمل أنواع مختلفة من المساحات، يمكن حساب معامل الجريان السطحي الموزون أو المركب باستخدام العلاقة:

$$C = (C_1 A_1 + C_2 A_2 + C_3 A_3 + \dots C_n A_n) / A_t \quad (٢,٢)$$

حيث إن:

C = معامل الجريان السطحي المركب.

$C_1, C_2, C_3, \dots, C_n$ = معاملات الجريان السطحي التي تطبق على مساحات

$A_1, A_2, A_3, \dots, A_n$ ، على الترتيب.

n = عدد الأنواع المختلفة من المساحات داخل حوض الصرف.

A_t = المساحة الكلية = $A_1 + A_2 + A_3 + \dots + A_n$.

زمن التركيز Time of Concentration

يعرف زمن التركيز على أنه الزمن المستغرق من قبل الجريان السطحي للانتقال من أعلى نقطة في التجمع المائي إلى النقطة الذي سيصدر عنها تدفق القمة. وقد تم اقتراح طرق متعددة لتقدير زمن التركيز (MacCuen et al. 1984; USBR 1977, 1987).

الجدول رقم (٢, ١). قيم معاملات الجريان السطحي شائعة الاستخدام.

وصف المنطقة	معامل الجريان السطحي
المناطق التجارية بوسط البلد	٠,٧٠ - ٠,٩٥
المناطق التجارية المجاورة	٠,٥٠ - ٠,٧٠
مناطق إقامة العائلات	٠,٣٠ - ٠,٥٠
المناطق السكنية متعددة الوحدات المنفصلة	٠,٤٠ - ٠,٦٠
المناطق السكنية المتصلة	٠,٦٠ - ٠,٧٥
الضواحي السكنية	٠,٢٥ - ٠,٤٠
الشقق	٠,٥٠ - ٠,٧٠
المناطق الصناعية غير الكثيفة	٠,٥٠ - ٠,٨٠
المناطق الصناعية الكثيفة	٠,٦٠ - ٠,٩٠
الحدائق والمقابر	٠,١٠ - ٠,٢٥
الملاعب	٠,٢٠ - ٠,٣٥
السكك الحديدية	٠,٢٠ - ٠,٣٥
الطرق غير الممهدة	٠,١٠ - ٠,٣٠
الطرق الممهدة بالاسمنت	٠,٧٠ - ٠,٩٥
الأرصقة أو الخرسانة	٠,٧٠ - ٠,٨٥
الأسطح	٠,٧٥ - ٠,٩٥
أرض خضراء ذات تربة رملية (أفقية إلى ميل ٢٪)	٠,٠٥ - ٠,١٠
أرض خضراء ذات تربة رملية (ميل من ٢٪ إلى ٧٪)	٠,١٠ - ٠,١٥
أرض خضراء ذات تربة رملية (ميل أكبر من ٧٪)	٠,١٥ - ٠,٢٠
أرض خضراء ذات تربة ثقيلة (أفقية إلى ميل ٢٪)	٠,١٣ - ٠,١٧
أرض خضراء ذات تربة ثقيلة (ميل من ٢٪ إلى ٧٪)	٠,١٨ - ٠,٢٢
أرض خضراء ذات تربة ثقيلة (ميل أكبر من ٧٪)	٠,٢٥ - ٠,٣٥

ومن الممارسة الجيدة استخدام ثلاث طرق مختلفة على الأقل لتقدير زمن التركيز. وعلى مدى هذه التقديرات، فإن القيمة النهائية يجب أن يتم اختيارها عن طريق الحكم. بعض الطرق البسيطة والمفيدة نسبياً موضحة أدناه.

١ - طريقة كريبيش (USBR 1977)

$$(٢,٣) \quad t_c = (0.87 L^3 / H)^{0.385}$$

حيث إن:

t_c = زمن التركيز (ساعة).

L = طول أطول مسار للماء (كم).

H = الفرق في الارتفاع بين أعلى نقطة للتجمع المائي والموضع الذي يقدر

عنده معدل التصريف (م).

تؤدي هذه الطريقة إلى تقديرات منخفضة نسبياً لقيمة t_c (Prakash 1987).

٢ - طريقة رقم منحني خدمة المحافظة على التربة (USDA 1972, 1985)

$$(٢,٤) \quad t_L = 1.347 L_f^{0.8} (S_a + 2.54)^{0.7} / (1900 \sqrt{S_p})$$

$$(٢,٥) \quad t_L = 0.6 t_c$$

$$(٢,٦) \quad S_a = (2540 / CN) - 25.4$$

حيث إن:

t_L = زمن تأخر حوض النهر (ساعة).

L_f = الطول الهيدروليكي للمجرى المائي (م).

CN = رقم منحني مجرى الماء.

S_a = أقصى احتباس محتمل (سم).

S_p = متوسط ميل أرض المجرى المائي (نسبة مئوية).

وقد وجد أن هذه الطريقة تؤدي إلى قيمة كبيرة نسبياً لـ t_L (Prakash 1987).

٣- طريقة سنيدر (Chow 1964)

$$t_L = 0.7517 C_t (L L_{ca})^{0.3} \quad (٢,٧)$$

حيث إن:

L_{ca} = الطول على امتداد أطول مسار للماء من الموضع الذي سيتم عنده تقدير التصريف إلى مركز متوسط مجرى الماء (كم).

C_t = معامل.

ويمكن اعتبار قيمة C_t على أنها تساوي ٢,٠ لأحواض الصرف الجبلية الضخمة بعض الشيء الشبيهة بمرتفعات أبالتشاين، وتساوي ٠,٤ لأحواض الصرف الشبيهة بتلك التي توجد في جنوب كاليفورنيا، ومن ٠,٧ إلى ١,٠ لأحواض الصرف الشبيهة بمناطق سيرا نيفادا، وتساوي ٨,٠ لأحواض الصرف التي تحد الخليج الشرقي للمكسيك. وقد أدى تحليل ٢٠ حوض نهر في شمال ووسط الولايات الأطلنطية إلى العلاقة العملية:

$$C_t = 0.6 / \sqrt{S} \quad (٢,٨)$$

حيث إن:

S = ميل حوض النهر (م/م). ويقدر الإمكان ينصح باستخدام قيم C_t المعاييرة.

٤- طريقة مكتب استصلاح الأراضي بالولايات المتحدة (USBR 1987)

$$t_L = 4.6167 K_n [L L_{ca} / S^{0.5}]^{0.33} \quad (٢,٩)$$

حيث إن:

S = ميل أطول مسار للماء (م/م).

K_n = معامل (القيم النموذجية معطاة في الجدول رقم ٢,٢).

الجدول رقم (٢،٢). قيم K_n النموذجية.

الإقليم	حجم مجمع الأمطار (كم ^٢)	K_n^*
السهول العظمى في كلورادو، كنساس، أوكلاهوما، نبرسكا، نيومكسيكو، ومنج، وشمال داكوتا.	١٠٢٨٠ - ٥,٢	٠,٠٧٠ للبحيرات ذات التدفق السطحي الكبير. ٠,٠٣٠ للبحيرات ذات شبكات الصرف جيدة التصميم.
جبال الروكي ومستنقعات كلورادو، ومنج، يوتا، أوريجون، مونتانا، أيداهو، ونيو مكسيكو.	٦٥٠٠ - ٣,٤	٠,٢٦٠ للفيضانات في ١٠٠ عام. ٠,١٣٠ - ٠,١٦٠ للعاصفة العامة في أقصى تدفق محتمل.
الصحراء الجنوب غربية والبحيرات الكبرى وسهل كلورادو في أريزونا وكاليفورنيا وأجزاء من كلورادو	١٢٢٥٠ - ٠,٦	٠,٠٥٥ - ٠,٠٧٣ لأحداث العواصف الرعدية. ٠,٠٧٠ للبحيرات ذات غابات الصنوبر على ارتفاعات عالية. ٠,٠٤٢ للمناطق الصحراوية.
سيرانيفادا، كاليفورنيا	٥٣٧٠ - ٥٣,٤	٠,١٥٠ للبحيرات ذات النمو الصنوبري الغني. ٠,٠٦٤ للبحيرات ذات شبكات الصرف جيدة التطوير.
ساحل وسلاسل جبال كاسكاد في كاليفورنيا وأريجون ووشنطن.	١٩٨٠ - ٨,٧	٠,١٥٠ للبحيرات ذات النمو الصنوبري الكثيف الممتد في السهل الفيضي للشاطئ. ٠,٠٨٠ للبحيرات المنخفضة ذات الغطاء النباتي الأكثر تناثرا.

تابع الجدول رقم (٢,٢).

الإقليم	حجم مجمع الأمطار (كم ^٢)	K_n^*
البحيرات في مدن كاليفورنيا وتكساس وكتاكي وفرجينيا وميريلاند.	٠,٥ - ٢٣٨	٠,٠٣٣ للبحيرات ذات الكثافة القليلة أو التطوير الجزئي مع مباني ثانوية فقط لجمع مياه الفيضان.
		٠,٠١٣ للبحيرات ذات الكثافة العالية في التطوير مع نظام جمع جيد.

* القيم ما بين الحدود العليا والدنيا الموضحة تصلح للاستخدام في البحيرات ذات الخصائص المتوسطة.

المصدر: (USBR 1987).

٥- طريقة هيدروليكا المجرى المائي

يقسم مجرى الماء إلى أجزاء مختلفة على طول مسار الماء الأساسي اعتماداً على خصائص الخشونة والميل. ويتم تقدير طول مسار السريان ومتوسط سرعة السريان لكل جزء. إذن:

$$(٢,١٠) \quad t_c = [L_1/V_1 + L_2/V_2 + L_3/V_3 + \dots + L_n/V_n]/3600$$

حيث إن:

 $n =$ عدد الأجزاء. $L_n, L_3, L_2, L_1 =$ أطوال أجزاء المجرى المائي (م) ذات خصائص

الخشونة والميل المختلفة.

 $V_n, \dots, V_3, V_2, V_1 =$ سرعات السريان السطحي أو في القناة (م/ث) الخاصة

بكل جزء من أجزاء المجرى المائي.

- ويمكن تقدير سرعات السريان باستخدام معادلة ماننق لذروة عامين أو لتسرب الشاطئ في حالة القنوات المحددة جيداً والقيم المعطاة في الجدول رقم (٢,٣) للتدفق السطحي (USDA 1972). "النوع" في الجدول رقم (٢,٣) يشير إلى:
- نوع ١: التدفق السطحي على مناطق الغابات ذات النفايات الأرضية الكثيفة ومروج الدريس.
 - نوع ٢: التدفق السطحي على الأرض المحروثة أو المناطق الزراعية الأقل حراثة والأراضي التي تمحصد خطياً أو كتورياً والغابات.
 - نوع ٣: التدفق السطحي على مراعي الحشائش القصيرة.
 - نوع ٤: التدفق السطحي على المناطق المزروعة على شكل صفوف مستقيمة.
 - نوع ٥: التدفق السطحي على المساحات الجرداء تقريباً أو الغير محروثة والمراوح الغرينية في مناطق الجبال الغربية.
 - نوع ٦: التدفق في المجاري المائية المزروعة بالحشائش.
 - نوع ٧: التدفق الرقائقي على المناطق الممهدة والأخاديد الصغيرة المرتفعة.

الجدول رقم (٢,٣). سرعات السريان السطحي التقريبية (سم/ث).

ميل الأرض (%)	النوع ١	النوع ٢	النوع ٣	النوع ٤	النوع ٥	النوع ٦	النوع ٧
٠,٥	٦	١١	١٥	٢٠	٢٢	٣٤	٤٣
١,٠	٨	١٥	٢١	٢٧	٣١	٤٦	٦١
٢,٠	١١	٢١	٣١	٤٠	٤٣	٦٤	٨٨
٣,٠	١٣	٢٧	٤٠	٤٩	٥٥	٨٢	١٠٧
٤,٠	١٥	٣١	٤٣	٥٥	٦١	٩١	١٢٢
٥,٠	١٧	٣٧	٤٩	٦١	٧٠	١٠٤	١٣٧

تابع الجدول رقم (٢,٣). سرعات السريان السطحي التقريبية (سم/ث).

ميل الأرض							نوع السطح
(%)	النوع ١	النوع ٢	النوع ٣	النوع ٤	النوع ٥	النوع ٦	
١٠,٠	٢٤	٤٩	٦٧	٨٨	٩٨	١٥٠	النوع ٧
٢٠,٠	٣٥	٦٩	٩٨	١٢٢	١٣٧	٢١٠	
٣٠,٠	٤٣	٨٢	١١٩	١٥٢	١٧١	٢٥٦	
٤٠,٠	٤٩	٩٨	١٣٧	١٨٠	١٩٨	٢٩٠	
٥٠,٠	٥٥	١٠٧	١٥٢	١٩٨	٢١٣	٣٥٥	
٦٠,٠	٦١	١٢٢	١٦٨	٢١٣	٢٤٤	٣٦٦	

المصدر: (USDA (1972, 1985).

معادلة السريان الطبقي (USDA 1986)

المعادلة العملية لتقدير زمن الانتقال للتدفق الطبقي لأقل من حوالي ٩٠ م على

الأسطح المستوية أو في منابع المجاري المائية هي:

$$t_e = \left[0.0289 (n L)^{0.8} \right] / \left[P_2^{0.5} S^{0.4} \right] \quad (٢,١١)$$

حيث إن:

t_e = زمن الانتقال (ساعة).

L = طول السريان (م).

P_2 = معدل المطر في ٢٤ ساعة خلال عامين (سم).

S = ميل الأرض (م/م).

n = معامل ماننق للخشونة.

والقيم النموذجية لمعامل ماننق للخشونة في حالة السريان الطبقي مبينة في الجدول

رقم (٢,٤).

الجدول رقم (٢، ٤). قيم معامل ماننق n النموذجية للسريان الطبقي.

معامل ماننق n	وصف الأسطح
٠,٠١١	ناعم (خرسانة، اسفلت، حصي، تربة جرداء)
٠,٠٥	أرض مراحة من الزراعة (بدون بقايا)
٠,٠٦	أرض مزروعة الغطاء المتبقي $\geq 20\%$
٠,١٧	أرض مزروعة الغطاء المتبقي $< 20\%$
٠,١٥	عشب (قصير)
٠,٢٤	عشب (كثيف)
٠,٤١	عشب (برمودا)
٠,١٣	سلاسل جبال (طبيعية)
٠,٤٠	غابات (شجيرات خفيفة)
٠,٨٠	غابات (شجيرات كثيفة)

المصدر: (USDA 1986).

سرعات السريان المتوسطة في حالة التدفقات الضحلة المركزة على الميول

المسطحة نسبياً الأقل من ٠,٠٠٥ م/م يمكن تقديرها عن طريق (USDA 1986):

$$(2, 12) \quad V = 4.9176 \sqrt{S} \quad \text{الأسطح غير الممهدة:}$$

$$(2, 13) \quad V = 6.1957 \sqrt{S} \quad \text{الأسطح الممهدة:}$$

حيث إن:

$$V = \text{سرعة السريان (م/ث).}$$

$$S = \text{ميل سطح الماء (م/م).}$$

٦- طريقة هيربي- هاثاواي (MacCuen et al. 1984)

$$(2, 14) \quad T_c = 0.02407 L_f^{0.47} n^{0.47} S_f^{-0.235}$$

حيث إن:

$$L_f = \text{مسافة الخط المستقيم (م) من أبعد نقطة في مجرى الماء إلى النقطة تحت}$$

الدراسة التي يتم قياسها بموازاة الميل.

$$S_f = \text{متوسط ميل حوض النهر (م/م)}.$$

$$n = \text{معامل الإعاقة أو معامل ماننق للخشونة}.$$

قيم معامل الإعاقة n ، النموذجية موضحة في الجدول رقم (٢, ٥) (USCE 1959).

وقد تم تطوير الطرق المذكورة سابقاً لأحجام وأنواع معينة من أحواض

الصرف. مع هذا، فإن تطبيقهم على أنواع أخرى من أحواض الصرف أمر شائع تماماً.

ويجب اختيار قيم ملائمة من أزمنة التركيز مع مراعاة ظروف أحواض الصرف.

الجدول رقم (٢, ٥). قيم معامل الإعاقة n النموذجية.

نوع السطح	معامل الإعاقة n
سطح ناعم غير منفذ للماء	٠,٠٢
تربة ناعمة قاحلة	٠,١٠
حشائش فقيرة أو محاصيل أو أسطح قاحلة متوسطة الخشونة	٠,٢٠
مراعي وحشائش	٠,٤٠
غابات نفضية	٠,٦٠
غابات صنوبرية ونفضية بها كم هائل من الأوراق المتساقطة والحشائش الكثيفة	٠,٨٠

المصدر: (ASCE 1959).

مثال رقم (٢, ١): احسب زمن التركيز لحوض صرف بمساحة ١٢ كم^٢ موضوع في

الأركان الأربعة لمنطقة في الجنوب الغربي للولايات المتحدة (ركن كلورادو ويوتا

ونيو مكسيكو وأريزونا). متغيرات حوض الصرف المناسبة هي:

$$L = 5.18 \text{ km}$$

طول حوض الصرف

$$S = 0.057 \text{ m/m}$$

$$CN = 76$$

$$K_n = 0.045$$

$$C_t = 0.4$$

$$L_{ca} = 2.59 \text{ km}$$

وأسطح التربة تقريباً جرداء مع بعض الحبيبات الغرينية.

الحل:

استخدم طرق متعددة لحساب t_e واختار القيمة الملائمة عن طريق الحكم.

١- طريقة كرييتش - المعادلة رقم (٢,٣)

$$H = 5.18 \times 1000 \times 0.057 = 295.26 \text{ m}$$

$$t_e = [0.87 (5.18)^3 / 295.26]^{0.385} = 0.71 \text{ h}$$

٢- طريقة خدمة المحافظة على التربة - المعادلات رقم (٢,٤ - ٢,٦)

$$S_a = (2540 / 76) - 25.4 = 8.021 \text{ cm}$$

$$t_L = 1.347 (5180)^{0.8} (8.021 + 25.4)^{0.7} / [1900 (0.057 \times 100)] = 1.448 \text{ h}$$

$$t_e = 1.448 / 0.6 = 2.41 \text{ h}$$

٣- طريقة سنيدر - المعادلة رقم (٢,٧)

$$t_L = 0.7517 \times 0.4 (5.18 \times 2.59)^{0.3} = 0.665 \text{ h}$$

$$t_e = 0.655 / 0.6 = 1.09 \text{ h}$$

٤- طريقة مكتب استصلاح الأراضي بالولايات المتحدة - المعادلة رقم (٢,٩)

$$t_L = 4.6169 \times 0.045 [(5.18 \times 2.59) / (0.057)^{0.5}]^{0.33} = 0.785 \text{ h}$$

$$t_e = 0.785 / 0.6 = 1.31 \text{ h}$$

٥- طريقة هيدروليكا المجرى المائي - المعادلة رقم (٢,١٠)

سرعة السريان السطحي تساوي ٧٤ سم/ث (من الجدول رقم ٢,٣)

$$t_e = 5.18 \times 1000 / (0.74 \times 3600) = 1.94 \text{ h}$$

تتفاوت تقديرات حساب زمن التركيز من ٠,٧١ ساعة إلى ٢,٤١ ساعة. ويتضح أن قيمة الوسيط ١,٣١ ساعة هي التقريب المعقول. وهي أيضاً قريبة لمتوسط الخمس تقديرات.

شدة المطر (شدة التساقط) Rainfall Intensity

يمكن الحصول على شدة المطر لفترات عودة مختلفة ومناظرة لمدد مختلفة (مثلاً، أزمنة التركيز) من NOAA أطلس 2 للولايات الغربية الإحدى عشر: مونتانا وكولورادو ونيو مكسيكو وأيداهو ويوتا ونيفاذا وأريزونا وواشنطن وأويجون وكاليفورنيا (NOAA 1973). قامت بعض الولايات والمدن بتطوير منحني تكرار-مدة-شدة التساقط (IDF)، ومنحني التكرار-المدة-العمق، ومنحني المدة-المساحة-العمق (DAD) لكل المناطق في نطاق سلطتها باستخدام بيانات التساقط المناسبة (مثلاً، النشرة 70 لولاية إلينوى (Huff and Angel 1989)). وبالنسبة لمناطق أخرى في الولايات المتحدة فإن أعماق التساقط المأخوذة من البحث التقني رقم 40 (TP-40) يمكن أن تستخدم مع عامل مضاعفة حوالي 1.20 لتعويض عدم التأكيدات وأحداث العواصف الشديدة التي وقعت أثناء العقود الثلاثة الأخيرة منذ نشر البحث (TP-40) (Hershfield 1961).

منحني تكرار-مدة-شدة التساقط هو تخطيط لشدة التساقط على المحور-y والمدة على المحور-x مع إيضاح فترة العودة على كل منحني مدة-شدة. أيأ كان المناسب، يمكن استخدام أي من المقياس الحسابي أو المقياس اللوغاريتمي لكلا المنحنيين لعمل هذه المخططات. منحني التكرار-المدة-العمق يشبه منحني تكرار-مدة-شدة الترسيب IDF ما عدا أن شدة التساقط تستبدل بعمق التساقط. ومنحني التكرار-المساحة-العمق DAD هو تخطيط لمساحة حوض الصرف بالمقياس

لوغاريتمي على المحور- y وعمق التساقط بالمقياس الحسابي على المحور- x مع إيضاح المدة على كل منحني مساحة-عمق. وبتقرير الأكثر ملائمة يمكن تبادل أدوار المحورين x و y .

وبالنسبة للمناطق التي تكون فيها بيانات التساقط المتاحة محدودة، فإنه يمكن تقدير القيم التمهيدية لشدة التساقط أو العمق عن طريق (Ponce 1989; Rouse 1950):

$$d = at / (t + b)^m \quad \text{أو} \quad i = a / (t + b)^m \quad (٢, ١٥)$$

حيث إن:

i = شدة التساقط (مم/ الساعة).

d = عمق التساقط (مم).

t = الفترة الزمنية (ساعة).

a, b, m معاملات عملية.

وبهدف التبسيط، يوضع الأس $m = 1$. ويمكن حساب قيم المعاملات الأخرى عن طريق التعويض عن البيانات المتاحة لأعماق المطر أو الشدة وحساب متوسط القيم المحسوبة للمجموعات المختلفة من نقاط البيانات.

مثال رقم (٢, ٢): قم بإعداد منحنيات تكرار-مدة-شدة التساقط IDF للاستخدام في تصميم نظام الصرف في موقع صناعي قرب جولييت، إلينوى.

الحل:

أعماق المطر للفترة المختلفة وفترة العودة الخاصة بجولييت، إلينوى التي تم الحصول عليها من نشرة (Huff and Angel 1989) موضحة في الجدول رقم (٢, ٦ أ). وقيم شدة التساقط المناظرة موضحة في الجدول رقم (٢, ٦ ب). ومنحنيات تكرار-

مدة-شدة التساقط IDF لمحدد من ٥ دقائق إلى ٢ ساعة، ممثلة بالمقياس الحسابي، موضحة في الشكل رقم (١، ٢، أ)، وتلك الخاصة بمحدد من ١٠ دقائق إلى ٢٤ ساعة، ممثلة بالمقياس اللوغاريتمي، موضحة في الشكل رقم (١، ٢، ب).

الجدول رقم (٢، ٦). جدول تكرار-مدة-عمق المطر.

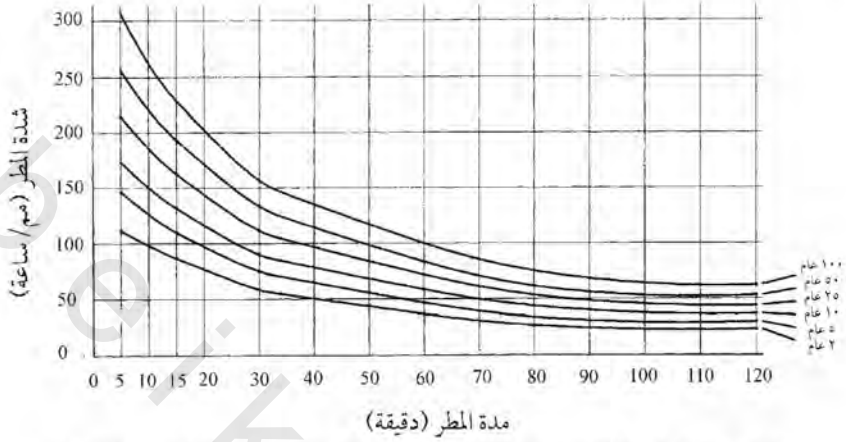
عمق المطر لفترات العودة (تكرار) المختلفة (مم)						الفترة
١٠٠ عام	٥٠ عام	٢٥ عام	١٠ عام	٥ عام	٢ عام	(ساعة)
٢١٥,١٤	١٨٢,١٢	١٥٣,٢٤	١٢٣,١٩	١٠٣,٦٣	٨١,٢٨	٢٤
١٩٧,٨٧	١٦٧,٦٤	١٤١,٢٢	١١٣,٢٨	٩٥,٢٥	٧٤,٦٨	١٨
١٨٧,٢٠	١٥٨,٥٠	١٣٣,٣٥	١٠٧,١٩	٩٠,١٧	٧٠,٦١	١٢
١٦١,٢٩	١٣٦,٦٥	١١٥,٠٦	٩٢,٤٦	٧٧,٧٢	٦٠,٩٦	٦
١٣٧,٦٧	١١٦,٥٩	٩٨,٣٠	٧٨,٧٤	٦٦,٢٩	٥٢,٠٧	٣
١٢٧,٠٠	١٠٧,٤٤	٩٠,٤٢	٧٢,٦٤	٦١,٢١	٤٨,٠١	٢
١٠١,٠٩	٨٥,٦٠	٧٢,١٤	٥٧,٩١	٤٨,٧٧	٣٨,١٠	١
٧٩,٥٠	٦٧,٣١	٥٦,٦٤	٤٥,٤٧	٣٨,٣٥	٢٩,٩٧	٠,٥٠٠ (٣٠ دقيقة)
٥٨,١٧	٤٩,٢٨	٤١,٤١	٣٣,٢٧	٢٧,٩٤	٢١,٨٤	٠,٢٥٠ (١٥ دقيقة)
٤٧,٢٤	٤٠,١٣	٣٣,٧٨	٢٧,١٨	٢٢,٨٦	١٧,٧٨	٠,١٦٧ (١٠ دقيقة)
٢٥,٩١	٢١,٨٤	١٨,٢٩	١٤,٧٣	١٢,٤٥	٩,٦٥	٠,٠٨٣ (٥ دقيقة)

المصدر: Huff and Angel (1989).

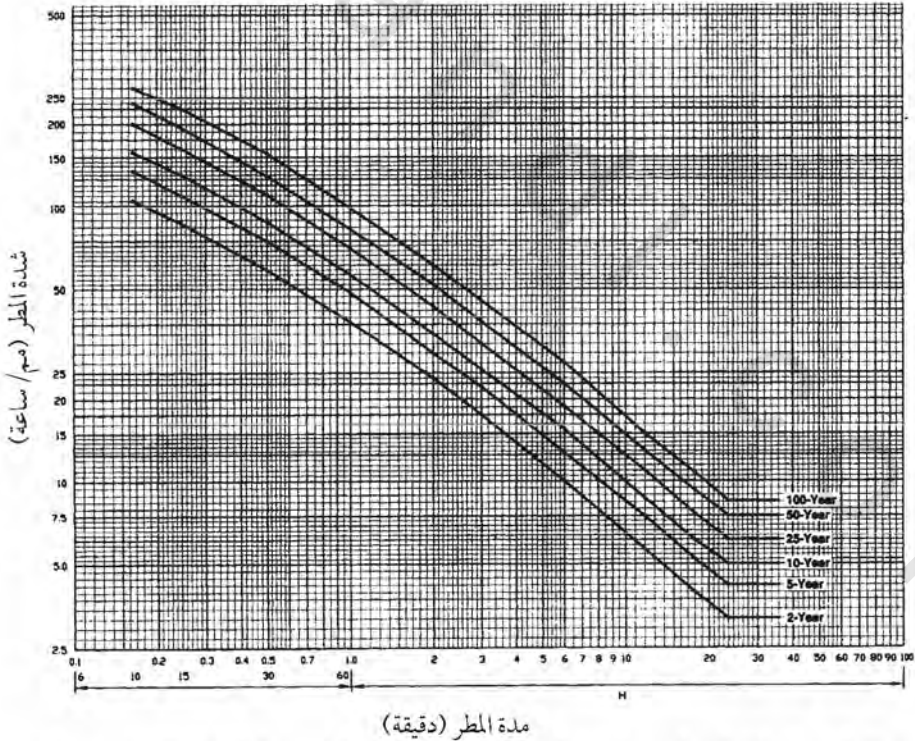
الجدول رقم (٢, ٦). جدول تكرار-مدة-شدة المطر.

شدة المطر لفترات العودة المختلفة (مم/ ساعة)						الفترة (ساعة)
١٠٠ عام	٥٠ عام	٢٥ عام	١٠ عام	٥ عام	٢ عام	
٨,٩٦	٧,٥٩	٦,٣٩	٥,١٣	٤,٣٢	٣,٣٩	٢٤
١٠,٩٩	٩,٣١	٧,٨٥	٦,٢٩	٥,٢٩	٤,١٥	١٨
١٥,٦٠	١٣,٢١	١١,١١	٨,٩٣	٧,٥١	٥,٨٨	١٢
٢٦,٨٨	٢٢,٧٨	١٩,١٨	١٥,٤١	١٢,٩٥	١٠,١٦	٦
٤٥,٨٩	٣٨,٨٦	٣٢,٧٧	٢٦,٢٥	٢٢,١٠	١٧,٣٦	٣
٦٣,٥٠	٥٣,٧٢	٤٥,٢١	٣٦,٣٢	٣٠,٦١	٢٤,٠٠	٢
١٠١,٠٩	٨٥,٦٠	٧٢,١٤	٥٧,٩١	٤٨,٧٧	٣٨,١٠	١
١٥٩,٠٠	١٣٤,٦٢	١١٣,٢٨	٩٠,٩٣	٧٦,٧١	٥٩,٩٤	٠,٥٠٠ (٣٠ دقيقة)
٢٣٢,٦٦	١٩٧,١٠	١٦٥,٦١	١٣٣,١٠	١١١,٧٦	٨٧,٣٨	٠,٢٥٠ (١٥ دقيقة)
٢٨٣,٤٦	٢٤٠,٧٩	٢٠٢,٦٩	١٦٣,٠٦	١٣٧,١٦	١٠٦,٦٨	٠,١٦٧ (١٠ دقيقة)
٣١٠,٩٠	٢٦٢,١٣	٢١٩,٥٦	١٧٦,٧٨	١٤٩,٥٣	١١٥,٨٢	٠,٠٨٣ (٥ دقيقة)

المصدر: Huff and Angel (1989).



الشكل رقم (١، ٢ أ). منحنيات تكرار-مدة-شدة التساقط IDF (المقياس الحسابي).



الشكل رقم (١، ٢ ب). منحنيات تكرار-مدة-شدة التساقط IDF (المقياس اللوغاريتمي).

مثال رقم (٢,٣): بيانات خمس سنوات متاحة عن تساقط المطر لموقع منجم بعيد موضحة في الجدول رقم (٢,٧). طور جدول تقريبي لتكرار-مدة-شدة التساقط يمكن استخدامه لأغراض التخطيط واستكماله بالقياس ليمتد لفترة عودة حوالي عشر سنوات.

الجدول رقم (٢,٧): بيانات تساقط المطر لموقع المنجم.

فترة التساقط (دقيقة)			فترة العودة (التكرار) للمطر
٦٠	٣٠	١٠	
٥٤,٣	٣٦,٩	١٩,٢	ستتان عمق عالي التساقط (مم)
٦٢,٧	٤١,٧	٢٢,١	خمس سنوات عمق عالي التساقط (مم)

الحل:

باستخدام المعادلة رقم (٢,١٥)، حيث $m = 1$ و $i = d/t$ فإن أعماق المطر المتاحة لـ ستين، لمدة ١٠ و ٣٠ و ٦٠ دقيقة هي:

$$i = 19.2 \times 60/10 = 115.2 = a/(0.167 + b)$$

$$i = 36.9 \times 60/30 = 73.8 = a/(0.5 + b)$$

$$i = 54.3 = a/(1.0 + b)$$

بحل أول معادلتين متزامتين ينتج:

$$a = 68.38 \quad , \quad b = 0.4266$$

وبحل المعادلة الأولى والمعادلة الثالثة ينتج:

$$a = 85.56 \quad , \quad b = 0.577$$

وبحل المعادلة الثانية والمعادلة الثالثة ينتج:

$$a = 102.75 \quad , \quad b = 0.8923$$

ومتوسطات هذه المجموعات الثلاثة من القيم هي:

$$a = 85.56 \quad , \quad b = 0.6315$$

إذن، يمكن تطوير جدول تقريبي لتكرار-مدة-شدة تساقط من المعادلة التالية:

$$i(2-yr) = 85.56 / (t + 0.6315)$$

وبالمثل، المعادلات الثلاثة لأعماق خمس سنوات من نزول المطر هي:

$$i = (22.1 \times 60 / 10) = 132.6 = a / (0.167 + b)$$

$$i = (41.7 \times 60 / 30) = 83.4 = a / (0.5 + b)$$

$$i = 62.7 = a / (1.0 + b)$$

ويحل هذه المعادلات بنفس الترتيب السابق ينتج

$$a = 74.85 \quad , \quad b = 0.3975$$

$$a = 99.08 \quad , \quad b = 0.5802$$

$$a = 126.31 \quad , \quad b = 1.0145$$

وباستخدام متوسطات هذه القيم في المعادلة:

$$i(5-yr) = 100.08 / (t + 0.6641)$$

وفي غياب أي بيانات أخرى، فإن شدة التساقط المتاحة لفترات عودة ستين و خمس

سنوات يمكن أن تحول إلى العمق المناظر، باستخدام العلاقة: $d = it$ ويمكن تمثيل

أعماق كل مدة بيانياً على أوراق جامبل Gumbel للاحتمال، ويمكن الحصول على أعماق

التساقط لفترة عشر سنوات للمدد المناظرة عن طريق الاستكمال القياسي (انظر الجزء في

هذا الفصل تحت عنوان "التحليل الإحصائي للبيانات المتاحة"). وبالتبادل، بفرض أن

أعماق ستين من سقوط المطر يكون مساوياً تقريباً للمتوسطات النسبية، مثلاً، لفترة

٦٠ دقيقة، بمتوسط $X = 54.3$ مم. إذن، باستخدام المعادلة رقم (٢، ٢٣):

$$K(5-yr) = -0.7797 \{0.5772 + \ln [\ln (5/4)]\} = 0.71946$$

باستخدام المعادلة رقم (٢، ٢١):

$$62.7 = 54.3 + 0.71946 s$$

إذن:

$$s = 11.6754$$

وبإعادة استخدام المعادلتين رقم (٢,٢٣) ورقم (٢,٢١):

$$K(10 - yr) = 1.30457$$

$$d(10 - yr) = 54.3 + 1.30457 \times 11.6754 = 69.53 \text{ mm}$$

$$i(10 - yr) = 69.53 \times 60 / 60 = 69.53 \text{ mm/h}$$

وبالمثل يمكن تقدير قيم عشر سنوات للفترات الأخرى.

لاحظ أن هذه النتائج تكون تقريبية ويمكن أن تكون مفيدة لأغراض التخطيط فقط. ويجب أن يتم تعديلها بمجرد وجود بيانات إضافية متاحة. بالنسبة للحالات التي تكون فيها بيانات نزول المطر لسنوات قليلة (مثلاً، خمس سنوات) لمحطات المعايرة المتعددة (مثلاً، عشر محطات) داخل نفس النطاق المناخي متاحة، فإنه يمكن دمج البيانات وافترض أنها مكافئة لـ ٥٠ سنة من البيانات للمحطة الواحدة. هذا التقريب يعرف بـ "طريقة سنة المحطة" (Chow 1964). وعندما يكون الوضع مناسباً، يمكن استخدام الطرق العشوائية لمد البيانات المتاحة. وباستخدام البيانات الممتدة، يمكن استخدام الطرق الإحصائية المذكورة في الجزء تحت عنوان "التحليل الإحصائي للبيانات المتاحة" لتقدير أعماق تساقط المطر لفترات عودة مختلفة.

مثال رقم (٢,٤): أوضحت عملية تحليل بيانات سجلات تساقط المطر من ستة محطات تقوم باستمرار بقياس تساقط المطر في منطقة تعدين بعيدة (تقريباً ٨ × ٨ كم) أن القيم السنوية القصوى العشر سنوات موضحة في الجدول رقم (٢,٨). احسب أعماق عشرة دقائق لفترات ٢، ١٠، ٥٠، و ١٠٠ سنة من تساقط المطر لتصميم نظام الصرف للمبنى.

الجدول رقم (٢,٨). المعدل السنوي الأقصى لتساقط المطر لمدة عشر دقائق (مم).

المحطة الأولى		المحطة الثانية		المحطة الثالثة	
السنة	التاريخ	التساقط	التاريخ	التساقط	التاريخ
١٩٩٣	٢٨ نوفمبر	١٨,٠	٢٨ نوفمبر	١٩,٠	٢٩ نوفمبر
١٩٩٤	١٠ ديسمبر	٢٣,٤	٢٥ يناير	١٦,٦	١٦ نوفمبر
١٩٩٥	٤ يناير	١٩,٨	١٥ نوفمبر	٢٠,٦	١٥ نوفمبر
١٩٩٦	٢٤ يناير	١٦,٠	١٤ فبراير	١٧,٦	١٤ فبراير
١٩٩٧	١٤ إبريل	٢٥,٥	١٤ إبريل	١٩,٤	١٢ يناير
١٩٩٨	٢ نوفمبر	٢٩,٦	١٥ يناير	١٧,٠	٢٤ أكتوبر

المحطة الرابعة		المحطة الخامسة		المحطة السادسة	
السنة	التاريخ	التساقط	التاريخ	التساقط	التاريخ
١٩٩٣	٢٩ نوفمبر	٢١,٢	٢٨ نوفمبر	٢٢,٠	-
١٩٩٤	١٨ مارس	١٤,٤	١٣ فبراير	١٩,٤	٢٤ نوفمبر
١٩٩٥	٢٣ نوفمبر	٢٣,٤	١٥ نوفمبر	٢١,٠	٢٧ نوفمبر
١٩٩٦	١٥ نوفمبر	١٤,٢	١٢ يناير	١٨,٨	١٨ إبريل
١٩٩٧	١٢ يناير	١٨,٠	١٤ إبريل	٢١,٨	١٦ نوفمبر
١٩٩٨	-	-	١٧ نوفمبر	١٩,٦	١٠ مايو

الحل:

محطات قياس المطر تقع داخل منطقة تعدين صغيرة نسبياً، والتي تقع داخل نفس النطاق المناخي. وبالتالي، يستخدم تقريب سنة المحطة. والقيم في محطات مختلفة تتعلق بنفس التاريخ يمكن أن تمثل واحدة ونفس العاصفة ولا يمكن بالضرورة أن تقدم نقاط بيانات إضافية مستقلة. لاحظ أن هناك ثلاث قيم لتاريخ ٢٨ نوفمبر

١٩٩٦، وقيمتان لتاريخ ٢٩ نوفمبر ١٩٩٣، وثلاثة لتاريخ ١٥ نوفمبر ١٩٩٥، وقيمتان لتاريخ ١٤ فبراير ١٩٩٦، وثلاثة لتاريخ ١٤ إبريل ١٩٩٧، واثنان لتاريخ ١٢ يناير ١٩٩٧. ولتحديد سجل تقريبي كافٍ لأكثر من ست سنوات للمحطة الواحدة داخل منطقة الموقع، تؤخذ في الاعتبار فقط أعلى قيم تمت ملاحظتها في كل من هذه التواريخ. هذا يؤدي إلى ٢٥ نقطة بيانات مستقلة موضحة في الجدول رقم (٢،٩)، بتقريب أقصى قيم سنوية لتساقط المطر في الموقع من ٢٥ سنة مدة ١٠ دقائق. وبشكل طبيعي، يجب استخدام أفضل توزيع احتمالية مناسب لتحليل التكرار تستخدم نقاط هذه البيانات. مع هذا، فإن توزيع نوع ١ Fisher-Tippett (أي، جامبل Gumbel) مناسب لبيانات سقوط المطر (Hershfield 1961; NOAA 1973). وبالتالي، يستخدم هذا التوزيع لتقدير أعماق سقوط المطر خلال ٢، ١٠، ٥٠، ١٠٠ سنة لمدة ١٠ دقائق لمنطقة الموقع. باستخدام الدوال المتاحة في حزم برامج الحاسب القياسية (مثلاً، برنامج الإكسل)، فإن المتوسط، X ، والانحراف القياسي، s ، للقيم الـ ٢٥ في الجدول رقم (٢،٩) وجد أنها تساوي ٢٩،٥٣٢ و ٣،٨٠٣، على الترتيب. وباستخدام المعادلات رقم (٢،٢٤)، ورقم (٢،٢٥)، ورقم (٢،٢٦):

$$\alpha = 1.2826/3.803 = 0.337$$

$$u = 19.532 - 0.5772/0.337 = 17.819$$

وبالتالي:

$$P(10 - \text{yr}) = 17.819 - \ln[-\ln(1 - 0.10)]/0.337 = 24.50 \text{ mm}$$

$$P(50 - \text{yr}) = 17.819 - \ln[-\ln(1 - 0.02)]/0.337 = 29.40 \text{ mm}$$

$$P(100 - \text{yr}) = 17.819 - \ln[-\ln(1 - 0.01)]/0.337 = 31.47 \text{ mm}$$

يجب ملاحظة أن هذه التقديرات أولية ويمكن أن تكون مفيدة لتصميم نظام الصرف في الموقع باستخدام عوامل الأمان المعقولة.

الجدول رقم (٢,٩). أقصى معدل سنوي تم تسجيله لتساقط المطر لمدة عشر دقائق (مم).

التاريخ	المعدل الأقصى لسقوط المطر لمدة ١٠ دقائق
٩٣/١١/٢٨	٢٢,٠
٩٣/١١/٢٩	٢١,٢
٩٤/١/٢٥	١٦,٦
٩٤/٢/١٣	١٩,٤
٩٤/٣/١٨	١٤,٤
٩٤/١١/١٦	١٨,٠
٩٤/١١/٢٤	١٦,٨
٩٤/١٢/١٠	٢٣,٤
٩٥/١/٤	١٩,٨
٩٥/١١/١٥	٢٤,٨
٩٥/١١/٢٣	٢٣,٤
٩٥/١١/٢٧	١٨,٦
٩٦/١/١٢	١٨,٨
٩٦/١/٢٤	١٦,٠
٩٦/٢/١٤	١٩,٢
٩٦/٤/١٨	١٨,٦
٩٦/١١/١٥	١٤,٢
٩٧/١/١٢	١٨,٠
٩٧/٤/١٤	٢٥,٥
٩٧/١١/١٦	١٥,٠
٩٨/١/١٥	١٧,٠
٩٨/٥/١٠	١٥,٦
٩٨/١٠/٢٤	٢٢,٨
٩٨/١١/٢	٢٩,٦
٩٨/١١/١٧	١٩,٦

معادلات الانحسار Regression Equations

قامت هيئة المسح الجيولوجي بالولايات المتحدة بتحديد مجموعات مختلفة من معادلات الانحسار لتقدير تدفقات القمة لفترات عودة مختلفة للمواقع التي لا يتم قياسها للولايات المختلفة بالولايات المتحدة الأمريكية وبورتوريكو (USGS 1994). والأخطاء القياسية التي تم تدوينها في التقارير عالية نسبياً. مع هذا، فهي مفيدة للتحقق من معقولية تدفقات القمة المقدرة باستخدام الطرق الأخرى. هذه المعادلات مدونة في التقارير بنظام وحدات قدم-رطل-ثانية (FPS). ومن المناسب بشكل عام استخدامهم بنظام وحدات قدم-رطل-ثانية وتحويل النتائج إلى النظام العالمي (SI).

مثال رقم (٢، ٥): باستخدام نموذج HEC-I، فإن تدفق القمة في ١٠٠ سنة لجدول في كنساس يقدر بحوالي ٣٦٧ م^٣/ث. استخدم معادلات الانحسار USGS للتحقق من معقولية تدفق القمة المقدّر في ١٠٠ سنة. المعاملات المناسبة المطلوبة لاستخدام

معادلات الانحسار هي: $D = 61,4 \text{ كم}^2 (23,70 \text{ ميل}^2)$

متوسط التساقط السنوي للمنطقة = ٧١ سم (٢٨ بوصة)

الحل:

الشكل العام لمعادلات الانحسار لمناطق الصرف من ١٧,٠ إلى أقل من ٣٠ ميل^٢

(٤٤,٠ إلى ٧٧,٧ كم^٢) في كنساس هي (USGS 2000a):

(٢، ١٦)

$$Q = a DA^b P^{bl}$$

حيث إن:

Q = تدفق القمة لكل قدم مكعب لكل ثانية (قدم^٣/ث).

DA = مساحة الصرف (ميل^٢).

P = متوسط التساقط السنوي (بوصة).

bl, b, a = معاملات الانحسار التي توجد في (USGS 2000a).

وقيم معاملات الانحسار في فترة العودة ١٠٠ سنة، على امتداد أخطاء التنبؤ المقدرة، موضحة في الجدول رقم (٢، ١٠). وباستخدام المعادلة رقم (٢، ١٦) مع المعاملات المعطاة في الجدول رقم (٢، ١٠):

$$Q_{100} = 19.80 \times (23.70)^{0.634} \times (28)^{1.288} = 10770 \text{ ft}^3/\text{s} = 305 \text{ m}^3/\text{s}$$

تدفقات القمة المقدرة في ١٠٠ سنة والأخطاء القياسية للتقدير اعتماداً على معادلة الانحسار موضحة في الجدول رقم (٢، ١١). في ضوء القيم المعطاة في معادلات الانحسار USGS، يتضح أن تصرف ٣٦٧ م^٣/ث يعدّ تقديرًا محافظاً ومعقولاً.

الجدول رقم (٢، ١٠). معاملات الانحسار وأخطاء التنبؤ لمعادلة الانحسار USGS في كنساس.

معاملات الانحسار*			
فترة العودة	a	b	b1 الخطأ (%)
١٠٠ عام		٠,٦٣٤	٧١ +
	١٩,٨٠		٤٤ -

* مناطق صرف تتراوح من ١٧,٠ إلى أقل من ٣٠ ميل مربع.

المصدر: (1994) USGS.

الجدول رقم (٢، ١١). تدفقات القمة المحسوبة لـ ١٠٠ سنة.

معادلة الانحسار			
الخط الفرعي لتقسيم المياه	قمة التدفق مقدرة بـ (HEC-1)*	قمة التدفق المحسوب	أخطاء التنبؤ (+) أخطاء التنبؤ (-)
٦١,٤ كم ^٢	٣٦٧ م ^٣ /ث	٣٠٥ م ^٣ /ث	٢١٧ م ^٣ /ث ١٣٤ م ^٣ /ث

* انظر المثال رقم (٢، ٨).

التحليل الإحصائي للبيانات المتاحة Statistical Analysis of Available Data

المعاملات الأربعة الشائعة للتحليل الإحصائي للبيانات التي يجب تطبيقها هي

التالية:

$$(٢, ١٧) \quad \bar{X} = \sum X / n \quad \text{المتوسط:}$$

$$(٢, ١٨) \quad s = \left[\sum (X - \bar{X})^2 / (n-1) \right]^{0.5} \quad \text{الانحراف القياسي:}$$

$$(٢, ١٩) \quad G = n \sum (X - \bar{X})^3 / [(n-1)(n-2)s^3] \quad \text{معامل الالتواء:}$$

$$(٢, ٢٠) \quad k = \left[n(n+1) / \{(n-1)(n-2)(n-3)\} \right] \times \left[\sum \{(X - \bar{X}) / s\}^4 \right] - \left[3(n-1)^2 / (n-2)(n-3) \right]$$

حيث إن:

X = قيمة المتغير.

n = عدد نقاط البيانات.

\sum = المجموع من 1 إلى n .

k = معامل الالتفاف.

في حالة التوزيع الطبيعي، فإن $G = 0$ و $k = 3$. وفي حالة توزيع جامبل (القيمة القصوى لنوع ١)، فإن $G = 1.1396$ و $k = 5.4$.

إذا كانت بيانات تدفق القمة السنوي الخاصة بالموقع متاحة، فإنه يمكن تقدير تدفقات القمة لفترات العودة الأعلى عن طريق التحليل الإحصائي. عملياً، فإن تدفقات القمة لفترة العودة المرغوبة يجب أن تقدر باستخدام توزيعات احتمال متعددة والقيم المختارة يجب أن يتم اختيارها عن طريق الحكم، معطية وزناً أكبر لتوزيعات بيرسون اللوغاريتمية من نوع ٣ والأكثر ملائمة. ويكون التوزيع الطبيعي أو توزيع

اللوغاريتم الطبيعي مقبولا إذا كان معامل الالتواء صغيراً. وتوزيع جامبل معامل التواء ثابت قيمته ١.١٣٩٦. ويكون توزيع بيرسون اللوغاريتمي من نوع ٣ قابلاً للتطبيق لأي معامل التواء معروف (USWRC 1981). والطريقة البسيطة لحساب جودة الملائمة هي التخطيط البياني لتدفقات القمة السنوية على أوراق احتمالية عديدة (مثلاً، الأوراق الطبيعية أو أوراق اللوغاريتم الطبيعي أو أوراق جامبل للاحتتمالية) وتحديد أفضل توزيع مناسب عن طريق الملاحظة.

الخطوات الحسابية للتحليل الإحصائي لتدفقات القمة السنوية هي كما يلي:

- رتب قيم تدفق القمة السنوي تنازلياً على أساس المقدار. حدد مرتبة، m ، لكل قيمة على أن تكون أعلى قيمة تساوي ١. حدد مراتب مختلفة (متتالية) حتى لو كانت قيمتان أو أكثر متساويتان. يمكن عمل هذا على أوراق العمل.
- احسب لوغاريتمات (بالأساس ١٠) لكل القيم.
- احسب المتوسط \bar{X} ، والانحراف القياسي s ، ومعامل الالتواء G ، لكل القيم ولوغاريتماتهم. ويمكن عمل هذا باستخدام الدوال المتاحة في حزم برامج الحاسب القياسية (مثل، برنامج الإكسل).
- احسب موضع التمثيل البياني لكل قيمة باستخدام صيغة فايبول، $m/(n+1)$ ، حيث n هي عدد نقاط البيانات الكلية. واستخدم مواضع التمثيل هذه لإعداد منحنيات بيانية للخط المستقيم على أوراق احتمالية مختلفة. ويكون موضع التمثيل البياني هو الاحتمالية المدرجة على الإحداثي السيني من ورقة الاحتمالية.
- احسب تدفق القمة لفترة العودة المرغوبة عن طريق الملاحظة البصرية أو الاستكمال القياسي من تمثيل توزيع الاحتمالية، أو بالتبادل، عن طريق استخدام المعادلة:

(٢,٢١)

$$Q_T = \bar{X} + Ks$$

حيث إن:

$$Q_T = \text{تدفق القمة في فترة العودة } T \text{ سنة.}$$

$K = \text{عامل التكرار الذي تم الحصول عليه من الجداول (USWRC 1981)}$

(Chow 1964).

وفي حالة التوزيع الطبيعي، فإن قيم Q_T ، و \bar{X} ، و s تتعلق بتدفقات القمة السنوية الغير منقولة، و K هو الانحراف الطبيعي القياسي، الذي يمكن الحصول عليه من الجداول الإحصائية المناظرة لـ $P = 1/T$ ، حيث إن P تساوي احتمالية أن القيم الموضحة سوف تتساوى أو تتجاوز (مثلاً، P تساوي ٠,٠١، لتدفق قمة في ١٠٠ سنة). وإذا كانت جداول عوامل التكرار لتوزيع بيرسون اللوغاريتمي المستخدمة من نوع ٣، فإن قيم K الجدولية في حالة G تساوي صفر يمكن أن تستخدم للتوزيع الطبيعي وتوزيع اللوغاريتم الطبيعي (USWRC 1981). وقيم K شائعة الاستخدام في حالة التوزيع الطبيعي وتوزيع اللوغاريتم الطبيعي معطاة في الجدول رقم (٢,١٢).

وفي حالة توزيع اللوغاريتم الطبيعي وتوزيع بيرسون اللوغاريتمي من نوع ٣، فإن قيم \bar{X} و s المستخدمة في المعادلة رقم (٢,٢١) يتم حسابها من لوغاريتمات تدفقات القمة السنوية، وقيم Q_T المقدرة هي لوغاريتم قمة التدفق المرغوبة. ومعامل التكرار لتوزيع اللوغاريتم الطبيعي هو نفسه في حالة التوزيع الطبيعي، وفي حالة توزيع بيرسون اللوغاريتمي من نوع ٣ فهي تلك المناظرة لمعامل الالتواء المحسوب مسبقاً، G ، للوغاريتمات تدفقات القمة السنوية. وهذه القيم مجدولة في جداول إحصائية (مثل، USWRC 1981). وبالتبادل، فإن قيم K التقريبية في حالة توزيع بيرسون اللوغاريتمي من نوع ٣ يمكن تقديرها عن طريق المعادلة:

(٢,٢٢) $K \text{ (LP Type III)} = 2/G \left\{ \left[(K_n - G/6) G/6 + 1 \right]^3 - 1 \right\}$
 حيث إن K_n هي قيمة K في حالة التوزيع الطبيعي.

الجدول رقم (٢,١٢). القيم المختارة لمعامل التكرار في حالة التوزيع الطبيعي والتوزيع اللوغاريتم الطبيعي.

فترة العودة (سنة)	احتمالية التجاوز P	معامل التكرار K
٢	٠,٥٠	٠
٢,٥	٠,٤٠	٠,٢٥٣٣٥
٣,٣٣	٠,٣٠	٠,٥٢٤٤٠
٥	٠,٢٠	٠,٨٤١٦٢
١٠	٠,١٠	١,٢٨١٥٥
٢٠	٠,٠٥	١,٦٤٤٨٥
٢٥	٠,٠٤	١,٧٥٠٦٩
٤٠	٠,٠٢٥	١,٩٥٩٩٦
٥٠	٠,٠٢	٢,٠٥٣٧٥
١٠٠	٠,٠١	٢,٣٢٦٣٥
٢٠٠	٠,٠٠٥	٢,٥٧٥٨٣
٥٠٠	٠,٠٠٢	٢,٨٧٨١٦
١٠٠٠	٠,٠٠١	٣,٠٩٠٢٣
٢٠٠٠	٠,٠٠٠٥	٣,٢٩٠٥٣
١٠٠٠٠	٠,٠٠٠١	٣,٧١٩٠٢

المصدر: (USWRC (1981).

وفي حالة توزيع جامبل، فإن كل من Q_T و \bar{X} و s تتعلق بتدفقات القمة السنوية ويمكن تقدير K (جامبل) من المعادلة:

$$(٢,٢٣) \quad K = -0.7797 \{0.5772 + \ln[\ln T - \ln(T-1)]\}$$

وبالتبادل، يمكن تقدير Q_T لتوزيع جامبل عن طريق المعادلات التالية:

$$(٢,٢٤) \quad \alpha = 1.2826/s$$

$$(٢,٢٥) \quad u = \bar{X} - 0.5772/\alpha$$

$$(٢,٢٦) \quad 1-P = 1-1/T = \exp[-\exp\{-\alpha(Q_T - u)\}]$$

أو:

$$(٢,٢٦) \quad Q_T = u - \{\ln[-\ln(1-P)]\}/\alpha$$

يستخدم توزيع جامبل لتعريف الفيضان السنوي المتوسط. وبوضع $Q_T = \bar{X}$ تصبح المعادلة:

$$1-P = 1-1/T = \exp[-\exp\{-\alpha(\bar{X} - u)\}]$$

وكذلك من المعادلة رقم (٢,٢٥):

$$-\alpha(\bar{X} - u) = -0.5772$$

وبالتالي تصبح فترة عودة متوسط الفيضان السنوي: $T = 2.33 \text{ yr}$

ولأجل تحليلات إحصائية أدق لتدفقات القمة السنوية، راجع المراجع القياسية

على تطبيقات الطرق الإحصائية في الهيدرولوجيا (مثل، Haan 1977; Yevjevich 1972a, 1997).

مثال رقم (٢,٦): احسب تدفق القمة في ٥٠٠ سنة لنهر أوهايو بلويس فيل، كنتاكي، باستخدام بيانات تدفق القمة السنوي المعطاة في الجدول رقم (٢,١٣).

الحل:

١- التوزيع الطبيعي:

استخدام المعادلة رقم (٢,٢١) باعتبار $K = 2.87816$ من الجدول رقم (٢,١٢) و $\bar{X} = 14329.4$ و $s = 3677.0$ من الجدول رقم (٢,١٣):

$$Q_{500} = 14329.4 + 2.87816 \times 3677.0 = 24912 \text{ m}^3 / \text{s}$$

٢- توزيع اللوغاريتم الطبيعي:

باستخدام المعادلة رقم (٢,٢١) مع $K = 2.87816$ من الجدول رقم (٢,١٢) و $\bar{X} = 4.142405$ و $s = 0.110875$ من الجدول رقم (٢,١٣):

$$\text{Log}(Q_{500}) = 4.142405 + 2.87816 \times 0.110875 = 4.46152$$

بالتالي:

$$Q_{500} = 28941 \text{ m}^3 / \text{s}$$

٣- توزيع لوغاريتم بيرسون من نوع ٣:

باستخدام $\bar{X} = 4.142405$ و $s = 0.110875$ و $G = -0.24$ ومن الجدول رقم (٢,١٣) و $K (\text{LP Type III}) = 2.588996$ (عن طريق الاستكمال القياسي من الجداول لعامل التكرار الخاص بتوزيع لوغاريتم بيرسون من نوع ٣ في حالة $G = -0.24$)، والمعادلة رقم (٢,٢١)، تعطي:

$$\text{Log}(Q_{500}) = 4.142405 + 2.588996 \times 0.110875 = 4.42946$$

بالتالي، $Q_{500} = 26882 \text{ m}^3 / \text{s}$. وبالتبادل، باستخدام المعادلة رقم (٢,٢٢)

لتوزيع لوغاريتم بيرسون من نوع ٣:

$$K (\text{LP III}) = 2 / (-0.24) \{ [(2.87816 + 0.24 / 6)$$

$$(-0.24 / 6) + 1 \}^3 - 1 \} = 2.59$$

والذي هو تقريباً نفس القيمة المستكملة من الجداول.

٤- توزيع جامبل:

باستخدام المعادلة رقم (٢, ٢٣) لتقدير عامل التكرار الخاص بتوزيع جامبل:

$$K(\text{Gumbel}) = -0.7797[0.5772 + \ln\{\ln(500/499)\}] = 4.3947$$

بالتالي، باستخدام المعادلة رقم (٢, ٢١) مع $\bar{X} = 14329.4$ و $s = 3677.0$:

$$Q_{500} = 14329.4 + 4.3947 \times 3677.0 = 30489 \text{ m}^3/\text{s}$$

بالتبادل، وباستخدام المعادلات رقم (٢, ٢٤) ورقم (٢, ٢٥) ورقم (٢, ٢٦)

مع $P = 0.002$ في حالة $T = 500 \text{ yr}$:

$$\alpha = 1.2826/3677.0 = 0.0003488$$

$$u = 14329.4 - 0.5772/0.0003488 = 12675$$

$$Q_{500} = 12675 - \ln[-\ln(1-0.002)]/0.0003488 = 30489 \text{ m}^3/\text{s}$$

يختلف تدفق القمة المقدّر في ٥٠٠ سنة من ٢٤٩١٢ م^٣/ث إلى ٣٠٤٨٩ م^٣/ث.

والقيم المقدرة باستخدام توزيع لوغاريتم بيرسون من نوع ٣ تكون قريبة من هذا

المدى. إذن، يتضح أن القيمة ٢٧٠٠٠ م^٣/ث تعتبر قيمة معقولة.

الجدول رقم (٢, ١٣). التحليل الإحصائي لتدفقات القمة السنوي لنهر أوهايو بلويسفيل، كنتاكي.

عام	Q (م ^٣ /ث)	Q مرتبة	log Q	الدرجة	موقع التمثيل البياني
١٨٧٢	١١٠٧٠	٣١٤٢٧	٤,٤٩٧٣	١	٠,٠٠٨٥
١٨٧٣	٩٨٨١	٢٣٨٦٨	٤,٣٧٧٨	٢	٠,٠١٧١
١٨٧٤	١١٨٣٥	٢٣٣٥٨	٤,٣٦٨٤	٣	٠,٠٢٥٦
١٨٧٥	١٤٤٣٩	٢٢٢٢٥	٤,٣٤٦٨	٤	٠,٠٣٤٢
١٨٧٦	١٥٥٧٢	٢١٧٧٢	٤,٣٣٧٩	٥	٠,٠٤٢٧

تابع الجدول رقم (١٣، ٢).

عام	Q (م ^٣ /ث)	Q مرتبة	log Q	الدرجة	موقع التمثيل البياني
١٨٧٧	١٤٥٢٤	٢١٢٣٥	٤,٣٢٧٠	٦	٠,٠٥١٣
١٨٧٨	٦٨٥٢	٢٠١٨٧	٤,٣٠٥١	٧	٠,٠٥٩٨
١٨٧٩	١٠١٣٦	١٩٩٣٢	٤,٢٩٩٥	٨	٠,٠٦٨٤
١٨٨٠	١٤٦٣٨	١٩٤٥١	٤,٢٨٨٩	٩	٠,٠٧٦٩
١٨٨١	١١٨٣٥	١٨١٧٧	٤,٢٥٩٥	١٠	٠,٠٨٥٥
١٨٨٢	١٧٦٦٧	١٧٩٧٩	٤,٢٥٤٨	١١	٠,٠٩٤٠
١٨٨٣	٢١٢٣٥	١٧٩٧٩	٤,٢٥٤٨	١٢	٠,١٠٢٦
١٨٨٤	٢٣٣٥٨	١٧٨٦٥	٤,٢٥٢٠	١٣	٠,١١١١
١٨٨٥	١١٦٣٧	١٧٦٦٧	٤,٢٤٧٢	١٤	٠,١١٩٦
١٨٨٦	١٥٧٤٢	١٧٦١١	٤,٢٤٥٨	١٥	٠,١٢٨٢
١٨٨٧	١٥٧٤٢	١٧٤٦٩	٤,٢٤٢٣	١٦	٠,١٣٦٧
١٨٨٨	٩٥٤١	١٧٣٢٧	٤,٢٣٨٧	١٧	٠,١٤٥٣
١٨٨٩	٨٢٩٦	١٧٤٢٤	٤,٢٣٦٦	١٨	٠,١٥٣٨
١٨٩٠	١٦٨٧٤	١٧٢١٤	٤,٢٣٥٩	١٩	٠,١٦٢٤
١٨٩١	١٥٥٧٢	١٧٢١٤	٤,٢٣٥٩	٢٠	٠,١٧٠٩
١٨٩٢	١١٧٧٨	١٦٩٣١	٤,٢٢٨٧	٢١	٠,١٧٩٥
١٨٩٣	١٤٢١٣	١٦٨٧٤	٤,٢٢٧٢	٢٢	٠,١٨٨٠
١٨٩٤	٧٨٤٣	١٦٨١٨	٤,٢٢٥٨	٢٣	٠,١٩٦٦
١٨٩٥	١١٣٢٥	١٦٧٨٩	٤,٢٢٥٠	٢٤	٠,٢٠٥١
١٨٩٦	١١٩٢٠	١٦٦٧٦	٤,٢٢٢١	٢٥	٠,٢١٣٧
١٨٩٧	١٦٨١٨	١٦٦٤٨	٤,٢٢١٤	٢٦	٠,٢٢٢٢
١٨٩٨	١٧٢١٤	١٦٥٩١	٤,٢١٩٩	٢٧	٠,٢٣٠٨

تابع الجدول رقم (١٣، ٢).

عام	Q (م ^٣ /ث)	Q مرتبة	$\log Q$	الدرجة	موقع التمثيل البياني
١٨٩٩	١٥٧١٤	١٥٩٤٠	٤,٢٠٢٥	٢٨	٠,٢٣٩٣
١٩٠٠	٨٢٦٧	١٥٨٨٣	٤,٢٠٠٩	٢٩	٠,٢٤٧٩
١٩٠١	١٥٩٤٠	١٥٨٥٥	٤,٢٠٠٢	٣٠	٠,٢٥٦٤
١٩٠٢	١٢٧٩٧	١٥٧٩٨	٤,١٩٨٦	٣١	٠,٢٦٤٩
١٩٠٣	١٤١٨٥	١٥٧٧٠	٤,١٩٧٨	٣٢	٠,٢٧٣٥
١٩٠٤	١٢١٤٦	١٥٧٧٠	٤,١٩٧٨	٣٣	٠,٢٨٢٠
١٩٠٥	١١٦٣٧	١٥٧٧٠	٤,١٩٧٨	٣٤	٠,٢٩٠٦
١٩٠٦	١٣٢٧٩	١٥٧٤٢	٤,١٩٧١	٣٥	٠,٢٩٩١
١٩٠٧	٢٠١٨٧	١٥٧٤٢	٤,١٩٧١	٣٦	٠,٣٠٧٧
١٩٠٨	١٥١١٩	١٥٧١٤	٤,١٩٦٣	٣٧	٠,٣١٦٢
١٩٠٩	١٥٧٧٠	١٥٥٧٢	٤,١٩٢٣	٣٨	٠,٣٢٤٨
١٩١٠	١٤٠٧١	١٥٥٧٢	٤,١٩٢٣	٣٩	٠,٣٣٣٣
١٩١١	١٢٠٦١	١٥٥١٥	٤,١٩٠٨	٤٠	٠,٣٤١٩
١٩١٢	١٤١٨٥	١٥٢٣٢	٤,١٨٢٨	٤١	٠,٣٥٠٤
١٩١٣	٢١٧٧٢	١٥١٤٧	٤,١٨٠٣	٤٢	٠,٣٥٩٠
١٩١٤	١١٨٠٦	١٥١١٩	٤,١٧٩٥	٤٣	٠,٣٦٧٥
١٩١٥	١٤٦٠٩	١٥١١٩	٤,١٧٩٥	٤٤	٠,٣٧٦١
١٩١٦	١٥١١٩	١٥٠٦٢	٤,١٧٧٩	٤٥	٠,٣٨٤٦
١٩١٧	١٤٨٦٤	١٤٨٩٢	٤,١٧٢٩	٤٦	٠,٣٩٣٢
١٩١٨	١٣٣٠٧	١٤٨٦٤	٤,١٧٢١	٤٧	٠,٤٠١٧
١٩١٩	١٣٦٧٥	١٤٨٦٤	٤,١٧٢١	٤٨	٠,٤١٠٣
١٩٢٠	١٥٢٣٢	١٤٨٣٦	٤,١٧١٣	٤٩	٠,٤١٨٨

تابع الجدول رقم (١٣، ٢).

عام	Q (م ^٣ /ث)	Q مرتبة	log Q	الدرجة	موقع التمثيل البياني
١٩٢١	١٠٢٧٨	١٤٧٥١	٤,١٦٨٨	٥٠	٠,٤٢٧٠
١٩٢٢	١٥٥١٥	١٤٦٣٨	٤,١٦٥٥	٥١	٠,٤٣٥٩
١٩٢٣	١٣٤٧٧	١٤٦٠٩	٤,١٦٤٦	٥٢	٠,٤٤٤٤
١٩٢٤	١٥٧٧٠	١٤٦٠٩	٤,١٦٤٦	٥٣	٠,٤٥٣٠
١٩٢٥	١٠١٩٣	١٤٦٠٩	٤,١٦٤٦	٥٤	٠,٤٦١٥
١٩٢٦	١١٩٧٦	١٤٥٨١	٤,١٦٣٨	٥٥	٠,٤٧٠١
١٩٢٧	١٦٦٧٦	١٤٥٨١	٤,١٦٣٨	٥٦	٠,٤٧٨٦
١٩٢٨	١٢٢٣١	١٤٥٢٤	٤,١٦٢١	٥٧	٠,٤٨٧٢
١٩٢٩	١٤٥٨١	١٤٤٣٩	٤,١٥٩٥	٥٨	٠,٤٩٥٧
١٩٣٠	١٠٨١٥	١٤٤٣٩	٤,١٥٩٥	٥٩	٠,٥٠٤٣
١٩٣١	١٠٦١٧	١٤٤٣٩	٤,١٥٩٥	٦٠	٠,٥١٢٨
١٩٣٢	١٥١٤٧	١٤٣٢٦	٤,١٥٦١	٦١	٠,٥٢١٤
١٩٣٣	١٩٩٣٢	١٤٢١٣	٤,١٥٢٧	٦٢	٠,٥٢٩٩
١٩٣٤	١١٦٠٨	١٤١٨٥	٤,١٥١٨	٦٣	٠,٥٣٨٥
١٩٣٥	١٥٧٩٨	١٤١٨٥	٤,١٥١٨	٦٤	٠,٥٤٧٠
١٩٣٦	١٧٦١١	١٤٠٧١	٤,١٤٨٣	٦٥	٠,٥٥٥٦
١٩٣٧	٣١٤٢٧	١٣٩٥٨	٤,١٤٤٨	٦٦	٠,٥٦٤١
١٩٣٨	٩٧٩٦	١٣٩٥٨	٤,١٤٤٨	٦٧	٠,٥٧٣٠
١٩٣٩	١٧٩٧٩	١٣٩٣٠	٤,١٤٣٩	٦٨	٠,٥٨١٢
١٩٤٠	١٦٩٣١	١٣٦٧٥	٤,١٣٥٩	٦٩	٠,٥٨٩٧
١٩٤١	٧٧٥٨	١٣٥٠٥	٤,١٣٠٥	٧٠	٠,٥٩٨٣
١٩٤٢	١١٣٨٢	١٣٤٧٧	٤,١٢٩٦	٧١	٠,٦٠٦٨

تابع الجدول رقم (١٣، ٢).

عام	Q (م ^٣ /ث)	Q مرتبة	log Q	الدرجة	موقع التمثيل البياني
١٩٤٣	١٧٤٦٩	١٣٣٠٧	٤,١٢٤١	٧٢	٠,٦١٥٤
١٩٤٤	١٣١٠٩	١٣٢٧٩	٤,١٢٣١	٧٣	٠,٦٢٤٠
١٩٤٥	٢٣٨٦٨	١٣١٩٤	٤,١٢٠٤	٧٤	٠,٦٣٢٥
١٩٤٦	١٣٥٠٥	١٣١٦٥	٤,١١٩٤	٧٥	٠,٦٤١٠
١٩٤٧	٩٩٦٦	١٣١٠٩	٤,١١٧٦	٧٦	٠,٦٤٩٦
١٩٤٨	١٩٤٥١	١٣٠٨٠	٤,١١٦٦	٧٧	٠,٦٥٨١
١٩٤٩	١٤٤٣٩	١٢٩١١	٤,١١٠٩	٧٨	٠,٦٦٦٧
١٩٥٠	١٧٢٤٢	١٢٧٩٧	٤,١٠٧١	٧٩	٠,٦٧٥٢
١٩٥١	١٤٨٩٢	١٢٢٣١	٤,٠٨٧٥	٨٠	٠,٦٨٣٨
١٩٥٢	١٥٨٥٥	١٢١٤٦	٤,٠٨٤٤	٨١	٠,٦٩٢٣
١٩٥٣	٨٨٩٠	١٢١١٨	٤,٠٨٣٤	٨٢	٠,٧٠٠٨
١٩٥٤	٦٧١٠	١٢٠٦١	٤,٠٨١٤	٨٣	٠,٧٠٩٤
١٩٥٥	١٧٢١٤	١٢٠٣٣	٤,٠٨٠٤	٨٤	٠,٧١٧٩
١٩٥٦	١٣٨٣٦	١١٩٧٧	٤,٠٧٨٣	٨٥	٠,٧٢٦٥
١٩٥٧	١٣٩٥٨	١١٩٢٠	٤,٠٧٦٣	٨٦	٠,٧٣٥٠
١٩٥٨	١٥٧٧٠	١١٨٩١	٤,٠٧٥٢	٨٧	٠,٧٤٣٦
١٩٥٩	١٤٥٨١	١١٨٣٥	٤,٠٧٣٢	٨٨	٠,٧٥٢١
١٩٦٠	١٠٢٤٩	١١٨٣٥	٤,٠٧٣٢	٨٩	٠,٧٦٠٧
١٩٦١	١٦٧٨٩	١١٨٠٦	٤,٠٧٢١	٩٠	٠,٧٦٩٢
١٩٦٢	١٧٨٦٥	١١٧٧٨	٤,٠٧١١	٩١	٠,٧٧٧٨
١٩٦٣	١٦٦٤٨	١١٦٣٧	٤,٠٦٥٨	٩٢	٠,٧٨٦٣
١٩٦٤	٢٢٢٢٥	١١٦٣٧	٤,٠٦٥٨	٩٣	٠,٧٩٤٩

تابع الجدول رقم (١٣، ٢).

عام	Q (م ^٣ /ث)	Q مرتبة	$\log Q$	الدرجة	موقع التمثيل البياني
١٩٦٥	١٣١٩٤	١١٦٠٨	٤,٠٦٤٨	٩٤	٠,٨٠٣٤
١٩٦٦	١٤٦٠٩	١١٣٨٢	٤,٠٥٦٢	٩٥	٠,٨١٢٠
١٩٦٧	١٨١٧٧	١١٣٢٥	٤,٠٥٤٠	٩٦	٠,٨٢٠٥
١٩٦٨	١٦٥٩١	١١٠٧٠	٤,٠٤٤٢	٩٧	٠,٨٢٩١
١٩٦٩	٩٩٦٦	١١٠١٤	٤,٠٤١٩	٩٨	٠,٨٣٧٦
١٩٧٠	١٤٣٢٦	١٠٨١٥	٤,٠٣٤٠	٩٩	٠,٨٤٦١
١٩٧١	١٣١٦٥	١٠٦١٧	٤,٠٢٦٠	١٠٠	٠,٨٥٤٧
١٩٧٢	١٤٧٥١	١٠٢٧٨	٤,٠١١٩	١٠١	٠,٨٦٣٢
١٩٧٣	١٥٠٦٢	١٠٢٤٩	٤,٠١٠٧	١٠٢	٠,٨٧١٨
١٩٧٤	١٥٨٨٣	١٠١٩٣	٤,٠٠٨٣	١٠٣	٠,٨٨٠٣
١٩٧٥	١٤٦٠٩	١٠١٣٦	٤,٠٠٥٩	١٠٤	٠,٨٨٨٩
١٩٧٦	١٣٩٣٠	٩٩٦٦	٣,٩٩٨٥	١٠٥	٠,٨٩٧٤
١٩٧٧	١٤٤٣٩	٩٩٦٦	٣,٩٩٨٥	١٠٦	٠,٩٠٦٠
١٩٧٨	١٧٣٢٧	٩٨٨١	٣,٩٩٤٨	١٠٧	٠,٩١٤٥
١٩٧٩	١٧٩٧٩	٩٧٩٦	٣,٩٩١١	١٠٨	٠,٩٢٣١
١٩٨٠	١١٠١٤	٩٥٤١	٣,٩٧٩٦	١٠٩	٠,٩٣١٦
١٩٨١	١١٨٩١	٨٨٩٠	٣,٩٤٨٩	١١٠	٠,٩٤٠٢
١٩٨٢	١٣٠٨٠	٨٢٩٦	٣,٩١٨٨	١١١	٠,٩٤٨٧
١٩٨٣	١٤٨٦٤	٨٢٦٧	٣,٩١٧٤	١١٢	٠,٩٥٧٣
١٩٨٤	١٢٩١١	٧٨٤٣	٣,٨٩٤٥	١١٣	٠,٩٦٥٨
١٩٨٥	١٢٠٣٣	٧٧٥٨	٣,٨٨٩٧	١١٤	٠,٩٧٤٤
١٩٨٦	١٣٩٥٨	٦٨٥٢	٣,٨٣٥٨	١١٥	٠,٩٨٢٩

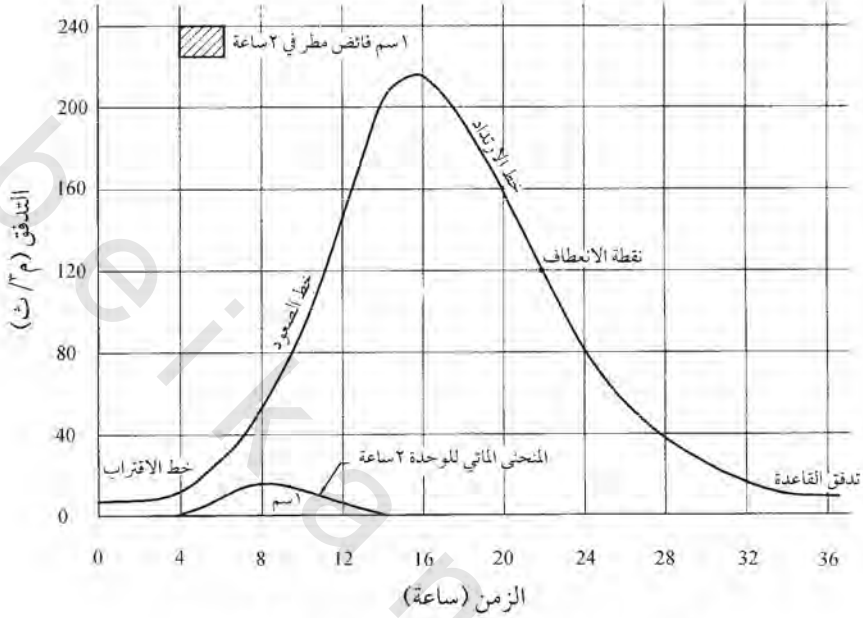
تابع الجدول رقم (٢، ١٣).

عام	Q (م³/ث)	Q مرتبة	log Q	الدرجة	موقع التمثيل البياني
١٩٨٧	١٢١١٨	٦٧١٠	٣,٨٢٧٣	١١٦	٠,٩٩١٤
المجموع	١٦٦٢٢١٠	١٦٦٢٢١٠	٤٨٠,٥١٩		
المتوسط (\bar{X})	١٤٣٢٩,٤	١٤٣٢٩,٤	٤,١٤٢٤٠٥		
الانحراف القياسي (s)	٣٦٧٧,٠	٣٦٧٧,٠	٠,١١٠٨٧٥		
الالتواء (G)	١,٠١٠٨٨٨	١,٠١٠٨٨٨	- ٠,٢٤٠٢٦		

المنحنيات المائية للجريان السطحي

Surface Runoff Hydrographs

يتضمن هذا تحديد المنحنى المائي للجريان السطحي لمجرى الماء عند النقطة موضع الاهتمام. المنحنى المائي هو تمثيل بياني (أو تمثيل جداولي) للتدفقات مقابل الزمن. المنحنيات المائية للجريان السطحي الناتجة من أحداث التدفقات المفاجئة (العواصف) للفترة المحددة موضحة هنا. قمة المنحنى المائي للجريان السطحي للتدفق المفاجئ (للعاصفة) في $T - y_T$ يفترض أن يمثل قمة تدفق $T - y_T$ ، رغم أن هذا يمكن ألا يطابق دائماً تدفق قمة $T - y_T$ المقدّر إحصائياً. طرق تحديد المنحنى المائي لأقصى فيضان محتمل (PMF) موضحة في جزء من هذا الفصل بعنوان "المنحنى المائي لأقصى فيضان محتمل". يتكون المنحنى المائي للجريان السطحي من طرف الاقتراب المرتفع ببطء، والطرف المرتفع سريعاً نسبياً، والطرف المنحسر الذي يتصل بالمنحنى المائي لتدفق القاعدة (الشكل رقم ٢، ٢).



الشكل رقم (٢،٢). المنحنى المائي النموذجي للجريان السطحي.

عادةً، يتم تحديد المنحنى المائي للجريان السطحي باستخدام نماذج الحاسب الآلي، مثل (HEC-HMS USACE 2002) و (HEC-1 USACE 1991a) و (TR-20 USDA 1983a) و (SEDIMOT-II Wilson et al. 1984). والطريقة الأكثر شيوعاً في الاستخدام لتحديد المنحنى المائي للجريان السطحي هي لف وحدة الإحداثيات الرأسية (الصادية) للمنحنى المائي مع زيادات سقوط المطر الزائدة لوحدة المدة المرتبة في تتابع مناسب. اللف هو عملية مضاعفة وتجميع. والزيادة في سقوط المطر هي التساقط ناقص الفواقد. البيانات اللازمة لعمل المنحنى المائي للجريان السطحي هي كالتالي:

- معاملات حوض الصرف بما فيها منطقة الصرف وزمن التركيز أو زمن الإعاقة لحساب منحنى الوحدة المائي لحوض النهر.
- مدة وزمن توزيع التساقط وانسياب الجليد الذائب.
- فواقد التربة.
- المنحنى المائي لتدفق القاعدة.

ينقسم حوض الصرف الكلي إلى أحواض صرف فرعية، يمثل كل منها مساحة صرف خط فرعي مهم للمجرى المائي الأساسي. ويعتمد تحديد أحواض صرف الخطوط الفرعية المهمة على الحكم. كلما كان عدد أحواض الصرف أكبر، كلما كانت شبكة العمل الهيدرولوجية أكثر تعقيداً. يجب تحديد المنحنى المائي للجريان السطحي لكل حوض صرف فرعي، محفور على امتداد القنوات مشتركة الاتصال، ويدمج مع المنحنيات المائية للجريان السطحي لأحواض الصرف الفرعية الأخرى التي توجد في مواقع مناسبة. ويجب إعداد المنحنى البياني الخطي لشبكة العمل ليوضح موقع كل حوض صرف فرعي ومسار تدفق الجريان السطحي من كل أحواض الصرف الفرعية إلى النقطة حيث يتم تحديد المنحنى المائي المركب للجريان السطحي لحوض الصرف بأكمله. في بعض الأحيان، فإن تقسيم حوض الصرف إلى أعداد مختلفة من أحواض الصرف الفرعية يمكن أن يؤدي إلى تدفقات قمة مختلفة يمكن ملاحظتها عند منفذ حوض الصرف. إذا تم اختيار كل معاملات المنحنيات المائية بشكل منسجم ويتم استخدام معاملات المنحنى المائي الموزونة لإيضاح مساهمة الخطوط الفرعية الثانوية في كل حوض صرف فرعي، فإن الاختلاف في عدد أحواض الصرف الفرعية التي ينقسم إليها حوض الصرف يمكن ألا تؤدي إلى اختلافات ذات أهمية (أي، أكبر من حوالي ١٠٪) في تدفقات القمة المقدرة لحوض الصرف بأكمله (Prakash 1987).

طرق تقدير زمن التركيز أو زمن الإعاقة موضحة في جزء من هذا الفصل بعنوان "الطريقة المنطقية".

المنحنى المائي الودودي Unit Hydrograph

المنحنى المائي الودودي هو المنحنى المائي للجريان المباشر من حوض الصرف الناتج من عمق وحدة تساقط المطر الفعالة (أي، التساقط ناقص الفواقد)، الموزع بشكل منتظم على مساحة حوض الصرف والذي يحدث أثناء فترة محددة من الزمن تعرف بمدة الوحدة. يجب أن تكون وحدة المدة صغيرة بما فيه الكفاية حتى يمكن افتراض أن معدل الترسيب أثناء هذه الفترة ثابتاً. وبشكل عام، فإن القيمة الأصغر من ٠,٢٩ مرة في زمن الإعاقة تعد معقولة (USACE 1991a). والطريقتان المستخدمتان لتحديد منحنى مائي وودودي هما المباشرة وغير المباشرة (الطرق الصناعية). في الطريقة المباشرة، فإن مساحة حوض الصرف الفرعي، والمنحنى المائي للانصباب الملاحظ عند منفذ حوض الصرف الفرعي، ومتغيرات تدفق القاعدة المقدرة أو المنحنى المائي لتدفق القاعدة، والتساقط المتعلق بالمنحنى المائي للانصباب الملاحظ، ومتغيرات الفقد في التساقط، وزمن الإعاقة تستخدم كمدخل لاستنتاج المنحنى المائي الودودي. وحتى تكون هذه الطريقة قابلة للتطبيق، فإن المنحنى المائي للمنفذ الملاحظ يجب أن يكون الناتج عن تدفق مفاجئ معزول ذو شدة منتظمة خلال فترته وتوزيعاً منتظماً على حوض الصرف الفرعي بأكمله. وفي نموذج HEC-1، تدمج هذه الطريقة في شكل "منهجية الكمال" (USACE 1991a). (راجع المراجع الأخرى لزيادة التفاصيل، مثل ASCE 1996) ويكون الترسيب غالباً مطلوباً لتحديد واستخدام المنحنيات المائية الودودية الصناعية (المركبة) التي يتم حسابها باستخدام الطرق غير المباشرة. وبعض الطرق البسيطة نسبياً لتحديد المنحنيات المائية الودودية هي التالية:

المنحنى المائي الوحدوي اللابعدي (USDA 1972, 1985; USBR 1987)

Dimensionless Unit Hydrograph

قامت العديد من الوكالات (مثل، USDA و USBR) بتحديد المنحنيات المائية العامة عديمة البعد والوحدة (أي، المنحنيات البيانية أو الجداول للتصرف عديم البعد مقابل الزمن عديم البعد) القابل للتطبيق على أحواض الصرف ذات الأحجام المختلفة في المناطق المختلفة. وقد أدمج نموذج HCE-1 قيم المنحنى المائي اللابعدي SCS (أي، t/t_p) مقابل (q/q_p) مع شفرته، حيث t تساوي الزمن بالساعة الذي يكون خلاله الإحداثي الصادي للمنحنى المائي الوحدوي (UHO) هو q ($م^3/ث$)، و t_p يساوي الزمن من البداية إلى القمة للمنحنى المائي الوحدوي بالساعة، و q_p قمة الإحداثي الصادي للمنحنى المائي الوحدوي ($م^3/ث$). إذا كانت مساحة حوض الصرف الفرعي A (كم^٢)، ومدة الوحدة t_r (ساعة)، وزمن الإعاقه t_L (ساعة)، معلومة فإن:

$$(٢,٢٧) \quad t_p = t_T / 2 + t_L$$

$$(٢,٢٨) \quad q_p = 2.08 A / t_p$$

كما ذكر سابقاً، $t_T = 0.29 t_L$. ولأي زمن t ، فإن النسبة t/t_p يتم حسابها من المعادلة رقم (٢.٢٧) ويتم الحصول على قيمة q/q_p المناظرة من الجداول التي يحسب منها q (الإحداثي الصادي للمنحنى المائي الوحدوي UHO عند زمن t). من وجهة نظر عملية، فإن هذه واحدة من أكثر الطرق ملائمة لأنها تتطلب فقط متغير واحد t_L ، ليتم تقديره، بالإضافة إلى مساحة حوض الصرف الفرعي.

المنحنى المائي الوحدوي لكلارك (ASCE 1996; USACE 1991a,2002)

Clark's Unit Hydrograph

لاستخدام هذه الطريقة، تقسم مساحة حوض الصرف إلى مناطق متعددة عن طريق المتساويات الزمنية، وهي المحليات الهندسية للنقاط المتساوية في أزمنة الانتقال

حتى منفذ حوض الصرف الفرعي. والمساحة بين كل متساوية زمنية ومنفذ حوض الصرف يتم إجراء المسح عليها يعبر عنها بمنحنى زمن مساحة لابعدي أو جدول بين $A^* = A(i)/A$ و $t^* = t(i)/t_e$ ، حيث $A(i)$ = المساحة و $t(i)$ = زمن الانتقال من المتساوية الزمنية i إلى منفذ حوض الصرف. إذا لم يكن منحنى الزمن المساحة لموقع معين متاحاً، فإنه يمكن استخدام معادلات نماذج HEC-1 و HEC-HMS:

$$A^* = 1.414(t^*)^{1.5} \quad 0 \leq t^* < 0.5 \quad (٢,٢٩)$$

$$1 - A^* = 1.414(1 - t^*)^{1.5} \quad 0.5 \leq t^* < 1.0 \quad (٢,٢٩ ب)$$

برغم عدم الضرورة المطلقة، فإن خطوة الزمن في الحسابات تؤخذ عادة على أنها نفس مدة الوحدة المختارة Δt . ويمكن حساب الإحداثيات الصادية للمنحنى المائي الوحدوي لكلا ركن عن طريق التالي:

$$B(t) = A[A^*(t) - A^*(t - \Delta t)] \quad (٢,٣٠)$$

$$q(t) = 2C_0 B(t) + C_1 q(t + \Delta t) \quad (٢,٣١)$$

$$U(t) = 0.5[q(t - \Delta t) + q(t)] \quad (٢,٣٢)$$

$$C_0 = \Delta t / (2K + \Delta t) \quad (٢,٣٣)$$

$$C_1 = 1 - 2C_0 \quad (٢,٣٤)$$

حيث إن K هي معامل التخزين بوحدات الزمن. وتكون هذه الطريقة مفيدة فقط عندما يكون موقع محدد أو قيمة إقليمية متاحة أو يمكن تقديرها. ويمكن إيجاد طرق لتقدير K في مراجع أخرى (مثل، Bras 1990; Ponce 1989; USACE 1960).

المنحنى المائي الوحدوي لسنايدر Snyder's Unit Hydrograph

لا تنتج هذه الطريقة المنحنى المائي الوحدوي الكامل. وهي تقدم اتساع القاعدة بالساعة، وقمة التدفق (m^3/s)، والاتساعات عند ٥٠٪ و ٧٥٪ من قمة

التدفق بالساعة وتكون مفيدة فقط عندما تكون القيم المعاييرة لمعاملات سنايدر C_p و t_L للمنطقة أو حوض الصرف متاحة. ويتم تقدير المعامل t_L ن المعادلة رقم (٢.٧) و C_p هو ثابت في المعادلة:

$$(٢,٣٥) \quad q_p = 2.78 C_p A / t_L$$

والقيم النموذجية لـ C_p هي ٠,٩٤ لأحواض الصرف الشبيهة بالتي توجد في جنوب كاليفورنيا، و ٠,٦٣ للشبيهة لمرتفعات أبلاشيان الجبلية، و ٠,٣١ للشبيهة بالأجزاء من الولايات التي تحده الساحل الشرقي للمكسيك. تفاصيل الطريقة موجودة في مراجع أخرى، مثل (SCE 1996; Chow 1964) بمعرفة C_p و t_L يمكن استخدام نموذج HEC-1 لتحديد المنحنى المائي الودوي لسنايدر. ويستخدم هذا النموذج طريقة المحاولة والخطأ للحصول على معاملات كلارك المناظرة وبالتالي ينتج المنحنى المائي الودوي. ويتم افتراض قيمة أولية لمعامل كلارك، K ، ويتم تقدير زمن التركيز من العلاقة، $t_c = t_L / 0.6$ ، ويتم حساب الإحداثي الصادي للمنحنى المائي الودوي من مدة الوحدة المرغوبة، Δt . وبالتالي يتم حساب قيم المحاولة لمعاملات سنايدر من:

$$(٢,٣٦) \quad C'_p = q'_p (t'_p - 0.5\Delta t) / (2.78A)$$

$$(٢,٣٧) \quad t'_L = 1.048 (t'_p - 0.75\Delta t)$$

حيث إن:

$t'_p =$ الزمن عندما تقع q'_p على الإحداثيات الصادية للرسم المائي الودوي لكلارك.

$q'_p =$ أقصى إحدائي صادي للرسم المائي الودوي.

القيم المفترضة مبدئياً لكل من t_c و K تضبط للتعويض عن الفروق بين

قيم C'_p و t'_L المحسوبة والقيم المعطاة لكل من C_p و t_L . ويعاد حساب مجموعة

جديدة من C_p' و t_L' حتى تصبح هذه القيم قريبة الاتفاق مع القيم المعطاة مع درجة اختلاف مقبولة (مثلاً ١٪). ثم تستخدم المجموعة النهائية لتصوير الإحداثي الصادي للمنحنيات المائية الوحودية لكلارك.

طريقة الموجة الكينيماتيكية Kinematic Wave Method

هذه الطريقة تدمج في نماذج HEC-1 و HEC-HMS (USACE 1991a, 2002) وتكون مفيدة عند تحديد المنحنيات المائية للجريان السطحي لأحواض الصرف الفرعية التي تكوّن التدفقات الجانبية إلى المجاري المائية. وهي مفيدة أيضاً عند تحديد المنحنيات المائية للجريان السطحي للتدفقات عبر الحدود الخطية لأحواض الصرف الفرعية. ويمكن تقسيم مساحة حوض النهر التي تساهم في التدفق الجانبي إلى المجرى المائي إلى وحدات فرعية منفصلة اعتماداً على ميل الأرض أو أنواع أغطية السطح أو اتجاه السريان. على سبيل المثال، ويمكن حساب الجريان السطحي إلى المجرى المائي من الجانب الأيمن والأيسر من الشاطئ باستخدام وحدتين فرعيتين مختلفتين لنفس حوض النهر. ويجب القيام بحسابات الجريان السطحي بشكل منفصل لكل وحدة فرعية. ويفترض أن يتدفق سقوط المطر الزائد جانبياً إلى المجرى المائي خلال قناة مستطيلة عريضة. ويتم استخدام كل من طول مسار التدفق L ، وميل الأرض S ، ومعامل ماننق للخشونة n ، والنسبة المئوية لمساحة حوض النهر الذي تمثله هذه الوحدة الفرعية، كمعاملات معطاة. ويختلف معامل ماننق للخشونة للجريان السطحي بشكل نموذجي من 0.5 للكساء الأخضر الكثيف إلى 0.10 للأعماق شديدة الضحلة على الأسطح المرصوفة بالخرسانة أو الإسفلت. ويستخدم معامل الخشونة وميل الأرض لحساب معاملات الموجة الكينيماتيكية α و m . وفي حالة القناة العريضة حيث يكون المحيط المبتل (الملامس للسائل المتدفق) مساوياً

تقريباً لعرض القناة، فإن تقريب الموجة الكينيماتيكية للتصرف Q ، هو:

(٢,٣٨)

$$Q = \alpha A^m$$

حيث إن:

$$\alpha = (1/n)S^{1/3}$$

$$m = 5/3$$

يعرف q بأنه معدل سقوط المطر الزائد لكل وحدة عرض من مسار التدفق إلى القناة.

معادلة التسلسل الناتجة مع تقريب الموجة الكينيماتيكية هي:

(٢,٣٩)

$$\partial A / \partial t + \alpha m A^{m-1} \partial A / \partial x = q$$

يتم حل الشكل المنفصل من المعادلة رقم (٢,٣٩) رقمياً لتحديد المنحنى المائي للجريان السطحي للتدفق البري لكل وحدة عرض من الوحدة الفرعية. ويقدر متوسط عرض الوحدة الفرعية عن طريق قسمة مساحته على متوسط الطول L . ويتم ضرب الإحداثيات الرأسية للمنحنيات المائية للجريان السطحي في هذا العرض للحصول على المنحنى المائي للجريان السطحي للوحدة الفرعية كاملاً. المنحنيات المائية للجريان السطحي من هذه الوحدات الفرعية تدمج مع المنحنى المائي الذي يدخل بداية المجرى المائي أو منشئ المياه الفرعي عند حافة منبع التدفق لكل وحدة فرعية. وتفصيل أكثر عن هذه الطريقة تجدها في مراجع أخرى (مثل، USACE 1991a, 2002).

عمق ومدة المطر التصميمي Design Storm Duration and Depth

يتم حساب مدة المطر (التساقط) التصميمي لمنشئ المياه باستخدام زمن الحركة المقدر للجريان السطحي من الحافة العلوية لمنشئ المياه إلى النقطة موضع الاهتمام خلال مسارات الجريان السطحي، والقنوات، والخزانات. وأوضحت دراسة لبيانات أقصى تدفق سنوي لأحد المجاري المائية في ولاية ميريلاند أن مدة تدفق مفاجئ (عاصفة) ٢٤ ساعة يمكن أن يكون ملائماً لمساحة صرف من ٥ - ١٣٠ كم^٢

(Levy MacCuen 1999). ويمكن استخدام مدد تدفق مفاجئ (عاصفة) أصغر لأحواض صرف أصغر بأزمنة تحرك أصغر للجريان السطحي، ومدة من ٢٤ - ٩٦ ساعة يمكن أن تكون ضرورية لأحواض صرف أكبر. ويمكن الحصول على أعماق التساقط لفترات العودة المرغوبة والمدد من NOAA Atlas2 للإحدى عشر ولاية غربية (NOAA 1973)، ومن TP-40 للولايات المجاورة الأخرى (Hershfield 1961)، والبحث العلمي رقم ٤٧ لآلاسكا (Miller 1963)، والبحث العلمي رقم ٤٣ لهاواي (USDOC 1962)، والبحث العلمي رقم ٤٢ لبورتوريكو وجزر فيرجين (USDOC 1961). وطرق تقدير متوسط أعماق التساقط المساحي من تقديرات النقطة محتواة أيضاً في هذه البحوث.

وللف مع الإحداثيات الرأسية للمنحنى المائي للوحدة، فإنه يجب تقسيم أعماق التساقط إلى فترات زمنية تساوي وحدة المدة ومتتالية لتقريب المدة الزمنية للتساقط في حالة التدفق المفاجئ موضع الاهتمام. وقد تم اقتراح طرق متعددة للتوزيع الزمني ولتتالي التساقط الزائد. وإذا كانت المنحنيات المائية لحدث سقوط المطر في الموقع المجاور متاحة، فإن التوزيع وتتالي التساقط الزائد لتدفق التصميم يجب أن يتم اختياره قريباً للتدفقات الملحوظة بقدر الإمكان. وبعض الطرق شائعة الاستخدام موضحة في الجزء التالي:

طريقة SCS Method

عبرت طريقة SCS عن التوزيع الزمني وتتالي ٢٤ ساعة سقوط مطر عن طريق أربعة منحنيات تطبق على مناطق مختلفة من الولايات المتحدة. والتوزيعات التقريبية لأعماق التساقط المناسبة لاستخدام الحاسب مبينة في الجدول رقم (٢.١٤) (USDA 1986; Ponce 1989).

توزيع النوع ١ يطبق على هاواي، والجانب الساحلي من سيرا نيفادا في جنوب كاليفورنيا، والمناطق الداخلية من ألاسكا. النوع ١١ يمثل المناطق على الجانب الساحلي من سيرا نيفادا وجبال كاسكاد في أوريغون وواشنطن وشمال كاليفورنيا والمناطق الساحلية في ألاسكا. ويمثل النوع ٣ خليج المكسيك والمناطق الساحلية الأطلنطية حيث تجلب العواصف الاستوائية كميات كبيرة من سقوط المطر في ٢٤ ساعة. ويطبق النوع ٢ على بقية الولايات المتحدة وبورتوريكو وجزر فيرجين. إن توزيعات النوع ٢ والنوع ٣ شبيهة جدا لبعضها البعض.

الجدول رقم (٢، ١٤). التوزيع الزمني وتتالي عواصف التصميم.

المدة (ساعة)	النوع ١	النوع ١١	النوع ٢	النوع ٣
٠	٠,٠٠٠٠٠	٠,٠٠٠٠٠	٠,٠٠٠٠٠	٠,٠٠٠٠٠
٠,٥	٠,٠٠٨٧١	٠,٠١٠٠٠	٠,٠٠٥١٣	٠,٠٠٥٠٠
١,٠	٠,٠١٧٤٥	٠,٠٢٠٠٠	٠,٠١٠٥٠	٠,٠١٠٠٠
١,٥	٠,٠٢٦٢١	٠,٠٣٥٠٠	٠,٠١٦١٣	٠,٠١٥٠٠
٢,٠	٠,٠٣٥٠٠	٠,٠٥٠٠٠	٠,٠٢٢٠٠	٠,٠٢٠٠٠
٢,٥	٠,٠٤٤١٦	٠,٠٦٦٠٠	٠,٠٢٨١٣	٠,٠٢٥١٩
٣,٠	٠,٠٥٤٠٥	٠,٠٨٢٠٠	٠,٠٣٤٥٠	٠,٠٣٠٧٥
٣,٥	٠,٠٦٤٦٦	٠,٠٩٨٠٠	٠,٠٤١١٣	٠,٠٣٦٦٩
٤,٠	٠,٠٧٦٠٠	٠,١١٦٠٠	٠,٠٤٨٠٠	٠,٠٤٣٠٠
٤,٥	٠,٠٨٧٨٤	٠,١٣٥٠٠	٠,٠٥٥٢٥	٠,٠٤٩٦٩
٥,٠	٠,٠٩٩٩٥	٠,١٥٦٠٠	٠,٠٦٣٠٠	٠,٠٥٦٧٥
٥,٥	٠,١١٢٣٤	٠,١٨٠٠٠	٠,٠٧١٢٥	٠,٠٦٤١٩
٦,٠	٠,١٢٥٠٠	٠,٢٠٦٠٠	٠,٠٨٠٠٠	٠,٠٧٢٠٠

تابع الجدول رقم (٢، ١٤).

النوع ٣	النوع ٢	النوع ١	النوع ١	المدة (ساعة)
٠,٠٨٠٦٣	٠,٠٨٩٢٥	٠,٢٣٧٠٠	٠,١٣٩١٥	٦,٥
٠,٠٩٠٥٠	٠,٠٩٩٠٠	٠,٢٦٨٠٠	٠,١٥٦٠٠	٧,٠
٠,١٠١٦٣	٠,١٠٩٢٥	٠,٣١٠٠٠	٠,١٧٤٦٠	٧,٥
٠,١١٤٠٠	٠,١٢٠٠٠	٠,٤٢٥٠٠	٠,١٩٤٠٠	٨,٠
٠,١٢٨٤٤	٠,١٣٢٢٥	٠,٤٨٠٠٠	٠,٢١٩٠٠	٨,٥
٠,١٤٥٧٥	٠,١٤٧٠٠	٠,٥٢٠٠٠	٠,٢٥٤٠٠	٩,٠
٠,١٦٥٩٤	٠,١٦٣٠٠	٠,٥٥٠٠٠	٠,٣٠٣٠٠	٩,٥
٠,١٨٩٠٠	٠,١٨١٠٠	٠,٥٧٧٠٠	٠,٥١٥٠٠	١٠,٠
٠,٢١٦٥٠	٠,٢٠٤٠٠	٠,٦٠١٠٠	٠,٥٨٣٠٠	١٠,٥
٠,٢٥٠٠٠	٠,٢٣٥٠٠	٠,٦٢٤٠٠	٠,٦٢٣٠٠	١١,٠
٠,٢٩٨٠٠	٠,٢٨٣٠٠	٠,٦٤٥٠٠	٠,٦٥٥٥٠	١١,٥
٠,٥٠٠٠٠	٠,٦٦٣٠٠	٠,٦٦٤٠٠	٠,٦٨٤٠٠	١٢,٠
٠,٧٠٢٠٠	٠,٧٣٥٠٠	٠,٦٨٣٠٠	٠,٧٠٩٢٥	١٢,٥
٠,٧٥٠٠٠	٠,٧٧٢٠٠	٠,٧٠١٠٠	٠,٧٣٢٠٠	١٣,٠
٠,٧٨٣٥٠	٠,٧٩٩٠٠	٠,٧١٩٠٠	٠,٧٥٢٢٥	١٣,٥
٠,٨١١٠٠	٠,٨٢٠٠٠	٠,٧٣٦٠٠	٠,٧٧٠٠٠	١٤,٠
٠,٨٣٤٠٦	٠,٨٣٧٦٣	٠,٧٥٢٨١	٠,٧٨٦٢٥	١٤,٥
٠,٨٥٤٢٥	٠,٨٥٣٥٠	٠,٧٦٩٢٤	٠,٨٠٢٠٠	١٥,٠
٠,٨٧١٥٦	٠,٨٦٧٦٣	٠,٧٨٥٢٩	٠,٨١٧٢٥	١٥,٥
٠,٨٨٦٠٠	٠,٨٨٠٠٠	٠,٨٠٠٩٦	٠,٨٣٢٠٠	١٦,٠
٠,٨٩٨٣٨	٠,٨٩١١٩	٠,٨١٦٢٥	٠,٨٤٦٢٥	١٦,٥
٠,٩٠٩٥٠	٠,٩٠١٧٥	٠,٨٣١١٦	٠,٨٦٠٠٠	١٧,٠

تابع الجدول رقم (٢، ١٤).

المدة (ساعة)	النوع ١	النوع ١ أ	النوع ٢	النوع ٣
١٧,٥	٠,٨٧٣٢٥	٠,٨٤٥٦٩	٠,٩١١٦٩	٠,٩١٩٣٨
١٨,٠	٠,٨٨٦٠٠	٠,٨٥٩٨٤	٠,٩٢١٠٠	٠,٩٢٨٠٠
١٨,٥	٠,٨٩٨٢٥	٠,٨٧٣٦١	٠,٩٢٩٦٩	٠,٩٣٥٨١
١٩,٠	٠,٩١٠٠٠	٠,٨٨٧٠٠	٠,٩٣٧٧٥	٠,٩٤٣٢٥
١٩,٥	٠,٩٢١٢٥	٠,٩٠٠٠١	٠,٩٤٥١٩	٠,٩٥٠٣١
٢٠,٠	٠,٩٣٢٠٠	٠,٩١٢٦٤	٠,٩٥٢٠٠	٠,٩٥٧٠٠
٢٠,٥	٠,٩٤٢٢٥	٠,٩٢٤٨٩	٠,٩٥٨٤٤	٠,٩٦٣٣٦
٢١,٠	٠,٩٥٢٠٠	٠,٩٣٦٧٦	٠,٩٦٤٧٥	٠,٩٦٩٤٤
٢١,٥	٠,٩٦١٢٥	٠,٩٤٨٢٥	٠,٩٧٠٩٤	٠,٩٧٥٢٣
٢٢,٠	٠,٩٧٠٠٠	٠,٩٥٩٣٦	٠,٩٧٧٠٠	٠,٩٨٠٧٥
٢٢,٥	٠,٩٧٨٢٥	٠,٩٧٠٠٩	٠,٩٨٢٩٤	٠,٩٨٥٩٨
٢٣,٠	٠,٩٨٦٠٠	٠,٩٨٠٤٤	٠,٩٨٨٧٥	٠,٩٩٠٩٤
٢٣,٥	٠,٩٩٣٢٥	٠,٩٩٠٤١	٠,٩٩٤٤٤	٠,٩٩٥٦١
٢٤,٠	١,٠٠٠٠٠	١,٠٠٠٠٠	١,٠٠٠٠٠	١,٠٠٠٠٠

المصدر: (USDA (1986) ; Ponce (1989).

منهج نموذج HEC-1 Model Approach

يستخدم هذا النموذج قيم محددة من أعماق التساقط في فترات ٥، ١٥، ٦٠ دقيقة و ٢، ٣، ٦، ١٢، ٢٤، ٩٦، ١٦٨، ١٤٠ ساعة اعتماداً على مدة تدفق عاصفة التصميم. ويكون النموذج توزيعاً مثلثاً بعمق نزول مطر محدد لأي مدة يحدث أثناء الجزء المركزي من التدفق المفاجئ (العاصفة). وتعتبر هذه الطريقة مناسبة للحالات التي لا يمكن تحديد متتاليات الموقع المحددة للتساقط الزائد.

فواقد التربة Soil Losses

تشمل فواقد التربة الجزء من التساقط الذي يفقد بسبب التسرب والنتح والحجز بالكساء الأخضر ومخزون الانخفاض والتبخر. وطرق تقدير فواقد التربة بسيطة نسبياً في الاستخدام ولا تتطلب وجود معاملات. وبعض الصعوبات النسبية التي تواجه الحصول على فواقد التربة موضحة في الجزء التالي:

١ - الفقد الأولي الثابت (مم) المتبوع بمعدل الفقد المنتظم (مم/الساعة). تعد هذه مناسبة لأحواض الصرف التي تكون متاحاً فيها القيم المعاييرة للفقد المنتظم ومعدل الفقد المنتظم لحدث التدفق المفاجئ (العاصفة) الشبيهة بتلك التي يطور لأجلها المنحنى المائي للجريان السطحي. ويفقد التساقط بأكمله حتى يكتمل الفقد الأولي الموصوف مسبقاً. بالتالي يحدث الفقد في التساقط بالمعدل المنتظم الموصوف مسبقاً.

٢ - طريقة رقم المنحنى (USDA 1972, 1985; ASCE 1996). في هذه الطريقة يخصص رقم منحنى (CN) لكل مكون من مناشئ المياه اعتماداً على نوع التربة واستخدام الأرض وأحوال الرطوبة الأولية للتربة. وإن إحصائيات التربة المنشورة لمعظم المدن بالولايات المتحدة متاحة في كثير من المكتبات والمكاتب المحلية لهيئة المحافظة على الموارد الطبيعية. وتصنف أنواع التربة إلى أربع مجموعات تربة هيدرولوجيا:

أ) أنواع التربة ذات معدلات التسرب العالي حتى عندما تكون مبتلة تماماً وتتكون بشكل رئيس من رمال أو حصى جيدة الصرف إلى زائدة الصرف. وهذه الأنواع لها إمكانية جريان سطحي منخفض ويخصص لها أرقام منحنى منخفضة.

ب) الأنواع ذات معدلات التسرب المتوسط عندما تكون مبتلة تماماً وتتكون بشكل رئيس من أنواع التربة العميقة والمتوسطة إلى جيدة الصرف ذات القوام متوسط النعومة إلى القوام متوسط الخشونة.

ج) الأنواع ذات معدلات التسرب القليل عندما تكون مبتلة تماماً وتتكون بشكل رئيس من أنواع التربة ذات الطبقات التي تعيق حركة المياه لأسفل أو أنواع التربة ذات القوام متوسط النعومة إلى القوام الناعم. وهذه الأنواع لها إمكانية جريان سطحي عالي نسبياً ويخصص لها أرقام منحني عالية بشكل متوسط.

د) الأنواع التي لها معدلات تسرب قليل جداً عندما تكون مبتلة تماماً وتتكون بشكل رئيس من أنواع التربة الطينية ذات إمكانية انتفاخ عالية وأنواع التربة التي لها منسوب مياه عالي بشكل دائم وأنواع التربة التي بها طبقة طينية عند أو قريباً من السطح وأنواع التربة قليلة العمق فوق طبقة غير منفذة تقريباً. وهذه الأنواع لها إمكانية جريان سطحي عالية ويخصص لها أرقام منحني عالية.

أحوال رطوبة التربة الناتجة من الظروف الجوية التي تسبق حدوث العاصفة المطرية التي يطور لها المنحني المائي للجريان السطحي، يشار لها على أنها أحوال الرطوبة الأولية (AMC). وتنقسم أحوال الرطوبة الأولية إلى ثلاث حالات:

١ - أحوال الرطوبة الأولية ١: وهي تمثل الحالة التي تكون التربة فيها جافة لكن ليس لحد نقطة الذبول والتساقط المقدم (خلال ٥ أيام قبل حدوث التدفق المفاجئ) يكون أقل من ١٣ مم لموسم السكون وأقل من حوالي ٣٦ مم لموسم نمو المحصول.

٢- أحوال الرطوبة الأولية ٢: وهي تمثل متوسط الأحوال التي تمثل العواصف السنوية عندما يكون التساقط المقدم من ١٣ إلى ٢٨ مم لموسم السكون ومن ٣٦ إلى ٥٣ مم لموسم نمو المحصول.

٣- أحوال الرطوبة الأولية ٣: وهي تمثل أحوال سقوط المطر الغزير (أكبر من ٢٨ مم أثناء موسم السكون وأكبر من ٥٣ مم أثناء موسم نمو المحصول) أو أن سقوط المطر الخفيف ودرجات الحرارة المنخفضة قد حدثت خلال ٥ أيام سابقة على حدوث العاصفة المطرية.

وطبقاً لطريقة رقم المنحنى:

$$Q = (P - I_a)^2 / [P + 0.8 S_a] \quad (٢,٤٠)$$

حيث إن:

Q = الجريان السطحي (سم).

P = التساقط الكلي (سم).

S_a = أقصى احتجاز محتمل كما هو محدد في المعادلة رقم (٢,٦) (سم).

I_a = التسرب الأولي (سم) $= 0.2 S_a$.

وإذا كانت $P \leq I_a$ فلا يكون هناك جريان سطحي.

أرقام المنحنى في حالة أحوال الرطوبة الأولية ٢ معطاة في الجدول رقم (٢,١٥) (USDA 1972, 1985). وأرقام المنحنى المناظرة لأحوال الرطوبة الأولية ١ وأحوال

الرطوبة الأولية ٣ يمكن تقديرها باستخدام المعادلات التالية (Hawkins et al. 1985):

$$CN_I (CN_s \text{ for AMCI}) = CN_{II} / (2.3 - 0.013 CN_{II}) \quad (٢,٤١)$$

$$CN_{III} (CN_s \text{ for AMCIII}) = CN_{II} / (0.43 + 0.0057 CN_{II}) \quad (٢,٤٢)$$

إذا كان مناشئ المياه يحتوى على أجزاء بها أنواع عديدة من التربة وتركيبات غطاء التربة، ورقم المنحنى المناسب CN_s مخصص لكل جزء ويمكن تقدير رقم المنحنى CN الموزون لكامل مناشئ المياه باستخدام المعادلة:

$$CN(\text{weighted}) = CN(1)A_1 + CN(2)A_2 + \dots + CN(n)A_n \quad (٢,٤٣)$$

حيث إن:

$CN(1)A_1$ = رقم المنحنى ١ والمساحة ١ على الترتيب، وهكذا لباقي الأجزاء المختلفة.

n = العدد الكلي للأجزاء في مناشئ المياه.

الجدول رقم (٢,١٥). أرقام منحنى الجريان السطحي النموذجية (AMCII و $I_a = 0.2 S_a$).

مجموعة التربة الهيدرولوجيا				الغطاء		
D	C	B	A	الظروف الهيدرولوجيا	المعالجة أو الممارسة	استخدام الأرض
٩٤	٩١	٨٦	٧٧	-	صف مستقيم	أرض محروثة بدون زراعة
٩١	٨٨	٨١	٧٢	فقيرة	صف مستقيم	محاصيل صفية
٨٩	٨٥	٧٨	٦٧	جيدة		
٨٨	٨٤	٧٩	٧٠	فقيرة	خطوط كتورية	
٨٦	٨٢	٧٥	٦٥	جيدة		
٨٢	٨٠	٧٤	٦٦	فقيرة	خطوط كتورية مسورة	
٨١	٧٨	٧١	٦٢	جيدة		
٨٨	٨٤	٧٦	٦٥	فقيرة	صف مستقيم	حبوب صغيرة
٨٧	٨٣	٧٥	٦٣	جيدة		
٨٥	٨٢	٧٤	٦٣	فقيرة	خطوط كتورية	
٨٤	٨١	٧٣	٦١	جيدة		

تابع الجدول رقم (٢, ١٥).

مجموعة التربة الهيدرولوجيا				الغطاء		
D	C	B	A	الظروف الهيدرولوجيا	المعالجة أو الممارسة	استخدام الأرض
٨٢	٦٩	٧٢	٦١	فقيرة	خطوط كتورية مسورة	
٨١	٧٨	٧٠	٥٩	جيدة		
٨٩	٨٥	٧٧	٦٦	فقيرة	صف مستقيم	بذور إنتاج وبقول
٨٥	٨١	٧٢	٥٨	جيدة		مروج خضراء ومراعي
٨٥	٨٣	٧٥	٦٤	فقيرة	خطوط كتورية	مبذورة أو مثورة بالحبوب
٨٣	٧٨	٦٩	٥٥	جيدة		
٨٣	٨٠	٧٣	٦٣	فقيرة	خطوط كتورية مسورة	
٨٠	٧٦	٦٧	٥١	جيدة		
٨٩	٨٦	٧٩	٦٨	فقيرة	عام	مراعي أو سلاسل جبال
٨٤	٧٩	٦٩	٤٩	متوسطة		
٨٠	٧٤	٦١	٣٩	جيدة		
٧٨	٧١	٥٨	٣٠	جيدة	عام	أرض خضراء
٨٣	٧٧	٦٦	٤٥	فقيرة	عام	أخشاب
٧٩	٧٣	٦٠	٣٦	متوسطة		
٧٧	٧٠	٥٥	٢٥	جيدة		
٨٦	٨٢	٧٤	٥٩	عام	عام	مزارع
٨٩	٨٧	٨٢	٧٢	عام	تراب	طرق
٩٢	٩٠	٨٤	٧٤	عام	سطح صلب	
٨٩	٨٦	٧٩	٦٨	فقيرة	غطاء عشبي > ٥٠٪	أرض فضاء (حدائق،
٨٤	٧٩	٦٩	٤٩	متوسطة	غطاء عشبي ٥٠-٧٥٪	مروج، ملاعب جولف،

تابع الجدول رقم (٢، ١٥).

مجموعة التربة الهيدرولوجيا				الغطاء		
D	C	B	A	الظروف الهيدرولوجيا	المعالجة أو الممارسة	استخدام الأرض
٨٠	٧٤	٦١	٣٩	جيدة	غطاء عشبي < ٧٥٪	مقابر، الخ
٩٥	٩٤	٩٢	٨٩	عام	عام	مناطق تجارية وعمالية (٨٥٪ غير منفذة)
٩٣	٩١	٨٨	٨١	عام	عام	أحياء صناعية (٧٢٪ غير منفذة)
٩٢-٨٢	٩٠-٧٧	٨٥-٦٥	٧٧-٤٦	أحجام من ٨/١ إلى ٢ ايكر	تقل أرقام المنحنى مع الزيادة في حجم القطعة.	مناطق سكنية
٩٨-٩٥	٩٨-٩٥	٩٨-٩٥	٩٨-٩٥	عام	عام	أماكن انتظار السيارات

المصدر: (USDA (1972, 1985).

الجليد الذائب وأحمال الجليد Snowmelt and Snow Loads

طريقة بسيطة لتقدير مساهمة الجليد الذائب للزيادة في نزول المطر هي استخدام طريقة الدرجة-اليوم، كما في المعادلة التالية:

$$S_m = C_m (T - T_m) \quad (٢, ٤٤)$$

حيث إن:

 S_m = الجليد الذائب في اليوم (مم).

 T = درجة حرارة الهواء (م°) عند نقطة منتصف منطقة المجموعة الجليدية

أثناء الفاصل الزمني الذي يحسب فيه الجليد الذائب.

$$T_m = \text{درجة حرارة الهواء التي يذوب عندها الجليد (°م)}.$$

$$C_m = \text{معامل الذوبان لكل درجة / يوم (مم / م°)، عادة حوالي ٣,٢٠}.$$

غالباً لا تكون درجات حرارة الهواء عند ارتفاعات مختلفة في منطقة المجموعة الجليدية متاحة. ولتقدير درجات حرارة الهواء عند ارتفاعات مختلفة من القيم المعروفة عند أحد الارتفاعات، يمكن استخدام معدل متوسط الفقد في درجة الحرارة مع التغير في الارتفاع. والقيمة النموذجية لمعدل الفقد في درجة الحرارة ٠,٦ م° لكل ١٠٠ م تغير في الارتفاع.

إذا كانت البيانات التي تتعلق بدرجات حرارة الهواء عند ارتفاعات مختلفة وسرعة الرياح متاحة، فيمكن تقسيم مساهمة الجليد الذائب أثناء المطر باستخدام المعادلة رقم (٢.٤٥) أو المعادلة رقم (٢.٤٦) (Chow 1964):

• في حالة المساحات المفتوحة (أقل من ١٠٪ غطاء) أو المجمدة جزئياً (من ١٠

إلى ٦٠٪ غطاء) من حوض النهر:

$$(٢,٤٥) \quad S_m = [1.326 + 0.2386 kv + +0.0126 P]T + 2.29$$

• في حالة المساحات شديدة التجمد (أكبر من ٨٠٪ غطاء):

$$(٢,٤٦) \quad S_m = [3.383 + 0.0126 P]T + 1.27$$

حيث إن:

$$S_m = \text{الجليد الذائب يومياً (مم)}.$$

$$T_a = \text{متوسط درجة الحرارة للهواء المشيع (°م) عند مستوى ٣,٠ م}.$$

$$v = \text{متوسط سرعة الرياح (كم/ الساعة) عند مستوى ١٥,٢ م}.$$

$$P = \text{معدل التساقط (مم/ اليوم) في الأجزاء المفتوحة من حوض النهر}.$$

$k =$ معامل التغير من ٠,٣ للمساحات المجمدة إلى ١,٠ للسهول غير المجمدة.

وفي الغالب، يكون مطلوباً من مهندس مصادر المياه القيام بحساب أحمال المطر والجليد على أسقف المباني الصناعية (مثل، أبنية محطة الطاقة النووية) وبعض المباني السكنية. وإذا كان هناك سور لسقف المبنى يعمل على الاحتفاظ بكل من المطر أو الجليد على السطح، فإنه يمكن تقدير حمل السقف باستخدام أعماق التصميم ووحدة الأوزان من الجليد ومياه المطر. والمتوسط الأولي للجاذبية النوعية للجليد حوالي ٠.١٠. وفي بعض الحالات يتبع تساقط الجليد كميات صغيرة من سقوط المطر المتقطع. وعند سقوط مياه الأمطار على الجليد يلبّد الجليد ويمتص الماء حتى يصل للعتبة عندما يبدأ تصريف المياه الزائدة. وتكون متوسط الجاذبية النوعية للجليد الملبّد حوالي ٠.٤٠. والخطوات الحسابية لتقدير أحمال السقف بسبب الجليد الملبّد على الأسقف بدون وجود أسوار مدونة أدناه:

- احسب متوسط الفاصل الزمني للتكرار ١٠٠ عام لحمل الجليد على الأرض في الموقع موضع الاهتمام من الخرائط المتاحة (مثل 1972 NBS).
- احصل على حمل الجليد المناظر على السقف عن طريق ضرب حمل الجليد على الأرض في معامل حمل الجليد الأساسي ٠,٨. ويمكن أن يقل هذا المعامل للأسقف المائلة بسبب ترحلق الجليد، ويزداد المعامل في حالة تراكم الجليد على السقف المعالجة بالقار أو المنحنية.
- احصل على عمق الجليد h_0 (م)، من حمل الجليد الأولي المحسوب على السقف باستخدام جاذبية نوعية تساوي ٠,١٠.

• احصل على مكافئ الماء الأولي للجليد H_0 (م)، باستخدام العلاقة:

$$H_0 = 0.10 h_0$$

• احصل على أعماق الجليد الملبّد h (م)، ومكافئه للماء H (م)، عند حالة

العتبة باستخدام العلاقات التجريبية (USBR 1966):

$$H = 0.4 h \quad (٢, ٤٧)$$

$$h/h_0 = 1.474 - 0.474 H/H_0 \quad (٢, ٤٨)$$

• احسب حمل السقف من الجليد الملبّد لعمق الماء المكافئ H (م).

مثال رقم (٢, ٧): احسب حمل السقف من الجليد الملبّد على مبنى قرب ميلوكي، ويسكنسون.

الحل:

متوسط ١٠٠ سنة للفواصل الزمني لتكرار حمل الجليد على الأرض يساوي

$$146.5 \text{ كجم/م}^2 \text{ (NSB 1972)، حمل الجليد المناظر على السقف =}$$

$$0.80 \times 146.5 = 117.2 \text{ kg/m}^2$$

= عمق الجليد الأولي

$$h_0 = 117.2 / (0.10 \times 1000) = 1.172 \text{ m}$$

= مكافئ الماء الأولي

$$H_0 = 0.10 h_0 = 0.1172 \text{ m}$$

$$h/h_0 = H / (0.4 h_0) = 1.474 - 0.474 H/H_0$$

بالتالي:

$$H = 0.2386 \text{ m}$$

حمل السقف الناتج عن الجليد الملبّد =

$$0.2386 \times 1000 = 238.6 \text{ kg/m}^2$$

تدفق القاعدة Base Flow

تم اقتراح عدد من الطرق لتقدير تدفق القاعدة (مثل ASCE 1996). عادةً تدفق القاعدة هو مكون صغير من المنحنى المائي للفيضان ويصعب التحقق من تقديراتها. ما لم تكن القيم المعاييرة معروفة، يمكن إيجاد تدفق قاعدة ثابت معقول لمعظم الأغراض العملية. هذه القيمة الثابتة يمكن أن تكون مساوية تقريباً لتدفق المناخ الجاف عند نقطة الحسابات.

المنحنيات المائية المدججة والتخديد خلال القنوات

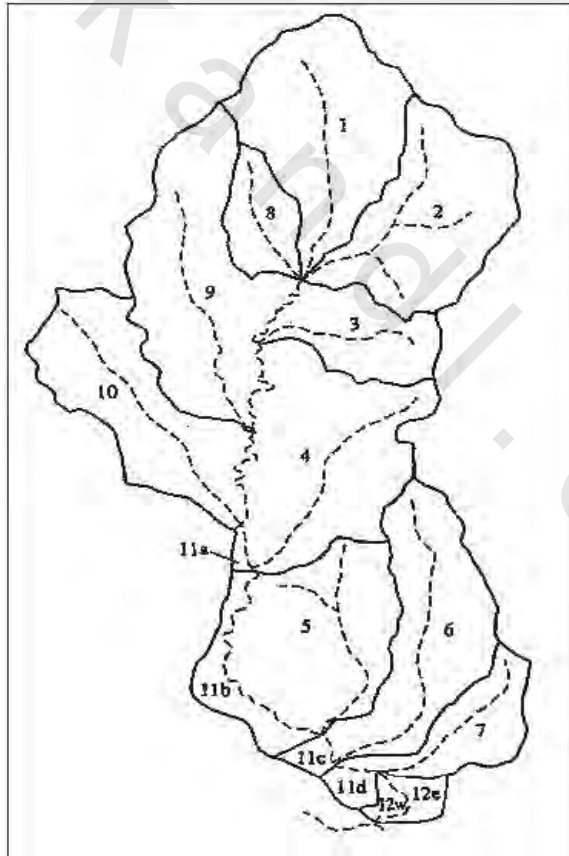
Combining Hydrographs and Routing Through Channels

المنحنيات المائية للجريان السطحي لمناسخ المياه الفرعية المتعددة يجب أن يتم دمجها عند نقاط اتصال مختلفة على طول المجرى المائي الرئيس. وفي بعض الأحيان يجب أن يتم تأخير المنحنيات البيانية قبل الدمج والتخديد. هناك طرق عديدة متاحة للمنحنيات المائية للتخديد خلال قنوات المجرى المائي (مثل، USACE 1991a, 2002; ASCE 1996). واعتماداً على سهولة تقدير المعاملات المطلوبة يمكن استخدام أي من هذه الطرق. إن طرق إعاقه المنحنى المائي بعدد محدد من الخطوات الزمنية، رغم أنه مباشر، يمكن أن يتطلب تعديل المدخل لنماذج مختلفة. وفي حالة نموذج HEC-1 يمكن أن يكون استخدام خيارات موسكينجيم أو سترادلستاجر مناسباً. وفي هذه الحالات يمكن اعتبار معاملات الفقد في القناة على أنها تساوى صفر. ويمكن وضع خطوات التخديد على أنها تسوى ١، ويؤخذ متوسط عدد الإحداثيات الرأسية على أنه يساوى صفر (انظر كتيبات المستخدم HEC-1 أو HEC-HMS ونموذج USACE 1991a, 2002).

مثال رقم (٢،٨): طور منحنى مائي لفيضان في ١٠٠ سنة لمنشأة مياه بمساحة ٦،٠٤٤ كم^٢، موضحة في الشكل رقم (٢،٣).

الحل:

١- قسم منشأة المياه إلى ١٢ منشأ مياه فرعي كما هو موضح في الشكل رقم (٢،٣)، منشأ المياه الفرعية من ١ إلى ١٠ لها منافذ نقطة ومنحنيات مائية وحدوية يجب أن يتم تحديدها لهم. منشأ المياه الفرعية ١١ و ١٢ تساهم في التدفق الجانبي ويتم تحليلها باستخدام طريقة الموجة الكينيةاتيكية. ولهذا الغرض يتم تقسيم المنشأ الفرعي ١١ أيضاً إلى ١١(أ) و ١١(ب) و ١١(ج) و ١١(د)، والمنشأ الفرعي ١٢ إلى ١٢(و) و ١٢(ز).



الشكل رقم (٢،٣). خريطة منشأ المياه.

٢- من خرائط التربة والطبوغرافية الخاصة بمناشئ المياه، احسب معاملات الموجة الكينيماتيكية والهيدروليكية كما هو موضح في الجداول رقم (٢، ١٦) والجداول رقم (٢، ١٦) ب).

الجدول رقم (٢، ١٦). المعاملات الهيدروليكية لمناشئ المياه الفرعية.

المعاملات الهيدروليكية						النشئ الفرعي
للمياه	D.A. (كم ^٢)	L (كم)	H (م)	t _c (ساعة)	t _t (ساعة)	CN
١	٧,٦١	٥,٤٩	٤٥,٧٢	١,٥٥	٠,٩٣	٦٥
٢	٦,٥٨	٤,٤٣	٤٨,٧٧	١,١٨	٠,٧١	٦٥
٣	٣,١٦	٢,٧٢	٥٣,٣٤	٠,٦٥	٠,٣٩	٦٥
٤	٨,١٨	٤,٧٣	٧٦,٨١	١,٠٧	٠,٦٤	٦٥
٥	٧,٤٣	٤,١٢	٥٧,٩١	١,٠٢	٠,٦١	٦٥
٦	٦,٢١	٦,٢٤	٨٥,٥٦	١,٤١	٠,٨٥	٦٥
٧	٢,٥٤	٣,٣٥	٣٢,٠٠	١,٠٠	٠,٦٠	٦٥
٨	١,٩٤	٢,٨٠	٤٣,٣٨	٠,٦٩	٠,٤٢	٦٥
٩	٧,٩٨	٦,٥٥	٦٨,٥٨	١,٦٣	٠,٩٨	٦٥
١٠	٦,٣٢	٥,٤٩	٦٧,٣٦	١,٣٤	٠,٨٠	٦٥

D.A. = منطقة الصرف، L = الطول الهيدروليكي، H = اختلاف المناسيب بين حافتي المنبع والمصب.

٣- قم بإعداد المنحنى البياني لشبكة العمل الهيدرولوجية كما هو موضح في الشكل رقم (٢، ٤).

٤- قم بإعداد حسابات تتالي سقوط المطر والجريان السطحي كما هو موضح في الجدول رقم (٢، ١٦) ج).

- ٥- احسب التوزيع الزمني لأعماق التساقط.
- ٦- استخدم المدخل المطور في الخطوات السابقة للنموذج المختار لتحديد المنحنى المائي للجريان السطحي لكل منشئ من منشئ المياه وادمجها لتحديد المنحنى المائي للجريان السطحي لمنشئ المياه بأكمله.
- ٧- قارن القيمة المقدرة للمنحنى المائي لمنشئ المياه بالتقديرات باستخدام طرق أخرى كما هو موضح في الجدول رقم (١١، ٢).

الجدول رقم (١٦، ٢ ب). معاملات الموجة الكينيماتيكية لمنشئ المياه الفرعية ١١ و ١٢.

متغيرات القنوات الأساسية					متغيرات التدفق الجانبي					الخط الفرعي لتقسيم المياه
Z	W.D.	S	L	نسبة المنطقة n	S	L	D.A. (كم ^٢)			
٢,٠	٣,٠٥	٠,٠٠٢٦	١١٥٨,١٨	١٠٠	٠,٣٠	٠,٠٥٠	٢١٣,٣٥	٠,٢١	١١ (أ)	
٢,٠	٣,٠٥	٠,٠٠٢٥	٤٢٦٧,٠٠	١٠٠	٠,٢٠	٠,٠٠٨	٣٦٥,٧٤	١,٤٨	١١ (ب)	
٢,٠	٣,٠٥	٠,٠٠٢٣	٩١٤,٣٦	١٠٠	٠,٢٠	٠,٠٠٥	٦٠٩,٥٧	٠,٣٦	١١ (ج)	
٢,٠	٣,٠٥	٠,٠٠٠٩	١٠٦٦,٧٥	١٠٠	٠,٢٠	٠,٠٠٨	٤٥٧,١٨	٠,٤٤	١١ (د)	
N.A.	N.A.	N.A.	N.A.	٣٢	٠,٣٠	٠,٠١٥	٣٠٤,٧٩	٠,٣١	١٢ (و)	
٢,٠	٣,٦٦	٠,٠٠٠٩	١٦٧٦,٣٢	٦٨	٠,٣٠	٠,٠١٠	٤٥٧,١٨	٠,٦٢	١٢ (ز)	

L = الطول (م)، S = الميل (م/م)، W.D. = عرض قاع القناة المقرب بشبه المنحرف (م)

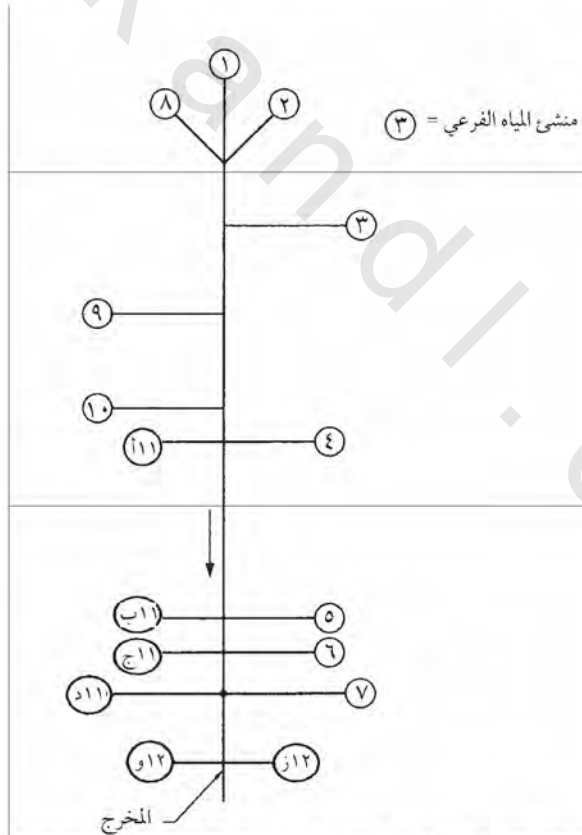
Z = ميل القاع (أفقي: رأسي)، N.A. = لا يمكن تطبيقه.

الجدول رقم (١٦، ٢ ج). حسابات تتالي سقوط المطر - الجريان السطحي.

- ١ تحديد المنحنى المائي لمنشئ المياه الفرعي ١.
- ٢ تحديد المنحنى المائي لمنشئ المياه الفرعي ٢.
- ٣ تحديد المنحنى المائي لمنشئ المياه الفرعي ٨.
- ٤ دمج المنحنيات المائية لمنشئ المياه الفرعية ١، ٢، ٨.
- ٥ التخديد خلال القناة حتى مخرج منشئ المياه الفرعي ٣.
- ٦ تحديد المنحنى المائي لمنشئ المياه الفرعي ٣.
- ٧ دمج المنحنيات المائية لمنشئ المياه الفرعية ١، ٢، ٨، ٣.
- ٨ التخديد خلال القناة حتى مخرج منشئ المياه الفرعي ٩.
- ٩ تحديد المنحنى المائي لمنشئ المياه الفرعي ٩.
- ١٠ دمج المنحنيات المائية لمنشئ المياه الفرعية ١، ٢، ٨، ٣، ٩.
- ١١ التخديد خلال القناة حتى مخرج منشئ المياه الفرعي ١٠.
- ١٢ تحديد المنحنى المائي لمنشئ المياه الفرعي ١٠.
- ١٣ دمج المنحنيات المائية لمنشئ المياه الفرعية ١، ٢، ٨، ٣، ٩، ١٠.
- ١٤ تحديد المنحنى المائي للتدفق الجانبي من منشئ المياه الفرعي ١١ وتحديد المنحنى المائي المدمج لمخرج منشئ المياه الفرعي ٤ (باستخدام منهج الموجة الكينماتيكية لنموذج HEC-1).
- ١٥ تحديد المنحنى المائي لمنشئ المياه الفرعي ٤.
- ١٦ دمج المنحنيات المائية لمنشئ المياه الفرعية ١، ٢، ٨، ٣، ٩، ١٠، ١١، ٤.
- ١٧ تحديد المنحنى المائي للتدفق الجانبي من منشئ المياه الفرعي ١١ ب وتحديد المنحنى المائي المدمج لمخرج منشئ المياه الفرعي ٥ (باستخدام منهج الموجة الكينماتيكية لنموذج HEC-1).
- ١٨ تحديد المنحنى المائي لمنشئ المياه الفرعي ٥.
- ١٩ دمج المنحنيات المائية لمنشئ المياه الفرعية ١، ٢، ٨، ٣، ٩، ١٠، ١١، ٤، ١١ ب، ٥.
- ٢٠ تحديد المنحنى المائي للتدفق الجانبي من منشئ المياه الفرعي ١١ ج وتحديد المنحنى المائي المدمج لمخرج منشئ المياه الفرعي ٦ (باستخدام منهج الموجة الكينماتيكية لنموذج HEC-1).
- ٢١ تحديد المنحنى المائي لمنشئ المياه الفرعي ٦.
- ٢٢ دمج المنحنيات المائية لمنشئ المياه الفرعية ١، ٢، ٨، ٣، ٩، ١٠، ١١، ٤، ١١ ب، ٥، ١١ ج، ٦.

تابع الجدول رقم (٢، ١٦) ج.

- ٢٣ تحديد المنحنى المائي للتدفق الجانبي من منشئ المياه الفرعي ١١ وتحديد المنحنى المائي المدمج لمنفذ منشئ المياه الفرعي ٧ (باستخدام منهج الموجة الكينماتيكية لنموذج HEC-1).
- ٢٤ تحديد المنحنى المائي لمنشئ المياه الفرعي ٧.
- ٢٥ دمج المنحنيات المائية لمنشئ المياه الفرعية ١، ٢، ٨، ٣، ٩، ١٠، ١١، ٤، ١١، ٥، ١١، ج، ١١، ٦، د، ٧.
- ٢٦ تحديد المنحنى المائي للتدفق الجانبي من منشئ المياه الفرعي ١٢، ١٢، ١٢ وتحديد المنحنى المائي المدمج لمخرج منشئ المياه الفرعي ١٢ (باستخدام منهج الموجة الكينماتيكية لنموذج HEC-1).



الشكل رقم (٢، ٤). الخط البياني للشبكة الهيدرولوجية.

المنحنى المائي لأقصى فيضان محتمل Probable Maximum Flood Hydrograph

يعرف المنحنى المائي لأقصى فيضان محتمل (PMF) على أنه الفيضان الافتراضي (تصرف القمة والحجم وشكل المنحنى المائي) الذي يعد الأكثر شدة اعتماداً على تطبيق الأحوال الجوية المائية الشاملة لأقصى تساقط محتمل (PMP) وعوامل هيدرولوجيا أخرى موافقة لأقصى انسياب فيضان، مثل العواصف المتعاقبة وذوبان الجليد (USNRC 1977). وتستخدم معاملات منشئ المياه المحافظ (مثل، زمن التركيز ومتغيرات الفقد في التربة) سوياً مع أحداث أحوال الجو المائية التنقيبية المدججة، لتحديد المنحنى المائي لأقصى فيضان محتمل (Prakash 1978, 1983). وهي تشمل كمية أقصى تساقط رئيس محتمل للعاصفة في المدة المطلوبة والتوزيع الزمني وتتالى التساقط الترايدي وأحوال الرطوبة الأولية والتدفق المفاجئ المقدم الذي يفترض أن يسبق العاصفة الرئيسة.

ويمكن اعتبار أن العاصفة المقدمة تبلغ ٤٠٪ من أقصى تساقط محتمل يحدث حوالي ٥ أيام قبل العاصفة الرئيسة، وأن حالة الرطوبة المقدمة يمكن اتخاذها AMC-II. والنسبة لمنشئ المياه داخل الولايات المتحدة يمكن الحصول على تقديرات المدد المختلفة المتعلقة بها من منشورات وزارة التجارة بالولايات المتحدة (مثل USDOT 1961, 1962, 1965, 1969, 1977, 1978, 1982, 1983, 1988, 1994). وفي المناطق التي تكون فيها العواصف الرعدية المحلية الكثيفة قصيرة المدة والعواصف العامة طويلة المدة شائعة يجب عمل تقديرين لأقصى تساقط محتمل للعاصفة الرئيسة. ومثال على هذه المناطق تلك التي توجد غرب دائرة خط الطول ١٠٣ درجة بالولايات المتحدة. وطرق تقدير أقصى تساقط محتمل للعاصفة المحلية قصيرة المدة (عادةً ٦ ساعات) وأقصى تساقط محتمل للعواصف العامة طويلة المدة (عادةً ٢٤ - ٩٦

ساعة) مبينة في الدراسات المذكورة سابقاً. وكمثال تستخدم الخطوات التالية لحساب أقصى تساقط محتمل للعاصفة العامة لنهر كلورادو ومصارف جريت باسين باستخدام الأشكال والجدول في تقرير الأحوال الجوية المائية رقم ٤٩ (USDOC 1977):

١- تقدير أقصى تساقط محتمل متقارب في ٢٤ ساعة بمساحة ٢٦ كم^٢ عند موقع منطقة الصرف موضع الاهتمام.

٢- تخفيض أقصى تساقط محتمل متقارب في ٢٤ ساعة مقدر للارتفاعات الحدودية.

٣- تقدير أقصى تساقط محتمل تراكمي متقارب في ٢٤ ساعة لمدة ٦، ١٢، ١٨، ٢٤، ٤٨، ٧٢ ساعة باستخدام عوامل المضاعفة.

٤- تقدير أقصى تساقط محتمل تزايد متقارب في ٢٤ ساعة لمدة ٦، ١٢، ١٨، ٢٤، ٤٨، ٧٢ ساعة.

٥- تقدير أقصى تساقط محتمل تزايد متقارب في ٢٤ ساعة مقلل المساحة لمدة ٦، ١٢، ١٨، ٢٤، ٤٨، ٧٢ ساعة.

٦- تقدير متوسط مساحة الصرف التراكمي لأقصى تساقط محتمل متقارب في ٢٤ ساعة لمدة ٦، ١٢، ١٨، ٢٤، ٤٨، ٧٢ ساعة.

٧- تقدير متوسط مساحة الصرف لأقصى تساقط جبلي محتمل في ٢٤ ساعة.

٨- تقدير أقصى تساقط جبلي محتمل في ٢٤ ساعة المقدر مساحياً وموسمياً.

٩- تقدير أقصى تساقط جبلي محتمل لمدة ٦، ١٢، ١٨، ٢٤، ٤٨، ٧٢ ساعة باستخدام عوامل مضاعفة محددة.

١٠- تقدير أقصى تساقط محتمل كلي لمدة ٦، ١٢، ١٨، ٢٤، ٤٨، ٧٢ ساعة

(أي تجميع أقصى تساقط محتمل متقارب وجبلي).

يمكن استخدام طرق تغير موضع العاصفة ومضاعفة الرطوبة الموصوفة في الدراسات سالفة الذكر والبيانات المحتواة في منشورات المنظمة الدولية للأحوال الجوية (مثل WMO 1986) لمناشئ المياه في أجزاء من العالم حيث لم تكن التقديرات الإقليمية أو الخاصة بالموقع لأقصى تساقط محتمل قد تطورت. وفي بعض الحالات يمكن تقدير المتوسط (\bar{X}) والانحراف القياسي (s) لأعماق سقوط المطر القصوى السنوية في ٢٤ ساعة، من البيانات المتاحة الخاصة بالموقع أو البيانات الإقليمية، والتقدير التمهيدي لأقصى تساقط محتمل في ٢٤ ساعة (P_m) يمكن عمله باستخدام العلاقة (NRC 1985):

$$P_m(24h) = \bar{X} + 20s \quad (٢,٤٩)$$

عند غياب البيانات التي يعتمد عليها يمكن استخدام المعادلة العملية التي تغلف معدلات سقوط المطر القصوى في العالم في الفترات المختلفة لعمل التقديرات التمهيدية لأقصى تساقط محتمل (USDOC 1961):

$$P_m(cm) = 38.9 D^{0.486} \quad (٢,٥٠)$$

حيث إن:

$$D = \text{المدة (الساعة)}.$$

ينقسم عمق التساقط الكلي أثناء العاصفة إلى أعماق التساقط في الفترات الزمنية المساوية لمدة الوحدة للمنحنى المائي الودودي. ويتم ترتيب القيم العالية تنازلياً على حسب المقدار (أي، ١، ٢، ٣، ٤، ٥، ٦... الخ). وطرق عديدة لتقسيم أقصى تساقط محتمل إلى زيادات زمنية أصغر مساوية لمدة الوحدة ولتعاقبهم لتحديد المنحنى المائي لأقصى تساقط محتمل موضحة في الدراسات سالفة الذكر وأيضاً في النماذج HEC-1 و HEC-HMS. وفي التالي بعض المتتاليات الشائعة الاستخدام للتساقط التصاعدي:

$$١ - ٥,٣,١,٢,٤,٦$$

$$٢ - ٦,٤,٢,١,٣,٥$$

٣ - التوزيع الافتراضي والمتتالي المحتوى في نموذج HEC-1 .

٤ - طرق توزيع وتتالي المشروع القياسي والعاصفة لأقصى تساقط محتمل لمدة

٤٨,٢٤,٩٦ ساعة مبينة في نموذج HEC-1 .

التتالي الذي يعتمد على شكل المنحنى المائي الحدودي لمنشئ المياه يمكن أن

يستخدم في الحالات التي تحتاج إلى قمم أقصى فيضان محتمل المحافظة للغاية (Prakash 1978).

وحيث أن أقصى فيضان محتمل هو حدث افتراضي يقدر بشكل محافظ، فإنه

يجب التحقق من معقولة قمة أقصى تساقط محتمل بمقدر باستخدام الطرق البحثية.

وعند التطبيق العملي، يمكن التحقق من متغيرات منشئ المياه مثل زمن التركيز

ومتغيرات الفقد في التربة عن طريق المعايرة باستخدام المنحنيات المائية المرجعية

لسقوط المطر والفيضان الملحوظ. وبعض الطرق العملية لتقدير تدفقات القمة التي

تقترب من قمة أقصى فيضان محتمل مبينة فيما يلي (Crippen 1982):

١ - معادلة كريبين:

$$Q_m = 577.26A^{0.8405} \times Z^{-0.751} \quad (٢,٥١)$$

$$Z = 0.6217A^{0.5} + 5 \quad (٢,٥١)$$

٢ - معادلة كريجر:

$$Q_m = 130(0.386A)^B \quad (٢,٥٢)$$

$$B = 0.9358A^{-0.048} \quad (٢,٥٢)$$

٣ - معادلة ماتاي:

$$Q_m = 174.3A^{0.61} \quad (٢,٥٣)$$

حيث إن:

$$Q_m = \text{تدفق القمة (م}^3/\text{ث).}$$

$$A = \text{مساحة الصرف (كم}^2\text{).}$$

يجب التحقق أن قمة أقصى فيضان محتمل مقدر يكون قريباً من مدى القيم المحسوبة باستخدام الطرق العملية. وبالإضافة لذلك يجب أن تتوافق قمة أقصى فيضان محتمل مقدر مع أي من قمم أقصى فيضان محتمل سابقة التقدير في المنطقة.

مثال رقم (٢, ٩): منشئ المياه لمجرى مائي يقع في منطقة عرضة للإعصار. يراد إنشاء سد على هذا المجرى المائي عند نقطة ما بحيث تكون مساحة الصرف ٥٣٥ كم^٢. وتحليل البيانات المحدودة والاستكمالات القياسية من البيانات الخاصة بمنشئ المياه في خط العرض الناتجة في أعماق أقصى تساقط محتمل PMP موضحة في الجدول رقم (٢, ١٧ أ). أرسم منحنى مائي لأقصى فيضان محتمل PMF لتصميم هذا السد بفرض تدفق أساسي ثابت يساوي ١٠٠ م^٣/ث.

الحل:

ينقسم منشئ المياه إلى سبعة منشئ مياه فرعية كما هو موضح في الشكل رقم (٢, ٥). تساهم أجزاء منشئ المياه ٣ الموجودة على يمين ويسار النهر في التدفق الجانبي على امتداد طرف المجرى المائي. إذن يستخدم خيار الموجة الكينماتيكية لنموذج HEC-1 لتحديد هذا المنحنى المائي لمنشئ المياه. والمعاملات المتعلقة بكل منشئ مياه فرعي موضحة في الجدول رقم (٢, ١٧ ب). ويستخدم رقم منحنى النموذج AMC II بما يساوي ٧٠ لكل منشئ المياه الفرعية. وحسابات تتألى سقوط المطر والجريان السطحي موضحة في الجدول رقم (٢, ١٧ ج).

وللتبسيط يتم قبول التوزيع الافتراضي وتتابع التساقط الزائد المدمج في نموذج HEC-1. ويتطلب هذا وجود قيم أقصى تساقط محتمل PMP لمدة من ٥ و ١٥ دقيقة. وفي غياب البيانات الخاصة بالموقع يمكن تقدير قيم المدد الأصغر من قيمة ١ ساعة باستخدام النسب الموضحة في الجدول رقم (٢٠١٧ د) (NOAA 1973):

أقصى تساقط محتمل PMP في ٥ دقائق =

$$0.29 \times 109.74 = 31.82 \text{ mm}$$

أقصى تساقط محتمل PMP في ١٥ دقيقة =

$$0.57 \times 109.74 = 62.55 \text{ mm}$$

يمكن استخدام المدخل المطور مسبقاً لنموذج سقوط المطر والجريان السطحي المختار. وفي هذه الحالة يستخدم نموذج HEC-1 الذي يؤدي إلى قمة أقصى فيضان محتمل PMF يساوي ١١٤٣٥ م^٣/ث.

ولاختبار حفظ قمة أقصى فيضان محتمل PMF، استخدم المعادلات العملية الموضحة سابقاً كما هو مبين أدناه:

١ - معادلة كريبين:

$$z = 0.6214 \times 535^{0.5} + 5 = 19.373$$

$$Q_m = 577.26 \times 535^{0.8405} \times 19.373^{-0.751} = 12242 \text{ m}^3 / \text{s}$$

٢ - معادلة كريجر:

$$B = 0.9358 \times 535^{-0.048} = 0.6922$$

$$Q_m = 130 (0.386 \times 535)^{0.6922} = 5204 \text{ m}^3 / \text{s}$$

٣ - معادلة ماتاي:

$$Q_m = 174.3 \times 535^{0.61} = 8046 \text{ m}^3 / \text{s}$$

من النتائج فإن القيم المقدرة بـ ١١٤٣٥ م^٣/ث تعتبر صحيحة بشكل معقول.

الجدول رقم (١٧، ١٢). أعماق أقصى تساقط محتمل PMP.

المدة (ساعة)	عمق التساقط (مم)
١	١٠٩,٧٤
٢	٢١١,٦٧
٣	٣٠٩,٦٧
٦	٥٥٤,٨٧
١٢	٨٢٨,٠٧
٢٤	١٠٩٢,٥٨
٤٨	١٣٣٨,٤

الجدول رقم (١٧، ٢ ب). معاملات مناشئ المياه الفرعي.

منشئ المياه الفرعي	المساحة (كم ^٢)	CN	زمن التأخير (ساعة) ومتغيرات الموجة الكينماتيكية
١	٧٠	٧٠	٠١,٦٠
٢	٧٠	٧٠	٠٢,٠٨
٤	٢٤	٧٠	٠٢,١٤
٥	٥٦	٧٠	٠١,٩٤
٦	١٦٤	٧٠	٠٧,٤٢
٧	١٠٦	٧٠	٠٤,٥٨
٣ (التدفق الجانبي من الجانب الأيمن على محيط النهر)**	٢٧	٧٠	L = 4500 m ; S = 0.50 m/m ; n = 0.30
٣ (التدفق الجانبي من الجانب الأيسر على محيط النهر)**	١٨	٧٠	L = 1500 m ; S = 0.40 m/m ; n = 0.30
٣ (متوسط تدفق القناة)**	٤٥	٧٠	L = 8500 m ; S = 0.0133 m/m ; n = 0.040 ; W.D. = 85 m ; z = 1.0

* زمن التأخير (ساعة). ** متغيرات الموجة الكينماتيكية.

L = الطول الهيدروليكي، S = ميل الأرض، n = معامل الخشونة.

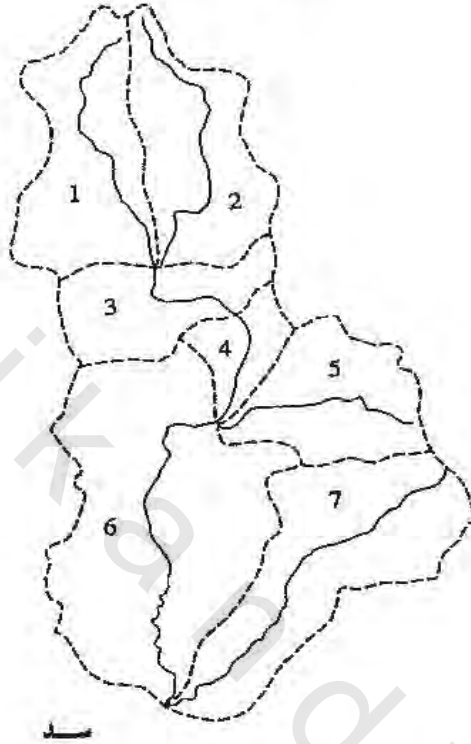
W.D. = عرض قاع القناة المقرب بشبه المنحرف، Z = ميل القاع (أفقي: رأسي).

الجدول رقم (١٧، ٢ ج). حسابات تتالي سقوط المطر - الجريان السطحي لمنشئ المياه المعرضة للإعصار.

- ١ طور المنحنى المائي لمنشئ المياه الفرعي ١.
- ٢ طور المنحنى المائي لمنشئ المياه الفرعي ٢.
- ٣ ادمج المنحنيات المائية لمنشئ المياه الفرعية ١، ٢.
- ٤ آخر المنحنى المائي المدمج بمقدار ٢ ساعة ليعكس التدفق إلى نهاية منشئ المياه الفرعي ٣.
- ٥ طور المنحنى المائي لأقصى تساقط محتمل من منشئ المياه الفرعي ٣.
- ٦ ادمج المنحنى المائي لمنشئ المياه الفرعي ١، ٢ مع هذا الخامس بمنشئ المياه الفرعي ٣.
- ٧ آخر المنحنى المائي المدمج بمقدار ١,٥ ساعة ليعكس التدفق إلى نهاية منشئ المياه الفرعي ٤.
- ٨ طور المنحنى المائي لمنشئ المياه الفرعي ٤.
- ٩ طور المنحنى المائي لمنشئ المياه الفرعي ٥.
- ١٠ ادمج المنحنى المائي لمنشئ المياه الفرعي ١، ٢، ٣ بتلك الخاصة بمنشئ المياه الفرعية ٤، ٥.
- ١١ آخر المنحنى المائي المدمج بمقدار ٣ ساعات ليعكس التدفق إلى نهاية منشئ المياه الفرعي ٦.
- ١٢ طور المنحنى المائي لمنشئ المياه الفرعي ٦.
- ١٣ طور المنحنى المائي لمنشئ المياه الفرعي ٧.
- ١٤ ادمج المنحنى المائي لمنشئ المياه الفرعي ١، ٢، ٣، ٤، ٥ بتلك الخاصة بمنشئ المياه الفرعية ٦، ٧.

الجدول رقم (١٧، ٢ د). أعماق أقصى تساقط محتمل PMP في مدة ٥ - ٣٠ دقيقة.

النسبة إلى قيمة ١ ساعة	المدة (دقيقة)
٠,٢٩	٥
٠,٤٥	١٠
٠,٥٧	١٥
٠,٧٩	٣٠



الشكل رقم (٢،٥). تقسيم مناشي المياه المعرضة للإعصار.

تحليل المخاطر وتقدير احتمالات السقوط أو الانهيار

Risk Analysis and Estimation of Failure Probabilities

قامت كل من جمعية المهندسين المدنيين الأمريكية (1988) وبراكش (1992b)

بتقديم تحليل مستفيض للمخاطر التي تتعلق بالسدود والمباني الأخرى. وفي بعض

الأحيان يكون مطلوباً من مهندس مصادر المياه القائم بتقدير احتمالية أو مدى خطورة

حدوث فيضان معين أثناء فترة تصميم البناء، والذي تم تصميمه لفيزان في T

سنة ($P = 1/T$). لعمل مثل هذه التحليلات:

• احتمالية أنه على الأقل حدوث فيضان واحد على الأقل (أي واحد أو أكثر)

سوف يحدث في n سنة:

$$(2,04) \quad P(\geq 1) = 1 - (1 - P)^n$$

• احتمالية أنه لن يحدث فيضان في n سنة:

$$(2,05) \quad P(\text{none}) = (1 - P)^n$$

مثال رقم (٢,١٠): يتم تصميم جسر لفيضان في ١٠٠ سنة ($P = 0.01$). ما هي

احتمالية (١) عدم حدوث فيضان، (٢) حدوث الفيضان مرة واحدة أو أكثر أثناء ٢٠ إلى ١٠٠ سنة القادمة.

الحل:

• احتمالية حدوث فيضان واحد على الأقل، ($P(\geq 1)$)، في ٢٠ سنة:

$$1 - (1 - 0.01)^{20} = 0.18 \quad \text{or} \quad 18\%$$

• احتمالية حدوث فيضان واحد على الأقل، ($P(\geq 1)$)، في ١٠٠ سنة:

$$1 - (1 - 0.01)^{100} = 0.63 \quad \text{or} \quad 63\%$$

• احتمالية عدم حدوث فيضان، ($P(\text{none})$)، في ٢٠ سنة:

$$(1 - 0.01)^{20} = 0.82 \quad \text{or} \quad 82\%$$

• احتمالية عدم حدوث فيضان، ($P(\text{none})$)، في ١٠٠ سنة:

$$(1 - 0.01)^{100} = 0.37 \quad \text{or} \quad 37\%$$

من هذا يتضح أن هناك احتمالية ١٨٪ لتعليق الجسر على الأقل مرة واحدة أثناء الـ

٢٠ سنة القادمة.

في حالات معينة يكون من المرغوب تقدير احتمالية عدد x من الأحداث التي تحدث في T سنة في فترة من n سنة. لعمل هذه الحسابات يمكن استخدام توزيع بويسون. وهو كما يلي، (Haan 1977):

$$p(\lambda, x) = \lambda^x e^{-\lambda} / x! \quad (2,56)$$

حيث إن:

$$x = \text{مضروب } x.$$

$$\lambda = n/T$$

$p(\lambda, x)$ = احتمالية عدد x من الأحداث التي تحدث في T سنة لكل فترة n سنة.

مثال رقم (٢,١١): يراد تقدير مخاطر الأضرار في مبنى مراقبة الفيضان لأجل موسم الفيضان الذي يمكن ألا يكون هناك وقت متاح فيه للإصلاحات. قدر احتمالية حدوث ثلاثة فيضانات خلال عشر سنوات في هذه الفترة كل ستة أشهر عندما يكون الإصلاح متعذراً.

الحل:

$$n = 0.5 \text{ yr} , T = 10 \text{ yr} , \lambda = 0.5/10 = 0.05 , x = 3$$

بالتالي:

$$p(0.05, 3) = (0.05)^3 \exp(-0.05) / (3 \times 2 \times 1) = 2 \times 10^{-5}$$

تحليل التكلفة - الربح Benefit Cost Analysis

إن تحليلات التكلفة-الربح مطلوبة لأداء التقييم المقارن لمشروعات تحديد مصادر المياه البديلة. وهناك طريقة تقريبية موضحة في المثال التالي.

مثال رقم (١٢، ٢): مشروع مراقبة الانجراف والفيضان مقترح لمجرى مائي مار خلال منطقة مدنية. قم بعمل تحليل التكلفة-الربح مبسط وحدد المستوى الأمثل للحماية من الفيضان الذي يجب تصميم المشروع على أساسه. أهمل عوامل القرار غير التكاليف والأرباح النقدية. استخدم معدل خصم يساوي ٦٪ لتحويل تكلفة رأس المال اليومية الحالية إلى قيم سنوية.

الحل:

تم إعداد التقديرات التمهيدية للمشروعات البديلة المصممة لإمداد المستويات المختلفة من الحماية باستخدام دورة حياة للمشروع تساوي ٥٠ سنة. حسابات التكلفة-الربح موضحة في الجدول رقم (١٨، ٢) والجدول رقم (١٨، ٢ ب). تقل تكلفة التشغيل والصيانة كلما زادت حجم المشروع ويتم تعديل التكاليف الموضحة لتشمل تصاعد السعر من سنة إلى أخرى.

$$\text{التكلفة السنوية} = \text{Annual cost} = Ci (1+i)^n / [(1+i)^n - 1]$$

حيث إن:

$$C = \text{تكلفة رأس المال اليومية الحالية.}$$

$$i = \text{معدل الخصم.}$$

تقترح نسب التكلفة-الربح المقدرة اعتماداً على التكاليف وحدها، ويمكن أن يكون من المرغوب فيه تصميم المشروع لفيضانات بفترات عودة من ٧٠ - ١٠٠ سنة.

الجدول رقم (١٢، ١٨). حساب حماية الضرر المتوقع أو الأرباح.

فترة عودة التصميم	الاحتمالية	التزايدية الإجمالية أو التكرار	حماية الضرر	حماية الضرر التزايدية المتوقع	حماية الضرر الكلية المتوقعة
(T)	(P = 1/T)	(Δ P)	(D)	(D ΔP)	(مليون دولار)
(عام)			(مليون دولار)	(مليون دولار)	
≤ ١	١,٠٠	-	-	-	-
٢	٠,٥٠	٠,٥٠	٠,١٠	٠,٠٥	٠,٠٥
٥	٠,٢٠	٠,٣٠	٠,٢٠	٠,٠٦	٠,١١
١٠	٠,١٠	٠,١٠	٠,٣٠	٠,٠٣	٠,١٤
٢٠	٠,٠٥	٠,٠٥	٠,٤٠	٠,٠٢	٠,١٦
٢٥	٠,٠٤	٠,٠١	٠,٥٠	٠,٠٠٥	٠,١٦٥
٣٠	٠,٠٣٣	٠,٠٠٧	٠,٦٠	٠,٠٠٤٢	٠,١٦٩٢
٤٠	٠,٠٢٥	٠,٠٠٨	٠,٨٠	٠,٠٠٦٤	٠,١٧٥٦
٥٠	٠,٠٢٠	٠,٠٠٥	١,٠٠	٠,٠٠٥٠	٠,١٨٠٦
٧٠	٠,٠١٤	٠,٠٠٦	١,٥٠	٠,٠٠٩٠	٠,١٨٩٦
١٠٠	٠,٠١٠	٠,٠٠٤	١,٧	٠,٠٠٦٨	٠,١٩٦٤
١٥٠	٠,٠٠٦٧	٠,٠٠٣٣	٢,٣	٠,٠٠٧٦	٠,٢٠٤٠
٣٠٠	٠,٠٠٣٣	٠,٠٠٣٤	٣,٥	٠,٠١١٩	٠,٢١٥٩
> ٣٠٠	≅	٠,٠٠٣٣	٤,٠	٠,٠١٣٢	٠,٢٢٩١

الجدول رقم (٢، ١٨) ب). حساب نسبة التكلفة - الربح.

فترة عودة التصميم	حماية الضرر الكلية المتوقعة	تكلفة رأس المال اليومية الحالية	متوسط التشغيل السنوي وتكلفة الصيانة	التكلفة السنوية الكلية	الربح / التكلفة
(T)	(مليون دولار)	(مليون دولار)	(مليون دولار)	(مليون دولار)	(مليون دولار)
(عام)					
≤ ١	-	-	-	-	-
٢	٠,٠٥	١,١٠٣	٠,٠٧	٠,١٤	٠,٣٦
٥	٠,١١	١,٢٦١	٠,٠٨	٠,١٤	٠,٧٩
١٠	٠,١٤	١,٥٧٦	٠,١٠	٠,١٥	٠,٩٣
٢٠	٠,١٦	١,٧٣٤	٠,١١	٠,١٥٥	١,٠٣
٢٥	٠,١٦٥	١,٨٩١	٠,١٢	٠,١٦٠	١,٠٣
٣٠	٠,١٦٩٢	٢,٠٤٩	٠,١٣	٠,١٦٤	١,٠٣
٤٠	٠,١٧٥٦	٢,١٢٨	٠,١٣٥	٠,١٦٥	١,٠٦
٥٠	٠,١٨٠٦	٢,٢٨٥	٠,١٤٥	٠,١٧٠	١,٠٦
٧٠	٠,١٨٩٦	٢,٤٤٣	٠,١٥٥	٠,١٧٥	١,٠٨
١٠٠	٠,١٩٦٤	٢,٥٢٢	٠,١٦٠	٠,١٧٧	١,١١
١٥٠	٠,٢٠٤٠	٣,٤٦٨	٠,٢٠	٠,٢١	٠,٩٧
٣٠٠	٠,٢١٥٩	٤,٧٢٩	٠,٣٠	٠,٣١	٠,٧٠
> ٣٠٠	٠,٢٢٩١	٧,٨٨١	٠,٥٠	٠,٥١	٠,٤٥

* تشمل ارتفاع السعر من سنة إلى أخرى.

دراسات تشغيل الخزان

Reservoir Operation Studies

أن دراسات تشغيل الخزان مطلوبة لخزانات المعايير لتلبية الاحتياجات المحددة لمصادر المياه البلدية، والري، والتجديد، ومراقبة الفيضان، والطاقة المائية، وتدفقات المجاري المائية. وهناك أنواع متعددة من التحليلات الهيدرولوجية لعمل دراسات تشغيل الخزان. ومن التحليلات الشائعة المتبعة تم توضيحها فيما يلي.

تكوين متتابعات تدفق المجرى المائي Generation of Stream Flow Sequences

إذا كان الهدف من الدراسة تقييم مدى كفاية مصادر المسطحات المائية المتاحة على أساس يومي فإن بيانات تدفق المجرى المائي اليومية يجب جمعها أو تكوينها تركيباً. ويمكن أن يكون هذا مطلوباً لأنظمة جريان النهر حيث تستخدم مياه المجرى المائي أو تحول اعتماداً على الكمية المتاحة في النهر عند هذه النقطة من الزمن مثل تحويل السدود ذات السعة التخزينية الصغيرة. وبالنسبة للخزانات ذات التخزين الكبير نسبياً لامتصاص التقلبات اليومية في تدفق المجرى المائي فإن بيانات تدفقات المجرى المائي الشهرية يمكن أن تكون كافية. وإذا كانت هناك بيانات متاحة يعتمد عليها فيجب استخدام هذه البيانات. ومع هذا في كثير من الحالات تكون البيانات المتاحة محدودة فقط عند وقت التخطيط للخزان. وفي مثل هذه الحالات يمكن استخدام نماذج تكوين تدفق المجرى المائي لتوسيع البيانات المتاحة وتكوين متتابعات يومية أو شهرية لتدفقات المجرى المائي من ٥٠ إلى ٢٠٠ سنة أو نحوه.

في بعض الحالات تكون فقط البيانات المتاحة هي الشهرية ويمكن فقط تكوين متتابعات تدفقات المجرى المائي الشهرية، بينما تكون بيانات تدفق المجرى المائي اليومية لازمة لعمل دراسات تشغيل الخزان. وفي مثل هذه الحالات يمكن اختبار

بيانات تدفق المجرى المائي اليومية الخاصة بالمجاري المائية في مناشئ مياه شبيهة. ويمكن الحكم على التشابه بين مناشئ المياه عن طريق حجم مساحة الصرف، وزمن التركيز، ونمط التسرب، والنطاق المناخي، وأنماط تدفق القاعدة (أي أنماط تدفق المجرى المائي المنخفض) ... إلخ. ويمكن تقدير النسبة المئوية لتدفق المجرى المائي الشهري الذي يحدث أثناء كل يوم من الشهر في سنة متوسطة للمجرى المائي الذي تكون بيانات التدفق اليومية متاحة. وهذا التوزيع يمكن استخدامه لتحليل التدفقات الشهرية إلى قيم يومية. ولاحظ أن هذا التوزيع يكون مفيداً فقط لأجل عمل التخطيط التمهيدي ويجب تعديله بمجرد وجود بيانات متاحة ملائمة.

الطرق الحتمية Deterministic Methods

وهي تتضمن محاكاة التدفقات في الساعة أو اليومية أو الشهرية باستخدام بيانات سقوط المطر في الساعة لمنشئ المياه سويماً مع المعاملات الأخرى التي تحكم التغير المؤقت لظروف رطوبة التربة، والبخر نتح، والتسرب... إلخ. (Prakash and Dearth 1990). وبعض النماذج التي يمكن استخدامها لهذا الغرض هي نظام مراقبة النهر في هيئة الأحوال الجوية القومية (NWS 198)، وبرنامج فورتران للمحاكاة الهيدرولوجية (USEPA 1991a) (HSPF)، ونظام تشكيل التساقط - الجريان السطحي (USGS 1983) (PRMS)، وتوليد تدفق المجرى المائي وتنظيم تشغيل الخزان (USACE 1986) (SARR). ويجب دراسة كتيبات المستخدم الخاصة باستخدام هذه النماذج. ويمكن معالجة مثل هذه التحليلات على أنها دراسات خاصة.

تحليل الارتداد Regression Analysis

يعد تحليل الارتداد مفيداً في الحالات التي يكون معلوم فيها بيانات التدفق اليومية أو الشهرية المتلاقية مع المعاملات اليومية أو الشهرية الخاصة بسقوط المطر،

ومتوسط درجة حرارة الهواء، ومعاملات أخرى يمكن أن تؤثر على الجريان السطحي، لفترة قصيرة نسبياً من الزمن (٥ - ١٠ سنوات) وتكون بيانات سقوط المطر، ودرجة الحرارة، ومعاملات أخرى تتعلق بها متاحة لفترة أطول من الزمن (٢٥ - ٥٠ سنة أو أكثر). وفي هذه الحالات يمكن تحديد معادلات الارتداد باستخدام بيانات ٥ - ١٠ سنوات مع اعتبار أن تدفق المجرى المائي هو المتغير غير المستقل. ويجب مقارنة معاملات العلاقة التبادلية والأخطاء القياسية للانحسار مع المعاملات غير المتغيرة ولو غاربتها ويجب استخدام معادلة الارتداد الأكثر ملائمة لتكوين بيانات تدفق المجرى المائي الإضافية، باستخدام بيانات إضافية متاحة للمتغيرات المستقلة.

مثال رقم (١٣، ٢): لتقييم جدوى مشروع إمداد مياه، يجب تقدير تدفقات المجرى المائي الشهرية لفترة من ٢٤ سنة عند مجرى مائي غير معايير عند النقطة التي تكون فيها مساحة الصرف ٣٨ كم^٢. مع العلم بأن بيانات سقوط المطر الشهرية فقط هي المتاحة لمنشئ المياه للفترة فوق ٢٤ سنة. وأن بيانات تدفق المجرى المائي وسقوط المطر الشهرية متاحة لمجرى مائي آخر قريب له نفس خصائص منشئ المياه لفترة من ١٣ سنة عند النقطة التي تكون فيها مساحة الصرف ٤٠,٦٦ كم^٢. ومتوسط ميل حوض النهر، وخطوط العرض، ومجموعات التربة الهيدرولوجية، ومتوسط التساقط السنوي في منشئ المياه المعايير وغير المعايير هي ٠,١٣ و ٠,٠٢ م/م، ٦٨ و ١٠٠ م، أ إلى ب و أ إلى ب، و ٥٠٠ و ٥٥٠ مم، على الترتيب.

الحل:

أن مساحة الصرف للمجريين المائيين مختلفتين ولكن خصائص منشئ المياه لهما متشابهة. والمنهج التقريبي التالي هو لتكوين تدفقات شهرية:

• احسب التدفقات الشهرية لكل كيلو متر مربع من مساحة الصرف للمجرى المائي المعايير.

• استنبط معادلة انحدار خطية بين التدفقات الشهرية لكل كيلو متر مربع وسقوط المطر الشهري للمجرى المائي المعايير. ولعمل المقارنة استنبط معادلة انحدار خطية ثانية بين لوغاريتمات هذين المتغيرين.

• استخدم المعادلة مع معامل العلاقة التبادلية الأعلى لتقدير التدفقات الشهرية لكل وحدة كيلو متر مربع من بيانات سقوط المطر الشهرية المعروفة للمجرى المائي الغير معايير.

بيانات التدفقات وسقوط المطر الشهرية لمنشئ المياه المعايير موضحة في الجدول رقم (٢, ١٩). والارتداد الخطى بين Q/A و P و $\log(P)$ يؤدي إلى:

$$(أ) \quad Q/A = -0.00966 + 9.14 \times 10^{-3} P, \quad r^2 = 0.71$$

$$\log(Q/A) = -6.27588 + 1.732748 \log(P), \quad r^2 = 0.85$$

أو:

$$(ب) \quad Q/A = 0.000000530 P^{1.732749}$$

وتقبل المعادلة الثانية لأن لها معامل ارتباط أعلى:

$$r = \sqrt{0.85} = 0.92$$

القيم المعروفة لسقوط المطر الشهري والتدفقات الشهرية المقدرة لمنشئ المياه الشهري ($A = 38 \text{ km}^2$) باستخدام المعادلة موضحة في الجدول رقم (٢, ١٩ ب).

الجدول رقم (١٢، ١٩). بيانات السريان وسقوط المطر الشهرية لمناسخ المياه المقاسة.

السنة	سقوط المطر P (مم)	Log (P)	تدفق المجرى المائي		Q/A (م ^٣ /ث / كم ^٢)	Log (Q/A)
			Q (م ^٣ /ث)	Q/A		
١	٤٥,٥	١,٦٥٧٧	٠,٠٤٥٣	٠,٠٠١١	٢,٩٥٣١ -	
٢	٣٥١,٧	٢,٥٤٦١	٠,٥٣٧٩	٠,٠١٣٢	١,٨٧٨٤ -	
٣	٢٥٣,٠	٢,٤٠٣١	٠,٢٨٣١	٠,٠٠٧٠	٢,١٥٧٢ -	
٤	٣٢٣,٠	٢,٥٠٩١	٠,٢٦٩٠	٠,٠٠٦٦	٢,١٧٩٥ -	
٥	٣٩٣,٤	٢,٥٩٤٩	٠,٣٣٩٨	٠,٠٠٨٦	٢,٠٧٨٠ -	
٦	٩٦,١	١,٩٨٢٩	٠,٠٢٧٥	٠,٠٠٠٧	٣,١٧٠٧ -	
٧	١٤٧,٠	٢,١٦٧١	٠,٠٨٤٩	٠,٠٠٢١	٢,٦٨٠١ -	
٨	٦٨,٣	١,٨٣٤٦	٠,٠٣١١	٠,٠٠٠٨	٣,١١٥٨ -	
٩	٣٢٤,٥	٢,٥١١٢	٠,٧٩٢٨	٠,٠١٩٥	١,٧١٠٠ -	
١٠	١٠٣,٣	٢,٠١٣٩	٠,٠٣٤٠	٠,٠٠٠٨	٣,٠٧٨٠ -	
١١	٣١٦,٦	٢,٥٠٠٥	١,٢٤٥٨	٠,٠٣٠٦	١,٥١٣٧ -	
١٢	٦٢٨,٩	٢,٧٩٨٦	٢,٧١٨٠	٠,٠٦٦٨	١,١٧٤٩ -	
١٣	٥٢,١	١,٧١٦٦	٠,٠٢٣٥	٠,٠٠٠٦٨	٣,٢٣٨١ -	

A = مساحة الصرف (كم^٢).

الجدول رقم (٢، ١٩). بيانات المطر الشهرية المعروفة والتدفقات الشهرية المقدرة.

السنة	P (مم)	Q (م ^٣ /ث)
١	٥,٣٣	٠,٠٠٠٤
٢	١١٥,٥٢	٠,٠٧٢١
٣	٩٦,٥٢	٠,٠٥٥٣
٤	٢٩,٢١	٠,٠٠٧٠
٥	١٩٣,٥٥	٠,١٨٤٦
٦	١٧١,٧٠	٠,١٥٠٠
٧	٢٤٤,٠٩	٠,٢٧٦٠
٨	١٥٦,٩٧	٠,١٢٨٤
٩	٧٢,٦٤	٠,٠٣٣٨
١٠	٩٤,٢٣	٠,٠٥٣٠
١١	٣٣,٧٨	٠,٠٠٩٠
١٢	٢٣٤,١٩	٠,٢٥٦٩
١٣	٨٢,٨٠	٠,٠٤٢٤
١٤	١٥٢,٤٠	٠,١٢٢٠
١٥	٢١٦,١٥	٠,٢٢٣٦
١٦	١٦,٧٦	٠,٠٠٢٧
١٧	٢٧,٤٣	٠,٠٠٦٢
١٨	٣٥,٠٥	٠,٠٠٩٦
١٩	١٨٦,٩٤	٠,١٧٣٩
٢٠	٢٨,٩٦	٠,٠٠٦٩
٢١	١٤٢,٢٤	٠,١٠٨٣
٢٢	١٢,٤٥	٠,٠٠١٦
٢٣	١٦٦,٨٨	٠,١٤٢٨
٢٤	١٢٧,٠٠	٠,٠٨٩٠

الطرق الإحصائية وطرق التسلسل العشوائي

Statistical and Stochastic Methods

وهي مفيدة للحالات التي تكون البيانات المتاحة هي فقط التدفقات اليومية أو الشهرية لفترة محدودة من الزمن (١٠ سنوات أو أكثر) مع بيانات قليلة حول التساقط المتلاقي ويمكن معالجة نموذج التسلسل العشوائي المعقد على أنه دراسة خاصة التي يمكن أن يراجعها القارئ في دراسات أخرى (مثل، Quimpo 1968; Fiering and Jackson 1971; Yevjevich 1972b, 1982). ولتكوين متابعات طويلة من التدفقات الشهرية باستخدام بيانات التدفق الشهرية لفترة محدودة فإن نموذج (USACE 1971a) HEC-4 يعد أداة مناسبة. وهذا النموذج له مقدرة إضافية على ملء قيم التدفق للشهور التي تكون فيها بيانات التدفق غير معلومة.

تحليل مدة التدفق Flow Duration Analysis

منحنى مدة التدفق هو تمثيل بياني لتدفقات المجرى المائي (على المحور y) مقابل النسبة المئوية للأوقات التي يتساوى فيها التدفق أو يزيد (على المحور x). ومن المفيد تحديد اعتماد التدفقات اليومية أو الشهرية عند موقع محدد لتلبية حاجة محددة من المياه على أساس يومي أو شهري. ويمكن أن تكون الحسابات اليومية مطلوبة لتحويلات جريان النهر لتلبية متطلبات الطاقة المائية أو الري. ويمكن أن تكون الحسابات الشهرية مطلوبة للخرانات ذات السعة التخزينية الكبيرة وبهذا لا تكون التغيرات اليومية في تدفقات المجرى المائي ذات أهمية طالما تم الحفاظ على التدفقات الشهرية الكلية. والإجراء الحسابي لمنحنيات مدة التدفق موضح في المثال رقم (٢، ١٥).

تحليل منحنى (تموج) الكتلة (Rippl) Mass Curve Analysis

يعد تحليل منحنى الكتلة مفيداً في حساب الحجم التمهيدي للخزان المطلوب منه موافقة نمط مبسط (أي التابع الزمني) من الحاجة للمياه.

تشمل منحنيات الكتلة منحنيان بيانيان على نفس الورقة البيانية. المنحنى الأول هو تمثيل بياني لتدفقات المجرى المائي أو الانصباب المتراكم (المحور y) مقابل الزمن (المحور x)، والثاني هو تمثيل بياني للطلب المتراكم على المحور y مقابل الزمن على المحور x . إذا كان منحنى الطلب خطاً مستقيماً (أي أن الطلب ثابت)، إذن اختار نقطة على منحنى الانصباب عند بداية أطول فترة تدفق منخفض وارسم خط مماس لمنحنى تدفق الكتلة وموازي لمنحنى الطلب بدءاً من هذه النقطة. أقصى مسافة رأسية بين هذا الخط ومنحنى الانصباب يعطى التخزين المطلوب. وفي حالات معينة يمكن أن يكون الطلب متغيراً مع الزمن. فمثلاً يمكن أن يكون الطلب على المياه منخفضاً أثناء الشهور الأولى والأخيرة من إنشاء مشروع رئيس ويمكن أن يكون كبيراً أثناء ذروة فترة الإنشاء. ويستخدم في هذه الحالة إجراء معدلاً بعض الشيء. والإجراء الحسابي موضح في المثال رقم (٢.١٤).

مثال رقم (٢.١٤): بيانات خمس سنوات شهرية متاحة لتدفق مجرى مائي عند موقع سد مقترح (الجدول رقم ٢.٢٠ أ). يقترح أن يلبي الخزان طلباً ثابتاً مقداره ٨ م^٣/ث بما فيه البخر والفواقد الأخرى. احسب حجم التخزين المحافظ المطلوب لتلبية طلباً أعلى. افترض أن حجم الخزان يجب أن يراعي أن التقلبات اليومية في تدفقات المجرى المائي لا تؤثر على قدرة الخزان على تلبية الحاجة المطلوبة. احسب أيضاً حجم التخزين المحافظ لتلبية الطلب المتغير الموضح في العمود رقم (٣) من الجدول رقم (٢.٢٠ ب).

الحل:

في حالة الطلب الثابت فإن التدفق والتدفق التراكمي والطلب التراكمي والطلب-التدفق والتدفق التراكمي-الطلب التراكمي موضحة كلها في الأعمدة من رقم (٢) إلى رقم (٦) من الجدول رقم (٢٠٢ ج). إذن:

- حدد زوجين القمم (P) والأخاديد (T) المتعاقبة في العمود رقم (٦).
- احسب الفروق: $P1 - T1$ و $P2 - T2$ و $P3 - T3$ ، إلخ.

أعلى قيمة من هذه الفروق هو التخزين المطلوب. لاحظ أن بعض القمم والأخاديد ذات الفرق (P - T) الصغيرة نسبياً ليست موجودة في العمود رقم (٦). ونلاحظ أن أعلى فرق يكون بين $P2$ و $T2$ و قيمته ٣٩,٣٧ م^٣/ث. شهر. وللتحقق من أن هذا التخزين يعد كافياً فإن التخزين وفائض الخزان موضحة في الأعمدة رقم (٧) ورقم (٨).

الحل البياني للطلب الثابت بما يساوي ٨ م^٣/ث موضح في الشكل رقم (٦, ١٢) والشكل رقم (٦, ٢ ب). والشكل رقم (٦, ١٢ أ) يشمل التمثيل البياني للتدفق والطلب التراكمي مقابل الزمن. والقيمة التي تسبق أطول فترة تدفق منخفض يرمز لها بالرمز P. والمماس لمنحنى كتلة التدفق عند P المرسوم موازياً لمنحنى كتلة الطلب موضح في الشكل رقم (٦, ٢ ب). وإن القاطع الرأسي الأكبر يعطى التخزين والذي يمكن قياسه بحوالي ٣٩,٣٧ م^٣/ث. شهر.

التدفق، والطلب، والتدفق-الطلب، والتدفق المتراكم، والطلب المتراكم، والتدفق المتراكم-الطلب المتراكم في حالة الطلب المتغير موضحة في الأعمدة من رقم (٢) حتى رقم (٧) في الجدول رقم (٢٠٢ ب). وكما في الحالة السابقة يتم تحديد القمم والأخاديد المتعاقبة، والفروق $P1 - T1$ و $P2 - T2$ و $P3 - T3$ و $P4 - T4$

محسوبة. أقصى فرق يكون بين P2 و T2 و قيمته ٦٤.٣٣ م^٣/ث. شهر. وهذا يعطى التخزين المطلوب. وللتحقق من أن هذا التخزين كافياً فإن تخزين وفائض الخزان أثناء كل شهر موضحة في الأعمدة رقم (٨) ورقم (٩).

الجدول رقم (٢٠، أ). بيانات تدفق المجرى المائي الشهري (م^٣/ث).

السنة	يناير	فبراير	مارس	أبريل	مايو	يونيو	يوليو	أغسطس	سبتمبر	أكتوبر	نوفمبر	ديسمبر
١	٨,٧٧	٤,٩١	٥,٥٢	١١,١٣	٢٢,٤٨	١١,٥٠	٩,٥١	١٤,١٠	٢٠,١٥	٣٥,٩٢	٦,٦٥	٤,٦٠
٢	٢٤,٥٣	٩,٤٧	٣,٣٥	٤,٥٩	٣,٨٥	٤,٣٢	٩,٢٧	٧,٠٤	٣٦,٤٧	٦,٤٥	٦,١٥	٥,٢٨
٣	٥,٧٢	٥,٣٦	٣,٦١	٣,٤٧	٥,٧٨	٤,٢٨	٤,٩٠	١,٩٤	٧,٣٩	٤,٣٠	١٥,٢٦	١٨,٩٧
٤	٩,٥٥	٥,٨٣	٤,٥٠	٨,٢٢	١٦,٨٦	١٢,٢٨	١٠,٧٥	١٠,٤٦	٩,٩٢	٩,٠١	١٦,٣٩	١٦,١٦
٥	٦,١٦	٩,٤٦	٨,٣٧	٧,٢٩	١٩,٢٠	٢٣,٩٧	٢٦,٧٧	١٠,٣٨	٥,٦٧	٤,٦٩	٣,٩١	١٥,٩٥

الجدول رقم (٢٠، ب). تحليل منحنى الكتلة مع الطلب المتغير.

(١)	(٢)	(٣)	(٤)	(٥)	(٦)	(٧)	(٨)	(٩)
التدفق	الطلب	التدفق - الطلب	التدفق التراكمي	الطلب التراكمي	الطلب التراكمي - الطلب	التخزين	الفائض	التدفق
الشهر (م ^٣ /ث. شهر)	الشهر (م ^٣ /ث. شهر)	الشهر (م ^٣ /ث. شهر)	الشهر (م ^٣ /ث. شهر)	الشهر (م ^٣ /ث. شهر)	الشهر (م ^٣ /ث. شهر)	الشهر (م ^٣ /ث. شهر)	الشهر (م ^٣ /ث. شهر)	الشهر (م ^٣ /ث. شهر)
١	٠	٠	٠	٠	٠	٠	٠	٠
٢	٨.٧٧	٤.٧٧	٨.٧٧	٤	٤.٧٧	٤.٧٧	٤.٧٧	٤.٧٧
٣	٤.٩١	٥	١٣.٦٨	٩	٤.٦٨	٤.٦٨	٤٦.٢٤	٠
٤	٥.٥٢	٦	١٩.٢٠	١٥	٤.٢٠	٤.٢٠	٦٣.٧٦	٠
٥	١١.١٣	٧	٣٠.٣٣	٢٢	٨.٣٣	٨.٣٣	٦٤.٣٣	٣.٥٦
٦	٢٢.٤٨	٧	٥٢.٨١	٢٩	٢٣.٨١	٢٣.٨١	٦٤.٣٣	١٥.٤٨
٧	١١.٥	٩	٦٤.٣١	٣٨	٢٦.٣١	٢٦.٣١	٦٤.٣٣	٢.٥

تابع الجدول رقم (٢٠، ٢٠٠ ب).

(١)	(٢)	(٣)	(٤)	(٥)	(٦)	(٧)	(٨)	(٩)
الشهر	التدفق	الطلب	التدفق - الطلب	التدفق التراكمي	الطلب التراكمي	التدفق التراكمي - الطلب التراكمي	التخزين	الفائض
(م ^٣ /ث.شهر)	(م ^٣ /ث.شهر)	(م ^٣ /ث.شهر)	(م ^٣ /ث.شهر)	(م ^٣ /ث.شهر)	(م ^٣ /ث.شهر)	(م ^٣ /ث.شهر)	(م ^٣ /ث.شهر)	(م ^٣ /ث.شهر)
٨	٩.٥١	١٠	- ٠.٤٩	٧٣.٨٢	٤٨	٢٥.٨٢	٦٣.٨٤	٠
٩	١٤.١	٨	٦.١	٨٧.٩٢	٥٦	٣١.٩٢	٦٤.٣٣	٥.٦١
١٠	٢٠.١٥	٦	١٤.١٥	١٠٨.٠٧	٦٢	٤٦.٠٧	٦٤.٣٣	١٤.١٥
١١	٣٥.٩٢	٨	٢٧.٩٢	١٤٣.٩٩	٧٠	٧٣.٩٩	٦٤.٣٣	٢٧.٩٢
١٢	٦.٦٥	٦	٠.٦٥	١٥٠.٦٤	٧٦	٧٤.٦٤	٦٤.٣٣	٠.٦٥
١٣	٤.٦	٣	١.٦	١٥٥.٢٤	٧٩	٧٦.٢٤	٦٤.٣٣	١.٦
١٤	٢٤.٥٣	٤	٢٠.٥٣	١٧٩.٧٧	٨٣	٩٦.٧٧	٦٤.٣٣	٢٠.٥٣
١٥	٩.٤٧	٥	٤.٤٧	١٨٩.٢٤	٨٨	١٠١.٢٤P1	٦٤.٣٣	٤.٤٧
١٦	٣.٣٥	٦	- ٢.٦٥	١٩٢.٥٩	٩٤	٩٨.٥٩	٦١.٦٨	٠
١٧	٤.٥٩	٧	- ٢.٤١	١٩٧.١٨	١٠١	٩٦.١٨	٥٩.٢٧	٠
١٨	٣.٨٥	٧	- ٣.١٥	٢٠١.٠٣	١٠٨	٩٣.٠٣	٥٦.١٢	٠
١٩	٤.٣٢	٩	- ٤.٦٨	٢٠٥.٣٥	١١٧	٨٨.٣٥	٥١.٤٤	٠
٢٠	٩.٢٧	١٠	- ٠.٧٣	٢١٤.٦٢	١٢٧	٨٧.٦٢	٥٠.٧١	٠
٢١	٧.٠٤	٨	- ٠.٩٦	٢٢١.٦٦	١٣٥	٨٦.٦٦T1	٤٩.٧٥	٠
٢٢	٣٦.٤٧	٦	٣٠.٤٧	٢٥٨.١٣	١٤١	١١٧.١٣	٦٤.٣٣	١٥.٨٩
٢٣	٦.٤٥	٨	- ١.٥٥	٢٦٤.٥٨	١٤٩	١١٥.٥٨	٦٢.٧٨	٠
٢٤	٦.١٥	٦	٠.١٥	٢٧٠.٧٣	١٥٥	١١٥.٧٣	٦٢.٩٣	٠
٢٥	٥.٢٨	٣	٢.٢٨	٢٧٦.٠١	١٥٨	١١٨.٠١	٦٤.٣٣	٠.٨٨
٢٦	٥.٧٢	٤	١.٧٢	٢٨١.٧٣	١٦٢	١١٩.٧٣	٦٤.٣٣	١.٧٢
٢٧	٥.٣٦	٥	٠.٣٦	٢٨٧.٠٩	١٦٧	١٢٠.٠٩P2	٦٤.٣٣	٠.٣٦
٢٨	٣.٦١	٦	- ٢.٣٩	٢٩٠.٧٠	١٧٣	١١٧.٧	٦١.٩٤	٠

تابع الجدول رقم (٢٠٠ ب).

(١)	(٢)	(٣)	(٤)	(٥)	(٦)	(٧)	(٨)	(٩)
التدفق	الطلب	التدفق - الطلب	التدفق التراكمي	الطلب التراكمي	التدفق التراكمي - الطلب	التدفق	التخزين	الفائض
الشهر (م ^٣ /ث.شهر)	الشهر (م ^٣ /ث.شهر)	الشهر (م ^٣ /ث.شهر)	الشهر (م ^٣ /ث.شهر)	الشهر (م ^٣ /ث.شهر)	الشهر (م ^٣ /ث.شهر)	الشهر (م ^٣ /ث.شهر)	الشهر (م ^٣ /ث.شهر)	الشهر (م ^٣ /ث.شهر)
٢٩	٣.٤٧	٧	٣.٥٣-	٢٩٤.١٧	١٨٠	١١٤.١٧	٥٨.٤١	٠
٣٠	٥.٧٨	١٤	٨.٢٢-	٢٩٩.٩٥	١٩٤	١٠٥.٩٥	٥٠.١٩	٠
٣١	٤.٢٨	١٨	١٣.٧٢-	٣٠٤.٢٣	٢١٢	٩٢.٢٣	٣٦.٤٧	٠
٣٢	٤.٩	٢٠	١٥.١-	٣٠٩.١٣	٢٣٢	٧٧.١٣	٢١.٣٧	٠
٣٣	١.٩٤	١٥	١٣.٠٦-	٣١١.٠٧	٢٤٧	٦٤.٠٧	٨.٣١	٠
٣٤	٧.٣٩	١٢	٤.٦١-	٣١٨.٤٠	٢٥٩	٥٩.٤٦	٣.٧	٠
٣٥	٤.٣	٨	٣.٧-	٣٢٢.٧٦	٢٦٧	٥٥.٧٦T2	٠	٠
٣٦	١٥.٢٦	٦	٩.٢٦	٣٣٨.٠٢	٢٧٣	٦٥.٠٢	٩.٢٦	٠
٣٧	١٨.٩٧	٣	١٥.٩٧	٣٥٦.٩٩	٢٧٦	٨٠.٩٩	٢٥.٢٣	٠
٣٨	٩.٥٥	٤	٥.٥٥	٣٦٦.٥٤	٢٨٠	٨٦.٥٤	٣٠.٧٨	٠
٣٩	٥.٨٣	٥	٠.٨٣	٣٧٢.٣٧	٢٨٥	٨٧.٣٧	٣١.٦١	٠
٤٠	٤.٥	٦	١.٥-	٣٧٦.٨٧	٢٩١	٨٥.٨٧	٣٠.١١	٠
٤١	٨.٢٢	٧	١.٢٢	٣٨٥.٠٩	٢٩٨	٨٧.٠٩	٣١.٣٣	٠
٤٢	١٦.٨٦	١٤	٢.٨٦	٤٠١.٩٥	٣١٢	٨٩.٩٥P3	٣٤.١٩	٠
٤٣	١٢.٢٨	١٨	٥.٧٢-	٤١٤.٢٣	٣٣٠	٨٤.٢٣	٢٨.٤٧	٠
٤٤	١٠.٧٥	٢٠	٩.٢٥-	٤٢٤.٩٨	٣٥٠	٧٤.٩٨	١٩.٢٢	٠
٤٥	١٠.٤٦	١٥	٤.٥٤-	٤٣٥.٤٤	٣٦٥	٧٠.٤٤	١٤.٦٨	٠
٤٦	٩.٩٢	١٢	٢.٠٨-	٤٤٥.٣٦	٣٧٧	٦٨.٣٦T3	١٢.٦٠	٠
٤٧	٩.٠١	٨	١.٠١	٤٥٤.٣٧	٣٨٥	٦٩.٣٧	١٣.٦١	٠
٤٨	١٦.٣٩	٦	١٠.٣٩	٤٧٠.٧٦	٣٩١	٧٩.٧٦	٢٤.٠	٠

تابع الجدول رقم (٢٠، ب).

(١)	(٢)	(٣)	(٤)	(٥)	(٦)	(٧)	(٨)	(٩)
التدفق	الطلب	التدفق - الطلب	التدفق التراكمي	الطلب التراكمي	التدفق التراكمي - الطلب	التدفق	التخزين	الفائض
الشهر (م/ث.شهر)	الشهر (م/ث.شهر)	الشهر (م/ث.شهر)	الشهر (م/ث.شهر)	الشهر (م/ث.شهر)	الشهر (م/ث.شهر)	الشهر (م/ث.شهر)	الشهر (م/ث.شهر)	الشهر (م/ث.شهر)
٤٩	١٦.١٦	٣	١٣.١٦	٤٨٦.٩٢	٣٩٤	٩٢.٩٢	٣٧.١٦	٠
٥٠	٦.١٦	٤	٢.١٦	٤٩٣.٠٨	٣٩٨	٩٥.٠٨	٣٩.٣٢	٠
٥١	٩.٤٦	٥	٤.٤٦	٥٠٢.٥٤	٤٠٣	٩٩.٥٤	٤٣.٧٨	٠
٥٢	٨.٣٧	٦	٢.٣٧	٥١٠.٩١	٤٠٩	١٠١.٩١	٤٦.١٥	٠
٥٣	٧.٢٩	٧	٠.٢٩	٥١٨.٢٠	٤١٦	١٠٢.٢	٤٦.٤٤	٠
٥٤	١٩.٢	١٤	٥.٢	٥٣٧.٤٠	٤٣٠	١٠٧.٤	٥١.٦٤	٠
٥٥	٢٣.٩٧	١٨	٥.٩٧	٥٦١.٣٧	٤٤٨	١١٣.٣٧	٥٧.٦١	٠
٥٦	٢٦.٧٧	٢٠	٦.٧٧	٥٨٨.١٤	٤٦٨	١٢٠.١٤	٦٤.٣٣	٠.٥
٥٧	١٠.٣٨	١٥	٤.٦٢ -	٥٩٨.٥٢	٤٨٣	١١٥.٥٢	٥٩.٧١	٠
٥٨	٥.٦٧	١٢	٦.٣٣ -	٦٠٤.١٩	٤٩٥	١٠٩.١٩	٥٣.٣٨	٠
٥٩	٤.٦٩	٨	٣.٣١ -	٦٠٨.٨٨	٥٠٣	١٠٥.٨٨	٥٠.٠٧	٠
٦٠	٣.٩١	٦	٢.٠٩ -	٦١٢.٧٩	٥٠٩	١٠٣.٧٩	٤٧.٩٨	٠
٦١	١٥.٩٥	٣	١٢.٩٥	٦٢٨.٧٤	٥١٢	١١٦.٧٤	٦٠.٩٣	٠

P = القمة، T = الأخلود

الجدول رقم (٢,٢٠ ج). تحليل منحني الكتلة مع الطلب الثابت.

(١)	(٢)	(٣)	(٤)	(٥)	(٦)	(٧)	(٨)
التدفق	التدفق التراكمي	الطلب التراكمي	التدفق - الطلب	التدفق التراكمي	التدفق - الطلب	التخزين	الفائض
الشهر (م³/ث.شهر)	(م³/ث.شهر)	(م³/ث.شهر)	(م³/ث.شهر)	(م³/ث.شهر)	(م³/ث.شهر)	(م³/ث.شهر)	(م³/ث.شهر)
١	٠	٠	٠	٠	٠	٣٩.٣٧	٠
٢	٨.٧٧	٨.٧٧	٨	٠.٧٧	٠.٧٧	٣٩.٣٧	٠.٧٧
٣	٤.٩١	١٣.٦٨	١٦	٣.٠٩ -	٢.٣٢ -	٣٦.٢٨	٠
٤	٥.٥٢	١٩.٢٠	٢٤	٢.٤٨ -	٤.٨٠ -	٣٣.٨٠	٠
٥	١١.١٣	٣٠.٣٣	٣٢	٣.١٣	١.٦٧ -	٣٦.٩٣	٠
٦	٢٢.٤٨	٥٢.٨١	٤٠	١٤.٤٨	١٢.٨١	٣٩.٣٧	١٢.٠٤
٧	١١.٥	٦٤.٣١	٤٨	٣.٥٠	١٦.٣١	٣٩.٣٧	٣.٥٠
٨	٩.٥١	٧٣.٨٢	٥٦	١.٥١	١٧.٨٢	٣٩.٣٧	١.٥١
٩	١٤.١	٨٧.٩٢	٦٤	٦.١٠	٢٣.٩٢	٣٩.٣٧	٦.١٠
١٠	٢٠.١٥	١٠٨.٠٧	٧٢	١٢.١٥	٣٦.٠٧	٣٩.٣٧	١٢.١٥
١١	٣٥.٩٢	١٤٣.٩٩	٨٠	٢٧.٩٢	٦٣.٩٩	٣٩.٣٧	٢٧.٩٢
١٢	٦.٦٥	١٥٠.٦٤	٨٨	١.٣٥ -	٦٢.٦٤	٣٨.٠٢	٠
١٣	٤.٦	١٥٥.٢٤	٩٦	٣.٤٠ -	٥٩.٢٤	٣٤.٦٢	٠
١٤	٢٤.٥٣	١٧٩.٧٧	١٠٤	١٦.٥٣	٧٥.٧٧	٣٩.٣٧	١١.٧٨
١٥	٩.٤٧	١٨٩.٢٤	١١٢	١.٤٧	٧٧.٢٤ P1	٣٩.٣٧	١.٤٧
١٦	٣.٣٥	١٩٢.٥٩	١٢٠	٤.٦٥ -	٧٢.٥٩	٣٤.٧٢	٠
١٧	٤.٥٩	١٩٧.١٨	١٢٨	٣.٤١ -	٦٩.١٨	٣١.٣١	٠
١٨	٣.٨٥	٢٠١.٠٣	١٣٦	٤.١٥ -	٦٥.٠٣	٢٧.١٦	٠
١٩	٤.٣٢	٢٠٥.٣٥	١٤٤	٣.٦٨ -	٦١.٣٥ T1	٢٣.٤٨	٠
٢٠	٩.٢٧	٢١٤.٦٢	١٥٢	١.٢٧	٦٢.٦٢	٢٤.٧٥	٠
٢١	٧.٠٤	٢٢١.٦٦	١٦٠	٠.٩٦ -	٦١.٦٦	٢٣.٧٩	٠

تابع الجدول رقم (٢٠٢ ج).

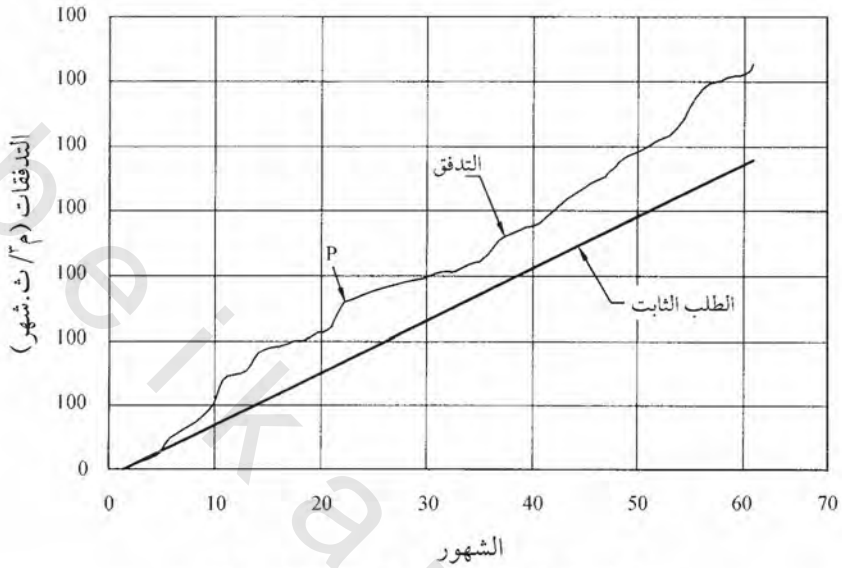
(١)	(٢)	(٣)	(٤)	(٥)	(٦)	(٧)	(٨)
التدفق	التدفق التراكمي	الطلب التراكمي	الطلب - التدفق	التدفق التراكمي	الطلب - التدفق التراكمي	التخزين	الفائض
الشهر (م/ث.شهر)	(م/ث.شهر)	(م/ث.شهر)	(م/ث.شهر)	(م/ث.شهر)	(م/ث.شهر)	(م/ث.شهر)	(م/ث.شهر)
٢٢	٣٦.٤٧	٢٥٨.١٣	١٦٨	٢٨.٤٧	P2 ٩٠.١٣	٣٩.٣٧	١٢.٨٩
٢٣	٦.٤٥	٢٦٤.٥٨	١٧٦	١.٥٥ -	٨٨.٥٨	٣٧.٨٢	•
٢٤	٦.١٥	٢٧٠.٧٣	١٨٤	١.٨٥ -	٨٦.٧٣	٣٥.٩٧	•
٢٥	٥.٢٨	٢٧٦.٠١	١٩٢	٢.٧٢ -	٨٤.٠١	٣٣.٢٥	•
٢٦	٥.٧٢	٢٨١.٧٣	٢٠٠	٢.٢٨ -	٨١.٧٣	٣٠.٩٧	•
٢٧	٥.٣٦	٢٨٧.٠٩	٢٠٨	٢.٦٤ -	٧٩.٠٩	٢٨.٣٣	•
٢٨	٣.٦١	٢٩٠.٧	٢١٦	٤.٣٩ -	٧٤.٧٠	٢٣.٩٤	•
٢٩	٣.٤٧	٢٩٤.١٧	٢٢٤	٤.٥٣ -	٧٠.١٧	١٩.٤١	•
٣٠	٥.٧٨	٢٩٩.٩٥	٢٣٢	٢.٢٢ -	٦٧.٩٥	١٧.١٩	•
٣١	٤.٢٨	٣٠٤.٢٣	٢٤٠	٣.٧٢ -	٦٤.٢٣	١٣.٤٧	•
٣٢	٤.٩	٣٠٩.١٣	٢٤٨	٣.١٠ -	٦١.١٣	١٠.٣٧	•
٣٣	١.٩٤	٣١١.٠٧	٢٥٦	٦.٠٦ -	٥٥.٠٧	٤.٣١	•
٣٤	٧.٣٩	٣١٨.٤٠	٢٦٤	٠.٦١ -	٥٤.٤٦	٣.٧٠	•
٣٥	٤.٣	٣٢٢.٧٦	٢٧٢	٣.٧٠ -	٥٠.٧٦ T2	•	•
٣٦	١٥.٢٦	٣٣٨.٠٢	٢٨٠	٧.٢٦	٥٨.٠٢	٧.٢٦	•
٣٧	١٨.٩٧	٣٥٦.٩٩	٢٨٨	١٠.٩٧	٦٨.٩٩	١٨.٢٣	•
٣٨	٩.٥٥	٣٦٦.٥٤	٢٩٦	١.٥٥	٧٠.٥٤	١٩.٧٨	•
٣٩	٥.٨٣	٣٧٢.٣٧	٣٠٤	٢.١٧ -	٦٨.٣٧	١٧.٦١	•
٤٠	٤.٥	٣٧٦.٨٧	٣١٢	٣.٥٠ -	٦٤.٨٧	١٤.١١	•
٤١	٨.٢٢	٣٨٥.٠٩	٣٢٠	٠.٢٢	٦٥.٠٩	١٤.٣٣	•
٤٢	١٦.٨٦	٤٠١.٩٥	٣٢٨	٨.٨٦	٧٣.٩٥	٢٣.١٩	•

تابع الجدول رقم (٢, ٢٠) ج.

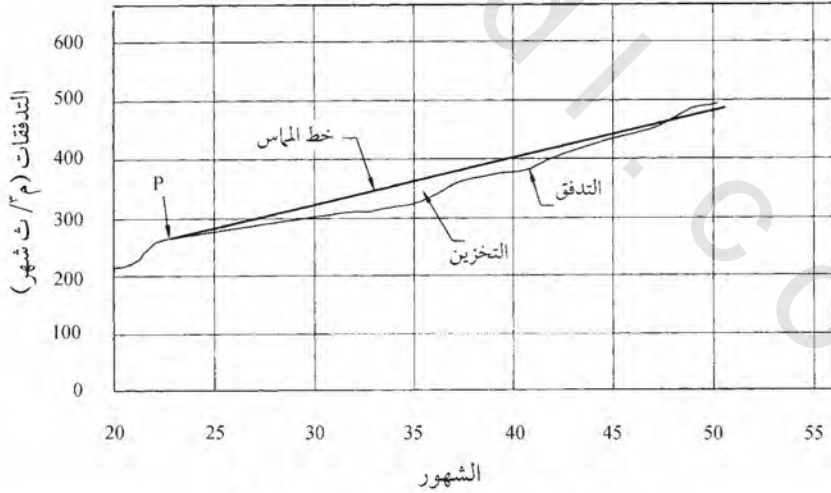
(١)	(٢)	(٣)	(٤)	(٥)	(٦)	(٧)	(٨)
التدفق	التدفق التراكمي	الطلب التراكمي	التدفق - الطلب	التدفق التراكمي - الطلب التراكمي	التخزين	الفائض	الشهر
(م ^٣ /ث.شهر)	(م ^٣ /ث.شهر)	(م ^٣ /ث.شهر)	(م ^٣ /ث.شهر)	(م ^٣ /ث.شهر)	(م ^٣ /ث.شهر)	(م ^٣ /ث.شهر)	(م ^٣ /ث.شهر)
١٢.٢٨	٤١٤.٢٣	٣٣٦	٤.٢٨	٧٨.٢٣	٢٧.٤٧	٠	٤٣
١٠.٧٥	٤٢٤.٩٨	٣٤٤	٢.٧٥	٨٠.٩٨	٣٠.٢٢	٠	٤٤
١٠.٤٦	٤٣٥.٤٤	٣٥٢	٢.٤٦	٨٣.٤٤	٣٢.٦٨	٠	٤٥
٩.٩٢	٤٤٥.٣٦	٣٦٠	١.٩٢	٨٥.٣٦	٣٤.٦٠	٠	٤٦
٩.٠١	٤٥٤.٣٧	٣٦٨	١.٠١	٨٦.٣٧	٣٥.٦١	٠	٤٧
١٦.٣٩	٤٧٠.٧٦	٣٧٦	٨.٣٩	٩٤.٧٦	٣٩.٣٧	٤.٦٣	٤٨
١٦.١٦	٤٨٦.٩٢	٣٨٤	٨.١٦	١٠٢.٩٢	٣٩.٣٧	٨.١٦	٤٩
٦.١٦	٤٩٣.٠٨	٣٩٢	١.٨٤ -	١٠١.٠٨	٣٧.٥٣	٠	٥٠
٩.٤٦	٥٠٢.٥٤	٤٠٠	١.٤٦	١٠٢.٥٤	٣٨.٩٩	٠	٥١
٨.٣٧	٥١٠.٩١	٤٠٨	٠.٣٧	١٠٢.٩١	٣٩.٣٦	٠	٥٢
٧.٢٩	٥١٨.٢	٤١٦	٠.٧١ -	١٠٢.٢٠	٣٨.٦٥	٠	٥٣
١٩.٢	٥٣٧.٤	٤٢٤	١١.٢٠	١١٣.٤٠	٣٩.٣٧	١٠.٤٨	٥٤
٢٣.٩٧	٥٦١.٣٧	٤٣٢	١٥.٩٧	١٢٩.٣٧	٣٩.٣٧	١٥.٩٧	٥٥
٢٦.٧٧	٥٨٨.١٤	٤٤٠	١٨.٧٧	١٤٨.١٤	٣٩.٣٧	١٨.٧٧	٥٦
١٠.٣٨	٥٩٨.٥٢	٤٤٨	٢.٣٨	١٥٠.٥٢P3	٣٩.٣٧	٢.٣٨	٥٧
٥.٦٧	٦٠٤.١٩	٤٥٦	٢.٣٣ -	١٤٨.١٩	٣٧.٠٤	٠	٥٨
٤.٦٩	٦٠٨.٨٨	٤٦٤	٣.٣١ -	١٤٤.٨٨	٣٣.٧٣	٠	٥٩
٣.٩١	٦١٢.٧٩	٤٧٢	٤.٠٩ -	١٤٠.٧٩T3	٢٩.٦٤	٠	٦٠
١٥.٩٥	٦٢٨.٧٤	٤٨٠	٧.٩٥	١٤٨.٧٤	٣٧.٥٩	٠	٦١

الطلب ثابت = ٨ م^٣/ث

P = القمة، T = الأخدود



الشكل رقم (٢.٦ أ). منحنى الكتلة للتدفق والطلب.



الشكل رقم (٢.٦ ب). تحليل منحنى الكتلة.

تقدير متوسط التدفق المنخفض لسبعة أيام في عشر سنوات

Estimation of 7 Days Average 10 Yrs Low Flow

مرات كثيرة تكون تحولات التدفق من المجاري المائية مسموحاً بها فقط إذا كانت التدفقات مساوية أو أكبر من سبعة أيام، عشر سنوات (7Q10) من التدفقات المنخفضة للمجرى المائي التي تترك في المجرى المائي لتلبية مقتضيات تدفق المجرى المائي. تدفق 7Q10 المنخفض يستخدم أيضاً لتقييم أثار تسريبات منشئ المياه على جودة المياه من المجرى المائي المستقبل. يتضمن متوسط سبعة أيام متوسط كل الاتحادات المتعاقبة من سبعة أيام من التدفقات في سنة أي متوسط التدفقات من اليوم الأول إلى اليوم السابع، اليوم الثاني إلى اليوم الثامن، اليوم الثالث إلى اليوم التاسع، إلخ. يعرف هذا بالمتوسط المتحرك سبعة أيام. وأقل متوسط تدفق في سبعة أيام يتم حسابه لكل سنة تكون بياناتها متاحة. ويتم حساب المتوسط والانحراف القياسي ومعامل الانحراف من أقل تدفق سنوي منخفض سبعة أيام ناتج، كما هو موضح في الجزء من هذا الفصل تحت عنوان "التحليل الإحصائي للبيانات المتاحة". وباستخدام التوزيع الطبيعي أو توزيع اللوغاريتم الطبيعي أو توزيع بيرسون اللوغاريتمي من نوع ٣ يتم حساب التدفق المنخفض في T سنة باستخدام المعادلة:

$$Q_T = \bar{X} - Ks \quad (2,21)$$

حيث إن K كما هي معرفة في الجزء من هذا الفصل بعنوان "التحليل الإحصائي للبيانات المتاحة". واستخدم جامبل أقصى قيمة لتوزيع نوع ٣ أو التوزيع الأسّي المحدد للقيم الأصغر لتحليل تدفقات المجاري المائية المنخفضة (Yevjevich 1972a, 1997). والتقدير التحليلية لقيم K لهذا التوزيع تكون معقدة نسبياً. ولعظم الحالات العملية يمكن تمثيل القيم بيانياً على أوراق التمثيل البياني لأقصى قيمة لتوزيع

نوع ٣ وتدفقات المجاري المائية المنخفضة لفترة العودة المرغوبة التي تم الحصول عليها عن طريق الحكم.

مثال رقم (٢, ١٥): بيانات تدفق المجرى المائي اليومية لسنة منخفضة التدفق في مجرى مائي معلوم موضحة في الجدول رقم (٢, ٢١). ومن المقترح تحويل المياه من هذا المجرى المائي لتلبية الطلب اليومي المنتظم المقدّر بـ $٧,٠ \text{ م}^٣/\text{ث}$ ، وأدنى مقتضيات تدفق من المجرى المائي $١,٠ \text{ م}^٣/\text{ث}$. احسب اعتماد هذا المورد لتلبية الطلب على المياه الخاص بالبلدية.

الحل:

استنبط منحني مدة تدفق لفترة التدفق المنخفض بإتباع الخطوات الحسابية

التالية:

- صنّف كل التدفقات اليومية في ترتيب تنازلي حسب المقدار.
- ضع رقم لترتيب كل قيمة يومية (أي الرتبة رقم ١ لأعلى تدفق وهكذا). وإذا حدث نفس التدفق مرتين أو أكثر، فإن كل قيمة تعطى رتبة مختلفة بالتالي.
- اقسّم رتبة كل قيمة على العدد الكلي للأيام التي تكون فيها البيانات متاحة واضرب خارج القسمة في ١٠٠ للحصول على النسبة المئوية للأوقات التي يتساوى فيها التدفق أو يتجاوز.

• قم بتمثيل التدفقات بيانياً (على المحور y) مقابل النسبة المئوية للتجاوز (على المحور x) كما هو موضح في الشكل رقم (٢, ٧).

ويوضح الجدول رقم (٢, ٢١) ب) التدفقات الـ ٢٧ المختارة وترتيبهم والنسبة المئوية للأوقات التي يتساوى فيها كل تدفق أو يتجاوز. ويمكن ملاحظة أن اعتماد المجرى المائي لتلبية الطلب اليومي الكلي $٨ \text{ م}^٣/\text{ث}$ هي $٦٦,٠٣\%$. أي أن تدفق

المجرى المائي متاح سوف يكون أقل من الطلب أثناء (١٠٠-٦٦,٠٣٪) ٣٣,٩٦٪
لأيام التدفق المنخفض في السنة.

الجدول رقم (٢,٢١). بيانات تدفق المجرى المائي اليومية في سنة (٣/٢٠٠٠).

اليوم	يناير	فبراير	مارس	أبريل	مايو	يونيو	يوليو	أغسطس	سبتمبر	أكتوبر	نوفمبر	ديسمبر
١	١٤,٣٩	١٨,٧٥	٢٠,٨٤	١١,٣٣	١٠,٢٧	١٧,٤٠	٥,٦٦	١٧,١٥	١١,٤٥	٧,٦٧	٧,٥٠	١٢,٩٤
٢	٣٣,٧٤	٦,٠٦	٩,٧٩	٥,٩٦	٦,٩٧	١٩,١٧	٤,٥٨	٢,٨٤	١٥,٠٨	١٧,٥٥	٥,٦٩	٨,٤٩
٣	١٠,٨٠	٢٦,٠٠	٦,٧٩	١٨,٥٠	١٣,٠٩	١٨,٣١	٧,٦٧	٢,٥٦	١٥,٢٢	٤,٦٦	٥,٠٦	١٤,١٩
٤	٨,٩٣	١٠,٨١	٥,٠٤	١٩,٠١	٧,٤٢	١١,٢٠	٢١,١٩	٨,٤٤	٢١,٩٢	٥,٣٥	١١,٩٧	١٤,٧٦
٥	٨,١٥	٩,٢٣	١٩,٠٥	١٠,١٩	٢٠,٣٦	١٠,٦٩	٧,٨٠	١٦,١٩	١٥,٨٤	٢,٦٣	١٦,٤٥	٢٥,٩٣
٦	١١,٠٦	٥,٤٧	١٢,٦١	١٥,٢٠	٢٦,٩٥	٨,١٤	٤,٨٨	٤,٢٦	٢٤,٠٧	٣,٠٠	٨,٧٧	٢٧,٠٧
٧	٦,٥٨	٨,٧٤	٢٠,٠٢	٧,٠٢	٢١,٩٩	٥,١٤	٦,٠١	٤,٦١	٢٤,٩١	٦,٤٤	٩,٧٥	٧,٧٧
٨	١٠,٩٨	٥,٤٢	١٧,٥٥	٧,٧٨	٢٥,٩١	٤,٤١	٩,٦٦	٨,٨٠	١٦,٢٢	٤,٠٣	١٢,٩١	٦,٢٨
٩	٩,٣٥	٢٨,٣٤	٣٣,٦٤	٣,٩٢	٢٠,٠٦	٣,٥٣	٨,٦٩	٨,٤٠	٢٧,٥٣	٧,٤٧	٥,٥٨	٣,٩٢
١٠	٧,٣٨	٢٥,٢٥	٢٦,٢٦	٣,٥٠	١٦,٠٤	٣,٩٢	٢٤,١٦	١١,٠٤	١٦,٨١	١٠,٣٩	٧,٧٣	٣,٤٢
١١	١٢,٧٨	٢٣,٦٨	١٦,٠٧	٤٣,٩٢	١١,٩٨	٢,٦٦	٢٠,٤٤	٩,٠٢	١٠,٥٧	٣,٣٢	٢,٨٥	٣١,٠٠
١٢	١٣,٢٦	٨,٦٤	١٣,٣١	٣١,٤٢	٢٤,٤٦	٢,٨٢	١٦,٠٥	٨,٦٦	١١,٤٥	٢٤,٢٥	٢,٦٧	١١,٠٠
١٣	١٤,٩٠	٤٧,٠٥	٧,٧٨	٦,٩٣	١٣,١٢	٤,٠١	٧,٧٢	٣١,٩٠	٧,٤٨	٢٦,٦٠	٣,٦٩	٨,٩٠
١٤	٧,٨٢	٩,٩٤	١٢,٥٧	٩,٣٨	١١,٣٨	٦,٠٠	٧,١٤	١٤,١٤	٨,٥٦	١٩,٥٦	٥,٦٦	٩,٨٥
١٥	٥,٦١	٨,٦٥	٨,١٦	٩,٢١	٩,٣٥	٩,٤١	١١,٩٧	٧,٥٥	٣,٤٥	١٧,٢٢	٣,٢٦	٦,٠٩
١٦	٤,٥٣	٧,٩٦	١٧,٥١	١٠,٥١	٧,٦٦	٢٣,٠٦	١٥,٤٤	٥,٣٣	٢,٧٦	١١,٢٥	٢٦,٠٠	٣,٣٤
١٧	٢٣,٦٢	٦,١٨	١٧,٠٩	٨,٤٧	٦,١١	٤١,٧٢	١١,٤٠	٤,٣٩	١٧,٩٠	٦,٧٠	٢١,٨٢	٨,١٦
١٨	٣٩,٣٧	٧,٦٧	٤١,٧٥	٨,٠٦	٦,٦٣	١٠,٩٧	١٠,٨١	٣,٩٨	٣٨,٤٥	٥,١٧	٢٣,٦٢	٣,٧٦
١٩	٦٦,٩٠	٧,٣٤	٤٦,٦٠	١٢,٢٥	٥,٩٥	١٢,٨١	١٩,٧٢	١٥,٢٦	٤,٩٦	٧,٢٤	٢٨,٧٧	٩,١٨
٢٠	١٣,٣٧	١٤,١٦	٩,٦٤	٤٣,٠٠	٧,٨١	١٥,٨٣	٩,٣١	٨,٣٥	٦,٩٩	٤,٢١	٢٠,٩٣	٧,٧٩
٢١	٧٣,١٠	٨,٠٠	٣١,٣٤	١٧,٤٢	٩,٨٤	١٠,٧٣	٩,٦١	١٧,٣٠	٧,٢٩	١١,٨٢	٣٢,٦٧	١٤,٧٠
٢٢	٣٥,٦٩	٨,٩١	١٤,٨٣	١٤,٧٢	١٠,٢٦	١٠,٦٥	٣٣,٨٨	٥,١٢	٨,١٥	٢٦,٠٤	٢٢,١٩	٢٢,١٩
٢٣	٢٧,٨٥	١١,٠٩	٥٨,١٨	١١,٢٣	١٠,٨٨	١٠,٤٠	٩,٤٧	٢٢,٦٠	٩,٦٨	٣,٦٩	١٤,٦٨	٩,٥٥

تابع الجدول رقم (٢,٢١).

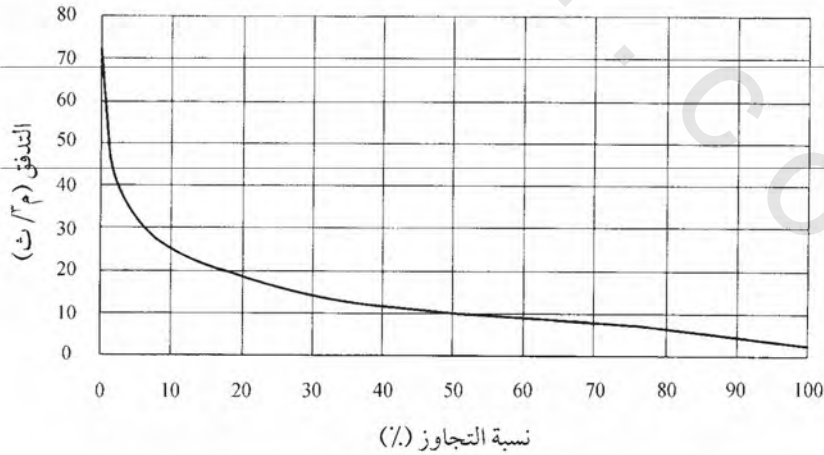
اليوم	يناير	فبراير	مارس	أبريل	مايو	يونيو	يوليو	أغسطس	سبتمبر	أكتوبر	نوفمبر	ديسمبر
٢٤	٩,٩٤	٢٣,٧١	١٣,٦٥	١٢,٠٧	١٣,١٤	٧,٥٤	٣,٣٠	١٨,٩٨	٨,٧١	٧,١٠	١١,٠٠	٢,٩٣
٢٥	٨,٥٩	١٧,٢٢	٥,٧٧	١٥,٨٩	١٥,٠٦	٧,١٢	٣,٧٣	١٩,٠٢	٧,٠٢	٦,٨٥	٩,٧٨	٧,٧٩
٢٦	٨,٨٠	٨,٠٤	٤,٧٦	٣٠,١٥	١١,٨٥	٦,٤٣	٣,٣٥	١٦,٣١	٣,٦٥	١١,٥١	١٨,٣٥	٨,١٣
٢٧	٤,٥١	١٦,٣٧	٣,٨١	١٢,٠١	١٢,٥٦	١٧,٩٨	٢,٣٨	٢٤,٠٤	٣,٧٣	١١,٧٠	٢١,٢١	٦,٢٩
٢٨	١٢,٩٠	١٠,٤٠	٤,٥٧	١٣,٣٧	١٠,٢٥	٨,٣٧	٥,٤٩	١٣,١٠	٤,١٢	٣٠,٤٨	٢٠,١٢	١٠,٩٦
٢٩	٩,١٧		٩,٤٧	١٠,٢٧	٨,٧٢	١٣,٣٠	٧,٤٧	٢٣,٦٧	٧,٦٦	١٢,٥٤	١١,٥٧	٥,٠١
٣٠	٨,٢٨		٤,٨٣	١,٩٧	٧,٠٧	٧,٠٣	٢٣,١٣	١٩,٥٥	٢٣,٤٦	٦,٠٥	٥,٥٨	٥,٥٣
٣١	١٣,٣٢	١٠,١٢			٥,٧٤		١٩,٣٥	١٣,٣٦	٧,٩٢		٨,١٠	

الجدول رقم (٢,٢١) ب). جدول مدة السريان.

Q (م ^٣ /ث)	الترتيب	نسبة التجاوز (%)
٧٣,١٠	١	٠,٢٧
٣٣,٦٤	١٥	٤,١١
٢٦,٢٦	٣٠	٨,٢٢
٢٣,٦٧	٤٥	١٢,٣٣
٢٠,٤٤	٦٠	١٦,٤٤
١٨,٥٠	٧٥	٢٠,٥٥
١٦,٨١	٩٠	٢٤,٦٦
١٥,٢٠	١٠٥	٢٨,٧٧
١٣,٣٧	١٢٠	٣٢,٨٨
١٢,٥٧	١٣٥	٣٦,٩٩
١١,٥١	١٥٠	٤١,١٠
١٠,٩٨	١٦٥	٤٥,٢١
١٠,٢٧	١٨٠	٤٩,٥٩
٩,٦٤	١٩٥	٥٣,٤٢

تابع الجدول رقم (٢,٢١) ب).

نسبة التجاوز (%)	الترتيب	Q (م ^٣ /ث)
٥٧,٥٣	٢١٠	٨,٩٣
٦١,٦٤	٢٢٥	٨,٤٩
٦٥,٧٥	٢٤٠	٨,٠٤
٦٦,٠٣	٢٤١	٨,٠٠
٧٠,١٤	٢٥٥	٧,٦٧
٧٣,٩٧	٢٧٠	٧,١٤
٧٨,٠٨	٢٨٥	٦,٤٤
٨٢,١٩	٣٠٠	٥,٦٩
٨٦,٣٠	٣١٥	٥,٠٦
٩٠,٤١	٣٣٠	٤,٢٦
٩٤,٥٢	٣٤٥	٣,٦٩
٩٨,٦٣	٣٦٠	٢,٧٦
١٠٠,٠٠	٣٦٥	٢,٣٨



الشكل رقم (٢,٧). منحنى مدة السريان.

مثال رقم (٢, ١٦): استخدم بيانات تدفق المجرى المائي اليومية المذكورة في المثال رقم (٢, ١٥) لتقدير متوسط سبعة أيام من التدفق المنخفض لتلك السنة. إذا كانت متوسط سبعة أيام المقدر لأقل تدفق خلال الـ ١٥ سنة الماضية لهذا المجرى المائي موضحة في الجدول رقم (٢, ٢٢). احسب التدفق المنخفض لسبعة أيام في عشر سنوات لهذا المجرى المائي.

الحل:

خطوات الحساب هي كما يلي:

• سجل التدفقات اليومية المعطاة في الجدول رقم (٢, ٢١) في أحد أعمدة ورقة العمل.

• باستخدام الدوال الإحصائية من حزم البرامج القياسية (مثل الإكسل) احسب متوسطات سبعة أيام المتحركة وأدخل العمود التالي. يعطى هذا متوسط قيم سبعة أيام ٣٥٩ لتدفقات يومية ٣٦٥. وقيم قليلة مختارة موضحة في الجدول رقم (٢, ٢٢) ب).
• أوجد أدنى قيمة في القيم الـ ٣٥٩، التي وجد أنها ٣,٧٨٦ م^٣/ث وهذا هو متوسط سبعة أيام من التدفق المنخفض في السنة التي تعطى البيانات الخاصة بها في الجدول رقم (٢, ٢٢) ب).

• استخدم هذه القيمة سوياً مع القيم المعطاة في الـ ١٥ سنة الماضية لحساب المتوسط والانحراف القياسي ومعامل الالتواء للقيم الـ ١٦. والتائج موضحة في الجدول رقم (٢, ٢٢) ج).

باستخدام التوزيع الطبيعي كم هو مذكور في الجزء بعنوان "التحليل الإحصائي للبيانات المتاحة" في هذا الفصل يتج:

تدفق سبعة أيام منخفض في عشر سنوات =

$$(7Q_{10}) = 4.16 - 1.28155 \times 0.95 = 2.94 \text{ m}^3/\text{s}$$

باستخدام توزيع بيرسون اللوغاريتمي من نوع ٣ وبتطبيق المعادلة رقم (٢,٢٢)

$$k = (2/0.341) \left[\left\{ (1.28155 - (0.341/6)) \times (0.341/6) + 1 \right\}^3 - 1 \right] = 1.312$$

$$\log[7Q_{10}] = 0.609 - (1.312 \times 0.096) = 0.483$$

$$7Q_{10} = 3.04 \text{ m}^3/\text{s}$$

ومن هنا يتضح أن القيمة ٣ م^٣/ث تعتبر قيمة معقولة.

الجدول رقم (٢,٢٢). متوسط التدفق المنخفض السنوي لسبعة أيام.

التدفق (م ^٣ /ث)	السنة
٤,١١١	١
٣,٢١٢	٢
٥,٣١٣	٣
٦,٠٠٥	٤
٢,٨٩١	٥
٢,٩٧٦	٦
٣,٥٠٥	٧
٣,٩٨٧	٨
٣,٨٣١	٩
٥,٨٩٢	١٠
٤,٩٠٥	١١
٤,٣٠٣	١٢
٤,٥٥٠	١٣
٣,٥٢٥	١٤
٣,٧٦١	١٥
a	١٦

a: القيم المراد حسابها عن طريق تحليل المتوسط المتحرك لبيانات محددة.

الجدول رقم (٢,٢٢ ب). حساب متوسط التدفق المنخفض لسبعة أيام.

التدفق اليومي (م ^٣ /ث)	متوسط التدفق المتحرك لسبعة أيام (م ^٣ /ث)
١٤,٣٩	
٣٣,٧٤	
١٠,٨٠	
٨,٩٣	
٨,١٥	
١١,٠٦	
٦,٥٨	١٣,٣٧٩
١٠,٩٨	١٢,٨٩١
٩,٣٥	٩,٤٠٧
—	—
—	—
—	—
٥,١٤	١٢,٨٦٤
٤,٤١	١١,٠٠٩
٣,٥٣	٨,٧٧٤
٣,٩٣	٦,٧٢٠
٢,٦٦	٥,٥٠٠
٢,٨٢	٤,٣٧٦
٤,٠١	٣,٧٨٦
٦,٠٠	٣,٩٠٩
٩,٤١	٤,٦٢٣
—	—
—	—
—	—

الجدول رقم (٢,٢٢ ج). المعاملات الإحصائية لمتوسط التدفق السنوي المنخفض لسبعة أيام.

المتغير	متوسط التدفق المنخفض غير المتحول في سبعة أيام (م ^٣ /ث)	لوغريتم متوسط التدفق المنخفض في سبعة أيام
عدد القيم	١٦,٠٠	١٦,٠٠
المتوسط	٤,١٦	٠,٦٠٩
الانحراف القياسي	٠,٩٥	٠,٠٩٦
معامل الالتواء	٠,٧٢	٠,٣٤١

النماذج الهيدرولوجية

Hydrologic Models

مع التقدم المستمر في تكنولوجيا الحاسب الآلي أصبح هناك غزارة من النماذج الهيدرولوجية التي يمكن أن تتفاعل مع المنحنيات البيانية المتعددة والحزم البصرية مثل Surfer و CADD و GIS. وهناك عدد متاح من هذه النماذج مع الباعة المتخصصين المتعددين. مناقشة موجزة لبعض النماذج الهيدرولوجية العامة الملكية والشائعة الاستخدام كما في التالي:

نماذج تحديد وتحديد المنحنيات المائية لانسياب العاصفة

Models for Development and Routing of Storm Runoff Hydrographs

• HEC-1، حزمة المنحنى المائي للفيضان (USACE 1991a): هذا النموذج يحسب

المنحنيات المائية للجريان السطحي لأحداث سقوط المطر وذوبان الجليد ذات الخصائص الهيدروليكية المعروفة لمنشئ المياه، وتدمج المنحنيات المائية لمنشئ المياه الفرعية عند المواقع المذكورة، ويحدد خلالها الخزانات والقنوات في شبكة عمل محددة. ويمكنه أيضاً أن يؤدي تحليل تصدع سد مبسط والتحليل الاقتصادي لأضرار الفيضان.

• **HEC-HMS**، نظام التشكيل الهيدرولوجي (USACE 2002): هذا النموذج يعد تالياً لنموذج HEC-1. وهو نموذج تبادلي الفعل وله القدرات المتاحة في نموذج HEC-1. وبالإضافة إلى ذلك فإنه يشمل:

- نموذج جريان سطحي موزع للاستخدام مع بيانات تساقط موزعة مثل البيانات المتاحة من محطة الأرصاد الجوية.
- نموذج حساب رطوبة التربة المستمر المستخدم لمحاكاة الاستجابة طويلة المدى لمنشئ المياه إلى المبلل والجاف.
- حزمة معايرة آلية يمكن أن تقدر متغيرات نموذج محدد والأحوال الأولية، والملاحظات المعطاة للأحوال الهيدرولوجية في منشئ المياه.
- يرتبط بنظام إدارة قاعدة البيانات التي تسمح بتخزين البيانات، والاستعادة، والموصلة بأدوات التحليل الأخرى المتاحة من مراكز الهندسة الهيدرولوجية USACE والمصادر الأخرى.

• **TR-20**، برنامج هيدرولوجيا صياغة المشروع (USDA 1983a): هذا النموذج يؤدي بشكل عام نفس الحسابات كما في نموذج HEC-1. وله المقدرة على تحديد المنحنيات المائية للجريان السطحي وتحديداتها خلال القنوات والخزانات في منشئ المياه الصغيرة، ودمجهم أو فصلهم عند ملتقيات الأنهار. وهو مصمم لأداء تحليلات متعددة في مجرى منفرد وبذلك يمكن تقييم بدائل عديدة في مجرى واحد.

• **TR-55**، الهيدرولوجيا المدنية لمنشئ المياه الصغيرة (USDA 1986): هذا النموذج يشمل إجراءات مبسطة لحساب حجم الجريان السطحي للعاصفة، ومعدل قمة التساقط، والمنحنيات المائية، وأحجام التخزين المطلوبة لخزانات حجز الفيضان

في منشئ المياه الصغيرة. دوال الدعم المتاحة تشمل حساب رقم المنحنى، وزمن التركيز، وزمن الانتقال خلال منشئ المياه الفرعي.

• **SWMM**، نموذج إدارة مياه العاصفة (USEPA 1989a): هذا النموذج يقوم بتحليل كل من جودة المياه والجودة المتعلقة بحدث العاصفة المنفرد أو الأنماط المناخية المستمرة طويلة المدى في منشئ المياه المدنية أو الريفية. ويمكن أن يحاكي التدفقات خلال بالوعات العاصفة والقنوات الطبيعية، ويمكنه أداء التخزين وتقديد التدفق تحت سطح الأرض، ويحاكي حركة الجريان السطحي والملوثات من سطح الأرض إلى الهيكل المستقبل للماء خلال الأنبوب وشبكات عمل القنوات ووحدات معالجة التخزين.

وبرغم أن الاختيار من بين النماذج سالفة الذكر يجب القيام به اعتماداً على مقتضيات دراسة محددة، فيمكن أن يكون من المفيد استخدام نموذج HEC-1 أو HEC-HMS في معظم الحالات.

نماذج محاكاة السريان المستمر Continuous Flow Simulations Models

• **NWSRFS**، نموذج نظام التنبؤ بالأحوال الجوية للنهر من هيئة أحوال الطقس القومية (NWS 1998): يشمل هذا النموذج تراكم الجليد ونموذج التذرية، ونموذج حساب رطوبة التربة ونموذج سقوط المطر-الجريان السطحي، ونموذج تحديد الخزان لإنتاج منحنى مائي للتدفق المستمر باستخدام بيانات المناخ المستمر (بالساعة أو يومياً).

• **PRMS**، نظام تشكيل التساقط-الجريان السطحي (USGS 1983): وهو يحاكي التدفقات اليومية المتوسطة ويمكنه أن يكون منحنى مائية بأزمنة أقل باستخدام

بيانات المناخ المستمرة. يشمل النموذج حساب رطوبة التربة وتحديد القناة وتحديد الخزان وحسابات نقل الرواسب وحسابات تدفق المياه الجوفية.

• **HSPF**، برنامج المحاكاة الهيدرولوجي (USEPA 1991a): يقوم هذا النموذج بتحليل مقياس حوض النهر للقنوات أحادية البعد بما فيها حساب رطوبة التربة والجريان السطحي والتخديد خلال القنوات ونقل الرواسب وحركة مكونات جودة المياه المتعددة باستخدام البيانات المناخية.

• **SSARR**، نموذج بناء تدفق المجرى المائي وتنظيم الخزان (USACE 1986): وهو يؤدي محاكاة الجريان السطحي على مدار السنة للتنبؤ بالفيضان وعمليات تشغيل الخزان باستخدام بيانات المناخ المستمرة. ويشمل نماذج للمنحنى المائي لمنشئ المياه وتخديد النهر والخزان وتراكم وذويان الجليد والتسرب والصد.

هذه النماذج معقدة بعض الشيء وتتطلب وجود عدد كبير من البيانات. والدراسات التي تتضمن هذه النماذج يجب أن تعامل على أنها دراسات خاصة.

نماذج أخرى مفيدة Other Useful Models

• **HEC-4**، محاكاة تدفق المجرى المائي الشهري (USACE 1971a): يطور هذا النموذج متتابعات تدفق المجرى المائي الشهرية لعدد محدد من السنوات (٥٠ إلى ١٠٠ سنة أو أكثر) باستخدام بيانات تدفق المجرى المائي الشهرية المتاحة لعدد أقل من السنوات (١٠ إلى ١٥ سنة أو أكثر). وهو يعيد تقدير أي تدفقات مفقودة من البيانات المتاحة ويقدر الخصائص الإحصائية للبيانات المتاحة أو المعاد تقديرها، ويكون متتابعات من تدفقات المجرى المائي التي لها نفس الخصائص الإحصائية. هذا النموذج بسيط بعض الشيء ويقدم بيانات مفيدة لعمليات تشغيل الخزان.

• **HEC-3، تحليل نظام الخزان للمحافظة ومحاكاة HEC-5 لمراقبة الفيضان ونظم المحافظة (USACE 1991b):** تؤدي هذه النماذج حسابات تحديد التخزين لنظام الخزانات لإنتاج الطاقة المائية، ومصادر المياه، والملاحة، والتجديد، وازدياد التدفق، والاستخدامات الموسمية أو الشهرية الأخرى. في حالة نموذج HEC-3 يشمل المدخل تدفقات المجرى المائي الشهرية التي تم الحصول عليها من نماذج مثل HEC-4 أو البيانات المجموعة من المصادر الأخرى. ويمكن أن يستخدم نموذج HEC-5 أدنى فاصل زمني من دقيقة واحدة إلى شهر واحد، ويسمح أيضاً بفواصل زمنية متعددة في محاكاة منفردة. ويمكن عمل الحسابات الاقتصادية لفوائد الطاقة المائية وتقييم ضرر الفيضان. ويمكن أداء عمليات تشغيل الخزان لتقليل الفيضان عند مصب المجرى المائي، وتفريغ مخزن ضبط الفيضان بأقصى سرعة ممكنة، وإمداد مقتضيات التدفق المنخفض، وتلبية متطلبات الإمداد المائي والطاقة المائية. تعد هذه النماذج مفيدة عند التخطيط للخزان.

• **HEC-FFA، تحليل تكرار تدفق الفيضان HEC، FREQ (USACE 1995):**

يقوم نموذج HEC-FFA بأداء حسابات التكرار لأقصى فيضان سنوي معطى باستخدام الخطوط الإرشادية لمجلس المصادر المائية لحساب تكرار تدفق الفيضان (USWRC 1981). ونموذج FREQ هو نموذج لتقدير تكرار فيضان لتوزيع بيرسون اللوغاريتمي من نوع ٣ الذي يقوم على أساس بياني. وهو يسمح للمستخدم بحساب عوامل التكرار غير المنحازة وحدود التأكد لعمل التقديرات. وهو يسمح أيضاً بتبديل معامل الالتواء.

التحليل الهيدروليكي

HYDRAULIC ANALYSIS

تصنيف السريان

Classification of Flows

إن موضوع الهيدروليكا يشمل دراسة حركة الماء خلال مجاري المياه سواء الطبيعية أم الصناعية ويشمل القنوات المفتوحة والأنابيب. وسريان الماء يقسم إلى عدة أنواع:

١- السريان الحر والسريان المضغوط: يحدث السريان الحر عندما يكون السطح العلوي للماء معرض للضغط الجوي، أما السريان المضغوط فيحدث عندما يكون سطح الماء محدودة بسطح صلب (أي أن السريان في قنوات مغلقة، البرابخ أو الكباري تحت ظروف الفيضانات).

٢- السريان المنتظم وغير المنتظم: يحدث السريان المنتظم عندما يكون عمق السريان ثابت عند أي مقطع عرضي من القناة وسطح الماء مواز لقاع القناة. أما السريان غير المنتظم أو المتغير يحدث عند دخول أو خروج السريان على طول القناة ويتغير عمق السريان من مقطع عرضي إلى آخر.

٣- السريان المستقر وغير المستقر: يحدث السريان المستقر عندما لا يتغير عمق السريان مع الزمن أما السريان غير المستقر يحدث عند تغير السريان مع الزمن. وقد يكون السريان غير المنتظم (المتغير) ذو تغير تدريجي أو تغير سريع (أي يحدث قفزات

هيدروليكية). السريان المنتظم وغير المستقر لا يحدث عملياً ومن ناحية أخرى قد يكون السريان غير المستقر ذو تغير تدريجي كما يحدث في موجات الفيضان أو تغير سريع كما في المد.

٤ - السريان الطبقي والسريان الاضطرابي: السريان الطبقي محكوم باللزوجة أما السريان الاضطرابي فهو محكوم بقوة القصور الذاتي أو الجاذبية. سواء كان السريان طبقي أو مضطرب فيمكن تحديده بواسطة رقم رينولد ورمزه Re ويحدد من المعادلة:

$$R_e = VR/v \quad (٣, ١)$$

حيث إن:

$$V = \text{سرعة السريان (م/ث)}.$$

$$R = \text{نصف القطر الهيدروليكي (م)} = A/P.$$

$$A = \text{مساحة مقطع السريان (م}^2\text{)}.$$

$$P = \text{المحيط المبتل (م)}.$$

$$v = \text{اللزوجة الكينماتيكية (م}^2\text{/ث)}.$$

يُعد السريان طبقي إذا كان رقم رينولد أقل من ٥٠٠ ويكون انتقالياً في الحدود من ٥٠٠ إلى ١٢٥٠٠ بينما يكون اضطرابياً إذا كان أكبر من ١٢٥٠٠ والحدود العليا قد تكون مؤثرة جداً ومعتمدة على الظروف الخاصة للسريان.

٥ - السريان تحت الحرج والحرج وفوق الحرج: عندما يكون السريان محكوم بقوة الجاذبية فإن السريان يمكن تمييزه بواسطة رقم فرود ورمزه F ويحدد من المعادلة:

$$F = V/\sqrt{gD} \quad (٣, ٢)$$

حيث إن:

$$g = \text{عجلة الجاذبية الأرضية وتساوي } 9,81 \text{ (م/ث}^2\text{)}.$$

$$D = \text{العمق الهيدروليكي (م)} = A/T.$$

$$T = \text{عرض سطح ماء السريان (م)}.$$

ويُعد السريان تحت حرج إذا كانت قيمة F أقل من الواحد الصحيح ويكون السريان حرج إذا كانت قيمة F مساوية للواحد الصحيح ويكون السريان فوق حرج إذا كانت قيمة F أكبر من الواحد الصحيح.

السريان المستقر المنتظم في القنوات المفتوحة

Steady Uniform Flow in Open Channels

السريان المنتظم في القنوات المفتوحة أو الأنابيب غير الممتلئة محكوم بالمعادلات

التالية:

١ - معادلة ماننق

$$V = (1/n) R^{2/3} \sqrt{S} \quad (٣,٣)$$

٢ - معادلة شيزي

$$V = C \sqrt{RS} \quad (٣,٤)$$

٣ - معادلة دارسي-ويسباك (تستخدم بصفة عامة للسريان داخل الأنابيب)

$$h = f L V^2 / (2 g d) \quad (٣,٥)$$

٤ - معادلة هازن-ويليم (تستخدم غالباً للسريان داخل الأنابيب)

$$V = 0.84917 C_H R^{0.63} S^{0.54} \quad (٣,٦)$$

حيث إن:

$$S = \text{ميل خط الطاقة (م/م)}.$$

L = طول الأنبوب (م).

h = فاقد الضاغط للأنبوب (م).

d = قطر الأنبوب (م) $= R \cdot \epsilon$.

n = معامل مانتيق للخشونة.

C = معامل شيزي.

f = معامل الاحتكاك لدارسي-ويسباك.

C_H = معامل هازن- ويليام.

المعاملات في المعادلات من رقم (٣,٣ - ٣,٦) يمكن إيجادها من العلاقات:

$$(٣,٧) \quad C = R^{1/6} / n \quad \text{or} \quad n = R^{1/6} / C = R^{1/6} \sqrt{f / \sqrt{8g}}$$

$$(٣,٨) \quad f = 8g n^2 / R^2 \quad \text{or} \quad n = R^{1/6} \sqrt{f / \sqrt{8g}}$$

$$(٣,٩) \quad C_H = 1.175562 R^{0.037} / (n S^{0.04}) \quad \text{or} \quad n = 1.175562 R^{0.037} / (C_H S^{0.04})$$

وفي حالة أن تكون نوع مادة قاع القناة معلومة سواء حبيبات أو مادة مبطنة فإن معامل الخشونة لمانتيق يمكن استنتاجه باستخدام معادلة ستريكلر

(Simons and Sentruk 1976,1992).

$$(٣,١٠) \quad n = d_{90}^{1/6} / 26$$

حيث d_{90} هو قطر الحبيبات (م) التي تشكل ٩٠٪ من المادة، والقيم المقدرة باستخدام المعادلة رقم (٣,١٠) قد تكون صغيرة جداً في ظروف حقلية أخرى.

والقيم النموذجية للظروف الحقلية المختلفة موجودة في الجدول رقم (٣,١)

(Chow 1959).

الجدول رقم (٣، ١). القيم النموذجية لمعامل مانتق للخشونة n.

نوع القناة	معامل مانتق للخشونة n
محفورة في الأرض نظيفة، مستقيمة ومتماثلة	٠,٠١٦ - ٠,٠٢٠
محفورة في الأرض مستقيمة ومتماثلة مع بعض الأعشاب القصيرة والحشائش	٠,٠٢٢ - ٠,٠٥٥
قناة ترابية راكدة، ملتفة بدون أي غطاء نباتي	٠,٠٢٣ - ٠,٠٣٠
قناة ترابية راكدة، ملتفة مع بعض الأعشاب القصيرة والحشائش	٠,٠٢٥ - ٠,٠٣٣
قناة من الصخور المصقولة والمتماثلة	٠,٠٢٥ - ٠,٠٤٠
قناة من الصخور الخشنة وغير منتظمة	٠,٠٣٥ - ٠,٠٥٠
قناة مهملة مع وجود حشائش مرتفعة بارتفاع عمق السريان	٠,٠٥٠ - ٠,١٢٠
قناة مهملة مع وجود أحراش حشائش مرتفعة	٠,٠٨٠ - ٠,١٤٠
القناة طبيعية نظيفة، مع شط مستقيم، منصة كاملة، بدون انشقاقات عميقة أو مجمعات	٠,٠٢٥ - ٠,٠٣٣
القناة طبيعية مع شط مستقيم، منصة كاملة، بدون انشقاقات عميقة أو مجمعات مع وجود بعض الحشائش والأحجار	٠,٠٣٠ - ٠,٠٤٠
قناة ملتفة طبيعياً مع وجود بعض أو مجمعات أو مياه ضحلة.	٠,٠٣٣ - ٠,٠٤٥
قناة ملتفة طبيعياً مع وجود بعض أو مجمعات أو مياه ضحلة مع منصة قصيرة، ميول وقطاعات غير مؤثرة	٠,٠٤٠ - ٠,٠٥٥
قناة ملتفة طبيعياً مع وجود بعض أو مجمعات أو مياه ضحلة مع وجود بعض الحشائش والأحجار	٠,٠٣٥ - ٠,٠٥٠
قناة ملتفة طبيعياً مع وجود بعض أو مجمعات أو مياه ضحلة مع منصة قصيرة، ميول وقطاعات حجرية غير مؤثرة	٠,٠٤٥ - ٠,٠٦٠
نهر راكد مع وجود مجمعات عميقة جداً	٠,٠٥٠ - ٠,٠٨٠
جدول مائي مع وجود حشائش كثيرة	٠,٠٧٥ - ٠,١٥٠
سهول الفيضان والمراعي بدون أغصان	٠,٠٢٥ - ٠,٠٥٠

تابع الجدول رقم (١، ٣).

معامل مانتق للخشونة	نوع القناة
n	
٠,٠٥٠-٠,٠٢٥	سهول الفيضان مع مناطق مزروعة
٠,١٦٠-٠,٠٣٥	سهول الفيضان مع أغصان مقطوعة
٠,١٦٠-٠,٠٥٠	سهول الفيضان مع أشجار
٠,٠١٦-٠,٠١١	قناة مبطنة بالخرسانة
٠,٠٢٥-٠,٠١٦	قناة خشنة
٠,٥٠٠-٠,٠٣٠	قناة بها نباتات تبطنها

المصدر: Chow (1959).

تصميم القنوات غير القابلة للانجراف

Design of Nonerodible Channels

تشمل القنوات غير القابلة للانجراف القنوات المبطنة بالاسمنت، الصخور أو المدرعة. وعادة تصمم تلك القنوات عندما يكون ميل الأرض عبر طولها شديد الانحدار، أو محدودية ميول جوانب القناة، أو النحر في قاع أو جوانب القناة غير مقبول، أو القناة يجب أن تمر عبر صخور مكشوفة. إن خطوات تصميم هذا النوع من القنوات يكون بطريقة المحاولات، وخطوات الحسابات كما يلي:

- ١- أوجد التصرف التصميمي Q (m^3/s) (أعلى قيمة للفيضان في القنوات المتحكم فيها، أو التصرف الأقصى لقنوات الري أو تلك المستخدمة في توليد الكهرباء).
- ٢- ارسم قطاع للقاع على طول القناة، وقم بالعلامات المطلوبة للارتفاعات بصورة معكوسة عند أعلى السريان وفي اتجاه السريان، أوجد ميل القاع الملائم للقناة لأقل كمية من الحفر. وقاع القناة يجب أن لا يكون في الموضع العالي.

٣- أحسب أقصى سرعة مسموح بها V (م/ث) وذلك لنوع التبتين أو الدرع. للقنوات المبطنة بالاسمنت أو مبطنة بالقطع الصخرية فإن السرعة تتراوح بين ٥ - ١٥ م/ث وتعتمد على مقاومة الانجراف للإسمنت أو الصخر، أما القنوات المبطنة بالنجيل "الحشائش" فتتراوح السرعة بين ١ - ٢,٥ م/ث تعتمد على نوع التربة والحشائش. أما التقدير المبدئي للسرعة القصوى لنوع مادة التبتين يمكن إيجاده مستخدماً الطريقة الموضحة في الجزء الخاص بالقنوات القابلة للانجراف.

٤- قدر معامل مانتيق للخشونة n مستخدماً الجدول رقم (٣, ١)، واحسب نصف القطر الهيدروليكي مستخدماً العلاقة

$$V = (1/n) R^{2/3} \sqrt{S} \quad (٣, ٣)$$

٥- احسب مساحة المقطع العرضي للسريان

$$A = Q/V \quad (٣, ١١)$$

٦- قدر الميل الجانبية للقناة. القيم النموذجية لها موجودة في الجدول رقم (٣, ٢). أن الميل الجانبية للقنوات الطينية يجب أن تختبر بتحليل الاستقرار.

٧- افرض عمق الماء D (م) واحسب عرض القاع B (م)، وللقنوات ذات الشكل شبه المنحرف

$$A = B D + z D^2 \quad (٣, ١٢)$$

٨- احسب

$$P = \left[B + D 2 \sqrt{(z^2 + 1)} \right] \quad (٣, ١٣)$$

٩- احسب

$$R = A/P \quad (٣, ١٤)$$

الجدول رقم (٣، ٢). الميول الجانبية المناسبة للقنوات غير القابلة للانجراف.

نوع القناة	الميول الجانبية المناسبة (z أفقي: 1 رأسي)
مبطنة بالأسمنت	الحوائط الرأسية (١ : ٠) إلى (١ : ٢) أو مستقيمة
مبطنة بالصخور المقطوعة	١ : ٠ للحدود التطبيقية للصخور
مدعمة بالحجر	١ : ١,٥ أو مستقيمة
مبطنة	ميول صخرية ١ : ١
طمي أسمتي	١ : ٢

المصدر: (Chow 1959).

إذا كانت قيمة R لا تساوي القيمة المقدرة من المعادلة في الخطوة (٤) تقريباً افرض قيمة جديدة لـ D ثم أعد الخطوات من (٧) إلى (٩)، كرر تلك الخطوات حتى تقترب القيمتان. وخطوات تصميم الأشكال الأخرى لمقاطع السريان تشبه الخطوات السابقة غير أنها تستخدم معادلات أخرى لكل من A, P .

مثال رقم (٣، ١): صمم قطاع لمجرى مائي مبطن بالأسمنت طوله ٢ كم حيث S تساوي ٠,٠٠٢٥ م/م. المنبع من بناء هيكلي. والقناة المتكونة بعرض ٥٥ م تقريباً. والقناة الأمامية مبطنة ولها السعة الكافية التي تجعل التبتين لا يؤثر فيه الانجراف والفيضان عند المصب. استخدم Q تساوي ٥٠٠ م^٣/ث، السرعة المسموح بها للتبتين الأسمتي هي ٥,٠ م/ث و n تساوي ٠,٠١٥.

الحل:

من المعادلة رقم (٣، ٣)

$$5.0 = (1/0.015)R^{2/3} \sqrt{(0.0025)}$$

فإن

$$R = 1.837 \text{ m}$$

$$A = 500/5.0 = 100 \text{ m}^2$$

وحيث إن طبقة التبطين الأسمنتية ستركب على المنحدرات الطينية فإن الميول الجانبية المناسبة هي ٢ أفقي : ١ رأسي. الحسابات بالقيم الافتراضية لـ D موجودة في الجدول رقم (٣,٣). ولتقليل احتمالات السرعة الزائدة للفيضان في مناطق معينة فإن القناة سيكون لها عرض قاع يساوي ٤٦ م وميول جانبية ٢ أفقي : ١ رأسي وعمق كلي يساوي ٢,٦٥ م، مما يوفر حافة حرة حوالي ٠,٦٥ م فوق مستوى الفيضان.

الجدول رقم (٣,٣). الأبعاد التقريبية للقناة المبطة بالأسمنت.

قيم R (م) $R = A/P$	قيم P (م) من معادلة رقم (٣, ١٣)	قيم B (م) من معادلة رقم (٣, ١٢) $B = (A - zD^2)/D$	قيم D المفروضة (م)
١,٦٣	٦١,٤٧	٥٣,٦٤	١,٧٥
٢,١٦	٤٦,١٨	٣٥,٠	٢,٥٠
١,٨٢	٥٤,٩٤	٤٦,٠	٢,٠
١,٨٤	٥٤,٣٤٥	٤٥,٢٨	٢,٠٢٧
١,٨٣٧	٥٤,٤٣٢٧	٤٥,٣٨٥٥	٢,٠٢٣

تفاوتت السرعة في مقاطع السريان للقنوات المفتوحة في كل من الاتجاهين الرأسي والأفقي. وتستخدم معادلات مختلفة لتقدير السرعات عند عمق محدد للقنوات الناعمة والخشنة. وللريان الاضطرابي، في حالة $5 < U_* / \nu$ تعامل القنوات كقناة ناعمة، وتعامل كقناة خشنة إذا كانت $70 < U_* / \nu$ ، والحالة الانتقالية

تكون عند $5 < k U_* / v < 70$ ، حيث U_* الاحتكاك أو سرعة القص (م/ث) وتساوي $\sqrt{g R S}$ و k الارتفاع المكافئ للخشونة (م). وبالنسبة للقنوات المبطننة بالحجارة المدكوكة فإن $k = d_{65}$ ، وبالنسبة للقنوات ذات القاع المتحرك فإن k عادة تكون أكبر بكثير من d_{65} بسبب الحدود الشاذة والأشكال المختلفة للقاع، وقد تتغير القيمة من ٠.٠٣ إلى ٠.٩١ م. وفي حالة معرفة معامل شيزي C أو معامل ماننق n فيمكن حساب k من المعادلة:

$$(٣, ١٥) \quad C = R^{1/6} / n = 32.6 \log (12.2 R / k)$$

للسريان الاضطرابي في القنوات الناعمة

$$(٣, ١٦) \quad U / U_* = 5.5 + 5.75 \log (U_* y / v) = 5.75 \log (9 U_* y / v)$$

حيث إن، U = السرعة عند العمق y أعلى قاع القناة (م/ث).

للسريان الاضطرابي في القنوات الخشنة

$$(٣, ١٧) \quad U / U_* = 8.5 + 5.75 \log (y / k) = 5.75 \log (30 y / k)$$

وفي الحالة الانتقالية بين القنوات الناعمة والخشنة فإن الثابت ٨,٥ في المعادلة

رقم (٣, ١٧) يتغير بتغير $(k U_* / v)$ (Simons and Senturk; 1976, 1992) وللسريان

الطبقي في القنوات المفتوحة ذات المقطع المستطيل فإن توزيع السرعة في الاتجاه الرأسي

يمكن إيجاده من (Chow 1959):

$$(٣, ١٨) \quad U = (\gamma S / \mu) (y D - y^2 / 2)$$

حيث إن:

γ = كثافة للماء (كجم/م^٣).

D = عمق السريان (م).

μ = اللزوجة الديناميكية للماء (كجم.ث/م^٢).

ويحدث السريان الطبقي إذا كانت السرعة وعمق ماء السريان صغيرة نسبياً. السرعات للعمق المتوسط عند المواقع المختلفة على طول المقطع العرضي للقناة يفترض أنها تتناسب مع $y^{2/3}$ حيث y هي عمق الماء (م) عند هذا الموقع. ويمكن إيجاد توزيع السرعة المفضل للعمق المتوسط على طول المقطع العرضي للقناة من HEC-RAS (USACE 1991c)، HEC-2 USACE (1998) أو من نماذج شبيهة.

تصميم القنوات القابلة للانجراف

Design of Erodible Channels

السرعة القصوى المسموح بها Maximum Permissible Velocity

يجب اختبار قاع وجوانب القنوات القابلة للانجراف أو الترسب تحت ظروف سريان مختلفة. واستقرار تلك القنوات مرتبط بخواص مادتي القاع والجوانب بالإضافة إلى الخواص الهيدروليكية للسريان. وهناك طريقة بسيطة وعملية لتصميم القنوات القابلة للانجراف تعتمد على السرعة القصوى المسموح بها للسريان لكل من مادتي القاع والجوانب. والقيم النموذجية لمعامل ماننق للخشونة والسرعات القصوى المسموح بها لكل أنواع التربة موضحة في الجدول رقم (٤، ٣) (SCS 1954, Simons 1959, and Senturk 1976, 1992 Chow 1959).

الجدول رقم (٣، ٤). القيم النموذجية لمعامل مانتق للخشونة وأقصى سرعة مسموح بها.

أقصى سرعة مسموح بها (م/ث)				المادة
ماء محمل بحبيبات طينية غير غروية، رمل، حصي، قثافيت الصخر	ماء محمل بحبيبات طينية غروية	ماء صافي	n	
٠,٤٦	٠,٧٦	٠,٤٦	٠,٠٢	رمل ناعم (غروي)
٠,٦١	٠,٧٦	٠,٥٣	٠,٠٢	رملية جيرية (غير غروية)
٠,٦١	٠,٩١	٠,٦١	٠,٠٢	طينية جيرية (غير غروية)
٠,٦١	١,٠٧	٠,٦١	٠,٠٢	رواسب طينية (غير غروية)
٠,٦٩	١,٠٧	٠,٧٦	٠,٠٢	جيرية عادية
٠,٦١	١,٠٧	٠,٧٦	٠,٠٢	رماد بركاني
١,١٤	١,٥٢	٠,٧٦	٠,٠٢٥	حصي ناعم
٠,٩١	١,٥٢	١,١٤	٠,٠٣	طينية صلبة (صمغية جداً)
١,٥٢	١,٥٢	١,١٤	٠,٠٢٥	حصي جبلي متدرج (غير غروية)
٠,٩١	١,٥٢	١,١٤	٠,٠٣٠	رواسب طينية (غروية)
١,٥٢	١,٦٨	١,٢٢	٠,٠٢٥	حصي طمي متدرج (غروي)
١,٩٨	١,٨٣	١,٢٢	٠,٠٣٥	حصي غير مصقول متدرج (غير غروية)
١,٩٨	١,٦٨	١,٥٢	٠,٠٣٥	حصي أو زلط
١,٥٢	١,٨٣	١,٨٣	٠,٠٢٥	حجر رخو

المصدر: (Chow 1959) ; Simons and Senturk (1976, 1992) ; SCS (1954).

الميول المناسبة للقنوات القابلة للانجراف موضحة في الجدول رقم (٣، ٥)

(Chow 1959).

الجدول رقم (٣, ٥). الميول الجانبية المناسبة للقنوات القابلة للانجراف.

مادة القناة	الميول الجانبية (z أفقي : 1 رأسي)
طينية صلبة	٠,٥ : ١ إلى ١ : ١
طينية مدكوكة أو تربة تحتوي على طين وطيني ورمل	١ : ١,٥
تربة طميية، جيرية أو رملية	١ : ٢
تربة رملية جيرية، طميية مسامية، رمل دقيق	١ : ٣

المصدر: (Chow 1959).

سرعة لا ترسيب ولا نفايات Nonsilting, Nonscouring Velocity

لتفادي حدوث ترسيب في القنوات (قنوات الري، الترعة) فإن تصميم القنوات القابلة للانجراف أحياناً يتطلب أن تكون سرعة السريان في تلك القنوات أعلى من الحد الأدنى للسرعة المسموح بها وفيما يلي المعادلات الأكثر شيوعاً لتقدير السرعة التي لا يحدث عندها ترسيب للطيني أو النفايات:

١ - معادلة كيندي لسرعة لا ترسيب ولا نفايات

$$V_o \text{ (m/s)} = C D^{0.64} \quad (3, 19)$$

حيث إن C تساوي ٠,٣٧ للتربة ذات الحبيبات الدقيقة جداً، ٠,٥٥ للتربة الغروية والرملية، ٠,٦٠ للتربة الرملية الخفيفة والحشنة، ٠,٦٦ للتربة الرملية والجيرية، ٠,٧١ للتربة الطميية الخشنة والصخرية (Chow 1959, Singh 1967)

٢ - معادلة لاسي لتنظيم السرعة

$$V_o \text{ (m/s)} = (Q f^2 / 140)^{1/6} \quad (3, 20)$$

حيث إن:

$$f = \text{معامل لاسي للغرين} = 1.76 \sqrt{d}$$

$d =$ القطر المتوسط للحبيبات (مم) (Davis and Sorensen 1970 ; Zipparro and Hansen 1993)

مثال رقم (٣، ٢): صمم قناة مائية طميية (غير مبطنة) للوصول للمصب كما في المثال رقم (٣، ١). قاع القناة يحتوي على غرين وجير وحصى، استخدم ميول للجوانب ٢ أفقي: ١ رأسي.

الحل:

هذه القناة قد لا تكون آمنة في المستقبل فتنمو بها الحشائش مع الزمن ولذا نستخدم n تساوي ٠,٠٣٥. وقاع القناة الموجودة ذو ميل شديد (٠,٠٢٥ م/م). ولتقليل ميل قاع القناة نعطي ١, ٤ م لبناء مسقط عند أعلى المجرى المائي، أو ٢ م لمسقط عند أعلى المجرى مع مسقط ١, ٢ م على بعد ١ كم من أعلى المجرى في اتجاه المصب، وقد تم إيجاد هذه القيم بعد عدة محاولات باستخدام ارتفاعات مختلفة للمساقط والتي تنتج ميول للقاع لا تسمح بتعدي السرعة القصوى المسموح بها وعرض لا يكون أكبر بكثير من عرض قاع القناة.

الميل المتوسط للقاع مع المسقط يساوي:

$$(2000 \times 0.0025 - 4.1) / 2000 = 0.00045 \text{ m/m}$$

وفي حالة الفيضان فإن القناة ستنقل الطمي الغير صمغي والرمل والحصى وشظايا الصخر ولذا السرعة المسموح بها من الجدول رقم (٣، ٤) تساوي:

$$V = 1.52 \text{ m/s}$$

وبالتالي مساحة المقطع

$$A = 500 / 1.52 = 328.95 \text{ m}^2$$

إذاً

$$1.52 = (1/0.035) R^{2/3} \sqrt{(0.00045)}$$

وبالتالي

$$R = 3.97 \text{ m} = (B D + 2 D^2) / \left[B + \left\{ 2 \sqrt{(5) D} \right\} \right]$$

وباستخدام طريقة المحاولة والخطأ فإن D تساوي ٤,٦٠٥ م و B تساوي ٦٢,٢٢٣ م لتقليل احتمال السرعة العالية للفيضان في الأماكن المحددة، فإن قاع القناة يساوي ٦٣ م ويعمق كلي ٥,٢٥ م والتي تعطي حافة حرة حوالي ٠,٦٥ م فوق سطح الماء. وبوجود المسقط المائي فإن حفر القناة سيزداد ويزداد قاع القناة ومستوى الفيضان سيكون في حده الأدنى.

تحليل استقرار الرواسب (مدى احتمالية الانجراف والترسيب) مطلوب لتصميم قناة مستقرة، تقييم متطلبات الحماية من الانجراف، واحتمالية وجود الرواسب الملوثة في قاع القناة. المعادلات الأكثر استخداماً لتقييم استقرار الرواسب كالتالي:

١ - معادلة شيلدز لإجهاد القص (Simons and Senturk 1976, 1992): وهذه الطريقة تقارن إجهاد القص عند بدء الحركة مع إجهاد القص عند قاع القناة تبعاً للسريان في القناة.

$$(٣,٢١) \quad \text{Shear resistance of sediments} = a (\gamma_s - \gamma) d$$

$$(٣,٢٢) \quad \text{Shear stress at canal bed due to flow} = \lambda R S$$

حيث إن:

$$\gamma_s = \text{كثافة مادة الترسيب (كجم/م}^٣\text{)} .$$

$$\gamma = \text{كثافة الماء (كجم/م}^٣\text{)} .$$

$$d = \text{قطر الحبيبات (مم).}$$

$$R = \text{متوسط نصف القطر الهيدروليكي (م).}$$

$$S = \text{ميل خط الطاقة (م/م).}$$

$$a = \text{معامل وهو دالة في } U_* d/v.$$

$$U_* = \text{سرعة القص (م/ث)} = \sqrt{g R S}.$$

$$v = \text{اللزوجة الكينماتيكية (م}^2/\text{ث).}$$

قيم a التقريبية عند قيم مختلفة للمقدار $U_* d/v$ موضحة في الجدول رقم (٣، ٦). ولم يتم تقدير قيم a عند $U_* d/v$ تساوي ٢، ٠، وأوضحت الاتجاه العام للبيانات التجريبية أن قيمة a تزداد بنقصان قيمة $U_* d/v$. ولمعظم سريان القنوات المفتوحة يقترح استخدام القيمة ٠، ٠٤٧.

٢- معادلة ماير-بيتر-مولر (USBR 1984). إن معادلة ماير-بيتر-مولر المعدلة لنقل حمل القاع لبداية نقل حبيبة واحدة هي:

$$d = D S \left[57.9 \left\{ n / (d_{90}^{1/6}) \right\}^{3/2} \right] \quad (٣، ٢٣)$$

حيث إن:

$$d = \text{قطر الحبيبات الغير منقولة (م).}$$

$$D = \text{عمق الماء المتوسط (م).}$$

$$n = \text{معامل ماننق للخشونة.}$$

$$d_{90} = \text{قطر الحبيبات التي تشكل ٩٠٪ من المادة (مم).}$$

٣- معادلة اينشتين-ستكلير-ماننق (Simons and Senturk 1976, 1992 ;

USACE 1991d; Singh 1967) : تعتمد هذه الطريقة على معادلة ماننق لتقدير خشونة

القنوات ومعادلة ستريكلر لتقدير خشونة الحبيبات ومعادلة اينشتين لبدء الحركة. وتبعاً لهذه المعادلة فإن قطر الحبيبات لبدء الحركة يساوي:

(٣,٢٤)

$$d = 18.18 R' S$$

الجدول رقم (٣,٦). القيم التقريبية للمعامل a في معادلة شيلدز.

a	$U_* d/v$
٠,٤٥	٠,٢٥
٠,٣٩	٠,٣
٠,٢٩	٠,٤
٠,٢٢	٠,٥
٠,١٩	٠,٦
٠,١٢	١,٠
٠,٠٦	٢,٠
٠,٠٤٧	٣,٠
٠,٠٤٠	٤,٠
٠,٠٣٥	٦,٠
٠,٠٣٤	٨,٠
٠,٠٣٣	١٠
٠,٠٣٤	٢٠
٠,٠٣٥	٣٠
٠,٠٣٧	٤٠
٠,٠٤٠	٦٠
٠,٠٤٥	١٠٠
٠,٠٥٢	٢٠٠
٠,٠٦٠	٥٠٠
٠,٠٦٠	٨٠٠
٠,٠٦٠	١٠٠٠

المصدر: مستنتجة من منحنيات شيلدز Shieds في (Simons and senturk (1976)).

حيث إن R' هو نصف القطر الهيدروليكي المكافئ. والقيم التقريبية لـ R' يمكن تقديرها من معادلة (Singh 1967) :

$$(٣,٢٥) \quad R'/R = (n'/n)^{3/2}$$

حيث إن n' هو معامل الخشونة للحبيبات من معادلة ستريكلر في حالة d_{50} بوحدات (م) (Simons and Senturk 1976,1992).

$$(٣,٢٦) \quad n' = (d_{50})^{1/6} / 25.67$$

وفي حالة d_{50} بوحدات (مم)

$$(٣,٢٧) \quad n' = (d_{50})^{1/6} / 81.2$$

حيث d_{50} هو قطر الحبيبات التي تشكل ٥٠٪ من أخف وزن لمادة قاع القناة.

٤ - معادلة كامب (ASCE 1976): تعتمد هذه الطريقة على معادلة إجهاد القص لبدء الحركة وإجهاد الشد عند قاع القناة ومعادلة ماننق لتقدير ميل خط الطاقة. وتبعاً لتلك المعادلات فإن متوسط سرعة السريان في القناة عند بدء الحركة v_0 يمكن إيجاده كالتالي:

$$(١٣,٢٧) \quad v_0 = (1/n) R^{1/6} \left[\sqrt{\{a (s-1) d\}} \right]$$

$$(٣,٢٧ ب) \quad v_0 = \sqrt{[(8 g/f) a (s-1) d]}$$

حيث إن:

s = الكثافة النوعية لحبيبات الرسوبيات.

f = معامل الاحتكاك لدارسي-ويسباك.

d = قطر الحبيبات (م).

بالنسبة للمعامل a فإن كامب يقترح استخدام القيمة ٠,٠٤ لبدء الحركة، والقيمة ٠,٨ للحمل الشديد بغض النظر عن ميل خط الطاقة. وللميول المستوية التي تكون

عندها قيمة $U_* d/v$ أقل من ٠,٣، فإنه تستخدم قيم أكبر لبدء الحركة (انظر الجدول رقم (٣,٦)).

المعادلات من رقم (٣,٢١) إلى رقم (٣,٢٧) تستند على ظروف معملية محددة أو بيانات حقلية للرواسب غير الملتصقة أو على الخبرات العملية. ونتوقع للحبيبات ذات القطر أقل من ٠,٠٠٩ مم (طينية) مقاومة التماسك والتي لا تحدث في ظروف تلك المعادلات. وسيختلف تقدير حجم الحبيبات القابلة للانجراف من هذه المعادلات تحت ظروف هيدروليكية أخرى. وينصح أن يتم تقدير الانجراف المحتمل باستخدام أكثر من نموذج ويتم اختيار الحجم المناسب بالخبرة.

مثال رقم (٣,٣): قدر انجراف الرواسب من قاع قناة تحت ظروف سريان منتظم حيث R تساوي ٣,٤ م، والميل S يساوي ٠,٠٠٠٠١، ومعامل ماننق للخشونة n يساوي ٠,٠٢٥، وقيم d_{50} ، d_{90} لمادة قاع القناة هي ٠,٣، ٠,٨ مم على التوالي. اعتبر أن:

$\gamma_s = 2650 \text{ kg/m}^3$ ، $\gamma = 1000 \text{ kg/m}^3$ ، $\nu = 1.13 \times 10^{-6} \text{ m}^2/\text{s}$ ، والقناة عريضة ولذا يمكن اعتبار أن R تساوي تقريباً D (متوسط عمق الماء).

الحل:

باستخدام معادلة ماننق فمتوسط سرعة السريان في القناة يساوي

$$(1/0.025) \times (3.4)^{2/3} \times \sqrt{0.00001} = 0.286 \text{ m/s}$$

وباستخدام كل من معادلة شيلدز، وماير-بيتر-مولر، واينشتين-ستركلر-ماننج، ومعادلة كامب لتقدير قطر الحبيبة الذي ينجراف عند تلك الظروف الهيدروليكية:

١ - معادلة شيلدز

$$U_* = \sqrt{g R S} = \sqrt{(9.81 \times 3.4 \times 0.0001)} = 0.081 \text{ m/s}$$

وفي المحاولة الأولى لقطر ٠,٣ مم

$$U, d/v = 0.018 \times 0.3 \times 10^6 / (1000 \times 1.13) = 4.78$$

ويستخدم a تساوي ٠,٠٤ من الجدول رقم (٣,٦)

$$\tau (\text{canal bed}) = \lambda R S = 1000 \times 3.4 \times 0.00001 = 0.034 \text{ kg/m}^2$$

$$\tau (\text{resistance}) = a (\gamma_s - \gamma) d = 0.04 \times 1650 \times d$$

وبمساواة إجهاد القص عند القاع بمقاومة القص أي الشد نجد إن

$$d = 0.00051 \text{ m} = 0.51 \text{ mm}$$

وبقيمة d تساوي ٠,٥١ مم فإن $U, d/v$ تساوي ٨,١٢، والقيمة المعدلة لـ a (أي

٠,٠٤) تكون محافظة.

٢- معادلة ماير-بيتر-مولر

$$d = 3.4 \times 0.00001 / [57.9 \{0.025 / (0.8^{1/6})\}^{3/2}] = 0.00014 \text{ m} = 0.14 \text{ mm}$$

٣- معادلة اينشتاين-ستركلر-ماننق

$$n' = (0.3)^{1/6} / 81.2 = 0.010$$

$$R' = 3.4 \times (0.010 / 0.025)^{1.5} = 0.87 \text{ m}$$

$$d = 18.18 \times 0.87 \times 0.00016 = 0.00016 \text{ m} = 0.16 \text{ mm}$$

٤- معادلة كامب

$$s = (2650) / 1000 = 2.65$$

$$0.286 = (1/0.025) \times (3.4)^{1/6} \times \sqrt{(0.04 \times 1.65 d)}$$

$$d = 0.00051 \text{ m} = 0.51 \text{ mm}$$

نجد من النتائج المستنتجة سابقاً أن نتيجتين أقل من d_{50} لمادة قاع القناة

والأخيرتين لهما قيمة أكبر. وهذا يؤدي إلى استنتاج وجود احتمالية لتحرك الرواسب.

ولاحظ أن هذه التقديرات للحركة المبدئية وليس لعملية التنظيف.

تصميم القنوات المزروعة Design of Vegetated Channels

للاعتبارات البيئية والاقتصادية كثيراً ما يكون من المستحسن للتحكم في الانجراف دراسة تبطين جوانب القنوات بزراعتها بالنباتات. والطريقة الشائعة لتصميم القنوات المزروعة تقوم على استخدام السرعة المسموح بها أو خرائط وجداول n-VR أو استخدام الجداول المحددة بواسطة هيئة الحفاظ على التربة الأمريكية لمختلف أنواع التبطين بالنباتات (SCS 2945, Chow 1959, Barfield et al 1981). و VR هي ناتج حاصل ضرب السرعة في نصف القطر الهيدروليكي، و n معامل ماننق للخشونة. وقسمت الأعشاب كمعوقات إلى خمس فئات (أ، ب، ج، د، هـ) على أساس النوع، وارتفاع وحالة الإعشاب. والمبادئ الإرشادية لتحديد فئة الإعاقة من البطانة النباتية مدرجة في الجدولين رقمي (٣،٧) و (٣،٨) (SCS 1954).

الجدول رقم (٣،٧). فئات المعوقات لمختلف الأغطية النباتية.

فئة المعاق	الغطاء النباتي	الظروف
أ	عشب الحب المتهدل	قاعدة ممتازة، طويل (متوسط ٧٦ سم).
	عشب بري أصفر أزرق الساق	قاعدة ممتازة، طويل (متوسط ٩١،٥ سم).
ب	نبات متسلق	نمو ذو كثافة عالية، غير مقطوعة
	عشب برمودا	طويل، يقف بصورة جيدة (متوسط ٣٠،٥ سم).
	خليط العشب الأصلي (العشب ذات الساق	سم).
	الزرقاء الصغيرة، الجراما الزرقاء، أعشاب	
	الوسط الغربي الطويلة والقصيرة الأخرى)	
	أعشاب الحب المتهدلة	تقف بصورة جيدة، غير محشوشة
	ليسيديزا سيرسا	تقف بصورة جيدة، طويل (٦١ سم)
	برسيم	تقف بصورة جيدة، طويل، غير خشبية (٤٨ سم)
	أعشاب الحب المتهدلة	سم)

تابع جدول رقم (٣,٧).

الظروف	الغطاء النباتي	فئة العائق
تقف بصورة جيدة، غير مقطوعة بمتوسط (٢٨ سم)	نبات متسلق	
تقف بصورة جيدة، محشوشة بمتوسط (٣٣ سم)	الجراما الزرقاء	
نمو ذو كثافة عالية، غير مقطوعة.		
يقف بصورة جيدة، غير مقطوعة (متوسط ٣٣ سم)		
قائم بصورة معتدلة، غير مقطوع (٢٥,٤ إلى ١٢٢ سم).	عشب سرطان عشب برامودا	ج
قائم بصورة جيدة، محشوشة (بمتوسط ١٥ سم)	ليزبلا الشائعة	
تقف بصورة جيدة، غير مقطوعة بمتوسط (٢٨ سم).	خليط العشب والبقول الصيفية (عشب البستان، النخيل الأبيض، الزوات الايطالي، ليزبلا الشائعة)	
قاعدة ممتازة، غير مقطوع (١٥ إلى ٢٠ سم)	عشب الحريش	
غطاء كثيف جدا (متوسط ١٥ سم)	اعشاب كتاكلي الزرقاء	
قاعدة جيدة، له رؤوس (١٥ إلى ٣٠,٥ سم)		
قائم بصورة جيدة، مقطوع لارتفاع ٦ سم	عشب برامودا	د
قائم بصورة ممتازة، غير مقطوع بمتوسط (١١,٥ سم).	ليزبلا الشائعة عشب الجاموس	
قاعدة جيدة، غير مقطوع (٧,٥ إلى ١٥ سم)	خليط العشب والبقول بالخرنوب والريبع (عشب البستان، النجيل الأبيض، الزوات الايطالي، ليزبلا الشائعة)	
قاعدة جيدة، غير مقطوع (١٠ إلى ١٣ سم)	ليسبيديزا سيرسا	
بعد القطع ارتفاعه ٥ سم، قاعدة جيدة جدا قبل القطع		
قائم بصورة جيدة مقطوع لارتفاع ٣,٨ سم	عشب برامودا	هـ
الجدامة المحروقة	عشب برامودا	

الجدول رقم (٣,٨). دليل اختيار فئة العائق النباتي.

الحالة	متوسط طول العشب (سم)	فئة العائق
قائم تماماً	$76 <$	أ
	$61 - 28$	ب
	$25 - 15$	ج
	$15 - 5$	د
	< 5	هـ
قائم بصورة معتدلة	$76 <$	ب
	$61 - 28$	ج
	$25 - 15$	د
	$15 - 5$	د
	< 5	هـ

المصدر: (SCS 1954).

والسرعات المسموح بها للأنواع المختلفة من الغطاء النباتي مبينة في الجدول رقم (٣,٩) (SCS 1954). والسرعات التي تتجاوز 1.52 م/ث ينبغي إن لا تستخدم إلا في حالة الغطاء الجيد والصيانة الجيدة للبطانة النباتية.

وقيم معامل مانتيق n ونتائج ضرب VR لمختلف فئات الإعاقة مبينة في الجدولين رقم (٣,١٠) (أ) ورقم (٣,١٠) (ب) (SCS 1954).

وبعد تحديد فئة الإعاقة لنوع البطانة النباتية المفضلة، خطوات حسابات التصميم كما يلي:

١ - اختر السرعة المسموح بها V ، لنوع البطانة النباتية من الجدول رقم (٣,٩).

الجدول (٣, ٩). السرعات المسموح بها في القنوات التي بها غطاء نباتي.

الغطاء العشبي	مدى الميل (%)	السرعات المسموح بها (م/ث)	
		التربة المقاومة للانجراف	التربة سهلة الانجراف
عشب برمودا	٥ - ٠	٢,٤٤	١,٨٣
	١٠ - ٥	٢,١٣	١,٥٢
	١٠ <	١,٨٣	١,٢٢
عشب الجاموس، أعشاب كتاكي الزرقاء،	٥ - ٠	٢,١٣	١,٥٢
الشويعة الملساء، الجرما الزرقاء	١٠ - ٥	١,٨٣	١,٢٢
	١٠ <	١,٥٢	٠,٩١
خليط العشب	٥ - ٠	١,٥٢	١,٢٢
	١٠ - ٥	١,٢٢	٠,٩١
	١٠ <	NR	NR
ليسبيديزا سيرسا، أعشاب الحب المتهدلة،	٥ - ٠	١,٠٧	٠,٧٦
السيقان الزرقاء الصفراء، نبات متسلق،	٥ <	NR	NR
برسيم، عشب متوحش			
ليسبيديزا عادي*، عشب السودان	٥ - ٠	١,٠٧	٠,٧٦
	٥ <	NR	NR

* سنوية تستخدم على المنحدرات المتوسطة أو كحماية مؤقتة حتى يتم إنشاء الأغشية الدائمة.

NR تعني أنها ليست موصى بها.

المصدر: (SCS 1954).

٢ - افترض قيمة أولية لمعامل ماننق n وأقرأ قيمة VR المقابلة من الجدول رقم

(١٠, ١٣) أو رقم (١٠, ٣ب).

٣ - احسب قيمة $R = VR/V$.

٤ - استخدم معادلة ماننق لتقدير \sqrt{S} $VR = (1/n) R^{5/3}$.

٥ - إذا كانت قيمة VR لا تساوي تقريباً القيمة المتحصل عليها من الخطوة رقم (٢) افترض قيمة أخرى لـ n حتى تقترب القيمتان المقدرتان.

٦ - احسب مساحة السريان باستخدام $A = Q/V$.

٧ - حدد الميول الجانبية المقبولة Z لمقطع القناة على شكل شبه منحرف وكذلك افترض عرض القاع الملائم B .

٨ - قدر عمق القناة من المعادلة $A = B D + z D^2$.

الجدول رقم (١٠، ١٣). قيم VR و n لأنواع الإعاقة المختلفة.

قيمة معامل ماننق n لمختلف فئات العوائق					نتائج ضرب السرعة ونصف القطر الهيدروليكي VR (م ^٢ /ث)
أ	ب	ج	د	هـ	
٠,٢٩	٠,١٥	٠,٠٨٥	٠,٠٦	٠,٠٣٦	٠,٠٩٣
٠,١٧٥	٠,١٠	٠,٠٥٨	٠,٠٤٦	٠,٣٠	٠,١٨٦
٠,١٣	٠,٠٨	٠,٠٤٨	٠,٠٤٠	٠,٠٢٩	٠,٢٧٩
٠,١١	٠,٠٧	٠,٠٤٢	٠,٠٣٨	٠,٠٢٧	٠,٣٧٢
٠,٠٩٢	٠,٠٦٣	٠,٠٣٩	٠,٠٣٧	٠,٠٢٦	٠,٤٦٤
٠,٠٨٥	٠,٠٥٩	٠,٠٣٨	٠,٠٣٥	٠,٠٢٥	٠,٥٥٧
٠,٠٧٥	٠,٠٥٢	٠,٠٣٥	٠,٠٣٤	٠,٠٢٥	٠,٧٤٣
٠,٠٧	٠,٠٤٨	٠,٠٣٤	٠,٠٣٢	٠,٠٢٥	٠,٩٢٩
٠,٠٦	٠,٠٤	٠,٠٣٢	٠,٠٣٠	٠,٠٢٤	١,٨٥٨

المصدر: (SCS 1954).

الجدول رقم (١٠، ٣ ب). قيم n و VR لأنواع الإعاقة المختلفة.

نتائج ضرب السرعة في نصف القطر الهيدروليكي VR (م^٢/ث) لأنواع إعاقات مختلفة

معامل ماننق n	أ	ب	ج	د	هـ
٠,٠٢٤	-	-	-	-	١,٨٥٨
٠,٠٣٠	-	-	-	١,٨٥٨	٠,١٩٥
٠,٠٤٠	-	١,٨٥٨	٠,٤٤٦	٠,٢٩٧	٠,٠٦٨
٠,٠٥٠	-	٠,٨٣٦	٠,٢٤٨	٠,١٤٥	٠,٠٣٦
٠,٠٦٠	١,٨٥٨	٠,٥٢٠	٠,١٧٢	٠,٠٩٢	٠,٠٢١
٠,٠٧٠	٠,٩٢٩	٠,٣٦٢	٠,١٢٨	٠,٠٦٤	٠,٠١٤
٠,٠٨٠	٠,٦٤١	٠,٢٧٩	٠,١٠٠	٠,٠٤٦	٠,٠١٠
٠,٠٩٠	٠,٥٠٢	٠,٢٢٣	٠,٠٨٤	٠,٠٣٧	-
٠,١٠	٠,٤٠٩	٠,١٨٦	٠,٠٧٢	٠,٠٣١	-
٠,١٥	٠,٢٣٢	٠,١٠٤	٠,٠٤٠	٠,٠١٥	-
٠,٢٠	٠,١٥٦	٠,٠٦٤	٠,٠٢٧	-	-
٠,٣٠	٠,٠٨٦	٠,٠٣٣	-	-	-
٠,٣٧٥	٠,٠٣٧	-	-	-	-

- توضح أن الناتج VR ليس متغيراً لهذه القيم مع n ونوع الإعاقه.

المصدر: (SCS (1954).

مثال رقم (٣,٤): أوجد أبعاد القناة المحفورة في تربة قابلة للانجراف ومبطنه بعشب برمادا وسيتم الاحتفاظ بمتوسط ارتفاع له حوالي ٦ سم. والتصرف في القناة ٣ م^٣/ث مع ميول ٠,٠٢ للقاع وميول جوانب ٢,٥ أفقي : ١ رأسي.

الحل:

من الجدولين رقمي (٣,٧ و ٣,٨) فإن فئة الإعاقه هي د، ومن الجدول رقم (٣,٩) فإن السرعة القصوى المسموح بها للميل ٢٪ هي ١,٨٣ م/ث.

وبفرض n كمحاولة أولى تساوي 0.033 ومن الجدول رقم (٣، ١٠) أو الجدول رقم (٣، ١٠) فإن VR تساوي 0.836 م^٢/ث ولذا فإن:

$$R = 0.836/1.83 = 0.4568 \text{ m}$$

وباستخدام معادلة ماننق:

$$VR = (1/n) R^{5/3} \sqrt{S} = (1/0.033) (0.4568)^{5/3} \sqrt{0.02} = 1.16$$

وبالمثل فإن المحاولات الأخرى لقيم n المختلفة تعطي القيم الموضحة أدناه:

(١)	(٢)	(٣)	(٤)
n	VR من الجدول (٣، ١٠)	R	$VR = (1/n) R^{2/3} S^{1/2}$
0.034	0.743	0.406	0.926
0.037	0.464	0.254	0.388
0.035	0.557	0.304	0.556

ولقيمة n تساوي 0.035 نجد أن القيم من الأعمدة ٢، ٤ متقاربة ولذا نختار R تساوي 0.304 م.

مساحة المقطع العرضي A :

$$(١) \quad A = 3/1.83 = 1.64 \text{ m}^2 = B D + z D^2$$

المحيط المبلل P :

$$P = A/R = 1.64/0.304 = 5.386 = B + \left[2 \sqrt{(z^2 + 1)} \right] D$$

$$(٢) \quad = B + \left[2 \sqrt{(2.5^2 + 1)} \right] D = B + 5.385 D$$

حيث D عمق الماء، B عرض قاع القناة، وبطريقة التجربة والخطأ يمكن تقدير قيمة D التي تعطي المساحة A المطلوبة والتي تساوي 1.64 م^٢.

قيمة D (قيم المحاولة)	B من المعادلة (٢)	A من المعادلة (١)
٠,٣٩	٣,٢٨٦	١,٦٦٢
٠,٣٨	٣,٣٤	١,٦٣
٠,٣٨٣	٣,٣٢٣	١,٦٤

وللوصول إلى سرعة سريان في القناة أقل من تلك المسموح بها للصقل وهي ١,٨٣ م/ث وذلك للسماح بحافة حرة حوالي ٠,٣٢ م، استخدم القيم B تساوي ٣,٤ م و D تساوي ٠,٧ م.

السريان خلال المنعطفات

Flow Through Bends

بسبب قوي الطرد المركزية وارتفاع مستوى سطح الماء عند جوانب القناة الخارجية عنها عن الجانب الداخلي وكذلك منتصف القناة. وينتج هذا ترحيل السرعة القصوى من خط مركز القناة. والقنوات القابلة للانجراف تتطلب تدعيم الجانب الخارجي عند المنعطفات. والارتفاع في سطح المياه يمكن تقديره من المعادلة التالية (USACE 1994):

$$\Delta y = (C V^2 B) / g r \quad (٣,٢٨)$$

حيث إن:

Δy = الارتفاع الأعلى = الفرق في الارتفاع لسطح الماء (م) بين سطح الماء

النظري عند وسط الخط ووسط الجانب الخارجي للمنحني.

V = السرعة المتوسطة للماء في القناة (م/ث).

B = عرض سطح القناة عند مركز خط المياه (م).

$r =$ نصف قطر المنحني في مركز خط القناة (م).

$C = 0,5$ للسريان تحت الحرج و $1,0$ للسريان الحرج وفوق الحرج.

وللحد من التدفقات الثانوية وتشويه توزيع السرعة عند المنعطفات ينبغي أن تكون r اكبر من ٣ مرات عرض القناة.

وفي بعض الحالات تصمم قنوات تصريف الفيضان في التربة القابلة للانجراف بتقوس محدد وبعيداً عن المخرج أو البناء المقترح للحد من إمكانية انتقال تربة القناة نحو البناء.

وقد تبين أن قاع القناة الرملية يميل إلى وضع نمط التعرج عندما تكون:

$$SQ^{1/4} \leq 0.0007 \quad (٣,٢٩)$$

والقناة نفسها قد تميل إلى وضع نمط ضفيري "مزوج" عندما تكون:

$$SQ^{1/4} \geq 0.0041 \quad (٣,٣٠)$$

والمرحلة الانتقالية تقع بين القيم المحددة في المعادلتين رقم (٣,٢٩) ورقم (٣,٣٠)

(Simons and Senturk 1976, 1992).

الحافة الحرة

Freeboard

الحافة الحرة هي المسافة بين الارتفاع التصميمي لسطح المياه وأعلى جانب

للقناة أو المصرف والقيم المقترحة للحافة الحرة موضحة أدناه (USACE 1994):

- القنوات ذات المقطع المستطيل: ٠,٦١ م.
- القنوات على شكل شبه المنحرف والمبطنة بالاسمنت أو الأحجار الصغيرة: ٠,٧٦ م.
- السدود الأرضية: ٠,٩١ م.

شكل سطح الماء

Water Surface Profiles

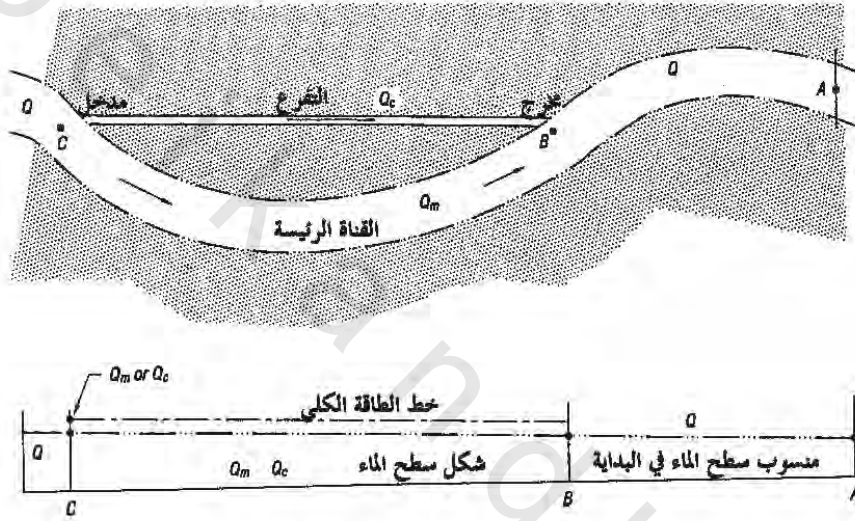
تحليل السريان المستقر لتحديد مواصفات سطح المياه للقنوات ذات المقاطع العرضية والتصرفات التي تتغير من موقع إلى آخر تتم باستخدام نماذج حاسوبية مثل: HEC2 (USACE 1991c) و HEC-RAS (USACE 1988) و WSP-2 (USDA 1976). وهذه التحليلات ضرورية لتقدير سرعة السريان وأعماق المياه عند المواقع المختلفة على طول وعبر القناة، وارتفاع اصطفااف السدود، وجسور الممرات المائية والجسور المعزولة، وتحديد سهول الفيضان... إلخ، وتحليل سهل الفيضان يشمل حسابات شكل سطح الماء للفيضان لفترات العودة المختلفة (أي ١٠، ٢٥، ٥٠، ١٠٠، و ٥٠٠ سنة الفيضانات) بوجود أو بدون التجاوزات. والتحليل الهيدروليكي مع وجود التجاوزات يوفر البيانات المطلوبة للحد من التطورات داخل الفيضانات وتشمل تحديد تخيل لنشأة الفيضان على جانبي التيار. وإن هذه الزيادة الناتجة في ارتفاع سطح المياه هي ضمن الحد الأقصى (أي ٣، م) أو تلك المتاحة دون عائق عرضي للسريان ولا يقل عن الحد الأدنى الموصى باستخدامه. والمقطع العرضي للسريان لهذا التجاوز المتخيل يسمى "طريق الفيضان". والخيارات لتحليل الماء العائد مع التجاوزات المختلفة مدرجة في النماذج الأنفة الذكر. وبالإضافة إلى ذلك، تشمل هذه النماذج تحليل السريان عند الجسور، المفارق الموزعة أو نقاط تشعب السريان. والمدخلات الأساسية تشمل القطاع العرضي للقناة عبر أقسام على طول القناة حتى المصب، والتصرف في مختلف القطاعات العرضية، ومعامل فاقد الاحتكاك، والتقلصات، والتوسعات، والجسور وأرصعة الدعائم. ورغم أنه لا توجد قيود على عدد القطاعات العرضية المطلوبة لدراسة معينة فمن المستحسن أن يكون أقل عدد من ٦ إلى ١٠ حتى

المصب. وأعداد إضافية من القطاعات العرضية تكون مطلوبة في القنوات المجاورة للأبنية (أي الجسور والمجاري المائية، المساقط، الهدارات وعند نقاط التشعب). ويجب أن يكون المقطع العرضي عمودياً على خطوط السريان المتوقعة. ولتلبية هذا الشرط، قد يكون المقطع العرضي على منحنى.

بعض مشروعات التخفيف البيئي للأنهار الكبرى (نهرى ميسوري والميسيسيبي) بحاجة إلى إصلاح بيئي لسهول الفيضان بتحويل جزء صغير من تصرف الفيضانات إلى تفرعات غير مبنية أو من خلال قنوات التسريب. وهذه التفرعات تعمل على خلق أراضي رطبة، وبرك، ومجاري مائية خلال سهول الفيضانات، أو من خلال التفرعات القديمة التي قد سدت عند شق القناة. والمياه الخارجة من تلك التفرعات تعود إلى النهر الرئيس مرة أخرى. وتحليل السريان لتفرعات هذه المشاريع تنطوي على تقدير السريان من تلك التفرعات مع الأبعاد المحددة (أي العرض وارتفاعات مداخل ومخارج فتحات التفرع، والقطاعات العرضية وميول أرضية التفرع) تحت مختلف الظروف. وهذا التحليل يمكن تحقيقه عن طريق التجربة والخطأ باستخدام نماذج هيدروليكية، مثل HEC-RAS و HEC-2 (USACE 1998, 1991c). والخطوات الحسابية لذلك كالتالي (Chow 1959):

- ١ - اختر التصرف Q المار في القناة الرئيسة عند فتحة مدخل المنبع.
- ٢ - افترض أن هذا التصرف Q ينقسم إلى عدة تصرفات Q_m (السريان عبر القناة الرئيسة) وتصرف Q_e (السريان عبر فتحة التفرع) عند المدخل، بحيث $Q = Q_m + Q_e$ (انظر الشكل رقم (١، ٣)). وأن Q_m هو تصرف القناة الرئيسة خلال المنبع من مكان مدخل التفرع إلى مخرج التفرع. وعند المخرج فإن السريان Q_e يعود إلى مكانه في المجرى الرئيس ليصبح تصرف القناة Q .

٣ - احسب شكل سطح المياه للسريان Q_m خلال القناة الرئيسية من فتحة مخرج التفرع لفتحة مدخل التفرع والسريان Q يبدأ من نقطة محددة في المصب حتى مخرج التفرع. أوجد ارتفاع خط الطاقة عند مدخل ومخرج التفرع.



الشكل رقم (٣، ١). رسم تخطيطي للسريان المتفرع.

٤ - احسب شكل سطح المياه للسريان Q_c خلال التفرع بدأ من حساب ارتفاع سطح الماء عند المخرج ثم أوجد ارتفاع خط الطاقة عند المدخل.

٥ - إذا كان ارتفاع خط الطاقة عند المدخل لا تتطابقان، كرر الخطوات من رقم (٢) إلى رقم (٤) مع تعديل Q_m إلى أن تصبح القيمتان قريبتان بشكل معقول.

وفي مراحل التخطيط من الضروري إجراء عدد كبير من المحاولات الحسابية للحصول على قيم مقبولة لتحديد أبعاد التفرع ولتحديد التصرف المتحول تحت الظروف المختلفة. وعادة يكون التصرف المتدفق من خلال التفرع Q_c صغيراً

بالنسبة لإجمالي التصرف في النهر Q (أقل من ١٠ ٪)، ولهذا فإن خط الطاقة وارتفاع سطح الماء خلال القناة الرئيسة مع تصرف Q_e لن يختلف كثيراً عن تلك الحالة لإجمالي التصرف Q_m . وفي هذه الحالة الخطوات الحسابية البسيطة كالتالي:

١- احسب ارتفاع سطح الماء والارتفاعات في خط الطاقة عند مدخل القناة الرئيسة لمختلف ظروف السريان Q .

٢- لكل حالة من حالات السريان افترض عدة قيم للسريان المتحول للتفرع وقم بحساب شكل سطح الماء للتفرع عند هذه القيم Q_e بادئاً بحساب ارتفاع سطح الماء عند المخرج (الخطوة رقم (١)).

٣- اختر التصرف المتحول Q_e والذي يؤدي إلى ارتفاع خط الطاقة عند المنبع، وهو يساوي تقريباً ما حسب في الخطوة رقم (١).

مثال رقم (٣، ٥): تفرع مائي على شكل شبه منحرف عرض القاع له ٣٠،٥ م، والميول الجانبية ٣ أفقي: ١ رأسي، وميل القاع ٠،٠٠٢١، والمنسوب العكسي ٢٤٥،٦٣ م المطلوب لتحويل السريان من النهر الرئيس بتصرف متوسط سنوي ١٠٦٠ م^٣/ث. ومنسوب خط الطاقة في النهر عند مدخل التفرع عند ظروف التصرف المتوسط السنوي هو ٢٤٦،٣٢ م. افترض أن التصرف المتحول بواسطة التفرع أقل من متوسط التصرف السنوي. استخدم n تساوي ٠،٠٣٥.

الحل:

حيث إن التفرع له قطاع عرضي وميل قاع ثابتين استخدم معادلة ماننق لتقدير خط الطاقة عند مدخل التفرع.

بطريقة التجربة والخطأ واستخدام قيم عديدة لـ Q_e نجد أن:

$$y = 0.685 \text{ m} \quad , \quad A = 22.30 \text{ m}^2 \quad , \quad P = 34.83 \text{ m}$$

$$R = 0.6402 \text{ m} , \quad V = 0.3075 \text{ m/s} , \quad Q_c = 6.857 \text{ m}^3/\text{s}$$

أي أن التصرف للتفرع ٦,٨٥٧ م^٣/ث.

ومنسوب ميل خط الطاقة عند مدخل التفرع يساوي

$$245.63 + 0.685 + (0.3075^2)/2g = 246.32 \text{ m}$$

وهو يساوي المنسوب المعطى لخط الطاقة عند المنبع لظروف التصرف المتوسط

السنيوي ولذا التصرف المتحول بواسطة المنحدر هو ٦,٨٥٧ م^٣/ث.

السيان الحرج

Critical Flow

يعرف السريان الحرج بأنه السريان عند أقل طاقة نوعية. الطاقة النوعية E (م)

عند مقطع السريان يمكن حسابها من المعادلة:

$$(٣,٣١) \quad E = y + V^2/2g$$

حيث إن:

$$y = \text{عمق السريان (م).}$$

$$V = \text{السرعة (م/ث).}$$

للقنوات ذات المقطع المستطيل:

$$(٣,٣٢) \quad E = y + q^2/(2g y^3)$$

حيث إن:

$$q = \text{التصرف لكل وحدة عرض من القناة (م}^3\text{/ث).}$$

وللحصول على القيمة الدنيا للطاقة النوعية نضع $dE/dy = 0$ وهذا يتج:

$$(٣,٣٣) \quad y_c = (q^2/g)^{1/3}$$

$$(٣,٣٤) \quad E(\text{minimum}) = 3/2 (y_c)$$

(٣,٣٥)

$$V_c = \sqrt{(g y_c)}$$

حيث إن:

$$y_c = \text{العمق الحرج (م).}$$

$$V_c = \text{السرعة عند السريان الحرج (م/ث).}$$

للسريان الحرج، رقم فرود يساوي الواحد الصحيح $F = V/\sqrt{(g y)} = 1$. وعندما تكون $F > 1$ يكون السريان فوق الحرج، أما عندما تكون $F < 1$ يكون السريان تحت الحرج.

وللقنوات الشائعة وعند تصرف معلوم Q (م^٣/ث) فإن:

(٣,٣٦)

$$E = y + Q^2 / (2g A^2)$$

وللحصول على القيمة الدنيا للطاقة النوعية اجعل $dE/dy = 0$ وهذا ينتج

(٣,٣٧)

$$Q^2 / g = A^3 / T$$

أو

(٣,٣٨)

$$V^2 / 2g = D / 2$$

حيث إن:

$$T = dA/dy = \text{العرض العلوي (م).}$$

$$D = \text{العمق الهيدروليكي} = A/T.$$

ويمكن استخدام المعادلة رقم (٣,٣٧) لاستنتاج معادلات أخرى خاصة بالتصرف الحرج لمختلف أشكال مقاطع القنوات، وكمثال لذلك للقنوات ذات المقطع المستطيل:

(٣,٣٩)

$$Q_c = B \sqrt{(g y^3)}$$

وللمقطع المثلث الشكل:

(٣،٤٠)

$$Q_c = z y^{2.5} \sqrt{g/2}$$

وللمقطع على شكل شبه منحرف :

(٣،٤١)

$$Q_c = (B y + z y^2)^{1.5} \sqrt{g/(B + 2 z y)}$$

وللمقطع على شكل القطع المكافئ:

(٣،٤٢)

$$Q_c = T \sqrt{\{(8/27) g y^3\}}$$

حيث إن:

z = ميل الجوانب.

B = عرض القاع.

قد يشكل قطاع السريان الحرج قطاعاً حاكماً لكل من السريان فوق الحرج والسريان تحت الحرج. والقطاع الحاكم هو ذلك القطاع حيث تكون هناك علاقة محددة وواضحة بين المرحلة والتصرف. وهذا القطاع يتحكم في السريان بطريقة تجعل ظروف السريان في جانب واحد (أي إما المنبع أو المصب) لا يتأثر بالجانب الآخر. وفي حالة السريان تحت الحرج يكون التحكم في السريان عند نهاية المصب، وفي حالة السريان فوق الحرج يكون التحكم في السريان عند المنبع.

هيدروليكا الهدارات والمفايض

Hydraulics of Weirs and Spillways

الهدارات ذات المصطبة العريضة وذات المصطبة الحادة

Broad-Crested and Sharp-Crested Weirs

تصنف الهدارات على أنها ذات مصطبة عريضة إذا كانت مصطبة الهدار عريضة بما يكفي لمنع حدوث دوامة حرة عند ركن الهدار (Rouse 1950). ويعتبر الهدار أنه ذو مصطبة عريضة إذا كان الضاغط فوق المصطبة H أقل من 1.5 B حيث B هو عرض

مصطبة الهدار المواجهة لاتجاه السريان. أما إذا كانت $H > 1.5 B$ فإن الدوامة تتكون وتنفصل فيسلك الهدار مسلك الهدار ذو المصطبة الحادة.

وإذا كانت حافة الهدار ذو المصطبة العريضة المواجهة للسريان مدورة جيداً لتقليل أثر الانكماش وإذا كان الاحتكاك عبر طول عرضه مقداراً مهماً أو كانت الحافة مائلة للتغلب على فاقد الضاغط نتيجة الاحتكاك هنا يكون التصرف عند العمق الحرج y_c . وفي حالة السقوط الحرف فإن y_c تحدث عند $3y_c$ إلى $4y_c$ من الحافة العلوية لمصطبة الهدار، و $y_c = 1.4 y_b$ حيث y_b هو عمق الماء عند الحافة. وعند المقطع الحرج يكون

$$(3, 33) \quad y_c = (q^2/g)^{1/3}$$

$$(3, 43) \quad H = y_c + V_c^2/2g = y_c + (q/y_c)^2/2g = y_c + y_c/2 = 3/2 y_c = 2.098 y_b$$

$$(3, 44) \quad q = \left[\sqrt{(8g/27)} \right] H^{3/2}$$

ولهذا فالهدار ذو الحافة العريضة يكون التصرف الأقصى النظري له يمكن إيجاده:

$$(3, 45) \quad Q = 1.70 L H^{3/2} = 5.17 L y_b^{3/2}$$

الضاغط H يجب أن يقاس على بعد $2.5H$ خلف حرف المصطبة العريضة للسريان وأعلىها، لمعظم الحالات العملية فإن معامل الهدار 1.70 ينبغي تقليله للتغلب على فاقد الاحتكاك على المصطبة. وقد وجد أن هذا المعامل يختلف باختلاف الضاغط H وعرض مصطبة الهدار (Brater et al. 1966). ولا يتأثر السريان أعلى الهدار ذو المصطبة العريضة بالغمر بشكل ملحوظ إذا كان $(2/3 H + P) < y_T$ ، حيث y_T عمق الماء الخلفي، P ارتفاع الهدار فوق قاع القناة.

تصرف الهدار ذو المصطبة الحادة يعطى بالمعادلة:

$$(3, 46) \quad Q = 2/3 C_d L \left[\sqrt{(2g)} \right] H^{3/2} = C L H^{3/2}$$

معامل الهدار C يتغير من 1.76 إلى 2.54 مع وجود نسبة H/P عند نهاية الانكماش نتيجة للحواف الحادة عند نهايات الهدار. ولا يتأثر السريان أعلى الهدار ذو المصطبة الحادة بالغمر بشكل ملحوظ إذا كان $y_T < (0.25 H + P)$ ، أما الغمر الأكبر:

$$Q_1/Q = [1 - (H_1/H)^{3/2}]^{0.385} \quad (٣, ٤٧)$$

حيث إن:

$$Q_1 = \text{التصرف في وجود الغمر.}$$

$$H_1 = \text{عمق الماء الخلفي أعلى حافة مصطبة الهدار.}$$

المصطبة مستدقة الرأس (العقدية) Ogee Crest

إذا كانت الدوامات السفلية أو العلوية للماء فوق الهدار ذو المصطبة الحادة مشبعاً بالهواء (كل من الدوامتين عند الضغط الجوي) فإن معامل التصرف يمكن إيجاده من المعادلة التالية (Chow 1959).

$$C = 1.805 + 0.221 H/P \quad (٣, ٤٨)$$

وفي حالة عدم تشبع الدوامة السفلية وهي حالة غير مرغوب فيها في الأداء الهيدروليكي والضغط السالبة في الاتجاه السفلي للمصب. ولتقليل الضغوط السالبة فقد وضعت الأشكال العقدية ليتطابق مع شكل الدوامة السفلية كلما أمكن تطبيقه:

$$X^n = K H_d^{n-1} Y \quad (٣, ٤٩)$$

حيث إن:

X و Y المحوريين السيني والصادي للشكل بنقطة أصل عند أعلى نقطة في المصطبة.

H_d = الضاغط التصميمي ويشمل ضاغط السرعة نتيجة للسريان.

K و n موضحة في الجدول رقم (٣, ١١).

الجدول رقم (٣, ١١). المعاملات والأسس لمعادلة المصطبة ذات الشكل العقدي.

الميل في الاتجاه العلوي للقناة	K^a	n^a	K^b	n^b
رأسي	٢,٠٠٠	١,٨٧٢	٢,١٤١	١,٨٣٧
١ أفقي: ٣ رأسي	٢,٠٠٠	١,٨٥١	٢,١٤١	١,٨١٧
٢ أفقي: ٣ رأسي	١,٩٠١	١,٨٠٢	٢,٠٥٨	١,٧٧٢
١ أفقي: ١ رأسي	١,٨٥٢	١,٧٨٠	٢,٠٥٨	١,٧٦١

المصدر: (USBR 1987).

a : السرعة مهملة لضغط الاقتراب.

b : سرعة ضاغط الاقتراب تساوي $0.20 H_d$.

واستناداً إلى اختبار النماذج وضعت أشكال هندسية لتوفير حافة علوية ناعمة للمصطبة العقدية في شكل قوسين بأنصاف أقطار مختلفة. الشكل النموذجي للمصطبة العقدية موضح بالشكل رقم (٣, ٢) (USBR 1987).
التصرف للمصطبة العقدية يمكن إيجاده بالمعادلة:

$$Q = C L H_o^{3/2} \quad (٣, ٥٠)$$

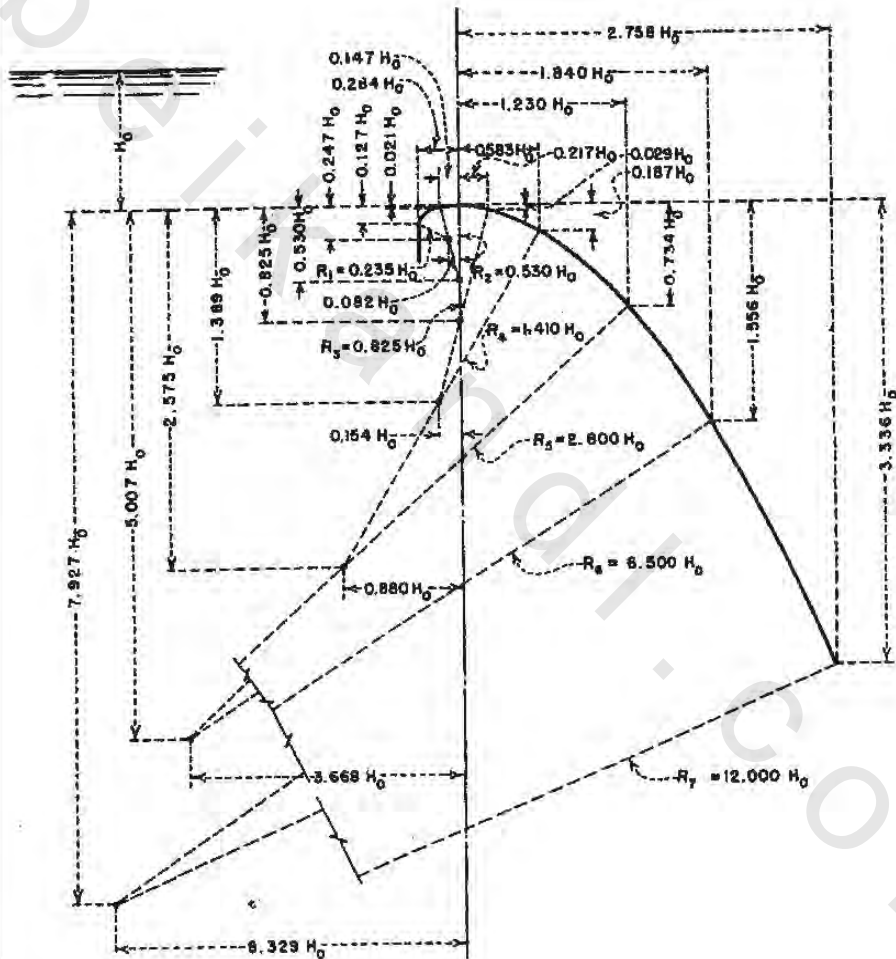
حيث إن:

$$C \text{ تتراوح من } ٢,١٨١ \text{ إلى } ٢,٢٢٥ \text{ في حالة } H_o = H_d$$

$$P/H_d > 2.50$$

المنحنيات التجريبية متاحة لتقدير C لقيم أخرى من H_o و P/H_d بخلاف الضاغط التصميمي (USBR 1987). واختيار قيم C مختلفة عن القيم P/H_d مدرجة في الجدول رقم (٣, ١٢).

وقيم تقريبية لمعامل التصرف لضغوط تصميمية أخرى للشكل العقدي مبينة في الجدول رقم (١٢، ٣ ب).



الشكل رقم (٣، ٢). الشكل العقدي النموذجي.

الجدول رقم (١٢، ١٣). معامل التصرف للجانب الرأسي للمصطبة ذات الشكل العقدي بتغير قيمة P .

C	P/H_d
١,٧٠٠	٠
٢,٠٩٨	٠,٥
٢,١٤٢	١,٠
٢,١٥٩	١,٥
٢,١٧٠	٢,٠
٢,١٧٦	٢,٥
٢,١٨١	٣,٠

H_d = الضاغط التصميمي مشتملاً السرعة المطبقة.

المصدر: (USBR 1987).

الجدول رقم (١٢، ٣ب). معامل التصرف للجانب الرأسي للمصطبة ذات الشكل العقدي للقيم المختلفة عن ضاغط التصميم.

C_s/C	H_o/H_d
٠,٨	٠,٠٥
٠,٨٥	٠,٢٠
٠,٩	٠,٤٠
٠,٩٤	٠,٦
٠,٩٧	٠,٨
١,٠	١,٠
١,٠٢٥	١,٢
١,٠٥	١,٤
١,٠٧	١,٦

C_s = معامل التصرف عند ضاغط H_o .

المصدر: (USBR 1987).

Flow along Steep Slopes السريان عبر المنحدرات شديدة الميل

من الحالات الشائعة التي تعترض السريان فوق الحرج السريان في الناحية السفلية للتيار عبر المصب أو عند ميل الوزرة في نهاية المساقط. تقدير السرعة وعمق السريان على قمة هذه المنحدرات الشديدة تكون مطلوبة لتصميم قياسات الطاقة المفقودة عند هذه الأبنية. ويمكن أن يتم ذلك باستخدام معادلة الطاقة:

$$(3.51) \quad H + z = y + q^2 / (2 g y^2) + q^2 n^2 L / y^{3.33}$$

حيث إن:

H = الضاغط فوق المصطبة ويشمل سرعة الاقتراب (م).

z = ارتفاع المصطبة فوق المرتكز (م).

L = طول الميل (م).

q = وحدة التصريف (م³/ث) = $CH^{1.5}$.

C = معامل التصريف للمصطبة.

y = عمق السريان عند المرتكز (م).

تحل المعادلة رقم (3.51) بطريقة التجربة والخطأ. ويمكن حساب السرعة عند

المرتكز وتساوي $V = q/y$. وللمنحدرات شديدة الميل والتي تتغير الميول فيها من

٠.٦ أفقي: ١ رأسي إلى ٠.٨ أفقي: ١ رأسي عند المرتكز يمكن تقديرها من المنحنيات

التجريبية المتوفرة في مختلف المراجع مثل (Chow 1959; Peterka 1978). والقيم الموصى

بها موضحة في الجدول رقم (3.13).

الجدول رقم (٣, ١٣). السرعات للوجه السفلي للسريان داخل القناة بميل من ٠,٦ أفقي: ١ رأسي إلى ٠,٨ أفقي: ١ رأسي.

السرعة (م/ث)						Z(m)
H=12.2m	H=9.1m	H=6.1m	H=3.05m	H=2.29m	H=0.76m	
١٣,٧	١٣,٧	١٣,٧	١٣,٧	١٣,٤	١٢,٢	١٢
١٩,٨	١٩,٨	١٩,٨	١٨,٩	١٨,٦	١٥,٢	٢٤
٢٤,٤	٢٤,٤	٢٤,٤	٢٢,٩	٢١,٣	١٥,٨	٣٧
٢٨,٠	٢٨,٠	٢٧,٤	٢٤,٧	٢٣,٢	١٥,٨	٤٩
٣٢,٠	٣١,٧	٢٩,٩	٢٦,٢	٢٤,١	١٥,٨	٦١
٣٤,٤	٣٣,٨	٣٢,٠	٢٧,٤	٢٤,٤	١٥,٨	٧٣
٣٧,٢	٣٦,٣	٣٣,٥	٢٨,٠	٢٤,٧	١٥,٨	٨٥
٣٩,٦	٣٨,١	٣٥,٤	٢٨,٣	٢٤,٧	١٥,٨	٩٨
٤١,٥	٣٩,٦	٣٦,٦	٢٨,٣	٢٤,٧	١٥,٨	١١٠
٤٣,٦	٤١,٥	٣٧,٢	٢٨,٣	٢٤,٧	١٥,٨	١٢٢

المصدر: (Peterka (1978).

القفزة الهيدروليكية Hydraulic Jump

تحدث القفزة الهيدروليكية في المرحلة الانتقالية بين السريان فوق الحرج والسريان تحت الحرج. وتشمل الحالات التي تعترض السريان فوق الحرج أسفل المنحدر الحاد لمصرف المياه أو المساقط المبنية أو السريان من خلال فتح بوابة دخول قناة المنحدر البسيط على الجانب السفلي. وللقفزة الهيدروليكية في القنوات المستطيلة الأفقية (انظر الشكل رقم (٣, ٣)) تكون:

$$y_1 y_2 (y_1 + y_2) = 2 q^2 / g \quad (١٣, ٥٢)$$

$$y_2 / y_1 = 1/2 \left[\sqrt{1 + 8 F_1^2} - 1 \right] \quad (٣, ٥٢)$$

(٣,٥٣)

$$H_L = (y_2 - y_1)^3 / (4 y_1 y_2)$$

(١٣,٥٤)

$$E_1 = y_1 + V_1^2 / 2g = y_1 + q^2 / (2g y_1^2)$$

(ب ٣,٥٤)

$$E_2 = y_2 + V_2^2 / 2g = y_2 + q^2 / (2g y_2^2)$$

حيث إن:

y_1 = عمق الماء فوق الحرج قبل القفزة الهيدروليكية.

y_2 = عمق الماء تحت الحرج بعد القفزة الهيدروليكية.

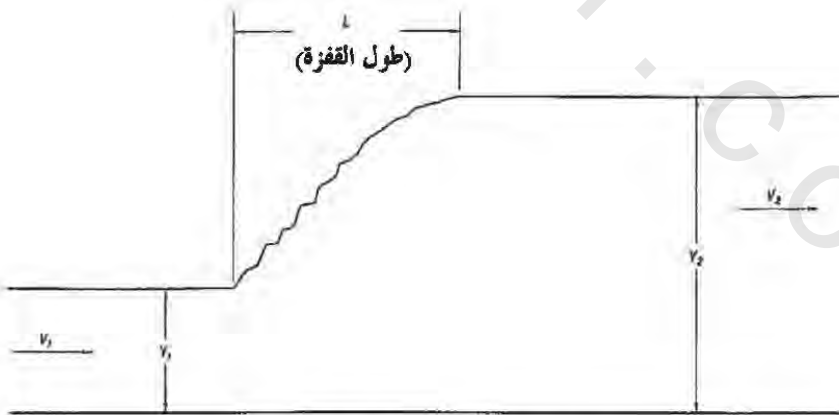
V_1, V_2 = السرعة قبل وبعد القفزة الهيدروليكية على الترتيب.

$F_1 = V_1 / \sqrt{g y_1}$ = رقم فرود قبل القفزة الهيدروليكية

H_L = فاقد الطاقة خلال القفزة الهيدروليكية.

q = التصريف لكل وحدة عرض من القناة.

E_1, E_2 = الطاقة النوعية قبل وبعد القفزة على الترتيب.



الشكل رقم (٣,٣). القفزة الهيدروليكية في القنوات الأفقية.

يمكن استنتاج عمق الماء بعد القفزة y_2 من المنحنيات البيانية التجريبية المنشورة بين y_2/y_1 و F_1 لمختلف أنواع الوزرة المائلة (Chaw 1959). وفي كثير من الحالات العملية تكون وحده التصرف q وارتفاعات سطح الماء والسرعات عند المنبع والمصب للمسقط معروفة من حسابات منحني سطح الماء. ويمكن اعتماد طريقة التجربة والخطأ لتحديد معاملات القفزة الهيدروليكية لمثل هذه الحالات. وتلك المعاملات عديمة الوحدات وذلك بوضع $x = y_1/y_c$ ، $y = y_2/y_c$ ، $n = E_2/y_c$ ، $m = E_1/y_c$ ، $\ell = H_L/y_c$ حيث y_c العمق الحرج ويساوي $y_c = (q^2/g)^{1/3}$. لاحظ أن x تتغير من صفر إلى الواحد الصحيح. ولأي اختيار لقيمة x فإن قيم المعاملات عديمة الوحدات m ، y ، n ، z يمكن استنتاجها من:

$$m = x + 1/(2x^2) \quad (١٣,٥٥)$$

$$xy(x+y) = 2 \quad (٣,٥٥ ب)$$

$$n = y + 1/(2y^2) \quad (٣,٥٥ ج)$$

$$\ell = (y-x)^3/(4xy) \quad (٣,٥٥ د)$$

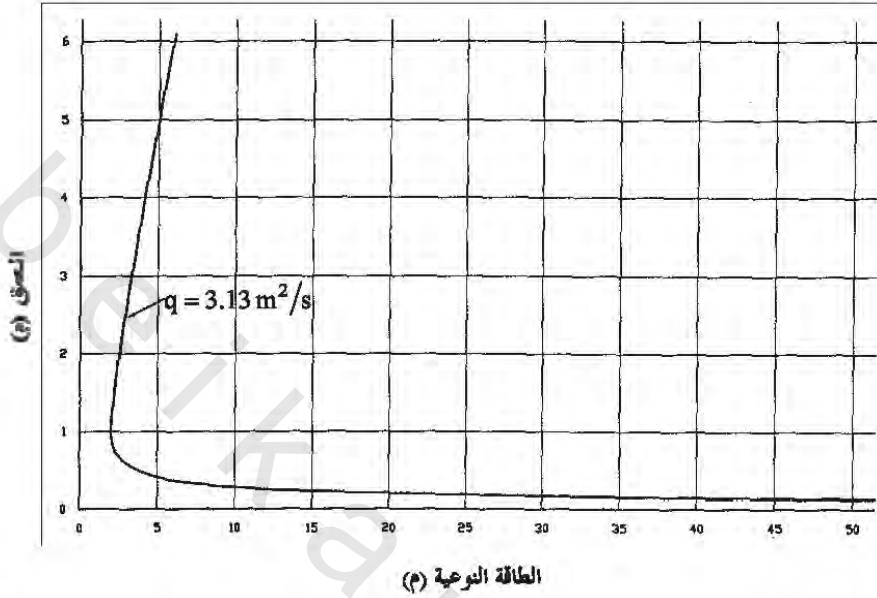
اختيار قيم y ، x ، m ، n ، ℓ مدرجه في الجدول رقم (٣,١٤). ويمكن رسم منحني بياني واحد بين y_1 و E_1 لمختلف قيم q . وهذا المنحنى يمكن تحديده لرسم منحني بياني بين y_2 و E_2 . ويصبح هذا المنحنى البياني هو منحني الطاقة النوعية. ومنحنى الطاقة النوعية النموذجي موضح في الشكل رقم (٣,٤). والمجموعة الثانية من المنحنيات البيانية يمكن إعدادها بين H_L و E_2 للقيم المختلفة من q وتسمى منحنيات بلنش، وهذه المنحنيات مفيدة للمواقع التي لا تزال ذكرها كأحواض ترسيب أرضية في التطبيقات العملية (Singh 1967). ومنحنى بلنش النموذجي موضح في الشكل رقم (٣,٥).

الجدول رقم (٣، ١٤). اختيار القيم ℓ ، n ، m ، x ، y .

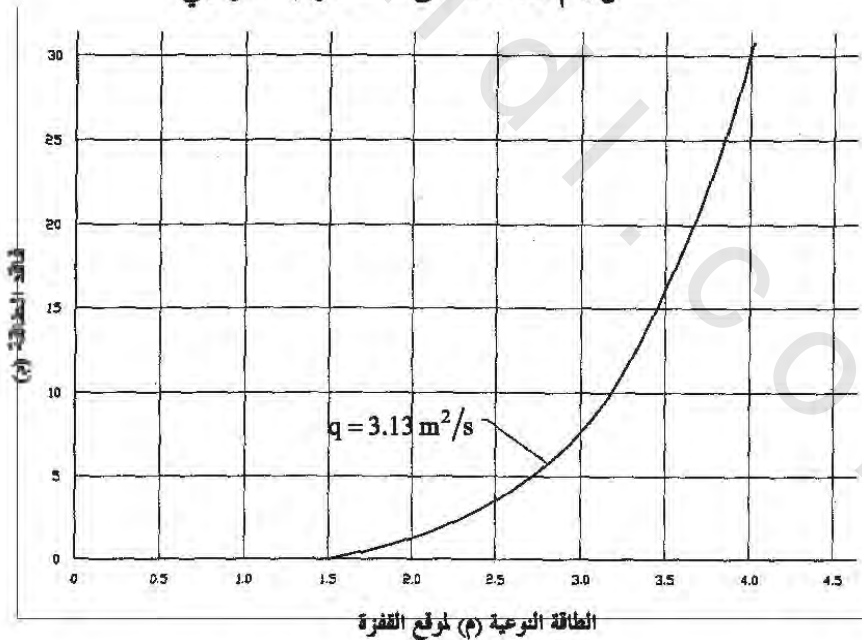
$\ell = H_L/y_c$	$n = E_2/y_c$	$m = E_1/y_c$	$x = y_1/y_c$	$y = y_2/y_c$
٠	١,٥	١,٥	١,٠	١,٠
٠,٠٠١٨٢٤	١,٥١٣٢٢٣	١,٥١٥٠٤٧	٠,٩٠٦٢٥٦	١,١
٠,٠١٣٤٨٨	١,٥٤٧٢٢٢	١,٥٦٠٧١	٠,٨٢٣٦١	١,٢
٠,٠٤٢٥٦١	١,٥٩٥٨٥٨	١,٦٣٨٤١٩	٠,٧٥٠٣٤٣	١,٣
٠,٠٩٥٢٢١	١,٦٥٥١٠٢	١,٧٥٠٣٢٣	٠,٦٨٥١٢٥	١,٤
٠,١٧٦٩٥٣	١,٧٢٢٢٢٢	١,٨٩٩١٧٥	٠,٦٢٦٨٩٣	١,٥
٠,٢٩٢٩٤٤	١,٧٩٥٣١٣	٢,٠٨٨٢٥٦	٠,٥٧٤٧٧٣	١,٦
٠,٣٩١٣٩٦	١,٨٤٦٤٥٨	٢,٢٣٧٨٥٤	٠,٥٤٣١٧٧	١,٦٦٦٤
٠,٤٤٨٣١١	١,٨٧٣٠١	٢,٣٢١٣٢١	٠,٥٢٨٠٣١	١,٧
٠,٦٤٨٢٤٥	١,٩٥٤٣٢١	٢,٦٠٢٥٦٦	٠,٤٨٦٠٤٢	١,٨
٠,٦٧٠٨٩٤	١,٩٦٢٦٢	٢,٦٣٣٥١٤	٠,٤٨٢٠٨٢	١,٨١
٠,٦٩٤٠٤٧	١,٩٧٠٩٤٨	٢,٦٦٤٩٩٥	٠,٤٧٨١٦٥	١,٨٢
٠,٧١٧٧١	١,٩٧٩٣٠٣	٢,٦٩٧٠١٣	٠,٤٧٤٢٨٨	١,٨٣
٠,٧٤١٨٨٩	١,٩٨٧٦٨٤	٢,٧٢٩٥٧٣	٠,٤٧٠٤٥٢	١,٨٤
٠,٧٦٦٥٨٨	١,٩٩٦٠٩٢	٢,٧٦٢٦٨	٠,٤٦٦٦٥٦	١,٨٥
٠,٧٩١٨١٤	٢,٠٠٤٥٢٥	٢,٧٩٦٣٤	٠,٤٦٢٨٩٩	١,٨٦
٠,٨١٧٥٧٣	٢,٠١٢٩٨٤	٢,٨٣٠٥٥٦	٠,٤٥٩١٨٢	١,٨٧
٠,٨٤٣٨٦٨	٢,٠٢١٤٦٧	٢,٨٦٥٣٣٥	٠,٤٥٥٥٠٣	١,٨٨
٠,٨٧٠٧٠٨	٢,٠٢٩٩٧٤	٢,٩٠٠٦٨١	٠,٤٥١٨٦٣	١,٨٩
٠,٨٩٨٠٩٦	٢,٠٣٨٥٠٤	٢,٩٣٦٦	٠,٤٤٨٢٦	١,٩
١,٢٠٣٤٢٧	٢,١٢٥	٣,٣٢٨٤٢٧	٠,٤١٤٢١٤	٢
١,٥٧٠٠٥٢	٢,٢١٣٣٧٩	٣,٧٨٣٤٣١	٠,٣٨٣٤٨٦	٢,١

تابع الجدول رقم (١٤، ٣).

$\ell = H_L/y_c$	$n = E_2/y_c$	$m = E_1/y_c$	$x = y_1/y_c$	$y = y_2/y_c$
٢,٠٠٤٠٥٤	٢,٣٠٣٣٠٦	٤,٣٠٧٣٥٩	٠,٣٥٥٥٧١	٢,٢
٢,٥١١٨٠١	٢,٣٩٤٥١٨	٤,٩٠٦٣١٩	٠,٣٣٠٥٦٢	٢,٣
٣,٠٩٩٩٥٧	٢,٤٨٦٨٠٦	٥,٥٨٦٧٦٣	٠,٣٠٧٧٥٨	٢,٤
٣,٧٧٥٤٨٣	٢,٥٨	٦,٣٥٥٤٨٥	٠,٢٨٧٠٤	٢,٥
٣,٨٣٢٠٥٩	٢,٥٨٧٣٠٣	٦,٤١٩٣٦٢	٠,٢٨٥٥٠٨	٢,٥٠٧٨
٤,٥٤٥٦٥	٢,٦٧٣٩٦٤	٧,٢١٩٦١٥	٠,٢٦٨١٩٣	٢,٦
٥,٤١٨٠٢٢	٢,٧٦٨٥٨٧	٨,١٨٦٦١	٠,٢٥١٠١٢	٢,٧
٦,٤٠٠٤٧٩	٢,٨٦٣٧٧٦	٩,٢٦٤٢٥٤	٠,٢٣٥٣٢٤	٢,٨
٧,٥٠١٢٠٢	٢,٩٥٩٤٥٣	١٠,٤٦٠٦٥	٠,٢٢٠٩٧٤	٢,٩
٨,٧٢٨٦٧٩	٣,٠٥٥٥٥٦	١١,٧٨٤٢٣	٠,٢٠٧٨٢٥	٣
١٠,٠٩١٧١	٣,١٥٢٠٢٩	١٣,٢٤٣٧٤	٠,١٩٥٧٥٥	٣,١
١١,٥٩٩٣٨	٣,٢٤٨٨٢٨	١٤,٨٤٨٢١	٠,١٨٤٦٥٧	٣,٢
١٣,٢٦١١١	٣,٣٤٥٩١٤	١٦,٦٠٧٠٣	٠,١٧٤٤٣٤	٣,٣
١٥,٠٨٦٦١	٣,٤٤٣٢٥٣	١٨,٥٢٩٨٦	٠,١٦٥٠٠٣	٣,٤
١٧,٠٨٥٨٨	٣,٥٤٠٨١٦	٢٠,٦٢٦٧	٠,١٥٦٢٨٧	٣,٥
١٩,٢٦٩٢٥	٣,٦٣٨٥٨	٢٢,٩٠٧٨٣	٠,١٤٨٢١٩	٣,٦
٢١,٦٤٧٣٣	٣,٧٣٦٥٢٣	٢٥,٣٨٣٨٦	٠,١٤٠٧٣٩	٣,٧
٢٤,٢٣١٠٦	٣,٨٣٤٦٢٦	٢٨,٠٦٥٦٨	٠,١٣٣٧٩٣	٣,٨
٢٧,٠٣١٦٥	٣,٩٣٢٨٧٣	٣٠,٩٦٤٥٢	٠,١٢٧٣٣٥	٣,٩
٣٠,٠٦٠٦	٤,٠٣١٢٥	٣٤,٠٩١٨٨	٠,١٢١٣٢	٤

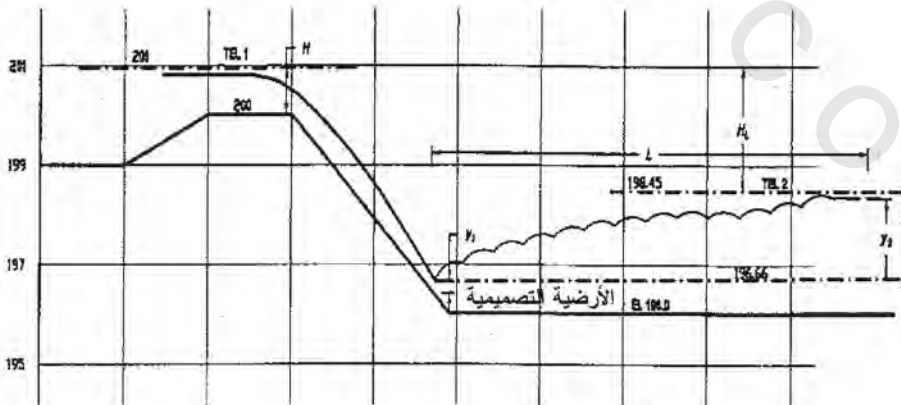


الشكل رقم (٣, ٤). منحنى الطاقة النوعية النموذجي.



الشكل رقم (٣, ٥). منحنى بلنش النموذجي.

مطلوب تحديد موقع القفزة الهيدروليكية لتصميم الساحات وأحواض الترسيب لتصبح مساقط هيكليّة، مصارف المياه، وبوابات المسيل. والترتيب النموذجي للمساقط بوزرة مائلة موضح في الشكل رقم (٣.٦). إذا كان العمق المتوفر للماء الخلفي يفوق ارتفاع القفزة التالية فإن القفزة الهيدروليكية ستتشكل فوق الوزرة المائلة، وتشكل وجه المصب هيكل المسقط أو مصرف المياه. وإذا كان العمق المتوفر للماء الخلفي يقل عن ارتفاع القفزة التالية فإن القفزة الهيدروليكية ستتشكل على الجزء الأفقي الذي يربط المسقط بقناة المصب أو نهاية بوابات المسيل. وموقع القفزة الهيدروليكية على الوزرة الأفقية قليلة الاحتكاك وحيث السريان تحت الحرج قد يكون غير مستقر ويتنقل للأمام مع تغيرات طفيفة نسبياً في عمق التصرف أو عمق الماء الخلفي. ومن ناحية أخرى فإن القفزة الهيدروليكية على الوزرة المنحدر قد تكون مقصورة على منطقة محددة جداً لمجموعة كبيرة من ظروف السريان. ولذلك فمن الناحية العملية ومن المستحسن أن تتشكل القفزة الهيدروليكية فوق أو في طرف الوزرة المائلة لمعظم أحوال السريان (انظر الشكل رقم ٣، ٦).



الشكل رقم (٣، ٦). مسقط بوزرة مائلة.

يمكن تقدير طول القفزة L على الأرضية الأفقية من القيم الواردة في الجدول

رقم (٣, ١٥) (USBR 1987).

الجدول رقم (٣, ١٥). طول القفزة الهيدروليكية على القاع الأفقي.

L/y_2	F
٣,٦	١,٥
٤,٤	٢
٥,٢٥	٣
٥,٨	٤
٦,٠	٥
٦,١٥	٦
٦,١٥	٧
٦,١٥	٨
٦,١٥	٩
٦,١٥	١٠
٦,١٠	١١
٦,٠٥	١٢
٦,٠٢	١٣
٦,٠	١٤
٥,٩٢	١٥
٥,٨٥	١٦
٥,٨	١٧
٥,٧	١٨
٥,٦	١٩
٥,٤٥	٢٠

المصدر: (USBR 1987).

الخطوات الحسابية لمكان القفزة الهيدروليكية على الوزرة الأفقية أو أرضية ذات ميل معتدل (الشكل رقم ٣،٧) كما يلي (Chow 1959):

١- احسب عمق المياه y عند الوزرة المائلة المانع للماء أو بعد نهاية بوابة المصب مباشرة، وعمق الماء الخلفي y_2' في قناة المصب.

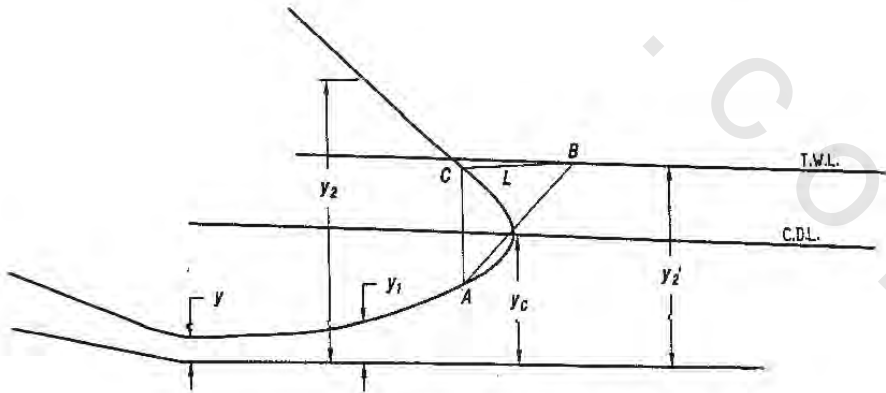
٢- احسب العمق الحرج y_c .

٣- احسب شكل ميل سطح الماء المعتدل بدءاً من y_c عند نهاية المصب إلى y في نهاية المنبع.

٤- لكل عمق y_1 وعلى شكل سطح الماء المحسوب احسب F_1 وعمق القفزة التالية المرافقة F_2 وارسم بيانياً أعماق القفزة التالية (الشكل رقم ٣،٧). القفزة التي ستشكل تكون ذات ميل منتظم إذا كانت $y_2' < y_2$.

٥- حدد نقطة تقاطع شكل القفزة التالية وخط عمق الماء الخلفي.

٦- قدر طول القفزة L المقابلة لعمق القفزة التالية عند نقطة التقاطع المذكورة.



الشكل رقم (٣،٧). القفزة الهيدروليكية على ميل متوسط.

٧- عين موقع التقاطع الأفقي L بين عمق الماء الخلفي وشكل عمق القفزة التالية. هذا هو مكان القفزة A . وإذا كان مقدار عمق القفزة التالية عند هذا المكان يختلف اختلافاً كبيراً عن تلك المستخدمة في تقدير طول القفزة أعد حساب طول قفزة الماء الخلفي وعين موقع نقطة التقاطع لتحسين موقع القفزة.

تشكل القفزة الهيدروليكية في الوزرة شديدة الانحدار إذا كانت $y_2' > y_2$. الخطوات الحسابية لهذه الحالة (الشكل رقم ٣، ٧ ب) كما يلي (Chow 1959):

١- احسب عمق المياه y ، على الوزرة المائلة مباشرة بعد نهاية بوابة المسيل وعمق الماء الخلفي y_2' وفي اتجاه مصب القناة.

٢- احسب العمق الحرج y_c ، وارسم بيانياً خط العمق الحرج (CDL) فوق الوزرة شديدة الانحدار.

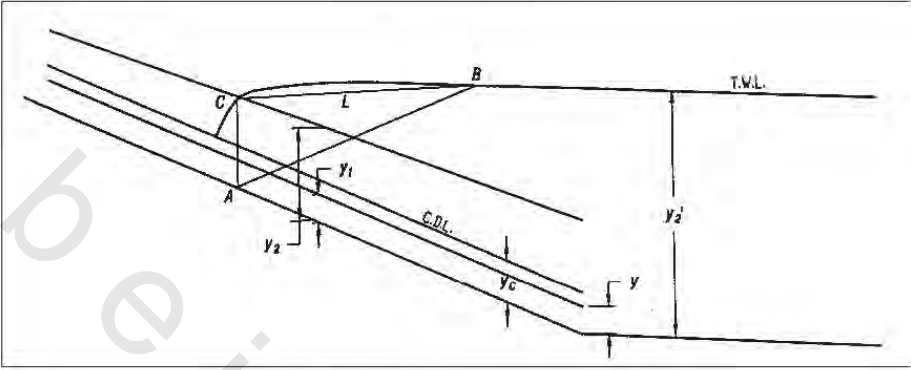
٣- احسب شكل سطح المار المنحدر بشدة بدءاً من y_c عند نهاية المنبع حتى y_2' عند نهاية المصب.

٤- لكل عمق y_1 عند سطح الماء في الوزرة شديدة الانحدار، عمق قفزة تالية (بالتسلسل) y_2 . وارسم منحنى تسلسل عمق الماء.

٥- حدد موقع نقطة تقاطع شكل القفزة التالية مع خط عمق الماء الخلفي.

٦- قدر طول القفزة التجريبي L والمرادفة لعمق القفزة التالية عند نقطة التقاطع للعمق المذكور أعلاه.

٧- حدد التقاطع الأفقي L بين عمق الماء الخلفي وشكل عمق القفزة التالية. هذا هو موقع القفزة A . وإذا كان عمق القفزة التالية عند هذا الموقع يختلف اختلافاً كبيراً عن تلك المستخدمة في تقدير طول القفزة التجريبي أعد حساب طول قفزة الماء الخلفي وعين التقاطع لتحسين موقع القفزة.



الشكل رقم (٣،٧). القفزة الهيدروليكية على ميل شديد.

وعندما يكون شكل سطح الماء متاحاً لقيم q المعلومة عند كل من منبع السريان ومصب السريان لمنشأة سقوط فإنه من المرغوب أن تقع القفزة الهيدروليكية عند القاع الأفقي أو عند منبع السريان عند الطرف الأمامي للوزرة المائلة، والخطوات الحسابية المبسطة لتلك الحالات العملية تكون كالتالي:

• احسب الطاقة الكلية لنقطة السقوط في منبع السريان، $TEL1 =$ منسوب سطح الماء عند منبع السريان $+ V_1^2 / 2g$ ، حيث V_1 هي سرعة السريان المقرب. أهمل فاقد الاحتكاك على الوزرة المائلة.

• احسب الطاقة الكلية لنقطة السقوط عند المصب، $TEL2 =$ منسوب الماء الخلفي $+ V^2 / 2g$ ، حيث V هي السرعة في قناة مصب السريان.

• احسب الفاقد في الضاغط H_L حيث $H_L = TEL1 - TEL2$.

• بمعرفة q و H_L احسب E_2 باستخدام منحنيات بلنش أو الخطوات الحسابية المستخدمة لتعيين هذه المنحنيات (الموضحة سابقاً في هذا الجزء).

• بمعرفة q و E_2 احسب y_2 من المنحنيات البيانية للطاقة النوعية أو الخطوات الحسابية المستخدمة لتحديد هذه المنحنيات (الموضحة سابقاً في هذا الجزء).

• قم برسم خط عند العمق E_2 أسفل TEL_2 وحدد موضع النقطة حيث يتقاطع الخط مع الوزرة المائلة. إذا كانت الوزرة أفقية وتقع عند أو أسفل هذا الارتفاع فإن القفزة الهيدروليكية يحتمل أن تكون عند أو فوق الطرف الأمامي من الوزرة المائلة (الشكل رقم ٦، ٣).

• إذا كان طول الوزرة المائلة كبيراً فإن y_1 و V_1 عند الموقع المقدر من الوزرة الأفقية ربما يتم تقديرهما باستخدام الإجراءات المعطاة في الجزء الذي عنوانه "السيان على طول المنحدرات الشديدة انحدار". وعندها يتم حساب TEL_1 باستخدام هذه القيم والخطوات الحسابية المتبقية تعاد للحصول على الموقع المراجع للوزرة الأفقية.

إن تصميم منسوب القاع الأفقي أو حوض الترسيب عند مصب السريان للمساقط أو قنوات تصريف فائض المياه أو بوابة الهويس يتطلب اختبار التصرفات المختلفة (مثلاً، ١٠، ٢٥، ٥٠، ٧٥، ١٠٠٪ من التصرف التصميمي). الوزرة الأفقية أو الطرف الأمامي للوزرة يجب أن يكون عند موقع أسفل موقع القفزة الهيدروليكية للمدى الكامل من التصرف المتوقع.

مثال رقم (٦، ٣): حالتني تصميم لحوض ترسيب يشملان تصرف q يساوي $١٧٠ م^٣/ث$ و $٣٥٠ م^٣/ث$ على الترتيب. أوضحت حسابات سطح الماء الجانبي للتدفق الأقل أن الطاقة الكلية عند المنبع TEL_1 تساوي $٢٠١ م$ وأن منسوب الماء الخلفي $١٩٨,٣٣ م$ ، والطاقة الكلية عند المصب TEL_2 تساوي $١٩٨,٤٥ م$. وللتدفق الأعلى الطاقة الكلية عند المنبع TEL_1 تساوي $٢٠٨,١٨ م$ وأن منسوب الماء الخلفي

٢٠٦,٠٥ م، والطاقة الكلية عند المصب TEL2 تساوي ٢٠٦,٢٢ م. حدد موقع والطول التقريبي للقاع الأفقي.

الحل:

باستخدام منحنيات بلنش يمكن استنتاج قيمة E_2 من القيم المعروفة q والفاقد الكلي $H_L = TEL1 - TEL2$. إذن y_2 تبعاً لقيمة E_2 يمكن قراءتها لقيمة q المعطاة من المنحنيات البيانية للطاقة النوعية. ومنسوب القاع الأفقي يجب أن يكون أسفل المنسوب $TEL2 - E_2$.

اختبار تجريبي بديل بطريقة التجربة والخطأ للحسابات موضحة في الجدول رقم (٣, ١٦). وقيمة الاختبار التجريبي لـ x يتم افتراضها والقيمة المناظرة لـ y يتم حسابها من المعادلة رقم (٣, ٥٥) ب. وهذا يساعد في حساب y_1, y_2, E_1, E_2 . ويتم مواصلة الاختبارات التجريبية حتى تصبح قيمة $E_1 - E_2$ قريبة من قيمة H_L المعلومة. حسابات حالي التصرف المعطاة تقترح أن طول الوزرة الأفقية ٤٠ م ويجب أن تكون عند منسوب ١٩٦,٠ م تقريباً (انظر الشكل رقم ٣, ٦).

الجدول رقم (٣, ١٦). حسابات القفزة الهيدروليكية لموقع قاع أفقي أسفل الوزرة المائلة.

المتغير	حالة التدفق الأقل	حالة التدفق الأعلى
q (م ^٣ /ث)	١,٧	٣٥,١
H_L (م)	$٢٠١,٠ - ١٩٨,٤٥ = ٢,٥٥$	$٢٠٨,١٨ - ٢٠٦,٢٢ = ١,٩٦$
y_c (م)	٠,٦٦٥٤	٥,٠٠
$\ell = H_L / y_c$	٣,٨٣٢٣	٠,٣٩٢
x (بمعرفه ℓ ومن الجدول رقم (٣, ١٤))	٠,٢٨٥٥	٠,٥٤٣٢

تابع الجدول رقم (٣, ١٦).

حالة التدفق الأقل	حالة التدفق الأعلى	المتغير
٢,٥٠٧٨	١,٦٦٦٤	y (من المعادلة رقم ٣,٥٥)
٠,١٩ = ٠,٦٦٥٤ × ٠,٢٨٥٥	٢,٧٢ = ٥,٠٠ × ٠,٥٤٣٢	y ₁ (م)
١,٦٧	٨,٣٣	y ₂ (م)
٤,٢٧	١١,١٩	E ₁ (م)
١,٧٢	٩,٢٣	E ₂ (م)
٦,٥٥	٢,٤٩٨	$F_1 = q / \sqrt{(g y_1^3)}$
١٩٦,٦٦ = ١,٦٧ - ١٩٨,٣٣	١٩٧,٧٢ = ٨,٣٣ - ٢٠٦,٠٥	منسوب القاع الأفقي (م)
١٠,٤ = ١,٦٧ × ٦,٢	٤٠ = ٨,٣٣ × ٤,٨	طول القاع الأفقي (م)

السريان غير المستقر Unsteady Flow

واحدة من أكثر مشاكل السريان غير المستقر شيوعاً والتي تواجه التطبيق العملي هي تحليل حاجز تكسر (صد) أمواج الفيضان. وتحليل مفصل لحاجز تكسر أمواج الفيضان فإنه يجب استخدام نموذج حاجز التكرس NWS (Fread 1988) أو ما يياثله. وقد تم تطوير العديد من المعادلات البسيطة والتقريبية لتقدير أقصى تصرف وزمن التحرك وعمق الفيضان الناتج عن حاجز التكرس. وفي بعض الحالات العملية فإن تلك الطرق البسيطة يمكن أن تكون مفيدة.

في حالة عمق كامل واتساع جزئي لحاجز تكسر ما:

$$Q_{\max} = (8/27) b Y_0 (B/b)^{1/4} \sqrt{(g Y_0)} \quad (٣,٥٦)$$

في حالة عمق جزئي واتساع كامل لحاجز تكسر ما:

$$Q_{\max} = (8/27) B Y (Y_0/Y)^{1/3} \sqrt{(g Y)} \quad (٣,٥٧)$$

في حالة عمق جزئي واتساع جزئي لحاجز تكسر ما:

$$(٣,٥٨) \quad Q_{\max} = (8/27) b Y (B/b)^{1/4} (Y_0/Y)^{1/3} \sqrt{g Y}$$

حيث إن:

$$Q_{\max} = \text{أقصى تصرف (م}^3/\text{ث)}.$$

$$B = \text{عرض القناة (م)}.$$

$$b = \text{عرض حاجز التكسر (م)}.$$

$$Y = \text{عمق الماء فوق قاع حاجز التكسر (م)}.$$

$$Y_0 = \text{عمق الماء خلف حاجز التكسر (م) (USACE 1977)}.$$

ولانهيار كامل وفوري للحاجز والتدفق خلال قناة مستطيلة فإن عمق الماء Y

(م) عند زمن t (ث) ومسافة x (م) من الحاجز (مع إهمال الاحتكاك) يعطى بالمعادلة

التالية (Chow 1959; Rouse 1950):

$$(٣,٥٩) \quad x = 2 t \sqrt{g Y_0} - 3 t \sqrt{g Y}$$

المعادلات العملية لتقدير أقصى تصرف فوق حاجز التكسر اعتماداً على

معلومات انهيار الحاجز هي (USBR 1987):

$$(١٣,٦٠) \quad Q_{\max} = 19.13 (Y_0)^{1.85}$$

ومعادلة خدمة الحفاظ على التربة لأقصى تصرف على حاجز التكسر هي

(USDA 1981):

$$(٣,٦٠) \quad Q_{\max} = 16.58 (Y_0)^{1.85}$$

عملياً يجب عمل التقديرات الأولية باستخدام طرق عديدة مختلفة، ويجب

اختيار قيمة محافظة معقولة عن طريق الحكم. وهناك طريقة ملائمة أخرى لتقدير

تصرفات الفيضان فوق حاجز التكسر وأزمة التحرك وأعماق المياه في قناة النهر

المنشورية لانهيار كامل وفوري للحاجز وهي استخدام الجداول البيانية لساكا (USACE 1974).

من الممكن استنتاج بيانات المقطع العرضي لوادي مصب النهر وبيانات ارتفاع التخزين في حوض السد (الحاجز) وطول وقمة ارتفاع السد وزمن تطور الكسر وارتفاع حوض السد والذي عنده يبدأ الانهيار وعرض القاع وارتفاع القاع وميل جوانب الكسر المحتمل، حيث يمكن استخدام نموذج HEC-1 (USACE 1991a) لحساب أقصى التصرفات ومناسيب الفيضان عند أزمنة مختلفة ومواضع مختلفة في قناة مصب النهر. وقد أوضحت التقييمات المقارنة لنموذجي HEC-1 و NWS Dam-Break أن الاثنين يؤديان إلى نتائج يمكن مقارنتها لأقصى التصرفات وأقصى مراحل في وادي مصب النهر (Tschantz and Mojib 1981). وينصح باستخدام نموذج NWS Dam-Break (Fread 1988) لتحليل أكثر تعقيداً.

التصرف على طول المنحدرات Overland Flow along Slopes

التصرف على طول المنحدرات الناتج عن العاصفة يكون عادة غير ثابت ومتنوع الحيز وصعب التحليل. وتشمل الطرق العملية لاستنتاج معدلات التصرف على طول منحدرات أكوام المخلفات الصلبة وتجمعات النفايات طريقة إيزارد في حالة السريان الطبقي وطريقة هورتون في حالة السريان المضطرب (Chow 1959). وتعرض التصرفات على طول المنحدرات إلى انجراف كبير يفترض أن يكون مضطرباً. في مثل هذه الحالات فإن معادلة هورتون للمعدل الزائد المنتظم لسقوط الأمطار هي:

$$q_L = 0.000278 i \tan h^2 \left[6.06 t \left\{ i / (c L) \right\}^{0.5} S^{0.25} \right] \quad (3, 61)$$

حيث إن:

q_L = التصرف عند النهاية المنخفضة من الشريط الأساسي بوحدات (ل/ث)

لكل متر مربع من المساحة التي تسهم في الجريان السطحي.

i = معدل زيادة سقوط الأمطار (مم/ساعة).

t = الزمن من بداية زيادة سقوط الأمطار (ساعة).

S = ميل السطح على طول اتجاه السريان (م/م).

L = طول الانجراف الأساسي (م).

c = معامل الخشونة وقيمها مبينة في الجدول رقم (٣، ١٧).

بفرض أن المساحة التي تسهم في الجريان السطحي هو لانجراف أساسي طوله

L ولوحدة عرض فإن التصرف لكل وحدة عرض على المنحدر يعطى بالمعادلة:

$$q = q_L L \quad (٣، ٦٣)$$

الجدول رقم (٣، ١٧). القيم النموذجية لمعامل الخشونة c .

نوع السطح	c
التربة الجرداء والمضغوطة	٠,١٠
غطاء العشب القليل أو السطح القاحل متوسط الخشونة	٠,٢٠
الغطاء العشبي المتوسط	٠,٤٠
الغطاء العشبي الكثيف	٠,٨٠

المصدر: (Chow 1959).

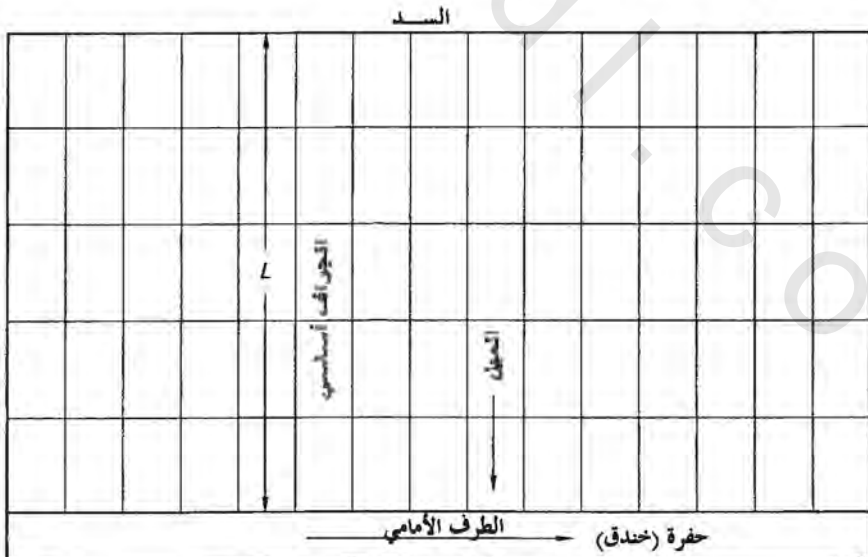
إذا كان السريان طبقي ($iL < 3871$) فيجب استخدام معادلة إيزارد

(Chow 1959). وتعطى معادلة هورتون المنحنى المائي للسريان عند نهاية الانجراف

الأساسي للزيادة المستمرة لنزول الأمطار بمعدل منتظم لفترة محددة من الزمن.

ويمكن استنتاج المنحنى المائي للسريان لفترة محدودة من نزول الأمطار t_0 باستخدام مبدأ التنظيم. ولتقديرات محافظة للسريان على طول المنحدرات الشديدة فإنه يمكن افتراض أن زيادة سقوط الأمطار تساوي تقريباً كمية المطر.

وعادةً فإن التصرف عند الطرف الأمامي يتم جمعه في الخندق الفرعي (الموازي لطول السد) والمتقل إلى المجاري المائية القريبة. والسريان قرب نهاية منبع النهر عند الخندق هو نفسه عند قاع الانجراف الأساسي الأول. ويزداد التصرف في الخندق مع المسافة من نهاية منبع التيار حيث إن المزيد والمزيد من الخطوط الأساسية تسرب فيه (السريان في الخندق متنوع الحيز). وكمية حركة التدفق القادم من الانجرافات الأساسية المتعاقبة تعيق التدفق في الخندق. وطريقة بسيطة نسبياً لتصميم الخندق هي عمل قاع مائل بشدة (فوق حرج) حوالي ٠.٠٥ وتقدير أبعاد الخندق يتم بفرض أن السريان حرج عند نهاية مصب النهر (الشكل رقم ٣,٨).



الشكل رقم (٣,٨). السريان البري على طول ميل السد.

مثال رقم (٣,٧): كون منحني مائي للسريان عند نهاية انجراف بطول ٦١ م لوحدة العرض على طول المنحدر، مع اعتبار أن ميل السطح S يساوي ٠,٠١٤، ومعامل الخشونة c يساوي ٠,١٩٨، بفرض أن شدة سقوط الأمطار i منتظمة ويساوي ٢٤٣,١٧ مم/ساعة أثناء العواصف الشديدة لفترات من ٦ و ١٢ دقيقة. ويبلغ طول السد حوالي ١٠٠٠ م. ضع تصميمياً للخندق الجانبي على طول الطرف الأمامي لميل السد لنقل التصريف إلى المجرى المائي القريب. لتكون محافظاً وبهدف التبسيط افترض أن توقيتات التدفقات من الخطوط الأساسية التي تصل الخندق هي تلك التي يمكن أن تتحد قممها.

الحل:

في هذه الحالة فإن

$$i/(cL) = 20.137$$

وباستخدام المعادلة رقم (٣,٦١)

$$q_L = 0.0676 \tan h^2 [9.354 t]$$

و

$$q = 61 q_L = 4.1236 \tan h^2 [9.354 t]$$

والحسابات بطريقة التنظيم الخطي موضحة في الجدول رقم (٣,١٨). ويمثل العمود رقم (٣) المنحنى المائي لسقوط المطر المستمر. وفي حالة عاصفة ممطرة تدوم ست دقائق فإن الإحداثيات الرأسية للمنحنى المائي للعمود رقم (٣) تتأخر بمقدار ١٠,٠ ساعة كما في العمود رقم (٤) ويمثل الفرق في العمود رقم (٥) المنحنى المائي المناظر. وفي حالة عاصفة ممطرة تدوم ١٢ دقيقة فإن الإحداثيات الرأسية للمنحنى

المائي تتأخر بمقدار ٠,٢٠ ساعة ويمثل الفرق في العمود رقم (٧) المنحنى المائي المناظر.

قمة المنحنى المائي q_{max} لعاصفة ممطرة تدوم ٦ دقائق هي ٠,٣١٧١ ل/ث، ولعاصفة ممطرة تدوم ١٢ دقيقة هي ٠,٦٢٩١ ل/ث.

الجدول رقم (٣, ١٨). حسابات التصريف البري باستخدام طريقة هورتون.

فترة سقوط المطر ١٢ دقيقة		فترة سقوط المطر ٦ دقائق		q (ل/ث)	tan h (9.354 t)	t (ساعة)
q (الفرق)	q (تأخر)	q (الفرق)	q (تأخر)			
(٦)-(٣)=(٧)	(٦)	(٤)-(٣)=(٥)	(٤)	(٣)	(٢)	(١)
٠,٠٤١	٠	٠,٠٤١	٠	٠,٠٤١	٠,٠٩٩٧	٠,١
٠,١٦١	٠	٠,١٢٠	٠,٠٤١	٠,١٦١	٠,١٩٧	٠,٢
٠,٣٠٩	٠,٠٤١	٠,١٨٩	٠,١٦١	٠,٣٥٠	٠,٢٩١	٠,٣
٠,٤٣٥	٠,١٦١	٠,٢٤٥	٠,٣٥٠	٠,٥٩٥	٠,٣٨٠	٠,٤
٠,٥٣١	٠,٣٥٠	٠,٢٨٥	٠,٥٩٥	٠,٨٨١	٠,٤٦٢	٠,٥
٠,٥٩٤	٠,٥٩٥	٠,٣٠٩	٠,٨٨١	١,١٨٩	٠,٥٣٧	٠,٦
٠,٦٢٦	٠,٨٨١	٠,٣١٧	١,١٨٩	١,٥٠٦	٠,٦٠٤	٠,٧
٠,٦٢٩	١,١٨٩	٠,٣١٢	١,٥٠٦	١,٨١٨	٠,٦٦٤	٠,٨
٠,٦١٠	١,٥٠٦	٠,٢٩٧	١,٨١٨	٢,١١٦	٠,٧١٦	٠,٩
٠,٥٧٤	١,٨١٨	٠,٢٧٦	٢,١١٦	٢,٣٩٠	٠,٧٦٢	١,٠
٠,٥٢٧	٢,١١٦	٠,٢٥١	٢,٣٩٠	٢,٦٤٢	٠,٨٠٠	١,١
٠,٤٧٤	٢,٣٩٠	٠,٢٣٣	٢,٦٤٢	٢,٨٦٦	٠,٨٣٤	١,٢
٠,٤٢٠	٢,٦٤٢	٠,١٩٦	٢,٨٦٦	٣,٠٦٢	٠,٨٦٢	١,٣
٠,٣٦٦	٢,٨٦٦	٠,١٧٠	٣,٠٦٢	٣,٢٣٢	٠,٨٨٥	١,٤
٠,٣١٦	٣,٠٦٢	٠,١٤٦	٣,٢٣٢	٣,٣٧٨	٠,٩٠٥	١,٥

التصرف الكلي Q عند المصب عند نهاية الخندق أثناء عاصفة مدتها ١٢ دقيقة:

$$Q = 0.629 \times 1000 / 1000 = 0.629 \text{ m}^3 / \text{s}$$

وبفرض خندق شبه منحرف مع عرض قاعه B يساوي ٠,٣ م. فإن ميل أحد جوانب هذا الخندق هو ٠,١٤ أو ٧١,٤٢٨ أفقي: ١ رأسي والآخر هو ٢ أفقي: ١ رأسي.

$$A = 0.3y + (2 + 71.428)y^2 / 2$$

$$T = 0.3 + (2 + 71.428)y$$

باستخدام معادلة التصرف الخرج:

$$Q = 0.629 = \sqrt{(gA^3 / T)} = 3.132(0.3y + 36.714y^2)^{1.5} / (0.3 + 73.428y)^{0.5}$$

وبإتباع التجربة والخطأ نجد أن عمق الماء y يساوي ٠,١٤ م. وباستخدام حافة حرة ٠,٢ م يكون الخندق عمقه ٠,٣٤ م. ويمكن أن يقل عرض القاع بانتظام في اتجاه منبع التيار للحصول على حد أدنى من ٠,١٥ م عند طرف منبع التيار المائي.

انجراف التربة على المنحدرات Soil Erosion on Slopes

يؤدي السريان البري على طول المنحدرات الشديدة فوق الطبقة الرقيقة والغدير (الحز) والأخدود للانجراف. وانجراف الطبقة الرقيقة والحز يتم توضيحها في الجزء التالي من هذا الفصل. وانجراف الأخدود على المنحدرات الشديدة موضح في هذا الجزء. وقد تم تطوير المعادلات العملية لتقدير أقصى عمق وعرض لقمة الأخدود.

والخطوات الحسابية للتقدير المحافظ هي كالتالي (Johnson 1999):

١- احسب مساحة مقطع التصرف A (م^٢) للأخدود:

$$A = 0.276 [L \cos \theta]^{1.636} \quad (3, 63)$$

حيث إن:

$$L = \text{طول الميل (م).}$$

$$\theta = \text{زاوية الميل مع الأفقي} = \arctan(S), \text{ S هو الميل (م/م).}$$

٢- احسب متوسط عمق التساقط السنوي P (م) ومتوسط التساقط الكلي خلال فترة التحليل (مثل t عام). ومتوسط التساقط السنوي بالقرب من موقع قياس التساقط يمكن الحصول عليه من السجلات المنشورة (مثل Gale Research Company 1985).

٣- احسب نسبة متوسط الجريان السطحي لمعدل سقوط الأمطار C للموقع. ومتوسط الجريان السطحي السنوي في المنطقة المجاورة للموقع يمكن أن يتم الحصول عليها من السجلات المنشورة (مثل Gerbert *et al.* 1989) وبيانات مصادر المياه للولايات المختلفة التي تنشر سنوياً من قبل هيئة المسح الجيولوجي بالولايات المتحدة.

٤- احسب الحجم الكلي للجريان السطحي V (م^٣) المتوقع عند الطرف الأمامي للمنحدر أثناء فترة التحليل:

$$V = G P t A \quad (٣, ٦٤)$$

٥- احسب أقصى عمق D_{\max} (م) لشق الأخدود:

$$D_{\max} = G L S \quad (٣, ٦٥)$$

إذا كان محتوى المنحدر من الطين $> ١٥\%$:

$$G = 1 / \left[2.25 + \left\{ 0.789 V / (H^3) \right\}^{-0.55} \right] \quad (٣, ٦٦)$$

إذا كان $> ١٥\%$ محتوى المنحدر من الطين $> ٥٠\%$:

$$G = 1 / \left[2.80 + \left\{ 0.197 V / (H^3) \right\}^{-0.70} \right] \quad (٣, ٦٧)$$

إذا كان محتوى الطين في مادة المنحدر $< ٥٠\%$:

$$G = 1 / \left[3.55 + \left\{ 0.76 V / (H^3) \right\}^{-0.85} \right] \quad (٣, ٦٨)$$

حيث إن:

$$H = \text{الارتفاع الرأسى للمنحدر (م)} = L \sin \theta$$

٦- احسب عرض المصبطة W (م) للأخدود عند نقطة أعمق شق:

$$W = (D_{\max} / 0.61)^{1.149} \quad (٣, ٦٩)$$

٧- احسب المسافة D_L (م) من D_{\max} على طول الميل المقاس من المصبطة:

$$D_L / D_{\max} = 0.713 [V S / (L^3)]^{-0.415} \quad (٣, ٧٠)$$

وبسبب الطبيعة العملية لهذه المعادلات فيجب استخدام التقديرات فقط

للتحليلات الكمية.

مثال رقم (٣, ٨): قدر احتمال انجراف الأخدود على منحدر كومة التخلّص من

المخلفات الصلبة أثناء فترات ١٠ و ٢٠٠ عام من المعالجة. حيث θ تساوي 14° ، L يساوي ٦٢ م، ومحتوى الطين من مادة المنحدر $> 15\%$ ، و P تساوي ٠,٥ م/عام، و C يساوي ٠,٢٠.

الحل:

$$S = \tan 14^\circ = 0.25$$

$$H = 15 \text{ m}$$

وباستخدام المعادلات رقم (٣, ٦٣) ورقم (٣, ٦٤) فإن:

$$A = 224.8 \text{ m}^2$$

$$V(10\text{yr}) = 0.20 \times 0.50 \times 10 \times 224.8 = 224.8 \text{ m}^3$$

$$V(200\text{yr}) = 4496 \text{ m}^3$$

وباستخدام المعادلة رقم (٣, ٦٦):

$$G(10\text{yr}) = 0.137$$

$$G(200\text{yr}) = 0.31$$

وباستخدام المعادلة رقم (٣, ٦٥):

$$D_{\max}(10\text{yr}) = 0.137 \times 62 \times 0.25 = 2.12 \text{ m}$$

$$D_{\max}(200\text{yr}) = 0.31 \times 62 \times 0.25 = 4.81 \text{ m}$$

وباستخدام المعادلة رقم (٣, ٦٩):

$$W(10\text{yr}) = 4.18 \text{ m}$$

$$W(200\text{yr}) = 10.73 \text{ m}$$

باستخدام المعادلة رقم (٣, ٧٠):

$$D_L(10\text{yr}) = 48.4 \text{ m}$$

$$D_L(200\text{yr}) = 31.67 \text{ m}$$

والقيم المقدرة لـ D_{\max} هي أن هناك احتمال للتعرض للفقد في المادة المتخلفة.

معادلة عملية لتقدير معدل تقدم ضاغط الأخدود هي (Tompson, 1964):

$$R = 0.0065 A^{0.49} S^{0.14} P^{0.74} E \quad (٣, ٧١)$$

حيث إن:

R = معدل تقدم ضاغط الأخدود لكل وحدة زمن من الفترة الزمنية التي

يمثلها متغير كمية المطر P .

P = تجميع أعماق كميات المطر (مم) أثناء فترة التحليل التي ساوت أو

تجاوزت ١٢,٧ مم في ٢٤ ساعة.

A = مساحة الصرف فوق ضاغط الأخدود (هكتار).

S = ميل قناة الاقتراب فوق ضاغط الأخدود (%).

E = عامل التربة الذي يُعرف على أنه محتوى الطين (أحجام الجزيئات من ٠,٠٠٥ مم أو أصغر) بنسبة الوزن في قطاع التربة الجانبي الذي يحتمل أن يتقدم الضاغط خلاله.

معادلة عملية أبسط مطورة من قبل خدمة المحافظة على التربة هي على الصورة التالية (USDA 1966):

$$R = 0.363 A^{0.46} P^{0.20} \quad (٣,٧٢)$$

ويمكن أن تختلف المعدلات الناتجة من هذه المعادلات اختلافاً كبيراً. ويجب استخدام الحكم والتحقق بقدر الإمكان لتقدير احتمالية تقدم ضاغط الأخدود ولتصميم القياسات التركيبية أو غير التركيبية لمراقبتها.

Sediment Yield Analysis تحليل حصيلة الترسبات

متوسط حصيلة الترسبات السنوية لحوض صرف المياه يمكن أن يتم تقريبها باستخدام معادلة الفقد في التربة العالمية (USLE):

$$T = 2.243 R K LS C P \quad (٣,٧٣)$$

حيث إن:

T = الفقد في التربة (طن/ هكتار).

R = معامل سقوط المطر.

K = معامل انجراف التربة.

LS = معامل طول المنحدر.

C = معامل غطاء التربة.

P = معامل وقاية الممارسة.

هذه المعاملات يمكن تقديرها من الجداول والمنحنيات البيانية المنشورة
(Barfield et al. 1981; USEPA 1977).

وقد تم أيضاً تطوير التعبيرات العملية لتقدير بعض من هذه المعاملات.
ولتقدير متوسط الفقد السنوي في التربة:

١ - في المناطق التي تكون عاصفة النوع ١ قابلة للتطبيق (انظر "عمق ومدة
المطر التصميمي" في الفصل الثاني):

$$(٣,٧٤) \quad R = 0.0134 P_{2.6}^{2.2}$$

٢ - في المناطق التي تكون عاصفة النوع ٢ قابلة للتطبيق:

$$(٣,٧٥) \quad R = 0.0219 P_{2.6}^{2.2}$$

حيث إن:

$$P_{2.6} = \text{تساقط عاصفة سنتين، ست ساعة (مم).}$$

لتقدير الفقد في التربة نتيجة عاصفة منفرد:

١ - في المناطق التي تكون عاصفة النوع ١ (انظر "عمق ومدة المطر
التصميمي" في الفصل الثاني) قابلة للتطبيق:

$$(٣,٧٦) \quad R = 0.0122 P^{2.2} / D^{0.6065}$$

٢ - في المناطق التي تكون عاصفة النوع ٢ قابلة للتطبيق:

$$(٣,٧٧) \quad R = 0.0156 P^{2.2} / D^{0.4672}$$

حيث إن:

$$P = \text{تساقط العاصفة الكلي (مم).}$$

$$D = \text{مدة العاصفة (ساعة).}$$

إن قيم K لأنواع مختلفة من الترب في مناطق مختلفة يمكن الحصول عليها من المكاتب المحلية ومكاتب الولاية لخدمة المحافظة على المصادر المائية. والقيم النموذجية موضحة في الجدول رقم (٣.١٩) (SCS 1978; Barfield *et al.* 1981):

$$LS = (\lambda / 22.13)^m [(430 x^2 + 30 x + 0.43) / 6.613] \quad (٣,٧٨)$$

حيث إن:

$$\sin \theta = x$$

θ = زاوية ميل الأرض.

$$\lambda = \text{طول الميل (م).}$$

$$m = 0.2 \text{ إذا كانت } x \leq 0.01.$$

$$m = 0.3 \text{ إذا كانت } 0.01 < x \leq 0.03.$$

$$m = 0.4 \text{ إذا كانت } 0.03 < x \leq 0.05.$$

$$m = 0.5 \text{ إذا كانت } 0.05 < x \leq 0.12.$$

$$m = 0.6 \text{ إذا كانت } x > 0.12 \text{ (USEPA 1980).}$$

الجدول رقم (٣.١٩). القيم النموذجية لمعامل انجراف التربة K.

k	نوع التربة
٠,٣٧	طينية لومية ، طينية طينية لومية ، رملية لومية ناعمة جداً
٠,٣٢	طينية ، طينية لومية ، لومية ، طينية طينية
٠,٢٤	رملية لومية ناعمة ، لومية رملية ناعمة جداً ، رملية لومية
٠,١٧	لومية رملية ناعمة ، لومية رملية
٠,١٥	رملية

المصدر: (SCS 1978).

عادة تختلف قيمة C من ٠.٠٠٣ لحوالي ٩٥ إلى ١٠٠٪ من أغطية الأرض مع مسح إلى ١٠٠ في لعدم وجود غطاء أرضي، و P تساوي ١.٠ عندما لا تتخذ أي ممارسات للمحافظة على التربة أو لأي من استخدامات التربة الأخرى غير المزرعة بالمحاصيل. وفي حالة المحاصيل الكنتورية يمكن أن تختلف قيمة P من ٠.٥٠ لميول الأرض في حدود من ٢ إلى ٧٪ إلى ١٠٠ لميول الأرض في حدود من ٢٥ إلى ٣٠٪ (USEPA 1977). وقد يتم تخصيص نسخة مبرجة معدلة من معادلة الفقد في التربة على أنها المعادلة العالمية المعدلة للفقد في التربة (RUSLE). والمعادلة الأساسية هي نفسها USLE (المعادلة العالمية للفقد في التربة). أما المعادلة العالمية المعدلة للفقد في التربة فهي نموذج لعملية مجمعة تعتمد على تحليل كميات كبيرة من البيانات التجريبية لتحديد العوامل المختلفة للمعادلة العالمية المعدلة للفقد في التربة. وهي تشمل طرقاً تفصيلية لحساب العوامل مثل عامل إدارة الغطاء C للحالة التي تكون فيها البيانات التجريبية غير كافية لتحديد هذه المعاملات (Renard et al. 1991; Foster et al. 1996).

يمكن استخدام المعادلة العالمية المعدلة للفقد في التربة MUSLE لتقدير الفقد في التربة أثناء حدوث العاصفة (Williams 1975):

$$Y = 11.79 (Q q)^{0.56} K LS C P \quad (٣,٧٩)$$

حيث إن:

$$Y = \text{الفقد في التربة (طن).}$$

$$Q = \text{حجم الجريان السطحي أثناء العاصفة (م³).}$$

$$q = \text{أعلى قيمة للتصرف (م³/ث).}$$

يمكن أن لا تصل كل تلك الترسبات المقدرة باستخدام المعادلة العالمية للفقد في التربة USLE أو المعادلة العالمية المعدلة للفقد في التربة MUSLE إلى الجريان السطحي

لسطح التيار المنصرف من حوض السد بسبب الترسيب على طول مسار السريان البري من موقع انجراف الترسبات إلى التيار. ولتقدير صافي كمية الترسبات التي تصل التيار فإن التقديرات المذكورة أعلاه يجب أن تضرب في نسبة تسلم الرواسب (USEPA 1988A SDR):

$$(٣,٨٠) \quad SDR = 0.77 L_d^{-0.22}$$

حيث إن:

$$L_d = \text{مسافة السريان البري (م).}$$

والمعادلة البديلة لنسبة تسليم الرواسب SDR هي (USACE 1989):

$$(٣,٨١) \quad SDR = 0.30 A^{-0.2}$$

حيث إن:

$$A = \text{مساحة الصرف (كم}^2\text{).}$$

وبسبب الطبيعة الذاتية لمعاملات كل من المعادلة العالمية للفقد في التربة USLE والمعادلة العالمية المعدلة للفقد في التربة MUSLE ونسبة تسلم الرواسب SDR، فإنه يجب التحقق من معقولية التقديرات عن طريق طرق عديدة بديلة بقدر الإمكان عن طريق القياسات الحقلية. وأحد الطرق البديلة هي استخدام معادلة دندي-بولتون (USACE 1989):

$$(٣,٨٢) \quad T = 101.25 R^{0.46} [1.54 - 0.26 \log A]$$

إذا كانت R أقل من أو تساوي ٥٠,٨ مم.

$$(٣,٨٤) \quad T = 685.883 [\exp(0.002165 R) \{1.54 - 0.26 \log A\}]$$

إذا كانت R أكبر من ٥٠,٨ مم.

حيث إن:

$$T = \text{حصيلة الترسبات (طن/ كم}^2 \text{/ سنة).}$$

$$R = \text{متوسط الجريان السطحي السنوي (مم).}$$

ويمكن الحصول على قيم R من (Gerbert *et al.* 1989) أو من سجلات تدفق المجاري المائية القريبة المنشورة من قبل هيئة المسح الجيولوجي لبيانات مصادر المياه بالولايات المتحدة كل عام.

وقد تم تطوير نماذج الحاسب مثل (Wilson *et al.* 1984) SEDIMOT-2 لتقدير المنحنيات المائية للجريان السطحي للعاصفة وحصيلة الترسبات من حوض الصرف باستخدام المعادلة العالمية للفقد في التربة USLE أو المعادلة العالمية المعدلة للفقد في التربة MUSLE ونسبة تسلم الرواسب SDR وللقيام بتخطيط المنحنيات المائية للجريان السطحي والرواسب خلال حوض الترسيب. وتقدر هذه النماذج الترسبات في حوض الترسيب اعتماداً على حجم الحبيبات وسرعة سقوط الرواسب المنجرفة من حوض الصرف وزمن المعالجة في حوض النهر وتقوم بحساب حمل الرواسب في التدفق.

والمعادلة العملية لتقدير كمية الترسبات التي تصل إلى حوض السد هي (USBR 1987):

$$Q_s = 1098 A^{-2.4} \quad (٣,٨٤)$$

حيث إن:

$$Q_s = \text{حصيلة الرواسب (م}^3 \text{/ كم}^2 \text{/ السنة).}$$

ولا استخدام هذه المعادلة للتحقق من التقديرات اعتماداً على المعادلة العالمية للفقد في التربة أو معادلة دندي- بولتون، فيجب أن تزداد قيمة Q_s بحوالي ٥ إلى ٢٥٪.

لحساب انتقال حمل القاع (USBR 1987; Simons and Sentruk 1976)، وعن طريق معكوس نسبة تسلم الرواسب لتقدير الفقد في التربة من حوض الصرف. وطريقة أخرى تقريبية للتحقق من مدى صحة هذه التقديرات هي استخدام بيانات تدفق التيار وحمل الرواسب المتاحة من مواقع أخرى في المجرى المائي أو مجرى مائي آخر له نفس خصائص انتقال الرواسب والسريان. ويتم تسجيل التصرف اليومي الملاحظ (م^٣/ث) وحمل الرواسب المعلقة (طن/اليوم) في أوراق السجلات. ويتم رسم خط مستقيم مناسب خلال النقاط المرسومة. هذا الخط المستقيم أو معادلته يمكن أن يستخدم لتقدير الحمل المعلق من الترسبات اليومية المعروفة في الموقع موضع الاهتمام. ولاستخدام هذه الطريقة للتحقق من مدى صحة التقديرات السابقة فإنه يجب ضبط الحمل المعلق المقدر لحمل القاع (مضروباً في ١,٠٥ إلى ١,٢٥) ومقسوماً على نسبة تسلم الرواسب. وإذا لم تكن البيانات التي تخص الموقع متاحة فإنه يجب عمل تقديرات أولية باستخدام طرق تقريبية عديدة وقيم معقولة مختارة عن طريق الحكم.

مثال رقم (٣,٩): حمل الراسب المعلق المقاس يومياً وتدفقات المجرى المائي المناظرة لمجرى مائي موضحة في الجدول رقم (٣,٢٠). ويقدر حمل القاع بحوالي ٥٪ من الحمل المعلق وتقدر نسبة تسليم الرواسب بحوالي ٠,١٨. احسب حصيلة الرواسب من حوض الصرف أثناء فترة ذوبان الجليد عندما يكون متوسط تدفق التيار ٣٠,٢٥ م^٣/ث.

الحل:

انحسار لوغاريتمات Q_s (طن/اليوم) و Q (ل/ث) كمتغيرات غير مستقلة ومستقلة على الترتيب تعطي:

$$\log Q_s = -4.182 + 1.783 \log (Q)$$

أو

$$Q_s = 0.0000658 Q^{1.783}, \quad r^2 = 0.72$$

لكل Q تساوي ٢٥٠ ل/ث فإن Q_s تساوي ١,٢٤ طن/يوم.

وبالتكيف مع حمل القاع (أي بالضرب في ١,٠٥) ولنسبة تسليم الرواسب (أي بالقسمة على ٠,١٨) تعطي متوسط حصيلة الرواسب التقريبية من حوض الصرف بحوالي ٧,٢٣ طن/يوم. ويجب التحقق من هذا عن طريق التقديرات التي تم الحصول عليها بالطرق الأخرى.

والمعادلة التقريبية لتقدير سعة انتقال الرواسب للمجرى المائي

(Johnson 1999 ; Simon *et al.* 1981):

$$q_s = \left[(3.281)^{b+c-2} \right] a D^b V^c \quad (٣,٨٥)$$

حيث إن:

q_s = معدل انتقال الرواسب (م^٣/ث).

D = متوسط عمق السريان (م).

V = السرعة المتوسطة (م/ث).

a, b, c هي المعاملات الموضحة في الجدول رقم (٣,٢١).

ويمكن أن تكون المعادلة رقم (٣,٨٥) قابلة للتطبيق لرقم فرود من ١ إلى ٤ ،

وسرعة V من ١,٩٨ إلى ٧,٩٢ م/ث، وميل القاع من ٠,٠٠٥ إلى ٠,٠٤٠ ، و d_{50}

من ٠,٠٢٦ إلى ١٥ مم.

الجدول رقم (٣،٢٠). بيانات حمل الرواسب المعلقة وتدفق التيار.

Q (l/s)	Q_s (t/d)	Q (l/s)	Q_s (t/d)	Q (l/s)	Q_s (t/d)	Q (l/s)	Q_s (t/d)	Q (l/s)	Q_s (t/d)
٧٠,٧٨	٠,٠٢	١١٠,٤٠	٩٥,٢٦	٦٧,٩٥	٠,١٣	٧٣,٦١	٠,١١	٣٦,٨١	٠,١٥
٧٠,٧٨	٠,٠٤	٥٤٣,٦٠	٢,٥٤	٧٠,٧٨	٠,٠٢	٧٠,٧٨	٠,٣٤	٤٥,٣٠	٠,٢٢
٧٠,٧٨	٠,٠٢	٢٠٦,٦٨	١,٥٤	٦٥,١٢	٠,٠٥	٣٦٨,٠٧	١,٨١	٤٢,٤٧	٠,٠٧
٥٠,٩٦	٠,١٦	١١٠,٤٢	٠,٩١	١٢٤,٥٨	٠,١١	٦٥,١٢	٠,٤١	٤٥,٣٠	٠,٣٩
٥٣,٧٩	٠,٠١	٨٧,٧٧	٠,٢٤	٢٦٦,١٤	٠,٣٤	٥٦,٦٣	٠,٢٥	٦٥,١٢	٠,٤٤
٥٣,٧٩	٠,٠١	٨٢,١١	٠,١٧	٥٤٠,٧٧	٧,٣٥	٦٥,١٢	٠,٢٠	٨٧,٧٧	٠,٥٣
٧٣,٦١	٠,٠٦	٧٩,٢٨	٠,٠٣	٦٣٧,٠٤	١٢,٧٠	٦٧,٩٥	٠,٠٦	٩٣,٤٣	٠,٠٨
١٧٨,٣٧	٠,٢٠	٨٤,٩٤	٠,٠٨	٥٩٧,٤٠	٥,١٧	١١٣,٢٥	٠,١٤	٢٣٥,٠٠	١,١٨
٧٠,٧٨	٠,٤١	٢٦٣,٣١	١,٠٩	٦٥٤,٠٢	٨,٤٤	١٣٠,٢٤	٠,١٥	١٩٨,١٩	٠,٣١
٣١,١٤	٠,١١	٢٣٥,٠٠	٠,٤١	٦٧٩,٥٠	٧,٦٢	٥٦٩,٠٩	٣,٩٩	١٢٧,٤١	٠,٦٨
٤٢,٤٧	٠,١٨	١٢١,٧٤	٠,٢٠	١٠٤٤,٧٠	١٩,٠٥	٣٩٦,٣٨	٠,٥٨	٤٢,٤٧	٠,١٧
١١٣,٢٥	٠,٢٢	٧٠,٧٨	٠,٠٥	٩٥٩,٨٠	١٥,٤٢	١٩٨,١٩	٠,٤١	٣٩,٦٤	٠,١٢
٧٦,٤٤	٠,٣٢	٥٩,٤٦	٠,٠٧	٦٨٥,١٧	٢,٩٠	١٣٣,٠٧	٠,٢٩	٤٢,٤٧	٠,٠٦
٣٦٢,٤٠	١,٧٢	٥٠,٩٦	٠,٩١	٢٦٦,١٤	٠,٨١	٦٥,١٢	٠,٠٧	٤٥,٣٠	٠,٢٨
٢٦٨,٩٧	٠,٣٧	٧٠,٧٨	٠,٠٢	٦٢,٢٩	٠,٠٥	٧٣,٦١	٠,١٥	٩٠,٦٠	٠,٣٣
٧٢,١١	٠,٢٣	٥٦,٦٣	٠,٠٦	٧٩,٢٨	٠,٢٠	٨٢,١١	٠,٠٦	٨٤,٩٤	٠,١٦
٥٦,٦٣	٠,٠٨	٤٢,٤٧	٠,٤٠	٧٠,٧٨	٠,٠٤	١٠٤,٧٦	٠,٠٨	١٣٥,٩٠	٠,٠٨
٥٦,٦٣	٠,٢٧	٥٩,٤٦	٠,٢٢	٧٠,٧٨	٠,٠٢	٢٥١,٩٨	٠,٢٢	٣٤٢,٥٨	٠,٣٣
٥٠,٩٦	٠,١٣	٦٧,٩٥	٠,٠٨	٥٩,٤٦	٠,٠٥	٣١٧,١٠	١٥,٤٢	٢٧٤,٥٨	١,٤٥
٣٣,٩٨	٠,٠١	١١٨,٩١	٠,٤٤	٦٥,١٢	٠,٤٤	٧٣,٦١	٠,٣١	٩٣,٤٣	٠,٣١
٥٣,٧٩	٠,٠٣	٥٩,٤٦	٠,٤٠	١٠٤,٧٦	٠,٠٣	٨٤,٩٤	٠,١٨	٦٥,١٢	٠,١٢
٥٣,٧٩	٠,٠٩	٢٨,٣١	٠,٠٥	٢٠٣,٨٥	٠,٥٤	٥٩,٤٦	٠,٠٥	٥٣,٧٩	٠,٢٠
٣١,١٤	٠,١٨	٣٦,٨١	٠,١٦	٣١٤,٢٧	١,٥٤	٦٧,٩٥	٠,٢١	٤٨,١٣	٠,٣٢
٥٣,٧٩	٠,١٥	٣٩,٦٤	٠,٠٥	٣١١,٤٤	١,١٨	٦٢,٢٩	٠,٠٥	٥٣,٧٩	٠,٠٣
٥٦,٦٣	٠,٤٦	٤٢,٤٧	٠,٠٦	٣١١,٤٤	١,٧٢	٥٩,٤٦	٠,١٤	٥٠,٩٦	٠,١١
١٠٤,٧٦	٠,١١	٥٣,٧٩	٠,٠٢	٨٦٩,٢٠	٩,٩٨	٦٧,٩٥	٠,٠٦	٦٧,٩٥	٠,٤٩

تابع الجدول رقم (٣،٢٠).

Q (l/s)	Q_s (t/d)	Q (l/s)	Q_s (t/d)	Q (l/s)	Q_s (t/d)	Q (l/s)	Q_s (t/d)	Q (l/s)	Q_s (t/d)
٢٠٩,٥١	٠,٢٥	٣٣,٩٨	٠,٠٢	٩٢٢,٩٩	٣١,٧٥	٦٢,٢٩	٠,٠٥	٥١٥,٢٩	٤,٣٥
٤٦٧,١٦	٣,٢٧	٤٨,١٣	٠,٠٥	١٢٢٣,١٠	٩٤,٣٥	٥٣٧,٩٤	٣,٧٢	٢٣٢,١٦	١,٩١
١٨٤,٠٣	٠,٤٦	٣١٩,٩٣	١,٥٤	١٣٣٠,٧٠	١٦,٣٣	٥٤٩,٢٧	٢,٠٠	٤٨,١٣	٠,٢٨
١٢١,٧٤	٠,٢٧	٥٦٦,٢٥	٤,٨١	١٦٤٧,٨٠	١٥٢,٤١	٣١١,٤٤	٣,٦٣	٣٦,٨١	٠,١٨
٦٥,١٢	٠,٠٩	٢٠٩,٥١	٠,٥١	١٨٤٣,٢٠	١٩٥٩,٦٠	٩٩,٠٩	٠,١٥	٥٠,٩٦	٠,٤٤
٦٧,٩٥	٠,١٢	٩٩,٠٩	٠,١٥	١٦١٦,٧٠	٤٧٠,٨٤	٥٦,٦٣	٠,٠٦	٤٥,٣٠	٠,٣٠

الجدول رقم (٣،٢١). معاملات معادلة سعة انتقال الرواسب.

$$G = 0.5 \left[\left(\frac{d_{84}}{d_{50}} \right) + \left(\frac{d_{50}}{d_{16}} \right) \right] \cdot G$$

c	b	a	d_{50} (مم)
G = 1.0			
٣,٣٠	٠,٧١٥	$10^{-1} \times ٣,٣٠$	٠,١
٣,٦١	٠,٤٩٥	$10^{-1} \times ١,٤٢$	٠,٢٥
٣,٨٢	٠,٢٨٠	$10^{-1} \times ٧,٦٠$	٠,٥
٣,٩٣	٠,٠٦٠	$10^{-1} \times ٥,٦٢$	١,٠
٣,٩٥	٠,١٤٠ -	$10^{-1} \times ٥,٦٤$	٢,٠
٣,٩٢	٠,٢٤٠ -	$10^{-1} \times ٦,٣٢$	٣,٠
٣,٨٩	٠,٣٠٠ -	$10^{-1} \times ٧,١٠$	٤,٠
٣,٨٧	٠,٣٤٠ -	$10^{-1} \times ٧,٧٨$	٥,٠
G = 2.0			
٣,٥٥	٠,٥١٠	$10^{-1} \times ١,٥٩$	٠,٢٥
٣,٧٣	٠,٣٣٠	$10^{-1} \times ٩,٨٠$	٠,٥
٣,٨٦	٠,١٢٠	$10^{-1} \times ٦,٩٤$	١,٠
٣,٩١	٠,٠٩٠ -	$10^{-1} \times ٦,٣٢$	٢,٠
٣,٩١	٠,١٩٦ -	$10^{-1} \times ٦,٦٢$	٣,٠
٣,٩٠	٠,٢٧٠ -	$10^{-1} \times ٦,٩٤$	٤,٠

تابع الجدول رقم (٣,٢١).

معامل التدرج $G = 0.5 [(d_{84}/d_{50}) + (d_{50}/d_{16})]$ ،			
d_{50} (مم)	a	b	c
G = 3.0			
٠,٥	$10 \times 1,21$	٠,٣٦٠	٣,٦٦
١,٠	$10 \times 9,14$	٠,١٨٠	٣,٧٦
٢,٠	$10 \times 7,44$	٠,٠٢٠ -	٣,٨٦
G = 4.0			
١,٠	$10 \times 1,٠٥$	٠,٢١٠	٣,٧١

المصدر: (Johnson 1999).

الانجراف بسبب الرياح Wind Erosion

تقديرات الفقد في التربة والانجراف التي تسببه الرياح تكون مطلوبة لتقييم احتمال تعرض النفايات أو مخلفات التربة التي تغطيها أغطية التربة. ويتم التعبير عن الفقد في التربة بالشكل التالي (USDA 1982, 1983b):

$$E = f(I, K, C, L, V) \quad (٣,٨٦)$$

حيث إن:

E = المتوسط السنوي للفقد في التربة، طن/ايكر/ السنة (طن/ هكتار/ السنة).

f = دالة المتغيرات الموضحة.

I = انجراف التربة نتيجة تأثير الرياح، وعادة يعبر عنها بتقسيم التربة إلى

مجموعات انجراف بالرياح (WEGs) اعتماداً على أنواع التربة (تربة رملية،

تربة رملية طينية، طينية، طميية، كتل طينية، وأحجار).

K = معامل خشونة السطح، يعبر عنه عادة بأس يساوي ١,٠ للسطح الناعم

ويساوي ٠,٥ للسطح الخشن.

C = المعامل المناخي (معبراً عنه بالنسبة المئوية) الذي يوضع كل شهر لمواقع

مختلفة اعتماداً على متوسط سرعة الرياح وأس البخر-التساقط.

L = المسافة غير المحمية، التي يتم الحصول عليها عادةً من المنحنيات البيانية

المتاحة للعروض المختلفة لأسطح التربة، والمسافات على طول اتجاه الرياح

السائدة، وزوايا اتجاه الرياح السائدة.

V = الغطاء النباتي، والذي يعبر عنه عادةً بدلالة وزن بقايا الحبوب الصغيرة

المسطحة لكل وحدة مساحة.

يتم تقدير الغطاء النباتي V من المنحنيات البيانية التي تعبر عن كمية محددة من

مجموعة الحبوب المسطحة لمحصول محدد (مثلاً، الذرة السكرية أو القطن أو الذرة) في

حقل إلى كمية مساوية من بقايا الحبوب الصغيرة (R) من المحصول السابق. ويجب

استخدام المنحنيات البيانية والجداول التي توضع لولايات مختلفة في دراسات محددة.

وتكون الملاحظات التقنية، بما فيها هذه المنحنيات البيانية والجداول للولايات المختلفة

متاحة من المكاتب المحلية من NRCS (USDA). ولتسهيل تنبؤات الانجراف بسبب

الرياح فإن معادلة انجراف الرياح يمكن أن يتم برمجتها أيضاً (مثلاً، USNRC 1982).

مثال رقم (٣، ١٠): احسب المعدل السنوي للفقد في التربة نتيجة الانجراف بسبب

الرياح لموقع في يومينج حيث WEG (يعكس المعامل I في المعادلة رقم ٣، ٨٦) ويساوي

٢، سطح الركاب للتلال (يعكس المعامل K)، C يساوي ٣٠٪ (لشهر حرج في مكان

الموقع في يومينج)، V تساوي ٥٠٠ رطل/ايكر (٥٦٠ كجم/هكتار)، L تساوي

٢٨٠٠ قدم (٨٥٣، ٤ م). وعادة يكون الشهر الحرج هو الشهر الذي يتوقع فيه

حدوث انجراف الرياح والأكثر شدة.

الحل:

إن الجدول رقم (٣,٢٢) يبين قيم E للسطح غير البارز في WEG2 مع C تساوي ٣٠٪ ليومينج. وباستخدام الجدول رقم (٣,٢٢) ليومينج (USDA 1982)، نجد أن E تساوي ٢٦ طن/ايكر (٥٨,٣ طن/هكتار) في السنة.

الجدول رقم (٣,٢٢). الفقد في التربة طن/ايكر (طن/الهكتار) على السطح غير البارز في يومينج
 $C = 30\%$, $WEG = 2$

بقايا الحبيبات الصغيرة المسطحة { رطل / ايكر (كجم / هكتار) }					المسافة غير المحمية للحقل على طول اتجاه الرياح السائدة { قدم (م) }
٠	٢٥٠	٥٠٠	٧٥٠	١٠٠٠	
(٠)	(٢٨٠,٢)	(٥٦٠,٤)	(٨٤٠,٦)	(١١٢٠,٨)	
١٩	١٤,٥	١١	٦,٨	٣,٣	١٠٠
(٤٢,٦)	(٣٢,٥)	(٢٤,٧)	(١٥,٢)	(٧,٤)	(٣٠,٥)
٢٥,٥	٢٠	١٥,٧	١٠	٥,٥	٢٠٠
(٥٧,٢)	(٤٤,٨)	(٣٥,٢)	(٢٢,٤)	(١٢,٣)	(٦١)
٣٣,٥	٢٧	٢١,٩	١٥	٨,٥	٥٠٠
(٧٥,١)	(٦٠,٥)	(٤٩,١)	(٣٣,٦)	(١٩,١)	(١٥٢,٤)
٣٧,٨	٣٠	٢٤,٥	١٧	١٠	١٠٠٠
(٨٤,٧)	(٦٧,٢)	(٥٤,٩)	(٣٨,١)	(٢٢,٤)	(٣٠٤,٨)
٣٩,٩	٣٢	٢٥,٨	١٧,٧	١٠,٦	٢٠٠٠
(٨٩,٤)	(٧١,٧)	(٥٧,٨)	(٣٩,٧)	(٢٣,٨)	(٦٠٩,٦)
٤٠	٣٢,٧	٢٦	١٨	١٠,٩	٣٠٠٠
(٨٠,٧)	(٧٣,٣)	(٥٨,٣)	(٤٠,٣)	(٢٤,٤)	(٩١٤,٤)
٤٠	٣٣	٢٦	١٨	١١	٤٠٠٠
(٨٩,٧)	(٧٤,٠)	(٥٨,٣)	(٤٠,٣)	(٢٤,٧)	(١٢١٩)
٤٠	٣٣	٢٦	١٨	١١	٥٠٠٠
(٨٩,٧)	(٧٤,٠)	(٥٨,٣)	(٤٠,٣)	(٢٤,٧)	(١,٥٢٤)

المصدر: مقتبس من المنحنيات البيانية المعطاة في (USDA 1982).

تحليل انتقال الرواسب Sediment Transport Analysis

يشمل تحليل انتقال الرواسب تقديرات تسوية الأرض وحرث التربة والترسيب في الأنهار وأحواض الأنهار ويمكن أن يتم أدائه باستخدام نماذج الحاسب مثل نموذج HEC-6 (USACE 1991d). ومدخلات هذا النموذج يشمل التالي:

- ١ - المنحنيات المائية للسريان في القناة الرئيسة والقنوات الفرعية.
- ٢ - القطاعات العرضية للقناة مع معاملات الخشونة والتصرفات عند كل منها، بما يشبه نماذج HEC-2 و HEC-RAS (USACE 1991c, 1998).
- ٣ - توزيع حجم حبيبات مادة القاع عند كل قطاع عرضي.
- ٤ - الأحمال المعلقة من الماء المتدفق في القناة الرئيسة والقنوات الفرعية وتوزيعات أحجام حبيباتها.

في معظم الحالات الميدانية لا تكون البيانات التفصيلية الخاصة بالموقع متاحة وبيانات الداخل للموقع يجب أن تمثل اعتماداً على البيانات المحدودة والحكم. وفي بعض الحالات يجب عمل التقديرات الأولية بالبيانات المحدودة إذا كانت الرواسب الملوثة التي انجرفت من الموقع سوف تصل إلى موقع المصب في اتجاه التيار أو استقرت غالباً في التيار الذي يصل لمنبع النهر في هذا الموقع. والخطوات الحسابية لمثل هذه التحليلات التمهيدية تشمل التالي:

- ١ - احسب السرعة القصوى والمتوسطة والدنيا للسريان، وأعماق الماء المتاحة في الدراسة.
- ٢ - احسب متوسط d_{15} , d_{50} , d_{95} للرواسب التي يحتمل أن تنجرف من الموقع.

٣- احسب سرعة السقوط لجزيئات معلومة الأحجام من المنحنيات البيانية (مثلاً، usbr 1971) أو باستخدام معادلة روبي (Low 1989):

$$\omega = \left[\left\{ (2/3)g(G_s - 1)d^3 + 36v^2 \right\}^{0.5} - 6v \right] / d$$

(٣,٨٧)

حيث إن:

ω = سرعة سقوط الجزيئات (م/ث) ذات القطر d (م).

v = اللزوجة الكينيمايكية (م^٢/ث).

G_s = الكثافة النوعية للجزيئات.

٤- احسب مسافات الانتقال الأقل والمتوسطة والقصى L (م) لجزيئ قطره d (م)، باستخدام العلاقة:

$$L \cong DV/w$$

حيث إن:

D = متوسط عمق الماء (م) في متناول الدراسة.

V = سرعة السريان (م/ث).

مثال رقم (٣, ١١): إن أقصى سرعة وعمق للسريان في مجرى مائي يتدفق في موقع ملوث تقدر بأن تكون ١,٥٢ م/ث و ٤,٦ م على الترتيب. ومتوسط القطر d_{15} من الرواسب الملوثة حوالي ٠,٠٥ مم. لخزان ماء موضوع على بعد ٦ كم من الموقع، استنتج إذا كانت أي نسبة ذات أهمية من الرواسب الملوثة يحتمل أن تصل إلى الخزان. مع العلم بأن G_s تساوي ٢,٦٥، و v تساوي 1.0×10^{-6} م^٢/ث.

الحل:

$$w = \left[\sqrt{\left\{ (2/3) \times 9.81 \times 1.65 \times (0.00005)^3 + 36 \times (0.000001131)^2 \right\}} - 6 \times (0.000001131) \right] / 0.00005 = 0.00197 \text{ m/s}$$

$$L(\max) = 4.6 \times 1.52 / (0.00197) = 3550 \text{ m}$$

هذا يعني أن احتمال أن تصل للخران أي نسبة ذات أهمية من الرواسب الملوثة

مستبعد.

وللتحكم في كمية الرواسب التي تنقل عن طريق المجرى المائي من العوالق التي تصل في اتجاه مصب التيار فإنه يتم الاستعانة بأحواض الترسيب. ويتم نقل جزء رئيس من حمل الرواسب السنوي أثناء حدوث العاصفة ويمكن بإنشاء أحواض الترسيب إضعاف شدة الفيضان وحجز الرواسب أثناء حدوث العاصفة باستخدام نماذج الحاسب مثل SEDIMOT-2 (Wilson et al. 1984).

ويمكن الحصول على تقدير تمهيدي من كفاءة حجز حوض الترسيب للرواسب متوسطة القطر d (م)، باستخدام المعادلة العملية (Barfield et al. 1971; USBR 1971; Vetter 1940).

$$W / W_0 = \exp(-\omega L / q) = \exp(-\omega A / Q) \quad (٣,٨٨)$$

حيث إن:

W_0 = وزن الرواسب الداخلة إلى الحوض (كجم).

W = وزن الرواسب الخارجة من الحوض (كجم).

L = طول الحوض (م).

w = سرعة سقوط (م/ث) للجزيئات ذات القطر d (م).

q = التسرب لكل متر عرض من الحوض (م^٣/ث).

A = مساحة سطح الحوض (م^٢).

Q = التصرف الداخل للحوض أو الخارج منه (م^٣/ث).

ومن المتطلب للترسيب أو أحواض الترسيب أن تحجز الرواسب التي تنقل عن طريق الماء المنصب على أساس مستمر (في أحواض الترسيب يكون مطلوباً حجز الرواسب من الماء المستخدم لأنظمة إعادة ملء المياه الجوفية أو أنظمة إعادة تدوير المياه للمباني الصناعية). مثل هذه الأحواض يمكن أن تحدد أحجامها باستخدام المعادلة التالية (USBR 1971; Johnson 1999):

$$P = [(1 - \exp(-X))] \quad (13,89)$$

$$X = (1.055 L w) / (V \times D) \quad (3,89 \text{ ب})$$

حيث إن:

P = نسبة الرواسب ذات القطر d (م) التي ترسب على طول الحوض.

V = متوسط سرعة السريان في قناة التصريف (م/ث).

w = سرعة سقوط (م/ث) للجزيئات ذات القطر d (م).

D = عمق الماء في الحوض (م).

مثال رقم (٣، ١٢): احسب حجم حوض الترسيب لقناة تحمل تصرف ٦,٥ م^٣/ث مع متوسط سرعة سريان ٠,١٥ م/ث ومتوسط حمل الرواسب السنوية ٢٠٠٠٠ م^٣/سنة، وتوزيع حجم جزيئات الرواسب موضحة في الجدول رقم (٣، ٢٣). استخدم G_s تساوي ٢,٦٥، و v تساوي ٠,٩٤ × ١٠^{-٦} م/ث.

الحل:

في المحاولة الأولى، بفرض أن للحوض:

$$L = 300 \text{ m} , \quad D = 3 \text{ m}$$

فإن

$$X = 1.055 (300 \omega) / (0.45) = 703 \omega$$

الجدول رقم (٣,٢٣). توزيع حجم الجزيئات لحمل الرواسب السنوي.

النعومة (%)	قطر الجزيئات (مم)
١٠٠	٠,٥
٩٨	٠,٢٥
٨٣	٠,١٢٥
٤٦	٠,٠٦٢
٣٣	٠,٠٣١
٢٢	٠,٠١٦
١٣	٠,٠٠٨
٧	٠,٠٠٤

وحسابات كفاءة حجز حوض الترسيب موضحة في الجدول رقم (٣,٢٤).
ومنها كفاءة حجز الحوض تساوي:

$$13181/20000 = 0.66$$

وإذا كان الحوض معداً ليتسع لسنة واحدة من حمل الرواسب فقط مع عمق
راسب قدره ٠,٣ م، فإن متوسط عرضه هو:

$$13181/(300 \times 0.3) = 146 \text{ m}$$

إذا حجم هذا الحوض غير مقبولاً ويجب إعادة الحسابات لقيم أخرى من L.

الجدول رقم (٣،٢٤). حسابات كفاءة الحجز.

(١)	(٢)	(٣)	(٤)	(٥)	(٦)	(٧)	(٨)
D (مم)	للـكل	ω (مم/ث)	$P = 1 - e^{-x} \quad x = 703 \omega$			معدل الرواسب	معدل الترسيب
			متوسط			المتدفقة	(م ^٢ /سنة)
			P			(م ^٢ /سنة)	(٧) × (٦)
١,٥		١,٠٦١٩	٤٣,٥٢	١,٠			
	١,٠٢			١,٠	١,٠	٤٠٠	٤٠٠
١,٢٥		١,٠٣٠٥	٢١,٤٤	١,٠			
	١,١٥			١,٠	١,٠	٣٠٠٠	٣٠٠٠
١,١٢٥		١,٠١١٦	٨,١٥	١,٩٩٩٧			
	١,٣٧			١,٩٢	١,٩٦	٧٤٠٠	٧١٠٤
١,٠٦٢		١,٠٠٣٦	٢,٥٣	١,٩٢	١,٦٩	٢٦٠٠	١٧٩٤
١,٠٣١		١,٠٠٠٨٨	١,٦١٩	١,٤٦	١,٣٠٦	٢٢٠٠	٦٧٣
١,٠١٦		١,٠٠٠٢٣٥	١,١٦٥	١,١٥٢	١,٠٩٦	١٨٠٠	١٧٣
١,٠٠٨		١,٠٠٠٠٥٨	١,٠٤٠٨	١,٠٤	١,٠٢٥	١٢٠٠	٣٩
١,٠٠٤		١,٠٠٠٠١٤٦	١,٠١٠٣	١,٠١٠٢			
١,٠٠٧					١,٠٠٥	١٤٠٠	٧
المجموع	١,٠					٢٠٠٠٠	١٣١٨١

تشتت القناة المفتوحة Open-Channel Dispersion

التشتت قرب الحقل Near-Field Dispersion

تحليل التشتت ومنطقة الخلط يكون مطلوباً لتقييم أثار تصرف المادة الملوثة في المجاري المائية خلال المصادر المرحلية وغير المرحلية. ولتصرفات منفردة المصدر فإنه يمكن إجراء مثل هذه التحليلات باستخدام نماذج (USEPA 1996a) (CORMIX). ويشمل التشتت قرب الحقل التخفيف الناتج عن التصرفات خلال النافورات والرذاذات والتي تتأثر بكمية الحركة وقابلية طفو تصرف النافورة وشكل مخرج التصريف. والخطوات الحسابية للتحليل التمهيدي للنافورات الأفقية الدائرية البسيطة التي تشبه مخرج الأنبوب هي كما يلي (Fischer *et al.* 1979):

• احسب معدل تدفق كمية حركة النافورة (م³/ث):

$$M = Q V_j \quad (٣,٩٠)$$

• احسب الطول المميز l_c (م):

$$l_c = Q / M^{1/2} \quad (٣,٩١)$$

• احسب السرعة القصوى عند مسافة x من فتحة النافورة:

$$w_m = 7 M l_c / (Q x) \quad (٣,٩٢)$$

• احسب :

$$C_m / C_0 = 5.6 l_c / x \quad (٣,٩٣)$$

• احسب التخفيف المتوسط (s_{mean}) عند مسافة x من فتحة النافورة:

$$s_{mean} = (\text{حجم التدفق عند مسافة } x) \div (\text{حجم التدفق عند فتحة النافورة})$$

$$s_{mean} = \mu / Q = 0.25 x / l_c \quad (٣,٩٤)$$

حيث إن:

$$Q = \text{التصرف خلال فتحة النافورة (م}^3/\text{ث).}$$

$$V_j = \text{سرعة النافورة (م/ث).}$$

$$\mu = \text{حجم التدفق عند مسافة } x \text{ (م}^3/\text{ث).}$$

$$C_m = \text{التركيز الأقصى عند مسافة } x.$$

$$C_0 = \text{التركيز الأولي.}$$

وفي حالة فتحة رأسية لمسبب طفو دائري منفرد (كثافة الماء الفائض تكون أقل من كثافة الماء المستقبل) وجد أن التدفق يصبح شبيهاً بريشة عند مسافة قصيرة من فتحة النافورة. الخطوات الحسابية للتحليل التمهيدي هي (Fischer et al. 1979)

كالتالي:

$$\bullet \text{ احسب كمية حركة دفع النافورة (م}^4/\text{ث}^2):$$

$$(3,90) \quad M = QV_j$$

$$\bullet \text{ احسب الطول المميز } l_0 \text{ (م):}$$

$$(3,91) \quad l_0 = Q/M^{1/2}$$

$$\bullet \text{ احسب الطول المميز للنافورة الطافية:}$$

$$(3,95) \quad l_m(m) = M^{3/4} / \sqrt{B}$$

$$\bullet \text{ احسب معدل تدفق النافورة الطافية:}$$

$$(3,96) \quad B = [(\rho_a - \rho) / \rho] g Q$$

حيث إن:

$$\rho_a = \text{كثافة الماء المستقبل.}$$

$$\rho = \text{كثافة الانبثاق.}$$

لكل $y \ll l_m$ ، حيث إن $y =$ عمق الماء فوق الثغر، يكون التدفق شبيهاً بالريشة.

ولكل $y \gg l_m$ ، يكون التدفق شبيهاً بالنافورة.

• احسب رقم ريتشاردسون R_0 ، للنافورة الدائرية:

$$(٣, ٩٧) \quad R_0 = l_c / l_m = Q \sqrt{B/M^{5/4}}$$

• احسب العمق اللابعدي:

$$(٣, ٩٨) \quad \xi = 0.25 (y/l_c) (R_0 / 0.557)$$

• إذا كانت $l_m < y$ احسب حجم الدفق في الريشة على عمق y فوق الفتحة:

$$(٣, ٩٩) \quad \bar{\mu} = \xi^{5/3}$$

• إذا كانت $l_m > y$ احسب حجم الدفق في النافورة على عمق y فوق الفتحة:

$$(٣, ١٠٠) \quad \bar{\mu} = \xi$$

• احسب التخفيف المتوسط على عمق y :

$$(٣, ١٠١) \quad \mu/Q = \bar{\mu} (0.557 / R_0)$$

تتكون الرذاذات متعددة الفتحات من فتحات عديدة على مسافات متقاربة.

وتميل تصرفات الماء الفائض من خلال هذه الفتحات إلى أن تتداخل لتكون ريشة

رأسية خلال مسافة من مواقع الفتحات. خطوات أداء التحليل التمهيدي للتخفيف

في الريشة هي (Fischer et al. 1979) كما يلي:

• احسب التصرف q ، لكل وحدة طول من الرذاذ، وتركيز المادة الملوثة

الأولي C_0 ، فوق هذا الماء المستقبل، وكثافة الماء المنصرف ρ_a ، وكثافة الماء

المستقبل ρ (كجم/م^٣):

$$\Delta\rho = \rho_a - \rho \quad , \quad g' = g\Delta\rho/\rho$$

• احسب:

$$(3, 102) \quad (C - C_0)/(C_0 - C_a) = 2.63 q^{2/3} / (g^{1/3} y)$$

حيث إن:

C = التركيز المخفف عند ارتفاع y فوق فتحات الرذاذ.

C_a = التركيز الخلفي في المياه المحيطة.

وفي الحالات التي لا يمكن عمل تحليل الرذاذات متعددة الفتحات، فإن مصدر المستوى الرأسي لتحليل التشتت الموقع البعيد يمكن افتراضه مساوياً لطول الرذاذ L ، وارتفاع يساوى ٣٠٪ من عمق الرذاذ (Chin 1985).

تشتت الحقل البعيد Far-Field Dispersion

يشمل تشتت الحقل البعيد التخفيف الناتج عن التدفق خلال الاضطراب في القناة بعيداً عن مخرج التصريف حيث لا تكون كمية حركة الانبثاق كبيرة. وتشمل بعض نماذج محاكاة جودة المياه في الأنهار والخزانات (USEPA 1987a) QUAL2E و (USEPA 1988b) WASP4 و (USACE 1987) WQRRS. ولأجل التحليل التمهيدي لتشتت الملوثات المنطلقة في المجرى المائي، فإن معادلات تحليلية تقريبية أبسط، أو معادلات شبه تحليلية، يمكن أن تكون مفيدة. وبشكل عام فإن الوكالات المنظمة هي التي تحدد منطقة خلط حادة أو مزمنة لمنطقة المياه السطحية والتي لا يتم فيها تطبيق مقاييس جودة الماء. وهي منطقة المياه السطحية في اتجاه مصب التيار من نقطة تصرف الماء الفائض حيث يحدث الخلط الفيزيائي في كل الاتجاهات حتى تحقق المكونات في تصرف التركيز المنتظم في الماء المستقبل. ويفترض حدوث الخلط الكامل عند القطاع العرضي في المجرى المائي حيث تكون التركيزات عند كل النقاط في القطاع العرضي

ضمن ٥٪ من القيمة المتوسطة للقطاع العرضي. ومعظم مقاييس جودة المياه تحدد استخدام متوسط التدفق المنخفض سبعة أيام وعشر سنوات (7Q10) لتقييم الآثار المتعلقة بجودة المياه على سطح الماء. ويجب الحفاظ على حجم منطقة الخلط عند الحد الأدنى ويجب أن تسمح بالممر الآمن وحماية وانتشار الكائنات المائية. وبالإضافة لذلك فإن التلوث في منطقة الخلط يجب ألا يكون ساماً بشكل كبير. ولنقطة مصدر ما فإن طول الخلط L_{mix} يمكن أن يقدر عن طريق (Fischer *et al.* 1979):

$$L_{mix} = 0.1 u W^2 / D_y \quad (\text{للخلط الكامل}) \quad (٣, ١٠٣)$$

إذا كان المصدر يقع عند منتصف القطاع العرضي للمجرى المائي، أو عن طريق:

$$L_{mix} = 0.4 u W^2 / D_y \quad (\text{للخلط الكامل}) \quad (٣, ١٠٤)$$

إذا كان المصدر يقع على ضفة المجرى المائي.

حيث إن:

$$u = \text{سرعة السريان.}$$

$$W = \text{عرض المجرى المائي.}$$

$$D_y = \text{معامل التشتت الجانبي.}$$

وموضح في التالي ثلاث نماذج تحليلية لمحاكاة تشتت الحقل البعيد في المجاري

المائية. أول هذه النماذج يستخدم (Prakash 1977, 1999):

$$C(x, y, z) / C_0 = \left[Q_0 / \left\{ 4 (z_2 - z_1) \sqrt{(\pi x u D_y)} \right\} \right] \sum \sum \left[\{ \text{erf} (E1) - \text{erf} (E2) \} \{ \exp (E3) \} \right] \quad (١٣, ١٠٥)$$

حيث إن:

$$E1 = \left[z - m D - (-1)^m z_1 \right] / \left[\sqrt{(4 D_z x / u)} \right] \quad (٣, ١٠٥) \text{ (ب)}$$

$$E2 = \left[z - m D - (-1)^m z_2 \right] / \left[\sqrt{(4 D_z x / u)} \right] \quad (٣, ١٠٥) \text{ (ج)}$$

$$E3 = -[y - n W - (-1)^n y_0]^2 / [(4 D, x/u)] \quad (د٣, ١٠٥)$$

حيث إن:

$$\text{erf}(x) = \text{دالة الخطأ لـ } x.$$

$$\Sigma \text{ (الأولى) من } m = \infty \text{ إلى } -\infty$$

$$\Sigma \text{ (الثانية) من } n = -\infty \text{ إلى } \infty$$

$$C(x, y, z) = \text{التركيز عند النقطة } (x, y, z).$$

$$C_0 = \text{تركيز المصدر.}$$

$$Q_0 = \text{معدل تصريف الماء الملوث.}$$

$$D_z, D_y = \text{معاملات التشتت العرضي والرأسي على الترتيب.}$$

$$D = \text{عمق السريان.}$$

$$z, y, x = \text{المسافات في الاتجاهات الطولية والعرضية والرأسية على الترتيب}$$

عن نقطة الأصل في منتصف القناة.

$$z_2, z_1 = \text{الإحداثيات الرأسية لمصدر الخط الرأسي.}$$

$$y_0 = \text{الإحداثي } y \text{ عند النقطة حيث يقع مصدر الخط الرأسي.}$$

ويمثل تيار قناة المصدر بمتوسط القطاع العرضي المكافئ للمستطيل. ويفترض في القاع والصفين وسطح الماء في القناة ألا يكون لها حدود للسريان. وأثار هذه الحدود تعلق عن طريق استخدام طريقة الصور. وفي حالة النقل في حالة السريان المستقر يتم إهمال تأثير التشتت الطولي. ويفترض أن يكون السريان في اتجاه التيار منتظماً ومستقراً، وتأثير التيارات الثانوية يفترض أن يعلل لها عن طريق معامل التشتت العرضي.

وتكون المعادلة رقم (٣، ١٠٥) قابلة للتطبيق في مصدر الخط الأسّي الذي يقع عند x تساوي صفر، حيث x تكون موجبة في اتجاه مصب التيار. وإذا كان المصدر سطحاً رأسياً له طول محدد L ، يوازي اتجاه السريان (اتجاه x)، فإنه يفترض أن يتكون من عدد من المصادر الرأسية ذات أطوال متناهية الصغر موضوعة بالقرب من بعضها البعض. ويتم الحصول على تأثير هذه المصادر الرأسية عن طريق التراكم الخطي:

$$C'(x, y, z, L) = \sum C(x + i \Delta x, y, z) \quad (٣, ١٠٦)$$

حيث إن:

$C'(x, y, z, L)$ = التركيز عند النقطة (x, y, z) الناتج عن مصدر السطح الرأسّي بالطول المحدد، L .

$C(x + i \Delta x, y, z)$ = التركيز عند $(x + i \Delta x, y, z)$ الناتج عن مصدر الخط

الرأسّي الذي يقع عند $x = 0$ ، والمعطى في المعادلة

رقم (٣، ١٠٥) مع استبدال Q_0 بالقيمة Q_0 / N .

Δx = الطول متناهي الصغر للمصدر الأسّي L / N .

N = عدد المصادر الرأسية بالطول المتناهي الصغر والذي يقسم فيها طول

المصدر L .

وفي حالة تصرف مصدر نقطة مستمر، فإن معادلة التشتت الحملّي في السريان

المنتظم في الحالة المستقرة (التأفق) في الاتجاه الطولي (أي على طول اتجاه تدفق النهر)

تصبح:

$$C(x, y, z) / (C_0 Q_0) = \left[1/4 \pi x \sqrt{(D_y D_z)} \right]$$

$$\left[\exp(-\lambda x / u) \right] \sum \sum \exp \left[-\left(y - n B - (-1)^n y_0 \right)^2 / (4 D_y x / u) \right] \times$$

$$\exp \left[-\left\{ z - m D - (-1)^m z_0 \right\}^2 / (4 D_z x / u) \right] \quad (٣, ١٠٧)$$

حيث إن:

$$C_0 = \text{التركيز في التصريف عند مخرج التصريف.}$$

$$Q_0 = \text{معدل التصريف المتسرب للمخرج.}$$

$$C(x, y, z) = \text{التركيز عند النقطة } (x, y, z).$$

$$D_y = \text{معامل التشتت العرضي.}$$

$$u = \text{السرعة.}$$

$$D_z = \text{معامل التشتت الرأسي.}$$

$$\lambda = \text{معامل التحلل (طن}^{-1}\text{).}$$

$$y_0 = \text{الإحداثي } y \text{ لمصدر النقطة أو مخرج التصريف.}$$

$$z_0 = \text{الإحداثي } z \text{ لمصدر النقطة أو مخرج التصريف.}$$

$$x = \text{مسافة التيار من مخرج التصريف الذي يقع عند } x = 0.$$

$$\Sigma \text{ (الأولى) من } n = -\infty \text{ إلى } \infty.$$

$$\Sigma \text{ (الثانية) من } m = -\infty \text{ إلى } \infty.$$

تقع نقطة أصل الإحداثيات عند منتصف النهر عند عمق متوسط وعندها x

تساوي صفر. وفي حالة الحفاظ على الكتلة في بعض الحالات فإن ١٠٠ حد أو أكثر

يجب استخدامها في حسابات المعادلة رقم (١٠٧، ٣). وبالتالي ينصح بأداء الحسابات

باستخدام برنامج فورتران أو أوراق العمل. ويمكن محاكاة التصريفات من مخارج

التصريف العديدة التي تقع عند نقاط متنوعة على ضفاف النهر باستخدام مبدأ

التراكم، أي:

$$C(x, y, z, T) = \sum C_i Q_i [C \{x + i \Delta x_i, y, z\}] \quad (٣, ١٠٨)$$

حيث إن:

$C(x, y, z, T)$ = التركيز عند النقطة (x, y, z) الناتج عن التصريفات عند مخرج التصريف T .

الرمز السفلي $i = 1$ يشير إلى أبعد مخرج في اتجاه مصب التيار.

$i = 2$ يشير إلى مخرج التصريف التالي عكس اتجاه منبع التيار وهكذا.

Δx_i = مسافة مخرج التصريف رقم i من أبعد مخرج للتصريف في اتجاه مصب التيار.

$C(x + i \Delta x_i, y, z)$ = قيمة (الجانب الأيمن) المحسوب من المعادلة رقم

(٣, ١٠٧) باستخدام $[x + i \Delta x_i]$ لـ x .

Σ من $i = 1$ لعدد مخرج التصريف الكلي T .

يمكن استخدام هذا النموذج لتقدير التركيزات عند نقاط مختلفة على طول

عرض وعمق النهر عند حافة مصب النهر لمنطقة الخلط. وهذا النموذج يفترض التالي:

١- وجود سريان منتظم مستقر في طرف النهر. ويتضمن افتراض الحالة

المستقرة للسريان المستمر من مخرج التصريف. ويتضمن السريان المنتظم قطاع عرضي

ثابت في طرف النهر بأكمله. ويقدر متوسط القطاع العرضي للمستطيل التمثيلي

لطرف النهر في منطقة الخلط. وعدم انتظام القطاعات العرضية في النهر يمكن أن

يحسن التشتت والتخفيف. وبالتالي يمكن أن يكون افتراض القطاع العرضي المنتظم

للمستطيل مناسباً.

٢- التدفق في النهر يكون أحادي البعد (على طول مجرى النهر) مع عدم

وجود تدفقات ثانوية في الاتجاهات الأخرى. وهذا الافتراض يعد محافظاً أيضاً لأن

التدفقات الثانوية تميل إلى تحسين الخلط أو زيادة التشتت العرضي.

النموذج التحليلي الثاني لمحاكاة تشتت الحقل البعيد في المجارى المائية

(USEPA 1987b) يستخدم:

$$C(x, y)/C_0 = \left[1/\sqrt{4\pi D_y t} \right] \left[\int \exp(E4) dy' + \int \exp(E4) dy' + \right. \\ \left. (3, 109) \int \exp(E4) dy' + \int \exp(E4) dy' + \dots \right]$$

حيث إن:

حدود التكامل الأول والثاني والثالث والرابع من a إلى b، ومن c إلى d، ومن e إلى f، ومن g إلى h، على الترتيب.

$$E4 = -(y - y')^2 / (4D_y t)$$

$$a = -B/2 - y_s$$

$$b = B/2 - y_s$$

$$c = -B/2 + y_s$$

$$d = B/2 + y_s$$

$$e = -B/2 - 2W - y_s$$

$$f = B/2 - 2W - y_s$$

$$g = -B/2 + 2W + y_s$$

$$h = B/2 + 2W + y_s$$

$$t = x/u$$

B = طول مصدر الخط الأفقي عبر المجرى المائي.

y_s = المسافة من خط المتصف في المصدر إلى ضفة المجرى المائي والذي

يفترض أن يكون عند $y = 0$.

يحاكي هذا النموذج التأفق الطولي فقط والتشتت العرضي ويحسب داخلياً

معامل التشتت العرضي باستخدام العلاقة:

$$D_y = 0.5 u_* D$$

حيث إن:

$$u_* = \text{سرعة القص} = \sqrt{(g D S)}$$

وهو يفترض مصدر الخط الأفقي بالعرض المحدد عبر المجرى المائي ويستخدم طريقة الصور لتعليل أثار حدود القناة. وتمثل كل تكامل في المعادلة رقم (٣, ١٠٩) مساهمة صورة المصدر ونمط الصورة الذي يتكرر إلى ما لا نهاية. يحاكي النموذج الثالث (USNRC 1976) مصدر النقطة ويستخدم:

$$C(x, q) / C_0 = (Q_0 / Q) [1 + 2 \sum \{ \exp(E5) \cos(n \pi q_s / Q) \cos(n \pi q / Q) \}] \quad (3, 110)$$

حيث إن:

$$\sum \text{ من } 1 \text{ إلى } \infty$$

$$E5 = -(n^2 \pi^2 D^2 D_y u_x) / Q^2$$

$Q =$ تدفق الكلي للمجرى المائي.

$q =$ تصرف المجرى المائي عند ضفة النهر (يفترض أن يكون عند $y = 0$) إلى

مسافة y حيث يتم حساب $C(x, q)$ مثل $q \rightarrow Q$, $y \rightarrow W$.

$y_s =$ مسافة مصدر النقطة من ضفة النهر.

$q_s =$ تصرف المجرى المائي بين $y = 0$ و y_s .

هذا النموذج يحاكي أيضاً التأفق الطولي فقط والتشتت العرضي.

مثال رقم (٣, ١٣): ماء ملوث ينساب خلال منطقة رشح بعمق ٠,٣٥ م على طول الضفة من مجرى دائم. معدلات الرشح المقدرة خلال الأطوال المختلفة من منطقة الرشح على طول المجرى المائي معطاة في الجدول رقم (٣, ٢٥). ومتوسط عرض وعمق المجرى المستقبل ٢٤٤ م و ٣,٣٥ م على الترتيب. والسرعة المناظرة لسريان

سبعة أيام وعشر سنوات (7Q10) هي ٠,٦٢ م/ث. بفرض أن D_y يساوي ١٦ م^٢/ث، وتوزيع التركيز منتظم على طول العمق. احسب طول الخلط الكامل.
الحل:

لتوزيع منتظم للتركيز على طول العمق افترض قيمة عالية نسبياً لـ D_z (١٦ م^٢/ث). ويمكن اعتبار المصدر على أنه مستوى رأسي يمتد من x تساوي صفر إلى x تساوي ٢٩٣٦ م (حيث x موجبة في اتجاه مجرى التيار)، z_1 تساوي ١,٦٧٥ م، z_2 تساوي ١,٦٧٥ م، y_0 تساوي ١٢٢ م (وتكون نقطة الأصل في منتصف القطاع العرضي للقناة). وللحفاظ على الكتلة يتم استخدام عدد كبير من الصور (أي ١٠٠٠) في برنامج فورتران. وبتقسيم منطقة الرشع إلى ١٠ أجزاء أصغر وباستخدام المعادلات رقم (٣,١٠٥) ورقم (٣,١٠٦) فإن التركيزات المقدرة في مواقع مختلفة موضحة في الجدول رقم (٣,٢٦).

نلاحظ عند x تساوي ٣٢٠٠٠ م فإن التركيز خلال عرض القناة يساوي ٠.٠١٢ ملجم/ل. وبالتالي فإن الطول النظري اللازم للخلط الكامل حوالي ٣٢٠٠٠ م. وباستخدام التركيزات المقدرة عند النقاط الإضافية على طول عرض القناة فإن منطقة الخلط مع طرفها التي تعرف عن طريق التركيز النوعي (٠.٠١٢ ملجم/ل) يمكن رسمها. والمعيار المستخدم بشكل شائع هو تحديد حد الخلط الكامل أو منطقة الخلط عند القطاع العرضي حيث يكون التركيز عند كل النقاط ضمن ٥٪ من القيمة المتوسطة من القطاع العرضي (Fischer et al. 1979). والقطاع العرضي حيث يكون أقصى انحراف عن التركيز المتوسط ضمن ٥٪ يكون حوالي ٢٥٠٠٠ م في اتجاه مصب التيار من المصدر. ونظرياً فإن هذا الطول الكبير يمكن أن يكون مطلوباً؛ لأن D_y تكون صغيرة نسبياً.

الجدول رقم (٣,٢٥). معدلات الرشع من الماء الملوث.

التركيز (ملجم/ل)	معدل الرشع (ل/ث/م)	طول منطقة الرشع (م)
٢٥٠	٠,٠١٥٥	٥٦٤-٠
٢٥٠	٠,٠٠٨	١٢٠٣-٥٦٤
٢٥٠	٠,٠٠١١	١٩٦١-١٢٠٣
٢٥٠	٠,٠٠٦٥	٢٧٠١-١٩٦١
٢٥٠	٠,٠٠٥٣	٢٩٣٦-٢٧٠١

الجدول رقم (٣,٢٦). توزيع التركيز في المجرى المائي.

المسافة من حافة مصب			التركيز (ملجم/ل)
النهر لمنطقة الرشع			المسافات على طول عرض المجرى المائي من الضفة حيث يحدث الرشع
x (م)	٠ (م)	٧٠ (م)	١٢٠ (م)
٣٠	٠,١٩	٠,٠٠٢	٠,٠٠٠٠٤
٣٠٠	٠,١١	٠,٠٠٣	٠,٠٠٠٠٧
٣٠٠٠	٠,٠٥	٠,٠١٤	٠,٠٠١٦
١٥٠٠٠	٠,٠٢٥	٠,٠١٨	٠,٠١٠
٣٢٠٠٠٠	٠,٠١٢	٠,٠١٢	٠,٠١٢

وفي حالات معينة فإن تركيز المكون في المياه السطحية يمكن أن يتأثر ببعض العمليات مثل القابلية للتحلل بالبكتريا وسرعة التبخر. ومدى تأثير هذه العمليات يمكن أن تقدر عن طريق تقديم معامل مضاعف في المعادلة رقم (٣.١٠٥) كما يلي:

$$C(x, y, z, \lambda) = C(x, y, z) \exp(-\lambda x / u) \quad (3, 111)$$

حيث إن:

$C(x, y, z)$ تعطى بالمعادلة (٣، ١٠٥).

$C(x, y, z, \lambda) =$ التركيز عند النقاط (x, y, z) ، بما فيها تأثير التحلل بالبكتريا والتبخر.

$$\lambda = \lambda_1 + \lambda_2$$

$\lambda_1 =$ ثابت معدل التحلل بالبكتريا (زمن^{-١}).

$\lambda_2 =$ ثابت معدل التبخر (زمن^{-١}).

وثابت معدل التحلل بالبكتريا في البيئة الهوائية للمكونات المختلفة يمكن الحصول عليها من مجموعة من المراجع (مثل USEPA 1985). وثوابت معدل التحلل بالبكتريا المقترحة للترتيب الأولي للمكونات المختارة لتحليلات المستوى المصور موضحة في الجدول رقم (٣، ٢٧) (USEPA 1985).

وثابت معدل التبخر هو دالة لثابت قانون هنري وهو يتناسب عكسياً مع عمق الماء الذي يذاب فيه المكون. وثابت قانون هنري (K_H) لبعض الكيماويات المختارة موضح في الجدول رقم (٣، ٢٨). وللكيماويات الأخرى يمكن تقدير K_H عن طريق:

$$K_H \cong (\text{ضغط البخار (مم زئبق)}) \times (\text{الوزن الجزيئي (جم/جزئ)}) \div (\text{إذابة الماء (جم/ل)} \times 760)$$

$$K_H \cong \left[\frac{(\text{Vapor Pressure in mm of Hg}) \times (\text{molecular weight in gm/mole})}{(\text{water solubility in mg/l}) \times 760} \right] \quad (٣، ١١٢)$$

القيم النموذجية لثابت معدل التبخر لمياه بعمق ١ م موضحة في الجدول رقم (٣، ٢٨) (USEPA 1985). وقيم λ_2 لأعماق مياه مختلفة عن ١ م يمكن أن يتم تقديرها عن طريق قسمة القيم في الجدول رقم (٣، ٢٨) على عمق المياه بالأمتار.

الجدول رقم (٣, ٢٧). ثوابت معدل التحلل بالبكتريا للترتيب الأولي وثوابت قانون هنري للكياويات المختارة.

المكون	ثابت معدل التحلل بالبكتريا المقترح λ_1 للمستوى المصور للتحليل (يوم ^{-١}) ^a	ثابت قانون هنري (ض.ج.م ^٣ /مول) ^b
الكلور السباعي	*	$10^{-4} \times 8,19$
رابع كلوريد الكربون	$0,5 < (استخدم 0,5)$	$10^{-2} \times 2$
١,١ ايثلين الكلور الثنائي	$0,5 < (استخدم 0,5)$	$10^{-2} \times 3,4$
١,٢ ايثلين الكلور الثنائي - جانب واحد	$0,5 - 0,05 (استخدم 0,05)$	$10^{-3} \times 7,58$
١,٢ ايثلين الكلور الثنائي - جانبيين	$0,5 - 0,05 (استخدم 0,05)$	$10^{-3} \times 6,56$
إيثلين الكلور الثلاثي	$0,5 - 0,05 (استخدم 0,05)$	$10^{-3} \times 9,10$
إيثلين الكلور الرباعي	$0,5 - 0,05 (استخدم 0,05)$	$10^{-2} \times 2,59$
البنزين	$0,5 < (استخدم 0,5)$	$10^{-3} \times 5,59$
كلورو بنزين	$0,5 < (استخدم 0,5)$	$10^{-3} \times 3,72$
١,٢ كلورو بنزين الثنائي	$0,5 - 0,05 (استخدم 0,05)$	$10^{-3} \times 1,93$
١,٣ كلورو بنزين الثنائي	$0,5 - 0,05 (استخدم 0,05)$	$10^{-3} \times 3,59$
١,٤ كلورو بنزين الثنائي	$0,5 - 0,05 (استخدم 0,05)$	$10^{-3} \times 2,89$
الاثيل بنزين	$0,5 < (استخدم 0,5)$	$10^{-2} \times 6,43$
طولوين	$0,5 < (استخدم 0,5)$	$10^{-3} \times 6,37$

المصدر a: USEPA (1985).

المصدر b: Maidment (1993).

الجدول رقم (٣, ٢٨). القيم النموذجية لثابت معدل التبخر.

ثابت معدل التبخر λ_2 لعمق ماء مخلوط قدره ١ م (يوم ^{-١})	ثابت قانون هنري K_H (ض.ج.م ^٣ /جزئ)
٤,٨	١
٤,٨	١-١٠
٤,٧	٢-١٠
٤,٢	٣-١٠
١,٨	٤-١٠

المصدر: (USEPA (1985).

مثال رقم (٣, ١٤): احسب التركيز في مثال رقم (٣, ١٣) عند مسافة ١٥٠٠٠ م من موقع الرش و ٧٠ م من الضفة على طول عرض النهر. المكون هو إيثيلين الكلور الثلاثي، مع وجود تأثير للتحلل بالبكتريا والتبخر.

الحل:

باستخدام برنامج فورتران أو أوراق العمل لأداء حسابات المعادلة رقم (٣, ١٠٥) عند x تساوي ١٥٠٠٠ م وعند مسافة ٧٠ م من ضفة النهر، مع سرعة u تساوي ٠,٦٢ م/ث، وعمق مياه يساوي ٣,٣٥ م، يكون:

$$C(x, y, z) = 0.018 \text{ mg/l}$$

وأيضاً يتم توزيع المكون بانتظام على العمق. ومن الجدول رقم (٣, ٢٧) في حالة إيثيلين الكلور الثلاثي نجد أن:

$$\lambda_1 = 0.05 \text{ day}^{-1} \quad , \quad K_H = 9.10 \times 10^{-3}$$

ومن الجدول رقم (٣, ٢٨) لقيمة K_H فأن $\lambda_2 \cong 4.6 \text{ day}^{-1}$ لمياه بعمق ١ م.

ولمياه بعمق ٣,٣٥ م تكون λ_2 تساوي:

$$4.6/3.35 = 1.373 \text{ day}^{-1}$$

إذن:

$$\lambda = 0.05 + 1.373 = 1.423 \text{ day}^{-1}$$

وكذلك:

$$x/u = 15,000/(0.62 \times 86,400) = 0.28 \text{ day}$$

وبالتالي:

$$C(x, y, z, \lambda) = 0.018 \exp(-1.423 \times 0.28) = 0.012 \text{ mg/l}$$

تقدير معاملات التشتت Estimation of Dispersion Coefficients

بعض المعادلات لتقدير معامل التشتت الطولي D_x هي:

$$(٣, ١١٣) \quad D_x / (U_* D) = 5.915 (W/D)^{0.62} (U/U_*)^{1.428} \quad (\text{Seo and Cheong 1995})$$

$$(٣, ١١٤) \quad D_x = 5.93 U_* D$$

(USNRC 1976)

حيث إن:

$$D = \text{متوسط عمق الماء.}$$

$$U_* = \text{سرعة القص.}$$

$$W = \text{متوسط عرض القناة.}$$

والبيانات التجريبية لبعض المجاري المائية مبينة في الجدول رقم (٣, ٢٩)

(Fischer et al. 1979; Graf 1995).

الجدول رقم (٣،٢٩). معامل التشتت الطولي للمجري المائية المختارة.

المجرى المائي	العمق (م)	العرض (م)	متوسط السرعة (م/ث)	معامل التشتت الطولي D_x (م ^٢ /ث)
نهر ساكرامنتو ، كاليفورنيا	٤,٠		٠,٥٣	١٥,٠
نهر ساوث بلات ، كلورادو	٠,٤٦		٠,٦٦	١٦,٢
نهر ميسوري	٢,٧	٢٠٠	١,٥٥	١٥٠٠
نهر كليش ، تينسي	٠,٨٥	٤٧	٠,٣٢	١٤,٠
نهر كليش ، فيرجينيا	٠,٥٨	٣٦	٠,٢١	٨,١
نهر باول ، تينسي	٠,٨٥	٣٤	٠,١٥	٩,٥
كوبر جريك ، فيرجينيا	٠,٤٠	١٩	٠,١٦	٩,٩
نهر كلورادو، من لي إلى خليج نيوتيلود	٨,٢	٧١,٦	٠,٩١	١٦٤-١٠٩

المصدر: (Fischer et al. (1979); Graf (1995).

بعض المعادلات لتقدير معامل التشتت العرضي D_y هي:

$$(٣,١١٥) \quad D_y = 0.23 U_* D$$

(USNRC1976)

$$(٣,١١٦) \quad D_y = 0.15 U_* D$$

(Fischer et al. 1979)

$$(٣,١١٧) \quad D_y = 0.60 U_* D$$

(USEPA 1991c) مع تغير مقداره ٥٠٪

$$(٣,١١٨) \quad \log (D_y / U_* D) = -2.698 + 1.498 \log (W / D)$$

(Bansal 1971)

البيانات التجريبية لبعض المجري المائية مبينة في الجدول رقم (٣,٣٠)

(Fischer et al. 1979)

الجدول رقم (٣,٣٠). معامل التشتت العرضي للمجري المائية المختارة.

المجرى المائي	العمق (م)	العرض (م)	متوسط السرعة (م/ث)	معامل التشتت العرضي D_y (م ^٢ /ث)
نهر بتوماك، ميرلاند	١,٧٤ - ٠,٧٣	٣٥٠	٠,٥٨ - ٠,٢٩	٠,٠٥٨ - ٠,٠١٣
نهر ميسوري، مصب نهر محطة كوبر النووية،	٤	٢٧٠ - ٢١٠	٥,٤	١,١
نهر ميسوري، قرب بلير،	٢,٧	٢٠٠	١,٧٥	٠,١٢
نهر اسكا				

المصدر: (Fischer et al. (1979).

بعض المعادلات لتقدير معامل التشتت الرأسي D_z هي:

$$D_z = 0.067 U_* D \quad (٣,١١٩)$$

(Fischer et al. 1979)

$$\log (D_z / \nu) = -8.08 + 1.89 \log (U_* D / \nu) \quad (٣,١٢٠)$$

(Bansal 1971)

يمكن استخدام قيمة عالية نسبياً لـ D_z (يساوي تقريباً D_y) لمحاكاة الأحوال التي تكون فيها المادة الملوثة مختلطة جيداً على عمق المجرى المائي واختلافات التركيز في الاتجاه الرأسي ليست مؤثرة.

يجب أن تقدر معاملات التشتت باستخدام طرق عديدة وقيم معقولة مختارة عن طريق الحكم. وعند التطبيق العملي يجب التحقق من القيم عن طريق قياسات حقلية.

تركيز الأكسجين المذاب في المجاري المائية

Dissolved Oxygen Concentrations in Streams

تصرفات الماء الفائض في المجاري المائية تؤدي إلى الزيادة في مطلبها من الأكسجين الكيميائي الحيوي (BOD) الذي يستهلك الأكسجين المذاب (DO). وتركيز الأكسجين المذاب في مياه الأنهار الأقل من ٤ إلى ٥ ملجم/ل يعتبر مضر للنباتات والحيوانات المائية. وتعتمد هيدروليكا وعمليات إجهاد مطلب الأكسجين الكيميائي الحيوي واستهلاك الأكسجين المذاب في الأنهار على التالي:

١ - الاختلافات الزمنية (التي تعتمد على الزمن) والمكانية في تدفقات المجاري المائية وأعماق المياه والسرعات.

٢ - الاختلافات المكانية في هندسة النهر (أشكال القطاعات العرضية للمجاري المائية ووجود منعطفات في النهر).

٣ - الاختلافات الزمنية في العوامل المناخية (مثل سرعة الرياح والحرارة والضغط الجوي والمطر والثلج وضوء الشمس).

٤ - الاختلافات الزمنية والمكانية في الأكسجين المذاب المحيط في النهر.

٥ - أحوال النهر (مثل المدى المساحي للغطاء الجليدي ودرجات حرارة المياه تحت الغطاء الجليدي ومساحات الجليد الحرة).

٦ - هندسة مخارج التصريف (مثل شكل نقطة أو خط أو عدم نقطة) وسرعة التصريف من مخارج التصريف (أي السرعات العالية أو المنخفضة التي يمكن أن تؤثر على الخلط الأولي).

٧ - مدى حاجة الأكسجين للتمثيل الضوئي والتنفس والرواسب في البيئة

النهرية.

بعض النماذج شائعة الاستخدام لمحاكاة هذه العمليات تشمل (USEPA 1987a) QUAL2E و (USEPA 1988b) WASP4 و (USACE 1978) WQRRS. ولتقديرات أولية لتركيز الأكسجين المذاب DO في المجاري المائية الناتج من تصرفات الأكسجين الكيميائي الحيوي BOD خلال مصدر النقطة (مثل مخارج التصريف)، يمكن استخدام منهج بسيط نسبياً يقوم على صياغة سترير-فليبس. وفي حالة السريان المنتظم المستقر، تتوقع معادلة سترير-فليبس أن نقص في الأكسجين المذاب في مواقع مصب النهر من النقطة التي يكون عندها نقص الأكسجين المذاب DO وتركيزات الأكسجين الكيميائي الحيوي BOD معروفة. يعرف النقص في الأكسجين المذاب DO كما يلي:

$$D = C_s - DO_0 \quad (3, 121)$$

حيث إن:

D = النقص في الأكسجين المذاب (ملجم/ل).

C_s = تركيز تشبع الأكسجين المذاب (ملجم/ل) عند درجة حرارة الماء في

النهر وعلى ارتفاع من النهر عند الموقع موضع الاهتمام.

DO_0 = تركيز الأكسجين المذاب المحيط في مياه النهر (ملجم/ل).

معادلة سترير-فليبس للنقص في الأكسجين المذاب D عند نقطة مصب

النهر لموقع ما هي (USEPA 1985, 1987a; USACE 1987):

$$D = [K_L L_0 / (K_a - K_L)] [\exp(-K_L x / u) - \exp(-K_a x / u)] + D_0 \exp(-K_a x / u) \quad (3, 122)$$

حيث إن:

K_a = معامل إعادة التهوية (يوم⁻¹).

K_L = معامل تحلل الأكسجين الكيميائي الحيوي (يوم^{-١}).

D = النقص في الأكسجين المذاب (ملجم/ل).

x = مسافة مصب النهر (م).

u = سرعة السريان (م/يوم).

D_0 = النقص الأولي في الأكسجين المذاب عند $x = 0$ (ملجم/ل).

L_0 = مطلب الأكسجين الكيميائي الحيوي الأولي عند $x = 0$ (ملجم/ل).

يفترض نموذج ستريتر- فليس الفروض التالية:

١- يمكن إهمال تأثير مطلب الأكسجين للتمثيل الضوئي والتنفس والرواسب. وعادةً هذه التأثيرات تكون صغيرة إذا لم يكن هناك نمو للطحالب في بداية النهر موضع الاهتمام.

٢- في بداية النهر موضع الاهتمام تكون التيارات المائية موازية لاتجاه السريان ولا يوجد أكسجين مذاب ولا أكسجين كيميائي حيوي بين هذه التيارات المائية المتوازية. وهذا هو الافتراض الأساسي لمعادلة ستريتر- فليس. وبمجرد افتراض حالة السريان المنتظم والمستقر، فإن هذا يمكن أن يكون الموقف الناتج. ويمكن أن يكون هذا محافظاً لأنه لا يتضمن تخفيف في تعزيز الأكسجين المذاب أو مطلب الأكسجين الكيميائي الحيوي الناتج عن الخلط المستعرض (عن طريق التشتت) في بداية المجرى المائي بأكمله.

باستخدام المعادلة رقم (٣, ١٢٢) فإن تركيزات الأكسجين المذاب ومطلب الأكسجين الكيميائي الحيوي في مواضع مختلفة في طرف النهر يمكن أن يتم تقديرها. وتخطيط تركيز الأكسجين المذاب (المحور- y) مقابل مسافات النهر يسمى منحنى هبوط الأكسجين. والقيمة الحرجة (الأقل) لتركيز الأكسجين المذاب أو أقصى قيمة للنقص في الأكسجين المذاب تعطى بالمعادلة:

$$D_{\max} = D_0 \exp(-K_a t_c) + \{K_L L_0 / (K_a - K_L)\} \{\exp(-K_L t_c) - \exp(-K_a t_c)\} \\ (١٣, ١٢٣) = [K_L L_0 / K_a] \exp(-K_L t_c)$$

حيث إن:

t_c = الزمن الحرج عند حدوث D_{\max} ويعطى بالمعادلة:

$$(٣, ١٢٣) \quad t_c = [1/K_a - K_L] \ln[(K_a / K_L) - D_0 K_a (K_a - K_L) / (L_0 K_L^2)]$$

والمسافة التي تحدث عندها D_{\max} تعطى بالمعادلة:

$$(٣, ١٢٤) \quad X = u t_c$$

يتطلب تحليل الأكسجين المذاب أن يكون تركيز مطلب الأكسجين الكيميائي الحيوي معلوماً عند x تساوي صفر. والقياس الأكثر استخداماً لمطلب الأكسجين المذاب هو مطلب الأكسجين المذاب خمسة أيام (BOD_5)، والذي يعرف بأنه مطلب الأكسجين الكيميائي الحيوي الذي تم إجهاده (أكسدته) بعد t يساوي خمسة أيام من الإجهاد/ الأكسدة، أي أن:

$$(٣, ١٢٥) \quad BOD_5 = BOD_0 [1 - \exp(-K_L t)]$$

حيث إن:

BOD_0 = مطلب الأكسجين الكيميائي الحيوي الأولي (ملجم/ل) عند $t = 0$.

t = الزمن بالأيام الذي يقدر بخمسة أيام لتقدير BOD_5 .

قيم K_L النموذجية عند درجة حرارة 20° مئوية من حوالي 0.2 إلى 0.3 يوم $^{-1}$ ، وتعتبر قيمة 0.23 يوم $^{-1}$ هي شائعة الاستخدام. واختلاف قيمها بالنسبة إلى درجة الحرارة يمكن أن تقدر عن طريق المعادلة:

$$(٣, ١٢٦) \quad K_L (at T ^\circ C) = K_L (at 20^\circ C) \times (1.135)^{T-20}$$

يمكن أن يتم تقدير معامل إعادة التهوية عن طريق معادلة أوكونور (USEPA 1985):

$$(٣, ١٢٧) \quad K_a (\text{at } 20^\circ \text{C}) = 3.932 u^{0.5} / Y^{1.5}$$

حيث إن:

$$u = \text{السرعة (م/ث)}.$$

$$Y = \text{عمق الماء (م)}.$$

ويمكن تقدير القيم عند درجات حرارة أخرى عن طريق المعادلة:

$$(٣, ١٢٨) \quad K_a (\text{at } T^\circ \text{C}) = K_a (\text{at } 20^\circ \text{C}) \times (1.024)^{T-20}$$

ويمكن أن الحصول على قيم تركيز تشبع الأكسجين المذاب من جداول خاصة (USEPA 1985) أو تقرب عن طريق المعادلة:

$$C_s \text{ (عند درجة حرارة } T^\circ \text{ مئوية وعلى ارتفاع صفر م) يساوي}$$

$$(٣, ١٢٩) \quad C_s = 14.065 - 0.41022 T + 0.00791 T^2 - 0.00007774 T^3$$

ويمكن تقدير القيم عند ارتفاعات E غير الصفر عن طريق المعادلة:

$$C_s \text{ (عند ارتفاع E م)} = C_s \text{ (عند ارتفاع صفر متر)} \times (1 - 0.0011656 E)$$

$$(٣, ١٣٠) \quad C_s (\text{at } E \text{ m}) = C_s (\text{at } 0 \text{ m}) \times [1 - 0.00011656 E]$$

والقيم المقدرة بالمعادلتين رقم (٣, ١٢٧) ورقم (٣, ١٢٨) تكون لغطاء جليدي

قدره صفر٪. ويمكن استخدام عامل مضاعفة قدره ٠,٥ لتقدير قيم ١٠٠٪ غطاء

جليدي. وقيم النسب الأخرى من الغطاء الجليدي يمكن أن تستنتج عن طريق

الاستكمال الخطي. وقيم C_s النموذجية عند الضغط الجوي وعند درجة حرارة من

صفر إلى ٣٥ درجة مئوية موضحة في الجدول رقم (٣, ٣١) (USEPA 1987a).

إن تصرف الأكسجين الكيميائي الحيوي من مخرج التصريف يخفف بالتأفق

والتشتت في مياه النهر. وعادة لا تحقق معايير جودة المياه ضمن منطقة خلط صغيرة

نسبياً في الجوار القريب من مخرج التصريف. وطبقاً لـ (USEPA 1991c) يمكن أن

يوجد حتى نوعان من مناطق الخلط القابلة للتطبيق على معايير الحياة المائية: المزمدة والحادة. وفي المنطقة التي تحيط مباشرة بمخرج التصريف لا يتم تحقيق أي من المعيار المزمّن ولا الحاد. ويجب أن يحقق المعيار الحاد عند الحافة الداخلية لمنطقة الخلط. ويجب تحقيق المعيار المزمّن عند حافة منطقة الخلط الثانية. ولا تحتوى مناطق الخلط التي تؤخذ بشكل شائع على أكثر من ٢٥٪ من مساحة القطاع العرضي يجب ألا يمتد أكثر من ٥٠٪ من عرض النهر.

الجدول رقم (٣,٣١). ذوبان الأكسجين في الماء عند الضغط الجوي.

درجة الحرارة T (°م)	C _s (ملجم/ل)
٠	١٤,٦
٥	١٢,٨
١٠	١١,٣
١٥	١٠,٢
٢٠	٩,٢
٢٥	٨,٤
٣٠	٧,٦
٣٥	٧,١

المصدر: (USEPA (1985).

مثال رقم (٣,١٥): معاملات معدل مطلب الأكسجين الكيميائي الحيوي المسجلة عند درجة حرارة ٢٠° مئوية هي ٠,٢٢١ يوم^{-١}، وعند درجة حرارة ٣° مئوية هي ٠,٢٦٦ يوم^{-١}. معامل إعادة التهوية للمجرى المائي هو ٣,٥٣ يوم^{-١} عند درجة

حرارة ٢٠° مئوية. احسب القيم عند درجة حرارة ٢° مئوية مع فرض أن الغطاء الجليدي في المجرى المائي يساوي ٨١٪.
الحل:

اختلاف معامل معدل تحلل مطلب الأكسجين الكيميائي الحيوي مع درجة الحرارة يعطى بالمعادلة رقم (٣، ١٢٦):

$$K_L (\text{at } 3^\circ \text{C}) = K_L (\text{at } 20^\circ \text{C}) (A)^{3-20}$$

إذن:

$$0.026 = 0.221 (A)^{-17}$$

وهذا ينتج:

$$A = 1.134$$

إذن معامل معدل تحلل مطلب الأكسجين الكيميائي الحيوي BOD عند درجة حرارة ٢° مئوية يساوي:

$$K_L (\text{at } 2^\circ \text{C}) = 0.221 \times (1.134)^{2-20} = 0.02298 / \text{day}$$

معامل إعادة التهوية عند درجة حرارة ٢° مئوية (المعادلة رقم (٣، ١٢٨)) يساوي:

$$K_a (\text{at } 2^\circ \text{C}) = 3.53 \times (1.024)^{2-20} = 2.30 / \text{day}$$

معاملات المضاعفة الموصى بها لضبط K_a في حالات صفر٪ و ١٠٠٪ من غطاء جليدي هي ١،٠ و ٠،٠٥، على الترتيب (USEPA 1987a). وعن طريق الاستكمال الخطي فإن عامل المضاعفة في حالة ٨١٪ من الغطاء الجليدي يقدر بمقدار ٠،٢٣، وبهذا فإن قيمة K_a (عند درجة حرارة ٢° مئوية وغطاء جليدي ٨١٪) تساوي:

$$K_a = 0.23 \times 2.30 = 0.53 / \text{day}$$

مثال رقم (٣، ١٦): في مجرى مائي يتم تزويد ٣٣,٨٥ ملجم/ل من مطلب الأكسجين الكيميائي الحيوي BOD عند نقطة يكون فيها النقص الأولي في الأكسجين المذاب D_0 يساوي ٢,٠ ملجم/ل. وبسبب مراقبات مصب النهر للمجرى المائي فإن سرعة السريان بطيئة نسبياً وحوالي ٢٥٩٢ م/يوم. احسب النقص في الأكسجين المذاب عند مسافة ١٢٠٠ م من النقطة التي يتم عندها تزويد مطلب الأكسجين الكيميائي الحيوي. ومعامل إعادة التهوية (K_a) ومعامل تحلل مطلب الأكسجين الكيميائي الحيوي (K_L) يساويان ٠,٠٩٣٣ يوم^{-١} و ٠,٠١٧٨٧ يوم^{-١} على الترتيب، واحسب أيضاً الزمن الحرج والنقص الحرج في الأكسجين المذاب. بفرض أن تأثير التشتت المستعرض على تخفيف مطلب الأكسجين الكيميائي الحيوي يمكن إهماله.

الحل:

استخدم المعادلة رقم (٣، ١٢٢)، مع الأخذ في الاعتبار إن:

$$K_a = 0.0933 \text{ day}^{-1}, \quad K_L = 0.01787 \text{ day}^{-1}, \quad D_0 = 2.0 \text{ mg/l}$$

$$u = 2592 \text{ m/day}, \quad x = 1200 \text{ m}, \quad L_0 = 33.85 \text{ mg/l}$$

$$K_a x / u = 0.0933 \times 1200 / 2592 = 0.0432$$

$$K_L x / u = 0.01787 \times 1200 / 2592 = 0.00827$$

النقص في الأكسجين المذاب (عند x تساوي ١٢٠٠ م):

$$D = 2.0 \times [\exp(-0.0432)] + \{33.85 \times 0.01787 / (0.0933 - 0.01787)\} \{ \exp(-0.00827) - \exp(-0.0432) \} = 2 \times 0.9577 + 8.019$$

$$[0.9918 - 0.9577] = 2.19 \text{ mg/l}$$

وباستخدام المعادلة رقم (٣، ١٢٣):

$$t_c = \{1 / (0.0933 - 0.01787)\} \ln \left[\left(\frac{0.0933}{0.01787} \right) \{1 - 2 \times \right.$$

$$\left. \frac{(0.0933 - 0.01787)}{(0.01787 \times 33.85)} \} \right] =$$

$$13.257 \ln(3.9189) = 18.1 \text{ days}$$

باستخدام المعادلة رقم (١٢٣، ٣):

$$D_{\max} = 2.0 \times \exp(-0.0933 \times 18.1) + \{33.85 \times 0.01787 / (0.0933 - 0.01787)\} \\ [\exp(-0.01787 \times 18.1) - \exp(-0.0933 \times 18.1)] = \\ 0.369 + 8.019(0.7236 - 0.1846) = 4.69 \text{ mg/l}$$

السريان في الأنابيب

Pipe Flow

السريان خلال الأنابيب أو الأنفاق يمكن أن يكون سريان تحت ضغط أو سريان في قناة مفتوحة. ويمكن تحليل سريان القناة المفتوحة باستخدام الطرق الموضحة مسبقاً. وسريان الضغط خلال الأنابيب يمكن أن يكون طبقياً إذا كان رقم رينولدز $R_{ed} < 2000$ (باستخدام قطر الأنبوب) ≥ 2000 ، وانتقالي إذا كان $2000 < R_{ed} < 4000$ ومضطرباً إذا كان $R_{ed} \geq 4000$. وباستخدام قطر الأنبوب:

$$R_{ed} = V d / \nu \quad (3, 131)$$

حيث إن:

$$d = \text{قطر الأنبوب.}$$

وفي حالة سريان أنبوب ممتلئ كلياً فإن $R = d/4$. إذن $R_{ed} = 4 R$ ، حيث R رقم رينولدز المحسوب باستخدام نصف القطر الهيدروليكي R في مكان d .

السريان الطبقي في الأنابيب Laminar Flow in Pipes

يظهر السريان الطبقي عادة في الموائع اللزجة (مثل الزيت الخام، الجلسرين، بعض زيوت المحركات) ويحدث خلال السرعات المنخفضة في الأنابيب. ويوضح توزيع السرعة خلال المقطع العرضي للأنبوب ذو السريان الطبقي من معادلة هاجن-بوسيلي:

$$u = [(p_1 - p_2) / (4 \mu L)] [(d^2 / 4) - y^2] \quad (3, 132)$$

حيث إن:

 y = المسافة من مركز الأنبوب (م). u = السرعة (م/ث) عند y . p_1, p_2 = ضاغط الضغط عند نقاط بداية ونهاية السريان (كجم/م^٢). L = المسافة بين النقطتين (م). μ = اللزوجة الديناميكية (كجم.ث/م^٢).

السرعة القصوى في القطاع العرضي تحدث عند المنتصف وتعطى بالمعادلة:

$$u_{\max} = [(p_1 - p_2) d^2 / (16 \mu L)] \quad (٣, ١٣٣)$$

ومتوسط السرعة عبر القطاع العرضي:

$$V = [(p_1 - p_2) d^2 / (32 \mu L)] \quad (٣, ١٣٤)$$

مثال رقم (٣, ١٧): احسب الضاغط والقدرة اللازمة لنقل الزيت الخام عبر مسافة

١ كم بمعدل تصرف ١٥٠٠ ل/ث خلال خط أنابيب بقطر ١٠ سم، ومعامل

اللزوجة الديناميكية μ يساوي ٠,١٢ بواز، والكثافة ρ تساوي ٨٦٠ كجم/م^٣.وأدنى درجة حرارة متوقعة في الجوار القريب حوالي ٧° مئوية. احسب أيضاً R_{ed} .

الحل:

$$1500 \text{ l/h} = 0.0004167 \text{ m}^3/\text{s}$$

$$V = 1.5 \times 4 / (3,600 \times \pi \times 0.10^2) = 0.053 \text{ m/s}$$

$$\mu = 0.12 \text{ poise} = 0.12 \text{ dyne} \cdot \text{s} / \text{cm}^2 = 0.12 \text{ gm} / \text{cm} \cdot \text{s} = 0.12 \times 1.020$$

$$\times 10^{-3} \text{ gm} \cdot \text{s} / \text{cm}^2 = 0.1224 \times 10^{-2} \text{ kg} \cdot \text{s} / \text{m}^2 = 0.012 \text{ kg} / \text{m} \cdot \text{s}$$

$$v \text{ (m}^2/\text{s)} = \mu \text{ (kg/m} \cdot \text{s)} / \rho \text{ (kg/m}^3\text{)} = 0.012 / 860 = 0.000014 \text{ m}^2/\text{s}$$

باستخدام المعادلة رقم (٣, ١٣٤):

$$p_1 - p_2 = 32 \mu (\text{kg} \cdot \text{s} / \text{m}^2) V L / d^2 = 32 \times 0.001224 \times 0.053 \times 1000 / (0.10^2) \\ = 207.6 \text{ kg} / \text{m}^2$$

الضغوط المطلوب:

$$207.6 / 860 = 0.24 \text{ m}$$

القدرة المطلوبة:

$$Q (p_1 - p_2) = 0.00041673 \times 207.6 = 0.0865 \text{ kg} \cdot \text{m} / \text{s}$$

$$R_{ed} = V d \rho / \mu = 0.053 \times 0.10 \times 860 / 0.012 = 380$$

وحيث إن القيمة أقل من ٢٠٠٠ إذن السريان طبقياً.

Turbulent Flow in Pipes السريان المضطرب في الأنابيب

السريان المستقر في الموائع غير القابلة للانضغاط في الأنابيب يكون محكوماً

بمعادلة برنولي:

$$(٣, ١٣٥) \quad p_1 / \gamma + V_1^2 / 2g = p_2 / \gamma + V_2^2 / 2g + z_2 + h_L$$

حيث إن:

$$p_1 = \text{الضغط (كجم/م}^2\text{) عند النقطة ١.}$$

$$p_2 = \text{الضغط عند النقطة ٢.}$$

$$V_1, V_2 = \text{السرعات (م/ث) عند النقطتين ١ و ٢ على الترتيب.}$$

$$z_1, z_2 = \text{المنسوب للنقطتين ١ و ٢ على الترتيب.}$$

$$h_L = \text{الفاقد في الضغوط بسبب الاحتكاك والفواقد الثانوية الأخرى بين}$$

النقطتين ١ و ٢.

وإذا كان الضغط في المعادلة رقم (٣, ١٣٤) معبراً عنه بارتفاع المائع (م) فإن:

$$(٣, ١٣٦) \quad h = (p_1 - p_2) / \gamma = 32 \mu V L / (\rho g d^2) = (64 / R_{ed}) [LV^2 / 2 g d]$$

وبوضع $f = 64/R_{\text{هـ}} =$ معامل خشونة الأنبوبة فإن المعادلة رقم (٣، ١٣٦)

تصبح معادلة دارسي- ويسباك للفاقد نتيجة الاحتكاك خلال الأنابيب:

$$h = f L V^2 / (2 g d) \quad (٣، ١٣٧)$$

ويمكن الحصول على قيم f من منحنى مودي المتاح في معظم المراجع (مثل

معادلات شيزي أو مانتيق أو هازن-وليم (المعادلات رقم (٣، ٣) ورقم (٣، ٤) ورقم

(٣، ٦)) إذا كان يمكن تقدير المعاملات النسبية لهم. ومعامل الخشونة f يمكن أن

يقدر بدون معرفة قطر الأنبوب إذا كان معامل شيزي C معلوماً:

$$f = 8 g / C^2 \quad (٣، ١٣٨)$$

ولتقدير f من n يجب أن يكون قطر الأنبوب معلوماً، ومن C_H فإن كلاً من القطر والميل S يجب أن يكونا معلومين:

$$f = 124.85 n^2 / (d^{1/3}) \quad (٣، ١٣٩)$$

$$f = 156.06 / (C_H^2 d^{0.26} S^{0.08}) \quad (٣، ١٤٠)$$

قيم n ، C_H النموذجية للأنابيب الأكثر شيوعاً في الاستخدام موضحة في

الجدول رقم (٣، ٣٢) والجدول رقم (٣، ٣٢) ب (Brater et al. 1996; ASCE 1976).

وكبدل لاستخدام منحنى مودي فإن الفاقد نتيجة الاحتكاك أو معدل

التصرف أو قطر الأنبوب يمكن أن يقدر بوضوح إذا كان ارتفاع خشونة جدار

الأنبوب e واللزوجة الكينيماتيكية للسائل ν والمتغيران الاثنان الآخران أو المتغيرات

الثلاثة الأخرى معلومة (Swamee and Jain 1976):

$$h_L = [1.07 Q^2 L / (g D^5)] \left[\ln \left\{ (e / (3.7 D)) + 4.62 (\nu D / Q)^{0.9} \right\} \right]^{-2} \quad (٣، ١٤١)$$

هذه المعادلة صالحة في حالة $10^{-2} < e/D < 10^{-6}$ و $3000 < R_{ed} < 3 \times 10^8$. لاحظ أن e و D يجب أن تكونا بنفس الوحدات.

الجدول رقم (١٣،٣٢). القيم النموذجية لمعامل مانتق n .

نوع الأنبوب	معامل مانتق n
أسبوستس - أسمنت	٠,٠١١ - ٠,٠١٥
حديد مسبوك نظيف غير مغطى	٠,٠١٣ - ٠,٠١٥
حديد مسبوك نظيف مغطى	٠,٠١٢ - ٠,٠١٤
حديد مجلفن	٠,٠١٥ - ٠,٠١٧
معدن موج	٠,٠٢٣ - ٠,٠٢٩
معدن موج ، صفيحة معدنية بنائية	٠,٠٣٠ - ٠,٠٣٣
خرسانة خشنة التكوين	٠,٠١٥ - ٠,٠١٧
خرسانة فولاذية التكوين	٠,٠١٢ - ٠,٠١٤
طين مزيج	٠,٠١١ - ٠,٠١٧
بلاط الطين	٠,٠١٢ - ٠,٠١٤
الأنفاق الصخرية غير المبطنة	٠,٠٣٨ - ٠,٠٤١
الفلاذ بالطلاء الزجاجي	٠,٠٠٩ - ٠,٠١٠
النحاس الأصفر أو الزجاج	٠,٠٠٩ - ٠,٠١٣
البلاستيك (الناعم)	٠,٠١١ - ٠,٠١٥
كلوريد البولي فينيل (البلاستيك الخشن)	٠,٠٠٩ - ٠,٠١٠

المصدر: (1976) ASCE ; (1996) Brater et al.

الجدول (٣,٣٢) ب). القيم النموذجية لمعامل هازن-وليم C_H

نوع الأنبوب	معامل هازن-وليم C_H
كلوريد البولي فينيل، الزجاج، الفولاذ المطلي	١٣٠ - ١٥٠
أنبوب الفولاذ المبرشم	١١٠ - ١٠٠
أنبوب الحديد المسبوك	١٠٠ - ٩٥
أنبوب الخرسانة الناعمة	١٤٠ - ١٢٠
الأنبوب الخشن (أنبوب الخرسانة الخشن)	٨٠ - ٦٠

المصدر: (Brater et al. (1996) ; ASCE (1976).

$$(٣,١٤٢) \quad Q = -0.965 (g D^5 h_L / L)^{0.5} \ln \left[e / (3.7 D) + \{ 3.17 v^2 L / (g D^3 h_L) \}^{0.5} \right]$$

هذه المعادلة صالحة في حالة $R_{ed} > 2000$.

$$(٣,١٤٣) \quad D = 0.66 \left[e^{1.25} (L Q / g h_L)^{4.75} + v Q^{9.4} \{ L / (g h_L) \}^{5.2} \right]^{0.04}$$

هذه المعادلة صالحة في حالة $10^{-6} < e/D < 10^{-2}$ و $5000 < R_{ed} < 3 \times 10^8$.

والمعادلات من رقم (٣.١٤١) إلى رقم (٣.١٤٣) تكون مفيدة على وجه

خاص في تطبيقات الحاسب الآلي. وقيم e النموذجية موضحة في الجدول رقم

(٣.٣٣) (Brater et al. 1996; ASCE 1976; Chow 1959; Streeter 1971).

بالإضافة إلى الاحتكاك هناك فواقد ثانوية في الأنابيب عند المدخل والمخرج

والضيق والاتساع والانحناءات والبوابات والصمامات. وهذه الفواقد يعبر عنها

كالتالي:

$$(٣,١٤٤) \quad h_L = k V^2 / 2 g$$

حيث إن:

$$h_L = \text{فاقد الضاغط.}$$

V = سرعة السريان في الأنبوب عند أو بعد موقع تلك المعالم النسبية مباشرة.

k = معامل الفاقد الثانوي.

وقيم k للمعاملات المختلفة يمكن أن توجد في المراجع القياسية (مثل Streeter

1996; Brater *et al.* 1996; Potter and Wiggert 1991; (1971). وعند اتساع أو ضيق الأنبوب

فإن V تتعلق بالأنبوب الأصغر.

أحياناً يكون السريان خلال الضيق محدوداً بالتكهف الذي يحدث عندما يصل

الضغط المطلق عند الضيق إلى ضغط البخار المشبع للسائل. وقد يحدث التكهف أيضاً

عند النقطة العالية في السيفون. وضغط البخار المشبع للسائل عند درجات الحرارة

المختارة موضح في الجدول رقم (٣,٣٤) (Streeter 1971).

الجدول رقم (٣,٣٣). القيم النموذجية لخشونة جدار الأنبوب e .

نوع مادة الأنبوب	e (مم)
الأنابيب المسحوبة	٠,٠٠١٥
الفولاذ المطلي بالزجاج	٠,٠٠٥
الحديد المطروق	٠,٠٦ - ٢,٤
الحديد المجلفن	٠,١٥ - ٤,٦
الحديد المسبوك	٠,١٢ - ٣,٠
المعادن المموجة	٠,٣٠ - ٦٠
الفولاذ المبرشم تماماً	٠,٣٠ - ٩,٠
الخرسانة	٠,٣٠ - ٣,٠

المصدر: (Streeter 1971); ASCE (1976); Brater *et al.* (1996).

الجدول رقم (٣,٣٤). ضغط بخار الماء المشبع.

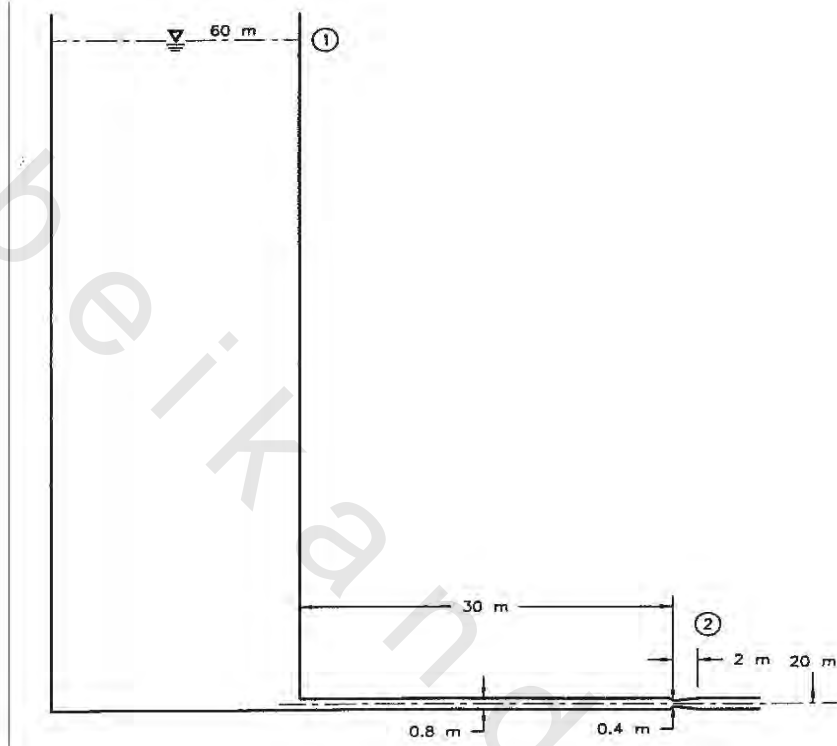
درجة الحرارة (°م)	ضغط بخار الماء المشبع (م)
٠	٠,٠٦
١٠	٠,١٢٥
٢١	٠,٢٥٦
٣٢	٠,٤٩
٦٠	٢,٠٣
١٠٠	١٠,٣٣

المصدر: (1971) Streeter.

مثال رقم (٣, ١٨): احسب التصرف الحرج للأمن للماء عند درجة حرارة ١٦° مئوية والذي يمكن أن يبدأ عنده التكهف عند موقع الصمام في مخرج المستوى المنخفض من الخزان الموضح في الشكل رقم (٣, ٩). بفرض أن f تساوي ٠,٠١٥، ومعامل الفاقد عند الضيق k_v يساوي ٠,٣٠، ومعامل الفاقد عند الاتساع k_e يساوي ٠,٣٥، والضغط الجوي p_a يساوي ١٠,٣٣ م. قارن التصرف الأمن للنظام عندما يتم تثبيت قطر الأنبوب ٠,٨ م بدون وجود ضيق واتساع. بفرض أن ضغط بخار الماء عند p_v/γ عند درجة حرارة ١٦° مئوية يساوي ٠,١٨ م. لاحظ أن كلا من k_e و k_v مسجلة بالنسبة إلى السرعة في الأنبوب الأصغر.

الحل:

لتجنب التكهف فإن الضغط عند الضيق حيث يوجد الصمام يجب أن يظل أعلى من ضغط بخار الماء. والنقطة الأولى تقع عند سطح ماء الخزان والنقطة الثانية تقع عند مركز فتحة مخرج الأنبوب.



الشكل رقم (٣,٩). الرسم التخطيطي لمخرج المستوى المنخفض.

وعن طريق معادلة الاستمرار بين النقطتين ١ و ٢:

$$V_c \times (\pi/4)(0.4^2) = V \times (\pi/4)(0.8^2)$$

وبالتالي

$$V_c = 4V$$

حيث إن:

V_c = السرعة خلال المقطع الضيق.

V = السرعة خلال قطاع الأنبوب المنتظم.

وعن طريق معادلة برنولي بين النقطتين ١ و ٢:

$$z_1 + p_a / \gamma = z_2 + p_v / \gamma + f L V^2 / 2 g d + 0.30 V_c^2 / 2g + V_c^2 / 2g$$

$$60 + 10.33 = 20 + 0.18 + (0.015 \times 30 \times V^2) / (2g \times 0.8) + 0.30 \times 16V^2 / 2g$$

$$+ 16V^2 / 2g$$

إذن:

$$V = 6.76 \text{ m/s}$$

و:

$$Q = 6.79 \times (\pi/4)(0.64) = 3.411 \text{ m}^3 / \text{s}$$

أو:

$$Q = 3411 \text{ l/s}$$

إذا لم يكن هناك ضيق أو اتساع يمكن أن تؤخذ النقطة ٢ عند فتحة مخرج الأنبوب.

الآن بتطبيق معادلة برنولي بين النقطتين ١ و ٢:

$$z_1 + p_a / \gamma = z_2 + p_a / \gamma + f L V^2 / 2 g d + V^2 / 2g$$

$$60 + 10.33 = 20 + 10.33 + 0.015 \times 32 V^2 / (2 g \times 0.8) + V^2 / 2g$$

إذا:

$$40 = 1.60 V^2 / 2g$$

و:

$$V = 22.15 \text{ m/s}$$

و:

$$Q = 22.15 \times (\pi/4) \times 0.64 = 11.13 \text{ m}^3 / \text{s}$$

أو:

$$Q = 11130 \text{ l/s}$$

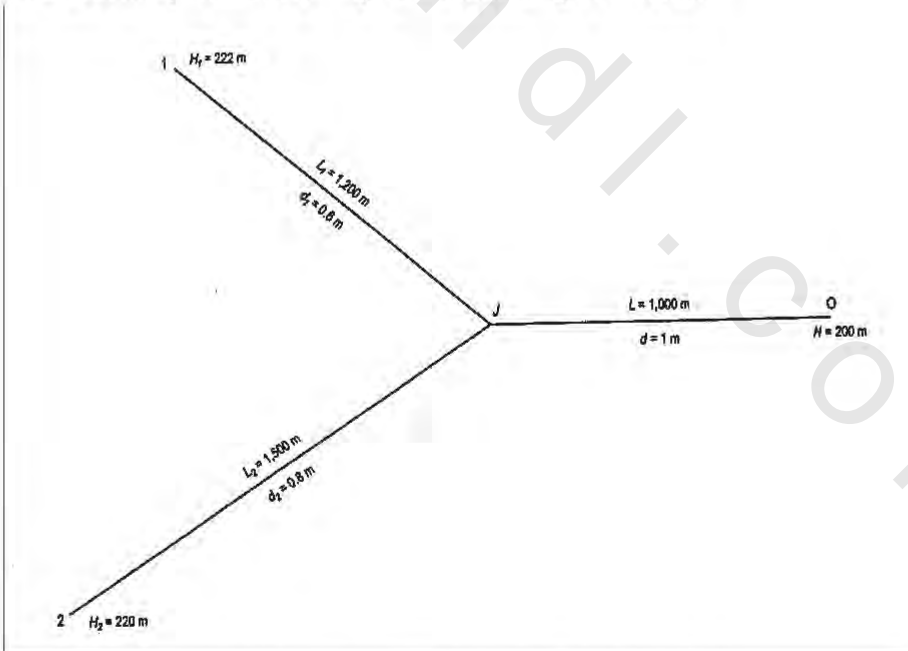
مثال رقم (٣, ١٩): احسب أحجام الأفرع الجديدة (بفرض أربعة أشخاص في الموقع) التي يمكن أن تدعم بخطوط إمداد الماء الموضحة في الشكل رقم (٣, ١٠). يفترض أن يتم إمداد الماء عند ضواغط من ٢٢٢ و ٢٢٠ م على الترتيب. تصرف الماء المتاح ١, ١١٧٨ ل/ث. متوسط احتياجات الماء في المنطقة ٦٥٠ ل/شخص/يوم. احسب أيضاً قدرة الضخ اللازمة عند الاتصال بمصدر الماء حيث يكون الضاغط المتاح بدون الضخ ٢٠٠ م. رغم أنه سيتم تثبيت بعض الصمامات في النظام لهذا التحليل التمهيدي.

الحل:

$$H_1 = 222 \text{ m} , d_1 = 0.6 \text{ m} , L_1 = 1200 \text{ m} , f_1 = 0.018$$

$$H_2 = 220 \text{ m} , d_2 = 0.8 \text{ m} , L_2 = 1500 \text{ m} , f_2 = 0.015$$

$$H = 200 \text{ m} , d = 1.0 \text{ m} , L = 1000 \text{ m} , f = 0.012$$



الشكل رقم (٣, ١٠). الرسم التخطيطي لأنابيب إمداد المياه.

بتطبيق معادلة الاستمرارية:

$$(i) \quad V_1 (\pi/4) d_1^2 + V_2 (\pi/4) d_2^2 = V (\pi/4) d^2 = Q = 1.1781$$

$$V = 1.1781 / [(\pi/4) 1.0^2] = 1.5 \text{ m/s}$$

بفرض أنه مع الضخ فإن الضاغط عند الاتصال بالمصدر عند O يكون H_o . وبتطبيق

معادلة برنولي بين النقطتان O و ١ والنقطتان O و ٢ فإن:

$$(ii) \quad H_o = f L V^2 / (2 g d) + f_1 L_1 V_1^2 / (2 g d) + H_1$$

$$(iii) \quad H_o = f L V^2 / (2 g d) + f_2 L_2 V_2^2 / (2 g d) + H_2$$

بمساواة المعادلتين (ii) و (iii):

$$\begin{aligned} 0.018 \times 1200 \times V_1^2 / (2g \times 0.6) + 222 \\ = 0.015 \times 1500 \times V_2^2 / (2g \times 0.6) + 220 \end{aligned}$$

أو:

$$(iv) \quad 1.83486 \times V_1^2 + 2 = 1.43349 V_2^2$$

والمعادلة (i) تعطي:

$$(v) \quad 0.2827 V_1 + 0.50265 V_2 = 1.1781$$

من المعادلة (v):

$$V_1 = 4.1673 - 1.7780 V_2$$

وبالتعويض في المعادلة (iv):

$$1.43349 V_2^2 - 2 - 1.83486 [3.1613 V_2^2 - 14.8189 V_2 + 17.36639] = 0$$

أو:

$$4.3671 V_2^2 - 27.1906 V_2 + 33.86489 = 0$$

وهذا يعطي:

$$V_2 = 1.7214 \text{ m/s} \quad \text{أو} \quad V_2 = 4.50 \text{ m/s}$$

ومن المعادلة (v) يمكن ملاحظة أنه عند قيمة $V_2 = 4.50 \text{ m/s}$ سوف تؤدي إلى قيمة سالبة لـ V_1 . إذن:

$$V_2 = 1.7214 \text{ m/s}$$

وبالتالي:

$$V_1 = 4.1673 - 1.7780 \times 1.7214 = 1.1067 \text{ m/s}$$

$$Q_1 = 1.1067 \times (\pi/4) \times 0.36 = 0.3129 \text{ m}^3/\text{s}$$

و

$$Q_2 = 1.7214 \times (\pi/4) \times 0.64 = 0.8652 \text{ m}^3/\text{s}$$

إمداد الماء اللازم لكل منزل يساوي:

$$650 \times 4 = 2600 \text{ l/day} = 0.00003 \text{ m}^3/\text{s}$$

أقصى عدد منازل في الفرع ١:

$$0.3129 / 0.00003 = 10430$$

أقصى عدد منازل في الفرع ٢:

$$0.8652 / 0.00003 = 28840$$

الضاغط اللازم عند الاتصال مع المصدر عند النقطة O:

$$H_o = 0.012 \times 1,000 \times 1.5^2 / (2g \times 1.0) + 0.018 \times 1,200 \times (1.1067)^2 / (2g \times 0.6) + 222 = 1.376 + 2.247 + 222 = 225.623 \text{ m}$$

ضاغط الضخ اللازم عند O:

$$225.623 - 200 = 25.623 \text{ m}$$

القدرة اللازمة:

$$\gamma Q H = 1000 \times 1.1781 \times 25.623 = 30186 \text{ kg} \cdot \text{m/s}$$

باستخدام كفاءة نظام كلية حوالي ٠,٨ فربما يكون من اللازم نظام ضخ ذو قدرة ٣٨٠٠٠ كجم.م/ث.

ولتحليل شبكات عمل الأنابيب التي تتضمن أنابيب ووصلات عديدة من المفضل استخدام برامج الحاسب المتاحة (مثل Streeter 1971; Potter and Wiggert 1992; Brater *et al.* 1996; KYPIPE2 and KYPIPE3 1992).

هيدروليكا الرذاذات Hydraulics of Diffusers

يتم تصرف الماء الفائض في بعض الأحيان إلى الموقع المستقبل للماء خلال أنابيب متعددة الفتحات (الرذاذات). تتكون الرذاذة من أنبوب تمتد تقريباً عمودياً على الشاطئ وتتصل بأنبوبة أخرى (رذاذة) يمكن أن تكون موازية أو عمودية على التيار. لأنبوبة الرذاذة كثير من المخارج على مسافات متقاربة (فتحات) ملحقة بها. وإذا كان الموقع المستقبل للماء منتظماً (ليس طبقياً) وثابت (مثل بحيرة أو محيط) فإن التقدير التمهيدي للتخفيف S_a في المياه العميقة يمكن الحصول عليه من (Fischer *et al.* 1979):

$$S_a = C_0 / C = 0.38 (g')^{1/3} y / q^{2/3} \quad (٣, ١٤٥)$$

حيث إن:

y = عمق الماء فوق المصدر.

S_a و C = التخفيف المركزي والتركيز على الترتيب على عمق y .

C_0 = التركيز المبدئي عند فتحة الرذاذة (أي عند $y = 0$).

q = تصرف الماء الفائض لكل وحدة طول من الرذاذة (م^٣/ث).

$g' = g \Delta \rho / \rho$.

ρ = كثافة الماء الفائض.

$$p_0 - p = \Delta p$$

$$p_0 = \text{كثافة الماء المستقبل.}$$

يمكن ألا تقدم المعادلة رقم (٣, ١٤٥) تقديرات مناسبة بسبب تأثير الحصر الناتج عن مجال الرذاذ الذي يمكن أن يتواجد بالقرب من قمة الريشة المرتفعة. والعامل التقريبي للسلامة يمكن أن يستخدم في التصميم. والمعادلة التقريبية لتقدير متوسط تخفيف الرذاذ الموجهة عمودياً على التيار العميق المنتظم بما فيها تأثير الحصر هي (Fischer et al. 1979):

$$(٣, ١٤٦) \quad S_n = S_a / [1 + \{(Q_0 S_a) / (u L y_m)\}]$$

حيث إن:

$$S_n = \text{متوسط التخفيف في التيار العمودي الذي يشمل تأثير الحصر.}$$

$$L = \text{طول أنبوب الرذاذ.}$$

$$u = \text{سرعة التيار المحيط العمودي على الرذاذ.}$$

$$y_m = \text{أقصى ارتفاع للماء الفائض المرتفع.}$$

$$Q_0 = \text{تصرف الماء الفائض الكلي خلال الرذاذ.}$$

متوسط التخفيف S_p لرذاذ موجهة موازية لتيار عميق منتظم يشمل تأثير الحصر يمكن أن تقرب عن طريق (Fischer et al. 1979):

$$(٢, ١٤٧) \quad S_p = 0.38 (g')^{1/3} y_m / q^{2/3}$$

التحليل الهيدروليكي للرذاذ يتضمن استخدام معادلة دارسي-ويسباك

(المعادلة رقم (٣, ١٣٧)) ومعادلة تصرف الفوهة:

$$(٣, ١٤٨) \quad Q_0 = C_d (\pi d^2 / 4) \sqrt{(2 g H)}$$

حيث إن:

$$C_d = \text{معامل تصرف الفوهة.}$$

$$H = \text{الضاغط فوق مركز الفوهة.}$$

$$d = \text{قطر الفوهة.}$$

يختلف معامل التصرف من حوالي ٠,٥٩ إلى ٠,٩٨ اعتماداً على شكل المدخل.

خطوات الحسابات هي كالتالي:

١- احسب التخفيف اللازم S_n أو S_p عند عمق محدد y مع توجيه الرذاذة بالنسبة إلى التيار المحيط.

٢- إذا كانت الرذاذة موجهة عمودياً على التيار المحيط افترض أن S_a من ١,٢ إلى ١,٥ من قيمة S_n واحسب q باستخدام المعادلة رقم (٣,١٤٦). وإذا كانت الرذاذة موجهة موازياً للتيار المحيط احسب q باستخدام المعادلة رقم (٣,١٤٧) مع القيم المطلوبة لـ S_p .

٣- بمعرفة تصرف الماء الفائض Q_0 احسب طول الرذاذة التمهيدي $L = Q_0 / q$.

٤- بمعرفة u, L, y, S_a, Q_0 يمكن استخدام المعادلة رقم (٣,١٤٦) للتحقق من أن S_n المطلوبة قد تحققت. وإلا عدل قيمة L . وهذه الخطوة ليست مطلوبة إذا كانت الرذاذة موجهة موازياً للتيار المحيط.

٥- عن طريق الحكم احسب المسافات المناسبة بين الفتحات $(L_1, L_2, L_3, \dots, L_n)$ من ١ إلى ١٠ م تقريباً اعتماداً على الطول الكلي لأنبوبة الرذاذة وعدد الفتحات n .

٦- بفرض أن متوسط سرعة السريان من حوالي ١,٢٥ إلى ١,٨ م/ث احسب قطر أنبوب الرذاذة D .

٧- احسب أقطار الفتحات التمهيدية ($d_1, d_2, d_3, \dots, d_n$) بين ٥ إلى ٢٤ سم تقريباً ومجموع مساحات كل الفتحات يجب أن تكون بين ٣/١ إلى ٣/٢ من مساحة القطاع العرضي لأنبوب الرذاذة.

٨- رقم الفتحة الأخيرة المجاورة للطرف الهامد من أنبوب الرذاذة على أنها الفتحة رقم ١ واحسب القيم الأولية لكل من C_{d1}, d_1, q_1 لهذه الفتحة.

٩- استخدم المعادلة رقم (٣, ١٤٨) لتقدير الضاغط اللازم H_1 عند الفتحة.

١٠- اعتماداً على قياس أعماق الموقع للماء احسب الميل الذي عنده سوف توضع أنبوب الرذاذة، أوجد التغير في الارتفاع ($\Delta z_1, \Delta z_2, \Delta z_3, \dots, \Delta z_n$) للأنبوب المعكوسة من فتحة إلى أخرى.

١١- أوجد السرعة في الجزء الأبعد (المجاور إلى الفتحة رقم ١) من أنبوب الرذاذة، $V_1 = q_1 / (\pi D^2 / 4)$.

١٢- احسب ضاغط السرعة $V_1^2 / 2g$.

١٣- احسب الكثافة النوعية s_0 للماء المستقبل و s للماء الفائض واحسب $\Delta s = s_0 - s$.

١٤- احسب الضاغط H_2 عند الفتحة الثانية:

$$H_2 = H_1 + f L_1 V_1^2 / (2gD) + \Delta s (\Delta z_1) / s$$

١٥- احسب C_{d2} للفتحة الثانية باستخدام:

لمدخل الفتحة انسيابية الحافة

$$C_{d2} = 0.975 \left[1 - V_1^2 / (2 g H_2) \right]^{0.375} \quad (٣, ١٤٩)$$

لمدخل الفتحة حادة الحافة

$$C_{d2} = 0.63 - [0.58 V_1^2 / (2 g H_2)] \quad (٣, ١٥٠)$$

$$q_2 = C_{d2} (\pi d_2^2 / 4) \sqrt{(2 g H_2)} \quad ١٦ - احسب:$$

$$V_2 = V_1 + [q_2 / (\pi D^2 / 4)] \quad ١٧ - احسب:$$

١٨ - كرر الخطوات من رقم (١٢) حتى رقم (١٧) لكل الفتحات حتى

الفتحة رقم n بالتتالي.

بعد هذه الحسابات التمهيدية يمكن عمل التغييرات الملائمة في أقطار الفتحات وتباعدها،... إلخ. للحصول على تصميم مقبول للرزادة.

مثال رقم (٣, ٢٠): من المرغوب تحقيق معامل تخفيف يساوي ٨٥ عند عمق متوسط حوالي ٤٥ م فوق أنبوبة الرزادة للماء الفائض ذو معدل تصرف ٦,٥ م^٣/ث من الرزادة إلى الجسم المستقبل للماء مع اعتبار أن $\Delta p / p = \Delta s / s = 0.025$ ، $f = 0.012$. وقد تم وضع أنبوبة الرزادة على ميل ٠,٠٨ م/م . وبفرض أن الرزادة موجهة عمودياً على التيار المحيط وأن السرعة u تساوي ٠,٢٥ م/ث . احسب الأبعاد الأولية للرزادة . مخزون الماء الفائض يقع على مسافة ٢ م فوق مستوى الماء في الجسم المستقبل للماء وسوف توصل إلى أنبوبة الرزادة مع أنبوبة طولها ١٠٠٠ م من نفس النوع والحجم . وهذه الأنبوبة لها كوعين ($k_e = 0.20$) ووصلة واحدة على شكل تي ($k_T = 1.1$) . سطح الماء في الجسم المستقبل للماء هو ٦٢ م فوق الفتحة الأولى (أي، قريباً من الطرف الهامد لأنبوبة الرزادة) . احسب سعة الضخ اللازمة .

الحل:

لتقدير أولي نفرض أن:

$$S_a = 1.3 \times S_n = 1.3 \times 85 = 110.5$$

ومن المعادلة رقم (٣, ١٤٥):

$$110.5 = 0.38 \times (9.81 \times 0.025)^{1/3} \times 45 / q^{2/3}$$

فيكون:

$$q = 0.030 \text{ m}^3 / \text{s}$$

$$L = Q_0 / q = 6.5 / 0.030 = 216.7 \text{ m}$$

اختار $L = 200 \text{ m}$

استخدم المسافات بين الفتحات ثابتة وتساوي ١,٠ م. إذا الفتحات من ١ إلى ٣٠ بقطر d يساوي ١٥ سم، والفتحات من ٣١ إلى ٦٠ بقطر d يساوي ١٤ سم، والفتحات من ٦١ إلى ١٣٠ بقطر d يساوي ١٣ سم، والفتحات من ١٣١ إلى ٢٠٠ بقطر d يساوي ١٢ سم. لاحظ أن مجموع مساحات كل الفتحات هو حوالي ٦٠٪ من مساحة القطاع العرضي للأنبوبة الرذاذ.

وبفرض أن متوسط السرعة خلال أنبوبة الرذاذ يساوي ١,٤ م/ث، إذن:

$$A = 6.5 / 1.4 = \pi D^2 / 4$$

وبالتالي تكون $D = 2.4 \text{ m}$

بفرض أن $C_{d1} = 0.975$ و $q_1 = 0.030 \text{ m}^3 / \text{s}$. إذن من المعادلة رقم (٣, ١٤٨):

$$0.030 = 0.975 \times (\pi d_1^2 / 4) \times \sqrt{(2 g H_1)}$$

أي $H_1 = 0.15 \text{ m}$

$$V_1 = q_1 / (\pi D^2 / 4) = 0.030 / (\pi \times 2.4^2 / 4) = 0.00663 \text{ m/s}$$

إذا تم التحكم في السرعة بحيث تكون منخفضة جداً، إذن قطر الأنبوبة قريباً من الطرف الهامد يمكن أن يقلل.

وباستخدام الخطوة رقم (١٦):

$$H_2 = 0.15 + 0.012 \times 1.0 \times (0.00663)^2 / (2 \times 9.81 \times 2.4) + 0.025 \times 0.08$$

$$= 0.152 \text{ m}$$

وبفرض أن فتحات المداخل دائرية. إذن، باستخدام المعادلة رقم (٣, ١٤٩):

$$C_{d2} = 0.975 \left[1 - \left\{ (0.00663)^2 / (2 \times 9.81 \times 0.152) \right\} \right]^{0.375} = 0.975$$

$$q_2 = 0.975 \times (\pi d_2^2 / 4) \times \sqrt{(2g H_2)} = 0.975 \times (\pi \times 0.15^2 / 4)$$

$$\times \sqrt{(2g \times 0.152)} = 0.030 \text{ m}^3 / \text{s}$$

والحسابات حتى الفتحة رقم ٢٠٠ يمكن تنفيذها باستخدام برنامج فورتران البسيط أو أوراق العمل. وتصرفات الفتحة المحسوبة، والسرعة خلال أجزاء أنبوبة الرذاذ من منبع السريان، و C_d للفتحة، والضغوط عند الفتحة للفتحات المختارة موضحة في الجدول رقم (٣, ٣٥).

الضغوط المحسوب (فوق مستوى الماء المحيط) اللازم للرذاذ يساوي ٥,٨٢ م. ويمكن أن تدقق الحسابات لإنجاز تصميم رذاذ مقبول.

في حالة: Q_0 يساوي ٦,٥ م^٣/ث و D يساوي ٢,٤ م وأنبوب بطول ١٠٠٠ م يصل الرذاذ بمصدر الماء الفائض فإن:

$$V = 6.5 / (\pi \times 2.4^2 / 4) = 1.44 \text{ m/s}$$

باستخدام المعادلة رقم (٣, ١٣٧) فإن الفاقد في الضغوط خلال الأنبوب:

$$0.012 \times 1,000 \times (1.44)^2 / (2 \times 9.81 \times 2.4) + (2 \times 0.2 + 1.1) \times$$

$$1.44^2 / (2 \times 9.81) = 0.528 + 0.158 = 0.686 \text{ m}$$

الضغوط الكلي اللازم لخروج الماء الفائض خلال فتحات الرذاذ:

$$0.686 + 0.582 = 1.268 \text{ m}$$

الضغوط المتاحة عند نقطة تخزين الماء الفائض (المقاس فوق أبعد فتحة):

$$(62 + 2)s = 64 s \text{ kg/m}^2$$

(s = الوزن النوعي للماء عند فرع النهر).

عمق الماء المحيط عند الفتحة الأولى يساوي ٦٢ م، وعمق الماء المحيط عند

الفتحة الأخيرة:

$$62 - 0.08 \times 200 = 46 \text{ m}$$

متوسط الضغوط للماء المحيط مقابل ما يتسرب من الماء الفائض:

$$\{(62 + 46)/2\} s_0 = 54 s_0 \text{ kg/m}^2$$

(s_0 = الوزن النوعي للماء المحيط).

الضغوط الكلي اللازم لتسرب الماء الفائض خلال الفتحات:

$$54 s_0 + 1.268 s \text{ kg/m}^2$$

حيث إن: $\Delta s/s = 0.025$ فإن $s_0 = 1.025 s$ ، إذن:

$$54 s_0 + 1.268 s = 56.618 s \text{ kg/m}^2$$

الضغوط المطلوب كنسبة من الضغوط المتاحة يكون حوالي:

$$(56.618/64) \times 100 = 88\%$$

إذن ربما لا يكون هناك حاجة للضخ ما لم يحدث صداداً للأنبوب وعوامل أخرى

تعمل على زيادة الضغوط المطلوب.

الجدول رقم (٣,٣٥). المتغيرات الهيدروليكية المحسوبة عند فتحات الرذاذة المختارة.

رقم الفتحة	تصرف الفتحة ($\text{م}^3/\text{ث}$)	السرعة في الأنبوب ($\text{م}/\text{ث}$)	C_d	ضاغط الفتحة (م)
١	٠,٠٣٠	٠,٠٠٦٦٣	٠,٩٧٥	٠,١٥٠
٢	٠,٠٣٠	٠,٠١٣	٠,٩٧٥	٠,١٥٢
٥	٠,٠٣٠	٠,٠٣٣	٠,٩٧٥	٠,١٥٨
١٠	٠,٠٣١	٠,٠٦٧	٠,٩٧٥	٠,١٦٨
٥٠	٠,٠٣٣	٠,٣٥٣	٠,٩٦٦	٠,٢٤٩
١٠٠	٠,٠٣٣	٠,٧٠٤	٠,٩٤٩	٠,٣٥٢
١٥٠	٠,٠٣٢	١,٠٦٩	٠,٩٢٨	٠,٤٦٢
٢٠٠	٠,٠٣٥	١,٤٣٦	٠,٩٠٦	٠,٥٨٢

في حالة المجاري المائية الضحلة فإن الخلط الرأسي يكون سريعاً نسبياً والتخفيف الأولي خلال تقريباً طول واحد من الرذاذة يمكن أن يقدر عن طريق

(Tchobanoglous and Burton 1991: Adams 1982):

$$(٣,١٥١) \quad S_i = \left[u D L / (2 Q_0) \right] \left[1 + \sqrt{1 + (2 Q_0 V_0 \cos \alpha) / (u^2 L D)} \right]$$

حيث إن:

u = سرعة السريان.

Q_0 = معدل تصرف الماء الفائض.

L = طول الرذاذة.

S_i = التخفيف المبدئي.

D = عمق الماء في النهر.

V_0 = السرعة خلال فتحات الرذاذة.

α = زاوية انحدار الفتحة على الأفقي المقاسة في المستوى الرأسي الموازي لاتجاه تدفق النهر.

أحياناً يلزم تقدير التخفيف عند نهاية منطقة الخلط الأولية لتصرفات الفتحة الرأسية المنفردة (مثلاً، التصرف خلال أنبوب منفرد تصرفها رأسياً لأعلى) في بحيرة أو محيط أو نهر. في مثل هذه الحالات يمكن تقدير التخفيف المبدئي عن طريق (Tchobanoglous and Burton 1991; Muellenhoff *et al.* 1985):

١ - في حالة الجسم المستقبل للماء الراكد (بحيرة أو محيط بتيارات منخفضة):

$$S_i = 0.13 (g' / D^5 / Q_0^2)^{1/3} \quad (٣, ١٥٢)$$

٢ - في حالة الماء المستقبل المتدفق (نهر):

$$S_i = 0.29 (u D^2 / Q_0) \quad (٣, ١٥٣)$$

حيث إن:

S_i = متوسط التخفيف عند نهاية منطقة الخلط الأولية.

$g' =$ قابلية طفو الماء الفائض $= g(\rho_s - \rho) / \rho$.

$\rho_s =$ كثافة الماء الفائض.

$\rho =$ كثافة الماء المستقبل.

أدنى تخفيف عند منتصف الريشة، $S_m \cong 0.55 S_i$.

مثال رقم (٣, ٢١): احسب الأبعاد الأولية للرداظة متعددة الفتحات في مجرى مائي لتحقيق تخفيف المجال القريب بحوالي ٢٠ لتصرف ماء فائض بمقدار ١,٥ م^٣/ث عندما يكون متوسط التدفق المنخفض لسبعة أيام وعشر سنوات هو ٥٠ م^٣/ث. وتكون فتحات الرداظة موجهة أفقياً وموازية لاتجاه تدفق النهر. ومتوسط سرعة وعمق التدفق في النهر هي ١ م/ث و ١,٨ م، على الترتيب.

الحل:

من الملاحظات العملية ولأجل التخفيف الأولي S_i يساوي ٢٠، وبفرض أن السرعة في الفتحة V_0 تساوي ٣ م/ث. وباستخدام المعادلة رقم (٣، ١٥١) مع اعتبار أن:

$$u = 1 \text{ m/s}, D = 1.8 \text{ m}, Q_0 = 1.5 \text{ m}^3/\text{s}, \alpha = 0$$

وعن طريق المحاولة والخطأ نجد أن L يساوي ١٦ م.

وبفرض أن تباعد الفتحات \cong عمق ماء النهر (للمجري المائية الضحلة) =

١،٨ م. وبالتالي يكون عدد الفتحات يساوي $16/1.8 \cong 9$.

أيضاً بفرض أن متوسط السرعة في أنبوبة الرذاذ هي ١،٤ م/ث، ومتوسط

قطر أنبوب الرذاذ في حالة التصرف Q_0 يساوي ١،٥ م^٣/ث، هو:

$$D = \sqrt{(1.5/1.4) \times 4/\pi} = 1.17 \text{ m}$$

وبفرض تصرف متساوي تقريباً خلال كل فتحة مع سرعة V_0 تساوي ٣ م/ث، يكون قطر الفتحة:

$$\sqrt{[(1.5/(9 \times 3))] \times 4/\pi} = 0.266 \text{ m}$$

التخفيف S_i المقدر عن طريق المعادلات رقم (٣، ١٥١) ورقم (٣، ١٥٢) ورقم

(٣، ١٥٣) يزداد بارتفاع الريشة حتى سطح الماء. ولتقديرات تمهيدية يمكن إهمال هذه

الزيادة ويمكن تقدير معدل التصرف Q_s عن طريق (Tchobanoglous and Burton 1991):

$$Q_s = S_i Q_0 \quad (٣، ١٥٤)$$

التركيز الأقصى (المركزي) في هذه الريشة C_s يقدر عن طريق:

$$C_s = C_0 / S_m \quad (٣، ١٥٥)$$

ويمكن افتراض أن طول الريشة يكون مساوياً لطول الرذاذ L . وبالتالي فإن ارتفاع

الريشة h_s يعطى بالمعادلة:

$$h_s = Q_s / (u L) \quad (٣، ١٥٦)$$

ويمكن عمل حسابات التصرف الحقلي البعيد باستخدام المعادلات رقم (٣، ١٠٥) ورقم (٣، ١٠٦) مع Q_s = تصرف المصدر، و C_s = تركيز المصدر، و L = طول سطح المصدر الرأسي، و h_s = ارتفاع سطح المصدر الرأسي.

الطرق المائي Water Hammer

من المطلوب تقدير ضغط الطرق المائي عند تصميم خطوط الأنابيب حيث تكون الصمامات أو البوابات التي تقع عند نهاية خط الأنابيب يتم إغلاقها تدريجياً أو بشكل مفاجئ. وأحد الحالات الميدانية الشائعة مصادفتها لذلك هو تحديد ضغط الطرق المائي في بربخ بسبب إغلاق بوابات الطورين. ويمكن الحصول على قيمة محافظة من ΔH (م) بفرض الإغلاق المفاجئ للصمام أو البوابة:

$$\Delta H = a V_0 / g \quad (٣، ١٥٧)$$

حيث إن:

$$V_0 = \text{سرعة السريان الأولية في الأنبوب.}$$

$$a = \text{سرعة موجة الضغط في الأنبوب.}$$

إذا كان الصمام موضوعاً على بعد مسافة L من حوض السد فإن إغلاق الصمام المفاجئ يمكن أن يحدث إذا كان $T \leq 2L/a$ ، حيث T = زمن إغلاق الصمام. وسرعة موجة الضغط تعطى بالمعادلة:

$$a = \sqrt{\left[E_w / (\gamma / g) \left(1 + d E_w / (E_p t) \right) \right]} \quad (٣، ١٥٨)$$

حيث إن:

$$E_w = \text{معامل مرونة الحجمي للماء (كجم / م}^2\text{).}$$

$$E_p = \text{معامل مرونة جدران الأنبوب (كجم / م}^2\text{).}$$

t = سمك جدران الأنبوب (م).

d = القطر الداخلي للأنبوب (م).

لإغلاق بطى للصمام أو البوابة فربما يكون من المفضل استخدام نماذج الحاسب المتاحة (مثلاً، SURGE5; Watters 1984; Streeter 1971).

مثال رقم (٣, ٢٢): حوض سد يتصل بنقطة التوزيع عن طريق خط أنابيب بطول ١٠٠٠ م وقطر ١٥ سم من الفولاذ. تحمل الأنبوب تصرف ٤٤ ل/ث عندما يكون الصمام الواقع عند نقطة التوزيع يتم إغلاقه بسرعة. احسب ضغط الطرق المائي عند الصمام. بعد ٠,٥ ث من إغلاق الصمام، فإنه عندما يتعرض مقياس الضغط الموضوع عند الصمام إلى هبوط مفاجئ في الضغط مشيراً إلى تسريب في خط الأنابيب. احسب موضع التسريب. على اعتبار أن:

$$E_w = 21100 \text{ kg/cm}^2, \quad E_s = 2.04 \times 10^6 \text{ kg/cm}^2$$

$$t = 12 \text{ mm}, \quad \gamma = 1000 \text{ kg/m}^3$$

الحل:

$$\left\{ \left(\gamma / g \right) \left(1 + d E_w / (E_p t) \right) \right\} = (1,000 / 9.81) \left[1 + \left\{ 15 \times 21,100 / (2.04 \times 10^6 \times 1.2) \right\} \right] \\ = 115.116$$

$$a = \sqrt{[21,100 \times 10^4 / 115.116]} = 1351.86 \text{ m/s}$$

$$V = 0.044 / (\pi \times 0.15 \times 0.15 / 4) = 2.49 \text{ m/s}$$

ضغط الطرق المائي:

$$aV / g = 1353.86 \times 2.49 / 9.81 = 343.6 \text{ m}$$

يجب أن تكون الأنبوبة قادرة على تحمل هذا الضغط المفرط.

كما يتضح أن موجة الضغط تصل إلى نقطة التسريب وتعود الاستجابة إلى

الصمام في ٠,٥ ث، أي أن $2L'/a = 0.5$ ، حيث L' = مسافة التسريب من الصمام:

$$L' = 0.5 \times 1353.86 / 2 = 338.46 \text{ m}$$

النماذج الهيدروليكية

Hydraulic Models

بعض نماذج حاسب الملكية العامة الرقمية الشائعة الاستخدام لأنواع مختلفة من التحليلات الهيدروليكية مذكورة وموضحة أدناه:

• نموذج القطاعات الجانبية لسطح الماء HEC-2 (USACE 1991c): هذا النموذج يقوم بحساب القطاعات الجانبية لسطح الماء للتدفقات أحادية البعد المتغيرة تدريجياً في الحالة الثابتة في القنوات الطبيعية أو التي من صنع الإنسان. ويمكن أن يستخدم لحساب أثار السدود أو البنايات في القناة. ويتم عمل الحسابات الهيدروليكية باستخدام نموذج الخطوة القياسية. ويمكن تطبيقه لكل من السريان فوق الحرج وتحت الحرج. وفي السريان تحت الحرج يتم ترتيبهم من مصب النهر إلى منبع النهر. في السريان فوق الحرج يتم ترتيبهم من منبع النهر إلى مصب النهر. ويتم تحديد هندسة القطاعات العرضية من يسار إلى يمين مصب النهر. لدى النموذج القدرة على أداء الحسابات الهيدروليكية خلال الجسور والبرابخ وسدود التدفق الجانبية وتجاوزات السهول الفيضية والتدفقات المتفرعة. وبالإضافة إلى القطاعات الجانبية لسطح الماء يقوم النموذج بحساب سرعات القناة وعلى الضفاف، ومساحات التدفق، والتصرفات، وارتفاع درجة الطاقة، والفواقد، وعرض المصبطة عند كل قطاع عرضي. ويمكن أيضاً أن يقدم توزيع السرعة في الأجزاء المختارة من القطاعات العرضية.

• نظام تحليل النهر HEC-RAS (USACE 1998): هذا النموذج هو برنامج قطاع جانبي لسطح الماء يعتمد على النوافذ، والذي يستبدل نموذج HEC-2 الموصوف سابقاً. ويمكن أن يستخدم البيانات المطورة لنموذج HEC-2، أو يمكن للمستخدم أن

يدخل البيانات بشكل محدد لأجل هذا النموذج. ويتفاعل المستخدم مع النموذج من خلال السطح البيئي التخطيطي للمستخدم لإدارة الملفات، وإدخال وتحرير البيانات، والتحليلات الهيدروليكية، والعروض التخطيطية للمدخلات والمخرجات، وإعداد التقارير. ويمكنه أداء حسابات السريان فوق الحرج وتحت الحرج والمختلطة ويمكنه أن يحاكي تجاوزات طرق الفيضان، والجسور والبرابخ، والانجراف عند الجسور، والتدفقات المتفرعة. ويمكن عرض المدخلات والمخرجات وطباعتها بشكل تخطيطي. وأيضاً يمكن تصدير النتائج المحسوبة إلى ملفات GIS و CADD.

• **القطاعات الجانبية لسطح الماء WSP-2 (USDA 1976):** هذا النموذج يحاكي خصائص التدفق لمجموعة محددة من أحوال المجرى المائي والسهل الفيضي. وهو يقوم بحساب القطاعات الجانبية لسطح الماء في القنوات المفتوحة وتقديرات الفواقد في الضاغط في القطاعات المغلقة، بما فيها الطرق المعبّدة مع فتحات الجسور أو البرابخ. وبصفة عامة يؤدي النموذج نفس حسابات نموذج HEC-2 (USACE 1991c).
• **نموذج تصدع السد DAMBRK (Fread 1988):** وهو نموذج معقد نسبياً

لمحاكاة ارتفاعات سطح الماء الناتجة عن أعطال السد. وهو يشمل مكون خرق لتقدير المواصفات الزمنية والهندسية لمجموعة محددة من العوامل بها خلل. ويقوم النموذج بحساب المنحنى المائي للتدفق في حالة الخلل بما فيها أثار إفراغ مخزون حوض السد وتدفقات حوض السد ويستخدم تقنية التحديد الديناميكي لتقدير ارتفاعات سطح الماء وأزمة وصول موجة فيضان تصدع السد عند قطاعات عرضية مختلفة للسد في اتجاه مصب التيار. ويمكنه أداء الحسابات في حالة السريان تحت الحرج وفوق الحرج والمتغير ويمكن أن يدمج أثار سد الجسور والسدود الأخرى، وتدفقات الانقراض،

وأما حوض السد الناتجة من الانزلاق الأرضي، والسهول الفيضية. وعادةً يتطلب تحليل تصدع النهر استخدام هذا النموذج ويتم أدائه على أنه دراسة خاصة.

• الانجراف والترسيب في الأنهار وأحواض السدود (USACE 1991d) HEC-6:

وهو نموذج أحادي البعد يقوم بحساب أعماق الانجراف أو الترسيب عند قطاعات عرضية مختلفة من القناة أو حوض السد. وتشمل بيانات المدخلات الأساسية هندسة القطاعات العرضية الشبيهة بنموذج HEC-2 (USACE 1991c) وجدول أحمال الرواسب مقابل التصرفات، وتدرج الرواسب المعلقة ومادة القاع عند قطاعات عرضية عديدة. والمنحنيات المائية للتصرفات هي مدخل كدالة فترة من الفترات الزمنية. ويمكن أن يقوم النموذج بأداء حسابات نقل حمل القاع باستخدام واحدة من دوال النقل الـ ١٢ المحتواة في النموذج. ويمكن أن يحاكي ترسيب وانجراف الطين وجزيئات الطمي بالحجم الدقيق، ويقوم بضبط تقديرات نقل الرواسب لأحمال الغسل.

• برنامج تحليل البربخ (CAP 2001): يستخدم هذا النموذج الإجراءات

القياسية الخاصة بالنموذج USGS لحساب التدفق خلال البرابخ. ويمكن أن يقوم بتقدير علاقات مرحلة التصرف للبرابخ المستطيلة والدائرية وقنطرة الأنبوبة والبرابخ الاهليجية والبرابخ الأخرى الغير قياسية الشكل. ويقوم النموذج بحل طاقة الحالة المستقرة أحادية البعد ومعادلات التسلسل لارتفاع سطح الماء من اتجاه منبع التيار وارتفاعات سطح الماء في اتجاه مصب التيار. ويمكن أن يتم تحميله من الموقع:

<http://www.waterengr.com/freeprog.htm>

• نماذج جودة مياه المجاري المائية المحسنة، QUAL2E and QUAL2E-UNCAS

(USEPA 1987a): هذان هما أداتان لتخطيط جودة المياه الذي يمكن تشغيلهما كنماذج

ثابتة أو متحركة. وهما يستخدمان لدراسة أثار أحمال المخلفات على جودة مياه المجرى المائي أو لتحديد خصائص كمية وجودة أحمال المخلفات غير المرحلية كجزء من برنامج أخذ العينات في الحقل. ويمكن استخدامها كذلك لعمل نموذج لأثار الاختلافات اليومية في المتغيرات الجوية على جودة المياه (بشكل أساسي، الأكسجين المذاب والحرارة) أو لاختبار الاختلافات المذابة اليومية التي يتسبب فيها نمو وتنفس الطحالب. وللمodelين القدرة على التحليل غير الأكيد، الخيار لمدخل متغير علم المناخ المتغير الوصول في محاكاة درجة حرارة الحالة المستقرة، والخيار لرسم تركيزات الأكسجين المذاب الملاحظ والمتوقع.

• نموذج منطقة الخلط الهيدروديناميكية ونظام دعم القرار لتصرفات المادة الملوثة في أسطح المياه CORMIX (USEPA 1996a): هذا النموذج يتنبأ بتخفيف ومسار قذف التصرفات المغمورة أحادية الفتحة، وتصرفات الرذاذ المغمورة متعددة الفتحات، وتصرفات سطح الكثافة الاختيارية (موجب، متعادل، سالب) في البيئة الطبقة أو منتظمة الكثافة مع أو بدون التدفق العرضي. ويقوم النموذج باختبار ترابط وتجانس البيانات، ويقوم بتنفيذ النماذج الهيدروديناميكية الملائمة، ويقوم بتفسير النتائج بدلالة معايير التصرف المنتظم. وهو يرشد إلى الخلط الأولي السريع ويفترض وجود تصرف المادة الملوثة المحافظ مع إهمال أي عملية للتفاعل أو التحلل.

• نماذج التخفيف لتصرفات أفرع النهر، PLUMES (USEPA 1994): يعد هذا النموذج مفيداً عند تصميم رذاذات مخرج التصريف حيث يكون السريان المحيط غير طبقي ويكون الجسم المستقبل للماء عميقاً نسبياً. وهو يشمل نموذجين تخفيف أولية معقدين نسبياً ونظامين للعد العشري في الموقع البعيد بسيطين نسبياً. وتشمل المدخلات المطلوبة شكل الفتحة والتباعد والتصريف الكلي وقطر وعمق الريشة

ودرجة ملوحة تفرع النهر والحرارة والظروف المحيطة في الماء المستقبل ومسافة الموقع البعيد للحسابات. ومقارنة بنموذج CORMIX (USEPA 1996a) فإن هذا النموذج أبسط في الاستخدام.

• جودة المياه في حالة أنظمة النهر-حوض السد WQRRS (USACE 1978):

يتكون هذا النموذج من ثلاث وحدات قياس منفصلة: حوض السد وهيدروليكا المجرى المائي ووحدة قياس جودة المجرى المائي. ويمكن تكامل الثلاث وحدات لتحليل جودة مياه حوض النهر الكامل. ويمكن أيضاً تنفيذ هيدروليكا المجرى المائي وحوض السد على أنها نماذج مستقلة. وتعمل وحدة قياس جودة المجرى المائي مع وحدة قياس هيدروليكا المجرى المائي. وتكون وحدة قياس حوض السد قابلة للتطبيق في خزانات تجميع الماء العميقة نسبياً مع فترات الإقامة الطويلة. ويمكن معالجة خزانات تجميع الماء الضحلة ذات السريان السريع خلال الأوقات على أنها مجارى مائية بطيئة الحركة. وتقوم وحدة قياس هيدروليكا المجرى المائي بحساب المتغيرات الهيدروليكية للتدفق المتغير بانتظام في أنظمة السريان المستقرة وغير المستقرة. وتقوم وحدة قياس جودة المجرى المائي بمحاكاة قمة أحمال المادة الملوثة في البيئة الهيدروليكية المستقرة أو غير المستقرة. هذا النموذج يعد معقداً بعض الشيء والمشروعات التي تتضمن استخدام هذا النموذج يجب أن تعامل على أنها دراسات خاصة.

المياه الجوفية GROUNDWATER

تواجد المياه الجوفية وأنواع الوسط المسامي

Occurrence of Groundwater and Types of Porous Media

توجد المياه الجوفية في مسامات التربة أو تشققات الصخور على شكل رطوبة مدمصة أو ماء مستخرج. والماء المدمص هو الماء المسوك بجزئيات التربة ولا يمكن استخراجه إلا بواسطة فرن التجفيف. ويمكن استخراج المياه المدمصة بواسطة النباتات، والصرف بالجاذبية الأرضية، أو عن طريق الضخ. وتعتمد معدلات استخراج الماء على نفاذية الوسط المسامي وكمية المياه المسوكة في التربة أو تشققات الصخور. وتسمى كتلة التربة أو الصخور التي يمكن أن تنتج كميات معقولة من المياه بالطبقة الحاملة للمياه. وتصنف الطبقات الحاملة للمياه من حيث قابليتها لانتقال الماء إلى:

- ١- طبقة المياه الجوفية المحصورة: وهذا النوع من الطبقات يحدها تكوينات غير منفذة من أعلاها وأسفلها.
- ٢- طبقة المياه الجوفية الارتوازية: وهي طبقة المياه الجوفية الارتوازية عندما يكون الضاغط البيزومتري أكبر من مستوى طبقة المياه الجوفية. والضاغط البيزومتري هو الارتفاع الذي تصل إليه المياه الجوفية في أنبوب موضوع في طبقة المياه الجوفية.

٣- طبقة المياه الجوفية الحرة، منسوب المياه الجوفية، أو طبقة المياه الجوفية غير محصورة: وفي هذا النوع من طبقة المياه الجوفية يكون منسوب المياه عند الضغط الجوي بوصفه الحد الأعلى له.

٤- الطبقة المقيدة: هي الطبقة التي تشمل تكوينات شبه منفذة والتي تعيق حركة المياه عبرها، ومنطقة غير منفذة وتمنع حركة المياه عبرها.

٥- طبقة المياه الجوفية شبه محصورة أو المحصورة المتسربة: هي طبقة المياه الجوفية التي يمكن أن تكتسب أو تفقد المياه عن طريق قاع أو قمة طبقة شبه منفذة.

٦- طبقة المياه الجوفية الحرة المتسربة: وهي طبقة المياه الجوفية التي تقع على طبقة شبه منفذة من خلالها يمكن أن تكتسب أو تفقد المياه.

٧- طبقة المياه الجوفية المعلقة: وهي طبقة المياه الجوفية حيث توجد طبقة غير منفذة أو طبقة شبه منفذة لمساحة محدودة التمدد بين الماء الحر في طبقة المياه الجوفية وسطح الأرض. وتحتجز المياه الجوفية في الطبقة غير المنفذة والتي تقع على الطبقة غير المنفذة أو شبه المنفذة.

خواص الوسط المسامي

Properties of Porous Media

يتناول هذا الفصل الخصائص الفيزيائية للأوساط المسامية والماء والتي تستخدم عادة في تحليل سريان وانتقال الماء الجوفي.

وحدة الوزن هي وزن المادة منسوبة لوحدة الحجم، وأما الكثافة فهي وحدة الوزن مقسومة على قيمة عجلة الجاذبية الأرضية، والجاذبية النوعية هي وحدة الوزن للمادة منسوبة إلى وحدة الوزن للماء.

إذا كان V_s هو الحجم المشغول بواسطة حبيبات التربة من الحجم الكلي V ، و V_v حجم الفراغات، و V_w الحجم المشغول بالماء، و W الوزن الكلي للتربة ذات الحجم V ، و γ_w أو γ هي وحدة الوزن للماء، و W_s وزن حبيبات التربة في الحجم V ، و W_w وزن الماء في التربة ذات الحجم V فإن:
وحدة الوزن للجزيئات أو وحدة الوزن لحبيبات التربة:

$$\gamma_s = W_s / V_s$$

وحدة الوزن الظاهرية الجافة للتربة:

$$\gamma_d = W_s / V$$

وحدة الوزن الرطبة للتربة:

$$\gamma_m = (W_s + W_w) / V$$

المسامية الكلية:

$$\phi = V_v / V$$

نسبة الفراغات:

$$e = V_v / V_s$$

المحتوى المائي:

$$\omega = W_w / W_s$$

المحتوى المائي الحجمي:

$$\phi_w = V_w / V_s$$

المحتوى الغازي أو حجم الهواء في منطقة فراغات التربة غير المشبعة:

$$\phi - \phi_w$$

درجة التشبع أو التشبع:

$$S_r = V_w / V_v$$

وحدة الوزن المغمورة لحبيبات التربة:

$$\gamma_s - \gamma_w$$

الحجم الكلي للتربة:

$$V = V_s + V_v$$

الحجم المشغول بالغاز أو الهواء:

$$V_g = V_v - V_w$$

ومما سبق يمكن استنتاج أن:

$$e = \phi / (1 - \phi) \quad \text{أو} \quad \phi = e / (1 + e)$$

$$\gamma_d = (1 - \phi) \gamma_s \quad \text{و}$$

$$\phi_w = (\omega \gamma_s) / \gamma_w \quad \text{و} \quad \gamma_m = \gamma_d + \phi \gamma_w \quad \text{وللتربة المشبعة}$$

ويوضح الجدول رقم (٤,١) قيم المسامية، ووحدة أوزان الحبيبات، ووحدة

الوزن الظاهرية الجافة لبعض الأوساط المسامية (USEPA 1985).

ويلخص الجدول رقم (٤,٢) الخصائص الفيزيائية للماء النقي عند الضغط

الجوي (USEPA 1985).

النفاذية والتوصيل الهيدروليكي Permeability and Hydraulic Conductivity

تعرف خاصية انتقال الماء خلال الوسط المسامي إما بالنفاذية أو التوصيل

الهيدروليكي. والنفاذية أو النفاذية الذاتية k (سم^٢) هي خاصية مرتبطة بالوسط

المسامي وتُعرف بالمعادلة:

$$(٤,١) \quad k = C d^2$$

الجدول رقم (٤، ١). المسامية، ووحدة أوزان الجزئيات، ووحدة الأوزان الظاهرية الجافة للأوساط المسامية.

وحدة الأوزان الظاهرية الجافة (جم/سم ^٣)	وحدة أوزان الجزئيات (جم/سم ^٣)	المسامية (%)	المادة
١,٧٢-١,١٨	٢,٧٧-٢,٥١	٥٦,٩-٣٤,٢	طين
١,٧٩-١,٠١	٢,٧٩-٢,٤٧	٦١,١-٣٣,٩	غروي
١,٩٩-١,١٣	٢,٧٧-٢,٥٤	٥٣,٣-٢٦,٠	رمل ناعم
١,٩٣-١,٢٧	٢,٧٧-٢,٦	٤٨,٩-٢٨,٥	رمل متوسط
١,٩٤-١,٤٢	٢,٧٣-٢,٥٢	٤٦,٤-٣٠,٩	رمل خشن
١,٩٩-١,٦	٢,٧٦-٢,٦٣	٣٨,٥-٢٥,١	حصى ناعم
٢,٠٩-١,٤٧	٢,٧٩-٢,٦٥	٤٤,١-٢٣,٧	حصى متوسط
٢,٠٨-١,٦٩	٢,٧٦-٢,٦٤	٣٦,٥-٢٣,٨	حصى خشن
١,٦٢-١,٢٥	٢,٧٤-٢,٦٤	٥٧,٢-٤٤,٠	رواسب طفلية
١,٧٠-١,٣٣	٢,٧٠-٢,٦٣	٥٠,٦٧-٣٩,٩	كثبان رملية
١,٩١-١,٦١	٢,٧٧-٢,٦٤	٤٠,٦-٢٩,٥	أرض محروثة، غروية سائدة
٢,١٢-١,٦٩	٢,٧٣-٢,٦٣	٣٦,٧-٢٢,١	أرض محروثة، رملية سائدة
٢,١٢-١,٧٢	٢,٧٨-٢,٦٧	٣٠,٣-٢٢,١	أرض محروثة، صخرية سائدة
١,٦٦-١,١١	٢,٧٣-٢,٧٠	٥٩,٣-٣٨,٤	انجراف جليدي، غروية سائدة
١,٨٣-١,٣٦	٢,٧٥-٢,٦٥	٤٧,٦-٣٦,٢	انجراف جليدي، رملية سائدة
١,٧٨-١,٤٧	٢,٧٥-٢,٦٥	٤١,٥-٣٤,٦	انجراف جليدي، صخرية سائدة
٢,٣٢-١,٣٤	٢,٧٢-٢,٥٦	٤٩,٣-١٣,٧	حجر رملي (حبيبات دقيقة)
١,٨٦-١,٥٠	٢,٦٩-٢,٦٤	٤٣,٦-٢٩,٧	حجر رملي (حبيبات متوسطة)
١,٨٦-١,٥٠	٢,٦٩-٢,٣٤	٤١,٠-٢١,٢	حجر غروي

تابع الجدول رقم (٤, ١).

وحدة الأوزان	وحدة أوزان	المسامية (%)	المادة
الظاهرية الجافة	الجزئيات		
(جم / سم ^٣)	(جم / سم ^٣)		
٢,١٢-١,٣٥	٢,٨٩-٢,٥٢	٤٥,٢-٤١,٢	حجر طيني
١,٦٠-١,٣٧	٢,٧٦-٢,٥٠	٩,٧-١,٤	صلصال
٢,٧٢-٢,٢٠	٢,٨٨-٢,٤٧	٥٥,٧-٦,٦	حجر جيرى
٢,٦٩-١,٢١	٢,٨٨-٢,٦٨	٣٢,٧-١٩,١	غني بالرخام
٢,٢-١,٨٣	٢,٧٢-٢,٦٤	٥٦,٦-٣٤,٣	جرانيت (معالج)
١,٧٨-١,٢١	٢,٨٤-٢,٧٠	٣٥,٠-٣,٠	بازلت
٢,٨٩-١,٩٩	٣,١٥-٢,٩٥	٤٩,٣-٤,٤	صخر متبلر

المصدر: (USEPA (1985).

الجدول رقم (٤, ٢). الخواص الطبيعية للماء النقي.

درجة الحرارة	وحدة الوزن	اللزوجة الديناميكية	اللزوجة الكينماتيكية	الانضغاطية
(°م)	(جم / سم ^٣)	(جم / سم.ث)	(سم ^٢ / ث)	(سم.ث / جم)
٤	١,٠٠٠٠٠	٠,٠١٥٦٧	٠,٠١٥٧	١٠×٤,٩٥٩ ^{-١١}
١٠	٠,٩٩٩٧٣	٠,٠١٣٠٧	٠,٠١٣١	١٠×٤,٧٨٩ ^{-١١}
١٥	٠,٩٩٩١٣	٠,٠١١٣٩	٠,٠١١٤	١٠×٤,٧٦٨ ^{-١١}
٢٠	٠,٩٩٨٢٣	٠,٠١٠٠٢	٠,٠١٠٠٤	١٠×٤,٥٩١ ^{-١١}
٢٥	٠,٩٩٧٠٨	٠,٠٠٨٩٠	٠,٠٠٨٩٣	١٠×٤,٥٢٤ ^{-١١}

المصدر: (USEPA (1985).

حيث إن:

 d = الحجم المتوسط لحبيبات الوسط المسامي (سم). C = معامل.

ويعتمد المعامل C على المسامية، وشكل المسام، وشكل مسار المسام. وتراوح قيم C للرمل من 10^{-1} إلى 10^{-4} . ويبين الجدول رقم (٤،٣) القيم النموذجية لمتوسط حجم الحبيبات و k (USEPA 1985).

الجدول رقم (٤،٣). القيم النموذجية للنفاذية k ومعامل التوصيل الهيدروليكي K .

المادة	متوسط حجم الحبيبات (مم)	k (سم ^٢)	K (سم/ث)
طين بحري غير مصقول	٠,٠٠٩ - ٠,٠٠١	١٢-١٠ - ١٦-١٠	٧-١٠ - ١١-١٠
غروي غير متماسك	٠,٠٧٤ - ٠,٠٠٩	٨-١٠ - ١٢-١٠	٣-١٠ - ٧-١٠
رمل غروي	٠,٢٩٧ - ٠,٠٧٤	٦-١٠ - ١٠-١٠	١-١٠ - ٥-١٠
رمل نظيف	٤,٧٦ - ٠,٢٩٧	٥-١٠ - ٩-١٠	١ - ٤-١٠
حصى نظيف	٧٩,٢ - ٤,٧٦	٣-١٠ - ٦-١٠	١٠٠ - ٠,١٠
حجر رملي	-	٩-١٠ - ١٣-١٠	٤-١٠ - ٨-١٠
حجر جبري	-	٩-١٠ - ١٢-١٠	٤-١٠ - ٧-١٠
حجر جبري حمضي	-	٥-١٠ - ٩-١٠	١ - ٤-١٠
صلصال	-	١٢-١٠ - ١٦-١٠	٧-١٠ - ١١-١٠
كسر الحجارة أو حجر متحول	-	٧-١٠ - ١١-١٠	٢-١٠ - ٦-١٠
فحم متحجر *	-	-	٤-١٠ × ١,٢
			٣-١٠ × ٢,٣

المصدر: (USEPA 1985).

* المصدر: (Bradley and Gilvear 2000).

اعتماداً على الاختلاف المكاني لخصائص انتقال الماء، يصنف الوسط المسامي إلى متجانس أو غير متجانس. الوسط المسامي المتجانس هو الذي له نفس النفاذية عند جميع النقاط، وإذا كان غير ذلك فإنه يصنف على أنه غير متجانس. ويعتبر الوسط المسامي متماثل الخواص إذا كانت النفاذية متساوية في كل الاتجاهات (الأفقية، الرأسية، الخ). وخلاف ذلك يقال أنه متباين الخواص. ويكون الوسط المسامي متجانس ومتباين الخواص إذا اختلفت قيمة التوصيل الهيدروليكي في الاتجاهات المختلفة (K_x, K_y ، في الاتجاهين السيني والصادي على التوالي) ولكن لا تتغير من نقطة إلى أخرى. ويعتبر متماثل الخواص وغير متجانس إذا كانت $K_1=K_{x1}=K_{y1}$ عند النقطة ١ و $K_2=K_{x2}=K_{y2}$ عند النقطة ٢ (أي أن التوصيل الهيدروليكي في الاتجاهات المختلفة له نفس القيم والتغير من نقطة إلى نقطة). ويعتبر متباين الخواص وغير متجانس إذا كانت $K_{x1} \neq K_{y1} \neq K_{x2} \neq K_{y2}$.

يمكن إيجاد معامل التوصيل الهيدروليكي المكافئ \bar{K} ، للسريان المتعامد مع عدد n من الطبقات المختلفة السمك ($H_1, H_2, H_3, \dots, H_n$) ومعامل التوصيل الهيدروليكي لها ($K_1, K_2, K_3, \dots, K_n$) من المعادلة التالية:

$$\bar{K} = (H_1 + H_2 + H_3 + \dots + H_n) / [(H_1/K_1 + H_2/K_2 + H_3/K_3 + \dots + H_n/K_n)] \quad (٤, ٢)$$

وفي بعض النماذج الرياضية لسريان المياه الجوفية مثل (MODFLOW, USEPA) (2000)، تعرف الموصلية C للسريان خلال وحدة المساحات للطبقة ذات السمك H ، معامل التوصيل الهيدروليكي لها K ، من خلال:

$$C = K/H \quad (٤, ٣)$$

وهكذا تصبح المعادلة رقم (٤,٢) كالتالي:

$$\bar{C} = \bar{K} / (H_1 + H_2 + H_3 + \dots + H_n)$$

$$(٤,٤) \quad (1/\bar{C}) = [1/C_1 + 1/C_2 + 1/C_3 + \dots + 1/C_n] \quad \text{و}$$

ومعامل التوصيل الهيدروليكي المكافئ للسريان الموازي للطبقات n بسماكات ومعاملات توصيل هيدروليكي مختلفة يمكن إيجادها من المعادلة التالية:

$$(٤,٥) \quad \bar{K} = (K_1 H_1 + K_2 H_2 + K_3 H_3 + \dots + K_n H_n) / [(H_1 + H_2 + H_3 + \dots + H_n)]$$

مثال رقم (٤,١): في نموذج سريان للمياه الجوفية، الطبقة الأولى سمكها ١٦ م والطبقة الثانية سمكها ٢٣,٥ م، ومعامل التوصيل الهيدروليكي الرأسي للطبقتين الأولى والثانية يساوي ٢,٠ و ٥,٠ م/يوم، على التوالي. احسب الموصلية بين هاتين الطبقتين.

الحل:

$$C_1 = K_1 / H_1 = 2.0 / 16.0 = 0.125 \text{ day}^{-1}$$

$$C_2 = K_2 / H_2 = 5.0 / 23.5 = 0.2128 \text{ day}^{-1}$$

و

$$1/C = 1/C_1 + 1/C_2$$

وحيث

أو

$$C = (C_1 C_2) / (C_1 + C_2) = (0.125 \times 0.2128) / (0.125 + 0.2128) = 0.0787 \text{ day}^{-1}$$

السريان المستقر أحادي الاتجاه للمياه الجوفية

One-Dimensional Steady-State Groundwater Flow

السريان الدارسي Darcian Flow

إن سريان المياه الجوفية يرضخ لقانون دارسي:

(٤,٦)

$$V = K i$$

إذا كان رقم رينولد (Re)، $Re = V d / \nu$ ، يتراوح بين ١ و ١٠. حيث إن:

V = سرعة السريان لوحدة المساحات لكتلة التربة والتي تشمل مساحة الفراغات.

K = معامل التوصيل الهيدروليكي.

i = الميل الهيدروليكي ويمثل بجيب زاوية ميل خط التدرج الهيدروليكي.

d = متوسط حجم الحبيبات للوسط المسامي.

ν = اللزوجة الكينماتيكية للماء.

ويعتمد معامل التوصيل الهيدروليكي على نفاذية الوسط المسامي وكذلك اللزوجة الكينماتيكية للماء ويمكن تعريفه بالمعادلة:

(٤,٧)

$$K = k g / \nu$$

القيم النموذجية لـ K مبينة في الجدول رقم (٤,٣). السرعة V خلال الفراغات للمادة المسامية حيث الملوثات الذائبة في الماء ويمكنها التحرك تعرف بسرعة النز، السرعة الخطية أو سرعة المسام توجد من المعادلة:

(٤,٨)

$$v = V / \phi$$

حيث ϕ المسامية. ويمكن إيجاد السريان الثابت للماء الجوفي من الخزان إلى المجرى لكل وحدة عرض متعامد على السريان للطبقة الضيقة من المعادلة التالية:

$$(٤, ٩) \quad q = K i A = K [(H_1 - H_2)/L] (B \times 1.0)$$

حيث إن:

$$q = \text{التصرف (م}^3/\text{ث.)}$$

$$i = \text{الميل الهيدروليكي} = [(H_1 - H_2)/L]$$

$$A = \text{مساحة الوسط المسامي المتعامد على اتجاه خط الميل الهيدروليكي.}$$

$$H_1 = \text{الضغوط في الخزان الجوفي فوق خط المقارنة.}$$

$$H_2 = \text{الضغوط في المجرى فوق نفس خط المقارنة.}$$

$$B = \text{سمك الطبقة الصخرية الضيقة.}$$

وفي حالة الطبقة الصخرية غير الضيقة يفترض أن ميل خط الماء صغير جداً ويمكن إيجاده من ظل الزاوية θ بدلاً من جيب الزاوية θ حيث θ هي زاوية ميل خط التدرج الهيدروليكي، ويفترض أن سريان الماء الجوفي منتظم وأفقي، وتعرف هذه بفرضية ديوبتي (Dupuit Todd 1980). وبهذه الفرضية فإن:

$$(٤, ١٠) \quad q = -K (h \times 1.0) dh/dx = - (K/2) dh^2/dx$$

حيث h هو الضغوط فوق مستوى المقارنة عند المسافة x من الخزان، وعلامة السالب تشير إلى أن الضغوط يقل في الاتجاه الموجب لـ x ، أي بزيادة قيمة x ، وبتكامل المعادلة رقم (٤, ١٠) بالنسبة لـ H_1 و H_2 ، في الخزان والمجرى على الترتيب، يكون:

$$(٤, ١١) \quad q = (K/2 L) [H_1^2 - H_2^2]$$

وفي أي وقت تقدر q والضغوط h والمسافة x ويمكن تقدير شكل السطح من المعادلة:

$$(٤, ١٢) \quad q = (K/2 x) [H_1^2 - h^2]$$

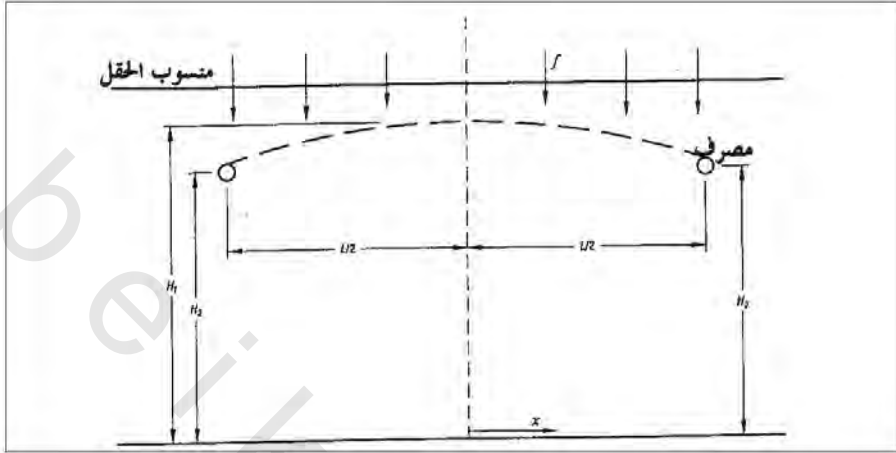
والمعادلتان رقم (٤, ١١) ورقم (٤, ١٢) لا تشملان الواجهة التي تتكون عبر ميل خط جانب المجرى فوق سطح الماء في النهر، وبسبب هذا وبناءً على فروض ديوبتي فإن

خط الماء المحسوب من هذه المعادلات لا يكون دقيقاً، وأياً كان فللميول الأفقية نسبياً والبعيدة عن جوانب المجرى، خط المياه المتوقع والمحسوب يكون قريباً بصورة معقولة.

ويمكن استخدام المعادلة رقم (٤, ١٠) كتقدير مبدئي للمسافة بين أنابيب الصرف في المناطق الزراعية "أنابيب الصرف الزراعي" حيث يفترض إن الرش من الحقول المروية بمعدل ثابت. وللحالة التي يتغير فيها الرش باختلاف موسم الري تستخدم طريقه أكثر تعقيداً (انظر الجزء الذي بعنوان "السريان نحو المصارف والمسافات بين المصارف").

ويمثل الشكل رقم (٤, ١) قطاع عرضي رأسي من الطبقة الصخرية المائية، والذي موضح به مصرفين متوازيين تفصلهما مسافة قدرها L ، وكما هو موضح يمكن أن يكون السريان $Q_x = f_x$ ويساوي التصريف المار خلال قطاع عرضي من وحدة الطول الموازية للمصرف الواقع على مسافة قدرها x من نقطة المنتصف بين المصرفين، حيث إن $f =$ معدل التسرب. وأيضاً من المعادلة رقم (٤, ١٠)، $Q_x = -(K/2)dh^2/dx$ وبالمساواة بين قيمتي Q_x وإجراء التكامل نجد أن $h^2 = -fx^2/K + C$ وعندما تكون $x = 0$ ، $h = H_1$ ، وعندما تكون $x = L/2$ ، $h = H_2$ ، فإن:

$$(٤, ١٣) \quad L = 2\sqrt{[(H_1^2 - H_2^2)K/f]} \quad \text{أو} \quad H_1^2 - H_2^2 = fL^2/4K$$



الشكل رقم (٤, ١). الرسم التخطيطي لأنابيب الصرف.

مثال رقم (٤, ٢): في مساحة مروية، يمكن افتراض أن التسرب منتظماً عند معدل متوسط يساوي ٠,٩٨ م/سنة. وهناك طبقة غير منفذة على مسافة ٩ م أسفل مستوى الحقل. يفترض وضع مصارف مغطاة على عمق ٢,٣ م أسفل مستوى الحقل، ويتم تصميم نظام الصرف للحفاظ على سطح الماء الأرضي في الحقل على بعد ١,٠٨ م على الأقل أدنى من مستوى سطح الأرض. احسب المسافة التمهيدية بين المصارف، إذا كان معامل التوصيل الهيدروليكي للتربة الموجودة تحت الحقل يساوي ٣,٠٥

م/يوم.

الحل:

$$H_1 = 9.0 - 1.08 = 7.92 \text{ m}$$

$$H_2 = 9.0 - 2.3 = 6.7 \text{ m}$$

$$f = 0.98 / 365 = 0.00268 \text{ m/day}$$

إذن

$$L = 2 \sqrt{\left[(7.92^2 - 6.7^2) \times 3.05 / 0.002685 \right]} = 285 \text{ m}$$

السريان غير الدارسي Non-Darcian Flow

لا يصلح قانون دارسي في التطبيق للسريان الذي يكون فيه $Re \gg 10$ حيث إن Re = رقم رينولد $= qd/v$ ، q = التصرف النوعي أو سرعة دارسي، d = قطر المسام النموذجي (المتوسط أو d_{10})، و v = اللزوجة الكينماتيكية للمياه الجوفية. ويمكن أن يكون هذا في السريان الذي يحدث خلال الأوساط الخشنة المسامية، مثل الخشوة الصخرية والدكة الحجرية والحصى الخشن أو الجلاميد. وتمثل المعادلة التالية السريان خلال الصخور أحادية الحجم (منتظمة الحجم)، والتي لها جاذبية نوعية تقدر بحوالي 2.87 (Leps 1973):

$$V_v = W m^{0.5} i^{0.54} \quad (٤, ١٤)$$

حيث إن:

V_v = السرعة المتوسطة في الفراغات الموجودة في الأوساط المسامية الخشنة (سم/ث).

W = الثابت العملي لمادة ما.

m = متوسط نصف القطر الهيدروليكي (سم).

i = الميل الهيدروليكي.

والقيم النموذجية للمعامل $(W m^{0.50})$ موضحة في الجدول رقم (٤, ٤).

والمعادلة العملية لحساب السرعة خلال الفراغات تعتمد على تجارب السريان خلال الدكة الحجرية والتي تتراوح قيمة d_{10} فيها من ١٥ إلى ٩٧ مم وتكون كالتالي (Abt et al. 1991):

$$V_v = 0.79 (g \times d_{10} \times i)^{0.50} \quad (٤, ١٥)$$

حيث إن:

$$V_v = \text{السرعة خلال الفراغات (م/ث)}.$$

$$g = 9,81 \text{ م/ث}^2.$$

$$d_{10} = \text{حجم الحبيبة (م) والتي يكون فيها } 10\% \text{ من الحصى أكثر نعومة.}$$

الجدول رقم (٤، ٤). القيم النموذجية للمعامل $Wm^{0.50}$.

$Wm^{0.50}$	$m^{0.50}$	حجم الحبيبات
(سم/ث)	(سم ^{٠.٥})	(سم)
٢٥,٤٠	٠,٤٨	١,٩٠
٤٠,٦٤	٠,٧٨	٥,٠٨
٧١,١٢	١,٣٨	١٥,٢٤
٨١,٢٨	١,٥٦	٢٠,٣٢
١٤٧,٣٢	٢,٨١	٦٠,٩٦
٢١٣,٣٦	٤,٠٤	١٢١,٩٢

المصدر: (Leps 1973).

مثال رقم (٤، ٣): جدول جبلي ميل قاعه ٠,٠٢٥، ويغذي طبقة مسامية سمكها ١ م تستند على طبقة الصخر الطبيعي، وأثناء فترات السريان المنخفض يكون عمق الماء المتدفق حوالي ١٠ سم فوق الطبقة المسامية. احسب الكمية الكلية للمياه المتدفقة من الجدول أثناء فترة السريان المنخفض إذا كان عرض قاع الجدول المتوسط يساوي ٥ م. وإن المسامية المتوسطة للطبقة المسامية تساوي ٠,٣٠، ومتوسط حجم الحجر يساوي ٦٠ سم، و d_{10} تساوي ٢٥ سم.

الحل:

من المعادلة رقم (٤, ١٤) والجدول رقم (٤, ٤)

$$V_v = 147 \times (0.025)^{0.54} = 20 \text{ cm/s}$$

وبالتبديل أو باستخدام المعادلة رقم (٤, ١٥)

$$V_v = 0.79 \sqrt{(9.81 \times 0.25 \times 0.025)} = 0.196 \text{ m/s}$$

وهي تعطي تقريباً نفس الناتج من المعادلة (٤, ١٤).

وباستخدام اللزوجة الكينماتيكية والتي تساوي $0.13 \times 10^{-3} \text{ m}^2/\text{s}$ للمياه، فإن

$$R_v = Vd/\nu = 0.20 \times 0.60 \times 10^3 / 0.13 = 9.23 \times 10^4$$

أي أن التدفق خلال قاع الطبقة المسامية يبعد كثيراً عن المدى الذي يصلح معه تطبيق قانون دارسي.

مساحة السريان خلال الطبقة المسامية:

$$5.0 \times 1.0 \times 0.030 = 1.5 \text{ m}^2$$

والتصرف Q خلال قاع الطبقة المسامية:

$$1.5 \times 0.20 = 0.30 \text{ m}^3/\text{s}$$

ويمكن أن يقدر التدفق في القنوات المفتوحة فوق الجلاميد باستخدام معادلة

ماننق (معادلة رقم (٣, ٣)). معامل ماننق n لقاع الجلامود يساوي ٠,٠٥، وعمق المياه

y يساوي ٠,١٠ م ويساوي تقريباً R_h (نصف القطر الهيدروليكي)، ومساحة التدفق

تساوي:

$$A = 5.0 \times 0.10 = 0.50 \text{ m}^2$$

والتصرف Q فوق قاع الجلامود:

$$(1/n) R_h^{2/3} (\sqrt{S}) A = (1/0.05) (0.10^{2/3}) (\sqrt{0.025}) (0.50) = 0.34 \text{ m}^3/\text{s}$$

التدفق الكلي:

$$0.30 + 0.34 = 0.64 \text{ m}^3 / \text{s}$$

السيان المستقر نصف القطري

Steady-State Radial Flow

السيان لبئر منفرد Flow to a Single Well

علو الارتفاع h ، عند مسافة نصف قطرية r ، لبئر يضخ عند معدل ثابت Q ، في طبقة محصورة يعطى بالمعادلة التالية (Bear 1979 ; Todd 1980):

$$(٤, ١٦) \quad h - h_w = [Q / (2\pi KB)] \ln(r / r_w)$$

حيث إن:

h_w = ارتفاع سطح الماء في البئر فوق قاعدة الطبقة المحصورة.

r_w = نصف قطر البئر.

K = معامل التوصيل الهيدروليكي.

B = سمك الطبقة المحصورة الحاملة للمياه.

وبالابتعاد عن البئر، فإن تأثير الضخ يتلاشى تدريجياً، ويحدث هذا عند مسافة

تساوي R ، من البئر وتسمى نصف قطر دائرة التأثير. والهبوط عند سطح البئر s_w ،

وهو الفرق بين الارتفاع h_0 ، عند مسافة R والارتفاع h_w في البئر.

$$(٤, ١٧) \quad s_w = [Q / (2\pi KB)] \ln(R / r_w)$$

وكذلك، فالهبوط عند مسافة r ، من البئر:

$$(٤, ١٨) \quad s_r = h_0 - h = [Q / (2\pi KB)] \ln(R / r)$$

والسعة النوعية s_p ، للبئر تعطى بالمعادلة:

$$(٤, ١٩) \quad s_p = (Q / s_w) = (2\pi KB) / \ln(R / r_w)$$

ويمكن أن يحدد معامل التوصيل الهيدروليكي للطبقة الحاملة للماء إذا كانت الارتفاعات لبثري مراقبة معروفة، على سبيل المثال:

$$(٤,٢٠) \quad K = \left[Q / \{ 2\pi B (h_2 - h_1) \} \right] \ln(r_2 / r_1)$$

حيث h_1 و h_2 هي الارتفاعات في آبار المراقبة الموجودة على مسافة r_1 و r_2 من بئر الإنتاج، على التوالي.

باستخدام فرضيات دويوت، فإن التدفق القطري في الطبقة غير المحصورة يعطى بالمعادلة التالية:

$$(٤,٢١) \quad h^2 - h_w^2 = (Q / \pi K) \ln(r / r_w)$$

و

$$(٤,٢٢) \quad h_0 - h_w^2 = (Q / \pi K) \ln(R / r_w)$$

وبوضع $h_0 + h_w$ يساوي $2H$ ، فإن الهبوط في الطبقة الحاملة للمياه يمكن أن يقرب باستخدام:

$$(٤,٢٣) \quad s_w = \left[Q / (2\pi KH) \right] \ln(R / r_w)$$

وبهذا التقريب، فإن معادلات التدفق المحصور يمكن أن تستخدم للتحليل التمهيدي للتدفق في طبقات الماء الأرضية غير المحصورة أيضاً.

تراكم المياه الجوفية Groundwater Mound

يؤدي التسرب الناشئ عن إعادة ملء حوض النهر، أو سطح خزان المياه، أو مرادم النفايات المفتوحة، إلى تراكم المياه الجوفية. ولتقدير مدى تراكم المياه الجوفية في مثل هذه الحالات، فإنه يمكن تقريب مساحة إعادة الملء عن طريق مساحة دائرية مكافئة يبلغ طول نصف قطرها R . وباستخدام فرضيات دويوت، فإن سطح المياه الأرضية الجوفية داخل الركام يمكن أن يتم تقريبه باستخدام اثنين من المنحنيات

المكافئة. يمتد المنحنى الأول من المركز إلى محيط مساحة إعادة الملء. ويمتد المنحنى الثاني من المحيط إلى سطح الماء الأرضي الثابت في المنطقة، والذي بعيد نسبياً عن مساحة إعادة الملء ولا يتأثر بشكل يمكن تقديره بالتراكم (Bouwer *et al.* 1999). ومعادلة المنحنى الأول:

$$(٤,٢٤) \quad H_1^2 - h^2 = i r^2 / (2K), \quad 0 \leq r \leq R$$

حيث إن:

H_1 = ارتفاع المياه الجوفية عند مركز مساحة إعادة الملء فوق القاعدة غير المنفذة.

h = ارتفاع المياه الجوفية عند مسافة نصف قطرية r .

i = معدل إعادة الملء (ل/ زمن).

K = معامل التوصيل الهيدروليكي.

ومعادلة المنحنى الثاني:

$$(٤,٢٥) \quad h^2 - H_2^2 = (i R / K) \ln(R_0 / r), \quad R \leq r \leq R_0$$

حيث إن:

h = ارتفاع المياه الجوفية عند مسافة نصف قطرية r ، من مركز مساحة إعادة

الملء.

H_2 = ارتفاع سطح الماء الأرضي الثابت في المنطقة فوق القاعدة غير المنفذة.

R_0 = المسافة النصف قطرية لسطح الماء الأرضي من مركز مساحة إعادة الملء.

والمسافة النصف قطرية R_0 ، والتي تصل لها المياه الجوفية المتراكمة يمكن تقديرها بالمعادلة:

$$(٤,٢٦) \quad H_1^2 - H_2^2 = (i R^2 / 2K) [1 + 2 \ln(R_0 / R)]$$

مثال رقم (٤, ٤): معدل التسرب من بحيرة ساحلية أبعادها ٥٥٠ م × ٤٨٠ م في موقع صناعي يقدر أن يصل إلى ٠,٠٠١٥ م/يوم. ومتوسط عمق الماء في البحيرة ٣ م. يقع قاع البحيرة على بعد ١٨٠ م ومتوسط ارتفاع سطح الماء الأرضي في المنطقة ١٧٩ م. ويمكن وجود مستوى الصخر الطبيعي على بعد ١٦٠ م. ومعامل التوصيل الهيدروليكي للطبقة الحاملة يساوي ٢ م/يوم. احسب امتداد المياه الجوفية المتراكمة وشكل سطح الماء الأرضي المتغير حول البحيرة.

الحل:

نصف القطر المكافئ للبحيرة:

$$R = \sqrt{\{(500 \times 480) / \pi\}} = 276 \text{ m}$$

الارتفاع الهيدروليكي عند منتصف البحيرة فوق مستوى الصخر الطبيعي:

$$H_1 = 180 + 3 - 160 = 23 \text{ m}$$

الارتفاع الهيدروليكي عند سطح الماء الأرضي الثابت فوق مستوى الصخر الطبيعي:

$$H_2 = 179 - 160 = 19 \text{ m}$$

ومن المعادلة رقم (٤, ٢٦) فإن:

$$R_n = R \exp \left[\left\{ (H_1^2 - H_2^2) K / (i R^2) \right\} - 0.5 \right] = 276 \times \exp \left[\left\{ (23^2 - 19^2) \right. \right. \\ \left. \left. \times 2.0 / (0.0015 \times 276^2) \right\} - 0.5 \right] = 3168 \text{ m}$$

ومن المعادلة رقم (٤, ٢٤)، فإن شكل التراكم من $r = 0$ إلى $r = R = 276 \text{ m}$ يكون:

$$(23^2 - h^2) = 0.0015 \times r^2 / (2 \times 2)$$

إذا

$$h^2 = 529 - 0.000375 r^2$$

ومن المعادلة رقم (٤, ٢٥)، فإن شكل التراكم من $r = R = 276 \text{ m}$ إلى

$$r = R_n = 3168 \text{ m} \text{ يكون:}$$

$$h^2 = 361 + (0.0015 \times 276 \times 276 / 2) \ln(3.168/r)$$

إذا

$$h^2 = 361 + 57.132 \ln(3.168/r)$$

وارتفاع التراكم فوق مستوى الصخر الطبيعي عند محيط البحيرة (أي عند

$$(r = R = 276 \text{ m})$$

$$= \sqrt{[529 - (0.000375 \times 276 \times 276)]} = \sqrt{500.43} = 22.37 \text{ m}$$

ارتفاع التراكم عند محيط البحيرة:

$$= 160 + 22.37 = 182.37 \text{ m}$$

منطقة التأثير Capture Zone

منطقة التأثير هي المنطقة التي تسحب منها المياه الجوفية من خلال آبار الضخ. وإذا لم يكن هناك تدفق بيئي للمياه الجوفية ولا نهر أو حاجز غير منفذ داخل مخروط تأثير البئر، فإن منطقة الاحتجاز يمكن أن تعرف بنصف قطر التأثير. ويوجد عادة تدفق بيئي للمياه الجوفية في طبقات المياه الأرضية في الأماكن التي تتركب فيها آبار الاستخراج أو إعادة الملء، ويجب أن تقدر مناطق التأثير لمعدلات محددة من الضخ لمعرفة المنطقة التي يمكن أن يستخرج منها المياه الجوفية والمواد المذابة في المياه الجوفية عن طريق استخدام نظام من الآبار. وبالنسبة لأنظمة للطبقات الحاملة للمياه المتعددة ومعدلات الاستخراج أو الحقن المتغيرة، من خلال آبار متعددة، فإنه يجب استخدام النماذج الرقمية (مثل، USGS 2000b). وبالنسبة للآبار المتعددة في طبقات حاملة للمياه متجانسة المثل، فيمكن عندئذ استخدام نماذج أبسط نسبياً (e.g., Bair et al. 1992). وفي حالة بئر واحد أو اثنين أو ثلاثة آبار تضخ بمعدل ثابت من طبقة حاملة للمياه متجانسة ومتماثلة مع سريان منتظم للمياه الجوفية، فإنه يمكن أن تقدر منطقة التأثير

عن طريق استخدام المعادلات التحليلية (Javandel and Tsang 1986; Prakash 1995). وبالنسبة لبئر منفرد يقع في نقطة الأصل، وله سرعة سريان منتظمة للمياه الجوفية v ، في الاتجاه السالب للمحور x فإن:

$$(٤, ٢٧) \quad x_s = -Q / (2\pi v B)$$

$$(٤, ٢٨) \quad y / x = \pm \tan(2\pi v B y / Q)$$

حيث إن:

x_s = موقع نقطة الركود على المحور x .

Q = تصرف البئر.

B = سمك طبقة الماء الأرضي.

x و y هي إحداثيات الخط الذي يحدد منطقة التأثير.

توضح نقطة الركود الموقع الذي تمتد فيه منطقة التأثير على طول المحور x على طول المنحدر من البئر، وتمثل المعادلة رقم (٤, ٢٨) منطقة التأثير. والجانب الأيمن من المعادلة رقم (٤, ٢٨) يكون موجب الإشارة ليدل على منطقة التأثير في الاتجاه الموجب من المحور y ، ويكون سالب الإشارة ليدل على منطقة التأثير في الاتجاه السالب من المحور y . وبالنسبة لبئرين يقعان على طول المحور x عند $(0, b)$ و $(0, -b)$ ، فإن معادلاتهما:

$$(٤, ٢٩) \quad x_s = \left[-a \pm \sqrt{a^2 - 4v^2 b^2} \right] / (2v)$$

و

$$(٤, ٣٠) \quad 2xy / (x^2 - y^2 + b^2) = -\tan(2\pi v B y / Q)$$

حيث إن:

$$a = Q / (\pi B), a \geq 2vb$$

وإذا كانت $a < 2vb$ ، فسيكون لكل بئر منطقة تأثير منفصلة. وعلى المحور y ، حيث $x \rightarrow \infty$ ، فإن منحنى شكل منطقة التأثير يقترب إلى الخط المستقيم $y = \pm Q/2vB$.

مثال رقم (٤, ٥): بئر إنتاج ذو معدل تصرف ثابت يبلغ ٦, ٦٨ ل/ث مخترقاً سمك ٣٠ م من طبقة حاملة للمياه محصورة حيث إن السرعة الطبيعية لتدفق المياه الجوفية ٠, ٢٠ م/يوم. حدد منطقة التأثير الخاصة بالبئر. وحدد أيضاً منطقة التأثير إذا كان هناك بئرين كل منهما يضخ تصرف ٦, ٦٨ ل/ث، ويبعدان عن بعضهما مسافة ٢٠ م.

الحل:

في حالة البئر المنفرد:

$$x_1 = -Q/(2\pi vB) = -(0.000668 \times 86.400)/(2\pi \times 0.20 \times 30) = -15.3 \text{ m}$$

تقدر منطقة التأثير باستخدام المعادلة رقم (٤, ٢٨). والإحداثيات المختارة لحدود منطقة التأثير موضحة في الجدول رقم (٤, ٥). في حالة بئرين:

$$a = Q/(\pi B) = (0.00668 \times 86.400)/(\pi \times 30) = 6.124 \text{ m}^2/\text{day}$$

و

$$2vb = 2 \times 0.20 \times 10 = 4.0$$

وحيث $a \geq 2vb$ فإن:

$$x_1 = \left[-a \pm \sqrt{a^2 - 4v^2b^2} \right] / (2v) = \left[-6.124 \pm \sqrt{6.124^2 - 16.0} \right] / (2 \times 0.20) = -26.90 \text{ or } -3.7 \text{ m}$$

ومنطقة التأثير لبئرين يجب أن تكون أكبر من منطقة التأثير لبئر منفرد، لذلك نختار:

$$x_1 = -26.90 \text{ m}$$

وتقدر منطقة التأثير باستخدام المعادلة رقم (٤, ٣٠). والإحداثيات المختارة موضحة

في الجدول رقم (٤, ٥). وحيث إن هناك قيمتان لكل من x و y ، فإنه يجب اختيار القيمة الصحيحة اعتماداً على الحكم حتى يمكن الحصول على منطقة تأثير منتظمة.

الجدول رقم (٤, ٥) أ. إحدائيات منطقة التأثير لبئر منفرد ذو سريان منتظم.

(م) x	(م) y
١٥,٣ -	صفر
١٣,١ -	١٠
١٠,١ -	١٥
٥,٤ -	٢٠
١٢,٢	٣٠
٣٠,٣	٣٥
٦٨,٢	٤٠
٢١٧,٣	٤٥

الجدول رقم (٤, ٥) ب. إحدائيات منطقة التأثير لبئر ذو سريان منتظم.

(م) x	(م) y
٢٦,٩ -	صفر
٢٦,٧ -	٥
٢٦,١ -	١٠
٢٥,١ -	١٥
٢١,٤ -	٢٥
١٤,٩ -	٣٥
٤,٤ -	٤٥
٠,٠٤ -	٤٨
٢,٩	٥٠
٢٣,٩	٦٠
٥٩,٩	٧٠
١٣٥,٨	٨٠

البئر المخترق جزئياً Partially Penetrating Well

إذا لم يكن البئر مخترقاً العمق الكامل للطبقة الحاملة للمياه المحصورة، فإن الهبوط s_{wp} ، عند سطح البئر بسبب البئر المخترق جزئياً يمكن أن يقدر بالتالي (Bear 1979):

$$(٤,٣١) \quad s_{wp} = s_w / \left[(L/B) \left\{ 1 + 7 \cos(\pi L / 2B) \sqrt{(r_w / 2L)} \right\} \right]$$

حيث إن:

$$(Q / 2\pi KB) \ln (R / r_w) = s_w$$

$$L = \text{طول مصفاة البئر المخترق للطبقة المحصورة جزئياً.}$$

ولنفس الهبوط s_w ، فإن

$$(٤,٣٢) \quad Q_p / Q = (L/B) \left[1 + 7 \cos \{ \pi L / (2B) \} \sqrt{(r_w / 2L)} \right]$$

حيث إن:

$$Q_p = \text{تصرف البئر المخترق جزئياً.}$$

$$Q = \text{تصرف البئر المخترق كلياً.}$$

والمعادلة التقريبية للتصرف من البئر المخترق جزئياً لطبقة حاملة للمياه غير

محصورة هي كالتالي (USACE 1971b):

$$Q_p = \left[\pi K \left\{ (H-s)^2 - t^2 \right\} / \ln (R / r_w) \right] \left[1 + \left\{ 0.30 + (10r_w / H) \right\} \sin (1.8s / H) \right]$$

$$(٤,٣٣)$$

حيث إن:

$$s = \text{ارتفاع قاع البئر فوق الطبقة غير المنفذة.}$$

$$H = \text{ارتفاع سطح الماء الأرضي فوق الطبقة غير المنفذة عند } r = R$$

$$t = \text{عمق الماء في البئر، وبذلك تكون } h_w \cong (s + t)$$

وتوجد معادلة بديلة لتقدير الهبوط في البئر المخترق جزئياً هي (Bear 1979):

$$s_{wp} = [Q / (2\pi KB)] [(1-p)/p] \ln \{ (1.2-p)L(\beta r_w) \} + (Q / 2\pi KB) \ln (R/r_w) \quad (٤,٣٤)$$

حيث إن:

$$L/B = p$$

١ = β إذا كانت مصفاة البئر تبدأ من قمة أو قاع الطبقة الحاملة المحصورة.

٢ = إذا كانت مصفاة البئر تقع في وسط الطبقة الحاملة المحصورة.

يصلح تطبيق المعادلة رقم (٤,٣٤) إذا كان $10 r_w \leq L \leq 0.8 B$

نصف قطر التأثير Radius of Influence

بعض المعادلات شبه العملية وبعض المعادلات العملية تستخدم لتقدير نصف قطر التأثير R (م)، وهي موضحة كالتالي (Bear 1979):

$$(٤,٣٥) \quad R = 1.9 \text{ to } 2.45 \sqrt{(H K t / S)}$$

$$(٤,٣٦) \quad R = 3000 s_w \sqrt{K}$$

$$(٤,٣٧) \quad R = 575 s_w \sqrt{H K}$$

حيث إن:

H = السمك المشبع الابتدائي للطبقة الحاملة للمياه غير المحصورة أو سمك الطبقة الحاملة للمياه (م).

K = معامل التوصيل الهيدروليكي (م/ث).

S = الإنتاج النوعي للطبقة الحاملة للمياه غير المحصورة أو التخزينية لطبقة حاملة للمياه محصورة.

t = الزمن (ث).

s_w = هبوط سطح الماء في البئر (م).

وبشكل عام، فإن R تكون أكبر للتكوينات الأكثر خشونة من أنواع التربة الأكثر نعومة، وتكون أكبر في الطبقات الحاملة للمياه المحصورة منها في غير المحصورة.

تداخل الآبار Well Interference

إن تأثير التداخل البيئي بين الآبار المتقاربة وذات تصرفات بمعدل ثابت يمكن أن يتم عن طريق مقارنة التصرف Q ، لبئر منفرد مع هبوط قدره s_w ، عند سطح البئر، مع تصرف اثنان وثلاثة وأربعة آبار لهم نفس الهبوط عند أسطحهم (Todd 1980) كالتالي:

١- في حالة بئرين تفصلهما مسافة قدرها b :

$$(٤,٣٨) \quad Q_1 / Q = \ln(R/r_w) / [\ln\{R^2/(r_w b)\}]$$

٢- في حالة ثلاثة آبار تقع على رؤوس مثلث متساوي الأضلاع، طول الضلع، b :

$$(٤,٣٩) \quad Q_1 / Q = \ln(R/r_w) / [\ln\{R^3/(r_w b^2)\}]$$

٣- في حالة أربعة آبار على رؤوس مربع ضلعه b :

$$(٤,٤٠) \quad Q_1 / Q = \ln(R/r_w) / [\ln\{R^4/(\sqrt{(2)r_w b^3})\}]$$

حيث إن:

Q = تصرف كل بئر في مجموعة البئرين والثلاثة والأربعة آبار.

هذه المعادلات تفترض طبقة حاملة للمياه محصورة فيها $b \ll R$. ويمكن أيضا

أن تقدم نفس النتائج التقريبية لطبقات حاملة للمياه غير محصورة لها سحب (هبوط) صغير نسبياً.

مثال رقم (٤, ٦): أربعة آبار تقع في طبقة حاملة للمياه محصورة في الأربعة أركان من مربع أبعاده $١٥٢,٤ \times ١٥٢,٤$ م، وهناك بئر خامس في منتصف المربع. فإذا كان يتم الضخ من الآبار للحصول على نفس الهبوط عند أسطح الآبار، احسب النقص في التصرف الناتج عن التداخل. أفترض أن $R = ٣٠٤,٨$ م و $r_w = ٠,٧٥$ م.

الحل:

إذا كانت الآبار تقع بعيداً عن بعضها لدرجة لا يوجد تداخل بينها، إذا، من المعادلة رقم (٤, ١٧) فإن:

$$(i) \quad Q = (2\pi K B s_w) / \ln(R / r_w)$$

سوف نرى لاحقاً أنه، إذا كان الهبوط عند أسطح الآبار الخمس متساوياً، فإن $Q_i \neq Q_c$ ، حيث Q_i = التصرف من كل بئر في الأركان و Q_c = التصرف من البئر المركزي. بفرض أن ضلع المربع b .

ومن المعادلة رقم (٤, ١٨)، فإن الهبوط عند الآبار الخارجية s_{wi} ، يعطى بالمعادلة:

$$(ii) \quad s_{wi} = \left[Q_i / (2\pi KB) \right] \left[\ln(R / r_w) + 2 \ln(R / b) + \ln \left(R / \left\{ \sqrt{(2)b} \right\} \right) \right] + \left[Q_c / (2\pi KB) \right] \left[\ln \left\{ R \sqrt{(2) / b} \right\} \right]$$

والهبوط عند البئر المركزي s_{wc} ، يعطى بالمعادلة:

$$(iii) \quad s_{wc} = \left[Q_i / (2\pi KB) \right] \left[4 \ln \left\{ \sqrt{(2) R / b} \right\} + \left[Q_c / (2\pi KB) \right] \left[\ln(R / r_w) \right] \right]$$

و بمساواة (i) و (ii):

$$(iv) \quad Q_i \ln \left[b / \left\{ 4 \sqrt{(2) r_w} \right\} \right] = Q_c \ln \left[b / \left\{ (2) r_w \right\} \right]$$

وكذلك، بالتعويض من (iv) في (iii):

$$(v) \quad s_{wi} = s_{wc} = \left[Q_i / (2\pi KB) \right] \left[\ln(4R^4 / b^4) \right] \ln(R / r_w) \cdot \ln \left(b / \left\{ 4 \sqrt{(2) r_w} \right\} \right) / \ln \left(b / \left\{ \sqrt{(2) r_w} \right\} \right)$$

ومن (i) و (v)، عندما $s_w = s_{wc} = s_{wl}$

$$Q_i / Q = \ln(R/r_w) \cdot \ln \left[b / \left\{ \sqrt{(2)r_w} \right\} \right] / \left[\left\{ \ln(4R^4/b^4) \right\} \cdot \ln \left(b / \left\{ \sqrt{(2)r_w} \right\} \right) \right] +$$

$$\ln(R/r_w) \cdot \ln \left(b / \left\{ \sqrt{(2)r_w} \right\} \right)$$

$$Q_c / Q = \ln(R/r_w) \cdot \ln \left[b / \left\{ 4\sqrt{(2)r_w} \right\} \right] / \left[\left\{ \ln(4R^4/b^4) \right\} \cdot \ln \left(b / \left\{ \sqrt{(2)r_w} \right\} \right) \right]$$

$$\ln(R/r_w) \cdot \ln \left(b / \left\{ 4\sqrt{(2)r_w} \right\} \right)$$

ويستخدم المعطيات:

$$Q_i / Q = \left[\ln(304.8/0.075) \right] \ln \left[152.4 / \left\{ 0.075\sqrt{(2)} \right\} \right] /$$

$$\left[\ln \left\{ 4 \times 304.8^4 / 152.4^4 \right\} \cdot \ln \left\{ 152.4 / 0.075\sqrt{(2)} \right\} + \right.$$

$$\left. \ln \left\{ 304.8/0.075 \right\} \cdot \ln \left\{ 152.4 / \left(4 \times 0.075\sqrt{(2)} \right) \right\} \right] =$$

$$\{8.31 \times 7.270\} / \left[(4.159 \times 7.270) + (8.31 \times 5.884) \right] = 0.76$$

$$Q_c / Q = \left[\{8.31 \times 5.884\} / \left[(4.159 \times 7.270) + (8.31 \times 5.884) \right] \right] = 0.62$$

إذا يقلل تداخل الآبار التصرف في آبار الأركان بحوالي ٧٦٪ وفي بئر المنتصف بحوالي ٦٢٪ من التصرف الذي سيكون متاحاً إذا كانت الآبار موضوعة بعيداً عن بعضها دون تداخل بينها.

إعادة الملء المستحث Induced Recharge

يمكن تقدير إعادة الملء المستحث من المجرى المائي الدائم القريب إلى بئر الضخ الواقع في طبقة حاملة للمياه محصورة تندفق فيها المياه الجوفية بانتظام في اتجاه المجرى المائي، من المعادلة التالية (Bear 1979):

$$Q_r / Q = (2/\pi) \left[\tan^{-1} \sqrt{\left\{ (Q/\pi d v B) - 1 \right\}} - (\pi d v B / Q) \sqrt{\left\{ (Q/\pi d v B) - 1 \right\}} \right]$$

(٤، ٤١)

حيث إن:

$$Q = \text{تصرف البئر الكلي.}$$

$$v = \text{سرعة السريان المنتظم للمياه الجوفية.}$$

$$Q_r = \text{التصرف المستحث من المجرى المائي.}$$

$$d = \text{المسافة بين البئر والمجرى المائي.}$$

إذا كانت $Q \geq \pi d b B$ ، فلن يكون هناك مساهمة من المجرى المائي. ويمكن أن تعطي المعادلة رقم (٤،٤١) نتائج تقريبية للطبقات الحاملة للمياه غير المحصورة إذا كان عمق الهبوط صغيراً نسبياً حيث إن متوسط سمك الطبقة المشبعة يمكن أن يستخدم لـ B .

مثال رقم (٤،٧): بئر مخترق كلياً لطبقة حاملة للمياه غير محصورة بسمك ٢٥ م، يقع البئر على بعد ٦٠ م من مجرى مائي، والسرعة الطبيعية لتدفق المياه الجوفية في اتجاه المجرى المائي ١٥، ٠ م/يوم. يتم ضخ البئر بمعدل ٢٦ ل/ث. احسب نسبة التصرف المستحث من المجرى المائي بالنسبة للتصرف الكلي المستخرج من البئر.

الحل:

$$B = 25 \text{ m} ; d = 60 \text{ m} ; v = 0.15 \text{ m/day}$$

و

$$Q = 26 \times 86.400 / 1.000 = 2.246.4 \text{ m}^3 / \text{day}$$

إذا

$$Q / \pi d v B = 3.1780$$

و

$$\pi d v B / Q = 0.31466$$

ويعطى المعادلة رقم (٤، ٤١):

$$Q_r / Q = (2/\pi) \left[\tan^{-1} \sqrt{(3.1780-1)} - 0.31466 \sqrt{(3.1780-1)} \right]$$

$$(2/\pi) [0.97527 - 0.46438] = 0.325$$

لاحظ أن $\tan^{-1}(2.1780)$ يجب أن تقاس بالزاوية النصف قطرية.

أي إن ٣٢,٥٪ تقريباً من تصرف البئر مستحثة من المجرى المائي.

إعادة الملء (التغذية) نتيجة تساقط المطر Recharge by Precipitation

في كثير من الحالات الميدانية يكون إعادة الملء للطبقة الحاملة للمياه بسبب تساقط المطر، يجب أن يقدر بدون معطيات كافية تخص الموقع. وغالباً، تفترض قيمة معقولة، ويتم الحصول على قيمة معدلة باستخدام إعادة الملء كمتغير معايرة في نماذج تدفق المياه الجوفية. وهناك تدريب معقول وهو تقدير إعادة الملء باستخدام طرق بديلة متعددة واختيار قيمة مقبولة بالحكم المقارن. وبعض الطرق التقريبية تشمل التالي:

١- يمكن أن تقدر إعادة الملء بالتساقط اعتماداً على المعطيات المتاحة لإعادة الملء السنوي أو الموسمي في المنطقة أو في المناطق المشابهة في الظروف المناخية والجيولوجية المائية.

٢- يمكن أن تستخدم طريقة خدمة الحفاظ على التربة برقم المنحنى لتقدير الجريان السطحي، ويمكن افتراض أن إعادة ملء المياه الجوفية مساوية تقريباً للفرق بين التساقط والجريان السطحي المحسوب (انظر لجزء "نقص التربة" في الفصل الثاني). إن رقم المنحنى المقدر لعاصفة ما يمكن أن يكون أعلى من الخاص بالتساقط السنوي مما يؤدي إلى إعادة ملء المياه الجوفية أقل سنوياً. ومن ناحية أخرى، فإن الفرق بين التساقط والجريان السطحي المحسوب يشمل التسرب زائداً التبخر والفقد

في الصدد، مما يؤدي إلى إعادة ملء سنوية أعلى. ويمكن أن يتم عمل حساب للتأثيرات الموجبة والسالبة لهذه العوامل عن طريق الحكم المقارن. والمعادلات التالية هي المستخدمة في هذه الطريقة:

$$S_s = (2.540 / CN) - 25.4 \quad (٢,٦)$$

$$QR = (P - 0.2S_s)^2 / (P - 0.8S_s) \quad (٢,٤٠)$$

حيث إن:

QR = الجريان السطحي (سم).

P = التساقط (سم).

٣- يمكن أن يتم عمل التقديرات التمهيدية لإعادة الملء اعتماداً على النسب العملية (معاملات ماكسي-إيكن) الموضحة في الجدول رقم (٤,٦)، هذه المعاملات تم تحديدها للمناخ القاحل في ولاية نيفادا (أفون ودوربين ١٩٩٤).

الجدول رقم (٤,٦). معاملات ماكسي - إيكن.

نسبة إعادة الملء إلى التساقط	التساقط السنوي (سم)
٠,٢٥	أكبر من ٥١
٠,١٥	٥١ - ٣٨
٠,٠٧	٣٨ - ٣٠,٥
٠,٠٣	٣٠,٥ - ٢٠
صفر	أقل من ٢٠

المصدر: (Avon and durbin 1994).

والمعادلة التالية هي معادلة انحسار بديلة لخطوط تقسيم المياه القاحلة

(٢٠ سم $> P >$ ٥١ سم) (Donovan and Katzer 2000):

(٤,٤٢)

$$r = 4.15 \times 10^{-6} (P)^{3.75}$$

حيث إن:

 $r =$ إعادة الملء السنوي (سم).

 $P =$ التساقط السنوي (سم).

لكل $P > ٢٠$ سم فإن $r =$ صفر، ولكل $٥١ < P$ سم فإن $r = ٠,٢٥$.

تداخل مياه البحر Seawater Intrusion

تحت ظروف الحالة المستقرة فإن السطح البيئي لمياه البحر والمياه العذبة يمكن

أن تقرب باستخدام علاقة غايين - هيرتزبرج (الشكل رقم ٤,٢):

(٤,٤٣)

$$h_s = \left[\rho_f / (\rho_s - \rho_f) \right] h_f$$

حيث إن:

 $h_s =$ ارتفاع السطح البيئي تحت مستوى سطح مياه البحر.

 $h_f =$ ارتفاع سطح الماء الأرضي فوق مستوى سطح مياه البحر.

 $\rho_s, \rho_f =$ كثافة مياه البحر والمياه العذبة، على التوالي.

فإذا كانت $\rho_s = 1.025 \text{ gm/cm}^3$ و $\rho_f = 1.0 \text{ gm/cm}^3$ فيكون $h_s = 40h_f$. وإذا

كان ارتفاع سطح الماء الأرضي عند مسافة معينة من خط الساحل هي $٠,٢٥$ م أعلى

من مستوى سطح مياه البحر، فإن السطح البيئي لمياه البحر عن المياه العذبة عند هذا

الموقع يكون أدنى من مستوى سطح مياه البحر بحوالي ١٠ م. وباستخدام المعادلة رقم

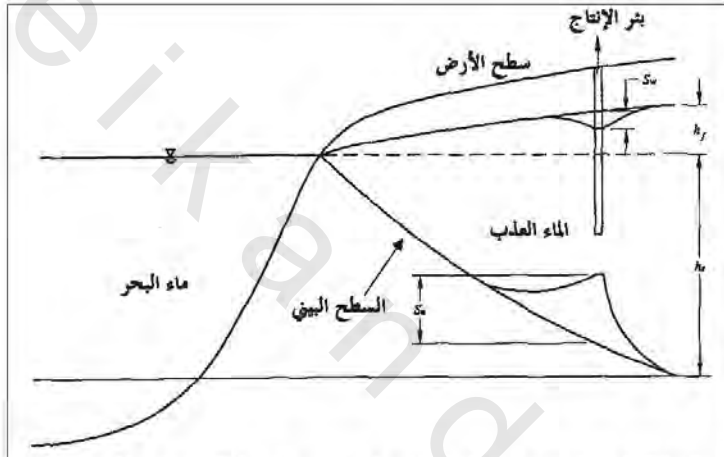
(٤,٤٣) فإن ارتفاع قمة الشكل المخروطي تحت بئر ضخ أعلى السطح البيئي، s_u ،

يمكن تقريبه إلى:

(٤,٤٤)

$$s_u = \left[\rho_f / (\rho_s - \rho_f) \right] s_w$$

يجب العلم بأن مياه البحر قابلة للخلط والامتزاج مع المياه العذبة ويمكن ألا يوجد سطح بيني حاد بينهما. والمعادلتان رقم (٤,٤٣) ورقم (٤,٤٤) تقدمان التقديرات الأولية التي يجب أن يتم اختيارها اعتماداً على تحليلات أكثر تعقيداً ومعلومات حقلية.



الشكل رقم (٤,٢). الرسم التخطيطي للسطح البيني للماء المالح وفوق المنحنى المخروطي.

مثال رقم (٤,٨): في طبقة حاملة للمياه قريبة من الساحل، تم ملاحظة أن تركيزات الماء المالح على مسافة ٣٠٠ م من الساحل وعمق ٣٠ م تحت مستوى سطح البحر، والذي هو أيضاً مستوى الطبقة غير المنفذة في قاع الطبقة الحاملة للمياه. وإن ارتفاعات سطح الماء الأرضي التي تم رصدها موضحة في الجدول رقم (٤,٧) أ. فإذا علمت أن $K = ٣٠ \text{ م/يوم}$ ، و $\rho_f = ١,٠ \text{ جم/سم}^٣$ ، و $\rho_s = ١,٠٢٥ \text{ جم/سم}^٣$. احسب موقع السطح البيني للماء المالح-الماء العذب. ولتقديرات آمنة أهمل سطح التسرب عند تقاطع سطح الماء الأرضي مع الساحل. كذلك احسب معدل تدفق الماء العذب لكل وحدة عرض من الساحل.

الحل:

بتطبيق المعادلة رقم (٤, ٤٣) فإن

$$h_s = [1.0 / (1.025 - 1.0)] h_f = 40 h_f$$

الموقع التقريبي للسطح البيئي موضح في الجدول رقم (٤, ٧) ب.

الجدول رقم (٤, ٧) أ. ارتفاعات منسوب المياه قرب الساحل.

المسافة من خط الساحل (م)	ارتفاع منسوب الماء فوق منسوب مياه البحر (م)
٣٠٠	٠,٧٥
٢٧٥	٠,٧٠
٢٠٠	٠,٦٠
١٥٠	٠,٤٠
١٠٠	٠,٣٠
٥٠	٠,١٥
صفر	صفر

الجدول رقم (٤, ٧) ب. موقع السطح البيئي للماء المالح - الماء العذب.

(م) x	(م) h_f	(م) h_s
٣٠٠	٠,٧٥	٣٠
٢٧٥	٠,٧٠	٢٨
٢٠٠	٠,٦٠	٢٤
١٥٠	٠,٤٠	١٦
١٠٠	٠,٣٠	١٢
٥٠	٠,١٥	٦
صفر	صفر	صفر

 x = المسافة من الساحل. h_f = ارتفاع سطح الماء الأرضي فوق سطح مياه البحر. h_s = ارتفاع السطح البيئي تحت سطح مياه البحر.

مثال رقم (٤,٩): بئر نصف قطرها ١٥ سم يقع على مسافة ٢٧٥ م من الساحل المذكور في المثال رقم (٤,٨). ولتجانس انسحاب الماء المالح، فإن أدنى مسافة رأسية مطلوبة بين السطح البيني للماء المالح و سطح الماء الأرضي تساوي ٥ م. احسب تصرف البئر الآمن بفرض أن R تساوي ٢٥٠ م، و K تساوي ٣٠ م/يوم.

الحل:

من المثال رقم (٤,٨)، فإن المسافة الرأسية بين سطح الماء الأرضي والسطح البيني عند x تساوي ٢٧٥ م، هي

$$28 + 0.70 = 28.70 \text{ m}$$

وحيث إن أدنى سطح ماء أرضي يكون عند سطح البئر، فإن

$$28.70 - s_u - s_w = 5 \text{ m}$$

وأيضاً من المعادلة رقم (٤,٤٤) تكون

$$s_u = [1.0 / (1.025 - 1.0)] s_w = 40 s_w$$

إذن

$$s_w = (28.70 - 5) / 41 = 0.578 \text{ m}$$

وبالنسبة لانسحاب الماء العذب، فإن متوسط سمك التشبع يجب أن يساوي

$$H = 3.075 / 2 = 15.375 \text{ m}$$

وبذلك تكون

$$Q = 2\pi K H s_w / \ln(R/r_w) = 2\pi \times 30 \times 15.375 \times 0.578 / \ln(250/0.075) \\ = 207 \text{ m}^3/\text{day} \text{ or } 2.4 \text{ L/s}$$

ويسبب الاختلاف في السمك المشبع والاختراق الجزئي للبئر في طبقة الماء الأرضي للماء العذب، فإن هذا يجب أن يعامل على أنه تقديراً أولياً. وللحصول على تقديرات أكثر دقة يجب إجراء تحليلات أكثر تعقيداً.

تأثير تقلبات الضغط البارومتري Effect of Barometric Pressure Fluctuations

العلاقة التقريبية بين تقلبات الضغط الجوي ومستويات المياه في بئر ما في طبقة حاملة للمياه محصورة تعطى بالمعادلة التالية (Rouse 1950 ; Todd 1980):

$$(٤,٤٥) \quad dh/(dp_s/\gamma) = -1/[1 + \{(\alpha_s/(\theta\beta))\}]$$

حيث إن:

dh = التغير في مستوى الماء في البئر.

dp_s = التغير في الضغط البارومتري.

α_s = قابلية الانضغاط الرأسية لمادة الطبقة الحاملة للمياه.

θ = مسامية الطبقة الحاملة للمياه.

β = قابلية انضغاط الماء.

الإشارة السالبة في المعادلة رقم (٤,٤٥) توضح أن مستوى الماء في بئر مراقبة

يهبط عندما يزداد الضغط البارومتري، والعكس صحيح.

في حالة طبقة حاملة للمياه غير محصورة، فإن قابلية الانضغاط لمادة طبقة الماء الأرضي، والماء، تكون أقل أهمية نسبياً مقارنة بالتغيرات في حجم الماء الناتجة من تقلبات سطح الماء الأرضي. تنتقل التغيرات في الضغط الجوي مباشرة وفوراً إلى سطح الماء الأرضي ولبئر المراقبة. وبالتالي، هناك القليل، أو لا يوجد تأثيراً يذكر لتقلبات الضغط البارومتري في مستويات الماء في البئر. والتغير في مستوى الماء في البئر هو تقريباً يماثل ما يوجد في حالة الطبقة الحاملة للمياه وغير المحصورة. وقد لوحظ أن التقلبات في الضغط البارومتري ربما تؤدي إلى تقلبات صغيرة في سطح الماء الأرضي في الطبقة الحاملة للمياه وغير المحصورة.

مثال رقم (٤, ١٠): احسب التغير في مستوى الماء في بئر مخترق كلياً عندما يتغير الضغط البارومتري بمقدار ٧,٧٢ سم زئبق. بفرض أن α_e تساوي ١١,٨ $\times 10^{-1}$ سم^٢/كجم، ϕ تساوي ٠,٣٥، و β تساوي ٤٧ $\times 10^{-1}$ سم^٢/كجم.

الحل:

تغير الضاغط البارومتري كعمود من الماء

$$(dp_s / \gamma) = 0.0772 \times 13.6 = 1.05 \text{ m}$$

ويعطى المعادلة رقم (٤, ٤٥)

$$dh / (dp_s / \gamma) = dh / (1.05) = -1 / [1 + \{11.8 / (0.35 \times 47)\}] = -0.582$$

توضح الإشارة السالبة أن الزيادة في الضغط البارومتري تؤدي إلى خفض مستوى الماء في البئر. وبالتالي فإن

$$dh = -1.05 \times 0.582 = -0.61 \text{ m}$$

الانخساف Subsidence

الإجهاد المسبب بالوزن الكلي للتربة والماء أعلى نقطة في طبقة حاملة للمياه يتوازن مع الإجهاد (الانضغاط) على مادة الطبقة الحاملة للماء الأرضي وضغط المائع (الهيدروستاتيكي) (Delleur 1999):

$$(٤, ٤٦) \quad P_T = \sigma + P_w$$

حيث إن:

P_T = الضغط الكلي الناتج بسبب وزن التربة والماء.

P_w = ضغط المائع (الهيدروستاتيكي).

σ = الإجهاد الفعال أو الضاغط على مادة طبقة الماء الأرضي.

يمكن أن يقاس الضغط الهيدروستاتيكي باستخدام البيزومتر. وتسبب الزيادة في الإجهاد الضاغط على مادة طبقة الماء الأرضي نقصاً في حجمه (أو في سمكه في انضغاط أحادي البعد)، والتي يمكن أن تتسبب في الانخساف. ويمكن أن يؤدي استخراج المياه الجوفية المفرط إلى بعض النقص في الضغط الكلي، لكنه يمكن أن يؤدي إلى نقص أكبر نسبياً في الضغط الهيدروستاتيكي في طبقة الماء الأرضي. مما يمكن أن يؤدي إلى زيادة في إجهاد الضاغط على مادة طبقة الماء الأرضي ويتسبب في انخساف الأرض. ويجب السيطرة على ضخ المياه الجوفية لتقليل احتمالية الانخساف. والخطوات الحسابية للتقديرات التمهيدية للانخساف بسبب انخفاض مستويات المياه الجوفية في طبقة الماء الأرضي موضحة في التالي:

- ١- احسب الحمل الكلي (الضغط) عند موقع مستوى المياه الجوفية المنخفض قبل الضخ بسبب وزن التربة العلوية والماء الموجودة في المسام.
- ٢- احسب الضغط الهيدروستاتيكي عند هذا المستوى الناتج عن ارتفاع المياه الجوفية فوق هذا المستوى.
- ٣- احسب الإجهاد الضاغط على مادة الطبقة الحاملة للماء الأرضي عند هذا المستوى بحساب الفرق بين الخطوة (١) والخطوة (٢) قبل الضخ.
- ٤- ياتباع نفس الإجراءات، احسب الإجهاد الضاغط عند نفس المستوى بعد انخفاض مستوى المياه الجوفية.
- ٥- أوجد الفرق $\Delta\sigma$ ، في الإجهاد الأولي والنهائي عند هذا المستوى [(٤)- (٣)].

٦- التغير في الإجهاد الضاغط عند المستوى الأول لمستوى المياه الجوفية يساوى صفر. وبالتالي فإن متوسط التغير في الإجهاد الضاغط في عمود طبقة الماء الأرضي بين هذين المستويين يساوى $\Delta\sigma/2$.

٧- احسب الانخساف δ ، في عمود هذه الطبقة بين مستويات المياه الجوفية الأولية والمنخفضة كالتالي:

$$\delta = \alpha_s (\Delta\sigma/2) \Delta h \quad (١٤,٤٧)$$

حيث إن:

α_s = قابلية الانضغاط لمادة طبقة الماء الأرضي.

Δh = التغير في مستويات المياه الجوفية.

٨- التغير في الإجهاد الضاغط في مادة طبقة الماء الأرضي أسفل مستوى المياه الجوفية يساوي $\Delta\sigma$.

٩- إذا كان هناك عدة طبقات من التربة تحت مستوى المياه الجوفية المنخفضة، احسب الانخساف في كل منها:

$$\delta_1 = \alpha_1 (\Delta\sigma) L_1 \quad \text{و} \quad \delta_2 = \alpha_2 (\Delta\sigma) L_2 \quad \text{وهكذا} \quad (١٤,٤٧ \text{ ب})$$

حيث إن:

δ_1, δ_2 = الانخساف الحادث في الطبقتين ١ و ٢.

α_1, α_2 = قابلية انضغاط الطبقتين ١ و ٢.

L_1, L_2 = سمك الطبقتين ١ و ٢ على الترتيب.

١٠- احسب الانخساف الكلي عند قاع الطبقة ٢ الذي يساوي $\delta + \delta_1 + \delta_2$.

مثال رقم (١١، ٤): ضخ مفرط للمياه الجوفية في منطقة ما يتوقع أن يخفض مستوى المياه الجوفية بحوالي ٢٥ م. ومستوى الماء الأرضي الأولي أسفل سطح الأرض بمقدار ١٠ م. مادة الطبقة الحاملة للماء الأرضي مملوءة بالرمل حتى عمق ٥ م تحت سطح الأرض. أسفل الرمل يوجد حوالي ٣٠ م طمي طيني كثيف يعلو مستوى الصخر الطبيعي. احسب الانخفاض المحتمل في التربة أعلى مستوى الصخر الطبيعي. بفرض أن درجة التشبع في منطقة التربة غير المشبعة فوق مستوى المياه الجوفية تساوي ١٠، ووحدة الوزن من حبيبات الرمل تساوي ٢٦٠٠ كجم/م^٣، ووحدة الوزن من الماء تساوي ١٠٠٠ كجم/م^٣، ومسامية الرمل تساوي ٠،٣٣، وقابلية انضغاط الرمل تساوي ١٢×١٠^{-٨} م^٢/كجم، وقابلية انضغاط الطمي الطيني تساوي ١٠٠×١٠^{-٨} م^٢/كجم.

الحل:

بفرض أن مواقع مستوى المياه الجوفية الأولية والمنخفضة يرمز لها بـ B و C، وقاع وحدة الرمل بـ D، وقاع الطمي بـ E. المسافة الرأسية بين سطح الأرض ونقطة C تساوي

$$25 + 10 = 35 \text{ m}$$

بعد الانخفاض المتوقع لمستوى المياه الجوفية، فإن الحمل الكلي فوق النقطة C عند الارتفاع المنخفض لمستوى المياه الجوفية يساوي

$$35 \times (1 - 0.33) \times 2600 + 35 \times (0.33 \times 0.10) \times 1000 = 60970 + 1155$$

$$= 62125 \text{ kg/m}^2$$

والضغط الهيدروستاتيكي عند النقطة C (بعد انخفاض سطح الماء الأرضي إلى هذا المستوى) = صفراً.

فيكون الإجهاد الضاغط في التربة عند هذا الارتفاع (عند النقطة C) يساوي

$$62125 - 0 = 62125 \text{ kg/m}^2$$

تحت الظروف الأولية للمياه الجوفية، فإن الحمل الكلي فوق النقطة C يساوي

$$10 \times (1 - 0.33) \times 2600 + 10(0.33 \times 0.10) \times 1000 + 25 \times 0.33 \times 1000 \\ = 17420 + 330 + 43550 + 8250 = 69550 \text{ kg/m}^2$$

تحت الظروف الأولية للمياه الجوفية، فإن الضغط الهيدروستاتيكي عند C يساوي

$$25 \times 1000 = 25000 \text{ kg/m}^2$$

تحت الظروف الأولية للمياه الجوفية، فإن الإجهاد الضاغط في التربة عند C يساوي

$$69550 - 25000 = 44550 \text{ kg/m}^2$$

الزيادة في الإجهاد الضاغط عند C الناتج من انخفاض مستوى الماء يساوي

$$62125 - 44550 = 17575 \text{ kg/m}^2$$

التغير في الإجهاد الضاغط في التربة عند مستوى المياه الجوفية الأولي (النقطة B) = 0

التغير في الإجهاد الضاغط عند مستوى المياه الجوفية المنخفض (النقطة C) يساوي

$$17575 \text{ kg/m}^2$$

متوسط الانخفاض فوق عمود التربة عند $\Delta h = 25$ يعطى من:

$$\delta = \alpha_s (\Delta \sigma / 2) \Delta h = 12 \times 10^{-8} \times (17575 / 2) \times 25 = 0.026 \text{ m}$$

بالنسبة للرمل أسفل مستوى المياه الجوفية المنخفض (من النقطة C إلى D) يكون

$$L_1 = 15 \text{ m} , \quad \alpha_1 = 12 \times 10^{-8} \text{ m}^2 / \text{kg}$$

إذن

$$\delta_1 = \alpha_1 (\Delta \sigma) L_1 = 12 \times 10^{-8} \times 17575 \times 15 = 0.032 \text{ m}$$

بالنسبة للطيني الطيني أسفل الرمل (من النقطة D إلى E) يكون

$$L_2 = 30 \text{ m} , \quad \alpha_2 = 100 \times 10^{-8} \text{ m}^2 / \text{kg}$$

إذن

$$\delta_2 = \alpha_2 (\Delta \sigma) L_2 = 100 \times 10^{-8} \times 17575 \times 30 = 0.527 \text{ m}$$

الانخفاض الكلي فوق مستوى الصخر الطبيعي:

$$0.026 + 0.032 + 0.527 = 0.585 \text{ m}$$

الإنتاجية الآمنة والسعة النوعية والكفاءة

Safe Yield, Specific Capacity, and Efficiency

ليس هناك تعريفاً دقيقاً للإنتاجية الآمنة من الطبقة الحاملة للماء الأرضي أو بئر. وعادة ما تعرف بأنها معدل انسحاب المياه الجوفية التي يمكن الحفاظ عليها بدون وجود إمكانية للانخفاض، وتداخل الماء المالح، وإفراغ غير ملائم للسطح الأرضي للمياه الجوفية، والذي لا يمكن تعويضه بإعادة الملء الطبيعي للمياه الجوفية، والتداخل غير الملائم مع إنتاجية البئر الموجودة من المياه الجوفية، وإعادة الملء المستحث غير الملائم من هياكل أسطح المياه القريبة، والطغيان على ملوثات المياه الجوفية الموجودة. حدود السحب عند مواقع محددة يمكن أن تحدد بالموقع، أو الدولة، أو وكالات التنظيم الفيدرالية. وأحياناً، يستخدم مصطلح "الإنتاجية القصوى" لتحديد الإنتاجية الآمنة، التي يمكن الحصول عليها بشكل اقتصادي إذا أخذ في الاعتبار استراتيجيات إدارة موارد المياه الجوفية البديلة والمتعددة.

أما السعة النوعية للبئر فهي الإنتاجية الناتجة لكل وحدة هبوط (Q/s)، حيث s تشمل مقدار الهبوط في الطبقة الحاملة للمياه عند حدود مصفاة البئر والفاقد الناتج عن السريان الاضطرابي للمياه الجوفية خلال مصفاة البئر. أما كفاءة البئر فهي النسبة بين السعة النوعية الفعلية إلى السعة النوعية النظرية، وتعرف أيضاً على أنها النسبة بين فاقد الضاغط في الطبقة الحاملة للمياه إلى فاقد الضاغط الكلي. ويشمل فاقد الضاغط الكلي (أو الهبوط الكلي عند سطح البئر) الهبوط من الطبقة الحاملة للمياه (أي،

النظري) والهبوط بالبئر. ويتغير الهبوط (السحب) من الطبقة الحاملة خطياً مع التصرف ويمكن أن يتم تقديره باستخدام معادلات الحالة المستقرة أو الحالة غير المستقرة للسحب عند سطح البئر (مثل المعادلة رقم (٤, ١٧) والمعادلة رقم (٤, ٨١)). ويشمل الفاقد في البئر المكونات الخطية والمكونات غير الخطية. وتشمل المكونات الخطية الهبوط في كومة الحصى ومدخل المصفاة، وتشمل المكونات غير الخطية الفاقد الناتج عن السريان المضطرب في البئر. هناك طريقة بسيطة لتقدير كفاءة البئر كما يلي:

• ارسم الهبوط s ، على المحور y ، على المقياس الطبيعي، وارسم المسافة من البئر r ، على المحور x ، على المقياس اللوغاريتمي.

• ارسم أفضل خط مستقيم مناسب خلال هذه النقط عن طريق الحكم البصري.

• قم بمد الخط المستقيم حتى $r = r_w$ (نصف قطر البئر) واقرأ قيمة الهبوط النظري s_0 ، عند هذا الموقع.

• احسب كفاءة البئر s_0 / s_w حيث s_w هو الهبوط الفعلي المقاس في البئر. في حالة الطبقات الحاملة للمياه غير المحصورة، فإن تشغيل البئر يمكن أن يسبب نقصاً كبيراً في سمك الطبقة الحاملة للماء الأرضي. ونتيجة لهذا، يلاحظ حدوث هبوطاً زائداً. إذا كان النقص في السمك الطبقة المشبعة أكثر من ٢٠٪، فإن الهبوط s_0 يمكن أن يتم تصحيحه قبل القيام بحساب كفاءة البئر (انظر الجزء في هذا الفصل تحت عنوان "التدفق القطري غير المستقر في بئر مخترق كلياً في طبقة حاملة للمياه غير محصورة"):

$$s_0(\text{corrected}) = s_0 - \{ s_0^2 / (2H) \} \quad (٤, ٤٨)$$

حيث إن:

H = السمك المشبع الأولي لطبقة الماء الأرضي.

والهبوط المصحح يجب أن يستخدم في إعداد المنحنى البياني المذكور مسبقاً. وعندما تبلغ كفاءة البئر من ٧٠ إلى ٨٠٪ تعتبر مقبولة والبئر ذو تصميم جيد.

الريان الانتقالي (غير المستقر) للمياه الجوفية

Transient (Unsteady) Groundwater Flow

الريان غير المستقر أحادي البعد Unsteady One-Dimensional Flow

معادلة الاستمرارية لتدفق المياه الجوفية غير المستقر أحادي البعد في طبقة

حاملة للمياه ومحصورة سمكها B ، ومعامل التوصيل الهيدروليكي لها K ، هي:

$$\partial^2 h / \partial x^2 = S/T \partial h / \partial t \quad (٤,٤٩)$$

حيث إن:

S = معامل التخزين اللابعدي أو التخزينية.

T = نقل أو قابلية النقل للطبقة الحاملة للماء.

$S/B = S_s$ = التخزين النوعي، ويعرف على أنه حجم الماء المنطلق من وحدة

الحجم من الطبقة الحاملة للمياه لكل وحدة هبوط في السطح

الهيدروليكي:

$$S = \rho g (\alpha_s + \theta \beta) B \quad (٤,٥٠)$$

$$T = K B \quad (٤,٥١)$$

القيم النموذجية للتخزين النوعي S_s موضحة في الجدول رقم (٤,٨)

(USEPA 1985).

الجدول رقم (٤,٨). القيم النموذجية للتخزين النوعي.

المادة	التخزين النوعي (سم ^{-١})
طين لدن	$10^{-5} \times 2,0 - 10^{-4} \times 2,5$
طين صلب	$10^{-5} \times 1,3 - 10^{-4} \times 2,5$
طين متوسط الصلابة	$10^{-6} \times 1,3 - 10^{-5} \times 6,9$
رمل متفكك	$10^{-6} \times 9,8 - 10^{-5} \times 5,1$
رمل كثيف	$10^{-6} \times 2,1 - 10^{-5} \times 1,3$
حصى كثيف الرمل	$10^{-7} \times 9,8 - 10^{-6} \times 5,1$
صخر (متشقق، مفصلي)	$10^{-7} \times 6,9 - 10^{-8} \times 3,2$
صخر ثابت	أقل من $10^{-8} \times 3,2$

المصدر: (USEPA 1985).

معادلة الاستمرارية الخطية للتدفق أحادي البعد في الحالة غير المستقرة في طبقة حاملة للمياه غير محصورة هي:

$$\partial^2 h / \partial x^2 = [S_y / (KH)] \partial h / \partial t \quad (٤,٥٢)$$

حيث إن:

$$S_y = \text{الإنتاجية النوعية.}$$

$$H = \text{متوسط سمك التشبع.}$$

الإنتاجية النوعية هي الجزء من الماء المحفوظ في مسام التربة والذي يمكن أن يستخرج من الطبقة الحاملة للمياه لكل وحدة مساحة لكل وحدة هبوط في سطح الماء الأرضي. وهي تسمى أيضاً المسامية الفعالة وتكون أقل من المسامية الكلية. القيم النموذجية للإنتاجية النوعية معطاة في الجدول رقم (٤,٩) (USEPA 1985).

الجدول رقم (٤,٩). القيم النموذجية للإنتاجية النوعية.

المادة	المدى (%)	المتوسط (%)
طين	١٧,٦ - ١,١	٦
طمي	٣٨,٦ - ١,١	٢٠
رمل ناعم	٤٥,٩ - ١,٠	٣٣
رمل متوسط	٤٦,٢ - ١٦,٢	٣٢
رمل خشن	٤٢,٩ - ١٨,٤	٣٠
حصى ناعم	٣٩,٩ - ١٢,٦	٢٨
حصى متوسط	٤٣,٥ - ١٦,٩	٢٤
حصى خشن	٢٥,٢ - ١٣,٢	٢١
حبيبات دقيقة	٢٢,٠ - ١٤,١	١٨
كثيب رمل	٤٦,٧ - ٣٢,٣	٣٨
خليط (يغلب عليه الطمي)	١٣,٠ - ٠,٥	٦
خليط (يغلب عليه الطين)	٣١,٢ - ١,٩	١٦
خليط (يغلب عليه الحصى)	٣٤,٢ - ٥,١	١٦
جرف جليدي (يغلب عليه الطمي)	٤٨,١ - ٣٣,٢	٤٠
جرف جليدي (يغلب عليه الرمل)	٤٨,٢ - ٢٩,٠	٤١
صخر رملي (ناعم الحصى)	٣٩,٦ - ٢,١	٢١
صخر رملي (متوسط الحصى)	٤١,١ - ١١,٩	٢٧
صخر طمي	٣٢,٧ - ٠,٩	١٢
طفل	٥,٠ - ٠,٥	-
حجر جيرى	٣٥,٨ - ٠,٢	١٤
صخر بركاني صفائحى	٣٣,٢ - ٢١,٩	٢٦

المصدر: (USEPA 1985).

تخزين ضفاف النهر Bank Storage

أثناء فترات الفيضان، تدخل مياه النهر في المادة المسامية من ضفتي النهر. ونتيجة لهذا يرتفع سطح المياه الجوفية الأرضي على كلا الجانبين. وبعد انحسار الفيضان يعود ارتفاع سطح المياه في النهر إلى الحالة الطبيعية في وقت قصير نسبياً. ويتم إطلاق المياه المخزونة في مسام ضفتي النهر ببطء في المجرى المائي تحت سطح الاختلاف بين سطح الماء الأرضي المرتفع ومستوى سطح الماء الطبيعي (المنخفض) في المجرى المائي. وفي بعض الحالات، قد تتكون مادة ضفة النهر من رواسب ملوثة ناتجة عن أنشطة صناعية سابقة، وبالتالي تكون المياه العائدة إلى النهر عن طريق الرشع من ضفة النهر ملوثة. وفي بعض الأحيان، يجب تحديد معدل التدفق العائد وكمية المياه الجوفية الملوثة المحتمل عودتها إلى النهر. والمعادلات التحليلية للتحليل التمهيدي لهذا النوع من الحالات موضحة كالتالي (Carslaw and Jaeger 1984; Glover 1985):

$$(٤,٥٣) \quad h = \text{Herf} \left[x / \sqrt{(4\alpha t)} \right] - ١$$

$$(٤,٥٤) \quad q(x,t) = \left\{ \text{HKD} / \sqrt{(\pi\alpha t)} \right\} \exp \left\{ -x^2 / (4\alpha t) \right\} - ٢$$

$$(٤,٥٥) \quad q(0,t) = \left\{ \text{HKD} / \sqrt{(\pi\alpha t)} \right\} - ٣$$

$$(٤,٥٦) \quad Q(t) = 2\text{HKD} \sqrt{t / (\pi\alpha)} - ٤$$

حيث إن:

H = ارتفاع سطح الماء الأرضي الناتج عن فترة الفيضان، والمقاس فوق

مستوى سطح الماء الطبيعي (المنخفض) في النهر.

h = ارتفاع سطح الماء الأرضي فوق ارتفاع سطح الماء الطبيعي (المنخفض) في

النهر على مسافة x ، وزمن t .

x = المسافة على ضفة النهر من حافة النهر.

t = الزمن بعد حدوث الفيضان (أي، بعد عودة النهر إلى ارتفاع الماء الطبيعي).

$\alpha = \text{انتشارية طبقة الماء الأرضي} = KD/S_y$.

D = السمك المشبع الأولى من مادة النهر (أي، عمق سطح الماء المرتفع على ضفة النهر فوق القاعدة غير المنفذة).

$q(x, t)$ = معدل تدفق العودة على مسافة x ، وزمن t ، لكل وحدة طول من ضفة النهر (موازياً لتدفق النهر).

$q(0, t)$ = معدل تدفق العودة عند حافة النهر عند زمن t ، لكل وحدة طول من ضفة النهر.

$Q(t)$ = الحجم الكلي للتدفق العائد إلى النهر خلال زمن قدره t ، لكل وحدة طول من ضفة النهر.

ويمثل الرمز $\text{erf} \left[x / \sqrt{(4 \alpha t)} \right]$ معامل الخطأ في الكمية الموجودة بين

الأقواس. وتكون قيم معاملات الخطأ متاحة في شكل جدول (مثلاً، Abramowitz and

Stegun 1972). ويمكن إجراء تقريب منطقي مناسب لاستخدام الحاسب وهو:

$$\text{erf}(x) = 1 - (a_1 t + a_2 t^2 + a_3 t^3 + a_4 t^4 + a_5 t^5) \exp(-x^2) \quad (٤,٥٧)$$

حيث إن:

$$t = 1 / (1 + 0.3275911x)$$

$$a_1 = 0.254829592$$

$$a_2 = -0.284496736$$

$$a_3 = 1.421413741$$

$$a_4 = -1.453152027$$

$$a_5 = 1.061405429$$

إن المعادلات من رقم (٤, ٥٣) إلى رقم (٤, ٥٦) تعتمد على افتراض أن مادة ضفة النهر تكون متشابهة ومتجانسة وأن النهر يعود إلى ارتفاع سطح الماء الطبيعي في وقت قصير نسبياً بعد حدوث الفيضان، لذلك فإن سطح الماء الأرضي في مادة ضفة النهر يظل عند مستوى مرتفع.

مثال رقم (٤, ١٢): أثناء موسم الفيضان، وجد أن سطح الماء الأرضي على ضفة النهر ارتفع بحوالي ٣ م فوق ارتفاع سطح الماء الطبيعي للنهر. احسب معدل تدفق العودة من أحد الضفتين بعد عودة النهر إلى ارتفاع سطح الماء الطبيعي، مع افتراض أنه حدث في وقت قصير نسبياً. ومادة ضفة النهر على أحد جانبي النهر تحتوي على ٤,٠ جم/كجم من الرصاص الممتص. مع العلم بأن الحجم النوعي للرصاص يساوي ١٠٠٠٠ ل/كجم. احسب كتلة الرصاص الممكن دخوله إلى النهر عن طريق الرش من مواد ضفة النهر في فترة ٩٠ يوماً. افترض أن الرصاص الممتص يكون في الحالة المذابة ويمكن أن يرشح خلال هذه الفترة. بالنسبة لمادة ضفة النهر، استخدم:

$$S_y = 0.15 \quad , \quad KD = 1766 \text{ m}^2/\text{day}$$

الحل:

$$\alpha = KD/S_y = 1766/0.15 = 11773.3 \text{ m}^2/\text{day}$$

من المعادلة رقم (٤, ٥٥)، معدل تدفق العودة عند حافة النهر لكل وحدة متر من طول ضفة النهر

$$q(0,t) = 3 \times 1766 / \sqrt{(\pi \times 11773.3 \times 90)} = 2.9 \text{ m}^2$$

ومن المعادلة رقم (٤, ٥٦)، الحجم الكلي للتدفق العائد إلى النهر لكل وحدة متر من طول ضفة النهر

$$Q(t) = 2 \times 3 \times 1766 \sqrt{\{(90/\pi \times 11773.3)\}} = 522.7 \text{ m}^3$$

وبافتراض الوصول لحالة الاتزان يكون:

$$S_d = K_d C$$

حيث إن:

S_d = كتلة الرصاص الممتص لكل وحدة كتلة جافة من مادة ضفة النهر

ويساوي ٠,٠٠٠٤ كجم/كجم.

K_d = معامل توزيع الرصاص ويساوي ١٠ م^٣/كجم.

C = تركيز الرصاص في الماء المحتوي في مادة ضفة النهر.

إذن:

$$C = 0.0004 / 10 = 0.00004 \text{ kg/m}^3$$

إذا كتلة الرصاص التي تدخل النهر خلال فترة ٩٠ يوماً تساوي

$$522.7 \times 0.00004 = 0.02 \text{ kg/m}$$

أي تساوي ٠,٠٢ كجم لكل وحدة متر من طول ضفة النهر.

هذا التقدير يعتبر تمهيدياً لأن الوصول لحالة الاتزان ربما يأخذ وقتاً أطول وترشيح الرصاص يمكن أن يكون بطيئاً.

التدفق في اتجاه المصارف وتباعد المصارف

Flow toward Drains and Drain Spacing

طريقة تقريبية لتباعد المصارف المغطاة في مناطق زراعية تم ذكرها في جزء سابق

بعنوان "تدفق دارسي". وإذا كان منسوب المياه المرتفعة الأولي قد انخفض إلى مستوى

محدد خلال فترة معينة، فإنه يجب تقدير تباعد دارسي باستخدام معادلة السريان

الانتقالي، معادلة رقم (٤, ٤٩). المعادلات التحليلية وثيقة الصلة بهذه الحالة مذكورة

أدناه (Carslaw and Jeager 1984; Glover 1985):

$$h(x, t) = (4H/\pi) \sum \{1/(2n+1)\} \left[\exp \left\{ -(2n+1)^2 \pi^2 \alpha t / L^2 \right\} \right] - 1 \quad (٤, ٥٨)$$

$$\sin \{(2n+1)\pi x / L\} \quad , \quad n = 0, 1, 2, \dots, \infty$$

$$h(x = L/2) = (4H/\pi) \sum \{1/(2n+1)\} \left[\exp \left\{ -(2n+1)^2 \pi^2 \alpha t / L^2 \right\} \right] - 2 \quad (٤, ٥٩)$$

$$\sin \{(2n+1)\pi / 2\} \quad , \quad n = 0, 1, 2, \dots, \infty$$

$$q(x = 0, t) = (4KDH/L) \sum \left[\exp \left\{ -(2n+1)^2 \pi^2 \alpha t / L^2 \right\} \right] , \quad -3 \quad (٤, ٦٠)$$

$$n = 0, 1, 2, \dots, \infty$$

$$p = (8/\pi^2) \sum \left[\exp \left\{ -(2n+1)^2 \pi^2 \alpha t / L^2 \right\} \right] / (2n+1)^2 , \quad -4 \quad (٤, ٦١)$$

$$n = 0, 1, 2, \dots, \infty$$

حيث إن:

H = ارتفاع منسوب المياه الابتدائي فوق المصارف.

D = ارتفاع المصارف فوق الطبقة غير المنفذة.

L = تباعد المصارف.

$h(x, t)$ = ارتفاع منسوب المياه عند مسافة x ، وزمن t ، فوق المصارف.

x = المسافة من المصارف.

t = الزمن الذي بدأ عنده تصريف المياه الجوفية من ارتفاع منسوب المياه

الابتدائي.

$q(x = 0, t)$ = معدل التصريف إلى المصارف من جانب واحد لكل وحدة طول

من المصرف.

p = جزء الحجم المنصرف من المياه التي تبقى ليتم تصريفها عند زمن t .

من المفترض أن تكون $D \ll H$ ، وإلا يمكن اعتبار أن تكون D متوسط سمك

التشبع لطبقة الماء الأرضي. الانخفاض الأدنى لمنسوب المياه الجوفية سوف يحدث عند

منتصف مصرفين متوازيين، أي عند $x = L/2$. ولذلك يمكن استخدام المعادلة رقم (٤,٥٩) لتقدير تباعد المصارف لانخفاض منسوب المياه الجوفية الأدنى إلى h عندما $x = L/2$ فوق المصارف. السلسلة اللانهائية من المعادلة رقم (٤,٥٨) إلى المعادلة رقم (٤,٦١) للتحويلات السريعة المنصفة لكل $(\alpha t/L^2) < 0.01$. في مثل هذه الحالات، فإن الحد الثاني يكون $> 2\%$ من الحد الأول، والحدود المتبقية تكون أيضاً أصغر. وبالتالي فإنه يمكن تقريب هذه المعادلات إلى:

$$(٤,٦٢) \quad h(x,t) = (4H/\pi) \left[\exp\{-\pi^2 \alpha t/L^2\} \right] \sin\{\pi x/L\} - 1$$

$$(٤,٦٣) \quad h(x=L/2) = (4H/\pi) \left[\exp\{-\pi^2 \alpha t/L^2\} \right] - 2$$

$$(٤,٦٤) \quad q(x=0,t) = (4KD H/L) \left[\exp\{-\pi^2 \alpha t/L^2\} \right] - 3$$

$$(٤,٦٥) \quad p = (8/\pi^2) \left[\exp\{-\pi^2 \alpha t/L^2\} \right] - 4$$

ومن المعادلة رقم (٤,٦٣) لكل $(\alpha t/L^2) < 0.01$ ، يكون:

$$(٤,٦٦) \quad L = \pi \sqrt{\alpha t / \ln\{4H/(\pi h)\}}$$

وفي حالات أخرى حيث $n=0,1,2,3$ $(\alpha t/L^2) \leq 0.01$ يمكن أن تستخدم فيها المعادلات من رقم (٤,٥٨) إلى المعادلة رقم (٤,٦١). وعادة، فإن الحدود التي تحتوي على $n > 3$ يمكن أن تكون صغيرة جداً لدرجة ألا تؤخذ في الاعتبار.

مثال رقم (٤,١٣): في منطقة يتم ريها، كانت طبقة التربة غير المنفذة أسفل مستوى الحقل بحوالي ١٢ م. يتم تثبيت مصارف مغطاة على مسافة حوالي ٣ م أسفل مستوى الحقل. وأثناء موسم الري الأول، ارتفع مستوى الماء الأرضي إلى ٠,٧٥ م أسفل مستوى الحقل. فترة الري التالية للفترة الأولى تساوي ٣٠ يوماً. قبل الري الثاني، كان يتطلب خفض منسوب المياه إلى أسفل بحوالي ١,٥ م تحت مستوى الحقل. احسب المسافة بين المصارف في هذه الحالة. استخدم $K = ١,٥$ م و $S_y = ٠,١٨$

الحل:

أقصى ارتفاع لمنسوب المياه فوق المصارف

$$H = 3.0 - 0.75 = 2.25 \text{ m}$$

أقصى ارتفاع لمنسوب المياه فوق الطبقة غير المنفذة

$$12 - 0.75 = 11.25 \text{ m}$$

ارتفاع المصارف فوق الطبقة غير المنفذة

$$12 - 3 = 9 \text{ m}$$

و

$$h(x = L/2) = 3 - 1.5 = 1.5 \text{ m}$$

متوسط سمك الطبقة المشبعة

$$D \cong (11.25 + 9) / 2 = 10.125 \text{ m}$$

و

$$\alpha = KD/S_y = 3.05 \times 10.125 / 0.18 = 171.56 \text{ m}^2 / \text{day}$$

ويتطبيق المعادلة رقم (٤, ٦٦)

$$L = \pi \sqrt{[(171.56 \times 30) / \ln \{ (4 \times 2.25) / (\pi \times 1.5) \}]} = 280.2 \text{ m}$$

ولاختبار مدى صلاحية المعادلة رقم (٤, ٦٦)

$$\alpha t / L^2 = 171.56 \times 30 / (280.2)^2 = 0.066$$

إذن تطبيق المعادلة رقم (٤, ٦٦) يكون صحيحاً.

المعادلة التالية هي معادلة تقريبية لتقدير معدل سريان المياه الجوفية في الحالة

المستقرة في اتجاه مصرف دائري مفرد أو نفق (Freeze and Cherry 1979):

(٤, ٦٧)

$$q_T = 2\pi KH / \ln(2H/r)$$

حيث إن:

q_T = معدل التصرف في المصرف أو النفق لكل وحدة طول.

H = الضاغط فوق محور النفق.

r = نصف قطر المصرف أو النفق.

والمعادلة التالية هي معادلة تقريبية للحالة غير المستقرة (Freeze and Cherry 1979):

$$q_T(t) = \sqrt{(CKH^3 S_y t)} \quad (٤, ٦٨)$$

حيث إن:

$q_T(t)$ = معدل التصرف في المصرف أو النفق لكل وحدة طول عند زمن، t ،

بعد تلاشي السريان المستقر.

C = ثابت.

يمكن أن تختلف قيم الثابت C من $٣/٤$ إلى ٢ . والمعادلتان رقم (٤, ٦٧) ورقم

(٤, ٦٨) يمكن أن يكونا مفيدتين للتحليلات التمهيدية. ويجب استخدام النماذج

الرقمية لتحليلات أكثر دقة.

وفي بعض المواقع الصناعية يتم عمل أخاديد أو مصارف المياه الجوفية لجمع أو

اعتراض المياه الجوفية الملوثة من منطقة موقع العمل، والتي يمكن أن تضخ إلى خارج

الموقع خلال البالوعات التي تقع في أماكن مناسبة في الأخدود أو المصرف. ويتم

تصميم المضخات والأخاديد لسريان المياه الجوفية المتوقعة أثناء ظروف منسوب المياه

الجوفية القصوى التي تتبع حدوث العواصف. ومبدئياً إذا كان مستوى المياه تقريباً

أفقياً، فإن المعادلات التالية تستخدم لتقدير مناسيب المياه الجوفية المنخفضة ومعدلات

التصرف التي تدخل الأخدود أو المصرف (Carslaw and Jaeger 1984):

$$h(x, t) = h_0 + \left[4(H - h_0) / \pi \right] \sum \left\{ (-1)^n / (2n + 1) \right\} \left[\exp \left\{ -(2n + 1)^2 \pi^2 \alpha t / (4L^2) \right\} \right] \cos \left\{ (2n + 1) \pi x / (2L) \right\}, n = 0, 1, 2, \dots, \infty \quad (٤, ٦٩)$$

$$q(x = 0, t) = \{ 2KD(H - h_0) \} / L \sum \left[\exp \left\{ -(2n + 1)^2 \pi^2 \alpha t / (4L^2) \right\} \right], n = 0, 1, 2, \dots, \infty \quad (٤, ٧٠)$$

$$Q(t) = \{ 8KDL(H - h_0) \} / (\pi^2 \alpha) \sum \left[\exp \left\{ -(2n + 1)^2 \pi^2 \alpha t / (4L^2) \right\} \right] / (2n + 1)^2, n = 0, 1, 2, \dots, \infty \quad (٤, ٧١)$$

وكما في حالة المعادلات من رقم (٤, ٥٥) إلى رقم (٤, ٥٨) لكل $0.01 < \alpha t / (4L^2)$ فإن المعادلات التقريبية المبسطة التالية يمكن تطبيقها:

$$h(x, t) = h_0 + \left[4(H - h_0) / \pi \right] \left[\exp \left\{ -\pi^2 \alpha t / (4L^2) \right\} \right] \cos \left\{ \pi x / 2L \right\} \quad (٤, ٧٢)$$

$$q(x = 0, t) = \left[\{ 2KD(H - h_0) \} / L \right] \left[\exp \left\{ -\pi^2 \alpha t / (4L^2) \right\} \right] \quad (٤, ٧٣)$$

$$Q(t) = \left[\{ 8KD(H - h_0) \} / L \right] \left[\exp \left\{ -\pi^2 \alpha t / (4L^2) \right\} \right] \quad (٤, ٧٤)$$

حيث إن:

H = الارتفاع الأولي لمنسوب المياه فوق الطبقة غير المنفذة.

D = متوسط سمك الطبقة المشبعة.

L = المسافة من مستوى المياه الجوفية الأولي إلى الأخدود أو المصرف.

$h(x, t)$ = ارتفاع مستوى المياه فوق الطبقة غير المنفذة عند مسافة x وزمن t .

x = المسافة من مستوى المياه الجوفية.

t = الزمن منذ بدء تصريف المياه الجوفية من ارتفاع منسوب المياه الأولي.

h_0 = ارتفاع المصرف فوق الطبقة غير المنفذة.

$q(x=0, t)$ = معدل التصريف إلى الأخدود من جانب واحد لكل وحدة طول من الأخدود.

$Q(t)$ = معدل التصريف الكلي الذي يدخل الأخدود من جانب واحد حتى زمن قدره t .

إذا كان منسوب سطح المياه الأولي يمكن تحديده عن طريق ميل الخط المستقيم، فإن الانخفاض في المياه الجوفية الناتج عن الأخدود يمكن أن يقدر بالمعادلة:

$$h(x, t) = h_0 + \left[8(H - h_0) / \pi^2 \right] \sum \left\{ 1 / (2n + 1)^2 \right\} \left[\exp \left\{ - (2n + 1)^2 \pi^2 \alpha t / (4L^2) \right\} \right] \cos \left\{ (2n + 1) \pi x / (2L) \right\}, n = 0, 1, 2, \dots, \infty \quad (٤, ٧٥)$$

أو

$$h(x, t) = h_0 + (H - h_0) \left\{ (L - x) / L \right\} - \left[2(H - h_0) \sqrt{\alpha t / L} \right] \sum (-1)^n \left\{ \operatorname{ierfc}(U_1) - \operatorname{ierfc}(U_2) \right\}, n = 0, 1, 2, \dots, \infty \quad (٤, ٧٦)$$

حيث إن:

$$U_1 = (2nL + x) / \sqrt{4\alpha t}$$

$$U_2 = \{(2n + 2)L - x\} / \sqrt{(4\alpha t)}$$

ومستوى منسوب المياه الأولي يعطى بالخط المستقيم:

$$h(x) = H - (H - h_0) x / L$$

$\operatorname{ierfc}(U)$ يساوي تكامل $\operatorname{erfc}(U)$ من $u = 0$ إلى $u = \infty$ ويساوي

$$(1 / \sqrt{\pi}) \exp(-U^2) - U \operatorname{erfc}(U), \operatorname{erfc}(x) = 1 - \operatorname{erfc}(x)$$

المعادلة رقم (٤, ٧٥) تتغير بشكل سريع عندما تكون $\{\alpha t / (4L^2)\} \gg 0.01$ ، والمعادلة

رقم (٤, ٧٦) تتغير بشكل سريع عندما تكون $\{\alpha t / (4L^2)\} \ll 0.01$.

تأثير مستويات المياه الجوفية بالتغيرات في مستوى ماء النهر

Response of Groundwater Levels to River Stage Fluctuations

إذا كانت آبار مراقبة المياه الجوفية محفورة في طبقة حاملة للمياه متماثلة ومتجانسة، ومتصلة هيدروليكيًا مع النهر، فإن مستويات المياه في الآبار تتغير تبعاً للتغيرات في مستويات الماء بالنهر. فإذا كان منسوب المياه الجوفية الأولي تقريباً أفقياً عند نفس مستوى ماء النهر الأولي، فإن استجابة مستويات المياه الجوفية في البئر لتقلبات مستويات ماء النهر يمكن أن يتم تقريبها بالمعادلة التالية (Pinder *et al.* 1969; Prakash 1997):

$$h(x, t) = \sum e(m) \operatorname{erfc}\left\{\frac{u}{\sqrt{(n-m+1)}}\right\}, m=1, 2, 3, \dots, n \quad (٧٧, \xi)$$

حيث إن:

$$u = \left[x / \left\{ 2\sqrt{(\alpha \Delta t)} \right\} \right]$$

$h(x, t)$ = ارتفاع مستوى المياه الجوفية عن درجة الحالة المستقرة الأولية في النهر عند مسافة x ، وزمن t .

x = المسافة من النهر.

t = الزمن منذ بدء الارتفاع أو الانخفاض في مستوى النهر $n \Delta t$.

n = عدد الفترات الزمنية المتساوية المختارة لتقسيم الارتفاع أو الانخفاض في مستوى النهر إلى زيادات في العمق أصغر ومختلفة.

Δt = الفاصل الزمني التي تتغير خلالها مستوى النهر بـ $e(1), e(2), e(3), \dots$ إلخ.

$e(m)$ = الارتفاع أو الانخفاض في مستوى النهر في الزيادة الزمنية m^{th} .

إن تقسيم الزمن t إلى فترات زمنية عديدة هام إذا كان معدل التغيرات في مستويات النهر ليس منتظماً (أي، تختلف من فترة زمنية Δt إلى أخرى)، ويمكن

استخدام المعادلة رقم (٤,٧٧) لتقدير انتشارية طبقة الماء الأرضي α إذا كان مستوى المياه الجوفية وتقلبات مستوى النهر معلومة من مراقبات الحقل. وإذا كان الارتفاع أو الانخفاض في مستويات النهر تستمر إلى زمن لانهائي t_0 إذن:

$$(٤,٧٨) \quad h(x, t, t_0) = h(x, t) - h(x, t - t_0)$$

حيث إن:

$h(x, t, t_0)$ = التغير في مستوى المياه الجوفية عند مسافة x وزمن t الناتج عن الارتفاع أو الانخفاض في مستوى النهر الذي يحدث أثناء الفترة الزمنية t_0 .

وفي حالة ارتفاع مستويات النهر بشكل منتظم وبمنسوب ماء أفقي تقريباً عند بداية تقلبات مستوى النهر، فإن التغيرات في مستويات المياه الجوفية يمكن أن تقرب بالمعادلة التالية (Carslaw and Jaeger 1984):

$$(٤,٧٩) \quad h(x, t) = ct \left[\left\{ (1 + 2U^2) \operatorname{erfc}(U) \right\} - \left\{ (2/\sqrt{\pi}) U \exp(-U^2) \right\} \right]$$

حيث إن:

c = الارتفاع أو الانخفاض في مستويات النهر لكل وحدة زمنية.

$$U = x / \sqrt{(4\alpha t)}$$

مثال رقم (٤, ١٤): احسب مستويات المياه الجوفية في بئر مراقبة يقع على مسافة ٤٥ م من النهر عندما ترتفع المياه بالنهر بمعدل ٠,٠٥ م/الساعة خلال ٤٨ ساعة وتستمر في البقاء عند هذا المستوى لوقت طويل بما فيه الكفاية. استخدم α تساوي ١٨ م^٢/ساعة.

الحل:

$$U = x / \sqrt{(4\alpha t)} = 5.303 / \sqrt{t}$$

وبإجراء الحسابات باستخدام المعادلات رقم (٤,٧٩) ورقم (٤,٧٨) كما هو موضح في الجدول رقم (٤,١٠).

يتم إجراء الحسابات في المعادلة رقم (٤,٧٨) عن طريق تأخر $h(x, t)$ بمقدار t_0 (العمود رقم ٤)، ونجد العمود رقم (٥) بطرح العمود رقم (٤) من العمود رقم (٣).

الجدول رقم (٤,١٠). حسابات تقلبات مستوى المياه.

(١)	(٢)	(٣)	(٤)	(٥)
الزمن t		$h(x, t)$	$h(x, t)$ وجدت عن طريق $t_0 = 48 \text{ hr}$	$h(x, t, t_0)$
(ساعة)	$5.303/\sqrt{t}$	(م)		(م)
٢٤	١,٠٨٣	٠,٠٥١	٠	٠,٠٥١
٤٨	٠,٧٦٥	٠,٣٠١	٠	٠,٣٠١
٧٢	٠,٦٢٥	٠,٦٩٨	٠,٠٥١	٠,٦٤٧
٩٦	٠,٥٤١	١,١٩٣	٠,٣٠١	٠,٨٩٢
١٢٠	٠,٤٨٤	١,٧٥٧	٠,٦٩٨	١,٠٥٩
١٤٤	٠,٤٤٢	٢,٣٧٣	١,١٩٣	١,١٨٠
١٦٨	٠,٤٠٩	٣,٠٣٠	١,٧٥٧	١,٢٧٣
١٩٢	٠,٣٨٣	٣,٧٢٢	٢,٣٧٣	١,٣٤٩
٢١٦	٠,٣٦١	٤,٤٤١	٣,٠٣٠	١,٤١١
٢٤٠	٠,٣٤٢	٥,١٨٤	٣,٧٢٢	١,٤٦٢

السيان نصف القطري غير المستقر لبئر مخترق كلياً طبقة محصورة

Unsteady Radial Flow to a Well Fully Penetrating a Confined Aquifer

المعادلة التفاضلية التي تحكم السريان نصف القطري غير المستقر لبئر مخترق

كلياً طبقة حاملة للمياه محصورة متناهية ومتجانسة لمدى لانهاية:

$$(٤,٨٠) \quad \partial^2 h / \partial r^2 + 1/r \partial h / \partial r = (S/T) \partial h / \partial t$$

الشروط الحدية للمعادلة رقم (٤,٨٠) موضحة في التالي:

$$0 < t, \text{ Limit } r = r_w \rightarrow 0, (r \partial h / \partial r) = (Q / 2\pi T) - 1$$

(الثابت).

$$-2 \quad h(r, 0) = H, r_w \leq r \leq \infty \text{ (يوضح عدم وجود هبوط في البئر قبل الضخ).}$$

$$-3 \quad h(\infty, t) = H, t \geq 0 \text{ (يوضح عدم وجود هبوط عند ما لانهاية).}$$

تبعاً لهذه الشروط الحدية، فإن حل المعادلة رقم (٤,٨٠) يكون:

$$(٤,٨١) \quad H - h(r, t) = s(r, t) = -(Q / 4\pi T) Ei(-u) = (Q / 4\pi T) W(u)$$

حيث إن:

$$H = \text{الضغوط الهيدروليكي الأولى في طبقة الماء الأرضي.}$$

$$h(r, t) = \text{الضغوط عند مسافة } r, \text{ من البئر وزمن } t.$$

$$s(r, t) = \text{الهبوط عند مسافة } r, \text{ من البئر وزمن } t.$$

$$u = Sr^2 / (4Tt)$$

$$-Ei(-u) = \text{التكامل الأسّي.}$$

$$W(u) = \text{دالة البئر.}$$

وتعرف المعادلة رقم (٤,٨١) بمعادلة ثايس (Bear 1979). ودالة البئر تعطى

بالسلسلة اللانهائية:

$$(٤,٨٢) \quad W(u) = -0.5772 - \ln(u) + u - u^2 / (2.12) + u^3 / (3.13) - u^4 / (4.14) + \dots$$

ولعمل الحسابات على الحاسب الآلي تكون هناك تقريبات متعددة الحدود ومنطقية متاحة لتقدير $W(u)$ بدقة تبلغ 2×10^{-10} لقيم u التي تتراوح من صفري إلى ما لانهاية (Abramowitz and Stegan 1965). ودوال البئر للقيم المختارة من u مبينة في الجدول رقم (١١، ٤) (Bear 1979; Freeze and Cherry 1979; Wenzel). امتداد الجدول من $W(u)/2$ لقيم مختلفة من \sqrt{u} تعطى بواسطة (Glover 1985).

الجدول رقم (١١، ٤). دالة البئر $W(u)$ لطبقة حاملة للمياه محصورة.

$u = n \times 10^{-4}$	$u = n \times 10^{-3}$	$u = n \times 10^{-2}$	$u = n \times 10^{-1}$	$u = n$	n
٨,٦٣٣٢	٦,٣٣١٥	٤,٠٣٧٩	١,٨٢٢٩	٠,٢١٩٤	١,٠
٨,٢٢٧٨	٥,٩٢٦٦	٣,٦٣٧٤	١,٤٦٤٥	٠,١٠٠٠	١,٥
٧,٩٤٠٢	٥,٦٣٩٤	٣,٣٥٤٧	١,٢٢٢٧	٠,٠٤٨٩٠	٢,٠
٧,٧١٧٢	٥,٤١٦٧	٣,١٣٦٥	١,٠٤٤٣	٠,٠٢٤٩١	٢,٥
٧,٥٣٤٨	٥,٢٣٤٩	٢,٩٥٩١	٠,٩٠٥٧	٠,٠١٣٠٥	٣,٠
٧,٣٨٠٧	٥,٠٨١٣	٢,٨٠٩٩	٠,٧٩٤٢	٠,٠٠٦٩٧	٣,٥
٧,٢٤٧٢	٤,٩٤٨٢	٢,٦٨١٣	٠,٧٠٢٤	$3-10 \times 3,٧٧٩$	٤,٠
٧,١٢٩٥	٤,٨٣١٠	٢,٥٦٨٤	٠,٦٢٥٣	$3-10 \times 2,٠٧٣$	٤,٥
٧,٠٢٤٢	٤,٧٢٦١	٢,٤٦٧٩	٠,٥٥٩٨	$3-10 \times 1,١٤٨$	٥,٠
٦,٩٢٨٩	٤,٦٣١٣	٢,٣٧٧٥	٠,٥٠٣٤	$4-10 \times 6,٤٠٩$	٥,٥
٦,٨٤٢٠	٤,٥٤٤٨	٢,٢٩٥٣	٠,٤٥٤٤	$4-10 \times 3,٦٠١$	٦,٠
٦,٧٦٢٠	٤,٤٦٥٢	٢,٢٢٠١	٠,٤١١٥	$4-10 \times 2,٠٣٤$	٦,٥
٦,٦٨٧٩	٤,٣٩١٦	٢,١٥٠٨	٠,٣٧٣٨	$4-10 \times 1,١٥٥$	٧,٠
٦,٦١٩٠	٤,٣٢٣١	٢,٠٨٦٧	٠,٣٤٠٣	$5-10 \times 6,٥٨٠$	٧,٥
٦,٥٥٤٥	٤,٢٥٩١	٢,٠٢٦٩	٠,٣١٠٦	$5-10 \times 3,٧٦٠$	٨,٠
٦,٤٩٣٩	٤,١٩٩٠	١,٩٧١١	٠,٢٨٤٠	$5-10 \times 2,١٦٠$	٨,٥
٦,٤٣٦٨	٤,١٤٢٣	١,٩١٨٧	٠,٢٦٠٢	$5-10 \times 1,٢٤٠$	٩,٠
٦,٣٨٢٨	٤,٠٨٨٧	١,٨٦٩٥	٠,٢٣٨٧	$5-10 \times ٠,٧١٠$	٩,٥

تابع الجدول رقم (١١، ٤).

$u = n \times 10^{-10}$	$u = n \times 10^{-9}$	$u = n \times 10^{-8}$	$u = n \times 10^{-7}$	$u = n \times 10^{-6}$	$u = n \times 10^{-5}$	n
٢٢,٤٤٨٦	٢٠,١٤٦٠	١٧,٨٤٣٥	١٥,٥٤٠٩	١٣,٢٣٨٣	١٠,٩٣٥٧	١,٠
٢٢,٠٤٣٢	١٩,٧٤٠٦	١٧,٤٣٨٠	١٥,١٣٥٤	١٢,٨٣٨٢	١٠,٥٣٠٣	١,٥
٢١,٧٥٥٥	١٩,٤٥٢٩	١٧,١٥٠٣	١٤,٨٤٧٧	١٢,٥٤٥١	١٠,٢٤٢٦	٢,٠
٢١,٥٣٢٣	١٩,٢٢٩٨	١٦,٩٢٧٢	١٤,٦٢٤٦	١٢,٣٢٢٠	١٠,٠١٩٤	٢,٥
٢١,٣٥٠٠	١٩,٠٤٧٤	١٦,٧٤٤٩	١٤,٤٤٢٣	١٢,١٣٩٧	٩,٨٣٧١	٣,٠
٢١,١٩٥٩	١٨,٨٩٣٣	١٦,٥٩٠٧	١٤,٢٨٨١	١١,٩٨٥٥	٩,٦٨٣٠	٣,٥
٢١,٠٦٢٣	١٨,٧٥٩٨	١٦,٤٥٧٢	١٤,١٥٤٦	١١,٨٥٢٠	٩,٥٤٩٥	٤,٠
٢٠,٩٤٤٦	١٨,٦٤٢٠	١٦,٣٣٩٢	١٤,٠٣٦٨	١١,٧٣٤٢	٩,٤٣١٧	٤,٥
٢٠,٨٣٩٢	١٨,٥٣٦٦	١٦,٢٣٤٠	١٣,٩٣١٤	١١,٦٢٨٠	٩,٣٢٦٣	٥,٠
٢٠,٧٤٣٩	١٨,٤٤١٣	١٦,١٣٨٧	١٣,٨٣٦١	١١,٥٣٣٠	٩,٢٣١٠	٥,٥
٢٠,٦٥٦٩	١٨,٣٥٤٣	١٦,٠٥١٧	١٣,٧٤٩١	١١,٤٤٦٥	٩,١٤٤٠	٦,٠
٢٠,٥٧٦٨	١٨,٢٧٤٢	١٥,٩٧١٧	١٣,٦٦٩١	١١,٣٦٦٥	٩,٠٦٤٠	٦,٥
٢٠,٥٠٢٧	١٨,٢٠٠١	١٥,٨٩٧٦	١٣,٥٩٥٠	١١,٢٩٢٤	٨,٩٨٩٩	٧,٠
٢٠,٤٣٣٧	١٨,١٣١١	١٥,٨٢٨٠	١٣,٥٢٦٠	١١,٢٢٣٤	٨,٩٢٠٩	٧,٥
٢٠,٣٦٩٢	١٨,٠٦٦٦	١٥,٧٦٤٠	١٣,٤٦١٤	١١,١٥٨٩	٨,٨٥٦٣	٨,٠
٢٠,٣٠٨٦	١٨,٠٠٦٠	١٥,٧٠٣٤	١٣,٤٠٠٨	١١,٠٩٨٢	٨,٧٩٥٧	٨,٥
٢٠,٢٥١٤	١٧,٩٤٨٨	١٥,٦٤٦٢	١٣,٣٤٣٧	١١,٠٤١١	٨,٧٣٨٦	٩,٠
٢٠,١٩٧٣	١٧,٨٩٤٨	١٥,٥٩٢٢	١٣,٢٨٩٦	١٠,٩٨٧٠	٨,٦٨٤٥	٩,٥

تابع الجدول رقم (٤, ١١).

$u = n \times 10^{-15}$	$u = n \times 10^{-14}$	$u = n \times 10^{-13}$	$u = n \times 10^{-12}$	$u = n \times 10^{-11}$	n
٣٣,٩٦١٦	٣١,٦٥٩٠	٢٩,٣٥٦٤	٢٧,٠٥٣٨	٢٤,٧٥١٢	١,٠
٣٣,٥٥٦١	٣١,٢٥٣٥	٢٨,٩٥٠٩	٢٦,٦٤٨٣	٢٤,٣٤٥٨	١,٥
٣٣,٢٦٨٤	٣٠,٩٦٥٨	٢٨,٦٦٣٢	٢٦,٣٦٠٧	٢٤,٠٥٨١	٢,٠
٣٣,٠٤٥٣	٣٠,٧٤٢٧	٢٨,٤٤٠١	٢٦,١٣٧٥	٢٣,٨٣٤٩	٢,٥
٣٢,٨٦٢٩	٣٠,٥٦٠٤	٢٨,٢٥٧٨	٢٥,٩٥٥٢	٢٣,٦٥٢٦	٣,٠
٣٢,٧٠٨٨	٣٠,٤٠٦٢	٢٨,١٠٣٦	٢٥,٨٠١٠	٢٣,٤٩٨٥	٣,٥
٣٢,٥٧٥٣	٣٠,٢٧٢٧	٢٧,٩٧٠١	٢٥,٦٦٧٥	٢٣,٣٦٤٩	٤,٠
٣٢,٤٥٧٥	٣٠,١٥٤٩	٢٧,٨٥٢٣	٢٥,٥٤٩٧	٢٣,٢٤٧١	٤,٥
٣٢,٣٥٢١	٣٠,٠٤٩٥	٢٧,٧٤٧٠	٢٥,٤٤٤٤	٢٣,١٤١٨	٥,٠
٣٢,٢٥٦٨	٢٩,٩٥٤٢	٢٧,٦٥١٦	٢٥,٣٤٩١	٢٣,٠٤٦٥	٥,٥
٣٢,١٦٩٨	٢٩,٨٦٧٢	٢٧,٥٦٤٦	٢٥,٢٦٢٠	٢٢,٩٥٩٥	٦,٠
٣٢,٠٨٩٨	٢٩,٧٨٧٢	٢٧,٤٨٤٦	٢٥,١٨٢٠	٢٢,٨٧٩٤	٦,٥
٣٢,٠١٥٦	٢٩,٧١٣١	٢٧,٤١٠٥	٢٥,١٠٧٩	٢٢,٨٠٥٣	٧,٠
٣١,٩٤٦٧	٢٩,٦٤٤١	٢٧,٣٤١٥	٢٥,٠٣٨٩	٢٢,٧٣٦٣	٧,٥
٣١,٨٨٢١	٢٩,٥٧٩٥	٢٧,٢٧٦٩	٢٤,٩٧٤٤	٢٢,٦٧١٨	٨,٠
٣١,٨٢١٥	٢٩,٥١٨٩	٢٧,٢١٦٣	٢٤,٩١٣٧	٢٢,٦١١٣	٨,٥
٣١,٧٦٤٣	٢٩,٤٦١٨	٢٧,١٥٩٢	٢٤,٨٥٦٦	٢٢,٥٥٤٠	٩,٠
٣١,٧١٠٣	٢٩,٤٠٧٧	٢٧,١٠٥١	٢٤,٨٠٢٥	٢٢,٤٩٩٩	٩,٥

المصدر: (Bear (1979) ; Freeze and Cherry (1979) ; Wenzel (1942).

وفي حالة u أكبر من ٠,٠١، فإنه يمكن تقدير $W(u)$ عن طريق الحدين

الأولين من المعادلة رقم (٤, ٨٢) والمعادلة رقم (٤, ٨١) يمكن أن تقرب بالمعادلة:

$$s(r, t) = \{Q / (4\pi T)\} \ln \{2.25 T t / (S r^2)\} \quad (٤, ٨٣)$$

وإذا كان الهبوط عند قيمة معروفة لـ r عند زمين t_1 ، t_2 :

$$(٤,٨٤) \quad s_1 - s_2 = \{Q/(4\pi Tt)\} \ln(t_1/t_2) = \{2.3Q/(4\pi T)\} \log(t_1/t_2)$$

ويمكن استخدام المعادلة رقم (٤,٨٣) في تقدير الهبوط لكل u أصغر من

٠,٠١ بخطأ حوالي ٥٪ أو أقل (Delleur 1999). لاحظ أن r تؤول إلى R عندما $s(r, t)$

تؤول إلى الصفر. وبوضع $s(r, t) = 0$ في المعادلة رقم (٤,٨٣)، نلاحظ أن نصف قطر

التأثير R يزداد مع مدة الضخ ويعطى بالمعادلة التالية (انظر الجزء في هذا الفصل

بعنوان "نصف قطر التأثير"):

$$(٤,٨٥) \quad R = 1.5\sqrt{(Tt/S)}$$

وإذا كانت مدة ضخ البئر t_0 ثم توقف الضخ، فإن الهبوط الناتج يعطى بالمعادلة:

$$(٤,٨٦) \quad s(r, t, t_0) = \{Q/(4\pi T)\} \ln\{t/(t-t_0)\}$$

حيث إن:

$s(r, t, t_0)$ = الهبوط عند مسافة r ، من البئر وزمن t ، بسبب الضخ لمدة t_0 ،

بمعدل ثابت Q .

إذا كان هناك حد ضاغط ثابت (مثلاً، نهر دائم) يقع على مسافة b من سطح

البئر على طول المحور x والبئر يقع في المركز، إذن، فباستخدام بئر شكلي (أي، بئر

إعادة ملء) يقع على مسافة b من النهر على الجانب الآخر:

$$(٤,٨٧) \quad s(x, y, t) = \{Q/(2\pi T)\} \ln(r/r')$$

حيث إن:

$s(x, y, t)$ = الهبوط عند النقطة (x, y) عند زمن t .

$$.r = \sqrt{(x^2 + y^2)}$$

$$.r' = \sqrt{(2b-x)^2 + y^2}$$

وبالمثل، إذا كان حداثاً غير منفذ أو حد عدم تدفق (حد فاصل للمياه الجوفية) يقع على بعد مسافة b من سطح البئر على طول المحور x ، إذن يستخدم بئر الضخ كبئر شكلي:

$$s(x, y, t) = \{Q / (2 \pi T)\} \ln \{2.25 T t / (S r r')\} \quad (٤,٨٨)$$

أيضاً، لعدد من الآبار تضخ من نفس طبقة الماء الأرضي:

$$s(x, y, t) = (Q_1 / 4\pi T) W(u_1) + (Q_2 / 4\pi T) W(u_2) + \dots + (Q_n / 4\pi T) W(u_n) \quad (٤,٨٩)$$

حيث إن:

$$Q_1, Q_2, \dots, Q_n = \text{معدلات الضخ من البئر رقم } ١, ٢, \dots, n.$$

$$u_i = S r_i^2 / (4 T t_i)$$

$$r_i = \text{مسافة البئر } i \text{ من النقطة } (x, y).$$

$$t_i = \text{الزمن منذ بدء الضخ في البئر } i, \text{ عند زمن } t.$$

$$s(x, y, t) = \text{الهبوط عند النقطة } (x, y), \text{ وزمن } t.$$

$$\text{لاحظ أن } t_i = t - t_{ia}, \text{ حيث إن } t_{ia} = \text{الزمن عند بدء الضخ في البئر } i.$$

ويمكن أن تستخدم المعادلة رقم (٤,٨٩) في تقدير النقص في إنتاجية البئر لنفس الهبوط بسبب تداخل الآبار القريبة.

مثال رقم (٤,١٥): بئر يضخ من طبقة حاملة للمياه محصورة متائلة ومتجانسة. فإذا كان الهبوط المسموح به عند سطح البئر بعد ١٨٠ يوماً من الضخ لا يتجاوز قيمة محددة. احسب النقص في إنتاجية البئر بسبب التداخل إذا كان هناك أربعة آبار بنفس التصرف محفورة في الطبقة الحاملة للمياه. ومسافات الآبار الإضافية من البئر الأصلي موضحة في الجدول رقم (٤,١٢).

الحل:

بالنسبة للبئر رقم ١ فإن

$$s = \{Q_1 / (4\pi T)\} W(u_1)$$

حيث إن:

 s = الهبوط المسموح به عند سطح البئر. Q = معدل الضخ بدون تداخل أي بئر.

$$u_1 = Sr_w^2 / (4Tt)$$

الجدول رقم (٤، ١٢). مسافات الآبار الإضافية من البئر الأصلي.

المسافة من البئر رقم ١ (م)	رقم البئر
$r_2 = 914.36$	٢
$r_3 = 1219.14$	٣
$r_4 = 1523.93$	٤
$r_5 = 3047.85$	٥

وعند تركيب البئر رقم ٢ فإن

$$s = \{Q_2 / (4\pi T)\} [W(u_1) + W(u_2)]$$

حيث إن:

 Q_2 = معدل الضخ عندما يكون البئران يعملان معاً ولذلك يكون الهبوط عندسطح البئر رقم ١ هو نفسه (أي يساوي s) و $u_2 = Sr_2^2 / (4Tt)$ ، إذن:

$$Q_2 / Q_1 = 1 / [1 + \{W(u_2) / W(u_1)\}]$$

وفي حالة خمسة آبار:

$$Q_5 / Q_1 = 1 / [1 + \{W(u_2) / W(u_1)\} + \dots + \{W(u_5) / W(u_1)\}]$$

$$\begin{aligned}
 u_1 &= 0.00066 \times (0.0762)^2 / (4 \times 1207.6 \times 180) = 4.4 \times 10^{-12} \\
 W(u_1) &= 25.5706 \\
 u_2 &= 0.00066 \times (914.6)^2 / (4 \times 1207.6 \times 180) = 0.000635 \\
 W(u_2) &= 6.7859 \\
 u_3 &= 0.00066 \times (1219.14)^2 / (4 \times 1207.6 \times 180) = 0.0011282 \\
 W(u_3) &= 6.2110 \\
 u_4 &= 0.00066 \times (1523.93)^2 / (4 \times 1207.6 \times 180) = 0.001763 \\
 W(u_4) &= 5.7654 \\
 u_5 &= 0.00066 \times (3047.85)^2 / (4 \times 1207.6 \times 180) = 0.007051 \\
 W(u_5) &= 4.3844
 \end{aligned}$$

وبالتالي تكون

$$\begin{aligned}
 Q_2 / Q_1 &= 1 / [1 + 6.7859 / 25.5706] \\
 Q_3 / Q_1 &= 1 / [1 + \{(6.7859 + 6.2110) / 25.5706\}] = 0.663
 \end{aligned}$$

وبالمثل تكون

$$Q_4 / Q_1 = 0.577$$

$$Q_5 / Q_1 = 0.525$$

وحيث إن قيم u_5, u_4, u_3, u_2, u_1 تكون أقل من ٠,٠١، فإن تطبيق المعادلة (٤,٨٣) يكون صحيحاً أيضاً. وبالتالي فإن:

$$s(r, t) = \{Q_1 / (4\pi T)\} \ln \{2.25Tt / (Sr_w^2)\} = \{Q_2 / (2\pi T)\} \ln \{2.25Tt / (Sr_w r_2)\}$$

و

$$\begin{aligned}
 Q_2 / Q_1 &= \ln \{2.25Tt / (Sr_w^2)\} / [2 \cdot \ln \{2.25Tt / (Sr_w r_2)\}] = \ln [2.25 \times 1207.6 \times \\
 &180 / \{0.00066 \times (0.0762)^2\}] / [2 \times \ln [2.25 \times 1207.6 \times 180 / \{0.00066 \times \\
 &0.0762 \times 914.36\}]] = 25.5723 / \{2 \times 16.1797\} = 0.79
 \end{aligned}$$

ويمكن تقدير قيم $Q_5 / Q_1, Q_4 / Q_1, Q_3 / Q_1$ و Q_5 / Q_1 بنفس الطريقة.

السريان نصف القطري غير المستقر لبئر مخترق كلياً طبقة غير محصورة

Unsteady Radial Flow to a Well Fully Penetrating an Unconfined Aquifer

المعادلة التفاضلية التي تحكم السريان القطري غير المستقر لبئر مخترق كلياً

لطبقة حاملة للمياه غير محصورة متماثلة ومتجانسة لمدى لانهائي هي:

$$(٤,٩٠) \quad 1/r \partial / \partial r (r h \partial h / \partial r) = (S_y / K) \partial h / \partial t$$

حيث إن:

$$S_y = \text{الإنتاجية النوعية من الطبقة الحاملة للمياه.}$$

وهناك طرق عديدة لحل وجعل المعادلة رقم (٤,٩٠) معادلة خطية:

١- بفرض أن h (الموجودة في القوس على الجانب الأيسر) $\cong H_0 =$ متوسط

سمك الطبقة المشبعة، و $T_0 = KH_0 =$ متوسط قابلية النقل للطبقة المشبعة، وبهذا

تصبح المعادلة رقم (٤,٩٠):

$$(٤,٩١) \quad 1/r \partial / \partial r (r \partial h / \partial r) = (S_y / T_0) \partial h / \partial t$$

وكما اتبع في المعادلة رقم (٤,٨٠)، يصبح حل المعادلة رقم (٤,٩١):

$$(٤,٩٢) \quad s(r,t) = (Q/4\pi T_0) W(u)$$

حيث إن:

$$u = S_y r^2 / (4T_0 t)$$

٢- بوضع $s' = s - (s^2 / 2H)$ حيث $s' = H$ سمك الطبقة المشبعة الابتدائي

(انظر المعادلة رقم (٤,٤٨)، فتصبح المعادلة رقم (٤,٩٠):

$$(٤,٩٣) \quad 1/r \partial / \partial r (r \partial s' / \partial r) = (S'_y / T) \partial s' / \partial t$$

حيث إن:

$$T = KH \text{ و } S'_y = S_y [H / (H - s)]$$

وكما في حالة المعادلة رقم (٤,٨٠)، يصبح حل المعادلة رقم (٤,٩٣):

$$s'(r,t) = (Q/4\pi T) W(u') \quad (٤,٩٤)$$

حيث إن $u' = S_y r^2 / (4Tt)$. يعد هذا التطبيق مقبولاً طالما أن $s \gg H$. وحيث إن قيمة s غير معروفة مسبقاً، يكون من المطلوب عمل تقديراً مبدئياً لقيمة S_y ، والذي يمكن تعديله بعد حساب قيمة s . ويمكن أن تؤخذ القيمة المبدئية لـ S_y على أنها أكبر من القيمة المعروفة للإنتاجية النوعية S_y ، بالنسبة للطبقة الحاملة للمياه ويمكن حينئذ تعديل الحسابات مع القيمة المعدلة لـ S_y .

تقدير معاملات الطبقة الحاملة للمياه Estimation of Aquifer Parameters

يتم تقدير معاملات الطبقة الحاملة للمياه (مثل T و S) باستخدام معلومات الهبوط الزمني من اختبارات الضخ من الآبار في الطبقة الحاملة للمياه. تعتبر المعادلة رقم (٤,٨٣) مفيدة في تحليل معلومات اختبار الضخ لتحديد T و S للطبقات المحصورة، والمتسربة المحصورة، وغير المحصورة. هذا لوجود علاقة خطية (خط مستقيم) بين s (المقياس الطبيعي) على المحور y و t (المقياس اللوغاريتمي) على المحور x . ويكون ميل الخط المستقيم على المحور x يساوي $2.3Q/4\pi T$. وبمعرفة Q يمكن حساب T . وعادة فإن تحليل الانحسار الخطي باستخدام قيم مقاسة متنوعة من s و t ، وبحساب T و S يمكن تحقيقه من خلال برامج الحاسب مثل AQTESOLV (Duffield and Rumbaugh, 1989). ويمكن أن تقوم برامج الحاسب هذه بمعالجة عدد كبير من قيم البيانات باستخدام المعادلة رقم (٤,٨٣) أو المعادلات المعدلة لطبقات الماء الأرضية غير المحصورة وطبقات الماء الأرضية المتسربة المحصورة واستخدام البيانات من الآبار المخترقة جزئياً. وهناك أيضاً طرق أخرى لتحليل معلومات اختبار الضخ لأنواع مختلفة من طبقات الماء الأرضي مشتملة في برامج الحاسب مثل

AQTESOLV. وهي تشمل طريقة ثايس (باستخدام دالة البئر $W(u)$)، وطريقة كوبر جاكوب (باستخدام المعادلة رقم ٤,٨٣)، وطريقة هانتش لطبقات الماء الأرضي المتسربة المحصورة (Bear 1979).

إذا كانت الإنتاجية القصوى المتوقعة للبئر لا يمكن تقديرها من إنتاجية الآبار الأخرى في الجوار القريب أو من معلومات هيدروليكية أخرى، فإنه ينصح في بعض الأحيان بإجراء اختبار خطوة الهبوط لتقدير معدل الضخ الأقصى. يمكن أن يكون هذا الاختبار مفيداً كذلك لتقييم أداء الآبار حيث يكون السريان المتوقع مضطرباً (Driscoll 1989).

ويمكن أن يشمل اختبار خطوة الهبوط من خمس إلى ثماني خطوات ضخ، تدوم كل منها من ساعة إلى ساعتين. ويزداد معدل الضخ بسلوك تدريجي أثناء الفترات المتعاقبة من الزمن. وفي كل فترة زمنية، يتم ضخ البئر بمعدل ثابت حتى يستقر مستوى المياه. ثم يزداد معدل الضخ إلى المستوى التالي الأعلى. ويجب الحفاظ على معدل ضخ ثابت خلال أي من فترات الضخ، لكن يجب أن يختلف المعدل من فترة إلى أخرى. ويمكن أن تكون مدة الاختبار الكلية من خمس إلى ست ساعات. وحيث إن كل من السريان الطبقي والمضطرب يمكن أن يحدث أثناء الضخ، فإن الهبوط يمكن أن يعبر عنه كالتالي (Driscoll 1989; Bear 1979):

$$s = BQ + CQ^2 \quad (٤,٩٥)$$

حيث B و C ثوابت البعد. ومع خمس إلى ثماني مجموعات لقيم s و Q التي يتم الحصول عليها من اختبار خطوة الهبوط، فإنه يمكن استخدام الانحسار متعدد الحدود للحصول على قيم B و C . ويمكن استخدام طريقة تقريبية أكثر بساطة لتقدير قيم B و C باستخدام الانحسار الخطي أو الخط المستقيم البياني المناسب بين قيم

s/Q و Q للحصول على قيم B و C . قيم B و C هذه وأقصى قيمة مسموح بها لـ s الخاصة بطبقة الماء الأرضي يمكن إذن استخدامها لتقدير القيمة القصوى لـ Q . وإذا تم إجراء اختبار خطوة الهبوط، فإن اختبار معدل الضخ الثابت يبدأ بعد أن يعود مستوى المياه إلى المستوى الثابت السابق للضخ. ويجب إجراء اختبار معدل الضخ الثابت مع التصرف الثابت الذي يساوي على الأقل ١٠٪ (لكنه يمكن أن يصل إلى ١٠٠٪) من الإنتاجية القصوى المتوقعة من البئر.

ويمكن أن تكون مدة اختبار معدل الضخ الثابت حوالي ٢٤ ساعة لطبقة حاملة للمياه ومحصورة و٧٢ ساعة لطبقة حاملة للمياه وغير محصورة. ويجب أن تجمع بيانات زمن الهبوط أثناء كل من فترات الضخ وفترات الاستعادة. عادة، تستخدم مسجلات البيانات لتسجيل تلك البيانات. وينصح أن بتسجيل الضغط البارومتري، ومعدل سقوط المطر، ومستويات المياه في مجموعات أسطح المياه داخل المخروط المتوقع من الانخفاض في اختبار البئر أثناء فترة الاختبار. ويمكن ملاحظة أن الضغط البارومتري الذي يزداد بمقدار ١ سم زئبق يمكن أن يؤدي إلى الهبوط بحوالي ٨ سم في مستوى المياه في بئر الملاحظة بطبقة الماء الأرضي (انظر الجزء الموجود بهذا الفصل بعنوان "تأثير تقلبات الضغط البارومتري").

ويجب تصوير الاختبار على الأقل خلال ثلث سمك الطبقة الحاملة للمياه ما عدا في حالة الطبقات صغيرة السمك حيث إن حوالي ٧٥٪ من السمك الكلي يمكن تصويره. ويجب أن يكون قطر بئر الاختبار كافياً لترتيب معدات الضخ. وفي الغالب تتراوح أقطار البئر من ١٠ إلى ٣٠ سم ويمكن أن تكون بقطر ٦٠ سم للآبار الأكبر. ويمكن عمل التقدير التمهيدي لقطر البئر الذي يغطي عند تصرف محدد باستخدام سرعة أقل من ١,٥ م/ث خلال التغطية. وبالتالي فإن تصرف البئر الذي يساوي

١٠٠ ل/ث يمكن أن يتطلب بئر بقطر حوالي ٣٠ سم. ويمكن أن يلزم تعديل هذا الحجم لتركيب معدات الضخ. ويمكن عمل التقدير التمهيدي للمساحة المفتوحة من مصفاة البئر باستخدام سرعة حوالي ٠,٠٣ م/ث خلال مصفاة البئر. وبالتالي فإن المساحة المفتوحة من المصفاة المطلوبة لبئر تصرفه حوالي ١٠٠ ل/ث تبلغ ٣,٥ م^٢. ويمكن حساب طول المصفاة المطلوبة إذا كانت المساحة المفتوحة لكل وحدة طول من المصفاة لأحجام مختلفة، معلومة من المصنع.

وبسبب عملية الضخ، يوجد اضطراب في بئر الاختبار ونتيجة لذلك، فإن بيانات زمن الهبوط لبئر الاختبار يمكن ألا تكون دقيقة. وبالتالي، يجب استخدام بئر مراقبة واحد على الأقل لتسجيل بيانات زمن الهبوط بالإضافة إلى بئر الاختبار. ويمكن أن يكون قطر بئر المراقبة صغيراً كما يمكن عمله للسماح بالقياس الدقيق لمستويات المياه ولتقييم استجابة الطبقة الحاملة للمياه، وتتراوح الأقطار النموذجية لأبار المراقبة بين ٨ إلى ١٢ سم. ويمكن أن يكون عمق مصفاة بئر المراقبة حوالي ١ إلى ٢ م ويجب أن يتطابق مع الجزء من عمق المصفاة في بئر الاختبار. واعتماداً على الطرق المتاحة وقابلية النقل للطبقة الحاملة للمياه، يمكن أن يكون موقع بئر المراقبة على بعد حوالي ٥٠ إلى ٢٠٠ م من بئر الاختبار في الطبقات المحصورة، وحوالي ٣٠ إلى ١٠٠ م في الطبقات غير المحصورة حيث إن مخروط الانخفاض يؤدي إلى معدل أبطأ نسبياً. وبشكل عام، فإنه يجب استخدام مسافات أصغر لطبقات الماء الأرضي السابقة.

ويجب تسجيل بيانات زمن الهبوط أثناء كل من فترات الضخ وفترات الاستعادة. وتبدأ فترة الاستعادة فوراً بعد توقف الضخ. إذا كانت تحليلات بيانات اختبار الضخ تعتمد على المعادلة رقم (٤,٨٣)، فإنه ينصح بتسجيل بيانات زمن الهبوط حتى يكون هناك عدد من الملاحظات في دورة زمنية بالسجل (أي ١ إلى ١٠

دقيقة، ١١ إلى ١٠٠ دقيقة، ١٠١ إلى ١٠٠٠ دقيقة، ... إلخ، بعد بدء الضخ أو الاستعادة). والفترات الزمنية النموذجية لتسجيل الهبوط أثناء اختبار معدل الضخ الثابت موضحة في الجدول رقم (٤، ١٣) (Driscoll 1989; Delleur 1999). ويمكن استخدام نفس الفترات الزمنية لتسجيل ارتفاع مستوى المياه أثناء فترة الاستعادة.

الجدول (٤، ١٣). الفترات الزمنية لبيانات سجل زمن الهبوط.

بئر الضخ		بئر الملاحظة	
الوقت منذ بدء الاختبار (دقيقة)	الفترة الزمنية بين القياسات (دقيقة)	الوقت منذ بدء الاختبار (دقيقة)	الفترة الزمنية بين القياسات (دقيقة)
٣-٠	٠,٥	١٠-٠	١
١٥-٤	١	١٢٠-١١	٥
٦٠-١٦	٥	٢٤٠-١٢١	١٠
٣٦٠-٦١	٣٠	٣٦٠-٢٤١	٣٠
١٤٤٠-٣٦١	٦٠	١٤٤٠-٣٦١	٦٠
أكبر من ١٤٤٠	٤٨٠	أكبر من ١٤٤٠	٤٨٠

المصدر: (Driscoll (1989) ; Delleur (1999).

في بعض الحالات، وبالتحديد للآبار كبيرة القطر، فإن بيانات زمن الهبوط يمكن ألا توافق الخط المستقيم على تمثيل s مقابل $\log t$ لأن هذه البيانات يمكن أن تعكس انتقال المياه من غلاف البئر. أيضاً، يمكن ألا توافق بيانات زمن الهبوط (أقل من حوالي ٥ دقائق أو نحوه) لبئر المراقبة الخط المستقيم، لأن u يمكن أن تكون أكبر من ٠,١٠ ولهذا لا يمكن تطبيق المعادلة رقم (٤, ٨٣). وبالتالي يمكن إهمال هذه

البيانات. بإمكان هذا أن يحصر البيانات ضمن أول ١٠ دقائق أو نحوه. ويمكن أن تتأثر بيانات زمن الهبوط لمرات أكثر تأخراً أو عن طريق الطبقات غير المنفذة التي تقع أبعد ولكن ضمن مخروط الانخفاض عن البئر. وفي حالة إعادة الملء يوجد حد فاصل يدل على أن تمثيل s مقابل $\log t$ يصبح مقلطحاً بعد نقطة معينة. وبالعكس، يتم توضيح الحد غير المنفذ إذا ازداد انحدار التمثيل البياني بعد زمن معين. وفي مثل هذه الحالات، فإنه يجب استخدام بيانات الفترات المبكرة لتقدير معاملات طبقة الماء الأرضي.

ويتضمن تصميم برنامج اختبار ضخ الخطوات التالية:

- ١- اختيار الموقع وتركيب معدات الاستخراج (الاختبار) والمراقبة لأجل الضخ، ومستويات المياه، وتسجيل البيانات.
- ٢- مراقبة مستويات المياه الجوفية المحيطة داخل مخروط الانخفاض المتوقع لبئر الاختبار، وتحديد حدود طبقة الماء الأرضي (مثلاً، الأنهار، البحيرات، مناطق إعادة الملء، سريان المياه الجوفية المنتظم، أقسام المياه الجوفية أو الطبقات غير المنفذة)، وأبار الاستخراج أو الحقن بمعدلات تصرفها أو إعادة ملأها.
- ٣- تركيب مقياس الضغط البارومتر ومقياس المطر في الجوار القريب.
- ٤- إجراء اختبار ضخ، يشمل خطوة الهبوط (إذا لزم الأمر) واختبارات المعدل الثابت.
- ٥- تحليل البيانات باستخدام الطريقة الملائمة لطبقة الماء الأرضي (أي، محصورة، غير محصورة، شبه محصورة).
- ٦- عمل تقرير بالتحضيرات.

مثال رقم (٤, ١٦): يراد تثبيت بئر إنتاج في طبقة حاملة للمياه. يبلغ التصرف المتوقع من البئر ١٠٠ ل/ث. توضح معلومات الصنع إن مساحة الفتحات بالمصفاة ٢٨٦٠ سم^٢/م لمصافي قطرها ٢٠ و ٣٠ سم. احسب الأقطار التمهيدية لأنابيب التغليف ومصفاة البئر. ارتفاع منسوب المياه الجوفي الأولي ٢٠ م فوق الطبقة الصماء، والهبوط عند سطح البئر لا يتجاوز ٢ م. استخدم K يساوي ٠,٠٣ م/ث ونصف قطر تأثير ١٣٠ م.

الحل:

السرعة المطلوبة خلال أنابيب التغليف ١,٥ م/ث، وحيث التصرف Q يساوي ٠,١ م^٣/ث. لذلك فإن قطر أنابيب التغليف

$$\sqrt{[(0.1/1.5)(4/\pi)]} = 0.291 \text{ m}$$

بالتالي يستخدم قطر ٣٠ سم لأنابيب التغليف.

إذا كان طول المصفاة هو L والسرعة القصوى خلال فتحات المصفاة تساوي ٠,٠٣ م/ث، إذن:

$$L \times 0.2860 \times 0.03 = 0.1$$

وبالتالي

$$L = 11.67 \text{ m}$$

نستخدم طول المصفاة يساوي ١٢ م.

وبفرض أن

$$r_w = 10 \text{ cm} = 0.1 \text{ m}$$

ومن المعادلة رقم (٤, ٢٢):

$$Q = 0.1 = \pi K (H^2 - h_w^2) / \ln(R/r_w) = \pi \times 0.003 (20^2 - h_w^2) / \ln(130/0.1)$$

ومن هذه المعادلة ينتج أن

$$h_w = 18 \text{ m}$$

والهبط عند سطح البئر يساوي ٢ م، وهذا مقبول.

إذا استخدم قطر ٢٠ سم وطول ١٢ م للمصفاة. واعتماداً على الطبقات التي تصادف أثناء الحفر، فإنه يمكن تعديل هذه الأبعاد.

مثال رقم (٤، ١٧): بيانات زمن الهبوط في بئر مراقبة يقع على بعد ٦٠ م من بئر إنتاج مخترق كلياً لطبقة حاملة للمياه محصورة ويضخ بمعدل ٥٠ ل/ث موضحة في الأعمدة (١)، (٣)، (٤)، (٦)، (٧)، (٩) بالجدول رقم (٤، ١٤). احسب قابلية النقل ومعامل التخزين للطبقة الحاملة للمياه.

الحل:

يمكن تحليل البيانات الناتجة من اختبار الضخ هذا باستخدام نماذج الحاسب مثل AQTESOLV (Duffield and Rumbaugh 1989). وموضح هنا منهج بديل يعتمد على المعادلة رقم (٤، ٨٣) باستخدام ورقة عمل. ويمكن أن يكون هذا مفيداً للتحليلات التمهيدية عندما تكون المعادلة رقم (٤، ٨٣) قابلة للتطبيق ولا يكون الحصول على النموذج متاح في الحال.

وتحسب لوغاريتمات الزمن t ، في الأعمدة (٢)، (٥)، (٨). يتم عمل الانحسار الخطي مع $\log(t)$ كمتغير مستقل والهبوط s كمتغير غير مستقل (تابع). وإن معادلة الانحسار التي تستخدم كل نقاط البيانات الـ ٣٦ (بإهمال $t=0$) هي

$$s = 0.201 + 0.431747 \log(t)$$

بمعامل تعيين (r^2) يساوي ٠,٩٩٩٤

وبحساب قيم s عند t تساوي ١٠ دقائق و ١٠٠ دقيقة تصبح:

$$s_1 (t=10 \text{ min}) = 0.201 + 0.431747 \log(10) = 0.632747 \text{ m}$$

$$s_2 (t=100 \text{ min}) = 0.201 + 0.431747 \log(100) = 1.0645 \text{ m}$$

$$s_1 - s_2 = 0.431747 \log(10/100) = -0.431747 \text{ m}$$

الجدول رقم (٤، ١٤). بيانات زمن الهبوط لبئر المراقبة ($r = 60 \text{ m}$).

(٩) s (م)	(٨) $\log(t)$	(٧) t (دقيقة)	(٦) s (م)	(٥) $\log(t)$	(٤) t (دقيقة)	(٣) s (م)	(٢) $\log(t)$	(١) T (دقيقة)
٠,٩٦٦	١,٧٧٨	٦٠	٠,٦٤٤	١,٠٤١	١١	*	-	*
١,٠٣٣	١,٩٥٤	٩٠	٠,٦٦٠	١,٠٧٩	١٢	٠,٢٢١	*	١
١,٠١٠	٢,٠٧٩	١٢٠	٠,٦٨١	١,١١٤	١٣	٠,٢٩٢	٠,١٧٦	١,٥
١,١٤٧	٢,١٧٦	١٥٠	٠,٦٩٧	١,١٤٦	١٤	٠,٣٣٢	٠,٣٠١	٢
١,٢١٠	٢,٣٢٢	٢١٠	٠,٧٣١	١,١٧٦	١٥	٠,٣٧٢	٠,٣٩٨	٢,٥
١,٢٣٠	٢,٣٨٠	٢٤٠	٠,٧٦٤	١,٣٠١	٢٠	٠,٤٠٦	٠,٤٧٧	٣
١,٢٥١	٢,٤٣١	٢٧٠	٠,٨٠١	١,٣٩٨	٢٥	٠,٤٥٦	٠,٦٠٢	٤
١,٢٧١	٢,٤٧٧	٣٠٠	٠,٨٣٥	١,٤٧٧	٣٠	٠,٤٩٩	٠,٦٩٩	٥
١,٣٠٤	٢,٥٥٦	٣٦٠	٠,٨٦٢	١,٥٤٤	٣٥	٠,٥٣٣	٠,٧٧٨	٦
١,٣٣٨	٢,٦٢٣	٤٢٠	٠,٨٨٨	١,٦٠٢	٤٠	٠,٥٦٠	٠,٨٤٥	٧
١,٣٧٥	٢,٦٨١	٤٨٠	٠,٩١٢	١,٦٥٣	٤٥	٠,٥٨٧	٠,٩٠٣	٨
			٠,٩٣٢	١,٦٩٩	٥٠	٠,٦٠٧	٠,٩٥٤	٩
			٠,٩٤٩	١,٧٤٠	٥٥	٠,٦٢٤	١	١٠

ومن المعادلة رقم (٤، ٨٤):

$$\begin{aligned} s_1 - s_2 &= \{2.3Q/(4\pi T)\} \log(t_1/t_2) = \{2.3Q/(4\pi T)\} [\log(10)/\log(100)] \\ &= -\{2.3Q/(4\pi T)\} = -0.431747 \text{ m} \end{aligned}$$

وحيث إن

$$Q = 0.050 \text{ m}^3 / \text{s} = 4320 \text{ m}^3 / \text{day}$$

فتكون

$$T = 2.3 \times 4320 / (4\pi \times 0.431747) = 1831 \text{ m}^2 / \text{day} = 1.27 \text{ m}^2 / \text{min}$$

ومن المعادلة رقم (٤, ٨٣):

$$s_2 = 1.0645 = \{2.3Q / (4 \pi T)\} \log (2.25T t / (S r^2)) = 0.431747$$

$$\log [2.25 \times 1.27 \times 100 / (S \times 60 \times 60)] = 0.431747 \log (0.079486 / S)$$

إذا

$$\log (0.079486 / S) = 1.0645 / 0.431747 = 2.46556$$

إذا

$$S = 0.0794846 / (10^{2.46556}) = 0.000272$$

اختبارات الكتلة Slug Tests

في بعض المواقع الميدانية، يمكن أن يكون معامل التوصيل الهيدروليكي للوسط المسامي صغير جداً، أو أن قطر، أو عمق، أو إنتاجية البئر يمكن أن تكون صغيرة جداً (مثلاً، في المدى من ٥ إلى ٢٠٠ م^٣/اليوم) لدرجة لا يمكن معها إجراء اختبارات الضخ، أو أن نطاق البيانات يمكن ألا يكفل اختبارات الضخ. في مثل هذه الحالات، يمكن لبئر اختبار الكتلة أن يكون مفيداً كطريقة سريعة نسبياً وفعالة من حيث التكلفة لتقدير معامل التوصيل الهيدروليكي لطبقة الماء الأرضي. ويمكن تطبيق هذا الاختبار على الآبار المخترقة جزئياً في الطبقات الحاملة للمياه غير المحصورة والآبار المخترقة كلياً في الطبقات الحاملة للمياه المحصورة (Bouwer and Rice 1976; Boiwer 1989; Cooper et al. 1967). ويتكون الاختبار من خفض أو رفع مستوى الماء سريعاً في البئر من وضع الاتزان وقياس الارتفاع أو الانخفاض اللاحق مع الزمن.

K = معامل التوصيل الهيدروليكي للطبقة الحاملة للماء داخل نصف قطر

قدره R_e حول البئر وعمق يزيد قليلاً عن L_e .

L_e = طول المصفاة أو الجزء المثقب أو المفتوح من البئر.

y = الارتفاع أو الانخفاض في مستوى الماء في البئر.

r_w = المسافة النصف قطرية من الجزء غير المضطرب من البئر للطبقة الحاملة

للماء من محور البئر.

R_e = المسافة النصف قطرية الفعالة والتي يتلاشى فوقها y .

ومعدل الارتفاع لمستوى الماء بعد أن انخفض مستوى الماء سريعاً:

$$(٤,٩٧) \quad dy/dt = -Q/\pi r_e^2$$

حيث إن:

r_e = نصف قطر البئر.

πr_e^2 = مساحة قطاع عرضي من البئر حيث يرتفع مستوى الماء.

t = الزمن.

وبالتالي:

$$(٤,٩٨) \quad dy/dt = -2KL_e y / [r_e^2 \ln(R_e/r_w)]$$

إذا كانت $y = y_0$ عندما $t = 0$ ، و $y = y_t$ عند زمن t ، إذن:

$$(٤,٩٩) \quad K = [\{r_e^2 \ln(R_e/r_w)\} / (2L_e)] [(1/t) \ln(y_0/y_t)]$$

أو

$$(٤,١٠٠) \quad \log(y_0/y_t) = [0.8686KL_e / \{r_e^2 \ln(R_e/r_w)\}] t$$

وعند $H < L_w$:

$$(٤,١٠١) \quad \ln(R_e/r_w) = [\{1.1/\ln(L_w/r_w)\} + \{A+B \ln(H-L_w)/r_w\} / (L_e/r_w)]^{-1}$$

وعند $H = L_w$:

$$\ln(R_o/r_w) = \left[\left\{ 1.1 / \ln(L_w/r_w) \right\} + \left\{ C / (L_o/r_w) \right\} \right]^{-1} \quad (٤, ١٠٢)$$

حيث إن:

L_w = عمق اختراق البئر تحت منسوب الماء الأرضي.

H = ارتفاع منسوب الماء الأرضي فوق القاعدة غير المنفذ (الشكل رقم ٤, ٣).

A, B, C هي المعاملات اللابعدية.

القيم التقريبية لهذه المعاملات معطاة في الجدول رقم (٤, ١٥).

الجدول رقم (٤, ١٥). القيم التقريبية للمعاملات اللابعدية A, B, C .

C	B	A	L_o/r_w
٠,٨	٠,٣	١,٧	٤
٠,٩	٠,٣	١,٨	٥
١,٢	٠,٣	١,٩	١٠
١,٨	٠,٤	٢,٣	٢٥
٢,٧	٠,٥	٣,٠	٥٠
٤,٢	٠,٨	٤,٢	١٠٠
٧,٨	١,٤	٦,٥	٢٥٠
١٠,٥	٢,٢	٨,٠	٥٠٠
١١,٦	٢,٥	٨,٦	٧٥٠
١٢,٣	٢,٨	٩,١	١٠٠٠
١٣,٠	٣,٣	٩,٦	٢٠٠٠

ويمكن استخدام اختبار الكتلة لأبار الإنتاج، أو آبار الملاحظة، أو آبار المراقبة. ويمكن تنفيذ الاختبار عن طريق غمس جزء من أنبوب مملوء بالرمل أو الحصى ومغلقة بسدادات من كلا الطرفين أو غرض آخر شبيه في ثقب الحفر. ويتم السماح لمستوى الماء في ثقب الحفر بالعودة إلى حالة الاتزان، ويتم إزالة الغرض المنغمس سريعاً. يتم تسجيل الارتفاع اللاحق لمستوى الماء في البئر مع الزمن. عادة يستخدم سجل البيانات لتسجيل وتخزين البيانات لتحليلها. ويمكن إعداد تخطيطاً بيانياً للبيانات مع y (المقياس اللوغاريتمي) على المحور الرأسي و t (المقياس الطبيعي) على المحور الأفقي. ويكون الميل θ (مع المحور الأفقي) للخط المستقيم المار بنقاط البيانات على هذا التخطيط يعطى بالمعادلة:

$$\tan \theta = 0.8686 K L_e / [r_p^2 \ln (R_e / r_w)] \quad (٤, ١٠٣)$$

وبمعرفة $\tan \theta$ ، L_e ، r_e ، R_e يمكن تقدير قيمة K من المعادلة رقم (٤, ١٠٣). وعادة، يتم عمل التخطيط البياني والحسابات باستخدام برامج الحاسوب (مثل AQTESOLV, Duffield and Rumbaugh 1989).

وفي بعض الحالات، يمكن أن تلاءم البيانات خطين مستقيمين، واحد للقيم الأصغر عندما تكون t أكثر انحداراً من القيم الأكبر لـ t . في مثل هذه الحالات، فإن الخط المستقيم الأول (الأكثر انحداراً) يعكس الصرف من حشوة الحصى. والخط المستقيم الثاني يكون ممثلاً للتوصيل الهيدروليكي المضطرب لطبقة الماء الأرضي. وإذا كانت حشوة الحصى محاطة بمنطقة أقل نفاذية، فيمكن أن تلائم البيانات ثلاث خطوط مستقيمة، واحد للقيم الصغيرة جداً لـ t ، والثاني عند القيم المتوسطة لـ t ، والثالث عند القيم الأكبر لـ t . ومرة أخرى، يمكن أن يمثل الخط المستقيم الأخير معامل التوصيل الهيدروليكي المضطرب لطبقة الماء الأرضي.

وفي اختبارات الكتلة، يكون فرق الضاغط بين منسوب الماء الثابت ومستوى الماء في البئر، أكثر تشتتاً في الجوار القريب للبئر حول المصفاة أو الجزء المثقوب. وبالتالي، إذا كانت قمة الجزء المصور أو المثقوب منخفضة بشكل كاف عن قاع طبقة علوية حاجزة، فإنه يمكن للاختبار أن يقدم قيم معقولة لمعامل التوصيل الهيدروليكي حتى للطبقات الحاملة للمياه المحصورة. ويمكن أن تكون اختبارات الكتلة غير مفيدة عند تقدير معامل التوصيل الهيدروليكي لطبقات الماء الأرضي الأكبر (أي، الأعمق أو الأكبر في المدى المساحي). وتوضح مقارنة معامل التوصيل الهيدروليكي المقدر باختبار الكتلة مع القيم المقدرة باختبارات الضخ، أن نتائج اختبارات الضخ تكون بشكل عام منخفضة.

مثال رقم (٤، ١٨): معلومات بئر اختبار الكتلة (ارتفاع مستوى الماء مع الزمن) لبئر بنصف قطر تغليف ٢,٥٤ سم، ونصف قطر حشوة حصي ١٢,٧ سم، وطول المصفاة ١٥٢,٤ سم مبيّنة في الجدول رقم (٤، ١٦). ويبلغ السمك المشبع لطبقة الماء الأرضي المفلطح ١٧٥,٣ سم، ويخترق البئر العمق الكلي لطبقة الماء الأرضي. وفي البداية، انخفض مستوى الماء في البئر بمقدار ٣٧,١٩ سم. احسب معامل التوصيل الهيدروليكي لطبقة الماء الأرضي.

الحل:

يمكن تحليل بيانات بئر اختبار الكتلة باستخدام برامج الحاسوب مثل AQTESOLV (Duffield and Rumbaugh 1989). عندما لا يكون الوصول إلى مثل هذه البرامج متاحاً بشكل فوري، فيمكن عمل تحليل تقريبي أبسط باستخدام الانحسار الخطي اعتماداً على المعادلة رقم (٤، ١٠٠).

في هذا المثال تكون:

$$y_0 = 37.19 \text{ cm} , \quad r_c = 2.54 \text{ cm} , \quad r_w = 12.7 \text{ cm}$$

$$L_e = 152.4 \text{ cm} , \quad H = L_w = 175.3 \text{ cm} , \quad L_e / r_w = 12$$

وحيث إن $L_w = H$ ، ومن الجدول رقم (٤، ١٥) لقيمة L_e / r_w تساوي ١٢ نجد أن قيمة C تساوي ١، ٢٨.

والقيم المحسوبة لـ y_0 / y و $\log(y_0 / y)$ مدونة في الأعمدة (٣)، (٤)، (٧)، و (٨).

ويمكن إهمال البيانات التي تسبق زمن ٠، ٦ ث بسبب تأثير حشوة الحصى، كما يمكن إهمال البيانات التي تلي زمن ٧٣، ٨ ث؛ لأن الخط المستقيم المرسوم لتلك النقاط الأخيرة ينحرف بشكل كبير عن الخط المار خلال النقاط فيما بين ٠، ٦ ث و ٧٣، ٨ ث.

الانحسار الخطي بين نقاط البيانات الـ ٣٠ المتبقية يعطي المعادلة:

$$\log(y_0 / y_t) = 0.0176t + 0.156$$

بمعامل ارتباط (r) يساوي ٠، ٩٩.

من المعادلة رقم (٤، ١٠٠):

$$\log(y_0 / y_t) = \left[0.8686 K L_e / \{r_c^2 \ln(R_e / r_w)\} \right] t$$

وبالتالي:

$$\left[0.8686 K L_e / \{r_c^2 \ln(R_e / r_w)\} \right] = 0.0176$$

ومن المعادلة رقم (٤، ١٠٢):

$$\ln(R_e / r_w) = \left[\{1.1 / \ln(175.3 / 12.7)\} + \{1.28 / (152.4 / 12.7)\} \right]^{-1}$$

$$= [0.41906 + 0.10667]^{-1} = 1.90213$$

إذن:

$$K = \left[0.0176 \times (2.54)^2 \times 1.90213 \right] / (0.8686 \times 152.4) = 0.00163 \text{ cm/s}$$

والقيمة المقدرة باستخدام نموذج AQTESOLV تساوي ٠,٠٠١٦ سم/ث. ويمكن رؤية الانحسار الخطي مع كل نقاط البيانات الـ ٥٠ (باستثناء القيمة الأولى y_0 تساوي ٣٧,١٩ سم) مع الحصر الغير صفري يعطي:

$$\log(y_0/y_t) = 0.57 + 0.0038 \ t$$

مع معامل ارتباط منخفض نسبياً $(r) = 0.57$.

الجدول رقم (١٦، ٤). بيانات بئر اختبار الكتلة.

(١)	(٢)	(٣)	(٤)	(٥)	(٦)	(٧)	(٨)
t (ث)	y (سم)	y/y	log (y/y)	t (ث)	y (سم)	y/y	log (y/y)
٠	٣٧,١٩	١.٠٠٠٠	٠	٣٨,٨	٤,٨٨	٧,٦٢٠٩	٠,٨٨٢٠
٠,٢	٣٣,٥٣	١,١٠٩٢	٠,٠٤٥٠	٤٣,٨	٣,٩٦	٩,٣٩١٤	٠,٩٧٢٧
٠,٤	٣٣,٢٢	١,١١٩٥	٠,٠٤٩٠	٤٨,٨	٣,٣٥	١١,١٠١٥	١,٠٤٥٤
٠,٦	٣٢,٠٠	١,١٦٢٢	٠,٠٦٥٣	٥٣,٨	٢,٧٤	١٣,٥٧٣٠	١,١٣٢٧
٠,٨	٣١,٠٩	١,١٩٦٢	٠,٠٧٧٨	٥٨,٨	٢,٤٤	١٥,٢٤١٨	١,١٨٣٠
١,٨	٢٧,٤٣	١,٣٥٥٨	٠,١٣٢٢	٦٣,٨	٢,١٣	١٧,٤٦٠١	١,٢٤٢٠
٢,٨	٢٤,٩٩	١,٤٨٨٢	٠,١٧٢٧	٦٨,٨	١,٨٣	٢٠,٣٢٢٤	١,٣٠٨٠
٣,٨	٢٣,١٦	١,٦٠٥٨	٠,٢٠٥٧	٧٣,٨	١,٥٢	٢٤,٤٦٧١	١,٣٨٨٦
٤,٨	٢١,٦٤	١,٧١٨٦	٠,٢٣٥٢	٧٨,٨	١,٥٢	٢٤,٤٦٧١	١,٣٨٨٦
٥,٨	٢٠,٤٢	١,٨٢١٣	٠,٢٦٠٤	٨٣,٨	١,٢٢	٣٠,٤٨٣٦	١,٤٨٤١
٦,٨	١٩,٥١	١,٩٠٦٢	٠,٢٨٠٢	٨٨,٨	١,٢٢	٣٠,٤٨٣٦	١,٤٨٤١
٧,٨	١٨,٨٩	١,٩٦٧٧	٠,٢٩٤٠	٩٣,٨	١,٢٢	٣٠,٤٨٣٦	١,٤٨٤١
٨,٨	١٧,٩٨	٢,٠٦٨٤	٠,٣١٥٦	٩٨,٨	١,٢٢	٣٠,٤٨٣٦	١,٤٨٤١
٩,٨	١٧,٣٧	٢,١٤١٠	٠,٣٣٠٦	١٠٣,٨	١,٢٢	٣٠,٤٨٣٦	١,٤٨٤١

تابع الجدول رقم (١٦، ٤). بيانات بئر اختبار الكتلة.

(٨)	(٧)	(٦)	(٥)	(٤)	(٣)	(٢)	(١)
$\log (y_0/y)$	y_0/y	y (سم)	t (ثانية)	$\log (y_0/y)$	y_0/y	y (سم)	t (ثانية)
١,٤٨٤١	٣٠,٤٨٣٦	١,٢٢	١٠٨,٨	٠,٣٤٦٢	٢,٢١٩٠	١٦,٧٦	١٠,٨
١,٤٨٤١	٣٠,٤٨٣٦	١,٢٢	١١٣,٨	٠,٣٦٢٣	٢,٣٠٢٨	١٦,١٥	١١,٨
١,٤٨٤١	٣٠,٤٨٣٦	١,٢٢	١١٨,٨	٠,٣٧٩٠	٢,٣٩٣٢	١٥,٥٤	١٢,٨
١,٦١١٤	٤٠,٨٦٨١	٠,٩١	١٤٨,٨	٠,٤٠٥٢	٢,٥٤٢٠	١٤,٦٣	١٣,٨
١,٧٨٥١	٦٠,٩٦٧٢	٠,٦١	١٧٨,٨	٠,٤٢٣٧	٢,٦٥٢٦	١٤,٠٢	١٤,٨
١,٧٨٥١	٦٠,٩٦٧٢	٠,٦١	٢٠٨,٨	٠,٤٤٣٠	٢,٧٧٣٣	١٣,٤١	١٥,٨
١,٧٨٥١	٦٠,٩٦٧٢	٠,٦١	٢٣٨,٨	٠,٤٦٣٢	٢,٩٠٥٥	١٢,٨٠	١٦,٨
١,٧٨٥١	٦٠,٩٦٧٢	٠,٦١	٢٦٨,٨	٠,٤٩٥٢	٣,١٢٧٨	١١,٨٩	١٧,٨
١,٧٨٥١	٦٠,٩٦٧٢	٠,٦١	٣٨٨,٨	٠,٥٠٦٧	٣,٢١١٦	١١,٥٨	١٨,٨
١,٧٨٥١	٦٠,٩٦٧٢	٠,٦١	٥٠٨,٨	٠,٦٠٩٥	٤,٠٦٨٩	٩,١٤	٢٣,٨
٢,٠٩٣٣	١٢٣,٩٦٦٧	٠,٣٠	٥٩٨,٨	٠,٧٠٥٩	٥,٠٨٠٦	٧,٣٢	٢٨,٨
				٠,٨٠٧٧	٦,٤٢٣١	٥,٧٩	٣٣,٨

انتقال الملوثات في المنطقة المشبعة Contaminant Transport in Saturated Zone

يمكن أن تكون الملوثات التي توجد في المياه الجوفية قابلة للامتزاج (قابلة للذوبان) أو لا تقبل الامتزاج بالماء. إن خاصية الملوثات التي تحكم قابليتها للامتزاج مع الماء هي الإذابة. وهي الكتلة القصوى من المادة الكيميائية التي يمكن أن تذاب في كمية محددة من المذيب (مثل الماء) عند درجة حرارة محددة ويعبر عنها بأنها كتلة المادة الكيميائية لكل وحدة حجم من المذيب. والمواد الكيميائية التي لها إذابة مائية منخفضة (أي، أقل من ٢٠٠٠٠ ملجم/ل) يمكن أن تتواجد كطور سائل منفصل في طبقة الماء

الأرضي. وتسمى هذه المواد الكيميائية بسوائل الطور غير المائي (NAPLs). وإذا كانت كثافة سوائل الطور غير المائي أقل من كثافة الماء، فإنها تسمى سوائل الطور غير المائي الخفيفة (LNAPL). ومن الأمثلة على سوائل الطور غير المائي الخفيفة، الجازولين، وزيت الوقود، والبنزين، والطورولين، والإيثيل بنزين، والزيلين (BTEX). وإذا كانت كثافتها أعلى من كثافة الماء، فإنها تسمى سوائل الطور غير المائي الثقيلة (DNAPL). ومن الأمثلة على سوائل الطور غير المائي الثقيلة، إيثيلين الكلور الرباعي (PCE)، وإيثيلين الكلور الثلاثي (TCE)، والكلوروفورم. ويمكن أن يوجد سائل عضوي كطور منفصل ثابت في حالة الاتزان مع الماء فقط بعد أن يصل تركيزه المذاب في الماء حد التشبع (Pankow and Cherry 1996). والقيم المختلفة للإذابة، ومعامل تقسيم الكربون العضوي (K_{oc})، ومعامل التحلل (λ)، والكثافة، واللزوجة الكينماتيكية (v) لنفس المركب العضوي مدونة في عدة مراجع (Weast 1987; Maidment 1993; Pankow and Cherry 1996; IPCB 2001). والقيم النموذجية لها مبينة في الجدول رقم (٤، ١٧).

ويمكن أن تشمل الملوثات القابلة للامتزاج المعادن الموجودة بشكل طبيعي في تكوينات الصخور، والملوثات المنزلية التي يساهم بها التسرب من الأنظمة التي تسبب العفن أو خطوط المجارى، أو الأنواع المختلفة من الكيماويات الصناعية، والملوثات التي تحملها المياه المتسربة من المناطق الزراعية. ويمكن أن تشمل الكيماويات الصناعية المركبات العضوية القابلة للذوبان الطيارة وغير الطيارة (VOCs or non-VOCs) أو المركبات غير العضوية القابلة للذوبان. ويشمل انتقال المواد القابلة للذوبان في المياه الجوفية، انتقال الحرارة في اتجاه أفقي، والتشتت الميكانيكي، والانتشار

الجزئي، والأمتراز/ المح، والتحلل أو التفسخ الحيوي. ومعادلة بقاء الكتلة لانتقال الملوثات القابلة للذوبان في المياه الجوفية هي:

$$R_d \partial C / \partial t = D_x \partial^2 C / \partial x^2 + D_y \partial^2 C / \partial y^2 + D_z \partial^2 C / \partial z^2 - u \partial C / \partial x - \lambda R_d C$$

(٤, ١٠٤)

حيث إن:

$$\alpha_x u = D_x = \text{معامل التشتت الطولي (اتجاه - x)}.$$

$$\alpha_y u = D_y = \text{معامل التشتت الجانبي (اتجاه - y)}.$$

$$\alpha_z u = D_z = \text{معامل التشتت الرأسي (اتجاه - z)}.$$

$$\alpha_x, \alpha_y, \alpha_z = \text{التشتتات الطولية والجانبية والرأسية، على الترتيب، للوسط}$$

المنفذ.

$$u = \text{متوسط السرعة المنتظمة للمادة الملوثة في الاتجاه - x} = u_d / \varphi.$$

$$u_d = \text{سرعة دارسي في الاتجاه - x}.$$

$$\varphi = \text{معامل النفاذية}.$$

$$C = \text{تركيز المادة المذابة}.$$

$$t = \text{الزمن}.$$

$$x, y, z = \text{الإحداثيات الكارتيزية، مثل السرعة المنتظمة للمادة الملوثة في الاتجاه}$$

$$R_d = \text{معامل التخلف}.$$

$$\lambda = \text{معامل التحلل أو التفسخ للمادة الكيميائية}.$$

الجدول رقم (٤، ١٧). القيم النموذجية للإذابة K_{oc} و λ والكثافة و v .

المادة الكيماوية	الإذابة	K_{oc}	λ	الكثافة	v عند درجة ٢٥ متوي
(ملجم/ل)	(ملل/جم)	(يوم ^{-١})	(جم/ملل)	(سم ^٣ /ث)	
<u>سوائل الطور غير المائي الخفيفة (LNAPL)</u>					
بنزين	١٧٥٠	٥٨,٩	٠,٠٠٠٩	٠,٨٨	٠,٠٠٦١
طولوين	٥٢٦	١٨٢	٠,٠١١	٠,٨٧	٠,٠٠٥٦
اثيل البنزين	١٦٩	٣٦٣	٠,٠٠٣	٠,٨٧	٠,٠٠٦٨
زيلين	١٨٦	٢٦٠	٠,٠٠١٩	٠,٨٨	٠,٠٠٧٦
كلوريد الفينيل	٢٧٦٠	٥٧,١٨,٦	٠,٠٠٠٢٤	٠,٩٢	—
<u>سوائل الطور غير المائي الثقيلة (DNAPL)</u>					
ايثلين الكلور	٢٠٠	٣٦٤,١٥٥	٠,٠٠٠٩٦	١,٦٣	٠,٠٠٥٤
الرباعي (PCE)					
ايثلين الكلور	١١٠٠	١٦٦,١٢٦	٠,٠٠٠٤٢	١,٤٦	٠,٠٠٣٩
الثلاثي (TCE)					
الكلوروفورم	٧٩٢٠	٤٧,٣٩,٨	٠,٠٠٠٣٩	١,٤٩	٠,٠٠٣٨
ايثلين الكلور	٣٥٠٠	٤٩,٣٥,٥	٠,٠٠٠٢٤	١,٢٨	٠,٠٠٣٨
الثنائي (جانب)					
ايثلين الكلور الثنائي	٦٣٠٠	٥٩,٥٢,٥	٠,٠٠٠٢٤	١,٢٦	٠,٠٠٣٢
(جانبيين)					
كلورو بنزين	٤٧٢	٣٣٠,٢١٩	٠,٠٠٢٣	١,١١	٠,٠٠٧٢

المصدر: (West (1987); Maidment (1993); Pankow and gherry (1996); IPCB (2001).

تسمى المعادلة رقم (٤, ١٠٤) بمعادلة الانتشار التشتتي، أو الانتشار التصاعدي، أو الانتشار الهيدروليكي وهي صالحة فقط إذا كانت $v = w = 0$ ، حيث v و w سرعتا السم في الاتجاه y و z ، على الترتيب. ونظرياً في حالة $v = w = 0$ ، فإن $\alpha_y = \alpha_z$ (Bear 1979). ومع هذا ففي معظم الحالات العملية تستخدم قيم مختلفة لـ α_y, α_z . أبعاد التشتت هي نفس أبعاد الطول. ومعامل التخلف اللابعدي ويحدد بالمعادلة:

$$R_d = 1 + \{(1 - \phi) / \phi\} \rho_s K_d = 1 + \rho_b K_d / \phi \quad (٤, ١٠٥)$$

حيث إن:

ρ_s = كثافة حبيبات التربة.

ρ_b = الكثافة الظاهرية الجافة للوسط المسامي.

K_d = معامل توزيع المادة الكيميائية.

عادة ما يعرف معامل التوزيع بخط الاتزان الحراري الخطي، رغم أنه يمكن أن يكون هناك خطوط تساوي حرارة غير خطية يمكن تطبيقها في بعض الحالات:

$$S = K_d C \quad (٤, ١٠٦)$$

حيث إن:

S = كتلة المكونات الممتزة لكل وحدة كتلة من حبيبات التربة.

والقيم النموذجية لـ K_d للمواد المختارة غير العضوية (المعادن) موضحة في

الجدول رقم (٤, ١٨) (Rai and Zachara 1984; Dragun 1988). وقيم K_d المختلفة

بشكل كبير مدونة لنفس المواد في أنواع مختلفة من التربة وبيئات مختلفة. وقيم K_d

المدونة في الأنهار بمواد صلبة عالقة تركيزها ١٠٠٠ ملجم/ل، موضحة أيضاً في

الجدول رقم (٤, ١٨) (USEPA 1985).

الجدول رقم (٤, ١٨). قيم K_d للمواد المختارة غير العضوية (المعادن).

المادة	K_d (ملل / جم) في التربة المشبعة	K_d (ملل / جم) في محلول التربة المحملة بمواد صلبة عالقة تركيزها ١٠٠٠ ملجم / ل
زرنيخ	١,٩ - ١٨ (المتوسط ٦,٧)	٣٠٠٠
كادميوم	١,٢ - ٢٥ (رواسب النهر)	٢٠٠٠
نحاس	٢,٢ - ٤٣ (كلوين نقي)	٦٠٠٠
رصاص	٤,٥ - ٧٦٤٠ (المتوسط ٩٩,٥)	٩٠٠٠٠
سيلينيوم	١,٢ - ٨,٦ (المتوسط ٢,٧)	-
زئبق	٣٠٠٠٠ - ٢٢٤٠٠٠ (بتونيت)	١٠٠٠

المصدر: (USEPA (1985) ; Rai and Zachara (1984).

وبالنسبة للمواد الكيميائية العضوية:

$$K_d = f_{oc} K_{oc} \quad (٤, ١٠٧)$$

حيث إن:

f_{oc} = وزن الجزء من الكربون العضوي الموجود في التربة.

K_{oc} = معامل توزيع الكربون العضوي من المكون العضوي.

قيم f_{oc} النموذجية لأنواع التربة المختلفة موضحة في الجدول رقم (٤, ١٩)

(Maidment 1993; Pankow and Cherry 1996). وقيم f_{oc} المقترح إهمالها هي ٠,٠٠٦

لأسطح التربة و ٠,٠٠٢ تحت أسطح التربة (IPCB 2001). مع هذا، بقدر الإمكان،

فإن قيم f_{oc} المقاسة ميدانياً هي التي يجب استخدامها.

وتحدد عملية التحلل أو التفسخ الحيوي بـ:

$$C = C_0 e^{-\lambda t} \quad (٤, ١٠٨)$$

حيث إن:

$$C_0 = \text{التركيز عند زمن } t = 0.$$

$$C = \text{التركيز عند زمن } t.$$

عندما يكون $C = C_0 / 2$ فإن:

$$\lambda = \ln(2)/t_L \quad (٤, ١٠٩)$$

حيث إن:

$$t_L = \text{نصف عمر المكون.}$$

الجدول رقم (٤, ١٩). القيم النموذجية لمكون الكربون العضوي في التربة.

نوع التربة	f_{oc}
الطمي الطيني	٠,١٦ - ٠,٠١
طفل رملي	٠,١٠
طفل طيني	٠,٠٢ - ٠,٠١
الحصى والرمل والطمي الغير متراسف	٠,٠٠٦ - ٠,٠٠١
الرمل المتوسط إلى الناعم	٠,٠٠٠٢
الرمل	٠,١ - ٠,٠٠٣
الرمل والحصى	٠,٠٠٧٥ - ٠,٠٠٠٨
الحصى الخشن	٠,٠٠١١

المصدر: (Maidment (1993) ; Pankow and Cherry (1996).

وكذلك تصنف المواد الكيميائية العضوية على أنها مركبات عضوية طيارة قابلة للذوبان (VOCs) ومركبات عضوية شبه طيارة (SVOCs). الكيماويات ذات ضغط البخار أقل من $10^{-٧}$ مم زئبق تتطاير في الهواء بدرجة يمكن إهمالها، بينما الكيماويات

ذات ضغط البخار أكبر من 10^{-2} مم زئبق سوف تتطاير وتبقى موجودة في الغلاف الجوي أو هواء التربة (Dragun 1988). الكيماويات العضوية ذات الانتشارية العالية نسبياً في الهواء (مثلاً، أكبر من حوالي 0.059 سم²/ث) وذات ضغط بخار عالي تسمى المكونات العضوية الطيارة. والكيماويات العضوية الطيارة ذات الانتشارية وضغط البخار الأقل تسمى المكونات شبه الطيارة. تشمل الأمثلة على المركبات العضوية الطيارة القابلة للذوبان: الكلوروفورم، وإيثيلين الكلور رباعي، وإيثيلين الكلور الثلاثي، وإيثيلين الكلور الثنائي، وكلوريد الفينيل، والبنزين، والطولوين، والإيثيل بنزين، والزيلين. وتشمل الأمثلة على المركبات العضوية القابلة للذوبان شبه الطيارة: الفينول، وإيثان الكلور السداسي، وبنزين الكلور السداسي، والنفتالين. وفي ظروف الحالة المستقرة، فإن الحل الشائع الاستخدام للمعادلة رقم (٤,١٠٤) لتركيزات خط المنتصف (أي، عند $y=0, z=0$) هو:

$$C/C_0 = \exp \left[\left\{ x/2\alpha_x \right\} \left\{ 1 - \sqrt{1 + 4\lambda' \alpha_x / u} \right\} \right] \times \operatorname{erf} \left[S_w / \left\{ 4\sqrt{(\alpha_y x)} \right\} \right] \cdot \operatorname{erf} \left[S_d / \left\{ 4\sqrt{(\alpha_z x)} \right\} \right] \quad (٤,١١٠)$$

حيث إن:

$$C_0 = \text{التركيز عند المصدر.}$$

$$C = \text{تركيز خط المنتصف عند } x \text{ عندما } y = z = 0.$$

$$\lambda' = \lambda R_d$$

$$S_w = \text{عرض المصدر في الاتجاه } y.$$

$$S_d = \text{عمق المصدر في الاتجاه } z.$$

وعندما تكون $1 = R_d$ (أي، عدم وجود امتزاز)، فالمعادلة رقم (١٤, ١٠٠) تقل إلى معادلة دومينيكو (Domenico 1987; ASTM 1955; IPCB 2001). الحل المناظر للحالة غير المستقرة لتركيزات خط المنتصف عند زمن t ، هو:

$$C/C_0 = (1/2) \exp \left[\left\{ x / (2\alpha_x) \right\} \left\{ 1 - \sqrt{(1 + 4\lambda' \alpha_x / u)} \right\} \right] \times \\ \operatorname{erf} \left[\left\{ x - ut \sqrt{(1 + 4\lambda' \alpha_x / u)} \right\} / \left\{ 2\sqrt{\alpha_x ut} \right\} \right] \times \\ \operatorname{erf} \left[S_w / \left\{ 4\sqrt{(\alpha_y x)} \right\} \right] \times \operatorname{erf} \left[S_d / \left\{ 4\sqrt{(\alpha_z x)} \right\} \right] \quad (١١٠, ٤ب)$$

وتركيز الحالة المستقرة عند أي نقطة (x, y, z) يعطى بـ:

$$C/C_0 = (1/4) \exp \left[\left\{ x / (2\alpha_x) \right\} \left\{ 1 - \sqrt{(1 + 4\lambda' \alpha_x / u)} \right\} \right] \times \\ \left\{ \operatorname{erf} \left[(y + S_w / 2) / \left\{ 2\sqrt{(\alpha_y x)} \right\} \right] - \operatorname{erf} \left[(y - S_w / 2) / \left\{ 2\sqrt{(\alpha_y x)} \right\} \right] \right\} \times \\ \left\{ \operatorname{erf} \left[(z + S_d / 2) / \left\{ 2\sqrt{(\alpha_z x)} \right\} \right] - \operatorname{erf} \left[(z - S_d / 2) / \left\{ 2\sqrt{(\alpha_z x)} \right\} \right] \right\} \quad (١١٠, ٤ج)$$

و أخيراً، فإن تركيز الحالة غير المستقرة عند أي نقطة (x, y, z) وعند زمن t يعطى بـ:

$$C/C_0 = (1/8) \exp \left[\left\{ x / (2\alpha_x) \right\} \left\{ 1 - \sqrt{(1 + 4\lambda' \alpha_x / u)} \right\} \right] \times \operatorname{erfc} \left[\left\{ x - \right. \right. \\ \left. \left. ut \sqrt{(1 + 4\lambda' \alpha_x / u)} \right\} / \left\{ 2\sqrt{(\alpha_x ut)} \right\} \right] \times \left\{ \operatorname{erf} \left[(y + S_w / 2) / \left\{ 2\sqrt{(\alpha_y x)} \right\} \right] - \right. \\ \left. \operatorname{erf} \left[(y - S_w / 2) / \left\{ 2\sqrt{(\alpha_y x)} \right\} \right] \right\} \times \left\{ \operatorname{erf} \left[(z + S_d / 2) / \left\{ 2\sqrt{(\alpha_z x)} \right\} \right] - \right. \\ \left. \operatorname{erf} \left[(z - S_d / 2) / \left\{ 2\sqrt{(\alpha_z x)} \right\} \right] \right\} \quad (١١٠, ٤د)$$

إذا كان السطح العلوي للطبقة الملوثة يتطابق مع منسوب الماء الأرضي، فإن الطبقة تنتشر في الاتجاه العكسي، وتستبدل الكمية $S_d/2$ في المعادلة رقم (١٤, ١١٠)

$$C/C_0 = \exp \left[\left\{ \bar{x} / (2\alpha_x) \right\} \left\{ 1 - \sqrt{1 + 4\lambda' \alpha_x / u} \right\} \right] \times \\ \operatorname{erf} \left[S_w / \left\{ 4\sqrt{(\alpha_y x)} \right\} \right] \times \operatorname{erf} \left[S_d / \left\{ 2\sqrt{(\alpha_z x)} \right\} \right]$$

(ξ, 112) $\alpha_x = 0.1L$, $\alpha_v = \alpha_x/3$, $\alpha_z = \alpha_x/20$

حيث إن:

$L = \text{طول مسار السريان.}$

ويمكن إجراء الحسابات باستخدام المعادلات رقم (١١٠، أ)، ورقم (١١٠، ب)، ورقم (١١٠، ج)، ورقم (١١٠، د)، ورقم (١١١، ٤) باستخدام ورقة عمل منفصلة أو برنامج فورتران. والحلول التحليلية التقريبية لحالات الانتقال في الحالة المستقرة، التي لا تأخذ في حسابها السريان عبر منسوب الماء الأرضي أو الطبقة الحاجزة العلوية وخلال قاع الطبقة الحاجزة، يمكن أن نحصل عليه باستخدام طريقة الصور، ويجب معرفة أن مساهمة D_x في الانتقال يكون مهملاً في الحالة المستقرة (Prakash 1982). ويمكن استخدام معادلات مثيلة لحالات الانتقال في الحالة غير المستقرة (Prakash 1982). وتتطلب الحسابات التي تستخدم هذه المعادلات استخدام برامج الحاسب (مثلاً، ورقة عمل أو برنامج فورتران).

ويؤدي رشح الماء الملوث من المصدر إلى الوسط السفلي المسامي المشبع، إلى تكوين منطقة خلط أسفل المصدر. ويكون عمق المصدر S_d ، في المعادلة رقم

(٤, ١١٠) هو العمق الرأسي لمنطقة الخلط هذه. وإذا لم يكن S_d ، معروفاً من القياسات الميدانية، فإنه يمكن تقديره على أنه مجموع مسافة الانتقال بسبب التشبث والانتشار الرأسي (USEPA 1996b):

$$(٤, ١١٣) \quad S_d = \left[\sqrt{2\alpha_z L_s} \right] + H \left[1 - \exp \left\{ -(L_s I) / (u \phi H) \right\} \right]$$

حيث إن:

L_s = طول المصدر في اتجاه سريان المياه الجوفية في المنطقة المشبعة (م).

H = سمك طبقة الماء الأرضي المشبعة (م).

I = معدل التسرب الرأسي من المصدر (م/السنة).

ϕ = معامل النفاذية الكلية.

u = سرعة الترشح من سريان المياه الجوفية في الاتجاه الأفقي (م/السنة).

α_z = الانتشارية الرأسية لطبقة الماء الأرضي (م).

ويسبب الخلط مع سريان المياه الجوفية المحيط، يحدث تخفيف لتسرب الماء

الملوث من المصدر في منطقة الخلط تحت طول المصدر L_s . وعامل التخفيف DF ،

تحت المصدر يعطى بالمعادلة:

$$(٤, ١١٤) \quad DF = 1 + \left[(u \phi H) / (L_s I) \right]$$

مثال رقم (٤, ١٩): منطقة تخزين للمياه الجوفية يحدث بها تسريب (LUST) بطول ٣

م على طول اتجاه سريان مياه جوفية محيطة في طبقة ماء أرضي مفلطح لها سمك تشبع

٥ م. ويقدر معدل التسريب بمقدار ٢٥ سم/السنة. ومعامل التوصيل الهيدروليكي،

ومعدل انحدار المياه الجوفية، ونفاذية طبقة الماء الأرضي، هي ١٢٠ م/السنة،

٠,٣٠، ٠,٠٠٥ على الترتيب. احسب سمك منطقة الخلط عند حافة ميل الانحدار

لأسفل منطقة التخزين المسرب تحت الأرضي وعامل التخفيف المبدئي أسفله.
افترض أن α_z (م) تساوي ٠,٠٠٥٦ من قيمة L_s .
الحل:

$$L_s = 3 \text{ m} ; H = 5 \text{ m} ; K = 120 \text{ m/yr} ; i = 0.005 ; \phi = 0.030 ;$$

$$I = 0.25 \text{ m/yr} ; \alpha_z = 0.0056 \times 3 = 0.0168 \text{ m.}$$

سرعة الترشح u

$$u = Ki / \phi = 120 \times 0.005 / 0.30$$

و

$$u \phi = K i = 120 \times 0.005 = 0.60 \text{ m/yr}$$

إذن:

$$S_d = \left[\sqrt{2 \times 0.0168 \times 3} \right] + 5 \left[1 - \exp \left\{ -(3 \times 0.25) / (0.60 \times 5) \right\} \right] =$$

$$0.3175 + 1.106 = 1.4235 \text{ m}$$

$$DF = 1 + \left[(0.60 \times 5) / (3 \times 0.25) \right] = 5.0$$

ولسريان المياه الجوفية المعقد وظروف الانتقال، يجب استخدام نماذج رقمية مثل MODFLOW (USGS 2000b) لإنشاء مجال سريان حقلي، ونماذج مثل MT3D (USEPA 1992) لمحاكاة انتقال الملوثات. هناك العديد من حزم برامج الحاسب المتاحة للتزواج بين مثل نماذج السريان والانتقال هذه (Maidment 1993).

إذا أمكن افتراض أن سوائل الطور غير المائي الخفيفة LNAPLs وسوائل الطور غير المائي الكثيفة DNAPLs ليست محصورة في تجاويف معزولة في الوسط المسامي، فإنه يمكن عمل تقريب تمهيدي للكميات النسبية من الماء وسوائل الطور غير المائي المنسحب بنظام الضخ والمعالجة باستخدام المعدلات رقم (٤,٧)، ورقم (٤,١٧)،

ورقم (٤,٢٣)، ورقم (٤,٨٣)، ورقم (٤,٩٢). وبالتالي، وبالنسبة لظروف الحالة المستقرة:

$$Q_1 / Q_2 = Bv_2 / (bv_1) \quad (٤,١١٥)$$

حيث إن:

$$Q_1 = \text{المعدل الحجمي للماء المنسحب.}$$

$$Q_2 = \text{المعدل الحجمي لسوائل الطور المائي المنسحبة.}$$

$$v_1, v_2 = \text{اللزوجة الكينيماتيكية للماء ولسوائل الطور غير المائي، على الترتيب.}$$

$$B, b = \text{سمك الماء المشبع وسمك سوائل الطور غير المائي المشبع للوسط}$$

المسامي، على الترتيب.

وفي ظروف الحالة غير المستقرة:

$$Q_1 / Q_2 = (T_1 / T_2) [W(u_2) / W(u_1)] = Bv_2 / (bv_1) [W(u_2) / W(u_1)] \quad (٤,١١٦)$$

حيث إن:

$$u_1 = Sr_w^2 / (4T_1 t)$$

$$u_2 = Sr_w^2 / (4T_2 t)$$

$$T_1 = K_1 B$$

$$T_2 = K_2 b = K_1 v_1 b / v_2$$

ويجب تدقيق النتائج مع نماذج سريان الطورين المعقدة (المركبة).

مثال رقم (٤,٢٠): قم بإجراء تقديرًا تمهيدياً لكمية إيثيلين الكلور الثلاثي التي يمكن أن تسحب خلال نظام الضخ والمعالجة، المصمم لسحب ٢٠ ل/ث من المياه الجوفية تحت ظروف الحالة المستقرة وأيضاً خلال ستة أشهر (١٨٠ يوماً) من الضخ تحت ظروف الحالة غير المستقرة.

استخدم:

$$S=0.01 \quad ; \quad B=10 \text{ m} \quad ; \quad b=1.0 \text{ m} \quad ; \quad v_1=0.011 \text{ cm}^2/\text{s}$$

$$v_2=0.0039 \text{ cm}^2/\text{s} \quad ; \quad r_w=6 \text{ cm} \quad ; \quad K_1=0.1 \text{ cm/s.}$$

الحل:

في ظروف الحالة المستقرة، وباستخدام المعادلة رقم (٤, ١١٥):

$$Q_1/Q_2=10 \times 0.0039 / (1.0 \times 0.011) = 3.55$$

إذا:

$$Q_2 = 20 / 3.55 = 5.6 \text{ L/s}$$

وبالسماح بمعامل أمان يساوي ٢,٠، نفترض أن النظام يمكن أن يتراجع بحوالي ٢,٥ لتر/ث من إيثيلين الكلور الثلاثي.

وفي ظروف الحالة غير المستقرة

$$T_1 = 0.001 \times 10 = 0.01 \text{ m}^2/\text{s}$$

$$u_1 = 0.01 \times (0.06)^2 / (4 \times 0.01 \times 180 \times 24 \times 3600) = 5.787 \times 10^{-11}$$

و

$$T_2 = 0.001 \times 0.011 \times 1.0 / 0.0039 = 0.00282 \text{ m}^2/\text{s}$$

$$u_2 = 0.01 \times (0.06)^2 / (4 \times 0.00282 \times 180 \times 24 \times 3600) = 2.0518 \times 10^{-10}$$

و

$$W(u_1) = 23.0$$

$$W(u_2) = 21.7$$

وبالتالي، وباستخدام المعادلة رقم (٤, ١١٦):

$$Q_1/Q_2 = (0.01/0.00282) \cdot (21.7/23.0) = 3.346$$

إذا

$$Q_2 = 20/3.346 = 5.981 \text{ L/s}$$

وبالسماح بمعامل أمان 2.0، نفترض أن النظام يمكن أن يتراجع بحوالي 3 L/s من إيثيلين الكلور الثلاثي.

إن سمك سوائل الطور غير المائي الخفيفة الغير قابلة للامتزاج (أي المنتجات الحرة) المقاسة في بئر تكون أكبر من سمك المنتج الفعلي في طبقة الماء الأرضي. المعادلة التالية معادلة تقريبية مبسطة لتقدير سمك المنتج الحر الفعلي (Hampton):

$$H_T / h_T = G / (1 - G) \quad (٤, ١١٧)$$

حيث إن:

H_T = السمك الظاهري من المنتج الحر المقاس في بئر المراقبة.

h_T = السمك الفعلي للمنتج الحر في طبقة الماء الأرضي.

G = الجاذبية النوعية للمنتج الحر.

سريان وانتقال الملوثات خلال الصخر المتصدع

Flow and Contaminant Transport through Fractured Rock

هناك طرق عديدة لتحليل انتقال الملوثات القابلة للامتزاج خلال الصخور

المتصدعة. طريقة منهج النفاذية الثنائية هي معقدة نسبياً ومركبة، وتستخدم فيها

خصائص هيدروليكية خاصة بالصدوع ومصفوفة الصخر وأثار الأقدام من أنماط

الصدوع الفعلية أو المحاكاة (Valliappan and Naghadeh 1991; Sudicky and Therien 1988; 1999).

ويستخدم المنهج الثاني مكافئات الوسط المسامي للصدوع غير

المستمرة، وبالتحديد حيث تكون كثافة الصدوع عالية وتوزيع اتجاهات الصدع غير

المنتظم بشكل عالٍ (Freeze and Cherry 1979). في هذه الحالة، يتم تحليل النفاذية

الفعالة (في المدى من 10^{-2} إلى 10^{-5}) ومعامل التوصيل الهيدروليكي الفعال الخاص بكتلة الصخر المتصدع والانتقال، باستخدام طرق قابلة للتطبيق على الأوساط المسامية الدقيقة. ويقدر المنهج الثالث التدفق أحادي البعد، والتشتت، والتخلف خلال الصدوع الفردية (التجاويف) وتجمع النتائج اعتماداً على كثافة الصدع المعلومة أو المفترضة. إذا كان هناك صدوع n (تجاويف) لكل وحدة عرض من الصخر عمودياً على اتجاه السريان، فإن:

$$\varphi = n a \quad (٤,١١٨)$$

$$K = \varphi a^2 g / (12v) = n a^3 g / (12v) \quad (٤,١١٩)$$

حيث إن:

a = عرض التجويف المنفرد وأبعاد n هي أبعاد $1/L$.

ورغم عدم الشبوع التام، فإنه يمكن تقريب الصدوع باعتبارها تجاويف دائرية n قطرها، d ، لكل وحدة مساحة من الصخر عمودياً على اتجاه السريان، إذن:

$$\varphi = \pi d^2 n / 4 \quad (٤,١٢٠)$$

ويمعرفة a, n أو d, φ ، يمكن حساب قيمة K . والقيم النموذجية لـ a أو d تكون في المدى من $٠,٠٠١$ إلى $٠,٠٠٥$ سم، رغم أنه يمكن أن توجد قيم أصغر أو أكبر في مواقع معينة.

مثال رقم ٤,٢١: أوضح تصوير لعينات صخرية جوفية أن متوسط عرض التصدع هو تقريباً $٠,٠٠٣٥$ سم. وهناك حوالي تصدعين لكل سم من عرض الصخر عمودياً على اتجاه السريان. احسب النفاذية المكافئة ومعامل التوصيل الهيدروليكي للصخر المتصدع. استخدم v تساوي $٠,٠١٣١$ سم^٢/ث للمياه الجوفية.

الحل:

باستخدام المعادلة رقم (٤, ١١٨) ورقم (٤, ١١٩):

$$\phi = n a = 2 \times 0.0035 = 0.007$$

و

$$K = \{2 \times (0.0035)^3 \times 981\} / (12 \times 0.0131) = 5.35 \times 10^{-4} \text{ cm/s}$$

انتقال الملوثات خلال مناطق التربة غير المشبعة (ذات التجايف) والمشبعة

Contaminant Transport through Unsaturated (Vadose) and Saturated Soil Zones

من الحالات الميدانية المهمة تحليل انتقال الملوثات من مصدر سطح قريب إلى سطح الماء الأرضي خلال المناطق ذات التجايف، متبوعة بالانتقال خلال المنطقة المشبعة إلى المستقبل المحتمل. ويمكن أن يتكون المصدر من تربة لها أعماق محددة ملوثة بالتسرب من خزانات الكيماويات السائلة، والرشح من خزانات تجميع الفضلات، وتناثر الكيماويات السائلة. ويتم محاكاة وجهة وانتقال مثل هذه الكيماويات باستخدام نماذج سريان المياه الجوفية والانتقال الرقمية. غالباً، تكون تحليلات المستوى الحاجز مطلوبة لمعالجة الموقع، وتقييم الإجراءات التصحيحية المعتمدة على المخاطرة، وتحديد الأطراف المسؤولة بشكل محتمل، وتقسيم العوائق البيئية.

النموذج الأول لانتقال الملوثات القابلة للامتزاج خلال المناطق ذات التجايف تكون في الشكل المذاب في ماء المطر المتسرب. نماذج أخرى تشمل، الانتشار، والتطير، والتحليل. بالنسبة لتحليل المستوى الحاجز من الانتقال في الشكل المذاب، فإن التسريب بشكل عام يتم تحديده باستخدام متوسط المعدل السنوي ويفترض أن يكون التشتت محدد في الاتجاه الرأسي، ويهمل تأثير الانتشاري الجانبي (الأفقي)، وتكون المنطقة ذات التجايف متماثلة ومتجانسة، ويكون الأمتزاز خطى

عند مستوى الاتزان (USEPA 1996b; USEPA 1985; IPCB 2001). ويمكن أيضاً أن تتعرض الملوثات الممتازة في حبيبات التربة عند رشح المصدر (بالمج) مع ماء المطر المتسرب، إلى التفسخ الحيوى مع مرور الزمن. ونتيجة لهذا، تقل كتلة المادة الملوثة الممتازة إلى حبيبات التربة مع مرور الزمن. وتتحرك المادة الملوثة المذابة في ماء المطر المتسرب قريباً ورأسياً خلال منطقة التربة المشبعة جزئياً حتى سطح الماء الأرضي. وعند الوصول إلى سطح الماء الأرضي، تختلط بالمياه الجوفية المحيطة وتتحرك على طول الاتجاه المسيطر لسريان المياه الجوفية.

ومع التقريبات والافتراضات المذكورة مسبقاً، يمكن أن توصف الملوثات التي تنتقل بالتشتت، والانتشار، والامتزاز، والتحلل الحيوي بالمعادلة التالية (Bear 1979):

$$(٤.١٢٢) \quad R_d \partial C / \partial t = D_z \partial^2 C / \partial z^2 - u \partial C / \partial z - \lambda R_d C$$

حيث إن:

$$C = \text{التركيز.}$$

$$t = \text{الزمن.}$$

$$z = \text{الاحداثي الكارتي في الاتجاه الرأسى (الهبوط الموجب).}$$

$$D_z = \text{معامل التشتت في الاتجاه الرأسى.}$$

$$u = \text{سرعة الرشح في الاتجاه الرأسى.}$$

$$\lambda = \text{معامل التحلل أثناء الانتقال خلال المنطقة ذات التجويف.}$$

$$R_d = \text{معامل الإعاقة (التأخر).}$$

وبهدف التبسيط، يفترض أن تكون تركيزات الطور الصلب والسائل عند المصدر في الحالة المستقرة، والتوزيع بين الطورين يحكم بخط التساوي الحراري بالاتزان الخاطئ (Prakash 1996). وبالتالي:

$$(٤, ١٢٣) \quad S = M / (\rho_b D) = K_d C$$

$$(٤, ١٢٤) \quad dM / dt = -(q + \lambda_1) C$$

$$(٤, ١٢٥) \quad C = C_0 e^{-v}$$

$$(٤, ١٢٦) \quad v = -(q + \lambda_1) / (\rho_b D K_d)$$

حيث إن:

S = كتلة المادة الملوثة الممتزة بالتربة لكل وحدة كتلة جافة (ظاهرية) من التربة.

M = كتلة المادة الملوثة الممتزة لكل وحدة مساحة سطح من المصدر.

ρ_b = الكثافة الجافة (الظاهرية) من التربة الملوثة.

D = عمق التربة الملوثة عند المصدر.

K_d = معامل توزيع ماء التربة.

q = متوسط معدل التسرب.

λ_1 = معامل الانحدار في التربة عند المصدر.

C_0 = تركيز الطور المائي عند المصدر عند زمن، t .

v = معامل التحلل الكلي عند المصدر.

وبفرض أن منسوب الماء الأرضي عميق بشكل كافٍ، فإن الشروط الحدودية والأولية

للمعادلة رقم (٤, ١٢٢) هي:

$$(١٤, ١٢٧) \quad C(0, t) = C_0 e^{-v}, t \geq 0$$

$$(ب٤, ١٢٧) \quad C(\alpha, t) = 0, t \geq 0$$

$$(ج٤, ١٢٧) \quad C(z, 0) = 0, z \geq 0$$

وباستخدام تحويلات لابلاك Laplace ومعكوساتها، فإن حل المعادلة رقم

(٤، ١٢٢) يكون كالتالي (Carslaw and Jaeger 1984; USEPA 1985):

$$C(z, t) = C_0 / 2 \exp \left\{ \left[uz / (2D_z) \right] - vt \right\} \left[e^{-2AB} \operatorname{erfc} \left\{ -A\sqrt{t} + B/\sqrt{t} \right\} + e^{2AB} \operatorname{erfc} \left\{ A\sqrt{t} + B/\sqrt{t} \right\} \right] \quad (٤، ١٢٨)$$

حيث إن:

$$C(z, t) = \text{التركيز عند } z, \text{ وزمن } t.$$

$$A = \sqrt{[\lambda + u^2 / (4D_z R_d) - v]}$$

$$B = (z/2) \sqrt{(R_d / D_z)}$$

وتتضمن المعادلة رقم (٤، ١٢٨) نواتج دوال الخطأ الأسية والمتنامة للإزاحات الزاوية، والتي يمكن أن تكون حقيقية أو معقدة. إذا كانت الإزاحات الأسية معقدة، فيمكن أن يتم الحصول على قيمها كما هو موضح في (Prakash 2000a) أو عن طريق دوال الخطأ لارتفاع المنسوب للإزاحة الأسية المعقدة (Abramowitz and Stegun 1972). ولانطلاق نهائي الوقت للمواد الملوثة من المصدر، يمكن استخدام التراكم الخطي. وبالتالي يكون:

$$C(z, t, t_0) = P(z, t), 0 \leq t \leq t_0 \quad (٤، ١٢٩)$$

$$C(z, t, t_0) = P(z, t) - P(z, t - t_0) \exp(-vt_0), -t \geq t_0 \quad (٤، ١٣٠)$$

حيث إن:

t_0 = الزمن الذي يتم عنده معالجة المصدر.

$P(z, t)$ هو نفس $C(z, t)$ المعطى بالمعادلة رقم (٤، ١٢٨).

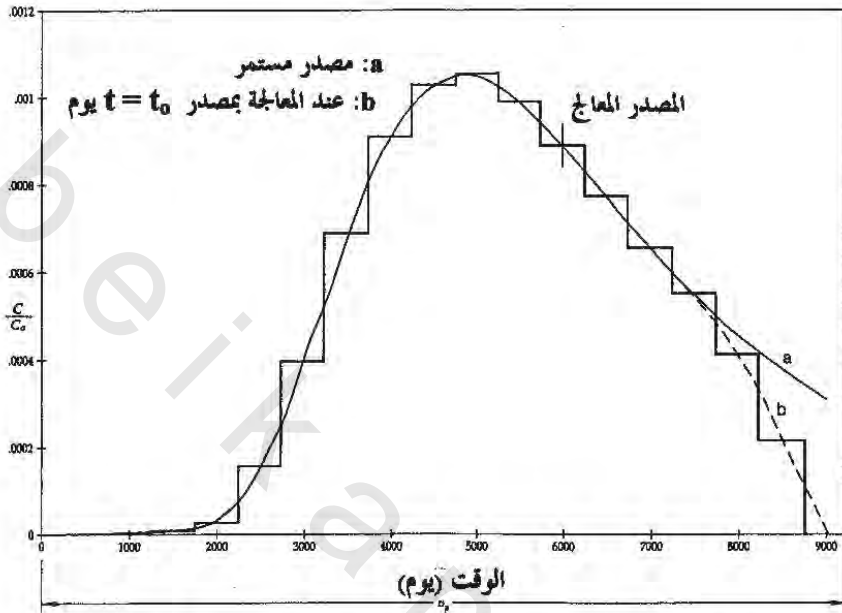
وتعطى المعادلات رقم (٤، ١٢٨)، ورقم (٤، ١٢٩)، ورقم (٤، ١٣٠) التمثيل

البياني لتركيز الملوثات التي تصل سطح الماء الأرضي، كما هو مبين في الشكل رقم

(٤, ٤). والتمثيل البياني للملوثات تكون المصدر لانتقال الملوثات خلال المنطقة المشبعة. وبهدف التيسير الحسابي، يتم تقريب تلك التمثيلات البيانية للملوثات بنبضات متعاقبة مستطيلة الشكل للتركيزات الثابتة والفترات النهائية (المحدودة) Δt ، (الشكل رقم ٤, ٤).

بعد الدخول في المنطقة المشبعة، فإن انتقال الملوثات القابلة للامتزاج إلى المستقبل، يحكم بالانتقال في الاتجاه الأفقي والانتشار والامتزاج والتحلل وإعادة الملء لماء المطر العذب نسبياً على طول مسار الانتقال. وفي غالبية الحالات الميدانية، فإن درجة انحدار المياه الجوفية تكون في اتجاه المستقبل ويمكن أن يعامل انتقال الحرارة في الاتجاه الأفقي على أنه أحادي البعد. في هذه الحالات، يمكن تحليل انتقال الملوثات باستخدام نموذج MULTIMED (USEPA 1966b) أو نماذج أخرى شبيهة. ولشروط سريان المياه الجوفية الأكثر تعقيداً، يمكن أن يكون ضرورياً محاكاة السريان ثلاثي البعد والانتقال. ويستخدم نموذج MULTIMED لتكوين تمثيل بياني لتركيزات الملوثات التي تصل المستقبل بسبب الفترة المحدودة (Δt) ونبضة تركيز الوحدة. إن استخدام التمثيل البياني للمواد الملوثة مثل دالة النواة، $C(L, \Delta t, t)$ ، ونبضات التركيز الثابت مثل دالة الدخل، $V(\Delta t, t)$ ، والتمثيلات البيانية لتركيز الملوثات التي تصل المستقبل بسبب الانطلاقات المستمرة أو محددة الزمن من المصدر يتم حسابها من اللف. وتعتبر، L = مسافة المستقبل الأفقية من المصدر. والمعادلة التالية منفصلة وموافقة حسابياً من عملية اللف (Prakash 2000a):

$$Q(L, t) = \sum C[L, \Delta t, t - (i-1)\Delta t] \cdot V(\Delta t, i\Delta t) \quad (٤, ١٣١)$$



الشكل رقم (٤، ٤). التمثيل البياني للتلوث الواصل لمستوى الماء الأرضي.

حيث إن:

$$\sum_{i=1}^n \text{المجموع من } i=1 \text{ إلى } z \leq n.$$

$$Q(L, t) = \text{الإحداثيات الأسى للتمثيل البياني للمواد الملوثة التي تصل المستقبل}$$

عند مسافة L ، من المصدر عند زمن t .

$$z = (\text{عدد صحيح}) \cdot t / \Delta t.$$

$$n = (\text{عدد صحيح}) \cdot B_p / \Delta t.$$

$$\Delta t = \text{المدة الزمنية المحددة المختارة للنفضات المستطيلة ولف.}$$

$$B_p = \text{قاعدة زمن التمثيل البياني للمواد الملوثة التي تصل منسوب الماء}$$

الأرضي (الشكل رقم ٤، ٤).

انتقال الطور الغازي Gas Phase Transport

انتقال الطور الغازي للكميائيات العضوية الطيارة من المصدر إلى سطح الماء الأرضي خلال المنطقة ذات التجاويف يمكن أن تحلل بفرض أن الانتشار الغازي يكون رأسياً بشكل سائد. فإذا كان المصدر يقع عند $x = -a$ إلى $x = a$ ومتصف المسافة يقع عند مسافة a_0 ، تحت سطح الأرض (الصماء وغير المنفذة للانتشار الغازي) وعند مسافة b_0 فوق سطح الماء الأرضي (الشكل رقم ٤,٥)، إذن باستخدام طريقة الصور (Carslaw and Jaeger 1984):

$$C(x,t) = (C_0/2) \left[\operatorname{erf} \left\{ (a-x)/\sqrt{(4D_d t)} \right\} + \operatorname{erf} \left\{ (a+x)/\sqrt{(4D_d t)} \right\} + \right. \\ \left. \operatorname{erf} \left\{ (a-(x-2a_0))/\sqrt{(4D_d t)} \right\} + \operatorname{erf} \left\{ (a+(x-2a_0))/\sqrt{(4D_d t)} \right\} + \right. \\ \left. \operatorname{erf} \left\{ (a-(x+2b_0))/\sqrt{(4D_d t)} \right\} + \operatorname{erf} \left\{ (a+(x+2b_0))/\sqrt{(4D_d t)} \right\} \right] \quad (٤, ١٣٢)$$

حيث إن:

D_d = معامل انتشار الطور الغازي الفعال للكميائيات العضوية الطيارة في المنطقة ذات التجاويف. ويمكن تقدير معامل انتشار الطور الغازي الفعال عن طريق:

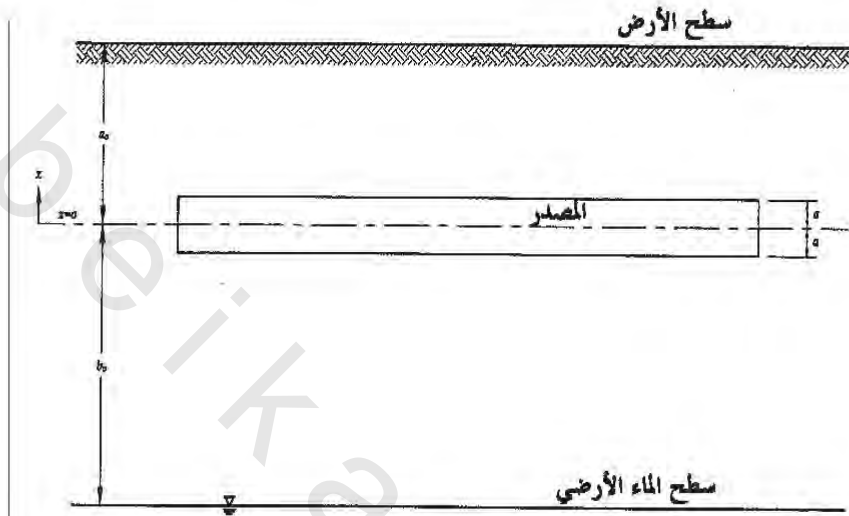
$$D_d = D_b \phi_a T_a \quad (٤, ١٣٣)$$

حيث إن:

D_b = معامل انتشار الهواء الحر.

ϕ_a = معامل النفاذية الممتلئة بالغاز.

T_a = الاضطرابية.



الشكل رقم (٤, ٥). الرسم التخطيطي للانتشار الغازي.

ويمكن الحصول على قيم معامل انتشار الهواء الحر للغازات المختلفة أو الكيماويات العضوية الطيارة من جداول خاصة (مثل، Weast 1987; IPCB 2001; Lyman *et al.* 1984). ويمكن تقدير الاضطرابية بالمعادلة التالية (Bacher 1987; Pankow and Cherry 1996):

$$T_a = \phi_a^{7/3} / \phi^2 \quad (٤, ١٣٤)$$

حيث ϕ = النفاذية الكلية.

ويمكن إجراء حسابات المعادلة رقم (٤, ١٣٢) باستخدام ورقة العمل (مثلا، برنامج الإكسل).

مثال رقم (٤, ٢٢): احسب تركيز الغاز لإيثيلين الكلور الثلاثي على عمق ٢٠ م أسفل سطح الأرض المرصوف عند: تساوي ١٨٠ يوم بسبب مصدر يقع على بعد ٥ إلى ٧ م

تحت سطح الأرض. ويقع منسوب الماء الأرضي على بعد ٦٦ م أسفل سطح الأرض. تركيز إيثيلين الكور الثلاثي الغازي عند المصدر ١٠٠٠٠ ملجم/ل عند الزمن الحالي t يساوي صفر. ومعامل انتشار الهواء الحر لإيثيلين الكلور الثلاثي D_b يساوي ٧١٠٠ سم^٢/اليوم، والنفاذية الكلية للوسط المسامي ϕ تساوي ٠,٣٠، والنفاذية الممتلئة بالغاز أو المحتوى الحجمي لإيثيلين الكلور الثلاثي لكل وحدة حجم من التربة ϕ_a تساوي ٠,٢٥.

الحل:

باستخدام المعادلات العملية لتقدير الاضطرابية ومعامل الانتشار الفعال

نحسب اضطرابية الطور الغازي T_a (Baehr 1987; Pankow and Cherry 1996):

$$T_a = \phi_a^{2.333} / \phi^2 = 0.25^{2.333} / (0.3 \times 0.3) = 0.4375$$

معامل الانتشار الفعال لإيثيلين الكلور الثلاثي:

$$D_d = D_b \phi_a T_a = 7100 \times 0.25 \times 0.4375 = 777 \text{ cm}^2 / \text{day} = 0.0777 \text{ m}^2 / \text{day}$$

وأيضاً:

$$x = -(20 - 6) = -14 \text{ m} ; a = (7 - 5) / 2 = 1 \text{ m}$$

$$a_0 = 5 + 1 = 6 \text{ m} ; b_0 = 66 - 6 = 60 \text{ m}$$

إذا:

$$a - x = 1 + 14 = 15 ; a + x = 1 - 14 = -13$$

$$a - x + 2a_0 = 1 + 14 + 12 = 27 ; a + x - 2a_0 = 1 - 14 - 12 = -25$$

$$a - x - 2b_0 = 1 + 14 - 120 = -105 ; a + x + 2b_0 = 1 - 14 + 120 = 107$$

$$(a - x) / \sqrt{(4D_d t)} = 2.00$$

$$(a + x) / \sqrt{(4D_d t)} = (1 - 14) / \sqrt{(4 \times 0.0777 \times 180)} = -13 / 7.4796 = -1.738$$

$$(a - x + 2a_0) / \sqrt{(4D_a t)} = 3.6096$$

$$(a + x - 2a_0) / \sqrt{(4D_a t)} = -3.342$$

$$(a - x - 2b_0) / \sqrt{(4D_a t)} = -14.037$$

$$(a + x + 2b_0) / \sqrt{(4D_a t)} = 14.305$$

وباستخدام المعادلة رقم (٤، ١٣٢) وقيم $\text{erf}(x)$ من جداول دوال الخطأ (أو دوال الأكسل):

$$C(x, t) = (10000/2) [0.9954 - 0.9860 + 1.0 - 0.999998 - 1 + 1] \\ = 0.0094 \times 5000 = 47.0 \text{ mg/L}$$

لاحظ أن الحدين الأخيرين كلاهما يقترب من ١ ويلغيان. إذا كان منسوب الماء الأرضي عميق جداً (كما في المثال)، فإن الحدين الأخيرين من المعادلة رقم (٤، ١٣٢) يمكن إهمالهما.

تستخدم آبار استخراج البخار لقياس ومعالجة تلوث غاز التربة، أنصاف الأقطار النموذجية لآبار استخراج البخار تتراوح من حوالي ١,٢٧ إلى ٥ سم. ونصف قطر التأثير يتراوح من ٩ إلى ٣٠ م اعتماداً على ظروف التربة. وهو أصغر في التربة الرملية وأكبر في تكوينات الطمي والطين. ويمكن تقدير معدل استخراج البخار بالمعادلة التالية (Johnson *et al.* 1990):

$$(٤، ١٣٥) \quad Q = [\pi k B / \mu] [P_a^2 - (P_a - P_w)^2] / [(P_a - P_w) \ln(R/r_w)]$$

حيث إن:

$$Q = \text{معدل استخراج البخار (سم}^3/\text{ث.)}$$

$$k = \text{سماح التربة بسريان الغاز (سم}^2\text{)}$$

$$\mu = \text{اللزوجة الديناميكية للغاز (جم.سم/ث.)}$$

$$B = \text{سمك منطقة السباح أو ارتفاع الحواجز مهما تكن صغيرة (سم)}$$

$$P_a = \text{ضغط الغلاف الجوي (حوالي } 1.01 \times 10^6 \text{ gm.cm/s}^2 \text{)}.$$

$$P_w = \text{الضغط عند البئر الناتج من ضخ البخار (جم.سم/ث}^2 \text{)}.$$

$$r_w = \text{نصف قطر البئر.}$$

$$R = \text{نصف قطر التأثير.}$$

مثال رقم (٤, ٢٣): احسب كمية غاز التربة الذي يمكن استخراجه من بئر استخراج بخار نصف قطره ٥ سم ومصفاة بطول ١ م. ضخ البخار قادر على تكوين ضغط مطلق قدره ٥١, ١٠ × ١٠^٦ جم.سم/ث^٢ عند سطح البئر. بفرض أن:

$$\mu = 1.9 \times 10^{-4} \text{ gm.cm/s} \quad ; \quad k = 10^{-6} \text{ cm}^2$$

$$P_a = 1.01 \times 10^6 \text{ gm.cm/s}^2 \quad ; \quad R = 9 \text{ m}$$

الحل:

عند سطح البئر B تساوي ١٠٠ سم.

$$(P_a - P_w) = (1.01 - 0.51) \times 10^6 = 0.50 \times 10^6 \text{ gm.cm/s}^2$$

باستخدام المعادلة رقم (٤, ١٣٥):

$$Q = [\pi \times 10^6 \times 100 (1.01^2 - 0.5^2) \times 10^6] / [(1.9 \times 10^{-4}) \times 0.5 \times \ln(9/0.025)]$$

$$= 43.27 \times 10^4 \text{ cm}^3/\text{s} = 433 \text{ L/s}$$

تركيب آبار المراقبة Monitoring Well Installation

تتطلب آبار المراقبة تسجيل مستويات المياه الجوفية وجمع العينات من المياه الجوفية لتحليل جودة المياه. وبالإضافة، لتجميع عينات من التربة أثناء الحفر. يمكن أن يكون بئر المراقبة بئراً منفرداً أو زوجين من الآبار المركبة في نفس ثقب الحفر (بئر

المراقبة المتداخل)، وتحجز كل منها تكوينات مختلفة أو أعماق مختلفة في نفس التكوين. وتشمل المواصفات العامة لتركيب آبار المراقبة التالي:

١ - الحفر: تحفر ثقوب بئر المراقبة باستخدام المركبة المثبت فيها أجهزة الحفر أو معدات أخرى ملائمة لها ساعد (قصة) مجوف يوافق الأقطار الداخلية التي تبلغ ١١ سم (٤,٢٥ بوصة) للبئر المنفرد و ٣٠,٥ سم (١٢ بوصة) للآبار المتداخلة. وتجمع عينات التربة كل عمق ١,٥ م (٥ قدم) باستخدام ملعقة زوجية قطرها ٥ سم (٢ بوصة) لأخذ العينات. يمكن أن تختلف الأعماق والأحجام اعتماداً على متطلبات خاصة في مواقع معينة. ويتم تسجيل الخصائص الفيزيائية لعينات التربة في سجلات الثقب، وتشمل تلك الخصائص الفيزيائية: اللون، وتصنيفات الحجم المرئي (مثل، ناعم، وسط، خشن)، والرطوبة (مثل، جاف، رطب، رطب جداً)، وتعدادات الانصهار، وقراءات عداد التأين الضوئي للكميائيات العضوية الطيارة، والرائحة. ويتم حفظ جزء من كل عينة من التربة وترسل إلى المختبر لتحليل وجود الملوثات موضع الاهتمام وتوزيع حجم الحبيبات.

٢ - غلاف بئر المراقبة والمصفاة ومجموعة المرشحات وسدادة الإحكام: يتم تركيب غلاف آبار المراقبة باستخدام أنبوبة بولي فينيل ٤٠ قطرها ٥ سم (٢ بوصة) وتمتد من قاع ثقب الحفر إلى حوالي ١ م فوق سطح الأرض. وللمصفاة نفس قطر ومادة الغلاف. ويمكن أن يختلف كل من قطر ومادة الغلاف والمصفاة اعتماداً على ظروف الموقع، والأحوال الاقتصادية والغرض. ويتم حساب الطول اعتماداً على سمك الطبقات الحاملة للمياه التي تصادف أثناء الحفر. يملأ الفاصل الحلقي بين ثقب الحفر ومصفاة البئر برمل نظيف وحصى ناعم، يسمى مجموعة المرشحات. وتمتد مجموعة المرشحات إلى حوالي ١ م أبعد من قمة وقاع مصفاة البئر. يصمم تدرج

مجموعة المرشحات لاحتجاز حوالي ٧٠٪ من جزيئات تربة التكوين، ويتم عمل أحجام فتحات المصفاة لاحتجاز حوالي ٩٠٪ من مجموعة المرشحات. والأحجام الأكثر شيوعاً في الاستخدام بالنسبة لفتحات المصفاة هي ٠,٢٥ إلى ٠,٥٠ مم (٠,٠١ إلى ٠,٠٢ بوصة). ويتم عمل سدادات من كريات الببتونايت بسمك حوالي ١ م فوق مجموعة المرشحات. وفي حالة الآبار المتداخلة، يتم عمل سدادة كرية الببتونايت في الطول الداخلي بين قمة مجموعة المرشحات للبئر العميق وقاع مجموعة المرشحات في البئر الضحل وبطول حوالي ١ م فوق مجموعة المرشحات للبئر الضحل. يملأ التباعد الحلقي من سطح الأرض إلى قمة سدادة كرية الببتونايت بمخلوط الأسمت-الببتونايت وتكون نسبة الأسمت إلى الببتونايت ١:١٩ من الوزن. ويمكن أن يتغير المخلوط اعتماداً على ظروف موقع معينة.

٣- تطوير البئر والتطهير وأخذ العينات: تطور آبار المراقبة باستخدام مضخات قابلة للغطس حتى يصبح الماء الذي يتم ضخه خالياً من الرواسب. ويتم تسجيل مستويات المياه وتركيز أيون الهيدروجين PH والموصلية النوعية والحرارة أثناء تطوير البئر. ويجب تطهير البئر قبل كل عملية أخذ عينة. ويجب أن يستمر التطهير إلى أن يتم إزالة حجم الماء المكافئ لأدنى حد من غلاف ثلاث آبار. بعد التطهير، يجب السماح لمستوى الماء في البئر بالعودة إلى حالته الأصلية. ويتم جمع عينات جودة المياه باستخدام أنابيب البولي إيثيلين التصريفية. يمكن قياس التوصيل النوعي وتركيز أيون الهيدروجين PH والأكسجين المذاب ودرجة حرارة المياه الجوفية في موقع العمل. تخزن عينات جودة المياه المستعادة في أوعية يحكم إغلاقها وتنقل إلى المختبرات المختصة لتحليلها.

٤ - إزالة التلوث والتخلص من النفايات: يجب أن يتم تنظيف أجهزة الحفر وأنصال الثقب وملاحق جمع العينات الزوجية ومعدات التربة الأخرى بالبخار قبل استخدامها وتشطف مرتين بالماء المتدفق وبالنهية تشطف بالماء المقطر. ويجب أن يتم جمع قطع الحفر والمخلفات السائلة بما فيها مياه تطوير البئر لأجل التخلص المناسب منها.

٥ - معاينة البئر: يجب أن يتم معاينة ارتفاعات ومواقع قمة غلاف آبار المراقبة وأن توصل بحالة ملائمة أو إحداثيات خطة أخرى على خرائط الموقع ويحتفظ بها مع سجلات بئر المراقبة الأخرى.

نماذج سريان وانتقال المياه الجوفية

Groundwater Flow and Transport Models

فيما يلي بعض نماذج سريان وانتقال المياه الجوفية الأكثر شيوعاً في المجال العام:

- نموذج الفرق النهائي لسريان المياه الجوفية ثلاثي الأبعاد المعياري، MODFLOW (USGS 2000b): يحاكي هذا النموذج سريان المياه الجوفية المستقر والبيئي ثلاثي الأبعاد. ويتكون تركيبه المعياري من برنامج أساسي وسلسلة من الطرق الفرعية، والتي تسمى وحدات القياس. وينقسم مجال سريان المياه الجوفية إلى شبكات وسدود من الشبكات التي تمثل التدفق وعدم التدفق والضغوط الثابت والنهر والمصرف والبركة وحد التدفق والبئر وإعادة الملء والرشح البخاري والطبقات التي تمثل التكوينات المختلفة. يمكن أن تشبه الطبقات بالمحصورة أو غير المحصورة أو اتحاد الاثنين. MODFLOW هو نموذج متعدد الاستعمال ويمكن أن يستخدم لأنواع مختلفة من دراسات المياه الجوفية، بما فيها تقييم مصدر المياه وانتقال الملوثات المحتمل في نطاق إقليمي أو محلي.

• شفرة تحديد مساحة حماية ضاغط البئر WHPA (USEPA 1993): وهو نموذج محاكاة سريان المياه الجوفية شبه التحليلي لتحديد مساحة مناطق الاحتجاز في مساحة حماية ضاغط البئر. وهو يقبل التطبيق في طبقات الماء الأرضية المتجانسة والمحصورة وغير المحصورة وشبه المحصورة التي تظهر سريان المياه الجوفية المستقرة ثنائية الأبعاد في خطة مساحة. ويمكن أن تحاكي الحاجز أو حدود البخار التي تخرق العمق الكلي لطبقة الماء الأرضي ويمكن أن تأخذ في الحسبان الضخ المتعدد وآبار الحقن.

• التقييم الهيدروليكي لأداء الأرض المشبعة HELP (USEPA 1995): وهو نموذج شبه ثنائي الأبعاد يستخدم لإجراء تحليل توازن الماء في الأرض المشبعة وأنظمة التغطية ومباني مخلفات التربة الملوثة الأخرى. وهو يتطلب وجود بيانات مناخية وبيانات عن التربة والتصميم. يتم بناء كمية مهمة من البيانات المناخية وبيانات عن التربة في النموذج نفسه. ويمكن محاكاة توازن المياه لأنظمة الأرض المشبعة مع أنواع مختلفة من أغطية التربة والأغطية النباتية وطبقات الصرف الجانبية وحدود التربة المسموحة المنخفضة والغشاء الجيولوجي. وتشمل المخرجات كميات من الجريان السطحي والتبخير والصرف وجمع المياه المنصرفة من الأرض المشبعة والتسرب الخطي من الأنواع المختلفة لتصميمات الأرض المشبعة.

• نموذج تقييم عداد التعريض متعدد الأوساط (MULTIMED) لتقييم التخلص الأرضي من المخلفات (USEPA 1996b): يحاكي هذا النموذج حركة الملوثات في سريان المياه الجوفية أحادي البعد مع التشتت ثلاثي الأبعاد والتراجع وتحلل من الدرجة الأولى والتخفيف بسبب الترشيح المباشر في المياه الجوفية. هذا النموذج صديق للمستخدم وتشمل أنظمة برامج الحاسب التفاعلية السابقة والتالية. وتشمل المخرجات تركيزات الملوثات التي تصل مستقبل معين تحت ظروف الحالة المستقرة أو

بعد فترات زمنية محددة التي تنطلق من المسار المستطيل أو المصدر الجاوسي. يحدد مسار المصدر المستطيل بعرض وعمق محدد. لدى المصدر الجاوسي توزيعاً أسياً على طول العرض ومتنظم على العمق. ويمكن أن يكون التركيز ثابت عند المصدر (الحالة المستقرة)، أو نبضة تركيز ثابتة بمدة محددة أو نبضة تتحلل أسياً مع مرور الزمن.

• **التصوير الحيوي (USEPA 1997):** التصوير الحيوي هو نموذج تصوير يحاكي المعالجة من خلال التخفيف الطبيعي للهيدروكربون المذاب في مواقع إطلاق البترول. وهو مبرمج في برنامج الاكسل ويعتمد على نموذج دومينيكو التحليلي لانتقال المذاب. ويمكنه أن يحاكي انتقال الحرارة الأفقي والتشتت والامتزاز والتحلل الهوائي والتفاعلات الغير هوائية. وتشمل الحزمة ثلاثة نماذج، انتقال المذاب دون تحلل، مع التفسخ الحيوي المشكل كعملية تحلل من الدرجة الأولى، ومع التفسخ الحيوي المشكل كتفاعل تفسخ حيوي لحظي.

• **نموذج الانتقال المعياري ثلاثي الأبعاد لمحاكاة الانتقال الحراري الأفقي والتشتت والتفاعلات الكيميائية للمواد الملوثة في أنظمة المياه الجوفية، MT3D (USEPA 1992):** يستخدم هذا النموذج تركيباً معيارياً شبيهاً بنموذج الفرق النهائي لسريان المياه الجوفية ثلاثي الأبعاد المعياري (MODFLOW (USGS 2000b). ويمكن أن يستخدم مع أي ازدحام في المنتصف، نموذج الفرق النهائي لسريان المياه الجوفية مثل نموذج الفرق النهائي لسريان المياه الجوفية ثلاثي الأبعاد المعياري مثل MODFLOW. وهو يستعيد الضواغط الهيدروليكية والتدفقات المختلفة وحدود المصدر/ الحوض المحفوظة في نموذج سريان المياه الجوفية وتندمج آلياً في شروط الحد الهيدروليكي المحددة. ويمكن أن يستخدم لمحاكاة تركيزات ملوثات الأنواع الأحادية القابلة للامتزاج في المياه الجوفية مع الأخذ في الاعتبار الانتقال الحراري في اتجاه أفقي

والتشتت وبعض التفاعلات الكيميائية البسيطة. التفاعلات الكيميائية المشتملة في النموذج تكون في امتزاز خطي أو غير خطي وتحلل من الدرجة الأولى أو تفسخ حيوي. هذا النموذج معقد بعض الشيء، والمشروعات التي تتضمن استخدام هذا النموذج يجب أن يتم أدائها على أنها دراسات خاصة.

النصاميم الهيدروليكية

HYDRAULIC DESIGNS

مقدمة Introduction

لا بد أن يقوم مهندس مياها بتطوير التصميمات الأولية والمبدئية للتصميمات الهيدروليكية. وتمثل تلك التصميمات أساس تجهيز التصميمات التفصيلية وخطط التعمير والرسومات والمواصفات وتقييمات التكلفة. لأن التصميمات التفصيلية قد تشمل التصميمات الإنشائية والتحليل الجيولوجي الفني للمكونات المتعددة للإنشاءات الهيدروليكية.

إن هذا الفصل يقدم طرق تجهيز التصميمات الهيدروليكية للإنشاءات التي يتعامل بها معظم مهندسي مصادر المياه. إن تلك الإنشاءات تتمثل في انتقالات القناة ومعايير الحماية من الفيضان والانجراف، وإنشاءات التنقيط والسدود والخزانات وقنوات تصريف فائض المياه والمكونات الهيدروليكية لمصنع القدرة المائية.

انتقالات القناة Channel Transitions

وهي تعتبر ضرورية من أجل إتاحة عمليات التمدد والانكماش لقطاعات الانسياب عندما يكون من الضروري مرور القناة عبر المناطق الضيقة (مثل فتحات

الكباري، المناطق المحددة بجدران الفيضان). وفيما يلي القواعد العامة لتصميمات انتقالات القناة للانسحاب الفرعي (USDA 1977):

١- يجب أن يتقل سطح الماء بنعومة من أجل التوافق مع الظروف الهيدروليكية في بداية ونهاية الانتقال.

٢- لا يجب أن تتغير حافة سطح الماء عند أي جانب من جوانب المسار في حالة الشعب بزاوية تزيد عن ١٤ درجة مع اتجاه السريان أو بزاوية تزيد عن ١٢,٥ درجة في حالة التلاقي. وهذا يعني أن قطاع القناة الكلي لا يجب أن يتغير اتجاهه بدرجة أكبر من ٢٨ درجة في حالة الشعب ولا يجب أن يتغير اتجاهه بدرجة أكبر من ٢٥ درجة في حالة التلاقي.

٣- يجب أن يكون الفاقد عبر الانتقال أقل ما يمكن. ولتقليل فاقد الاحتكاك يجب أن لا يتعدى الفاقد عبر الانتقال 0.10 hv خلال الضيق، و 0.20 hv خلال الاتساع، حيث إن hv هي ضاغط السرعة المعتمدة على متوسط السرعة من خلال عملية الانتقال.

٤- يجب أن يتفق ميل القاع والجوانب مع الظروف النهائية بشكل مماسي. بإهمال الفاقد نتيجة الاحتكاك فإن حفظ الطاقة عبر الانتقال يكون:

$$(أ ٥, ١) \quad y_1 + z_1 + \frac{v_1^2}{2g} = y_2 + z_2 + \frac{v_2^2}{2g} + h_L$$

أو

$$(ب ٥, ١) \quad WS_1 + \frac{v_1^2}{2g} = WS_2 + \frac{v_2^2}{2g} + h_L$$

حيث إن:

$$y_1, y_2 = \text{أعماق المياه.}$$

$$z_1, z_2 = \text{مناسيب القاع.}$$

$$v_1, v_2 = \text{السرعات.}$$

$$WS_1, WS_2 = \text{ارتفاع سطح المياه عند نهاية المسارات الداخلة والخارجة للانتقال.}$$

$$g = \text{عجلة الجاذبية.}$$

$$h_L = \text{الفاقد عبر الانتقال نتيجة لتغير شكل خطوط السريان.}$$

في الانتقالات القصيرة نسبياً، يكون فاقد الاحتكاك عادة صغير بالمقارنة مع الفاقد نتيجة الضيق والاتساع وبالتالي يمكن تجاهله.

لذلك:

$$(١٥, ٢) \quad WS_1 - WS_2 = \Delta WS = \frac{(v_2^2 - v_1^2)}{2g} + h_L$$

أيضاً:

$$\text{للضيق} \quad h_L = C_c \frac{(v_2^2 - v_1^2)}{2g}$$

$$\text{للاتساع} \quad h_L = C_e \frac{(v_2^2 - v_1^2)}{2g}$$

$$\text{حيث إن: } C_e \cong 0.15 \text{ و } C_c \cong 0.25$$

$$\text{للضيق تكون } v_1 < v_2, \Delta WS \text{ موجبة أي } WS_1 > WS_2$$

$$\text{وللاتساع تكون } v_1 > v_2, \Delta WS \text{ سالبة أي } WS_1 < WS_2$$

وبالتالي فإن:

$$(١٥, ٢) \quad WS_1 - WS_2 = \Delta WS = 1.15 \frac{(v_2^2 - v_1^2)}{2g} \quad \text{للضيق}$$

$$(١٥, ٢) \quad WS_1 - WS_2 = \Delta WS = -0.75 \frac{(v_1^2 - v_2^2)}{2g} \quad \text{للاتساع}$$

معادلات الطاقة التي تم ذكرها بأعلى يمكن تطبيقها أيضاً على تصميم قطاعات القنوات الخطية المحددة بالخرسانة ما عدا أنه يمكن استخدام الانتقالات الأكثر حدة. إن زاوية نقطة الالتقاء بالنسبة لأي جانب من القناة الخطية لا يجب أن تتعدى ٣٠ درجة وبالنسبة لتلك القابلة للانحراف فإنها لا يجب أن تتعدى ٢٢,٥ درجة.

مثال رقم (١, ٥): عند تصميم انتقال ذو انكماش (ضيق) بين جزئين من القناة فإن القناة المنحدرة لأعلى تعتبر قناة شرقية ذات $n = 0,025$ وميل القاع $0,002$ وميول الجوانب ٢ أفقي: ١ رأسي، وعرض القاع $= 10$ م. وبالنسبة للقناة المنحدرة لأسفل فإن قيمة $n = 0,038$ وميول الجوانب ٢ أفقي: ١ رأسي، وميل القاع $= 0,01$ وعرض القاع $= 6$ م. وإن التصرف التصميمي $= 12,25$ م^٣/ث.

الحل:

بالنسبة للقناة المنحدرة لأعلى، فإن معادلة مانتي تكون كالتالي:

$$12.25 = \frac{1}{0.025} \times \left[\frac{(10 y_1 + 2 y_1^2)}{(10 + 2(\sqrt{5}) y_1)} \right]^{2/3} \times (10 y_1 + 2 y_1^2) \times \sqrt{0.002}$$

بالتجربة والخطأ، نجد أن:

$$y_1 = 0.777 \text{ m} , A_1 = 8.977 \text{ m}^2 , P_1 = 13.475 \text{ m}$$

$$R_1 = 0.666 \text{ m} , v_1 = 1.3645 \text{ m/s}$$

بالنسبة للقناة المنحدرة لأسفل:

$$12.25 = \frac{1}{0.038} \times \left[\frac{(6 y_2 + 2 y_2^2)}{(6 + 2(\sqrt{5}) y_2)} \right]^{2/3} \times (6 y_2 + 2 y_2^2) \times \sqrt{0.01}$$

بالتجربة والخطأ، نجد أن:

$$y_2 = 0.8165 \text{ m} , A_2 = 6.2323 \text{ m}^2 , P_2 = 9.6515 \text{ m}$$

$$R_2 = 0.6457 \text{ m} , \quad v_2 = 1.966 \text{ m/s}$$

فتكون:

$$\Delta WS = 1.15 \frac{(1.996^2 - 1.3645^2)}{2g} = 0.1244 \text{ m}$$

إن التغيير المطلوب في منسوب القاع من المقطع ١ إلى المقطع ٢ يكون يعطى بالمعادلة:

$$\Delta WS = (y_1 + z_1) - (y_2 + z_2)$$

أو

$$(z_1 - z_2) = \Delta WS - (y_1 - y_2) = 0.1244 - (0.777 - 0.8165) = 0.1639 \text{ m}$$

قاع القناة في المقطع ٢ يجب أن يكون أقل عن القاع في المقطع ١ بمقدار ١,٦٤ م.

العرض العلوي للقناة المنحدرة لأعلى

$$T_1 = 10 + 2 \times 0.777 = 11.554 \text{ m}$$

العرض العلوي للقناة المنحدرة لأسفل

$$T_2 = 6 + 2 \times 0.8165 = 7.633 \text{ m}$$

باستخدام نقطة التقاء ١:٤ أو زاوية نقطة التقاء تساوي ١٤ درجة على أحد الجوانب،

يكون طول الانتقال

$$L = \left[\frac{(11.554 - 7.633)}{2} \right] \cot 14^\circ = 7.84 \text{ m}$$

هناك طريقة مختلفة قليلاً عن تصميم انتقالات القناة وقد تم توضيحها في المثال رقم (٥,٢).

مثال رقم (٥,٢): قناة على شكل شبه منحرف يجب أن يتم إقامتها لقناة خرسانية مستطيلة من أجل المرور عبر نهر صغير، فإذا كان طول القطاع المستطيل ١٥٠ م. وبعد

ذلك، فانه يجب أن يمتد ليصل لنفس قطاع القناة شبه المنحرف. فإذا كان تصرف القناة ٣٠ م^٣/ث. وأن منسوب قاع القناة على جانب القناة المنحدرة لأسفل للانتقال هو ١٠٠٠ م. والأبعاد الأخرى المتعلقة بذلك تكون كالتالي: بالنسبة للقناة على شكل شبه المنحرف، $B_1 = 22$ م، وميول الجوانب تساوي ٢ أفقي: ١ رأسي. وللقناة المستطيلة $B_2 = 11$ م، انتقال الضيق يساوي ٢,٥ : ١ (زاوية الضيق = ٢١,٨ درجة)، وانتقال الاتساع يساوي ٣ : ١ (زاوية الاتساع = ١٨,٤ درجة). صمم المسيل اللازم للحفاظ على عمق المياه عبر الانتقال عند ١,٧ م. وبافتراض أن معاملات فاقد الاتساع والضيق تساوي ٢,٠ و ٣,٠ على الترتيب ومعامل مانق للقناة الخرسانية يساوي ١٥,٠

الحل:

بالرجوع إلى الشكل رقم (١, ٥).

فإن العرض العلوي عند المقطع ١ (T_1):

$$T_1 = 22 + 2 \times 1.7 = 25.4 \text{ m}$$

وهو يساوي العرض العلوي عند المقطع ٤ (T_4).

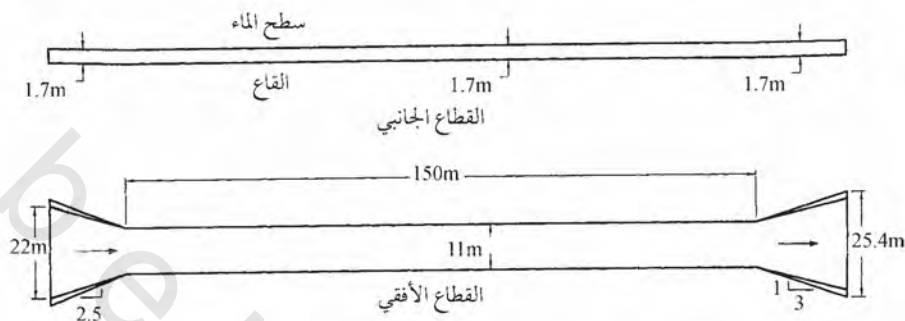
العرض العلوي عند المقطع ٢ (T_2) = العرض العلوي عند المقطع ٣ (T_3) = ١١ م.

انظر اتساع وضيق القناة في الشكل رقم (١, ٥).

طول انتقال الضيق من شكل شبه المنحرف (المقطع ١) إلى المستطيل (المقطع ٢) يساوي

$$\{(25.4 - 11)/2\} \times 2.5 = 18 \text{ m}$$

انظر الشكل رقم (١, ٥).



الشكل رقم (١، ٥). اتساع وضيق القناة.

طول انتقال الاتساع من الشكل المستطيل (المقطع ٣) إلى شكل الشبه المنحرف (المقطع ٤) يساوي

$$\{(25.4 - 11)/2\} \times 3 = 21.6 \text{ m}$$

وبإهمال الفاقد نتيجة للاحتكاك عند تطبيق معادلة اتزان الطاقة الكلية في انتقال

الاتساع على جانب الطريق المنحدر لأسفل بين المقطع ٤ و ٣

$$V_4 = \frac{Q}{A_4} = \frac{30}{(22 \times 1.7 + 2 \times 1.7^2)} = 0.695 \text{ m/s}$$

$$y_4 = 1.7 \text{ m}$$

$$V_3 = \frac{Q}{A_3} = \frac{30}{(11 \times 1.7)} = 1.604 \text{ m/s}$$

$$y_3 = 1.7 \text{ m}$$

$$z_4 + y_4 + \frac{V_4^2}{2g} + 0.3 \left(\frac{V_3^2 - V_4^2}{2g} \right) = z_3 + y_3 + \frac{V_3^2}{2g}$$

$$1000 + 1.7 + \frac{0.695^2}{2 \times 9.81} + 0.3 \left(\frac{1.604^2 - 0.695^2}{2 \times 9.81} \right) = z_3 + 1.7 + \frac{1.604^2}{2 \times 9.81}$$

$$z_3 = 999.92544 \text{ m}$$

بالنسبة للقطاع المستطيل للمسيل فان:

$$y_2 = y_3 \quad , \quad R_2 = R_3 \quad , \quad V_2 = V_3$$

وباستخدام معادلة ماننق لتقدير الفاقد نتيجة للاحتكاك في القناة الخرسانية المستطيلة
 لطول $L = 150$ م، ونصف قطر هيدروليكي

$$R_3 = \frac{A}{P} = \frac{(11 \times 1.7)}{(11 + 2 \times 1.7)} = 1.2986 \text{ m}$$

فاقد الاحتكاك

$$h_f = \frac{V_3^2 n^2 L}{R_3^{4/3}} = \frac{1.604^2 \times 0.015^2 \times 150}{(1.2986)^{4/3}} = 0.06129 \text{ m}$$

وميل خط الطاقة (ميل الاحتكاك) S_f

$$S_f = \frac{0.06129}{150} = 0.0004086$$

إن التدفق عبر القطاع المستطيل منتظم $S_f = S_0$ ، حيث S_0 ميل القاع.

منسوب القاع عند المقطع ٢

$$Z_2 = 999.92544 + 0.06129 = 999.98673 \text{ m}$$

بموازنة الطاقة عبر انتقال الضيق (الانكماش) من المقطع ٢ إلى ١ (مع إهمال الفاقد
 نتيجة الاحتكاك خلال الانتقال)

$$z_2 + y_2 + \frac{V_2^2}{2g} + 0.2 \left(\frac{V_2^2 - V_1^2}{2g} \right) = z_1 + y_1 + \frac{V_1^2}{2g}$$

إن الأبعاد عند المقاطع التي تتميز بشكل شبه منحرف ٤، ١ متماثلة. وبالتالي فإن

$$999.98673 + 1.7 + \frac{1.604^2}{2 \times 9.81} + 0.2 \left(\frac{1.604^2 - 0.695^2}{2 \times 9.81} \right) = z_1 + 1.7 + \frac{0.695^2}{2 \times 9.81}$$

إذا

$$z_1 = 1000.11454 \text{ m}$$

إن التدفق يبدأ عند منسوب القاع يساوي ١١, ١٠٠٠م وعند نهاية التيار المنحدر لأعلى يساوي ٩٩٩, ٩٩م وعند بداية التيار المنحدر لأسفل يساوي ٩٩٩, ٩٣م لقطاع الانتقال الاتساع، ويصل إلى ١٠٠٠م عند نهاية الطريق المنحدر لأسفل للضيق.

التحكم في الفيضان Flood Control

إن الطرق المستخدمة بشكل شائع للتحكم في الفيضان تشمل المعايير الإنشائية وغير الإنشائية، وهناك أمثلة من المعايير الإنشائية للتحكم في الفيضان مثل السدود، وممرات الفيضان وأحواض الاحتجاز. أما المعايير غير الإنشائية فتشمل إقامة مستويات تنظيمية للفيضان، ومناطق الفيضان، ومستويات التحكم في إراقة وسريان المياه والتخطيط في حالة طوارئ الفيضان.

المعايير الإنشائية Structural Measures

السدود Levees: السدود هي امتدادات أرضية يتم بنائها بحيث تكون موازية تقريباً للمقطع المائي من أجل منع وصول المياه إلى المساحات الواسعة للأرض المحيطة بشواطئ المجرى. وهناك معايير أساسية لا بد من أخذها في الاعتبار عند تصميم السدود وهي كالتالي:

- **الموقع:** إن المسافة بين السدود على كلا الجانبين للنهر أو المسافة الخاصة بالسد من خط النصف لنهر تعتمد على وجود الأرض. فإذا كانت الأرض متاحة أو يمكن الحصول عليها بدون مشاكل سياسية أو اقتصادية أو اجتماعية أو بيئية، فإن السدود يمكن أن يتم إقامتها على أراضي مرتفعة أو سلاسل جبال أو مرتفعات وفيما غير ذلك لا بد من اتخاذ معايير واحتياطات أخرى من أجل التحكم في الفيضان. وفي تلك

الحالات، لابد من محاذاة السدود من أجل حماية أو تجنب التفاصيل التاريخية والأثرية القديمة وغيرها من تفاصيل.

• استقرار الميل: يتم تصميم الحواجز على أنها سدود أرضية وبالتالي فإن ميل الجوانب لها تكون مستقرة تحت ظروف الجفاف وأيضا حينما تكون المياه المحتجزة لتصميم ارتفاع الفيضان على جانب النهر الذي يتميز بالجفاف أو حيث تكون مستويات المياه منخفضة على الأرض. إن ميل الجوانب للسدود عادة تختلف من ٢ أفقي: ١ رأسي إلى ٤ أفقي: ١ رأسي. وبالنسبة للانحدارات المستوية بشكل أكبر يجب أن تكون متاحة من أجل مواد إقامة السد التي تتميز بزوايا أصغر.

• التسريب: أثناء مراحل ارتفاع مستويات الفيضان، يحدث التسريب عبر قطاع السد وقد يؤدي ذلك إلى النقل عبر الأنابيب إذا لم يكن هناك معايير مناسبة للتحكم في التسريب، لذلك يجب اتخاذ المعايير المناسبة للتحكم في التسريب عند تصميم السد أو الحاجز. ومن الطرق الأكثر شيوعاً من أجل تحقيق ذلك تصميم الخنادق لجمع ونقل المياه المتسربة إلى روافد قريبة والآبار الأرضية والمرشحات المعكوسة.

• المصارف الداخلية: أن قمة الحواجز على طول القناة الأصلية قد يعيق الروافد والسريان الطبيعي فوق الأرض التي تدخل النهر عبر العديد من الطرق أو الممرات الخاصة بجرف النهر. وبالإضافة إلى ذلك التسريب من قناة النهر الأساسية قد يؤدي إلى احتجاز المياه إلى الجانب الأرضي من السد أو الحاجز. وإن معايير تصريف تلك المياه لابد من أخذها في الاعتبار عند تصميم السد. من هذه المعايير عملية ضخ المياه فوق السد وتغيير اتجاه تصريف المياه للمياه المحتجزة في الروافد المنخفضة التي تشق طريقها عبر الخنادق أو القنوات أو ممرات الصرف الموازية تقريبا للسد أو الحاجز.

• العرض العلوي والسطح الحر: من أجل السماح بحركة المعدات والتفتيش، ويجب أن يكون أن العرض العلوي للسد أو الحاجز أكبر من ٣ م. ومع ذلك فإنه قد يتم استخدام عرض أقل للجزء العلوي للسد إذا كانت هناك طرق أخرى للدخول (مثل وجود طريق قريب من السد). والأسطح الحرة للسدود تختلف من ١,٠ م إلى ١,٥ م والقيمة الأكثر شيوعاً هي ١ م (USACE 1994).

• الحماية من الانجراف والطرء: إن طرق حماية السدود من الانجراف تعتبر في العموم شبيهة بحماية جوانب القنوات (انظر الجزء الذي عنوانه الحماية من الانجراف).

إن التحليلات الهيدروليكية تشمل تخطيط مستوى الفيضان وتعيين طريق الفيضان باستخدام نماذج الحاسب الآلي HEC2 و HEC-RAS (USACE 1991c, 1998) والتحليل الخاص بالصرف الداخلي باستخدام نماذج مثل HEC-IFH (USACE 1992). وإن مستوى الفيضان هو المنطقة التي تقع على الجانب الأرضي لجانب النهر المغمور بالفيضان بسبب فيضان النهر، وإن المنطقة التي تم غمرها أثناء ١٠٠ عام من الفيضان يطلق عليها مستوى الفيضان ١٠٠ عام، وبالنسبة لدراسات تأمين الفيضان فإن طريق الفيضان يمكن تعريفه بأنه قناة النهر أو أي طريق مائي آخر والمنطقة الملاحقة له من الأرض التي لا بد من حفظها من أجل تفريغ قاعدة الفيضان (أي فيضان ١٠٠ عام) بدون زيادة ارتفاع سطح المياه أكثر من الارتفاع المحدد. وإن أقصى ارتفاع مسموح به يكون دوماً ٠,٣١ متر فوق ارتفاع الفيضان ١٠٠ عام تحت حالة ما قبل طريق الفيضان. وبالنسبة لنظام سريان المياه فوق الحرج، قد يتم تطبيق أقصى ارتفاع مسموح فوق خط مستوى طاقة ما قبل الفيضان أكثر ارتفاع الفيضان. إن المنطقة التي تقع بين طريق الفيضان وحد فيضان ١٠٠ عام يطلق عليها أهداف طريق الفيضان. وبالتالي

فإن تلك المنطقة تعتبر هي النسبة من مستوى الفيضان التي يمكن إعاقتها بدون زيادة ارتفاع فيضان ١٠٠ عام أكثر من ٠,٣١ م عند أي نقطة.

تحليل طريق الفيضان قد يتم باستخدام طريق التعدي للقناة المتاحة في نماذج سطح المياه المستقرة الحالة (مثل HEC-2، HEC-RAS) وفي الأحوال العادية يتم تعيين طريق الفيضان باستخدام توصيل القناة ذو الفقد المتساوي على جانبي المجرى المتقابلين. وإذا كانت تلك الطريق غير عملية أو أن هناك نماذج غير معتادة للسريان (مثل السريان ما بين الأحواض، السريان المقسم ... إلخ)، فإن النقل غير المتساوي قد يتم استخدامه من أجل قبول الوكالات الفيدرالية والدولية ووكالة التأمين.

الحنية Groins: إن الحنيات تعتبر سدود ممتدة من جانب النهر إلى المسافة المحددة، التي قد تكون دوماً ممتدة إلى خط المياه الطبيعي، إقامة تلك الحنيات من أجل حماية حافة النهر من الانجراف أو من أجل التحكم في تعرجات القناة. الحنيات تكون مؤثرة بشكل أكبر حينما يتم إقامتها على هيئة سلسلة. أنه من الممكن إقامتها بحيث يكون اتجاهها عمودي على الحافة أو يتم إقامتها بحيث تميل بزاوية على المجرى المنحدر لأعلى أو لأسفل، وإن تلك الممرات المنحدرة لأسفل والتي تميل بزاوية على المجرى تميل إلى عكس المجرى الأساسي بعيداً عن الحافة. وإن تلك الممرات المنحدرة لأسفل السالفة الذكر تتسبب في جعل الطوفان أقرب إلى الحافة والإبقاء به على المجرى العميق بالقرب من الحافة. بالنسبة للممرات المنحدرة لأعلى يطلق عليها منحرفة أو مردودة وتلك الممرات المنحدرة لأسفل يطلق عليها الحنيات الجاذبة. وبالاعتماد على خصائص محددة للموقع فإن زوايا الانحدار على الجانب قد تختلف من ١٠-٣٠ درجة. بالإضافة إلى ذلك فإن الحنيات المنفذة قد تكون المسافات بينها أكبر منها في

حالة الحنيات الصلبة غير المنفذة. أما بالنسبة للحنيات الصلبة فيتم إقامتها على الأرض مع حماية كافية بحيث لا تسمح بالسريان عبرها. بالنسبة للحنيات المنفذة التي يتم إقامتها بحيث تكون ذات إطارات من مادة ممتلئة بفروع من الشجر أو الصخر بحيث تسمح بتقييد السريان عبرها.

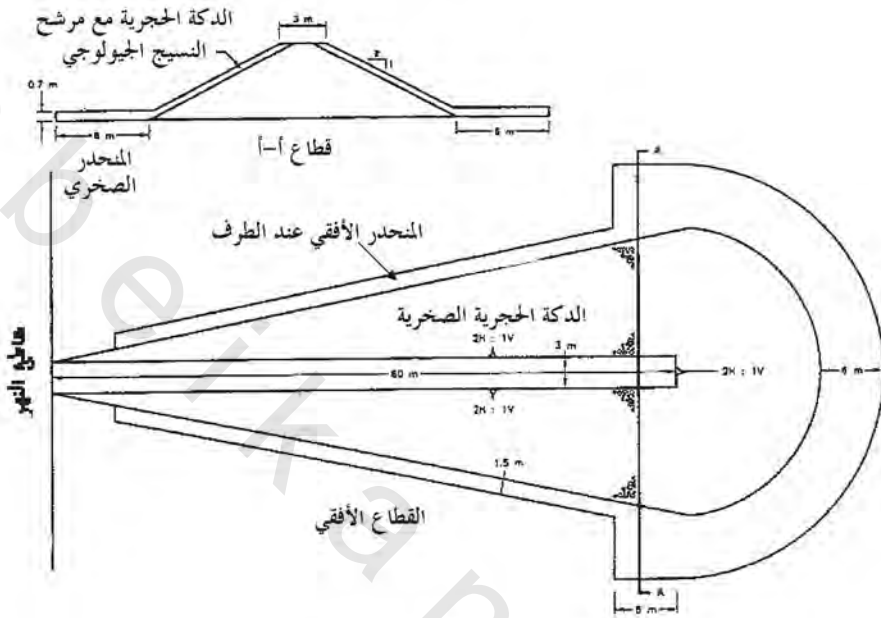
بالنسبة لحنيات على شكل T فإنها تكون ذات سد متقاطع يتم إقامته على نهاية جانب النهر للحنية الطبيعية، وفي العادة، يكون هناك طول أكبر لمشروعات السد المتقاطع بالمجرى المائي المنحدر لأعلى ومشروعات أصغر بالنسبة للمجرى المائي المنحدر لأسفل من الحنية الأساسية.

إن تركيبات وتصميمات الحنيات يجب أن يتم تعيينها بمساعدته النماذج الهيدروليكية الفيزيائية.

إن طول والفراغ المخصص للحنيات يعتمد على حالات الموقع وأهداف المشروعات النهرية فإذا كان النهر متسعاً وكان الجزء الأعظم من النهر المنساب يجب أن تكون اتجاهه بعيداً عن الجانب المقابل من النهر، فإن الحنية التي تقوم بطرد الاتجاه بعيداً يجب أن تكون طويلة بشكل مناسب. وإذا كانت حافة النهر عبارة عن منحني، فإن الحنيات التي تكون على هيئة سلاسل قد تكون ذات أطوال مختلفة. والمسافة التي يتم استخدامها دوماً بين الحنيات تكون من مرتين إلى مرتين ونصف من طول الحنية بالنسبة للحواف المحدبة وتكون مساوية للحنيات بالنسبة للحواف المقعرة (USAERDC 2003) وأن الحنيات في حالة النهر المتسع تكون المسافات بينها أكبر منها في حالة النهر الضيق إذا كان كلاهما في الحالتين له نفس التصرف التصميمي. أيضاً، ربما توجد حنيات منفذة على مسافة إضافية من حنيات صلبة أو غير منفذة أو منفردة.

عادة تكون الميول الجانبية للحنية من ٢ أفقي: ١ رأسي إلى ٣ أفقي: ١ رأسي، وبالنسبة للمنحدرات الأكثر شدة فإنه قد يتم استخدامها بزوايا أكبر. ويتم استخدام انحدارات أقل بالنسبة للزوايا الأصغر، أن أنف الحنية الجاذبة أو الطاردة أو المستقيمة قد تكون نصف دائرية. وأن قطاع الحنية الذي يتوقع أن يكون في مواجهة شدة تيار أكبر لا بد أن يتم حمايته جيداً وعلى الأخص الرأس أو الأنف أو الإصبع، فلا بد أن يتم تسليحه جيداً بالصخر والخرسانة أو قوالب الاسمنت الصلب أو المعايير الأخرى للحماية من الانجراف، وفي حالة سلاسل حنيات الطرد فإن ما يكون منها عند نهاية الممر المائي المنحدر لأعلى لممر النهر الذي يتميز بوجود معايير الحماية فيكون في حاجة إلى أقصى درجة من الحماية. وفي حالة الحنيات الجاذبة، فإن منحدر جانب الممر المائي المنحدر لأعلى والإصبع قد يحتاج أيضاً إلى أقصى درجة من الحماية. الحماية من الانجراف على ناحية المنحدر الجانبي والإصبع قد يتم تصميمها باستخدام الطرق التي تم وصفها في "الحماية من الانجراف". إن تصميم الحنية التقليدية موضح في الشكل رقم (٥، ٢).

الطرق المختصرة Cutoffs: عندما يكون تعرج النهر على هيئة حدود حصان فإنه يكون هناك احتمال لتكوين فوري لقناة مستقيمة أو بحيرة على شكل قوس أو حلقة أثناء الفيضانات الكبرى. أن ذلك قد يؤدي إلى عدم استقرار القناة وأيضاً إلى طوفان إلى الجانب المنحدر لأعلى من الثنية. ويتوقع الموقف الذي تم ذكره بأعلى، فأن تلك الاقتطاعات (الطريق المختصر) التي تم استكشافها قد يتم استخدامها من أجل جعل القناة مستقيمة. إن الطريق المختصر قد يتم إقامته من أجل منع التعرج الشديد للنهر من منطقة ذات أهمية وقيمة أو من أجل جعل مجرى النهر مستقيم.



الشكل رقم (٥,٢). الحنية النموذجية.

إذا تعدى زمن طول الدورة من ١,٥ إلى ٢ مرة طول الوتر الخاص بالمسار المتعرج أو بالقوس فأن الطريق المختصر الذي يتم إقامته بشكل اصطناعي قد يتم استكشافها على طول الطريق المختصر المتوقع. ويجري الفيضان قد يؤدي إلى اتساع قناة الدليل لتصل إلى الحجم المطلوب وقد يتحول عن المحاذاة المنحنية القديمة، وإن قناة الدليل يجب أن يتم تنقيها إلى قطاع أعمق، مثل ذلك (Singh 1967).

(٥,٣)

$$R/L^2 > R_m/L_m^2$$

حيث إن:

R = العمق المقدر للتنقيب الخاص بقناة الدليل.

L = طول قناة الدليل.

R_m = نظام عمق القناة المنحنية الأصلية.

L_m = طول دورة القناة المنحنية الأصلية.

ممر الفيضان Flood Bypass: ممر الفيضانات عبارة عن قنوات وأنفاق أو موصلات قد تم تعميمها من أجل تحويل نسبة من سريان فيضان النهر إلى مجرى آخر أو قناة منحدرية لأسفل عند نقطة على نفس المجرى المائي. وإذا كان التحويل مطلوب فقط أثناء الفيضانات ذات الحجم الأكبر من القيمة المحددة فإن انعكاس الممر قد يكون موقعه في منطقة أعلى من قاعدة النهر وبالتالي يكون هناك تحويل بلا قيمة أثناء الفيضانات الصغرى. بالنسبة للتحليل الهيدروليكي لتحويل التدفق قد يشمل حساب لتقسيم التدفق باستخدام نماذج مثل HEC-2 و HEC-RAS (USACE 1991c, 1998). إن الانسياب التي تم تحويلها قد يتم تفريغها بالانحدار إلى أسفل في نفس القناة إذا كانت خصائص الفيضان في القناة المنحدرة لأسفل تسمح بذلك.

عملية إقامة القنوات Channelization: إن عملية إقامة القنوات تشتمل على تصفية وتوسيع واستقامة وتعميق القناة وكذلك تبطينها كما هو مطلوب من أجل تحسين التحويل الهيدروليكي. وأن التأثيرات الهيدروليكية لعملية إقامة القنوات يتم تقييمها باستخدام نماذج الحاسب الآلي مثل HEC-2 و HEC-RAS (USACE 1991c, 1998). ويجب القيام بالتحليل الاقتصادي للتكاليف والفوائد المصاحبة لكل عنصر من عناصر إقامة القناة من أجل التعرف على التصرفات التي يفضل القيام بها.

تحسين الكوبري Bridge Modification: إن تحسين الكوبري يشمل إزالة واستبدال وتوسيع ورفع الكباري الموجودة بالفعل على المجرى المائي الذي قد يكون ضيق جداً أو منخفض جداً. وفي بعض الأحوال يكون المجرى المائي الفعلي للكوبري مناسباً ولكن المجرى المائي الفعال قد يكون ضيق جداً وذلك لأسباب تتعلق بالسريان، فإن العقبات تحدث عبر الممر المائي للكوبري لجوانب الممرات المنحدرة لأعلى وأسفل.

الصمود أمام الفيضان Flood Proofing: إن الوحدات المنعزلة خلال مستوى الفيضان أو المناطق المعرضة لمخاطر الفيضان تعتبر صامدة من خلال سد حلقي أو حائط لصد الفيضانات من خلال رفع المنشأ فوق مستوى الفيضان المتوقع، وفي بعض الأحيان تكون المستويات الأكثر انخفاضاً من الوحدات المتأثرة (التي قد تكون أسفل ارتفاع قاعدة الفيضان) مستقيمة وقد يتم تقويتها من أجل تحمل القوى الديناميكية والهيدروستاتيكية لمياه الفيضان.

أحواض الاحتجاز Detention Basins: إن أحواض الاحتجاز تعتبر احتجازات صغيرة من أجل تخزين مسارات ومجاري العاصفة من روافد النهر وتقوم بإخراجها تدريجياً بعد الوصول إلى أقصى سريان في القناة الرئيسية، وأن حسابات حجم أحواض احتجازات قد تتم باستخدام نماذج من أجل تقديم وتحديد مسلك ممرات السطح والمنحنى البياني المائي له مثل HEC-1 (USACE 1991a). وأن حوض الاحتجاز الجاف قد يتم تصميمه لكي يظل جافاً معظم الوقت فيما عدا أثناء العواصف، ويمكن أن يتم تحقيق هذا من خلال إتاحة مخرج عند أو أسفل ارتفاع قاع الحوض. وأن حوض الاحتجاز المبتل يحتجز كمية من الماء تقريباً معظم العام وقد يتم استخدامه أجل الصيد والأنشطة الأخرى الخاصة بالمياه الضحلة. وبالنسبة لتلك الأحواض فإن

ارتفاع المخرج يتم الحفاظ عليه فوق قاع الحوض. أن أحواض الاحتجاز يتم تصميمها بشكل أساسي من أجل احتجاز الرواسب الناتجة عن مجارى السطح.

المعايير غير الإنشائية Nonstructural Measures

إن تلك المعايير الخاصة بالتحكم في الفيضيان تشمل تأمين الفيضان وإقامة تنظيمات لمياه العاصفة وإعادة إقامة الوحدات المحمولة من خلال الفيضان.

إن التأمين الخاص بالفيضان يشمل عملية تصنيف المناطق التي يذهب إليها الفيضان طبقاً لاحتمال حدوث الفيضان وبالنسبة لأغراض التأمين، فإن المناطق ذات مستوى فيضان في حدود ١٠٠ عام يتم تصنيفها بالمناطق المعرضة لخطر الفيضان، وأن المناطق بين مستوى فيضان في حدود ١٠٠ عام و ٥٠٠ عام يطلق عليها المناطق المعرضة لخطر متوسط من الفيضان، أما أماكن المناطق الباقية خارج حدود مستوى فيضان ٥٠٠ عام فيطلق عليها المناطق المعرضة للحد الأدنى للفيضان. وفي دراسات تأمين الفيضان تم تقسيم المناطق حسب خطر حدوث الفيضان كالتالي (FEMA 1993):

- المنطقة A: هي تلك المناطق الخاصة بمستويات فيضان ١٠٠ عام والتي يتم تعيينها من خلال تحليلات هيدروليكية تقريبية لارتفاعات قاعدة الفيضان، كما أن أعماق الفيضان لتلك المنطقة لا يتم توضيحها على خرائط معدل تأمين الفيضان.
- المنطقة AE: هي تلك المناطق الخاصة بمستويات فيضان ١٠٠ عام والتي يتم تعيينها من خلال تحليلات هيدروليكية تفصيلية. ارتفاعات فيضانات القاعدة لتلك المنطقة يتم توضيحها على خرائط معدل تأمين الفيضان.

• المنطقة AH: هي تلك المناطق الخاصة بفيضان ضحل ١٠٠ عام مع ارتفاع ثابت لسطح الماء (عادة ما تكون مناطق برك) حيث إن متوسط الأعماق تكوين بين

٠,٣١ و ٠,٩١ م. وأن ارتفاعات الفيضان التي يتم اشتقاقها من تحليلات هيدروليكية تفصيلية قد تم توضيحها عند فترات مختارة خلال تلك المنطقة.

• المنطقة AO: هي تلك المناطق الخاصة بالفيضان الضحل ١٠٠ عام (عادة تكون عبارة عن فيضانات عبر مسارات منحدرات) حيث إن المتوسط للأعماق يكون بين ٠,٣١ و ٠,٩١ م. ومتوسط الأعماق يتم اشتقاقها من تحليلات هيدروليكية تفصيلية قد تم توضيحها عبر تلك المنطقة بالنسبة لمخاطر فيضان أيضا على أنها المنطقة AO.

• المنطقة A99: هي تلك المناطق الخاصة بمناطق مستوى الفيضان ١٠٠ عام التي سوف يتم حمايتها من خلال نظام الحماية من الفيضان (نظام حكومي) وتلك المنطقة لم يتم توضيح لها أي ارتفاعات لفيضان القاعدة وأيضاً لم يتم توضيح أعماقها على خرائط معدل تأمين الفيضان.

• المنطقة V: هي تلك المناطق المناظرة لمستوى فيضان ١٠٠ عام من السهول الفيضية الساحلية التي تتحدد عن طريق التحليلات الهيدروليكية التقريبية التي لها أخطار إضافية مرتبطة بأمواج العواصف وليس لها تقييقات تدفق ذات قاعدة واضحة في خرائط معدل تأمين الفيضان.

• المنطقة VE: هي تلك المناطق المناظرة لمستوى فيضان ١٠٠ عام من السهول الفيضية الساحلية التي تتحدد عن طريق التحليلات الهيدروليكية التفصيلية التي لها أخطار إضافية مرتبطة بأمواج العواصف وليس لها تقييقات تدفق ذات قاعدة واضحة في خرائط معدل تأمين الفيضان.

• المنطقة X: هي تلك المناطق التي يمكن أن تقع خارج مستوى فيضان ١٠٠ عام من السهول الفيضية، وضمن ١٠٠ عام من السهول الفيضية التي يكون

متوسط أعماق الفيضان بها أقل من ٠,٣١ م، أو مناطق ١٠٠ عام فيضان التي يكون متوسط مساحة الصرف المشاركة لها أقل من ٢,٥٩ كم^٢، أو المناطق التي تم حمايتها من ١٠٠ عام فيضان عن طريق حواجز الفيضان، وليس لها تقييمات تدفق ذات قاعدة أو أعماق موضحة في خرائط معدل تأمين الفيضان.

• المنطقة D: هي تلك المناطق غير المدروسة حيث لم يتم تحديد أخطار الفيضان لكنها متوقعة.

وقد تم سن القوانين والأحكام الخاصة بمياه العواصف من قبل الوكالات المحلية لتنظيم تطورات السلطات القضائية حتى لا تكون هناك أثراً عكسية على ظروف الفيضان في المنطقة. وتشمل الأمثلة على القوانين المحلية لمراقبة الفيضان متطلبات عمل بحيرات حجز جافة أو رطبة حتى لا تتجاوز تدفقات المصبطة التي تنطلق إلى المجرى المائي المستقبل أثناء عاصفة محددة (مثل ١٠، ٢٥، أو ١٠٠ عام عاصفة) القيم المحددة لها.

إعادة الوضع تتضمن نقل الوحدات المعزولة من داخل السهل الفيضي أو منطقة خطر الفيضان إلى مناطق أكثر أمناً مع تعويض مناسب لإعادة الاستقرار.

الحماية من الانجراف Erosion Protection

مقدمة Introduction

يمكن أن تكون الحماية من الانجراف مطلوبة للقاع أو حواف شواطئ قنوات المجاري المائية، أو المناطق التي يفسد نظامها أعمال الإنشاء أو التعدين، ومنحدرات إقامة السدود الأرضية. وبالنسبة لانجراف قناة المنحدر قد يكون سبب هذا الانجراف الضغط الناتج عن سريان المياه على طول وعبر منحدر الجرف، وقوى الموجات وقوى الانجراف عند منحنيات القناة أو تعرجها. كما أن الانجراف الخاص

بالمناطق المتأثرة ومنحدرات إقامة السدود الأرضية يكون سببها هو السريان فوق الأرض وقد يكون هيئة انجراف حدود أو غدير أو لوح. وإن الحماية ضد الانجراف الغرض منها حماية المباني والممتلكات الموجودة على الأرض وعلى خط الضفة، ومن معايير الوصول إلى ذلك تسليم المناطق المحددة ضد قوى الانجراف، والمعايير الإنشائية من أجل إزاحة المعيار الأساسي وقوى الانجراف المصاحبة لذلك من القسم المهدد لجرف القناة، وحماية أو تجنب تركيز السريان فوق الأرض أو استخدام معيارين أو أكثر من تلك المعايير وبالاكتفاء على الاقتصاد والفن فإن من أكثر المعايير شيوعاً في الاستخدام هي الغطاء النباتي والمواد البيولوجية الفنية.

إن الطرق المستخدمة من أجل تحويل المجري الأساسي وقوى الانجراف المصاحبة قد تشمل الحنيات أو البامبو أو الخوازيق الخشبية والصخر على طول جرف المجري، وأن الحماية ضد الانجراف يشمل دوماً الغطاء النباتي خاصة فيما يتعلق بحماية الجدول والألواح حيث حماية الجدول أو الغدير من الانجراف دائماً ما يشمل على الغطاء النباتي والحماية الصخرية ومعايير التحكم المتدرجة. وأن تصميمات معايير الحماية من الانجراف تعتمد في العموم على قواعد افتراضية وبيانات اختبارية من النماذج الفيزيائية والخبرة والحكم العملي (Prakash 2000b).

إن اختيار وتصميم طرق الحماية من الانجراف من أجل المجاري المائية لا بد وأن يشمل الاعتبارات الفنية الجمالية والبيئية. وقد يشمل ذلك الطرق البيوتقنية والتحكم في الشد نتيجة للمياه واستقرار قاعدة المجري والنمو الخضري من خلال زراعة البذور أو النباتات. وأن هذا الهدف يجب أن يؤدي إلى تقليل تغيير البرك والملاح الجيومورفولوجية والإبقاء على البيئة الطبيعية بقدر الإمكان.

إن المعايير الإنشائية للتحكم في الانجراف تشمل:

- تعديل منحدر قاع المجرى المائي: وقد يشمل ذلك إعادة تشكيل المجرى المائي من خلال تسوية المنحدرات الحالية للحافة الشديدة الانحدار أو التنقيب المتزايد للتربة الناتجة من تآكل التربة من الجرف واستبدالها بتربة تكون أقل قابلية للتآكل.
- الدبش الصخري أو سلة من التراب: يمكن أن يكون الدبش الصخري محقون أو غير محقون بالأسمت أو موضوع في سلال من السلك الصلب أو المصنوع من الألياف الصناعية الذي يعرف بشكل شائع بالسلة، ويكون الدبش الصخري غير المحقون بالأسمت مرناً ويمكن إعادة التزود به أو إصلاحه بسهولة. وهو يضيف خشونة إضافية للسان المحمي ويميل إلى تقليل سرعات التدفق. ويمرور الوقت يمكن أن تصبح الفراغات الشاغرة مملوءة بالتربة، مما يمكنه دعم النمو الخضري. وفي حالة الدبش المحقون بالأسمت، يتم ملأ الفراغ الشاغر بالأسمت. وهذا النوع من الدبش يمكن أن يكون مناسباً في المواقع التي تكون أحجام الدبش المتاحة بها أصغر من المطلوب (راجع الجزء التالي من هذا الفصل بعنوان "معايرة الدبش للمنحدرات الشديدة"). ويكون الدبش المحقون بالأسمت صلباً وقابل للتلف بسبب الرسوخ ودورات ذوبان الجليد. ولتقليل احتمال التلف بسبب الرسوخ وأعطال المنحدر، يُنصح باستخدام الدبش المحقون بالأسمت على منحدرات الضفة الأكثر تسطحاً من زاوية استقرار مادة الضفة.

- الشكل اللينفي المركب: وهو يتكون من حقائب من مواد صناعية مملوءة بالخرسانة وموضوعة بجانب بعضها البعض. ويمكن أن تكون الأشكال المركبة مناسبة للمواقع حيث يكون الدبش نادراً ويكون هناك وفرة من الرمل والحصى.

- قوالب الخرسانة المفصليّة: أنها قوالب من الخرسانة المسلحة ذات قضبان تقوية تمتد من حوافها وعلى شكل عيون وخطافات. وهي تكون ملاصقة لبعضها ومتصلة ببعضها من خلال إدخال الخطافات لقالب واحد في عيون القالب الآخر.
- الرؤوس الخرسانية: أنها خرسانة عمودية أو منحدرية تؤدي إلى إقامة الجدران على التربة في حالة الجرف المنحدر بشدة. وفي بعض الحالات، قد يتم تزويد الجدران العمودية بالقرب من أصبع الجرف بالخرسانة المنحدرة أو الحماية الخضرية فوقها.
- التحكم التدريجي: أن ذلك يشمل إقامة العديد من منشآت التحكم التدريجية التي تكون على هيئة سلسلة عبر القناة من أجل تقليل ميل خط الطاقة وسرعات السريان في القنوات التي تمر وتنحدر لأعلى بالنسبة لمنشأة التحكم التدريجي.
- إقامة القنوات: أن ذلك يشمل معايير لتقليل سرعات سريان الانجراف من خلال اتساع القناة وزيادة المجاري المائية للكباري.
- إن نوع حماية الانجراف لأي قناة محددة يجب أن يتم تعيينها بعد تحليلات بيئية وجيومورفولوجية وهيدروليكية واقتصادية (USAERDC 2003). يجب الاهتمام والتأكيد على أن حماية الانجراف لا تؤدي إلى فيضان عكسي غير مقبول أو حالات تآكل في الممرات المنحدرة لأعلى أو لأسفل. وقد تؤدي بعض المعايير مثل التحكم التدريجي أو المعايير التي تسبب زيادة خشونة القناة إلى ارتفاعات أعلى للفيضانات في الممرات المنحدرة لأعلى. أن المعايير التي تؤدي إلى زيادة قدرة احتمال القناة (مثل إقامة القنوات الفرعية) يمكن أن تتسبب في سرعات عالية وزيادة الانجراف وارتفاعات أعلى للفيضان.

تصميم جدار الحماية Design of Riprap Protection

إن تصميم تسليحات مرنة لقواعد القناة والضفة ومنحدرات إقامة السدود تتطلب تعيين الحد الأدنى لحجم الصخر الذي يتحمل قوى الانجراف المتوقعة في الممارسة العملية، ويتم تقدير أحجام الصخر باستخدام العديد من الطرق ويتم اختبار قيمة التصميم من خلال التحكيم ومقارنتها بمدى القيم التقديرية. وأكثر الطرق شيوعاً من أجل تحقيق كل ذلك هي:

١ - طريقة ماينورد (Maynard *et al.* 1989): في تلك الطريقة تكون المعادلة المستخدمة في تقدير حجم الجدار هي:

$$d_{30}/D = SF \times 0.30 \left[(\gamma/(\gamma_s - \gamma))^{0.5} \times V/\sqrt{gD} \right]^{2.5} \quad (٥,٤)$$

حيث إن:

d_{30} = حجم الجدار والذي يكون ٣٠٪ من مادته أدق من ناحية الوزن.

D = متوسط عمق المياه في القناة.

SF = معامل الأمان، والمقترح لتلك الطريقة أن يكون ١,٢.

V = سرعة متوسط العمق الاعتيادي.

g = عجلة الجاذبية الأرضية.

γ = الوزن النوعي للماء.

γ_s = الوزن النوعي للحجر وتأخذ على أنها ٢,٦٤٤ كجم/م^٣.

ولقيمة γ_s تساوي ٢,٥٦٣ و ٢,٤٨٣ كجم/م^٣، فإن d_{30} التي يتم حسابها يجب

ضربها في ١,٠٦ و ١,١٤ على الترتيب. وأن المعادلة تكون صالحة للميول الجانبية ٢

أفقي: ١ رأسي أو المسطحة، وبالنسبة للميول الجانبية ١,٥ أفقي: ١ رأسي فإن عامل

الضرب الذي يجب استخدامه لحساب d_{30} هو ١,٣.

٢- الطريقة الأولى لهيئة الجيش الأمريكي للمهندسين (USACE 1994): وفي تلك الطريقة يتم استخدام المعادلة التالية لحساب d_{30} لحجم الجدار:

$$(٥,٥) \quad d_{30}/D_a = SF \cdot C_s \cdot C_v \cdot C_t \left[(\gamma/(\gamma_s - \gamma))^{0.5} \times V/\sqrt{g D_a K} \right]^{2.5}$$

حيث إن:

K = معامل تصحيح الميل الجانبي ويساوي

$$K = [1 - (\sin^2 \theta / \sin^2 \phi)]^{0.5}$$

θ = زاوية الميل الجانبي للجانب مع الأفقي.

ϕ = زاوية الحجر للجدار.

SF = معامل الأمان ويتراوح من ١,١ إلى ١,٥.

D_a = العمق الموضعي للسريان.

C_s = معامل الاستقرار ويساوي ٠,٣٠ للأحجار البارزة و ٠,٣٧٥ للأحجار المستديرة.

C_v = معامل توزيع السرعة العمودية ويساوي ١,٠ للقنوات المستقيمة ويرتفع إلى ١,٢٨٣ داخل القنوات ذات انحناءات.

C_t = معامل السمك ويساوي ١,٠ لسماكة الجدار مساوية d_{100} .

بالنسبة لحماية الجدار على قاع القناة، $K = 1$ ، حيث إن θ تساوي صفر تقريباً.

٣- الطريقة الثانية لهيئة الجيش الأمريكي للمهندسين (USACE 1970): هذه الطريقة تعتمد على التجربة والخطأ من أجل تقدير قيمة d_{50} (م)، باستخدام المعادلة التالية:

$$(٥,٦) \quad 0.0122 (\gamma_s - \gamma) d_{50} K = SF \gamma V^2 / [32.6 \log_{10} (12.2 D / d_{50})]^2$$

حيث إن:

SF = معامل الأمان، ويؤخذ في حدود ١,٥ للتعبير عن السريان غير المنتظم.

٤- طريقة سايمون وسيتتورك (Nelson et al. 1986, Barfid et al. 1981)،

Simons and senturk 1976): تلك الطريقة تستخدم لحساب SF الموافقة لقيمة التجربة

لحساب d_{50} باستخدام المعادلات من رقم (٥,٧) إلى رقم (٥,١١). وإذا كانت SF

التي تم حسابها غير مقبولة يتم تعديلها حتى يتم الحصول على قيمة SF المقبولة.

$$\tau_{\max} = \text{أقصى إجهاد قص.}$$

$$(٥,٧) \quad \tau_{\max} = 0.76 \gamma D S$$

$$(٥,٨) \quad \eta = 21 \tau_{\max} / [(\gamma_s - \gamma) d_{50}]$$

$$(٥,٩) \quad \beta = \arctan [\cos \lambda / \{ (2 \sin \theta / \eta \tan \phi) + \sin \lambda \}]$$

$$(٥,١٠) \quad \eta' = \eta [1 + \sin (\lambda + \beta)] / 2$$

$$(٥,١١) \quad SF = \cos \theta \tan \phi / [\eta' \tan \phi + \sin \theta \cos \beta]$$

حيث إن:

S = ميل قاع القناة.

 λ = زاوية سطح الماء مع الأفقي والتي تساوي تقريباً زاوية القاع مع الأفقي.

٥- معادلة الجمعية الأمريكية للمهندسين المدنيين (ASCE 1977) (Vanoni):

$$(٥,١٢) \quad d_{50} = [6W / (\pi \gamma_s)]^{0.333}$$

$$(٥,١٣) \quad W_{50} = 0.0232 G_s V^6 / [(G_s - 1)^3 \cos^3 \theta]$$

حيث إن:

 W_{50} = وزن الحجر (كجم) الذي يبلغ قطره d_{50} (م). G_s = الجاذبية النوعية للحجر.

٦- معادلة قسم كاليفورنيا للنقل (West Consultants 1996):

$$(٥,١٤) \quad W_{33} = 0.0113 G_s V_x^6 / [(G_s - 1)^3 \sin^3 (\rho - \theta)]$$

$$(٥,١٥) \quad d_{33} = [6W_{33} / (\pi \gamma_s)]^{0.333}$$

حيث إن:

W_{33} = وزن الحجر (كجم) الذي يبلغ قطره d_{33} (م).

$V_x = 4/3 V_a$ للسريان المضطرب.

$V_x = 2/3 V_a$ للسريان الطبقي.

V_a = متوسط السرعة في القناة (م / ث).

ρ = زاوية ٧٠ درجة لكسارة الحجر التي يتم وضعها بطريقة عشوائية.

هناك العديد من المعادلات الافتراضية التي تتعلق بحجم الدكة، وتلك المعادلات تعتمد فقط على متوسط السرعة بالقناة ولا تعتمد بشكل خاص على الميول الجانبية لجوانب القناة. وبعض المعادلات الشائعة الاستخدام التي تبين ذلك تم ذكرها هنا:

١- معادلة مكتب الولايات المتحدة للإصلاح (Peterka 1958):

$$(٥,١٦) \quad d_{50} = 0.043 V_a^{2.06}$$

٢- معادلة المسح الجيولوجي للولايات المتحدة (West Consultants 1996):

$$(٥,١٧) \quad d_{50} = 0.055 V_a^{2.44}$$

٣- معادلة إيزياش (Maynard et al. 1989 ; West Consultants 1996):

$$(٥,١٨) \quad d_{50} = V_a^2 / [2 g C^2 (G_s - 1)]$$

حيث إن:

$C = ٠,٨٦$ لمناطق الاضطراب العالي و $١,٢٠$ لمناطق الاضطراب المنخفض.

٤ - طريقة HEC-11 (West Consultants 1996):

(٥,١٩)

$$d_{50} = d_{50} C_f C_g$$

(٥,٢٠)

$$d_{50} = 0.005943 V_a^3 / [K^{1.5} \sqrt{D}]$$

(٥,٢١)

$$C_f = [SF/1.2]^{1.5}$$

(٥,٢٢)

$$C_g = 2.12/[G_s - 1]^{1.5}$$

من أجل الرسوخ يجب الأخذ في الاعتبار، الأحجام المختلفة للأحجار في طبقة الدكة حيث إن الأحجار الصغيرة سوف تشغل الفراغات بين الأحجام الأكبر من الصخور. إن التدرجات المختلفة من أحجار الدكة تنصح بها الوكالات المختلفة من أجل الأحجام المختلفة للدكة. والجدول رقم (٥, ١) يشمل التدرج المقبول لأحجام الأحجار (Barfield *et al.* 1981).

إن سمك طبقة الدكة T، يتم اتخاذه دوماً بأنه مساوي لمقدار $2d_{50}$ أو مساوي لأكبر حجم من الأحجار في طبقة الدكة.

الجدول رقم (٥, ١). تدرج أحجام أحجار الدكة.

حجم الحجارة	نسبة الوزن لحجم أقل من المعطى إلى الوزن الكلي
$d_{50} 2, 0$	١٠٠
$d_{50} 1, 7$	٨٥
$d_{50} 1, 0$	٥٠
$d_{50} 0, 42$	١٥
$d_{50} 0, 10$	٠

المصدر: (Barfield *et al.* 1981).

مثال رقم (٥,٣): أحسب أحجام أحجار الدكة لحماية الجانب والقاع لمجرىين مائين A و B في تربة رملية. المعايير الهيدروليكية المتعلقة بكلا المجرىين المائين موضحه في الجدول رقم (٥,٢). استخدم معامل أمان قيمته ١,٥، وافترض أن $d_{50} = 1.5 d_{30}$.
الحل:

إن أحجام أحجار الدكة التي يتم حسابها باستخدام المعادلات من رقم (٥,٤) إلى رقم (٥,٢٢). تكون فيها $D_a = D$ ، $C = 0.8$ ، $V_x = 4/3 V_a$ ، وقد تم توضيح ذلك في الجدول رقم (٥,٣).

إن القيم المختارة لأحجام الدكة لكلا المجرىين المائين قد تم اختيارها بحيث تقع في مدى القيم التي تم حسابها بواسطة المعادلات من رقم (٥,٤) إلى رقم (٥,٢٢).

الجدول رقم (٥,٢). المتغيرات الهيدروليكية للقنوات.

القيمة		المتغير
المجرى الأول A	المجرى الثاني B	
٢٠,٧٣	٩,٣	D (م)
٣,٩٦	٣,٣	V (م/ث)
٣,٠٥	٢,٥	V _a (م/ث)
٢١,٨	٢١,٨	θ (درجة)
٤٠	٤٠	φ (درجة)
٢٤٠٤	٢٤٠٤	γ _s (كجم/م ^٣)
٢,٤	٢,٤	G _s
٠,٠٠٠٤٨٦	٠,٠٠١٥٤	S

الجدول رقم (٥,٣). أحجام الدكة الحجرية التقديرية.

حجم الدكة الحجرية المقدرة d_{50} (م)		الطريقة
المجرى الأول A	المجرى الثاني B	
٠,٢٣	٠,٣٠	١- ماينورد
٠,٣٧	٠,٤٨	٢- الطريقة الأولى لهيئة الجيش الأمريكي للمهندسين
٠,١٣	٠,١٥	٣- الطريقة الثانية لهيئة الجيش الأمريكي للمهندسين
*٠,٣٨	*٠,٣٨	٤- سايمون وسيتورك
٠,٣٠	٠,٤٣	٥- الجمعية الأمريكية للمهندسين المدنيين
٠,٢٨	٠,٤٣	٦- مكتب الولايات المتحدة للإصلاح
٠,٥١	٠,٨٤	٧- المسح الجيولوجي للولايات المتحدة
٠,٣١	٠,٤٦	٨- إيزيباش
٠,٤٤	٠,٦٦	٩- قسم كاليفورنيا للنقل
٠,٠٧٤	٠,٠٩	١٠- HEC-11
٠,٣٨	٠,٤٦	القيمة المختارة (المعتمدة)

* SF = ١,٥ ليل السريان للمجرى المائي A ويساوي ١,٣ للمجرى المائي B.

مثال رقم (٥,٤): إن تصميم الدكة الحجرية المخصصة لحماية الحنيات والذي يقع أنفها في جزء القناة الذي يكون فيه عمق مياه الفيضان ٥ م وتكون سرعة السريان ٢ م/ث (الشكل رقم (٥,٢)). وإن الميل الجانبي للحنيات تكون ٢,٥ أفقي: ١ رأسي. استخدم (٧%) تساوي ٢٤٠٠ كجم/م^٣، وزاوية الحجر للجدار تساوي ٤٠ درجة. الحل:

استخدم معادلة رقم (٥,٥) من أجل تعيين حجم الدكة الحجرية.

زاوية الميل الجانبي θ

$$\theta = \tan^{-1} (1/2.5) = 21.8^\circ$$

وأيضاً

$$K = [1 - (\sin^2 21.8 / \sin^2 40)]^{0.5} = 0.8162$$

D_a = العمق الموضعي للفيضان = ٥ م.

بافتراض أن معامل الأمان = ١,٥ بالنسبة للسريان المكثف. وإنه يمكن استخدام معامل استقرار قيمته ٠,٣٧٥ للأحجار البارزة، ويمكن استخدام معامل توزيع السرعة العمودي بحيث تكون قيمته ١,٢٥ للسريان بالقرب من أنف الحنية، ومعامل السماكة تكون قيمته ١، بافتراض أن سمك الدكة الحجرية يساوي d_{max} . وأيضاً من أجل عملية التقلب والتوزيع الغير منتظم للسرعة عند أنف الحنية، يمكن افتراض معامل تصحيح السرعة يساوي ١,٥. إذا:

$$V_{max} = 1.5 \times 2.0 = 3 \text{ m}$$

وأيضاً

$$d_{30}/D_a = 1.50 \times 0.375 \times 1.0 \times 1.25 \left[\{1000/(2400 - 1000)\}^{0.5} \left\{ 3.0 / \sqrt{(9.81 \times 5.0 \times 0.8162)} \right\}^{2.5} \right]$$

إذا

$$d_{max} = 1.02 \text{ m} \text{ و } d_{50} = 0.357/0.70 = 0.51 \text{ m} \text{ و } d_{30} = 0.357 \text{ m}$$

قم بتصميم نظام ترشيح للدكة الحجرية (أنظر القطاع الذي عنوانه "تصميم المرشحات" من هذا الفصل)، وقم بالتزويد بمتزر أفقي على طول أصبع الحاجز تماماً كما تم وصفه في الجزء الذي عنوانه "الحماية ضد الفرق عند أصبع الحافة" من هذا الفصل.

تحديد حجم الدكة الحجرية عند الانحدارات الشديدة

Riprap Sizing for Steep Slopes

في حالة السريان على طول المنحدرات الشديدة مثل السريان عبر القنوات الجبلية، قنوات تصريف المناجم، أو الخنادق على طول إقامة السد التي تتميز بوجود منحدرات تتراوح بين ٢-٢٠٪. فإن التصرف لكل وحدة عرض للقناة وعمق السريان يكونا منخفضان بشكل عام وتكون سرعة السريان مرتفعة بشكل نسبي. وهناك معادلة مقبولة لتعيين حجم الدكة الحجرية في تلك الحالة (USACE 1994) وهي كالتالي:

$$d_{30} = 1.95 K S^{0.555} q^{2/3} / g^{1/3} \quad (٥,٢٣)$$

حيث إن:

d_{30} = حجم الحجر (م) حيث إن ٣٠٪ من الأحجار تكون أصغر من ناحية الوزن.

K = معامل السريان المكثف، ودائماً يتم اعتباره مساوي ١,٢٥.

S = ميل القاع (م/م).

q = التصرف لوحدة العرض (م^٣/ث).

تصميم المرشحات Design of Filters

دائماً ما يكون حجم دكة الحجارة أكبر بكثير من أحجام الجسيمات الخاصة بهادة القاعدة التي تكون حافة القناة. ومن أجل منع الفقد في مادة القاعدة من خلال الفراغات بين الجسيمات في الدكة الحجرية الموجودة فوقها، فإن كلا الطبقتين يجب أن يتم الفصل بينهما من خلال مرشح جيولوجي، ومرشح الرمال والزلط أو كلاهما. ومن أجل التأكيد على أن أصغر الجسيمات لا تهرب من المرشح، فإن فتحات الثقوب في مادة المرشح لا يجب أن تكون أكبر من أصغر حبيبات لمادة القاعدة. وأيضاً من أجل

تجنب تراكم الضغط الهيدروليكي خلف المرشح وللحفاظ على مادة المرشح، فإن ثقب المرشح يجب أن تكون صغيرة جداً حتى لا يتم انسداد الثقوب من خلال تلك الحبيبات. وكذلك فإن حبيبات المواد التي يتم ترشيحها عبر الفتحات لا يجب أن تكون صغيرة جداً. وفي ذات الوقت، فإن الحبيبات في مادة المرشح لا يجب أن تكون كبيرة جداً حتى لا تؤدي إلى انسداد الفراغات بين مواد الدكة الحجرية (الردم الحجري).

وهناك معايير يتم استخدامها بشكل شائع من أجل تعيين تدرج مادة المرشح، وتعتمد على توزيع الأحجام لمادة الدكة الحجرية والقاعدة وهي:

- ١- d_{50} للفلتر / d_{50} للقاع > 40 و d_{50} للدكة / d_{50} للفلتر > 40
- ٢- d_{15} للفلتر / d_{15} للقاع > 40 و d_{15} للدكة / d_{15} للفلتر > 40
- ٣- d_{15} للفلتر / d_{85} للقاع > 5 و d_{15} للدكة / d_{85} للفلتر > 5

إن تلك المعايير تشمل أربعة أحجام للمرشح تعتمد على تدرج مادة القاعدة وعلى تدرج الدكة الحجرية كما أنها تقدم ثلاث قيود كحد أقصى وقيد كحد أدنى لقيمة d_{15} ، وقيد واحد كحد أقصى وقيد واحد كحد أدنى لقيمة d_{50} ، وكذلك قيد واحد كحد أدنى لقيمة d_{85} لمادة المرشح. إن قيم d_{15} ، d_{50} ، d_{85} لمادة المرشح يجب أن يتم اختيارها ضمن تلك القيود منحنيات مثل منحنى التدرج لمادة المرشح التي تعتبر مماثلة تقريباً لمنحنيات التدرج لمادة القاعدة والدكة الحجرية.

الحماية من الانجراف عند مرتكز جدار الدعم

Protection Against Scour at Bank Toe

بسبب الانجراف عند قاعدة القناة فإن الدكة الحجرية عند نقطة تقاطع منحنى الحافة مع القاعدة (مثل عند مرتكز جدار الدعم) قد تصبح متزحزة من مكانها. وإن تصميم الدكة الحجرية بحيث يتم حمايتها من الانجراف عند مرتكز جدار الدعم

ويتطلب هذا تقييم الانجراف المحتمل وعمقه أسفل مجري القناة. وعملياً، فإن العمق المحتمل للانجراف يتم تقييمه باستخدام العديد من الطرق المختلفة ويتم اختيار قيمة التصميم من خلال الحكم والتقييم. وإن تجارب النماذج الهيدروليكية قد تكون مطلوبة في حالات خاصة. وهناك بعض الطرق الشائعة لتقدير الجرف في قاع القناة وهي كالتالي:

١ - عمق جرف النظام (Davis and Sorensen 1970 ; Zipparro and Hansen 1993):

$$d_s = x \cdot 0.473 (Q/f)^{0.333} - D \quad (أ، ٥، ٢٤)$$

$$d_s = x \cdot 1.337 (q^2/f)^{0.333} - D \quad (ب، ٥، ٢٤)$$

حيث إن:

d_s = عمق الانجراف أسفل قاع مجري القناة (م).

X = معامل الضرب الذي يختلف من ١,٢٥ إلى ٢,٠ اعتماداً على شدة تركيز السريان عند منطقة ارتكاز جدار الدعم.

Q = التصرف التصميمي (م^٣/ث).

q = وحدة التصرف لكل متر من عرض القناة (م^٢/ث).

f = معامل طمي لاسيلي $= 1.76 \sqrt{d_m}$

$d_{50} = d_m$ = لمادة قاع مجري القناة بالملليمتر.

٢ - معادلة نيلز (USBR 1984):

$$d_s = x \cdot d_i (q_f/q_i)^n \quad (٥، ٢٥)$$

حيث إن:

x = معامل الضرب يختلف من ٠,٥ إلى ٠,٧ اعتماداً على احتمال تركيز السريان.

d_i = معدل عمق المياه الذي يصل إلى عملية التفريغ التام عند الجدار (م).

q_f = التصريف التصميمي لكل وحدة من عرض القناة (م^٣/ث).

q_i = التصريف التام لحافة القناة لكل وحدة من عرض القناة (م^٣/ث).

n = أس قوة جبرية يتغير من ٠,٦٧ للفرشة الأساسية من الرمال إلى ٠,٨٥

للفرشة الأساسية من الزلط الخشن وتفرعاته.

٣- USBR المعدلة لمعادلة لاسي (USBR 1984):

$$d_s = x \cdot 0.473 (Q/f)^{0.333} \quad (٥,٢٦)$$

حيث إن:

x = معامل الضرب الذي يتغير من ٠,٢٥ إلى ١,٢٥ اعتماداً على شدة تركيز

السيان بالقرب من ارتكاز جدار دعم القناة.

٤- USBR المعدلة لمعادلة بلينش (USBR 1984):

$$d_s = x \cdot (q_f^{0.67} / F_b) \quad (٥,٢٧)$$

حيث إن:

x = معامل الضرب الذي يتغير من ٠,٦ إلى ١,٢٥.

F_b = معامل صفري للقاع (م/ث^٢) ويقدر بقيمة ٠,١٤ لقيمة d_{50} تساوي

١,٠ مم، وبقيمة ٠,٣٧ لقيمة d_{50} تساوي ٠,٣٠ مم، وبقيمة ٠,٨ لقيمة

d_{50} تساوي ٣,٠ مم، وبقيمة ١,٤ لقيمة d_{50} تساوي ٣٠ مم، وبقيمة ٣,٠

لقيمة d_{50} تساوي ١٠٠٠ مم.

٥- طريقة السرعة الصامدة المناسبة (USBR 1984):

$$d_s = D [(V_a/V_c) - 1] \quad (٥,٢٨)$$

حيث إن:

V_c = السرعة المناسبة أو المثالية (م/ث) وتتراوح من ٠,٦ إلى ١,٨ م/ث لقيمة D تساوي ١,٥ م، ومن ٠,٦٥ إلى ٢,٠ م/ث لقيمة D تساوي ٣,٠ م، ومن ٠,٧ إلى ٢,٣ م/ث لقيمة D تساوي ٦,٠ م، ومن ٠,٨ إلى ٢,٦ م/ث لقيمة D تساوي ١٥ م. والقيم الأقل لـ V_c تؤدي لسهولة تآكل مادة المجري والقيم الأعلى لها تؤدي مقاومة الانجراف لمادة المجري.

٦- القياسات الميدانية لطريقة الانجراف (USBR 1984):

$$d_s = 1.32 (q_f)^{0.24} \quad (٥,٢٩)$$

مثال رقم (٥,٥): أحسب أعماق الانجراف للمجري المائية A و B للمثال رقم (٥,٣). والمعايير الهيدروليكية المتعلقة بذلك قد تم توضيحها في الجدول رقم (٥,٤).

الحل:

حيث إن:

$$f = 1.76 \sqrt{(0.10)} = 0.56$$

$$n = 0.67$$

ولقاع المجري الرمي فإن:

$$F_b = 0.14$$

ولقيمة $d_s = 0.10$ mm فإن:

$$V_c = 0.8 \text{ m/s}$$

وللتآكل بسهولة في قاع المجري فإن:

وإن أعماق الجرف التي يتم حسابها باستخدام المعادلات من رقم (٥,٢٤) إلى رقم (٥,٢٩) تم إيضاحها في الجدول رقم (٥,٥).

إن القيم المتبناة لأعماق الانجراف لكلا المجرين قد تم اختيارها بحيث تكون ضمن مدى القيم التي قدرتها المعادلات من رقم (٥,٢٤) إلى رقم (٥,٢٩).

الجدول رقم (٤, ٥). متغيرات تقدير أعماق الجرف.

المتغير	المجرى A	المجرى B	القيمة
Q (م ^٣ /ث)	٣٥٣٩٠	٧٧٠	
Dmm (مم)	٠,١٠	٠,١٠	
d _i (م)	١٢,٠	٤,١	
q _f (م ^٣ /ث)	٨٢,١	١٣,٦	
q _i (م ^٣ /ث)	٤٣,٩	٩,٤	

الجدول رقم (٥, ٥). أعماق الجرف التقديرية.

الطريقة	المجرى A	المجرى B	عمق الجرف التقديري أسفل القاع (م)
١ - عمق نظام الجرف	١٧,٠ - ٢,٨	١,٢ - ٠	
٢ - معادلة نيل	١٢,٨ - ٩,١	٣,٧ - ٢,٦	
٣ - USBR المعدلة لمعادلة لاسي	٢٣,٦ - ٤,٧	٦,٦ - ١,٣	
٤ - USBR المعدلة لمعادلة بلينش	٤٥,٨ - ٢٢	١٣,٨ - ٦,٦	
٥ - طريقة السرعة المناسبة للصمود	٥٨,٣	١٩,٨	
٦ - القياسات الميدانية لطريقة الجرف	٣,٨	٢,٥	
القيم المختارة	١٨	٥	

التغليف بغطاء (مئزر) Launching Apron

من أجل الحماية ضد انزلاق جانب الدكة الحجرية في فتحات الانجراف بالقرب من نقطة ارتكاز جدار الدعم، فإنه يتم وضع مئزر فوق قاع مجرى القناة،

ويمتد من نقطة ارتكاز جدار الدعم للدكة الحجرية المنحدرة ناحية مركز القناة. ويتم تعيين طول ذلك المتزر على طول عرض القناة من العلاقة $p \times d_g$ حيث إن p هو عامل ضرب يتراوح من ١,٥ - ٢,٠.

ولأن فتحات الجرف تتكون بالقرب من نقطة ارتكاز جدار الدعم، فإن الأحجار من جانب المتزر على طول الانحدار الجانبي لفتحة الجرف، تؤدي إلى حماية الميل الجانبي لفتحة الجرف ضد الانجراف، وتؤدي إلى تقليل أو منع المزيد من الانجراف. وإذا كان الميل الجانبي لفتحة الجرف $Z:1$ (أفقي: رأسي) وسمك الدكة الحجرية المطلوبة لحماية الميل الجانبي لفتحة الجرف هو T_g فإن حجم الحجر VS المطلوب لوحدة الطول للجانب الذي يتم حمايته يساوي

$$(٥,٣٠) \quad VS = d_g \cdot T_g \cdot \sqrt{(Z^2 + 1)}$$

إن حجم الحجر يجب أن يكون متاحاً عبر المتزر، لذلك فإن سمك الحجر في ذلك المتزر T_t يعطى بالمعادلة

$$(٥,٣١) \quad T_t = (T_g/P) \cdot \sqrt{(Z^2 + 1)}$$

عادة تكون: $Z = 2$ ، $P = 1.5$ ، $T_g = 1.24$ حيث إن

$T = \text{سمك الدكة الحجرية على طول الميل الجانبي}$ ، لذلك فإن $T_t = 1.85 T$.

مثال رقم (٥,٦): باستخدام أعماق الجرف للمجاري المائية A ، B والتي تم تقديرها في المثال رقم (٥,٥) وأحجام الدكة الحجرية المختارة في المثال رقم (٥,٣)، احسب أبعاد المتزر لكل حالة.
الحل:

إن سمك الدكة الحجرية على طول جوانب كل مجرى تكون ضعف حجم الدكة الحجرية المقدرة، و $P = 1.5$ لذلك يكون للمجرى A .

$$T = 2 \times d_{50} = 2 \times 0.46 = 0.92 \text{ m}$$

بينما للمجرى B

$$T = 2 \times 0.38 = 0.76 \text{ m}$$

أبعاد المنزر تم حسابها باستخدام المعادلتين رقم (٥,٣٠) ورقم (٥,٣١) وقيمها مبينة في الجدول رقم (٥,٦).

الجدول رقم (٥,٦). معاملات تصميم المنزر.

القيمة (م)		المعامل
المجرى B	المجرى A	
٠,٧٦	٠,٩٢	T
١,٤	١,٧	T _i
٧,٥	٢٧	طول المنزر

الإجراءات التصورية لصّد التيار الرئيس بعيداً عن المصرف

Conceptual Measures to Repel Main Current Away from Bank

في بعض الحالات، قد ينتج تآكل الحافة نتيجة لميل التيار الأساسي للتحرك تجاه حافة النهر ولا بد من وجود وسائل للحماية من ذلك. تلك الوسائل للحماية من ابتعاد التيار الأساسي عن الجانب الخارجي لحافة المجرى كالتالي (Singh 1967; CBIP 1971):

- ١- وضع خوازيق خشبية على طول المسطحات المستطيلة لتغطية جزء القناة الذي يشغله الجزء المنحني لحافة المجرى. وقد تكون تلك الخوازيق من الصخر ولا بد أن تكون ذات عمق مناسب في الطبقة الأساسية للنهر لكي تكون مستقرة ضد حالات الفيضان. وبمرور الوقت، تكون تلك الخوازيق مقاومة للسريان وتسبب في ترسيب الطمي في تلك المنطقة.

٢- استخدام حواجز الصد إذا كانت الزاوية لجانب جدار المجرى الذي يجري ضد التيار حادة. تلك الحواجز قد تكون مسامية أو غير مسامية، مغمورة أو غير مغمورة.

٣- استخدام الصخر في القاعدة الأساسية للقناة في المنطقة المنحنية من أجل رفع تلك القاعدة وتقليل السرعات عند القناة وكذلك تقليل الجرف في تلك المنطقة.

٤- استخدام حواجز الجذب عند الجانب المقابل لزاوية الانفراج بالنسبة لجانب القناة المنحدرة لأعلى من أجل جذب التيار الرئيس تجاه ذلك الجانب. تلك الحواجز أو السدود قد تكون أيضاً مسامية أو غير مسامية، مغمورة أو غير مغمورة.
طرق أخرى وطرق فنية تقنية لحماية حافة المجرى ونقطة ارتكاز حافة الدعم

Biotechnical and Other Methods of Bank and Toe Protection

إن تلك الطرق تشمل استخدام المواد النباتية أو التخليقية بدلا من الصخور والتراب. تلك البدائل تستخدم من أجل حماية الحاجز من الانجراف:

١- القوالب المفصلية أو القماشية: إنها حقائب قد تم صنعها من مواد تخليقية مليئة بالخرسانة والأسمتات أو الأتربة الأسمتية وتم وضعها على منحدرات الحافة ونقطة الارتكاز. إن الحقائب الخضراء التخليقية قد يتم استخدامها من أجل الإبقاء على نظام مماثل للحديقة. وأن تلك الحقائب قد تكون ملاصقة لبعضها أو قد يكون بينها مسافات من أجل السماح لنمو النباتات أو البذر. وتعتبر تلك القوالب المفصلية قوالب من الخرسانة ذات مسافات بينية من أجل البذر ونمو النبات. ويتم وضعها على منحدر الحافة والمسافات بينها تكون ممتلئة بالتربة ويتم بذرها وتكون مناسبة لأنواع النباتات.

٢- منتجات التحكم في الانجراف ذات الشكل الأسطواني (الملفوفة): إنها حصائر مصنوعة من مواد تخليقية من أجل مقاومة الانجراف البيئي والميكروبي، وأنها

تحتوي على مسافات بينية مفتوحة للسماح بتخلل النبات. ويتم إنشائها من طبقات مختلفة من الخيوط التخلفية التي تؤدي إلى تقليل جرف التربة من المناطق المغطاة بها. تلك الحصائر قد يتم تثبيتها بالأسلاك وقد تكون ذات مكون عضوي مصنوع من ليف جوز الهند وفير الشرائح الخشبية. ويتم استخدام البذور في التربة قبل التغطية بحماية REGP.

٣- الغطاء النباتي: إنه يشمل كلا من اختيار النوع النباتي الذي سوف يعيش وينمو تحت تلك الظروف المناخية المسيطرة وموقع وضع تلك البذور أو النباتات. هناك طرق أخرى بديلة لحماية نقطة ارتكاز جدار دعم المجرى (ذلك يختلف عن الحواجز والدكة الحجرية) وهي:

١- الكتل الخشبية العضوية المصنوعة من ألياف جوز الهند أو مواد القش. ويتم تأمينها من خلال القضبان الخشبية عند مستوى المياه المنخفض المتوقع. وتعيق تلك الكتل الخشبية سرعات السريان المنخفضة وتسمح بنمو النباتات خلفها، وبعد بعض الوقت، قد تتآكل تلك الألواح تاركة الحماية النباتية.

٢- صندوق لانكر: وهو بناء على شكل صندوق خشبي مفرغ عند نقطة ارتكاز حافة القناة أسفل خط المياه المنخفض، مع إبقاء الصندوق مفتوحاً من جانب المجرى المائي ليسمح بدخول الكائنات المائية الدقيقة. وتعتبر قمة صندوق لانكر منضدة مناسبة لوضع الدكة الحجرية أو الشكل المركب فوقه للعمل على تثبيتها في مكانها. وللمزيد من الترسخ يتم استخدام الصلب وقضبان التسليح خلال صندوق لانكر حتى التربة السفلية، ويتم دفن القضبان المعدنية في المنطقة المنحدرة للجانب الخلفي من صندوق لانكر.

٣- جذران احتجاز حشوات الجذور: وهي قطاعات من جذوع الأشجار والجذور عند نقطة ارتكاز الحافة من أجل الحماية من الانجراف. ويعمل النسيج الخشن من حشوة الجذور على تقليل سرعة السريان بجوار حدود المجرى وذلك يساعد على الترسيب ويسمح بالنمو الخضرى عند حدود المجرى.

تفاصيل إضافية حول الطرق التقنية الحيوية لحماية الضفة والجوانب يمكن الحصول عليها من المصنعين والباعة الفرديين.

منشآت الإسقاط Drop Structures

تستخدم منشآت الإسقاط للتحكم في السقوط أو الميل للتغيرات التي تحدث لميل القاع لتقليل الميل الحالي للقناة وللتحكم في الجرف المحتمل عبر المجرى. وهناك أنواع عديدة لتلك المنشآت مناسبة للتحكم التدريجي ووصفها كالتالي:

الإسقاط العمودي المستقيم Straight Vertical Drop: يصمم هذا الإسقاط بحيث يكون عمودياً ويكون مناسباً للقنوات الصغيرة والمصارف وهو إسقاط صغير نسبياً ويكون بعلو حوالي ١-١,٥ م. وقمة ذلك المنشأ تكون ذات سد صغير إذا كان طول ذلك الجزء العرضي للذروة أكبر من $2.5 H$ حيث إن H هي الضاغطة فوق الذروة لذلك:

$$q = 1.70 H^{1.5} \quad (٥,٣٢)$$

المعادلات الافتراضية لحساب الأبعاد المتعلقة بتلك الإسقاطات العمودية كما يلي (Chow 1959):

$$D = q^2 / g h^3 \quad (١٥,٣٣)$$

$$L_d / h = 4.30 D^{0.27} \quad (ب٥,٣٣)$$

$$y_1 / h = 0.54 D^{0.425} \quad (ج٥,٣٣)$$

(٥,٣٣)

$$y_2/h = 1.66 D^{0.27}$$

(٥,٣٣)

$$F_1 = q/\sqrt{(g y_1^3)}$$

حيث إن:

$$D = \text{رقم السقوط.}$$

$$h = \text{السقوط بين ارتفاعات منبع التيار ومصب التيار عن منسوب القاع.}$$

$$y_1 = \text{عمق المياه لنقطة الارتكاز لجدار الدعم لسماك المياه أو بداية القفزة الهيدروليكية.}$$

$$y_2 = \text{عمق المياه التالي للعمق } y_1.$$

$$L_d = \text{المسافة من نقطة الارتكاز الخاص بجدار الدعم للإسقاط إلى موقع } y_1.$$

$$6y_2 = \text{طول القفزة من المستوى الأفقي لقناة السريان تجاه المصب يأخذ في حدود}$$

أو قد يتم تقديره من الجدول رقم (٣,١٥) لذلك:

الطول التقريبي لأرضية المجرى ناحية المصب يساوي

$$\text{approximate length of the downstream floor} \cong L_d + 6 y_2 \quad (٥,٣٣)$$

إن مستوى اتجاه مجرى النهر نحو المصب قد يكون على ارتفاع من الأرضية مثل تصميم عمق المياه في الخلف فيكون أكبر من y_2 . إن ذلك قد يتطلب أن تكون الأرضية أقل من قاع القناة في اتجاه مصب التيار. وإن سمك وطول أرضية اتجاه مجرى التيار نحو المصب كلاهما يجب أن يكون آمناً ضد تدرج الخروج. ولتطبيق جيد يجب أن يتم تقدير جزء مقتطع عند نهاية الأرضية الأفقية التي تكون بعمق من ٠,٧٥ - ١ م وسمك ٠,٢٥ م. وإن عمق الجزء أو البحيرة المقتطعة قد يزيد إذا كان ذلك مطلوباً من أجل الحماية ضد الجرف المحتمل الذي سيتم وصفه بالفقرة القادمة "السقوط من خلال المتر المنحدر".

يكون هناك بركة منخفضة على جانب اتجاه مجرى التيار لمنشأة السقوط وتلك البركة تكون فعالة ومؤثرة من أجل تبديد الطاقة بالنسبة للإسقاطات العمودية الصغيرة. هناك أبعاد ابتدائية للتصميم قد يتم تقديرها من خلال:

$$L_s = 5 \sqrt{(H \cdot H_L)} \quad (5,33 \text{ ز})$$

$$X = 0.25 (H \cdot H_L)^{2/3} \quad (5,33 \text{ ح})$$

حيث إن:

H = الضاغط فوق المصطبة.

H_L = السقوط بين منسوب سطح المياه بين منبع التيار ومصب التيار.

L_s = طول الأرضية المنخفضة.

X = عمق الأرضية المنخفضة أسفل قاع القناة عند اتجاه مجرى النهر نحو المصب.

وفي بعض الأحيان، بالنسبة للاعتبارات البيئية، قد يكون مطلوب وضع المصطبة فوق القاعدة الأساسية لقناة السريان عند منبع التيار من أجل خلق بركة ضحلة على جانب السريان لمنبع التيار. وبالنسبة لقنوات التحكم في الفيضان، قد تسبب المصطبة المرتفعة ارتفاع في معدل الفيضان في اتجاه السريان عند منبع التيار وقد يكون ذلك غير مرغوباً.

الإسقاط باستخدام مئزر مائل Drop with Sloping Apron: إن تلك الإسقاطات قد تكون مناسبة للسقوط من ١-٣ م. والإسقاطات الشائعة الاستخدام تكون متغيرة ما بين ٢ أفقي: ١ رأسي و ٤ أفقي: ١ رأسي. إن تلك المنشأة قد يتم إقامتها بالخرسانة أو الطوب. وفي حالة الإنشاءات الصخرية، فإن أحجام الأحجار قد يتم تعيينها من خلال الطرق التي تم ذكرها في الفقرة السابقة

(الحماية من الانجراف). إن المصبطة قد تكون متسعة للإنشاءات الصخرية، وأيضاً المصبطة المتسعة الحادة تكون مناسبة للخرسانة. وبالنسبة للمصبطة المتسعة، فإن طول القسم الأفقي يجب أن يكون أكبر مرتين ونصف من الضاغط (H) فوقه. وبالنسبة للمصبطة الحادة، فإن طولها يجب أن يكون أقل من ثلثي الضاغط (H) فوقها. وإن القطاع العرضي عند المصبطة قد يكون على شكل مستطيل أو شبه منحرف. وإذا كان من الضروري، فإن عرض الإسقاط قد يكون أقل من عرض القناة. ومع ذلك فإن أي تمدد في قطاع السريان قد يؤدي إلى ارتفاع أكبر في سطح المياه عند جانب السريان لمنبع التيار. وإن شكل السريان في اتجاه المصب يكون على هيئة متزور مائل.

الخطوات الحسابية لتقدير أبعاد التصميم للإسقاط ذو القطاع شبه المنحرف والمئزر المنحدر كما يلي:

• تعيين التصرف التصميمي (Q)، عرض القاع (B)، والميول الجانبية (Z)، وتقدير العمق الحرج (y_c). عند القمة أو الذروة من خلال التجربة أو الخطأ:

$$Q = (\sqrt{g}) [B y_c + Z y_c^2]^{1.5} / [B + 2 Z y_c]^{0.5} \quad (3, 41)$$

• افترض أن y_c يساوي تقريباً متوسط عمق المياه فوق المئزر المنحدر وتقدير التصرف لكل وحدة من عرض الذروة:

$$q \text{ (average)} = Q / [B + Z y_c] \quad (15, 34)$$

• تقدير y_1 عند بداية الميل من خلال التجربة أو الخطأ:

$$H + Z = y_1 + q^2 / (2 g y_1^2) + (q^2 n^2 L) / (y_c^{3.333}) \quad (5, 34) \text{ ب}$$

حيث إن:

H = الضاغط فوق المصبطة، ويتضمن ضاغط سرعة الاقتراب.

Z = ارتفاع المصبطة فوق نقطة ارتكاز حاجز دعم المنحدر.

n = معامل ماننق.

L = طول المنحدر.

وإذا كان مطلوب تعزيز التصفية فقد يتم هذا باستخدام المقدار $(y_e + y_1)/2$ بدلا من y_e في المعادلة رقم (٥,٣٤ ب) من أجل حساب القيمة المعدلة للمقدار y_1 .

• حساب $F_1 = V_1 / [\sqrt{g y_1}]$ ، $V_1 = Q / [B y_1 + Z y_1^2]$

• فرض أن القفزة الموجودة على الأرضية الأفقية لاتجاه السريان نحو مصب التيار لنقطة ارتكاز حاجز الدعم للمنزّر المنحدر وتقدير العمق التالي y_2 من المعادلة:

$$y_2 / y_1 = (1/2) \left[\sqrt{1 + 8 F_1^2} - 1 \right] \quad (٣,٥٢ \text{ ب})$$

• إقامة الأرضية الأفقية (بداية من نقطة الارتكاز لحاجز دعم المنزّر المنحدر)

عن عمق أكبر من y_2 أسفل تصميم تسريب المياه الزائدة والمرتفعة مثل أن تكون قمة الأرضية أسفل مجري القناة التي تجري في نفس اتجاه السريان نحو مصب النهر.

• الحصول على طول القفزة على المدى الأفقي من الجدول رقم (٣,١٥) ولابد من مراعاة أن يكون طول الأرضية الأفقية مساوياً لطول القفزة. ودائماً تكون قوالب الأرضية أو المنحدر أو المسقط غير مطلوبة للإسقاطات الصغرى ذات ١-٢ م. وبالنسبة للإسقاطات الكبرى، مثل مساقط القديس أنتوني فإن الأحواض قد تستخدم (انظر الجزء من هذا الفصل الذي عنوانه "الأحواض وأجهزة تشتيت الطاقة").

• للأمان يتم استقطاع جزء عند نهاية المجري في اتجاه مصب النهر للأرضية الأفقية. وإن عمق الجزء المقتطع أسفل ارتفاع مصرف المياه الزائدة، R ، يتم تقديره من خلال المعادلة:

$$R = 1.25 \times 1.337 \left(q^2 / f \right)^{1/3} \quad (٥,٣٤ \text{ ج})$$

• بالنسبة للإنشاءات الخرسانية السابق إقامتها على ترب، لابد من فحص ميل المخرج وارتفاع الضواغط الخاصة بالأرضية الأفقية.

ميل المخرج هو خط الميل الهيدروليكي عند المخرج (مصب التيار) من الأرضية الخرسانية أو الاقتطاع. وعندما يكون ذلك الميل متزايداً فإن ذلك قد يؤدي إلى تكوين الأنابيب في مسام الترب المشبعة عند نهاية اتجاه السريان نحو المصب. وتحت هذه الظروف، يكون تسريب المياه أسفل أرضية الإنشاء كافية للاحتفاظ بالضاغط الهيدروليكي مرتفع لأعلى ومنع غسل حبيبات التربة عند المخرج. إن ذلك الفقد لحبيبات التربة قد يخلق فجوة أسفل وعند نهاية السريان في اتجاه المصب. وإن ميل المخرج (G_B) يعطي من خلال المعادلات التالية ; (Davis and Sorensen 1970)

(Zipparro and Hansen 1993):

$$G_B = (H/d) \left[1 / (\pi \sqrt{\lambda}) \right] \quad (أ ٥,٣٥)$$

$$\lambda = \left[1 + \sqrt{1 + \alpha^2} \right] / 2 \quad (ب ٥,٣٥)$$

$$\alpha = L/d \quad (ج ٥,٣٥)$$

حيث إن:

H = فرق الضاغط بين نهايات السريان لمنبع التيار واتجاه مصب التيار عن الأرضية الخرسانية أو الضاغط المؤدي إلى تسريب أسفل القاع.

d = عمق الاقتطاع أسفل تيار المصب عن قاع القناة أو سمك الأرضية أسفل القاعدة الأساسية للقناة إذا لم يكن هناك اقتطاع.

L = الطول الأفقي الكلي للقاع الذي يحدث تسريب تحته وذلك يشمل الأقسام الخاصة السريان لمنبع التيار عند الذروة وأسفلها.

إن القوة الهيدروليكية للتسريب عند المخرج يقابلها قوة مقاومة وهي وزن التربة المغمورة:

$$dp \cdot dA = dA \cdot dl \cdot (1 - \phi)(\gamma_s - \gamma)$$

أو

$$\gamma \, dh/dl = (1 - \phi)(\gamma_s - \gamma)$$

أو

$$(٥,٣٦) \quad dh/dl = (1 - \phi)(G - 1)$$

حيث إن:

$$dh/dl = \text{خط ميل الضاغط عند المخرج (المقاوم)}.$$

$$dA = \text{مساحة عمود التربة عند المخرج الذي يتم تطبيق القوة الهيدروليكية عليه}.$$

$$dp = \text{الضغط الهيدروليكي القائم عند المخرج}.$$

$$dl = \text{عمق التربة المغمورة (عمود التربة) المقاوم للقوة الهيدروليكية أي عمق الجزء المقتطع أو الأرضية أسفل قاع القناة}.$$

$$\gamma = \text{وحدة وزن المياه}.$$

$$\gamma_s = \text{وحدة وزن حبيبات التربة}.$$

$$\phi = \text{النفذية}.$$

$$G = \text{الجاذبية النوعية لحبيبات التربة}.$$

من أجل تقليل الأنبوب المحتمل عند نهاية السريان تجاه المصب، هناك عامل أمان لا بد من استخدامه لميل المخرج المعطي من خلال المعادلة رقم (٥,٣٦). باعتبار أن قيمة ϕ تساوي ٠,٣٥ وقيمة G تساوي ٢,٦، وقيمة G_E المقاومة من المعادلة رقم

(٥,٣٦) تساوي تقريبا ١,٠. والقيم المقترحة لمعامل الأمان لحساب G_E في المعادلة رقم (٥,٣٥) هي من ٤/١ إلى ٥/١ بالنسبة للحصى ومن ٥/١ إلى ٦/١ للرمل الخشن ومن ٦/١ إلى ٧/١ للرمل الناعم.

بالنسبة للعمق المتبع للمساحة المقطوعة أو البحيرة المقطوعة، d (الحماية المطلوبة للانجراف)، H ، والميل المطلوب للمخرج، G_E ، والطول المطلوب للأرضية، L ، يمكن أن يتم تقديرها من خلال المعادلات من رقم (٥,٣٥) إلى رقم (٥,٣٥ ج). وإذا كان طول المنزر المنحرف بالإضافة إلى طول الأرضية المقدرة من أجل تشتيت الطاقة أقل من L ، فإنه قد يتم عمل توازن على جانب السريان للمنبع عند الذروة. لاحظ أنه قد لا يكون هناك ارتفاع على طول الأرضية في اتجاه السريان للمنبع عند الذروة متطلباً لسمك أسمي أو اعتباري للأرضية. لذلك، قد يكون مطلوب تقديم أقصى درجة من طول الأرضية على جانب السريان في اتجاه مصب التيار من أجل تشتيت الطاقة.

إن تسريب المياه أسفل بنية القاع يؤدي إلى ارتفاع عند قاع الأرضية يساوي الضاغط الهيدروليكي عند أي نقطة. ضغط الارتفاع عند أي نقطة قد يتم حسابه من خلال مفهوم لين للزحف. هناك تقدير أفضل يمكن الحصول عليه من خلال منحنيات التصميم لكسولا من (Davis and Sorensen 1970 ; Zipparro and Hansen 1993). إن طول مسار الزحف الموزون L_w يتم تقديره بأنه مجموع عمق كل الأوجه العمودية على طول مسار التسريب (الأكثر حدة عن ٤٥ درجة) وأيضاً ٣/١ كل الأطوال الأفقية (المسطحة بشكل أكبر من ٤٥ درجة) للأرضية التي لا يمكن النفاذ فيها. إن متوسط الميل الهيدروليكي أسفل بنية الأرضية يمكن حسابه من:

(٥,٣٧)

$$i = H / L_e$$

طول مسار الزحف الموزون المقدر للبنية الأرضية تم توضيحه في الشكل رقم (٥,٣) ويمكن حسابه من:

$$(٥,٣٨) L_c = d_1 + d_2 + d_3 + d_4 + d_5 + d_6 + 1/3 [L_1 + L_2 + L_3 + L_4 + L_5 + L_6]$$

إن الضاغط الهيدروليكي فوق قاع الأرضية عند النقطة A، الواقعة على مسافة x من نهاية اتجاه السريان نحو مصب التيار للأرضية يمكن حسابه من:

$$(٥,٣٩) h = H(X/3 + \sum V.C.L) / L_c$$

حيث إن:

$\sum V.C.L$ = مجموع طول مسار الزحف الرأسي الموزون لمصب التيار عند النقطة A. سمك الخرسانة، d، المطلوبة لتحمل الضغط المرتفع عند تلك النقطة يمكن حسابه من:

$$\gamma h = \gamma_c d$$

أو

$$h = G_c d$$

أو

$$h - d = G_c d - d$$

أو

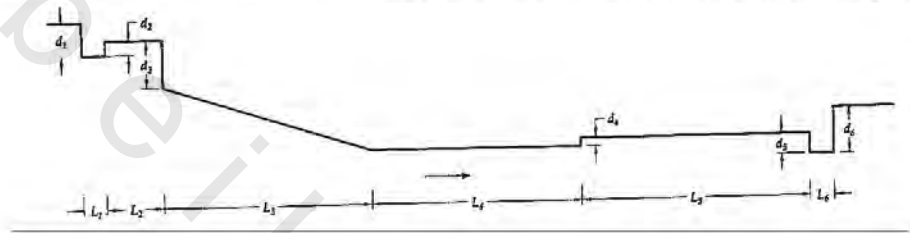
$$(٥,٤٠) d = h/G_c = (h - d)/(G_c - 1)$$

حيث إن:

G_c = الوزن النوعي للخرسانة ويأخذ حوالي ٢,٤.

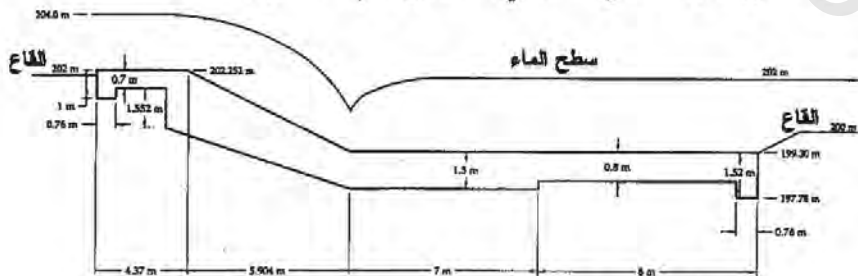
إن الصورة الأخيرة في المعادلة رقم (٥,٤٠) قد تكون مقنعة بسبب الإحداثي الرأسي الصادي بين خط الميل الهيدروليكي وقمة الأرضية (h-d) الذي يمكن تقديره

بسهولة. وإن قيم i المقترحة من أجل فحص ملائمة طول الزحف الموزون الكلي هي من $1/3$ إلى $1/4$ بالنسبة لخليط الرمال والحصى والجلمود، $1/5$ للرمال الخشنة، ومن $1/6$ إلى $1/8.5$ للرمال المتوسطة النعومة.



الشكل رقم (٥,٣). طول الزحف الموزون.

مثال رقم (٥,٧): قم بتصميم منشأ إسقاط ذو منزر منحدر للحصول على ٢ م سقوط بين منبع التيار ومصب التيار، منسوب القاع يستطيع تحمل فيضان تصميمي يساوي ١٧٥ م^٣/ث. وإن القناة ذات قطاع شبة منحرف عرض قاعها ٥٥ م والميول الجانبية لها ٢ أفقي: ١ رأسي وعمق المياه بها ٢ م. ومنسوب القاع عند منبع التيار وعند مصب التيار يساوي ٢٠٢ و ٢٠٠ م على الترتيب. إن مادة قاع القناة تتكون من الرمال الناعمة ذات d_{50} يساوي ٠,٣٠ مم. وعند بنية الإسقاط لابد من أن تكون القناة ذات تقلص بالنسبة لعرض القاع بحيث تكون ٤٢ م والميول الجانبية لها ٢ أفقي: ١ رأسي، افترض أن ميل المنزر ٢ أفقي: ١ رأسي، الشكل رقم (٥,٣) ب).



الشكل رقم (٥,٣) ب). المخطط البياني لبنية الإسقاط الأرضية.

الحل:

افترض أن هناك هدار ذو ذروة عريضة عند القطاع المتقلص، وباستخدام المعادلة رقم (٣، ١٤)

$$175 = \sqrt{9.81} [42 y_c + 2 y_c^2]^{1.5} / [42 + 4 y_c]^{0.5}$$

وبالتجربة والخطأ نجد أن y_c تساوي ١,١٩ م وبالتالي تكون

$$A = 42 \times 1.19 + 2 \times 1.19^2 = 52.81 \text{ m}^2$$

$$V_c = 175 / 52.81 = 3.31 \text{ m/s}$$

$$q = 175 / (42 + 2 \times 1.19) = 3.94 \text{ m}^3/\text{s/m}$$

$$L = 2 \sqrt{(2^2 + 1)} = 4.472 \text{ m}$$

طول المنزر المائل

$$H = 1.19 + 3.31^2 / (2 \times 9.81) = 1.748 \text{ m}$$

الضاغط فوق المصطبة

$$202 + 2.0 - 1.748 = 202.252 \text{ m}$$

منسوب المصطبة

أو ٢٥٢,٠ م فوق سطح قاع المجرى عند منبع السريان.

$$2.5 \times 1.748 = 4.37 \text{ m}$$

والطول العريض للقمة في اتجاه التدفق

قاع جدار المصطبة قد يكون على منسوب ٢٠٠ م أو أكثر من القاع لقناة السريان في اتجاه مصب التدفق. لذا فإن ارتفاع جدار المصطبة سيكون:

$$202.252 - 200.0 = 2.252 \text{ m}$$

تجاهل فاقد الضاغط عبر قناة التقلص (الانكماش).

بمساواة معادلة الطاقة بين منبع التدفق ومصب التدفق للذروة (وباعتبار أن n

تساوي ٠,٠١٤، و y_1 تساوي عمق الماء عند بداية ميل المنزر) مقاسة فوق قاع القناة في اتجاه مصب التدفق. إذاً

$$1.748 + 2.252 = y_1 + 3.94^2 / (2 \times 9.81 y_1^2) + (3.94 \times 0.014)^2 \times 4.472 / (1.19)^{3.333}$$

$$4.0 = y_1 + 0.791/(y_1^2) + 0.0076 \quad \text{أو}$$

$$y_1 = 0.474 \text{ m} \quad \text{وبالتالي تكون}$$

$$V_1 = 175/[42 \times 0.474 + 2.0 \times 0.474^2] = 8.6 \text{ m/s}$$

$$F_1 = 8.6/\sqrt{(9.81 \times 0.474)} = 4.0 \quad \text{و}$$

$$y_2/y_1 = (1/2) [\sqrt{(1 + 8 \times 4.0^2)} - 1] = 5.18 \quad \text{وأيضاً}$$

$$y_2 = 2.45 \text{ m} \quad \text{وبالتالي}$$

قم بجعل قمة الأرضية الأفقية على منسوب ١٩٩,٣٠ م [٢٠٢ م (منسوب سطح الماء عند المصب أو منسوب سطح الماء الخلفي) - ٢,٧٠ م (أكثر قليلاً من y_2)]. إن ذلك يؤكد أن منسوب سطح الماء الخلفي سوف يتيح تكوين القفزة بالقرب من قمة المثز المنحدر.

طول القفزة (بافتراض أنها على الأرضية الأفقية، الجدول رقم ١٣، ٥)

$$\text{Length of jump} = 5.8 \times 2.45 = 14.2 \text{ m}$$

واحتمالياً تؤخذ بطول ١٥ م للمصطبة الأفقية.

معامل لاسي للطمي

$$\text{Lacey's silt factor} = 1.76 \sqrt{0.30} = 0.96$$

وكذلك

$$R = 1.25 \times 1.337 (3.94^2 / 0.96)^{1/3} = 4.22 \text{ m}$$

بوضع منسوب القاع المقتطع في اتجاه المصب عند ٢٢٠ م (منسوب الماء الخلفي) -

٤,٢٢ م يساوي ١٩٧,٧٨ م، أو ١,٥٢ م أسفل قمة الأرضية الأفقية.

عمق الاقتطاع لقمة الأرضية الأفقية d

$$d = 199.30 - 197.78 = 1.52 \text{ m}$$

وباستخدام G_E تساوي $1/6$ وبالتعويض في المعادلة رقم (٥,٣٥)

$$1/6 = (2/1.52) \left[1 / (\pi \sqrt{\lambda}) \right]$$

$$\lambda = 6.31 = \left[1 + \sqrt{1 + \alpha^2} \right] / 2 \quad \text{أو}$$

$$\alpha = 11.6 = L/d \quad \text{و}$$

$$11.6 \times 1.52 = 17.6 \text{ m} \quad \text{إن ذلك يعطي الطول المطلوب للأرضية}$$

إن الطول الكلي للأرضية المتاح يكون أكبر من القفزة الأفقية، لذلك لا يكون هناك حاجة إلى تعديل. وكتقدير أولي، قم بافتراض أن سمك الأرضية الأفقية ٠,٨ م لذلك فإن عمق الاقتطاع أسفل القاع للأرضية الأفقية هو $1.52 - 0.8 = 0.72 \text{ m}$

الطول الأفقي لمسار التسريب (الشكل رقم ٥,٣ ب) =

$$4.37 + 5.904 + 7 + 8 = 25.274 \text{ m}$$

الطول العمودي لمسار التسريب (الشكل رقم ٥,٣ ب) =

$$1 + (1 - 0.7) + 1.552 + (1.5 - 0.8) + (1.52 - 0.8) + 1.52 = 5.792 \text{ m}$$

طول الزحف اللين =

$$5.792 + 25.274/3 = 14.2 \text{ m}$$

التغير الكلي في الضاغط 2 m

متوسط الميل الهيدروليكي $2/14.2 = 0.14$. وهذا يعتبر مقبولاً بالنسبة لمواد القاعدة الأساسية المتكونة من رمال ناعمة إلى متوسطة النعومة.

الارتفاع المتبقي عند ٨ م عند منبع التدفق من نهاية مصب التدفق للأرضية الخرسانية =

$$(8/3 + 1.52 + 0.72) \times 0.14 = 0.69 \text{ m}$$

السمك المطلوب للخرسانة باستخدام المعادلة رقم (٥,٤٠) =

$$0.69/1.4 = 0.5 \text{ m}$$

الارتفاع المتبقي عند ١٥ م عند منبع التدفق من نهاية مصب التدفق للأرضية الخرسانية =

$$(15/3 + 1.52 + 0.72 + 0.7) \times 0.14 = 1.11 \text{ m}$$

السلك المطلوب للخرسانة باستخدام المعادلة رقم (٥, ٤٠) =

$$1.11/1.4 = 0.8 \text{ m}$$

القناة سوف تحتاج إلى تصميمات الضيق والاتساع (انظر الجزء الذي عنوانه انتقالات القناة في هذا الفصل).

مثال رقم (٥, ٨): قم بتصميم دكة حجرية بسقوط ١, ٢٥ م ذات منزر منحدر في قناة شكلها شبه منحرف ذات تصرف تصميمي ٢٢, ٦٥ م^٣/ث. إذا كان عرض القاع الأساسي ٦, ١ م والميول الجانبية للقناة هي ٣ أفقي: ١ رأسي على الترتيب، وعمق المياه هو ١, ٥٢ م. وقيمة d_{50} لمادة قاع القناة تساوي ٠, ١٨ مم. بافتراض أن ميل المنزر يجب أن يكون ٣ أفقي: ١ رأسي.

الحل:

$$A = 6.1 \times 1.52 + 3 \times (1.52)^2 = 16.2 \text{ m}^2$$

$$V = 22.65/16.2 = 1.398 \text{ m/s}$$

ضغوط الطاقة فوق قاع القناة عند المنبع =

$$1.52 + (1.398)^2 / (2 \times 9.81) = 1.62 \text{ m}$$

بافتراض أن المياه الساقطة تصطدم بنقطة ارتكاز حاجز دعم المنزر المنحدر بدون أي فاقد في الطاقة مع ارتطام المياه في القناة عن المصب، H (فوق نقطة الارتكاز)

$$H = 1.62 + 1.25 = 2.87 \text{ m}$$

طول المنزر المنحدر =

$$1.25 \times \sqrt{3^2 + 1} = 3.95 \text{ m}$$

كمحاولة أولى، افترض متوسط عمق الماء بين الذروة ونقطة الارتكاز لمنزر المنحدر تساوي ١ م وقيمة معامل مانتيق n يساوي ٠, ٠٤ للدكة الصخرية، وقم بتطبيق معادلة بقاء الطاقة بين قناة السريان عند المنبع ونقطة ارتكاز المنزر المنحرف.

$$2.87 = 3.95 \times (0.04 \times V_1^2) / (1.0^{4/3}) + V_1^2 / (2 \times g)$$

إذا

$$V_1 = 7.077 \text{ m/s}$$

$$A = 22.65 / 7.077 = 3.2 = 6.1 y_1 + 3 y_1^2$$

إن الأساس ١ تشير إلى القيم عند نقطة الارتكاز قبل القفزة الهيدروليكية.

لذلك فإن

$$y_1 = 0.43 \text{ m}$$

متوسط العمق بين الذروة ونقطة الارتكاز للمنزّر المنحدر =

$$(1.52 + 0.43) / 2 = 0.975 \text{ m}$$

وهي تعتبر تقريباً مساوية للقيمة المفروضة وهي ١ م. لذلك فإن

$$F_1 = 7.077 / \sqrt{(9.81 \times 0.43)} = 3.45$$

و

$$y_2 / y_1 = (1/2) \left[\sqrt{(1 + 8 \times 3.45^2)} - 1 \right] = 4.40$$

وبالتالي

$$y_2 = 1.89 \text{ m}$$

ومن الجدول رقم (١٣، ٥)، طول القفزة من المنزّر الأفقي =

$$5.4 \times 1.89 = 10.2 \text{ m}$$

إن منزّر الدكة الحجرية سوف يسبب زيادة في الاحتكاك وفقد الطاقة أكثر من

الأرضية الملساء الأفقية. مع ملاحظة أن طول المنزّر الأفقي يساوي ١٠ م. قمة المنزّر

الأفقي قد يتم ضبطها عند أسفل قناة السريان تجاه المصب بمقدار

$$1.89 - 1.52 = 0.37 \text{ m}$$

ضاغط الطاقة فوق قاع القناة عند المنبع $H = 1.62$ م. طول المنزّر الأفقي عند

$$\text{المصب } H = 3.24 \text{ م.}$$

معامل لاسي للطمي =

$$1.76 \sqrt{0.18} = 0.75$$

عمق الجرف المحتمل أسفل السريان تجاه المصب (أنظر الجزء السابق الذي عنوانه الحماية من الانجراف عند نقطة ارتكاز الجانب) يساوي

$$1.5 \times 0.473 \times (22.65/0.75)^{1/3} - 1.52 = 0.69 \text{ m}$$

وعندما يكون عمق الاقتطاع يساوي ٠,٧ م عند المنبع وعند نهاية المصب لمُنزَر الدكة الحجرية أسفل قاع قناة المنبع والمصب، فإن حجم وسمك الدكة الحجرية يتم تقديرها باستخدام طرق قد تم ذكرها من قبل من خلال قيم y_1 ، V_1 المحسوبة سابقاً. وعادة ما تكون الدكة الحجرية غير منفذة بشكل كافٍ لتقليل ضغط الارتفاع والأنابيب. هناك نسبة من الانسداد يجب أخذها في الاعتبار، كما أن الطول الكلي لمُنزَر الدكة الحجرية ويشمل الاقتطاعات يجب أن يتم فحصه من أجل السماح بمعدل آمن للتسريب وللتدرج الخاص بالخروج كما في المثال رقم (٥,٧).

السدود والخزانات Dams and Reservoirs

التخطيط والأبحاث Planning and Investigations

إن هذا الجزء يصف التخطيط والأبحاث التمهيدية المطلوبة لإقامة وتصميم السدود والخزانات. ويمكن تصنيف السدود والخزانات اعتماداً على الأهداف إلى أحادية الغرض ومتعددة الأغراض، واعتماداً على الحجم يمكن تقسيمها إلى صغرى ومتوسطة وكبرى. إن المشروع أحادي الغرض يتم إقامته من أجل خدمة غرض واحد مثل الإمداد بالقدر المائي وتوليدها، الإمداد بالمياه، التجديد والتحكم في الفيضان... إلخ). والمشروع متعدد الأغراض يتم تصميمه من أجل الوصول إلى غرضين أو أكثر مما سبق. والخطوات الشائعة المتبعة عند التصميم والأبحاث لمثل هذه المشروعات تشمل التالي:

١- التعرف على أهداف المشروع ضمن مقادير تقريبية (مثل إمدادات المياه لمجتمع محدد أو للأرض الزراعية، وتوليد القدرة المائية لتلبية طلب معين، والتحكم في الفيضان لحماية مجتمع محدد).

٢- اختيار موقع السدود والخزانات. ويتم هذا من خلال فريق عمل متعدد التخصصات يتكون دوماً من مهندس مصادر المياه وعالم الجيولوجيا ومهندس الجيولوجيا التقني والقائد المجتمعي، بالإضافة إلى أفراد إضافيين قد يتم إضافتهم اعتماداً على ظروف محددة. وبشكل عام يتم اختيار أكثر من موقع من الخريطة الطبوغرافية ويتم تقليل الاختيارات من خلال الزيارات الميدانية للمواقع. وتشمل البنود البارزة التي يجب ملاحظتها:

(أ) أن تكون الأساسات مناسبة للأرض والمحتوي الصخري لها أو جاذبية السد.

(ب) وجود وادي ضيق نسبياً من أجل إقامة السدود الكبرى كما ينبغي وكذلك للمناطق المغمورة بالماء.

(ج) أن يكون قاع الخزان مناسباً للحجم المطلوب تخزينه من المياه مع محاولة تجنب الفقد نتيجة التسريب.

(د) أن تكون مواد الإقامة متاحة وأن تكون على بعد مناسب ومعقول من الموقع (مثل مواد إقامة حشو السدود والصخور وتجمعات الخرسانة).

(هـ) قرب منطقة الخدمة (مثل المساحة الزراعية أو المجتمع الذي سيتم خدمته).

(و) أن يكون الموقع مناسباً لعمل قنوات تصريف الماء الفائض من السد.

٣- القياس والتحديد التمهيدي لنوع السد. ويمكن عمل التقدير التمهيدي لارتفاع وطول السد وسعة الخزان باستخدام الخرائط الطبوغرافية الكتورية المتاحة للمنطقة. ويمكن استخدام هذا التقدير لتقليل عدد المواقع البديلة المذكورة في الخطوات السابقة. ويتم تحديد نوع السد المناسب (مثل، الأرض، الأرض والردم، والجاذبية) لكل موقع واعد عن طريق فريق متعدد التخصصات باستخدام التحليلات الجيولوجية وتحليلات تغير خصائص التربة والتحليلات الاقتصادية التمهيدية.

٤- المسح التمهيدي. يتم عمل عمليات المسح الميدانية التمهيدية للمواقع الواعدة المختارة. وهي تشمل عمليات المسح الجيولوجية التمهيدية لتقييم أحوال الصخور والتربة لإقامة السد والخزان وقنوات تصريف المياه الفائضة ومنطقة الإمداد، وعمليات المسح الطبوغرافي لتقدير سعة الخزان مع الارتفاعات المختلفة للسد. ويشمل المسح الطبوغرافي القطاعات العرضية عبر الوادي الذي يغطي منطقة الخزان المحتملة. وتستخدم هذه القطاعات العرضية لإعداد جداول تقييم المنطقة وجداول تقييم السعة أو لعمل منحنيات الخزان.

٥- الأبحاث الهيدرولوجية. وهي تشمل تخطيط حدود المواقع المختارة وتقدير مساحات الصرف لكل موقع من خلال الخرائط الطبوغرافية المتاحة لمجاري سريان المياه الخاصة بكل موقع. ويتم تجميع البيانات المتاحة حول التدفقات الخاصة بالمجرى المائي الذي يخطط لأن يعمل كمصدر للمياه وبيانات نزول المطر الخاصة بعدادات سقوط المطر في مجاري سريان الماء الخاصة بها ويتم تحديد النواقص الموجودة في البيانات. وفي هذا الوقت، يتم إعداد خطة المراقبة الهيدرولوجية التي تشمل تركيب عدادات التيار وسقوط المطر عند مواقع مناسبة. ويتم جمع بيانات تدفق المجرى المائي

ونزول المطر المتاحة لمحطات المراقبة في مجاري سريان المياه في الجوار القريب، بالتزامن مع بيانات عن الخصائص الهيدروليكية لمجاري سريان الماء الخاصة بالموقع، وموقع ومعلومة وجود عدادات للتيار، وموقع وارتفاع عدادات سقوط المطر الموجودة بالفعل.

٦- التحليلات الهيدروليكية، وهي تشمل خطوط وطرق الفيضان وحساباتها من أجل تعيين الارتفاع والعرض المناسب للسدود ومجاري المياه الفائضة.

إن سعة الخزان يتم تقسيمها من خلال العديد من الأجزاء:

١- التخزين الميت أو الغير فعال: السعة عند قاع الخزان التي تحتفظ بتراكم الرواسب أثناء الفترة المتوقعة للمشروع.

٢- تخزين الإبقاء: التخزين بين قمة بركة التخزين الميت وارتفاع سطح مياه الخزان الطبيعي. وإن ذلك التخزين يكون مسموحاً به للعديد من المشروعات مثل الإمداد بالمياه وتوليد القدرة المائية.

٣- تخزين ضبط الفيضان: التخزين بين قمة بحيرة الحفظ أو التخزين وأقصى مستوى للمياه مسموح به في الخزان. وهذا التخزين يتم الحفاظ عليه من أجل التحكم في الفيضان. ويظل غير مستخدماً وفارغاً معظم الأوقات حين أن يتم استخدامه من أجل التخزين المؤقت لمياه الفيضان أثناء أحداث العواصف.

٤- تخزين الجزء الظاهر أو الفائض: التخزين المتاح في الجزء الظاهر من السد يكون متاحاً من خلال الحافة الفارغة للسد بين قمة بركة التحكم في الفيضان وقمة السد. هذا التخزين لا يستخدم إلا في الظروف الغير عادية. وإنه يتم الحفاظ عليه من أجل أن يمنع الفيضان فوق السد بسبب موجة الرياح والموجات الناتجة عن انزلاق

التربة المحتملة التي تنتج عن الأمواج وأحوال الفيضان الزائدة الأكبر من التصميم المعد لذلك الغرض.

ترسبات الخزان Reservoir Sedimentation

هناك طرق لتقدير الترسبات الناتجة من تجميع الأمطار ومعدل تخزين الترسبات تتضمن:

١ - عمليات مسح الأعماق البحرية دورياً في حالة وجود خزان ويتم عادة كل عشر سنوات أو أقل.

٢ - القياس الدوري للترسيب لمعرفة الرواسب الكلية المتدفقة إلى الخزان الموجود أثناء أحداث العاصفة وفترات ذوبان الجليد.

٣ - تقدير حمل الرواسب من خلال المعادلة العالمية لفاقد التربة (USLE) ومعدل توزيع الترسبات (SDR) بالنسبة للمخزون المقترح أو عند عدم توفر البيانات.

٤ - التقدير اعتماداً على معادلات الارتداد في المناطق المختلفة.

٥ - التقدير من خلال بيانات الخزانات الأخرى (Chow 1964; USDA 1969).

إذا كانت معلومات تصرف التدفقات وأحمال الرواسب للخزانات الأخرى في المناطق المناخية والهيدرولوجية والجيومورفية (مظاهر سطح الأرض) المتشابهة متاحة، فإن معادلة الارتداد بالشكل التالي يمكن تطويرها:

$$Q_s = a Q^b \quad (٥,٤١)$$

حيث إن:

Q_s = معدل تدفق الترسبات المحمولة (طن / يوم).

Q = التصريف (م^٣/ث).

a, b = معاملات الارتداد.

المعادلة التالية هي معادلة الانحسار (الارتداد) وهي شائعة الاستخدام للخرزان في المناخ شبه القاحلة (USBR 1987):

$$Q_s = 1098 A^{-0.24} \quad (3, 84)$$

حيث إن:

Q = الترسبات المترسبة في الخزان (م^٣/كم^٢/عام).

A = مساحة منطقة تجمع المياه (كم^٢).

هناك معادلات تجريبية أخرى لتقدير وزن الرواسب المحتمل ترسيبها في الخزان مثل معادلة ديندي-بولتون Dendy-Bolton الموضحة بأسفل في المعادلة رقم (٥, ٤٢) والمعادلة رقم (٥, ٤٣) (USACE 1989):

• بالنسبة لمجاري المياه التي يكون فيها معدل الجريان السطحي السنوي يساوي أو أقل من ٥ سم

$$T = 292.32 R^{0.46} [1.537 - 0.26 \log A] \quad (5, 42)$$

حيث إن:

T = كمية الترسبات المحتمل ترسيبها في الخزان (طن/كم^٢/عام).

R = المتوسط السنوي للجريان السطحي (سم).

• بالنسبة لمجاري المياه التي يكون فيها معدل الجريان السطحي السنوي أكبر من ٥ سم

$$T = 689.58 [\exp(0.02165 R)] [1.537 - 0.26 \log A] \quad (5, 43)$$

المعادلتين رقم (٥, ٤٢) ورقم (٥, ٤٣) متطابقتان مع المعادلتين رقم (٣, ٨٢) ورقم (٣, ٨٣) فيما عدا أن R يتم التعبير عنها بالسنتيمتر.

معدلات الترسيب النموذجية للخزانات في المناطق الرطبة تتراوح من ١٩٠ إلى ٧١٤ م^٢/م^٣ لمنطقة صرف ذات مساحة ٢٦ كم^٢، ومن ٨٦ إلى ٣٣٣ م^٢/م^٣ لمنطقة صرف ذات مساحة ١٢٩٥٠ كم^٢. ومعدلات الترسيب المماثلة لخزانات في المناطق شبه الرطبة تتراوح من ٣٨١ إلى ١٦٦٧ م^٢/م^٣، ومن ١٣٤ إلى ٤٧٦ م^٢/م^٣ على التوالي (Chow 1964).

معدلات الترسيب لبعض الخزانات ذات معدلات الترسيب المرتفعة والمنخفضة لكل كيلومتر مربع من مساحة الصرف مبيّنة في الجدول رقم (٥،٧) (Golze 1977).

الجدول رقم (٥،٧). معدلات الترسيب بالخزان.

معدل الترسيب (طن/كم ^٢ /عام)	مساحة الصرف (كم ^٢)	الموقع
٢١٧-٧٦	٣٧-٨٠٨	شمال شرق الولايات المتحدة الأمريكية
٧٨٣-٤١	١١,٧٦-٢٣٥٠٩	جنوب شرق الولايات المتحدة الأمريكية
٦٩٣-٩٠	١١,٧٦-١١٩٣٠	وسط غرب الولايات المتحدة الأمريكية
١٣٣٣-٩٦	٥٩,٨-٢٥٢,٥	جنوب وسط الولايات المتحدة الأمريكية
١٨٦٣-٤٣	٣,٦-١١٩٩	السهول الشمالية العظمى بالولايات المتحدة الأمريكية
٨٥٧-٥١	٢٨٢,٣-١٢,٧	جنوب غرب الولايات المتحدة الأمريكية
٣٧٥-١١	٤٨١,٧-١٠,٦	شمال غرب الولايات المتحدة الأمريكية

المصدر: (Chow 1964).

مثال رقم (٥،٩): قد تم عمل إحصائية ومسح المسار الخاص بخزان فوجد أن المعدل الكلي للترسيب ٤١٠٠٠ م^٣ في ٦٢ عام. وبناءً على توزيع حجم جزيئات الرواسب في الجوار القريب من خط الساحل للخزان تم تقدير نسب تكوين الرواسب فكانت

٤١٪ من الطين و ٢٢٪ من الطمي و ٣٧٪ من الرمال مع وحدات أساسية من الوزن ٥٦١، ١١٣٨، ١٥٥٤ كجم/م^٣ على التوالي. والبيانات الأخرى الخاصة هي:

• سعة الخزان = ٤٧٤٨٢١ م^٣.

• مساحة الصرف = ١٨,٨ كم^٢.

• معدل تدفق الجريان السطحي السنوي = ٤٢٥٤٨٨٩ م^٣/سنة.

• طول مجرى سريان مياه الأمطار = ٧٣٢٢ م.

• المتوسط اليومي للتدفق = ٥١ إلى ٤٥٣ ل/ث.

• تقدير المعادلة العالمية للفقد في التربة بسبب انجراف التربة من مجرى سريان

المياه USLE = ٥٩٧٨ طن/سنة.

معادلة انحسار المياه المتدفقة وحمل الرواسب المعلقة هي:

$$Q_s = 14.74 Q^{1.7853} \quad (٥,٤٤)$$

حيث إن:

Q_s = كمية الترسيب المعلق (طن/يوم).

Q = متوسط معدل التدفق اليومي (م^٣/ث).

باستخدام البيانات السابقة قدر معدل ترسيب الرواسب في الخزان كل عام

(طن/عام) ومعدل الرواسب الذي يمكن دخوله للخزان (طن/عام). ويمكن أيضا

استخدام طرق افتراضية أخرى لتقدير معدل ترسيب الرواسب في الخزان.

الحل:

١ - كمية الترسبات باستخدام معلومات مسح الأعماق، المكون الأولي لوحدة

وزن الرواسب =

$$561 \times 0.41 + 1138 \times 0.22 + 1554 \times 0.37 = 1055.4 \text{ kg/m}^3$$

وحدة الوزن من الرواسب بعد ٦٢ عام من الترسيب يمكن أن تقدر باستخدام معادلات ميللر (USBR 1987):

$$K_a = K_s p_s + K_m p_m + K_c p_c \quad (٥,٤٥)$$

حيث إن:

K_c, K_m, K_s : معاملات افتراضية قيمها صفر، ٢٩، ١٣٥.

P_c, P_m, P_s : نسبة الرمل، والطمي، والطين على التوالي.

K_a : معامل المتوسط الموزون للمادة المترسبة.

باستخدام البيانات المعطاة:

$$K_a = 0.0 + 29 \times 0.22 + 135 \times 0.41 = 61.73$$

إذا

$$W_T = W_i + 0.4343 K_a \left[\left\{ \frac{T}{T-1} \right\} \ln(T) - 1 \right] \quad (٥,٤٦)$$

حيث إن:

W_T = وحدة الوزن للترسبات (كجم / م^٣) بعد T من السنوات.

W_i = وحدة الوزن الأولية (كجم / م^٣).

لذلك ولقيمة $T = 62 \text{ yr}$ فإن

$$W_T = 10554.4 + 61.73 \times 0.4343 \left[\left\{ \frac{62}{61} \right\} \ln(62) - 1 \right]$$

$$W_T = 1141 \text{ kg/m}^3$$

لذلك فإن معدل الترسيب المتوسط للخزان يساوي

$$41000 \times 1141 / (62 \times 1000) = 755 \text{ t/yr}$$

وهذا لا يمثل الترسيب الكلي الفعلي بالخزان لأن كفاءة الحجز للخزان قد لا

تكون ١٠٠٪. فإن كفاءة الحجز E تعرف بأنها كمية الرواسب الفعلية المترسبة في

الخزان منسوبة لكمية الرواسب الكلية التي تدخل الخزان.

ويمكن تقدير كفاءة الحجز للخزان باستخدام طرق كل من براون، برون، وتشرشل (USACE 1989). ومعادلة براون تعطي

$$E = 1 - [1 / \{1 + 0.0021 (K C / W)\}] \quad (٥,٤٧)$$

حيث إن:

K = معامل يتراوح من ٠,٠٤٦ إلى ١,٠ وبقيمة متوسطة ٠,١.

C = سعة الخزان = ٤٧٤٨٥١ م^٣.

W = مساحة الصرف = ١٨,٨ كم^٢.

تلك المعطيات تعطي كفاءة حجز E تساوي ٠,٨٤

وقد قامت USBR بتطوير منحنيات كفاءة الحجز اعتماداً على معادلات برون وتشرشل. وكفاءات الحجز التقريبية في حالة النسب المختلفة من C/I موضحة في الجدول رقم (٥,٨)، حيث I = متوسط التدفق الداخل سنوياً (م^٣).

ونسبة C/I الخاصة بهذا الخزان تساوي $474821/4254889 = 0.11$

وبالتالي فإن كفاءة الحجز لبرون = 0.87 وكفاءة الحجز لتشرشل = 0.73. ويمكن قبول متوسط كفاءة الحجز والتي تقدر 0.81.

معدل الرواسب الذي يدخل الخزان =

$$755/0.81 = 932 \text{ t/yr}$$

٢- حصيلة الرواسب باستخدام حمل الرواسب المتدفق: بفرض أن نقل حمل

القاع يقدر بمقدار ١٥٪ من الحمل المعلق (Simons and Senturk 1992)، ويمكن تعديل المعادلة رقم (٥,٤٤) إلى:

$$Q_T = 16.95 Q^{1.7853} \quad (٥,٤٨)$$

حيث إن:

Q_T = حمل الرواسب اليومي الكلي الذي يدخل الخزان (طن/ اليوم).

$$Q_T = 16.95 \times (0.051)^{1.7853} = 0.0835 \text{ t/day} = 30.5 \text{ t/yr}$$

و

$$Q_T = 16.95 \times (0.453)^{1.7853} = 4.123 \text{ t/day} = 1505 \text{ t/yr}$$

متوسط الرواسب التي تتدفق إلى الخزان =

$$(30.5 + 1505) / 2 = 765 \text{ t/yr}$$

وبفرض أن E تساوي ٠,٨١، فإن الرواسب التي تتوقع أن تترسب في الخزان =

$$0.81 \times 765 = 622 \text{ t/yr}$$

٣- حصيلة الرواسب اعتياداً على USLE في هذه الحالة:

الرواسب المترسبة في الخزان = انجراف الرواسب من مجرى سريان المياه (بتقدير

$$E \times SDR \times (USLE) \quad (٥,٤٩)$$

حيث إن:

SDR = معدل تسليم الرواسب، التي تعلق الرواسب المترسبة في أجزاء من

مسار المياه أو مجرى السريان أثناء عملية النقل إلى الخزان.

ولتقدير متوسط حمل الرواسب السنوي الذي يصل الخزان، يجب أن يضرب

تقدير USLE في SDR.

بعض الطرق العملية لتقدير SDR معطاة أدناه (USACE 1989; Vanoni 1977):

$$SDR = 0.30 (A)^{-0.20} \quad (٣,٨١)$$

$$SDR = 0.76 (L)^{-0.23} \quad (٥,٥٠)$$

حيث إن:

$$A = \text{مساحة مجرى سريان المياه} = ١٨,٨ \text{ كم}^2$$

$$L = \text{طول مجرى سريان المياه} = ٧٣٢٢ \text{ م.}$$

وتعطى المعادلات رقم (٣,٨١) ورقم (٥,٥٠) قيم SDR = ٠,١٧ و ٠,١٠،

على الترتيب. وبالإضافة إلى هذه المعادلات العملية، فقد تم كذلك تطوير الرسوم

البيانية بين SDR ومجرى سريان المياه عن طريق وكالات عديدة (مثل، USACE 1989). وفي هذه الحالة، تكون قيمة SDR المتوسطة المقبولة حوالي ١٤,٠. وبالتالي فإن الرواسب السنوية المتدفقة إلى الخزان =

$$5978 \times 0.14 = 837 \text{ t/yr}$$

وباستخدام E تساوي ٠,٨١، فإن حمل الرواسب المتوقع أن يترسب في الخزان =

$$837 \times 0.81 = 678 \text{ t/yr}$$

٤- معدل ترسيب الرواسب باستخدام معادلة دندي-بولتون (USACE 1989): متوسط الجريان السطحي السنوي:

$$R = 4,254,889 / (18.8 \times 1,000 \times 1,000) = 0.226 \text{ m} = 22.6 \text{ cm}$$

إذن، وباستخدام المعادلة رقم (٥, ٤٣):

$$T = 686.58 [\exp (0.02165 \times 22.6)] [1.537 - 0.26 \times \log (18.8)] \\ = 1350 \text{ t/km}^2 / \text{yr}$$

وفي حالة: A تساوي ١٨,٨ كم^٢، فإن معدل الترسيب في الخزان:

$$1350 \times 18.8 = 25386 \text{ t/yr}$$

وبفرض أن وحدة الوزن من الرواسب المترسبة تساوي 1100 kg/m³، يعطي

هذا ترسيباً كلياً (في ٦٢ سنة) يقدر بحوالي:

$$(25,386 / 1.1) \times 62 = 1,430,000 \text{ m}^3$$

هذا المقدار يساوي حوالي ثلاثة أضعاف سعة الخزان ويتضح أنه غير واقعي.

فمن الواضح أن هذه الطريقة لا تقبل التطبيق في هذا الموقع.

٥- معدل ترسيب الرواسب باستخدام معادلة USBR (USBR 1987):

باستخدام المعادلة رقم (٣, ٨٤):

$$Q_s = 1,098 (18.8^{-0.24}) = 543 \text{ m}^3 / \text{km}^2 / \text{yr}$$

في حالة: A تساوي ١٨,٨ كم^٢، فإن معدل الترسيب في الخزان:

$$543 \times 18.8 = 10,209 \text{ m}^3 / \text{yr}$$

ويؤدي إلى ترسيب للرواسب بمقدار $632,958 \text{ m}^3$ في ٦٢ سنة، وهذا المقدار أكبر من سعة الخزان. فمن الواضح أن هذه الطريقة لا تقبل التطبيق أيضاً في هذا الموقع. نتائج هذه الحسابات تقترح أن يكون معدل الترسيب للخزان حوالي من ٦٢٢ إلى ٧٥٥ طن/ السنة.

الجدول رقم (٥,٨). كفاءة الترسيب في الخزان.

C/I	كفاءة الترسيب لبرني	كفاءة الترسيب لنشرشل
٠,٠١	٠,٤٥	٠,٤٧
٠,١٠	٠,٨٦	٠,٧٢
١,٠	٠,٩٨	٠,٨٨
١٠,٠	٠,٩٨	٠,٩٦

المصدر: (USBR 1987).

ارتفاعات موجة الرياح وتصميم الحماية من الانجراف

Wind Wave Heights and Erosion Protection Design

يشمل الجزء الظاهر من الخزان مجموع بنية (قامة) الموجة ونمو الموجة. وبنية الموجة هي إمالة سطح الماء في الخزان التي يتسبب فيها حركة الرياح المستحثة من سطح الماء في اتجاه الضفة. ونتيجة لذلك فإن ارتفاع مياه سطح الخزان على الجانب الذي يقع أسفل الرياح يعتبر أكثر ارتفاعاً من ارتفاع المياه المعتاد ويكون ارتفاع المياه أقل من الجانب الذي يقع أعلى ارتفاع الرياح. وبشكل عام، تكون بنية موجة الرياح أكبر في الخزانات الضحلة ذات القيعان الوعرة. حسابات نمو الموجة تشمل أيضاً مكونات البنية، ماعداً في المواقع التي تتضمن تضاريس ضفة معقدة (USACE 1984). ونمو الموجة هو الارتفاع الرأسي الذي سوف ترتفع إليه الموجة على المنحدر. وهو دالة

ارتفاع الموجة، وطول الموجة، وميل حاجز الدعم، ونفاذية وخشونة السطح على الامتداد الذي سترتفع إليه الموجة. ارتفاع الموجة المستخدم لتقدير الجزء الظاهر وقوى الموجة على الأبنية هو ارتفاع الموجة المهم H_s . وهو متوسط ارتفاع ثلث الموجات الأكثر ارتفاعاً. فترة الموجة الكبيرة هي الفترة المتوسطة من ١٠ إلى ١٥ موجة بارزة متعاقبة. وهو تقريباً متوسط كل الموجات التي تكون قيعانها في الأسفل وقممها أعلى من مستوى المياه المتوسط. وعادةً:

$$H_{10} = \text{متوسط ارتفاع أعلى } 10\% \text{ من جميع الموجات.}$$

$$(٥,٥١) \quad H_{10} \cong 1.27 H_s$$

$$H_1 = \text{متوسط ارتفاع أعلى } 1\% \text{ من جميع الموجات.}$$

$$(٥,٥٢) \quad H_1 \cong 1.67 H_s$$

$$(٥,٥٣) \quad H_s = \sqrt{(2)} \cdot H_{rms}$$

$$H_{rms} = \text{متوسط الجذر التربيعي لارتفاع الموجة.}$$

$$(٥,٥٤) \quad H_{rms} = \sqrt{\left[(1/N) \sum H_j^2 \right]}$$

حيث إن: N = عدد الموجات المسجلة، والمجموع من $j = 1$ إلى $j = N$.

إن المتغير الأكثر تأثيراً على خصائص موجة الرياح هو طول سطح المياه على امتداد اتجاه الرياح، والمعروف بطول الجلب أو الاستحضار F . ويعرّف طول الجلب موضعياً على أنه نطاق المنطقة تكون فيها سرعة واتجاه الرياح ثابتة تقريباً. والإجراء المقترح لتقدير طول الجلب F ، يكون عن طريق إنشاء تسعة أشعة من النقطة موضع الاهتمام بفواصل تقدر بـ ٣ درجات ومد هذه الأشعة حتى تتقاطع مع الضفة. ويتم أولاً مد الشعاع المركزي حتى أبعد نقطة على الخط الساحلي المقابل على طول اتجاه الرياح السائدة. ثم يتم رسم أربع أشعة على كلا الجانبين من الشعاع المركزي بدءاً من

نفس النقطة. ويتم قياس طول كل شعاع ويُؤخذ متوسطها حسابياً. وعند الضرورة، يمكن استخدام تباعدات بزوايا تختلف عن ٣ درجات (USACE 1984).

وفيما يلي خطوات لتقدير ارتفاع الموجة المهم (H_m أو H_s):

١- قم بتقدير طول الجلب F (م).

٢- قم بتقدير سرعة الرياح فوق سطح الأرض U_{land} (م/ث)، وعلى ارتفاع حوالي ١٠ م فوق سطح الأرض وتصميم الفترة الزمنية لدوام الرياح t_d ، بالنسبة للرياح عند الموقع.

٣- قم بتحويل سرعة الرياح فوق الأرض إلى سرعة الرياح فوق المياه U_{water} (م/ث)، باستخدام عوامل الضبط الافتراضية المشار إليها في الجدول رقم (٥،٩). وإذا كانت F أقل من ١٦ كم، قم باستخدام U للمياه مقسومة على U للأرض = ١،٢ ($U_{water}/U_{land} = 1.2$).

٤- قم بحساب معامل إجهاد الرياح (سرعة الرياح المعدلة):

$$U_A = 0.71 U_{water}^{1.23} \quad (٥،٥٥)$$

الجدول رقم (٥،٩). نسبة سرعة الموجة فوق سطح الماء إلى سرعة الموجه فوق سطح الأرض.

سرعة الرياح (م/ث)	U_{water} / U_{land}
٥	١،٤٥
٧،٥	١،٢٧
١٠	١،١٣
١٥	١،٠
٢٠	٠،٩٨
٢٥	٠،٩٧

٥- قم بافتراض موجات عميقة للمياه وقم بتقدير معايير الأمواج المقيدة بقيمة طول الجلب F .

H_m = ارتفاع الموجة (م).

$$(٥,٥٦) \quad H_m = 5.122 \times 10^{-4} \times U_A F^{1/2}$$

T_m = فترة الموجة (ث).

$$(٥,٥٧) \quad T_m = 6.238 \times 10^{-2} \times (U_A F)^{1/3}$$

t = مدة استمرارية الموجة (ث).

$$(٥,٥٨) \quad t = 32.15 (F^2 / U_A)^{1/3}$$

إذا كانت t المحسوبة أقل من t_h فإن ارتفاع الموجة والفترة الزمنية تعتبر مقيدة بقيمة طول الجلب F ويتم إعادة تعيينها من المعادلات رقم (٥,٥٦)، ورقم (٥,٥٧) على الترتيب. أما إذا كانت t أكبر من t_h ، فإنه لن يتم الوصول إلى قيمة طول الجلب المحدودة لقيمة t_h المعطاة. وفي هذه الحالة، ضع $t = t_h$ ، واحسب طول الجلب المحدد F_1 ، باستخدام المعادلة رقم (٥,٥٨)، واستخدم هذه القيمة في المعادلات رقم (٥,٥٦)، ورقم (٥,٥٧) لتقدير ارتفاع الموجة وفترة الموجة.

٦- اختبر ما إذا كانت هذه القيم أقل من أو تساوى القيم كاملة التطوير:

$$(٥,٥٩) \quad H_m \leq 2.482 \times 10^{-2} \times U_A^2$$

$$(٥,٦٠) \quad T_m \leq 0.830 U_A$$

$$(٥,٦١) \quad t \leq 7296 U_A$$

وإلا استخدم القيم التي يتم تطويرها بالكامل والمعطاة من المعدلات رقم (٥,٥٩)، ورقم (٥,٦٠)، ورقم (٥,٦١).

٧- قم بحساب طول الموجة L_o (م):

$$(٥,٦٢) \quad L_o = 1.56 T_m^2$$

٨- قم بفحص والتأكد ما إذا كانت الموجات عميقة أو انتقالية أو ضحلة:

إذا كانت $d/L_o > 1/2$ كانت موجة المياه عميقة.

وإذا كانت $1/25 < d/L_o < 1/2$ كانت موجة المياه انتقالية.

أما إذا كانت $d/L_o < 1/25$ كانت موجة المياه ضحلة.

حيث إن:

d = متوسط العمق من قاع الخزان من أجل أن يستمر مستوى المياه ثابت على طول الجلب (م).

٩- إذا كانت الموجات في مياه ضحلة، استخدم المعادلات التالية لتقدير معايير

الموجة:

$$H g / U_A^2 = 0.283 \tanh \left[0.530 \{g d / U_A^2\}^{3/4} \right]$$

$$(٥,٦٣) \quad \tanh \left[0.00565 (F g / U_A^2)^{1/2} / \tanh \{0.530 (g d / U_A^2)^{3/4}\} \right]$$

$$T g / U_A = 7.54 \tanh \left[0.833 \{g d / U_A^2\}^{3/8} \right]$$

$$(٥,٦٤) \quad \tanh \left[0.0379 (F g / U_A^2)^{1/3} / \tanh \{0.833 (g d / U_A^2)^{3/8}\} \right]$$

$$(٥,٦٥) \quad g t / U_A = 537 (g d / U_A)^{7/3}$$

يتم عمل حسابات نمو الموجة لميول السد المختلفة، وأعماق المياه فوق القاعدة،

وأنواع خشونة سطحية للضفة باستخدام المنحنيات البيانية التجريبية المطورة من قبل

(USACE 1984). وللتقديرات التمهيدية، فإن نمو الموجة على جدار الدكة ذات ميل

٢ أفقي: ١ رأسي من ميل السد يمكن أن تقدر على أنها حوالي ١,٧ مرة من ارتفاع الموجة المهم.

ومن المفترض بشكل شائع أن بنية (هضبة أو جدار من الدبش) يمكن أن تتعرض للهجوم عن طريق الموجات المتكسرة إذا كانت $d_s \leq 1.3 H$ ، حيث $d_s =$ عمق المياه فوق طرف البنية، و $H =$ ارتفاع موجة التصميم. وتعرف نقطة التكرس بأنها التي يظهر عندها الزبد أولاً، أو عندما يصبح الوجه الأمامي من المياه رأسياً أولاً، أو حيث تبدأ قمة الزبد أولاً في التمرج على سطح الماء. وتكون المنحنيات البيانية التجريبية لتقدير عوامل المضاعفة لقيمة H للحصول على ارتفاع الموجة المتكسرة، متاحة فقط بالنسبة للميول ١٠ أفقي: ١ رأسي أو الأشكال المسطحة بشكل أكبر. وإذا كان كسر الموجة مشكوك فيه فإنه قد ينصح باستخدام عامل الأمان للميول عن طريق الحكم اعتماداً على المنحنيات البيانية التجريبية المتاحة (USACE 1984).

إن حجم الدكة الصخرية أو الصخر أو أي مواد تسليح أخرى قد تكون مطلوبة لحماية حاجز السد أو ضفة البحر أو البحيرة ضد قوى موجة الرياح عن طريق:

$$W = \gamma_s H^3 / [K_D (G-1)^3 \cos \theta] \quad (5,66)$$

حيث إن:

$W =$ وزن وحدة التسليح والتي أكثر من ٥٠٪ منها أنعم من ناحية الوزن (كجم).

$\gamma_s =$ وحدة الوزن لمادة التسليح (كجم/م^٣).

$G =$ الوزن النوعي لمادة التسليح.

$\theta =$ زاوية ميل الجانب مع الاتجاه الأفقي.

K_D = معامل الاستقرار الذي يتغير وفق وحدة التسليح مثل الصخور والقوالب الحجرية، خشونة وحدة سطح مادة التسليح، وحدة الحواف، ودرجة التلاصق مع وحدات التسليح المجاورة.

للموجات غير المتكسرة، فإنه يمكن استخدام K_D تساوي ١,٩ في حالة الأحجار المستخرجة المستديرة الملساء، وتساوي ٢,٣ بالنسبة للأحجار المستخرجة الخشنة الزاوية مع توافر عوامل مناسبة من الأمان. إن القيم المناظرة للموجات المتكسرة قد تكون ١,١، ١,٣، على الترتيب. ويلاحظ أن القوالب الحجرية الزاوية قد تميل إلى أن تصبح مستديرة بعض الشيء بمرور الوقت. وبالنسبة للدكة الحجرية المتدرجة يكون أقصى وزن للصخر المدرج $W(max)$ يساوي $4W$ وأيضا الحد الأدنى لوزن الصخر التدريجي $W(min)$ يساوي $0.125W$. وبافتراض أن وحدات التسليح الفردية تكون تقريباً كروية الشكل فإن قطر وحدة التسليح قد يتم حسابه من خلال

$$d \text{ (m)} = 1.24 (W/\gamma_s)^{1/3} \quad (٥,٦٧)$$

إذا تم وضع وحدات التسليح في طبقات، فإن أكثر الوحدات خشونة يجب أن يتم وضعها في الطبقة العلوية (الغطاء). وإن أحجام الصخور في الطبقات المختلفة قد يتم تصميمها وبالتالي فإن d_{15} لطبقة الغطاء (الطبقة العليا) يكون أقل من أو يساوي d_{85} أمثال للطبقة التي تليها من أسفل.

وينصح باستخدام طبقة تبطين على هيئة مرشح من أجل حماية البنيات المعتمدة على الزلط - الحصى (الدبش)، أو وحدات تسليح أخرى تقاوم ضغوط الموجة المتغيرة على التربة التي تليها من أسفل والتسريب أو تدفق المياه الجوفية، الذي يمكن يؤدي إلى إزالة التربة السفلية (أسفل وحدات التسليح) من خلال المسام البينية بين وحدات التسليح. ويمكن أن تتكون طبقة التبطين الأساسية من قطع حجرية، أو أحجار

مطحونة، أو حصى، أو حصى مفتت. ويمكن استخدام مرشح النسيج الجيولوجي في مكان غطاء الترشيح أو مع طبقة تبطين أقل سمكاً. ويمكن وضع النسيج الجيولوجي، أو الحصى الخشن، أو الأحجار المطحونة مباشرة على طبقة الرمال، إذا كانت متواجدة. مع هذا، يجب تغطية أنواع التربة الطينية والطينية والرملية الناعمة في الجدار الداعم أو ضفة البحر برمال خشنة قبل وضع طبقة التبطين. ومن المعتاد، أن تتراوح وزن القطع الحجرية من ٠,٤٥ إلى ٢٣ كجم إذا وضعت فوق النسيج الجيولوجي، أو الحصى الخشن، أو مرشح الأحجار المطحونة. ويجب ألا يكون سمك طبقة التبطين أو غطاء الترشيح أقل من ٠,٣ م. ويمكن تصميم تدرج طبقة المرشح باستخدام معايير قابلة للتطبيق لأغطية الترشيح لمكافحة الانجراف على شواطئ الأنهار (انظر الجزء بعنوان "الحماية من الانجراف").

مثال رقم (٥,١٠). احسب طول الموجة وجريان الموجة والسطح الحر وحجم الدكة الحجرية لخزان. متوسط عمق الماء التصميمي بالخزان ١٠ م، الحد الأقصى المتوقع لسرعة الرياح ٢٢,٩٧ م/ث لفترة زمنية ١ ساعة وطول جلب ٣٢٠٠ م. ميل جدار الخزان يساوي ٢ أفقي: ١ رأسي عند منبع التيار.

الحل:

افرض أن سرعة الرياح فوق المياه

$$U_{\text{water}} = 22.97 \times 0.975 = 22.4 \text{ m/s}$$

استخدم المعادلة رقم (٥,٥٥) في تقدير معامل إجهاد الرياح

$$U_A = 0.71 \times (22.4)^{1.23} = 32.51 \text{ m/s}$$

افترض وجود موجات عميقة للمياه وقم بحساب مقاييس الموجة باستخدام المعادلات من رقم (٥,٥٦) إلى رقم (٥,٥٨):
ارتفاع الموجة (م)

$$H_m = 5.122 \times 10^{-4} \times 32.51 \times 3200^{1/2} = 0.94 \text{ m}$$

فترة الموجة (ث)

$$T_m = 6.238 \times 10^{-2} \times (32.51 \times 3200)^{1/3} = 2.93 \text{ s}$$

مدة استمرارية الموجة (ث)

$$t = 32.15 \left(3200^2 / 32.51 \right)^{1/3} = 2187.4 \text{ s} = 0.607 \text{ hr}$$

إن الموجات سوف تكون مقيدة بطول الجلب بعد ٦٠٧,٠ ساعة. حيث إن

$$0.607 < 1.0 \text{ h } (t_d)$$

وتكون المعادلات المقيدة بطول الجلب صالحة.

ومن المعادلة (٥,٦٢) نحسب طول الموجة L_o بالمتر

$$L_o = 1.56 \times (2.93)^2 = 13.39 \text{ m}$$

وبالتالي

$$d/L_o = 10/13.39 = 0.747 > 0.5$$

وبالتالي نستنتج أنها موجات عميقة للمياه.

قارن القيم المحسوبة بالقيم المحددة والمقدرة بالمعادلات من رقم (٥,٥٩) إلى رقم (٥,٦١) للتأكد من أن المعادلات المستخدمة صحيحة وبالتالي:

$$H_m = 2.482 \times 10^{-2} \times (32.51)^2 = 26.23 \text{ m}$$

$$T_m = 0.830 \times 32.51 = 26.98 \text{ s}$$

$$t = 7296 \times 32.51 = 237193 \text{ s}$$

وحيث إن القيم التي تم حسابها مسبقاً أقل من تلك القيم المقيدة بالتالي فإن القيم المحسوبة تعتبر صحيحة.

استخدم نمو الموجة المعبر عن الجزء الظاهر فوق أقصى ارتفاع للفيضان في الخزان =

$$1.7 \times 0.94 = 1.6 \text{ m}$$

نفترض أن K_D يساوي ١,٩ بالنسبة للأحجار المستديرة الملساء مع الوزن النوعي ٢٤٠٠ كجم/م^٣، G تساوي ٤,٢، $\cot \theta$ تساوي ٢,٠، وباستخدام المعادلة رقم (٥,٦٦):

$$W_{50} = 2400 \times 0.94^3 / [1.9 \times (2.4-1)^3 \times 2] = 191 \text{ kg}$$

$$W_{\max} = 4 \times 191 = 764 \text{ kg}$$

$$W_{\min} = 0.125 \times 191 = 23.9 \text{ kg}$$

وباستخدام المعادلة رقم (٥,٦٧)

$$d_{50} \text{ (m)} = 1.24 (191/2400)^{1/3} = 0.54 \text{ m}$$

$$d_{\max} = 0.85 \text{ m}$$

$$d_{\min} = 0.27 \text{ m}$$

قنوات تصريف المياه Spillways

قنوات تصريف المياه هي الإنشاءات التي يتم تصميمها من أجل تسريب مياه الفيضان الزائدة التي لا يمكن تخزينها في الخزانات ودوماً تكون تصميمات تلك الطرق بالنسبة للسدود الكبرى تعتمد على اختبارات النماذج الهيدروليكية. إن مهندس مصادر المياه دائماً ما يطلب منه القيام بالحسابات الهيدروليكية التمهيدية للأنواع البديلة وأحجام قنوات تصريف المياه الفائضة وأيضاً التعرف على النوع والحجم المفضل لها. وإن الأنواع شائعة الاستخدام لقنوات تصريف المياه الفائضة يتم وصفها في الجزء التالي (USBR 1987; ASCE 1989):

القنوات المقتطعة من الأرض مع مكافحة الأعشاب أو الأحجار:

Earth-Cut Spillway with Grass or Riprap Protection

يتم حفر هذه القنوات في جزءاً من السد، في الكتف أو في موقع مناسب على خط الساحل حيث إن المياه الجارية يتم تصريفها من خلال وادي صغير. وهي يتم تصميمها على أن تكون ذات قمم متسعة مع ميل منبسط نسبياً في اتجاه مصب التيار يتراوح بين ٣ أفقي: ١ رأسي إلى ١٠ أفقي: ١ رأسي مع حماية من خلال الدكة الحجرية أو من خلال الإنبات الخضري. ويمكن تصميم حماية المصبطة من الانجراف ومنحدر مهبط الماء في اتجاه المصب كما تم الوصف في جزء سابق بعنوان (الحماية من الانجراف). ويمكن تقدير طول المصبطة والضغوط فوق المصبطة للتصرف التصميمي Q، من خلال:

$$Q = 1.48 L H^{1.5} \quad (٥, ٦٨)$$

معامل التصرف ١,٤٨ قد يزيد ليصل إلى ١,٧٠ للقمم شديدة النعومة ويقل حتى يبلغ ١,٤٦ بالنسبة للقمم الخشنة. وبالنسبة لتصميم السريان وبيانات ارتفاع تخزين السد، قد تتم حسابات طرق الفيضان باستخدام برامج الحاسب الآلي مثل: HEC-1 و HEC-MHMS (USACE 1991a, 2002) مع معدل متغير من قيم تلك الطرق بالنسبة لقيمة L المعطاة بالمعادلة رقم (٥, ٦٨). للحصول على التجميع المقبول L وأقصى H. ويمكن تقدير عمق المياه وسرعتها عند نقطة ارتكاز منحدر المجرى الذي يكون السريان فيه منتظم في اتجاه المصب كما هو الحال في حالة الإسقاط مع المنحدر. (أنظر الجزء السابق بعنوان "إنشاءات الإسقاط").

قناة تصريف القابس المنصهر Fuse-Plug Spillway: وهي تتكون من جزء من سد أرضي أكثر انخفاضاً بشكل عام من قمة السد الرئيس. وعندما تتم التعلية على هذا الجزء، فإنه يصمم لمنع من أداء مهمته بسبب الانجراف السريع وبهذا يكون

القسم المتبقي من السد غير متضرراً. وبسبب صعوبات تصميم هذا الجزء، الذي سيكون عن أداء مهمته عند هذا الارتفاع لسطح مياه الخزان المرغوب، فإن قنوات تصريف القابس المنصهر ليست شائعة جداً. وعندما تكون ضرورية، فإنها توضع على كتف الخزان، أو على حافة الخزان، أو عند موقع منخفض على قمة الحاجز. ويتم تصميم الجزء المختار على أنه قناة إرشادية، والتي يتم التعلية عليها عندما يصل الخزان ارتفاعاً مسبق التحديد. ويتم تأمين الانجراف السريع عن طريق وضع مواد قابلة للتآكل في القناة الإرشادية. ويتم التحكم في أبعاد القابس المنصهر القصوى عن طريق وضع أساس من الجدة الموازية أو من مادة غير قابلة للتآكل عند القاع وجوانب غير قابلة للتآكل للقناة الإرشادية. وفي العادة يتم تصميم القوابس المنصهرة ليس لتعمل في حالة الفيضانات ذات الفواصل الزمنية المتكررة أقل من ١٠٠ سنة، لكنها مصممة كسدود ثابتة لكل ظروف الخزانات ما عدا أن ارتفاع فيضان التصميم الذي يجب أن يسببه لا بد أن يعلوه وأن يخترقه.

قناة تصريف مسقط مياه السد الحر (السقوط المباشر):

Free Overfall (Straight Drop) Spillway

تكون قنوات تصريف السقوط المباشر مناسبة لحالات السقوط لأقل من ستة أمتار. وفي هذه القنوات يسقط الماء بشكل حر من قمة قناة التصريف على المنحدر الأفقي. ويمكن تقدير التصريف فوق قناة التصريف باستخدام معادلات السد الصغير حاد- أو عريض- المصطبة بناءً على طول المصطبة الموازي للتدفق. ولتوجيه التدفق بعيداً عن الوجه الرأسي من قناة التصريف أثناء التصريفات المنخفضة، فإنه يمكن عمل طرف بارز عند حافة المصطبة. وإذا كان عمق مياه التصريف المتاح كافياً، يمكن أن تتكون قفزة هيدروليكية على الجانب الأفقي. وفي حالات السقوط الصغيرة (أقل

من ستة أمتار أو نحوه)، فإن السرعة V_1 ، وعمق المياه y_1 ، عند الطرف لتصريف الوحدة q ، لكل وحدة عرض من المصبطة يمكن أن يقرب عن طريق:

$$V_1 = C_d \sqrt{(2gH)} \quad (٥,٦٩ أ)$$

$$y_1 = q/V_1 \quad (٥,٦٩ ب)$$

حيث إن:

$$C_d = \text{معامل التصريف ويتراوح من } ٠,٨ \text{ إلى } ٠,٩.$$

$$H = \text{الضغوط فوق المصبطة.}$$

إن تحليل القفزة الهيدروليكية قد يتم باستخدام الطرق الموضحة في (إنشاءات الإسقاط).

قناة التصريف المستدقة الرأس (الفيضان) Ogee (Overflow) Spillway: وهي المفايض التي تتكيف فيها كل من المصبطة وسطح مهبط النهر مع الصخور المغترية لصفحة المياه الساقطة من السد الصغير حاد- المصبطة. ومعادلة التصريف لقناة التصريف المستدقة الرأس معطاة في الفصل الثالث في جزء بعنوان "المصبطة مستدقة الرأس". وهناك عوامل عديدة مؤثرة على قمم تلك القنوات قد يتم أخذها في الاعتبار من خلال تعديل طول المصبطة كما يلي:

$$L_e = L - 2(n K_p + K_a)H \quad (٥,٧٠)$$

حيث إن:

$$L_e = \text{طول المصبطة الفعال.}$$

$$L = \text{طول المصبطة الغير مقتطع.}$$

$$N = \text{عدد الركائز.}$$

$$K_p = \text{معامل انكماش الركائز.}$$

K_a = معامل انكماش الكتف.

H = الضاغط فوق المصبطة.

في حالة الركائز مربعة المقدمة، $K_p = 0.02$ ، وفي حالة الركائز مستديرة المقدمة، $K_p = 0.02$ ، وفي حالة الركائز مدببة المقدمة، $K_p = 0.0$. في حالة الأكتاف المربعة، $K_a = 0.20$ ، وفي حالة الأكتاف المستديرة، $K_a = 0.0$ to 0.10 . ويتأثر معامل التصريف بارتفاع قناة التصريف فوق قاع منبع التدفق، وميل سطح الماء عند منبع التدفق، والضواغط الأخرى غير ضاغط التصميم، ودرجة الغمر. وإن التغير مع ارتفاع السطح الرأسي لمنبع التدفق تم إيضاحه في الجدول رقم (١٢، ٣)، والتغير مع وجود الضواغط الأخرى غير ضاغط التصميم تم إيضاحه في الجدول رقم (١٢، ٣ ب)، والتغير مع وجود درجة الغمر موضح في الجدول رقم (١٠، ٥) (USBR 1987).

معادلة حساب القطاع الجانبي لمهبط النهر لقناة التصريف مستدقة الرأس معطاة في "المصبطة مستدقة الرأس" في الفصل الثالث:

$$X^n = K H_d^{n-1} Y \quad (٣, ٤٩)$$

يمكن حساب ميل سطح مصب التدفق عن طريق الحكم المقارن أو اختبارات النماذج الهيدروليكية. وتتراوح الميول شائعة الاستخدام من ٦، ٠ أفقي: ١ رأسي إلى ٨، ٠ أفقي: ١ رأسي. ويمكن حساب القطاع الجانبي باستخدام المعادلة المذكورة أعلاه إلى نقطة يصبح عندها الميل مساوياً إلى الميل المختار من سطح مصب التدفق (1: z). وإن إحداثيات هذه النقطة يمكن أن تقدر عن طريق وضع:

$$dY/dX = n X^{n-1} / [K H_d^{n-1}] = 1/Z \quad (٥, ٧١)$$

الجدول رقم (٥, ١٠). تغيير معامل التصرف للمصطبة مستدقة الرأس Ogee مع الغمر لقيمة H_s التي تساوي منسوب المصطبة أو الذروة مطروحاً منه منسوب الماء عند المنطقة الخلفية، و C_s يساوي معامل التصرف المعدل.

C_s/C	H_s/H_d
٠	١,٠
٠,٦٥	٠,٩
٠,٨٦	٠,٨
٠,٩٣	٠,٧
٠,٩٦	٠,٦
٠,٩٨	٠,٥
٠,٩٩	٠,٤
٠,٩٩٥	٠,٣
١	٠,٢

المصدر: (USBR 1987).

شكل القطاع الجانبي لقناة التصريف في اتجاه منبع التدفق من مركز الإحداثيات (ذروة المصطبة) يتكون من ثلاث أقواس دائرية متصلة. أنصاف أقطار وإحداثيات مراكز هذه الأقواس المطورة عن طريق قطاع تجارب هندسة المجاري المائية بجيش الولايات المتحدة موضحة في الجدول رقم (٥, ١١) (USAEWES 1977). ويرمز لأنصاف الأقطار بالرمز R مقاسة من المركز عند أعلى نقطة في المصطبة.

في الجدول رقم (٥, ١١)، تكون X موجبة في الاتجاه إلى اليمين و Y موجبة في الاتجاه إلى أسفل. وباستخدام البيانات في الجدول رقم (٥, ١١)، فإن إحداثيات النقاط المختلفة على القطاع الجانبي لقناة التصريف في اتجاه منبع التدفق من المصطبة إلى السطح الرأسي لمنبع التدفق موضحة في الجدول رقم (٥, ١٢).

الجدول رقم (٥, ١١). أنصاف أقطار وإحداثيات مراكز الأقواس المكونة للقطاع الجانبي لقناة التصريف عند منبع التدفق.

إحداثيات المركز		
R/H_d	Y/H_d	X/H_d
٠,٥٠	٠,٥٠	٠
٠,٢٠	٠,٢١٩	٠,١٠٥ -
٠,٠٤	٠,١٣٦	٠,٢٤١٨ -

المصدر: (USAEWES 1977).

مثال رقم (٥, ١١): طور قطاعاً جانبياً لقناة تصريف مستدقة الرأس H_d يساوي ٥ م، والوجه العمودي لقناة السريان لمنبع التدفق ذو ارتفاع ٨٠ م، وأيضاً ميل الوجه للمجرى الخاص بالسريان نحو مصب التدفق يساوي ٠,٧ أفقي: ١ رأسي. استخدم K تساوي ٢,٠ و n تساوي ١,٨٥ (انظر الشكل رقم (٣, ٢) في الفصل الثالث).

الحل:

بالنسبة لشكل السريان في اتجاه مصب التدفق فإن إحداثيات النقطة التي يبدأ عندها الميل ٠,٧ أفقي: ١ رأسي يتم تعيينها من خلال المعادلة رقم (٥, ٧١)

$$1.85 X^{1.85-1} / [2.0 \times 5^{1.85-1}] = 1/0.7$$

ومنها نوجد قيمة X

$$X = (6.06575)^{1.1765} = 8.338 \text{ m}$$

ومن المعادلة رقم (٣, ٤٩) نعين قيمة Y

$$Y = 8.338^{1.85} / (2 \times 5^{1.85-1}) = 6.438 \text{ m}$$

يتم تقدير إحداثيات النقاط المختارة على سطح مصب التدفق فوق النقطة ($X = 8.338, Y = 6.438$) بالمعادلة رقم (٣, ٤٩) وهي موضحة في الجدول رقم

(٥, ١٣).

وباستخدام الجدول رقم (٥, ١٢) يمكن تعيين إحداثيات نقاط منحنى السريان عند منبع التدفق والموضحة في الجدول رقم (٥, ١٤).

إن الأطر الخارجية التي تم تقديمها من خلال (USBR 1987) و (USAEWES 1977) تكون ذات مفاهيم مختلفة قليلا. وإن التصميم يجب أن ينتهي بالاعتماد على النماذج الهيدروليكية.

الجدول رقم (٥, ١٢). إحداثيات النقاط على منحنى سريان الماء لقناة التصريف عند منبع التدفق.

Y/H_d	X/H_d
٠	٠
٠,٠٠٢٥	٠,٠٥ -
٠,٠١٠١	٠,١٠ -
٠,٠٢٣	٠,١٥ -
٠,٠٣١٦	٠,١٧٥ -
٠,٠٤٣	٠,٢٠ -
٠,٠٥٥٣	٠,٢٢ -
٠,٠٧١٤	٠,٢٤ -
٠,٠٩٢٦	٠,٢٦ -
٠,١١٥٣	٠,٢٧٦ -
٠,١١٩	٠,٢٧٨ -
٠,١٢٤١	٠,٢٨ -
٠,٢٨١٨	٠,٢٨١٨ -

المصدر: (USAEWES 1977).

الجدول رقم (٥، ١٣). الإحداثيات المحسوبة للنقاط على سطح قناة التصريف عند مصب التدفق.

Y	X
٠,١٢٧	١
٠,٤٥٩	٢
٠,٩٧٢	٣
١,٦٥٤	٤
٢,٥	٥
٣,٥٠٣	٦
٤,٦٥٩	٧
٦,٤٣٩	*٨,٣٣٨
**٢٣,٠٩٩	٢٠

* منحنى السريان لقناة تصريف ذات ميل ٠,٧ أفقي: ١ رأسي أسفل تلك النقطة.

$$6.439 + [(20 - 8.338) / 0.70] = 23.099 **$$

الجدول رقم (٥، ١٤). الإحداثيات المحسوبة للنقاط على سطح قناة التصريف عند منبع التدفق.

X	X/H _d	Y/H _d	Y
٠ -	٠ -	٠	٠
٠,٥٠ -	٠,١٠ -	٠,٠١٠١	٠,٠٥٠٥
٠,٨٧٥ -	٠,١٧٥ -	٠,٠٣١٦	٠,١٥٨
١,١٠ -	٠,٢٢ -	٠,٠٥٥٣	٠,٢٧٦٥
١,٣٠ -	٠,٢٦ -	٠,٠٩٢٦	٠,٤٦٣
١,٣٩٠ -	٠,٢٧٨ -	٠,١١٩٠	٠,٥٩٥
١,٤٠٩ -	٠,٢٨١٨ -	٠,١٣٦٠	٠,٦٨٠
١,٤٠٩ -	-	-	١,٠
١,٤٠٩ -	-	-	٢,٠
١,٤٠٩ -	-	-	٨٠

قناة تصريف القناة الجانبية Side Channel Spillway: في هذه القناة تكون المصطبة موازية تقريباً لقناة السريان في اتجاه المصب، عادة ما تكون ضيقة ومن خلالها يتم تصريف المياه. بعد السريان بشكل موازي لقمة القناة فإن قناة السريان في اتجاه المصب تميل بزاوية ما لتتصل مع قناة التصريف الرئيسة. إن ذروة قناة التصريف قد يتم تصميمها بنفس طريقة Ogee على هيئة قناة حادة أو قمة متسعة ولو تم تصميم قناة التصريف بحيث يصبح السريان فيها فوق حرج فإن السرعات سوف تكون عالية وأعماق المياه سوف تكون منخفضة وسوف يؤدي ذلك إلى انخفاض عالي من ذروة قناة التصريف إلى المياه السطحية في القناة. وسوف يؤدي ذلك إلى نقل الفيضان إلى جانب القناة ويؤدي إلى اضطراب عنيف واهتزازات نتيجة اختلاط السريان الطولي فوق الحرج والسرعات العالية للسريان المستعرض من الطرق. ومن ناحية أخرى، لو تم تصميم القناة بحيث تكون ذات منحنى مسطح بشدة، فإنها قد تكون غير قادرة على حدوث امتلاء من ذروات قناة التصريف بدون انغمار للذروة خاصة أثناء الفيضانات العالية. وإذا كان انغمار المصطبة يتعدي $3/4H$ ، فإن قناة التصريف قد تتعرض للانسداد. H هي الضاغطة الكلي فوق المصطبة. وتحت هذه الظروف يكون سعة التصريف متحكماً في السريان للخارج أكثر من المصطبة، وقد تفقد قناة التصريف تأثيرها الهيدروليكي. وحيث إن قمم التسريب نتيجة السريان الزائد طويلة وبالتالي هناك حاجة إلى تقييد ارتفاع المياه السطحية في الخزان. أو عندما يكون التحكم متصلاً بقناة تصريف خارجية أو نفق، يكون في هذه الحالة هناك حاجة إلى قناة جانبية. ومن أجل الوصول إلى الأداء الهيدروليكي المطلوب للقنوات الجانبية الناتجة عن سريان المياه، يكون مطلوب الإبقاء على السريان أقل من المرحلة الحرجة (تحت حرج). وإن ذلك قد يتم تحقيقه من خلال إقامة قطاع للتحكم عند نهاية ممر السريان في اتجاه نهاية المصب.

إن التحليل الهيدروليكي للقنوات الجانبية الناتجة عن سريان المياه يعتمد على الحفاظ على كمية الحركة على طول محور القناة (USBR 1987).

$$\Delta y = - [Q_1 (v_1 + v_2) / \{g (Q_1 + Q_2)\}] [(v_2 - v_1) + \{v_2 (Q_2 + Q_1) / Q_1\}] \quad (٥,٧٢)$$

حيث إن:

Δy = التغير في ارتفاع سطح المياه من المقطع ١ (عند مصب التدفق) إلى المقطع ٢ (عند منبع التدفق).

Q_1, v_1 = التصريف والسرعة عند المقطع ١.

Q_2, v_2 = التصريف والسرعة عند المقطع ٢.

بسبب تقريب الفرق المحدد، فكلما قل الطول بين المقطعين ١ و ٢ كلما زادت دقة المعادلة رقم (٥,٧٢). وإن الخطوات الحسابية لتقدير أبعاد التصميم هي كالتالي:

١- افترض أن انغمار المصطبة حوالي $2/3 H$ واستنتج معامل التصريف لقمة قناة التصريف. وقم بتحديد منحنى معايرة قناة التصريف وقم بعمل حسابات تحديد قناة التصريف للرسم المائي لتدقق التصميم من أجل الحساب المبدئي لطول وارتفاع قمة قناة التصريف.

٢- قم بتعيين أبعاد مبدئية للأخدود، أي، عرض القاع، والميول الجانبية، وميل القاع. وإن الأخدود يكون تقريباً موازياً لقمة قناة التصريف ويمتد على مدار الطول بالكامل.

٣- افترض أبعاداً مبدئية للأخدود عند قطاع التحكم مثل ارتفاع القاع، وعرض القاع والميول الجانبية. وقد يتم عمل قطاع التحكم من خلال تقليص القطاع شبه المنحرف إلى قطاع مستطيل أو من خلال عتبة صخرية ذات شكل شبه منحرف أو

مستطيل. ومن المطلوب تحديد طول الانتقال بين نهاية الأخدود عند القطاع شبه المنحرف وقطاع التحكم.

٤- قم بتقدير عمق المياه والسرعة وضغط السرعة عند قطاع التحكم باستخدام معادلات السريان الحرج (انظر "السريان الحرج" في الفصل الثالث).

٥- قم بتقدير عمق المياه والسرعة عند نهاية ممر السريان في اتجاه المصب بالنسبة للقطاع شبه المنحرف باستخدام معادلات الطاقة بين هذا القطاع وقطاع التحكم.

٦- استخدم المعادلة رقم (٥,٧٢) لتقدير عمق المياه وارتفاعات سطح الماء عند قطاعات مختلفة من الأخدود من خلال التجربة والخطأ.

٧- قم بتقدير مدي انغمار المصطبة، إذا كان هناك أي منها، واحسب ما إذا كان معامل التصرف المفترض صحيحاً. وإذا لم يكن كذلك، قم بعمل التعديلات المناسبة لأبعاد الأخدود وارتفاع القاع والميل وقم بتكرير الحسابات.

مثال رقم (٥,١٢): أوضحت حسابات تصميم قناة سريان مياه الفيضان إلى خزان وجود قمة في قناة مرور المياه عند منسوب وبطول ٢٤٠٤,٣ م و ٣٥ م على الترتيب، وأقصى تصرف للخارج ٧٠ م^٣/ث. وللسماح ببعض الانغمار فإن معامل التصرف لقناة التصريف الناتج عن الفيضان ١,٩٨. قم بتقدير أبعاد التصميم للقناة الجانبية للتصريف. واستخدم قطاع شبه منحرف للأخدود مع عرض القاع وميول جانبية وميل القاع ٤,٥ م، ٠,٥ أفقي: ١ رأسي، ٠,١٠، على الترتيب.

الحل:

افترض أن قطاع التحكم المستطيل ذو عرض ٤,٥ م ويقع في طول انتقال أفقي يساوي ٨ م لقناة السريان في اتجاه المصب من نهاية تلك القناة أو القطاع شبه المنحرف للأخدود. ومن خلال معادلة التصرف للمصطبة:

$$70 = 1.98 \times 35 \times H^{1.5}$$

ومنها

$$H = 1.0 \text{ m}$$

وحدة التصرف عند قطاع التحكم

$$q = 70/4.5 = 15.56 \text{ m}^3/\text{s}$$

وأيضاً العمق الحرج

$$y_c = [15.56^2/9.81]^{1/3} = 2.91 \text{ m}$$

السرعة الحرجة

$$V_c = q/y_c = 15.56/2.91 = 5.347 \text{ m/s}$$

وضاغط السرعة

$$h_{vc} = 5.347^2/(2 \times 9.81) = 1.457 \text{ m}$$

وبالتجربة والخطأ، قم بتقدير عمق المياه والسرعة عند نهاية المسار في اتجاه المصب للقطاع شبه المنحرف باستخدام معادلة الطاقة:

$$y_c + V_c^2/2g + 0.2(h_{vc} - h_{v1}) = y_1 + V_1^2/2g$$

القطاع 1 يقع على بعد ٨ م من مسار السريان في اتجاه المصب لقطاع التحكم أي أنه عند نهاية مسار السريان في اتجاه المصب للقناة الشبه منحرفة الشكل.

وبالتجربة والخطأ

$$y_1 = 4.295 \text{ m}$$

وأيضاً

$$A_1 = 4.5 \times 4.295 + 0.5 \times (4.295^2) = 28.551 \text{ m}^2$$

$$V_1 = 70/28.551 = 2.4517 \text{ m/s}$$

و

$$h_{v1} = 2.4517^2 / (2 \times 9.81) = 0.306 \text{ m}$$

فيكون الجانب الأيمن لمعادلة الطاقة

$$4.295 + 0.306 = 4.601 \text{ m}$$

ويكون الجانب الأيسر لمعادلة الطاقة

$$2.91 + 1.457 + 0.2(1.457 - 0.306) = 4.597 \text{ m}$$

التصرف لكل وحدة عرض لقمة قناة التصريف

$$70/35 = 2 \text{ m}^2/\text{s}$$

قم بحساب مناسب سطح المياه بالتجربة والخطأ مستخدماً المعادلة رقم (٥,٧٢).
وتتم تلك الحسابات على برنامج الأكسل Excel وقد تم توضيحها في الجدول رقم
(٥,١٥).

وإن قيم المحطة (صفر) خاصة بالقيم التي تم حسابها لنهاية الطريق المنحدر
تجاه المصب للمنطقة ذات الشكل شبة المنحرف. وإن قيمة العمود رقم (٨) تعتبر
خاصة بالطريق الناتج عن سريان المياه للخارج وفوق طول المصطبة من الحافة الخاصة
بمسار السريان ضد التيار وحتى نهاية المحطة المشار إليها في العمود رقم (١) وتم
حسابها عند ٢ م^٢/ث لكل متر من طول الزاوية المرتفع. وإن القيم في العمود رقم
(٤) تعتبر قيم تجريبية تستخدم لحساب القيم في الأعمدة الأخرى. وإن تلك القيم يتم
تغييرها مرة أخرى وأخرى حتى تتفق مع القيم التي تم حسابها في العمود رقم (١٨).

إن رقم ١ يشير إلى السريان نحو المصب ورقم ٢ يشير للسريان عند المنبع لمحطتين متلاصقتين.

إن أقصى ارتفاع تم تقديره لسطح المياه ٢ م للسريان باتجاه المصب من حافة السريان عند المنبع للممر ٢٤٠٤,٨٧٥ م؛ لذلك فإن الغمر فوق المصطبة يساوي

$$2404.875 - 2404.3 = 0.575 \text{ m}$$

وهو أقل من ثلثي H لذلك فإن اقتراح تقليل معامل التصريف نتيجة الغمر ليس ذو أهمية وأن القيمة ١,٩٨ المستخدمة في حسابات تحديد الفيضان تعتبر مناسبة.

قنوات تصريف الحوض أو الشلال Chute or Trough Spillways: هذه القنوات تشبه منشأة السقوط مع ميل منحدر في اتجاه مصب التدفق. ويمكن أن يكون الشلال قناة مفتوحة أو يمكن أن يكون له خطوط عرضية مثبتة لأجل تشتيت الطاقة ويمكن أن يتم تصميمه ليكون له ميل تحت حرج أو فوق حرج لتدفق التصميم. وهي مناسبة للسدود حيث يكون هناك اتساع كافٍ متاح (مثل السناد) من أجل إتاحة قمة عريضة متسعة نسبياً. ويمكن تقليص قطاع التدفق في اتجاه التيار لشلال أو أخذود باتساع وميل كافيين للتمرير الآمن لفيضان التصميم. ويتم معايرة المصطبة باستخدام معادلة تصرف الهدار عريض المصطبة (المعادلة رقم ٣,٤٥). السمة الرئيسية المميزة لقناة تصريف قناة الجانب هي أن المصطبة تكون موضوعة رأسياً أو شبه رأسياً على محور الشلال. وعادةً، تتكون قناة تصريف الشلال من قناة اقتراب، وقطاع تحكم (سناد أو قمة عريضة)، وقناة تصريف شديدة الانحدار نسبياً (أخذود)، وحوض ثابت، وقناة مخرج (USBR 1987).

الجدول رقم (٥، ١٥). الحسابات الهيدروليكية لقناة تصريف قناة الجانب.

(٦)	(٥)	(٤)	(٣)	(٢)	(١)
y	منسوب سطح الماء	dy	منسوب القاع	Dx	الموقع
٤,٢٩٥٠	٢٤٠٤,٢٩٥٠	صفر	٢٤٠٠,٠٠	صفر	صفر
٤,٤٥٩٤	٢٤٠٤,٥٢٩٤	٠,٢٣٤٤	٢٤٠٠,٠٧	٧	٧
٤,٥٤٨١	٢٤٠٤,٦٨٨١	٠,١٥٨٧	٢٤٠٠,١٤	٧	١٤
٤,٥٨٣٨	٢٤٠٤,٧٩٤٨	٠,١٠٥٧	٢٤٠٠,٢١	٧	٢١
٤,٥٧٥٦	٢٤٠٤,٨٥٦٦	٠,٠٦١٨	٢٤٠٠,٢٨	٧	٢٨
٤,٥٤٤٦	٢٤٠٤,٨٧٥٦	٠,٠١٩٠	٢٤٠٠,٣٣	٥	٣٣

(١٢)	(١١)	(١٠)	(٩)	(٨)	(٧)
$V_1 + V_2$	$Q1/(g \times \text{col. (10)})$	$Q_1 + Q_2$	V	Q	A
—	—	—	٢,٤٥١٧٥	٧٠	٢٨,٥٥١
٤,٣١٧٧٦٨	٠,٠٥٦٦٣٢	١٢٦	١,٨٦٦٠١٨	٥٦	٣٠,٠١٠٤٢
٣,٢٢٩٢٥٤	٠,٠٥٨٢٥	٩٨	١,٣٦٣٢٣٦	٤٢	٣٠,٨٠٩٠٦
٢,٢٦٢٦١١	٠,٠٦١١٦٢	٧٠	٠,٨٩٩٣٧٦	٢٨	٣١,١٣٢٧١
١,٣٥٠١٤١	٠,٠٦٧٩٥٨	٤٢	٠,٤٥٠٧٦٦	١٤	٣١,٠٥٨٢٦
٠,٥٨٠٧٣١	٠,٠٧٩٢٨٤	١٨	٠,١٢٩٩٦٦	٤	٣٠,٧٧٧٣٩

(١٨)	(١٧)	(١٦)	(١٥)	(١٤)	(١٣)
dy	Col. (13) + col. (16)	$V_2 \times \text{col. (14)} / Q_1$	Col. (14) / Q_1	$Q_1 - Q_2$	$V_1 - V_2$
—	—	—	—	—	—
٠,٢٣٤٤٨١	٠,٩٥٨٩٣٥	٠,٣٧٣٢٠٤	٠,٢	١٤	٠,٥٨٥٧٣٢
٠,١٥٨٦٨٢	٠,٨٤٣٥٩٢	٠,٣٤٠٨٠٩	٠,٢٥	١٤	٠,٥٠٢٧٨٣
٠,١٠٥٦٧٩	٠,٧٦٣٦٥٢	٠,٢٩٩٧٩٢	٠,٣٣٣٣٣	١٤	٠,٤٦٣٨٦
٠,٠٦١٨٤١	٠,٦٧٣٩٩٣	٠,٢٢٥٣٨٣	٠,٥	١٤	٠,٤٤٨٦١
٠,٠١٩٠٤٥	٠,٤١٣٦٣٣	٠,٠٩٢٨٣٣	٠,٧١٤٢٨٦	١٠	٠,٣٢٠٨

قناة تصريف الأنابيب أو الأنفاق Conduit or Tunnel Spillways: وهي أنفاق تصمم عمودية أو مائلة أو أفقية من أجل مرور تصريف جزئي أو كلي عبر طولها مع استثناء مداخل السقوط. وبالنسبة لمداخل السقوط، قد يتم تصميم النفق من أجل السريان التام على مدار طول قصير بالقرب من السقوط وجزئياً فيما بعد.

قناة تصريف مجد الصباح أو حفرة المجد:

Morning Glory or Glory Hole Spillway

تتكون هذه المفايض من شكل فم الكرة الذي على شكل قمع على هيئة سد صغير، وبئر تهوية رأسي، وقناة صرف عبارة عن أنبوب معلق تحمل السريان إلى قناة التصريف في اتجاه المصب. ويتم تصميم القطاع الجانبي للمصطبة والانتقال إلى نافورة المياه الرأسي ليتطابق شكل الجزء السفلي من القناة التي يتم السريان عبرها فوق سد صغير حاد المصطبة. ويمكن تقدير القطاع الجانبي للمصطبة باستخدام الجداول المطورة تجريبياً لإحداثيات النقاط على القطاع الجانبي (USBR 1987). وبالنسبة للضغوط المنخفض فإن التصريف يتم التحكم فيه بواسطة هدار سريان فوق الذروة. وبالنسبة للضغوط المتوسط يكون السريان عبر فوهة أثناء الانتقال عبر الحافة العمودية أحد أنواع التحكم. وبالنسبة للضغوط المرتفع، يتم التحكم في السريان عبر أنبوب السريان خلال نافورة المياه الرأسية.

إن التصريف فوق قمة قناة تصريف مجد الصباح مع قطاع جانبي مغترب الشكل يعطى من خلال:

$$Q = C(2\pi R)H^{1.5} \quad (٥,٧٣)$$

حيث إن:

$$Q = \text{التصرف الخارج.}$$

$R =$ نصف قطر المصطبة.

$H =$ الضاغط فوق المصطبة.

$C =$ معامل التصريف، ويعطى من الجدول رقم (٥، ١٦) (USBR 1987).

الجدول رقم (٥، ١٦). معاملات التصريف لمصطبة قناة تصريف مجد الصباح.

معامل التصريف C			
$P/R = 0.15$	$P/R = 0.30$	$P/R = 2.0$	H/R
٢,٢١	٢,٢٠	٢,١٥	٠,٢
٢,٠٤	٢,٠٤	١,٩٧	٠,٤
١,٧٤	١,٤٤	١,٣٦	٠,٨
١,٠٢	٠,٩٩	٠,٩٤	١,٢
٠,٧٦	٠,٧٣	٠,٧١	١,٦
٠,٦١	٠,٦٠	٠,٥٥	٢,٠

$P =$ ارتفاع المصطبة فوق قاع مجرى السريان عند منبع التيار (مصعد النهر).

المصدر (USBR 1987).

بالنسبة للضاغط المنخفض جداً قد يتم تقليل معامل التصريف إلى ٨٧٪ من

قيمة ضاغط التصميم.

إن السريان الانتقالي عبر الحافة العمودية يعطي بالمعادلة

$$Q_a = \pi R_a^2 \sqrt{[2g(H_a - 0.1H_a)]} \quad (٥,٧٤)$$

حيث إن:

$R_a =$ نصف قطر نافورة الانتقال.

$0.1 H_a =$ الانقباض في النافورة والفواقد الأخرى.

H_a = المسافة بين سطح المياه بالخزان والارتفاع المطابق إلى نصف قطر النافورة
 R_a .

إن نصف قطر النافورة يقل نتيجة السقوط لأسفل لذلك فإن الإطار العام له في الانتقال يتم تقديره من المعادلة:

$$R_a = 0.275 Q_a^{1/2} / (H_a^{1/4}) \quad (٥,٧٥)$$

أنبوب السريان يبدأ عند الارتفاع في نافورة المياه حيث إن R_a يصبح مساوياً لنصف قطر الأنبوب الموصل. وإن ذلك الموقع يطلق عليه العنق. دائماً ما يتم تصميم أنبوب السريان الموصل لتدفق ٧٥٪ من التصريف التصميمي الكلي من أجل تقليل احتمال التغيرات من الضغط إلى سريان القنوات المكشوفة في الموصل. ومن القيم الجدولية لأبعاد الموصلات الدائرية لمقدار ٧٥٪ من كامل التصريف (٧٥٪ من مساحة الأنبوب الموصل). عمق الماء $y = 0.702 D$ ، ونصف القطر الهيدروليكي (r_h) $r_h = 0.2964 D$ ، حيث D هي قطر الأنبوب الموصل (USBR 1987). والسريان عبر أنبوب موصل طوله L يتم توضيحه من خلال معادلة الطاقة:

$$\text{منسوب سطح المياه عند العنق} + \text{ضاغط السرعة عند العنق} = \text{منسوب الماء المعكوف عند المخرج} + y + V^2/2g + V^2 n^2 L / (r_h^{4/3}) \quad (٥,٧٦)$$

إن منحنى المعايرة لقناة تصريف مجد الصباح يشمل ثلاث مكونات:

١ - منحنى يعتمد على تدفق فوق قمة هدار صغير ويمكن تطبيقه في حالة الضواغط المنخفضة.

٢ - منحنى يعتمد على تدفق الفوهة في منطقة الانتقال خلال نافورة المياه ويمكن تطبيقه في حالة الضغوط المتوسطة.

٣- منحني يعتمد على تدفق أنبوب السريان ويمكن تطبيقه في حالة الضواغط العالية.

ويتم وصل تقاطع هذه المنحنيات عن طريق منحنيات الانتقالات المبسطة التقريبية. ويتم حسابات قناة تصريف مجد الصباح التجربة والخطأ.

مثال رقم (٥, ١٣): طور أبعاداً تمهيدية لقناة تصريف مجد الصباح التي سوف تعمل تحت ضاغط مقداره ٣,٠٥ م لكنه سوف يحدد التدفق الخارج بمقدار ٥٧ م^٣/ث. ومنسوب المصبطة ١٠٠٠ م. طول أنبوب مصب التدفق ٨٢ م والمنسوب عند المخرج ٩٨٨,٦ م. ومعامل مانتق للخشونة في حالة الأنبوب ٠,٠١٤. وبفرض أن $P/R > 2.0$.

الحل:

يتم حساب نصف قطر المصبطة عن طريق التجربة والخطأ. بفرض تجربة أن $R = 2.13 \text{ m}$. إذن:

$$H/R = 3.05/2.13 = 1.43$$

ومن الجدول رقم (٥, ١٦) نجد أن $C = 0.80$.

$$Q = 0.80 (2\pi \times 2.13) (3.05^{1.5}) = 57 \text{ m}^3/\text{s}$$

إذن، استخدم $R = 2.13 \text{ m}$.

ولإيجاد قطر العنق، استخدم المعادلة رقم (٥, ٧٥):

$$R_a = 0.275 \times (57^{0.5}) / (H_a^{0.25}) = 2.076 / (H_a^{0.25})$$

حسابات القطاع الجانبي للنفث خلال نافورة المياه موضحة في الجدول رقم (٥, ١٧).

ويتم أيضاً تقدير قطر المجرى عن طريق التجربة والخطأ. بفرض أن $R_a = 1.37 \text{ m}$.

ومن الجدول رقم (٥, ١٧) الخاص بحسابات القطاع الجانبي للنفث، يقابل هذا

ارتفاع ٩٩٧,٧٧٧ م في نافورة المياه، الذي يصبح ارتفاع العنق. ضع نصف المجرى الموصل ١,٣٧ م.

الجدول رقم (٥, ١٧). حسابات القطاع الجانبي للنفث خلال نافورة المياه لقناة تصريف مجد الصباح.

ارتفاع سطح الماء في نافورة المياه	H_a	$R_a = 2.076/H_a^{0.25}$
١٠٠٠	٣,٠٥	١,٥٧١
٩٩٩,٥	٣,٥٥	١,٥١٢
٩٩٩	٤,٠٥	١,٤٦٣
٩٩٨,٥	٤,٥٥	١,٤٢١
٩٩٨	٥,٠٥	١,٣٨٥
٩٩٧,٥	٥,٥٥	١,٣٥٢
٩٩٧	٦,٠٥	١,٣٢٤
٩٩٦,٥	٦,٥٥	١,٢٩٨
٩٩٦	٧,٠٥	١,٢٧٤
٩٩٧,٦	٥,٤٥	١,٣٥٩
٩٩٧,٧	٥,٣٥	١,٣٦٥
٩٩٧,٨	٥,٢٥	١,٣٧١
٩٩٧,٩	٥,١٥	١,٣٧٨

وبالتالي يكون (H_a) الفرق بين منسوب سطح المياه بالخرزان والمنسوب عند العنق

$$H_a = 1000 + 3.05 - 997.777 = 5.273 \text{ m}$$

وبالنسبة لحالة تدفق ٧٥٪ فإن

$$A = 0.75 \pi (1.37^2) = 4.422 \text{ m}^2$$

$$V = 57/4.422 = 12.89 \text{ m/s}$$

$$y = 0.702 \times 2 \times 1.37 = 1.9235 \text{ m}$$

$$r_h = 0.2964 \times 2 \times 1.37 = 0.8121 \text{ m}$$

ضاغط السرعة عند العنق يساوي تقريباً

$$5.273 - 0.1 \times 5.273 = 4.746 \text{ m}$$

بالنسبة للسريان في الموصل فإن:

$$997.777 + 4.746 = 12.89^2 \times (0.014^2) \times 82 / (0.8121^{4/3}) + 12.89^2 / (2 \times 9.81) + 1.9235 + \text{conduit invert elevation at exit}$$

المنسوب المعكوس للموصل عند المخرج

$$1002.523 - (3.5245 + 8.47 + 1.9235) = 988.605 \text{ m}$$

وهذا يعادل تقريباً المنسوب المعطى عند المخرج .

حسابات منحنى معدل للسريان في الموصل للهدار وفوهة التصريف تم

توضيحها بالجدول رقم (٥، ١٨).

إن قيم معامل التصريف C مأخوذة من الجدول رقم (٥، ١٦). وإن المعاملات

يجب أن يتم تخفيضها بحوالي ١٠٪ لضواغط التصميم الأخرى (USBR 1987). ويتم

حساب Q في العمود رقم (٥) بالمعادلة رقم (٥، ٧٣) على اعتبار أن R تساوي ١٣، ٢ م.

والعمود رقم (٦) يمثل قيمة H_e ويتم حسابها من عمود رقم (١) مطروح منه

٩٩٧، ٧٧٧، ويتم حساب قيمة Q_e في العمود رقم (٧) باستخدام المعادلة رقم

(٥، ٧٤) على اعتبار أن قيمة R_e تساوي ١، ٣٧ م.

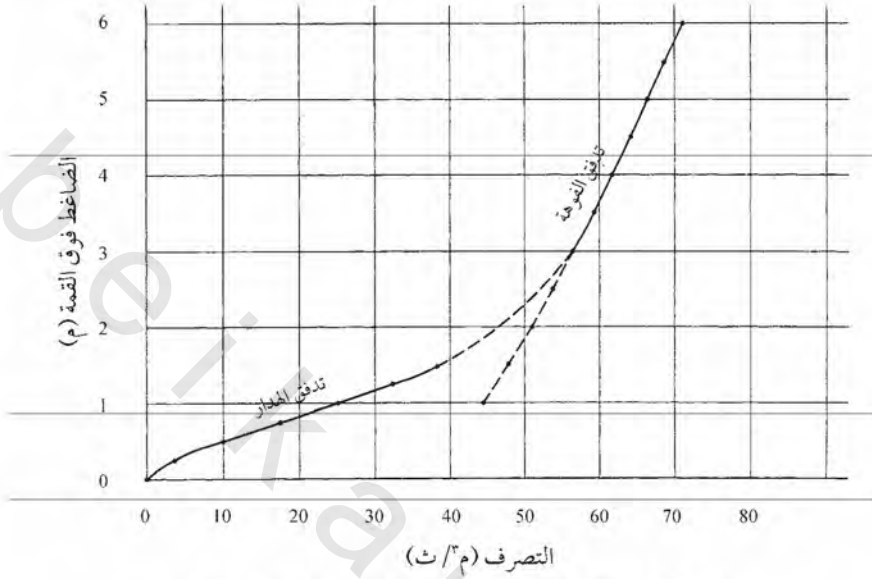
ولقد تم عمل منحنى لتعيين معدل السريان عبر الهدار والفوهة ويتضح ذلك

بالشكل رقم (٥، ٤). ويتضح أن منحنيات سريان الهدار والفوهة تتقاطع عندما يكون

منسوب سطح المياه للخزان يساوي ١٠٠٣، ٠٥ م.

الجدول رقم (١٨، ٥). منحنى معايرة التصريف للهدار والقوة.

(١)	(٢)	(٣)	(٤)	(٥)	(٦)	(٧)
منسوب سطح الماء في الخزان	H	H/R	C	Q	H _٢	السريان خلال الفوهة Q _١
١٠٠٠	صفر	صفر	صفر	صفر	٢,٢٢٣	-
١٠٠٠,٥	٠,٥	٠,٢٣٤٧	٢,١	٩,٩٣٦٥	٢,٧٢٣	-
١٠٠١	١	٠,٤٦٩٥	١,٨٨	٢٥,١٦٠٤	٣,٢٢٣	-
١٠٠١,٥	١,٥	٠,٧٠٤٢	١,٥٥	٣٨,١٠٩١	٣,٧٢٣	-
١٠٠٢	٢	٠,٩٣٩٠	١,١٦	٤٣,٩١٠٠	٤,٢٢٣	٥٠,٩١
١٠٠٢,٥	٢,٥	١,١٧٣٧	٠,٩٥	٥٠,٣٢٨٣	٤,٧٢٣	٥٣,٨٤
١٠٠٣	٣	١,٤٠٨٤	٠,٨١	٥٦,٣٢٨٣	٥,٢٢٣	٥٦,٦٢
١٠٠٣,٥	٣,٥	١,٤٣١٩	٠,٨٠	٥٧,٠٢٩٥	٥,٢٧٣	٥٦,٨٩
١٠٠٣,٥	-	-	-	-	٥,٧٢٣	٥٩,٢٧
١٠٠٤	-	-	-	-	٦,٢٢٣	٦١,٨٠
١٠٠٤,٥	-	-	-	-	٦,٧٢٣	٦٤,٢٤
١٠٠٥	-	-	-	-	٧,٢٢٣	٦٦,٥٨
١٠٠٥,٥	-	-	-	-	٧,٧٢٣	٦٨,٨٥
١٠٠٦	-	-	-	-	٨,٢٢٣	٧١,٠٤



الشكل رقم (٤، ٥). منحنى تصرف قناة تصرف مجد الصباح.

قناة التصريف السيفونية Siphon Sfrillway: وهي تعمل بنفس طريقة السيفون. وهي تتكون من مدخل وقمة وتاج ودرجة (عتبة) ومدخل للهواء لاعتراض أو وقف السيفون عندما يتطلب هذا. وإن هذه المفايض تقوم بتصريف أحجام كبيرة نسبياً من المياه مع عرض ضيق بصورة نسبية للمصطبة. وإن تلك القنوات تكون مناسبة عندما تكون المساحة المتاحة محدودة والتصريف التصميمي صغير. إن التصريف لقنوات السيفون يتضح من معادلة الفوهة التالية (USBR 1978):

$$(٥،٧٧) \quad Q = C A_T \sqrt{(2 g H)} \quad \text{or} \quad q = C D \sqrt{(2 g H)}$$

حيث إن:

$$Q = \text{التصرف التصميمي.}$$

q = التصريف لوحدة العرض للمصطبة.

D = عمق العنق.

A_T = مساحة العنق.

H = الضاغط المتاح بين منسوب سطح المياه بالخزان ومنسوب المياه بالخلف.

C = معامل تصريف الفوهة، يتراوح من ٠,٥٧ إلى ٠,٩٠ اعتماداً على عمق

المياه ونصف قطر المنحنى عند العنق ; (Davis and Sorensen 1970

Zipparro and Hansen 1993).

إن أقصى تصريف يكون محددًا باحتمال وجود تجويفات وتكونها عند العمق بسبب الضغوط تحت الجوية. ويفرض تدفق الدوامة الحر، يتم تقدير التصريف المحدود عن طريق:

$$(٥,٧٨) \quad q_{\max} \leq R_c \sqrt{\{0.7 (2 g h)\}} \ln (R_s / R_c)$$

حيث إن:

R_c = نصف قطر الانحناء عند المصطبة.

R_s = نصف قطر الانحناء عند الذروة.

h = الضغط الجوي بدلالة ارتفاع المياه تحت ظروف التصميم في الموقع.

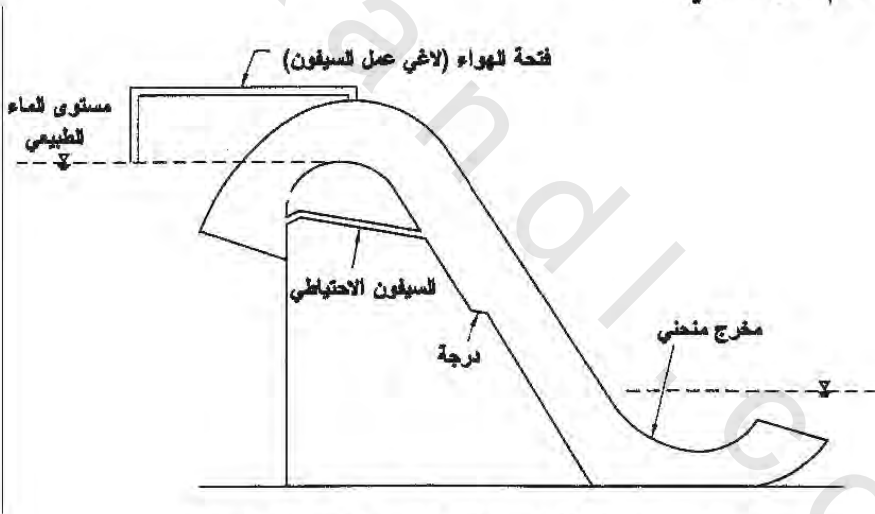
0.7 = المعامل الذي يقدم القيود على الضغط تحت الجوي المسموح به عند العنق.

في قناة تصريف السيْفون، عندما يرتفع منسوب سطح مياه الخزان فوق قمة قناة التصريف، ينساب الماء فوق المصطبة (الشكل رقم ٥,٥). ويبدأ فعل السيْفون وتصبح قناة التصريف في حالة إمداد (أي تبدأ في التدفق التام) وهذا يحدث بعد أن يتم طرد الهواء المحبوس في السيْفون. فيما يلي بعض الأجهزة التي تبدأ أو تسهل عملية التدفق التام:

١- خطوة إلى الحائط الداخلي للجزء السفلي من قناة التصريف نحو المصب للسيفون من أجل تغيير مسار المياه لكي تصطدم بالجدار الخارجي، ويحدث امتلاء لقناة الخروج، ويتم إحكام الجزء السفلي لمنع دخول الهواء من جانب المسار نحو المصب.

٢- سيفون احتياطي أصغر يوضع تقريباً موازياً وأسفل السيفون الأساسي من أجل إخراج كمية صغيرة من المياه لإحكام الجزء السفلي.

٣- مخرج أفقي تقريباً أو مقعر من أجل خلق عمق للمياه عند المخرج كافياً لإحكام الجزء السفلي.



الشكل رقم (٥, ٥). الرسم التخطيطي لقناة تصريف السيفون.

من أجل إلغاء عمل السيفون عند الارتفاع المطلوب، يتم استخدام مخرج للهواء يتكون من قناة منثنية لأسفل متصلة بالسيفون. فتحة الهواء تقع فوق غطاء السيفون بحيث يكون مدخلها أسفل قليلاً من سطح مياه الخزان والمخرج عند المصطبة. وبمجرد أن ترتفع المياه فوق ارتفاع سطح المياه المصمم في الخزان، فإن مخرج

الهواء يتم إحكامه ويمكن أن يحدث السريان. وعندما يقل مستوى المياه أسفل قمة قناة التصريف تصبح فتحة الهواء مكشوفة ويدخل الهواء للسيفون. إن ذلك يؤدي إلى وقف عمل السيفون. وإن الشفة (مدخل أنبوب السيفون) تكون مغمورة أسفل ارتفاع سطح المياه المصمم في الخزان. وإن مخرج السيفون يكون عبارة عن مسار تشتيتي ولكنه ليس من الضروري أن يكون مغموراً أسفل ارتفاع مياه المؤخرة. إن الأبعاد الأولية لقنوات تصريف السيفون كالتالي:

• التاج (المصطبة) تكون أعلى قليلاً من منسوب سطح المياه التصميمي للخزان.

• مدخل مستطيل مساحته A (المدخل) $2-3 A_T \cong$.

• عرض العنق، B_T $2-3 D \cong$.

• نصف قطر المنحني عند المصطبة $R_c = 1.5 D \cong$.

• ونصف قطر المنحني عند الذروة $R_c = 2.5 D \cong$.

• مساحة أنبوب التهوية $A_T/24 \cong$.

أبعاد التصميم النهائي يجب أن يتم تعيينها من اختبارات النموذج الهيدروليكي.

مثال رقم (١٤، ٥): احسب الأبعاد الأولية لقناة تصريف السيفون ذات تصرف تصميمي ٨٥ م^٣/ث وضغط السقوط ٤,٩ م بين المستوى التصميمي لسطح المياه في الخزان ومستوى المياه في المؤخرة. استخدمت بطارية تتكون من ٥ قنوات سيفونية. وإن الضغط الجوي تحت ظروف التصميم يعادل ٩,١٤ م من المياه.

الحل:

Q (لكل قناة واحدة لتصريف السيفون) =

$$85/5 = 17 \text{ m}^3/\text{s}$$

$$H = 4.9 \text{ m} , \quad h = 9.14 \text{ m}$$

$$B_T = 2D , \quad C = 0.6$$

وللتصرف الأولي نفرض إن

ومن المعادلة رقم (٥,٧٧)

$$Q = 17 = 0.6 \times 2D \times D \sqrt{(2 \times 9.81 \times 4.9)}$$

وحيث

$$D = 1.2 \text{ m} , \quad B_T = 2 \times 1.2 = 2.4 \text{ m}$$

و

$$A_T = 2.88 \text{ m}^2$$

$$q = Q/B_T = 17/2.4 = 7.08 \text{ m}^2/\text{s}$$

$$R_c = 1.5 \times 1.2 = 1.8 \text{ m}$$

و

$$R_g = 2.5 \times 1.2 = 3.0 \text{ m}$$

وباستخدام المعادلة رقم (٥,٧٨)

$$q_{\max} = 1.8 \sqrt{\{0.7(2 \times 9.81 \times 9.14)\}} \ln(3.0/1.8) = 10.3 \text{ m}^2/\text{s} > 7.08 \text{ m}^2/\text{s}$$

وبالتالي تكون قيمة $D = 1.2 \text{ m}$ مناسبة

مساحة المدخل

$$A(\text{inlet}) = 2.5 A_T = 2.5 \times 2.88 = 7.2 \text{ m}^2$$

استخدم نفس المساحة عند مخرج المسار نحو المصب الذي يعمل على التثبيت عند

المدخل

$$A(\text{vent pipe}) = A_T/24 = 2.88/24 = 0.12 \text{ m}^2$$

أي أن مساحة قناة التنفيث = ٠,١٢ م^٢. أو قطر نفث الهواء = ٠,٣٩ م.

قم بعمل درجة في الجدار الداخلي للجزء السفلي للمسار نحو المصب للسيفون كجهاز

للسريان.

قناة التصريف المتدرجة Stepped Spillway: قناة التصريف المتدرجة تصمم ليكون لها قمة مستدقة الرأس (بذروة) مع وجه للمسار نحو المصب يتكون من عدة درجات رأسية من أجل الحصول على أقصى تشتيت للطاقة. ومن أجل تكامل البناء، تكون قناة التصريف المتدرجة مناسبة بشكل خاص للسدود الخرسانية المضغوطة الدوارة. ويمكن تقسيم التدفق فوق المفايض المتدرجة إلى أنظمة تدفق مغترب وأنظمة تدفق كشاشة (Chanson 1994). ويتميز التدفق المغترب بتعاقب الانبثاقات حرة السقوط التي ترتطم على الدرجة التالية متبوعة بقفزة متطورة جزئياً أو كلياً. ويحدث نظام التدفق المغترب على قناة تصريف مسطحة نسبياً ذات الدرجات الكبيرة والتصرفات الصغيرة. وفي نظام تدفق الشاشة، يتدفق الماء كمجرى مائي متماسك يكشط فوق الدرجات. ومن ناحية أخرى، ففي حالة السدود الكبيرة، يمكن أن يشتت تدفق الشاشة طاقة أكثر من التدفق المغترب. ولعمل التصميمات الأولية، فإن فواقد الطاقة للمفايض المتدرجة التي لا تحتوي على بوابات يمكن تقديرها عن طريق التالي (Chanson 1994):

١- التدفق المغترب:

$$\Delta H / H_{\max} = 1 - \left\{ \left[0.54 (d_c/h)^{0.275} + 1.715 (d_c/h)^{-0.55} \right] / \left[1.5 + H_{\text{dam}}/d_c \right] \right\} \quad (٥,٧٩)$$

٢- تدفق الشاشة:

$$\Delta H / H_{\max} = 1 - \left\{ \left[(f/8 \sin \theta)^{1/3} \cos \theta + 0.5 (f/8 \sin \theta)^{-2/3} \right] / \left[2/3 + H_{\text{dam}}/d_c \right] \right\} \quad (٥,٨٠)$$

حيث إن:

H_{dam} = ارتفاع قمة قناة التصريف فوق نقطة الارتكاز.

$$d_c = \text{العمق الحرج} = (q^2/g)^{1/3}.$$

q = تصرف قناة التصريف لكل وحدة طول من المصبطة.

$$H_{\max} = H_{\text{dam}} + 1.5 d_c$$

h = ارتفاع الدرجة الواحدة.

ΔH = الفاقد في الضاغط (أي الفرق بين H_{\max} والضاغط الخلفي عند قاع قناة التصريف).

f = معامل الاحتكاك للسريان فوق الدرجات الذي يتغير من ٠,٥ إلى ٤، والقيمة المتوسطة تساوي ١,٣.

θ = زاوية ميل قناة التصريف مع الخط الأفقي.

من المقرر أن يحدث تدفق الكشافة عندما تكون قيمة (d_c/h) أكبر من ٠,٨ تقريباً، بينما يحدث التدفق المغترب عندما تكون قيمة (d_c/h) أقل من ٠,٨ تقريباً (Chamani and Rajaratnam 1994). وفي حالة قناة التصريف المتدرجة فإن فاقد الطاقة في نظام التدفق المغترب يتم تقديره من خلال المعادلة التالية:

$$\Delta E/E_0 = \Delta H/H_{\max} = 1 - \frac{\{(1-\alpha)^N [1 + 1.5 (d_c/h)] + \sum (1-\alpha)^i\}}{\{N + 1.5 (d_c/h)\}} \quad (٥,٨١)$$

حيث إن:

N = عدد الدرجات.

E_0 = الطاقة الكلية.

ΔE = الفقد في الطاقة لقناة التصريف المتدرجة (أي الفرق بين E_0 والطاقة المتبقية عند طرف قناة التصريف المتدرجة).

\sum = رمز للمجموع من $i = 1$ إلى $i = N - 1$

$$\alpha = a - b \log (d_c / h)$$

$$a = 0.30 - 0.35 (h / l)$$

$$b = 0.54 + 0.27 (h / l)$$

حيث إن:

$$l = \text{طول الدرجة.}$$

سرعات الطرف (نقطة الارتكاز) التقريبية في قناة التصريف المتدرجة وغير المتدرجة موضحة في الجدول رقم (٥، ١٩) (Sorensen 1985; Campbell and Johnson 1984).

الأبعاد الأولية للمفايض المتدرجة في حالة سد ستيل ووتر العلوي في ولاية يوتا (Young 1982) وسد مونكسفيل في ولاية نيوجيرسي (Sorensen 1985) موضحة في الجدول رقم (٥، ٢٠). ويمكن أن تكون تلك الأبعاد إرشاداً لتقدير الأبعاد الأولية في حالة المفايض المتدرجة الشبيهة بها. ويجب أن تتم أبعاد التصميم النهائية عن طريق تجارب النموذج لأحوال وظروف الموقع المحددة.

الجدول رقم (٥، ١٩). سرعات الطرف (الارتكاز) للمفايض المتدرجة وغير المتدرجة.

سرعة الطرف (م/ث)		تصريف قناة التصريف
المفايض غير المتدرجة	المفايض المتدرجة	(م ^٣ /ث)
١٦,٨ ≤	٤,٦	١,٩
٢٠,٧ ≤	٧,٤	٤,٦
٢٢,٦ ≤	٩,١	٧,٤
٢٢,٩ ≤	١١,٣	٩,٣
٢٤,٤ ≤	١٢,٢	١٣,٩

المصدر: (Sorensen 1985) ; Campbell and Johnson (1984).

الجدول رقم (٥,٢٠). الأبعاد الأولية للمفايض (قنوات التصريف) المتدرجة.

المتغير	المياه الساكنة بالسد يوتا (Young 1982)	سد مونكسفيل نيو جيرسي (Sorensen 1985)
ارتفاع قناة التصريف (م)	٦١	٣٦,٦ - ٢٧,٤
عرض قناة التصريف (م)	١٨٣	٦١
الضاغط التصميمي فوق المصطبة (م)	١,٠٧	٢,٦
التصرف التصميمي (م ^٣ /ث)	٢,٣٩	٩,٣
ميل سطح الماء بقناة التصريف	٠,٦ أفقي: ١ رأسي ^٥	٠,٧٨ أفقي: ١ رأسي
ارتفاع الدرجات (م)	٠,٦١	٥٠,٦١
طول الدرجات (م)	٠,٣٧	٥٠,٤٨
شكل المصطبة	الشكل المغرب	الشكل مستدق الرأس
	(المنحني) حتى ٦,١ م أسفل المصطبة	قرب المصطبة
السرعة عند الطرف (م/ث)	١١ - ٨	٩,٢
$\Delta E/E_0$	٠,٧٥	-
طول الحوض الثابت (م)	٧,٦ (تقريباً نصف الحوض الثابت التقليدي)	-

a: ميل قناة التصريف ٠,٣٢ أفقي: ١ رأسي حتى ١٥,٨ م أسفل الجزء المنحني.

b: ارتفاع الدرجة = ٠,٤٦ م، طول الدرجة ٠,٣٦ م، وارتفاع الدرجة = ٠,٣٠ م، طول الدرجة =

٠,٢٤ م ضمن الجزء مستدق الرأس قرب المصطبة.

المصدر: (1985) Sorensen ; (1982) Young .

مثال رقم (٥, ١٥): احسب الفاقد في الضاغط في قناة تصريف متدرجة بدون بوابة تحت ظروف التدفق المعترب مع اعتبار h تساوي ٠,٦١ م، l تساوي ٠,٤٨ م، d_e تساوي ٠,١٨ م، و H_{dam} تساوي ٢٧,٤ م.

الحل:

لهذا المثال إن

$$h/l = 0.61/0.48 = 1.27$$

و

$$d_e/h = 0.18/0.61 = 0.295$$

ويستخدم المعادلة رقم (٥, ٧٩)

$$\Delta H/H_{max} = 1 - \left\{ \left[0.54 (0.295)^{0.275} + 1.715 (0.295)^{-0.55} \right] / [1.5 + 27.4/0.18] \right\}$$

$$= 1 - \left[(0.386 + 3.356) / (1.5 + 152.22) \right] = 0.976 \text{ or } 97.6\%$$

قنوات تصريف المتاهة والمقايض ذات المدخل شبه الدائري أو مزدوج الجانب:

Labyrinth Spillways and Spillways with Semicircular or Double-Sided Entry

وهي قنوات تصريف لولبية الشكل (أو المنطوية) على السطح وبذلك يكون هناك طول قمة كبير متاح في مساحة محددة من موقع قناة التصريف. ويكون طول المصطبة من ثلاث إلى خمس مرات من العرض المتاح، وتكون سعة التصريف ضعف هذا التصريف الخاص بقمة الفيضان القياسي الذي يوجد في نفس العرض المتاح. وتشكل المتاهة عن طريق سلسلة من الجدران العمودية على سطح منبع التدفق للمجرى المائي والمائلة على سطح مصب التدفق للمجرى المائي. ويمكن أن يكون ميل سطح مصب التدفق للمجرى المائي من ١ أفقي: ١٠ رأسي إلى ١ أفقي: ١٦ رأسي. وتكون هذه القنوات مناسبة في المواقع التي تكون فيها المساحة المتاحة غير

كافية لوضع الطول الكلي من قناة التصريف بسبب القيود الطبوغرافية (التضاريسية) أو العناصر الإنشائية للمباني الموجودة. وبشكل عام، تستخدم على أنها قنوات تصريف خدمة غير مبوبة أو قنوات تصريف احتياطية للخزانات أو كسدود تحكم أو تفريق صغيرة في القنوات. ويكون الأداء الهيدروليكي لقنوات تصريف المتاهة معقداً بعض الشيء ويعتمد على طول المصطبة لكل دائرة، وعدد الدوائر التي تكوّن الشكل المشرشر، وارتفاع المصطبة، وزاوية المتاهة مع التدفق، والضغوط فوق المصطبة، وشكل المصطبة، وسمك الجدار، وتضاريس المصطبة. ويجب أن يكتمل التصميم عن طريق النموذج الهيدروليكي (الفيزيائي).

يمكن تقدير الأبعاد الأولية لقناة تصريف المتاهة باستخدام المعادلات العملية اعتماداً على تجارب النموذج (الشكل رقم ٥,٦). وواحدة من هذه المعادلات تعطى التالي (Tullis et al. 1995):

سمك الجدار =

$$t = P / 6$$

والعرض الداخلي عند المصطبة =

$$A = t \text{ to } 2 t$$

والعرض الخارجي عند المصطبة =

$$D = A + 2 t \tan (45 - \alpha/2)$$

وطول المصطبة الفعال =

$$L = 1.5 Q / \left[C_a h^{1.5} \sqrt{(2 g)} \right]$$

وطول المنحدر الموازي للتدفق = طول المتاهة =

$$B = \left[\{ L / 2N \} + t \tan (45 - \alpha/2) \right] \cos \alpha + t$$

والطول الفعلي لقائمة الجانب =

$$L_1 = (B - t) / \cos \alpha$$

والطول الفعال لقائمة الجانب =

$$L_2 = L_1 - t \tan (45 - \alpha/2)$$

والطول الكلي للجدران =

$$L_3 = N (2L_1 + D + A)$$

والمسافة بين الدوائر =

$$\omega = 2L_1 \sin \alpha + A + D$$

وعرض المتاهة (عمودياً على التدفق) =

$$W = N \omega$$

وطول السد الخطى المكافئ لنفس التدفق =

$$1.5Q / [C_L H^{1.5} \sqrt{(2g)}]$$

ونسبة المسافة بين الدوائر إلى طول المصطبة =

$$\omega / P \cong 3 \text{ to } 4$$

حيث إن:

P = ارتفاع قناة التصريف فوق أرضية مصعد المجرى المائي.

H = الضاغط الكلي فوق المصطبة.

$N [2L_1 + A + D]$ = طول المصطبة الكلي.

N = عدد الدوائر.

W = العرض المستقيم بين الأكتاف.

α = زاوية المتاهة.

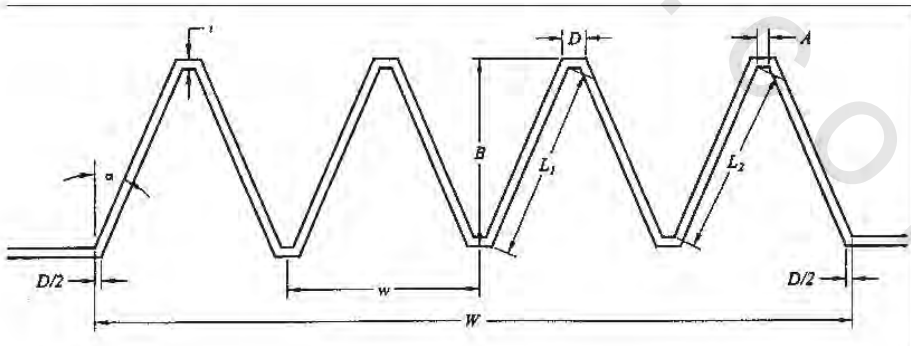
C_L = معامل التصرف للفيضان الخطي في السد الصغير المتراوح من حوالي 0.61

في حالة $H/P = 0.1$ ، إلى 0.76 في حالة $H/P = 0.9$.

المعادلات العملية لتقدير معامل التصرف C_d للقمم المستديرة هي كما يلي:

- $C_d = 0.49 - 0.24 (H/P) - 1.20 (H/P)^2 + 2.17 (H/P)^3 - 1.03 (H/P)^4$
for $\alpha = 6^\circ$
- $C_d = 0.49 - 1.08 (H/P) - 5.27 (H/P)^2 + 6.79 (H/P)^3 - 3.83 (H/P)^4$
for $\alpha = 8^\circ$
- $C_d = 0.49 + 1.06 (H/P) - 4.43 (H/P)^2 + 5.18 (H/P)^3 - 1.97 (H/P)^4$
for $\alpha = 12^\circ$
- $C_d = 0.49 + 1.00 (H/P) - 3.57 (H/P)^2 + 3.82 (H/P)^3 - 1.38 (H/P)^4$
for $\alpha = 15^\circ$
- $C_d = 0.49 + 1.32 (H/P) - 4.13 (H/P)^2 + 4.24 (H/P)^3 - 1.50 (H/P)^4$
for $\alpha = 18^\circ$

تقوم أبعاد التصميم على المتاهة مع كون ميول منبع ومصب تدفق المجرى المائي أفقية على نفس الارتفاع بفرض أن قناة مصب التدفق للمجرى المائي لها ميل فوق حرج.



الشكل رقم (٥, ٦). شكل سطح أربعة دوائر من قناة تصريف المتاهة.

مثال رقم (٥, ١٦): استتج الأبعاد الأولية لقناة تصريف المتاهة لتصريف تصميمي مقداره ١٥٣٨ م^٣/ث، والضغوط فوق المصطبة ١,٩٧٥ م، وعدد الدوائر ١٣، وارتفاع المصطبة P يساوي ٣,٠٥ م، وزاوية قوائم الجانب $\alpha = 8^\circ$. هذا المثال مأخوذ من Tullis et al. (1995).

الحل:

$$H = 1.975 \text{ m}, \quad H/P = 0.648, \quad t = P/6 = 0.508 \text{ m}$$

$$A \cong 0.95 \text{ m}, \quad D = 0.95 + 2 \times 0.508 \tan 41^\circ = 1.83 \text{ m}$$

$$C_d = 0.49 + 1.08 (0.648) - 5.27 (0.648)^2 + 6.97 (0.648)^3 - 2.83 (0.648)^4 = 0.3255$$

$$L = 1.5 \times 1538 / \left[0.3255 \times 1.975^{1.5} \sqrt{(2 \times 9.81)} \right] = 576.5 \text{ m}$$

$$B = \left[\{ 576.5 / (2 \times 13) \} + 0.508 \tan 41^\circ \right] \cos 8^\circ + 0.508 = 22.90 \text{ m}$$

$$L_1 = (22.90 - 0.508) / \cos 8^\circ = 22.61 \text{ m}$$

$$L_2 = 22.61 - 0.508 \tan 41^\circ = 22.17 \text{ m}$$

$$L_3 = 13 [2 \times 22.61 + 1.83 + 0.95] = 624 \text{ m}$$

$$\omega = 2 \times 22.61 \sin 8^\circ + 0.95 + 1.83 = 9.07 \text{ m}$$

$$W = 13 \times 9.07 = 118 \text{ m}$$

$$\omega/P = 9.07/3.05 \cong 2.97$$

وطول قناة تصريف الفيضان الخطي لنفس التدفق (مع $C_L = 0.76$):

$$1.5 \times 1538 / \left[0.76 \times 1.975^{1.5} \sqrt{(2 \times 9.81)} \right] = 247 \text{ m}$$

أحواض الترسيب وأجهزة تشتيت الطاقة

Stilling Basins and Energy Dissipation Devices

أحواض هي أجهزة تستخدم لتشتيت الطاقة الحركية للمياه الساقطة عند طرف قناة التصريف لكي تقلل من احتمالية الانجراف قبل أن تصل إلى مهبط القناة.

وتكون المنحنيات البيانية التجريبية متاحة لتقدير السرعات عند طرف المفايض مع ميول أسطح مصب القناة من ٠,٦ أفقي: ١ رأسي إلى ٠,٨ أفقي: ١ رأسي (Peterka 1978; Chow 1959). وبالتبادل، يمكن تقدير سرعات الطرف عن طريق:

$$V = C\sqrt{2g(Z - H/2)} \quad (٥,٨٢)$$

حيث إن:

V = سرعة الطرف (م/ث).

Z = السقوط من منسوب سطح مياه الخزان إلى طرف قناة التصريف (م).

H = الضاغط فوق قمة قناة التصريف (م).

C = معامل الاحتكاك والفواقد الأخرى على امتداد سطح قناة التصريف أو نسبة السرعة الفعلية إلى السرعة النظرية.

إن قيم C لقيم Z و H المختلفة يمكن الحصول عليها من المنحنيات البيانية سالفة الذكر (Peterka 1978). وإن سرعات الطرف للسقوط والضواغط المختارة فوق قمة قناة التصريف موضحة في الجدول رقم (٣, ١٣).

في المجال العملي، فإن تصاميم أحواض الترسيب يجب أن يتم إنهاؤه عن طريق اختبارات النماذج الهيدروليكية. وبناءً على اختبارات النماذج الهيدروليكية، فقد تم تطوير أنواع عديدة من أحواض الترسيب لظروف تدفق مختلفة. وقد قامت هيئة المحافظة على التربة بتطوير أحواض الترسيب الخاصة بمساقط سان أنطوني (SAF) للاستخدام في أبنية الصرف الصغيرة حيث إن أرقام فرود (F) تتغير من 1.7 إلى 12، التي يمكن ألا تبرر دراسات النموذج الهيدروليكي الفردي (UADA 1959). وأحواض الترسيب في مساقط سان أنطوني SAF تشمل حواجز الشلال، وسناد

طرفي، وأرضية مستوية. وأبعاد العناصر المتعددة من أحواض الترسيب لمساقط سان أنطوني SAF هي:

$$(١٥,٨٣) \quad F = V_1 / \sqrt{(gy_1)}$$

L_B = طول الحوض

$$(٥٥,٨٣) \quad L_B = 4.5 y_2 / F^{0.76}$$

ارتفاع حواجز الشلال y_1

$$(ج٥,٨٣) \quad \text{Heigh of chute blocks} = y_1$$

عرض حواجز الشلال $3 y_1 / 4$

$$(د٥,٨٣) \quad \text{Width of chute blocks} = 3 y_1 / 4$$

المسافة بين حواجز الشلال $3 y_1 / 4$

$$(ه٥,٨٣) \quad \text{Spacing of chute blocks} = 3 y_1 / 4$$

مسافة الحواجز الأرضية من نهاية مصعد الحوض الساكن $L_B / 3$

Distance of floor blocks from upstream end of silling basin $= y_B / 3$

$$(و٥,٨٣)$$

ارتفاع الحواجز الأرضية y_1

$$(ز٥,٨٣) \quad \text{Heigh of floor blocks} = y_1$$

عرض الحواجز الأرضية $3 y_1 / 4$

$$(ح٥,٨٣) \quad \text{Width of floor blocks} = 3 y_1 / 4$$

المسافة بين الحواجز الأرضية $3 y_1 / 4$

$$(ط٥,٨٣) \quad \text{Spacing of floor blocks} = 3 y_1 / 4$$

ارتفاع سناد الطرف $0.07 y_2$

(ك٥,٨٣)

$$\text{Heigh of end sill} = 0.07 y_2$$

حيث إن:

$$V_1 = \text{السرعة قبل القفزة.}$$

$$y_1 = \text{عمق المياه قبل القفزة.}$$

$$y_2 = \text{عمق المياه التبادلي أو المتتابع بعد القفزة.}$$

ويتم وضع الحواجز الأرضية في نمط متعرج بالنسبة لحواجز الشلال وهي مربعة السطح مع أسطح المصب والمنبع الرأسية، أو مع أسطح المصب المائلة وأسطح المنبع الرأسية.

ويمكن تقدير ارتفاع الماء المنصرف (مياه المؤخرة) أو عمقها في مصب القناة للحوض الساكن باستخدام حسابات القطاع الجانبي لسطح المياه لتصرف التصميم (USACE 1991c, 1998).

مثال رقم (٥, ١٧): استتج الأبعاد التمهيدية لحوض مساقط سان أنطوني الساكن لقناة تصريف، إذا علمت إن $Z = 9.2$ م و $H = 1.6$ م، ومعامل التصريف لقمة مستدقة الرأس $= 2.22$. ويتكون قاع النهر من رمال ناعمة $d_{50} = 0.30$ مم ومنسوب مياه التصميم المنصرفة (المياه الخلفية) هو 1.0 م.

الحل:

$$q = 2.22 (1.6)^{1.5} = 4.5 \text{ m}^2/\text{s}$$

ومن الجدول رقم (٣, ١٣)، سرعة الطرف = السرعة قبل القفزة =

$$V_1 \cong 12 \text{ m/s}$$

$$y_1 = 4.5/12 = 0.375 \text{ m}$$

$$F = \left[12 / \sqrt{(9.81 \times 0.375)} \right] = 6.26$$

$$y_2 (0.375/2) \left[\sqrt{\{1+8 \times 6.26^2\}} - 1 \right] = 3.138 \text{ m}$$

لتعليل بعض الانخفاض في ارتفاع الماء الخلفي (المتصرف) الناتج عن الانجراف في قناة المصب، نضع أرضية الخوض الساكن حوالي ٣,٧٥ م أسفل منسوب الماء الخلفي أو على منسوب ٩٦,٢٥ م.
طول أرضية الخوض:

$$L_B = (4.5 \times 3.138) / (6.26^{0.76}) = 3.5 \text{ m}$$

ارتفاع حواجز الشلال = ارتفاع حواجز الأرضية = ٠,٣٧٥ م.
وعرض والمسافة بين حواجز الشلال والحواجز الأرضية =

$$3 \times 0.375 / 4 = 0.28 \text{ m}$$

ومسافة الحواجز الأرضية من حافة منبع الخوض الساكن =

$$3.5 / 3 = 1.17 \text{ m}$$

وارتفاع سناد الطرف =

$$0.07 \times 3.138 = 0.22 \text{ m}$$

عامل لاسي للظمي =

$$1.76 \sqrt{0.30} = 0.96$$

وعمق الانجراف المحتمل أسفل ارتفاع الماء المتصرف (المياه في الخلف) =

$$2.0 \times R = 2.0 \times 1.337 (4.5^2 / 0.96)^{1/3} = 7.39 \text{ m}$$

(انظر المعادلة رقم ٥,٢٤ ب).

قم بعمل قطع في الركيزة المستعرضة بحوالي ٧,٥ م أسفل ارتفاع الماء المتصرف عند نهاية الخوض الساكن.

يجب التحقق من سمك أرضية الحوض الساكن حتى تكون آمنة ضد ضغوط الأحمال العليا.

وقد قامت USBR بتطوير أحواض ساكنة متعددة يمكن تطبيقها في ظروف هيدروليكية مختلفة (Peterka 1978):

١- الحوض I هو أبسط حوض ساكن أولي مع أرضية مسطحة طولها يساوي طول القفزة. ويمكن تقدير طول القفزة، L ، لقيم F المختلفة من الجدول رقم (٣، ١٥). وهذا الحوض ليس له أي ملحقات ولهذا يكون طول الحوض المطلوب كبيراً نسبياً.

٢- الحوض II تم اختياره لقيم F من ١، ٤ إلى ١٤، ٣٨. وهو يشمل حواجز شلال ارتفاعها وعرضها وتباعدها يساوي y_1 وسناد مسنن ارتفاعه $0.2 y_2$ عند طرف الحوض، ولكن ليس له حواجز أرضية. وعرض والمسافات بين التسننات $0.15 y_2$. ويتم ضبط ارتفاع أرضية الحوض لاستخدام عمق الماء الخلفي التبادلي زائد عامل سلامة إضافي. ويمكن للتقريب وضع طول للحوض عند عمق $1.05 y_2$ أسفل منسوب ماء التصميم الخلفي (المتصرف). ويمكن استنباط طول الحوض من الجدول رقم (٥، ٢١). ويتم تصميم الحوض باستخدام المنحنيات البيانية التجريبية التي تم تطويرها اعتماداً على اختبارات النموذج الهيدروليكي وتكون مناسبة للسدود المرتفعة والمفيض العالية حتى ٦١ م في الارتفاع ولتدفقات حتى $٤٦، ٤ \text{ م}^3/\text{ث}$ لكل متر عرضي من الحوض.

الجدول رقم (٥,٢١). طول أحواض الترسيب II و III.

F	L/y ₂ (II الحوض)	L/y ₂ (III الحوض)
٤	٣,٦	-
٤,٢٥	٣,٧٨	٢,٢
٦	٤	٢,٤٨
٨	٤,٢	٢,٦٤
١٠	٤,٣٥	٢,٧٥
١٢	٤,٣٨	٢,٧٨
١٤	٤,٣٦	٢,٧٨
١٤,٢٥	٤,٣٢	٢,٧٨
١٦	-	٢,٧٥

المصدر: (1978) Peterka.

مثال رقم ٥,١٨: استنتج الأبعاد الأولية لحوض USBR الساكن لقناة تصريف، حيث $Z = ٤٠$ م (من منسوب سطح مياه منبع التدفق إلى قاع نهر المخرج)، $H = ٥,٤$ م، ومنسوب الماء المتصرف ١٠٠ م، ومعامل تصرف قناة التصريف $٢,٢٣$.

الحل:

$$q = 2.23 (5.4)^{1.5} = 28 \text{ m}^2/\text{s}$$

ومن الجدول رقم (٣,١٣)، سرعة الطرف:

$$V_1 \cong 22 \text{ m/s}$$

و

$$y_1 = 28/22 = 1.27 \text{ m}$$

$$F = \left[22 / \sqrt{(9.81 \times 1.27)} \right] = 6.233$$

$$x y_2 = (1.27/2) \left[\sqrt{\{1+8 \times 6.233^2\}} - 1 \right] = 10.58 \text{ m}$$

ولتعليل بعض الانخفاض في منسوب الماء المتصرف الناتج عن الانجراف في قناة المصب، ضع أرضية الحوض الساكن حوالي ١٢ م أسفل منسوب الماء الخلفي أو على منسوب ٨٨ م.

ومن الجدول رقم (٥، ٢١):

$$L/y_2 = 4.1$$

وطول الحوض =

$$L = 43.4 \text{ m}$$

وارتفاع حواجز الشلال = عرض حواجز الشلال =

$$y_1 = 1.27 \text{ m}$$

وارتفاع السناد المسنن =

$$0.2 y_2 = 1.12 \text{ m}$$

وعرض السناد المسنن = المسافات البينية =

$$1.5 y_2 = 1.59 \text{ m}$$

إذا وجد أن منسوب أرضية الحوض (٨٨ م) أسفل كثيراً من قاع النهر عند المخرج، فإن السقوط الكلي، Z ، من منسوب سطح مياه منبع النهر إلى أرضية الحوض يمكن أن يكون أكبر من ٤٠ م، والسرعة، V_1 ، المقدرة من الجدول رقم (٣، ١٣) يمكن أن تكون أكبر من ٢٢ م/ث. وفي هذه الحالة، يمكن إعادة الحسابات مع القيمة المعدلة من Z . ويمكن تقدير عمق الركيزة المستعرضة وسمك أرضية الحوض كما هو موضح مسبقاً.

٣- الحوض III هو حوض ساكن قصير لأبنية القناة، وأعمال المخارج

الصغيرة، والمفايض الصغيرة، وقد تم إثبات فاعليتها في حالة قيم F أكبر من ٤.٥.

وهو يشمل حواجز الشلال، وحواجز الأرضية، وسناد طرفي. ويكون ارتفاع وعرض وتباعد حواجز الشلال مساوية لـ y_1 ، ما عدا أن ارتفاع حواجز الشلال لا يجب أن تكون أقل من ٢,٠ م. ويمكن أخذ قيم ارتفاع العارضات h_B ، والسناد الطرفي h_s من الجدول رقم (٥,٢٢). ويجب وضع سطح مصعد حواجز العارضات عند مسافة $0.8 y_2$ من سطح مهبط حواجز الشلال، وميول سطح مهبط هذه الحواجز ١ أفقي: ١ رأسي، ويكون سطح منبع التدفق رأسياً، والقطاع العرضي شبه منحرف مع اتساع المصطبة على امتداد اتجاه التدفق يساوي ٢,٠ مرة من الارتفاع. ويتم الوصول للأبعاد النهائية للحوض باستخدام المنحنيات البيانية التجريبية التي تم تطويرها اعتماداً على اختبارات النموذج الهيدروليكي.

الجدول رقم (٥,٢٢). ارتفاعات حواجز العارضات والسناد الطرفي لحوض III.

h_s/y_1	h_B/y_1	F
١,٢	١,٢٥	٤
١,٣٥	١,٦	٦
١,٤٥	١,٩٥	٨
١,٥٥	٢,٣	١٠
١,٦٥	٢,٦	١٢
١,٨	٢,٩٥	١٤
١,٩	٣,٣	١٦
١,٩٥	٣,٤٥	١٧
٢,٠	—	١٨

٤- حوض IV يكون مناسباً لأبنية القناة، أو سدود التحويل، أو حالات السقوط الصغيرة مع قيم F بين ٢,٥ و ٤,٥ ويمكن تطبيقه على القطاعات العرضية فقط. وهو يشمل حواجز الشلال وسناد طرفي لكن لا يوجد حواجز عارضات. وتصميم الحوض هذا يقلل ارتفاع الموجات المتكونة في القفزات غير التامة أو غير المناسبة.

٥- حوض V له مئزر مائل. وإذا كان عمق المياه المتصرفة المتاح ملائماً، يتم تقرير المئزر الأفقي والمائل تبعاً للأداء الجيد المساوي لقيم الارتفاع F . خطوات التصميم التمهيدي لحوض V هي كما يلي:

(أ) اختر تركيباً مناسباً للمئزر المائل.

(ب) ضع المئزر حتى تكون مقدمة القفزة عند نهاية ميل منبع التدفق للتصرف الأقصى أو للتصرف التصميمي وارتفاع الماء المتصرف المناظر باستخدام البيانات من المنحنيات البيانية التجريبية المنشورة (Peterka 1978). ويمكن أن يكون من الضروري رفع أو خفض المئزر أو تغيير ميله بعد محاولات عديدة.

(ج) احصل على طول القفزة L_f ، للتصرف التصميمي من القيم الجدولية (Peterka 1978) واختر طول مئزر مساوي لطول القفزة. ويمكن إضافة مئزر أفقي صغير عند نهاية المئزر المائل.

(د) قم بعمل سناد طرفي مستطيل بارتفاع بين $0.05 y_2$ و $0.10 y_2$ وميل سطح المنبع بين ٢ أفقي: ١ رأسي و ٣ أفقي: ١ رأسي.

في حالة المفايض العالية التي لها تصرف تصميم يتجاوز $٤٦ \text{ م}^3/\text{ث}$ ، فإنه يجب القيام بدراسة النموذج الهيدروليكي.

العمق والطول التبادلي للقفزة يمكن أن يتم تقديرهما من الجدول رقم (٥,٢٣) أو من المنحنيات البيانية المنشورة (Peterka 1978).

٦- حوض VI وهو عبارة عن مشئت طاقة بالتصادم المحتوي في بناء صندوقي الشكل صغير نسبياً، والذي لا يتطلب ماء متصرف لنجاح الأداء. وهو يستخدم بشكل شائع لمخارج الأنبوب. ويتم اختيار أبعاد التصميم للحوض من القيم الجدولية اعتماداً على تجارب النموذج (Peterka 1978).

الجدول رقم (٥,٢٣). الأحمال التبادلية وطول القفزة على المنزلة المائل.

ميل المنزلة ٥ أفقي: ١ رأسي		ميل المنزلة ٤ أفقي: ١ رأسي		ميل المنزلة ٣ أفقي: ١ رأسي		F
L/y_2	y_2/y_1	L/y_2	y_2/y_1	L/y_2	y_2/y_1	
-	٦,٨	٢,٢	٥,٥	٢,٥٥	٤,٨	٢
-	١٤	٢,٨	١٢	٣,١٥	١٠	٤
-	٢٢	٢,٩٥	١٨,٥	٣,٣٨	١٥,٦	٦
-	٣٠	٣	٢٥	٣,٤	٢١	٨
-	-	-	-	٣,٤	٢٦,٥	١٠

- توضح أن نتائج الاختبار غير متاحة.

المصدر: (Peterka 1978) ; Chow (1959).

٧- حوض VII يشمل حيز ضيق ودلو مصمت لأجل قنوات تصريف السد العالية والمتوسطة والمنخفضة. ويتم اختيار أبعاد تصميم الحوض من القيم الجدولية اعتماداً على تجارب النموذج (Peterka 1978).

٨- حوض VIII يستخدم لتشيت طاقة مهبط صمامات ثقب النافورة.

٩- حوض IX يكون مناسباً للقنوات أو حالات سقوط قناة التصريف حتى وحدة تصرف ٥,٦ م^٣/ث لكل متر عرضي من الشلال. وهو يشمل شلالاً على ميل ٢ أفقي: ١ رأسي أو أكثر انبساطاً لتتم السقوط في قاع القناة. ويتم وضع الحواجز المتعرجة على الميل لتشتيت الطاقة. وخطوات حساب الأبعاد الأولية للحوض هي كما يلي:

(أ) قم بعمل سناد قصير عند حافة ميل منبع التدفق لتكوين بحيرة ساكنة.

وارتفاع السناد يمكن أن يكون حوالي ٠,٦١ م.

(ب) استنتج $y_e = (q^2 / g)^{1/3}$ حيث $q = Q/B$ و $Q =$ التصريف التصميمي و $B =$ عرض الشلال.

(ج) قم بعمل حواجز العارضات بارتفاع $H = 0.5 y_e$ وعرض الحواجز = التباعد $= 1.5 H$. ويجب وضع الحواجز الجزئية التي عرضها يساوي من $1/3 H$ إلى $2/3 H$ مقابل جدار واحد في صفوف ١ و ٣ و ٥ و ٧، ... إلخ، ومقابل الجدار الآخر في صفوف ٢ و ٤ و ٦ و ٨، ... إلخ. والمسافة بين الصفوف المتجاورة لحواجز الشلال يجب أن تساوي $2 H$. ويمكن وضع الحواجز عند أسطح منبع التدفق عمودي على سطح الشلال أو مع الأسطح الرأسية.

(د) يجب وضع الحماية من الانجراف عند نهاية مصب الشلال.

١٠- حوض X يقصد به قنوات تصريف الأنفاق لكنه يستخدم أيضاً للشلالات المفتوحة. وهو يتكون من دلو مقلوب عند نهاية مصب النفق، أو شلال، أو سطح قناة تصريف. وتعرف أحواض الترسيب من هذا النوع بقفزة الزلاجة، متغيرة المسار، غير المركزة، المقلوبة، أو دلو المسار المنحني ويمكن تطبيقها لقيم F

تتراوح من ٦,٨ إلى ١٠,٣. ويختلف انحدار الدلو المقلوب من حوالي ١٥° إلى ٣٥° مع الأفقي. ويجب أن يكون نصف قطر الدلو على الأقل أربع مرات من عمق التدفق في الدلو. طول مسار النفث (أي، المسافة الأفقية من طرف أو حافة مهبط الدلو إلى النقطة حيث يسقط الانبثاق رأسياً لأسفل)، X ، وارتفاع النفث فوق الدلو المقلوب يمكن أن يتم تقريبه عن طريق المعادلة:

$$X = V^2 \sin 2\theta / g \quad (أ ٥,٨٤)$$

$$r = \text{rise} = (V \sin \theta)^2 / 2g \quad (ب ٥,٨٤)$$

حيث إن:

θ = زاوية الطرف إلى الأفقي.

V = سرعة النفث الخارج من الدلو.

ويمكن أن يكون لنهاية طرف الدلو المقلوب ميل أفقي قصير أو يمكن أن يكون له حافة مائلة متبوعة بسطح مصب رأسي. ويتم عمل مهبط السطح الرأسي للدلو المقلوب، وبركة انغمار لتشتيت طاقة النفث للدلو. وعندما يسقط النفث رأسياً على قاع النهر، يكون حفرة جرف. وأقصى عمق للجرف يمكن أن يتم تقريبه عن طريق المعادلة التالية (USBR 1987):

$$D_s = 1.897 H^{0.225} q^{0.54} \quad (٥,٨٥)$$

حيث إن:

D_s = أقصى عمق للجرف أسفل ارتفاع الماء المتصرف (م).

H = منسوب السقوط من منسوب الخزان إلى منسوب الماء المتصرف (م).

q = وحدة التصريف (م^٣/ث) لكل متر عرض من الشلال أو الدلو.

ما لم يحتوى قاع النهر على صخور صلبة غير قابلة للتآكل، يجب عمل بركة انغمار من الخرسانة المسلحة للحماية من الانجراف. ويمكن وضع أرضية بركة الانغمار عند عمق، D_0 ، أسفل ارتفاع الماء المتصرف. ويمكن أن يكون طول بركة الانغمار أكبر قليلاً من طول مسار النفث، X .

الأبعاد الأولية للتقييم المقارن لتصاميم الحوض الساكن البديلة أو تقديرات التكلفة الأولية يمكن أن يتم باستخدام البيانات المعروضة في هذا الجزء. ويجب إنهاء التصاميم التفصيلية لظروف معينة باستخدام المنحنيات البيانية المنشورة لأنواع الفردية من الأحواض واختبارات النموذج الهيدروليكي.

مثال رقم (٥, ١٩): استتج الأبعاد الأولية للحوض الساكن من نوع الدلو لقفزة الزلاجة وبركة الانغمار لقناة تصريف، باعتبار أن $H = 6.1$ م، $Z = 100$ م، $q = 33$ م^٣/ث. ومنسوب ماء التصميم المتصرف (الخلفي) ٩٥ م أسفل منسوب سطح مياه التصميم في الخزان، والذي يكون على منسوب ١٠٠٠ م. اعتبر أن $\theta = 25^\circ$.

الحل:

من المعادلات رقم (٥, ٨٢) ورقم (٥, ٨٤)، يمكن ملاحظة أن السرعة عند قاع السقوط تختلف تقريباً باختلاف الجذر التربيعي لصافي السقوط وطول بركة الانغمار تختلف باختلاف مربع السرعة. ولتحسين أبعاد بركة الانغمار، يكون من المطلوب إجراء حسابات تجريبية عديدة لحساب ارتفاع الدلو لقفزة الزلاجة. وفي هذه الحالة، تم حساب أن نهاية سناد قفزة الزلاجة تقع على بعد ٩٠ م أسفل منسوب سطح ماء خزان التصميم أو على منسوب ٩١٠ م.

وفي حالة $Z = 90$ m ، $H = 6.1$ m ومن الجدول رقم (٣, ١٣) نجد أن:

$$V \cong 34 \text{ m/s}$$

وحيث

$$y = 33/34 = 0.97 \text{ m}$$

$$R \cong 4 \times 0.97 \cong 4 \text{ m}$$

ليس هناك خطوط إرشادية محددة لتقدير طول وعمق الدلو. ولكن يمكن تقديرهم بمجرد حساب نصف قطر الدلو وزاوية الطرف، على سبيل المثال:

$$\text{طول قوس الدلو} = 2R \theta^\circ \pi / 180$$

$$\text{وعمق الدلو} = R - R \cos \theta$$

ولإجراء التقديرات الأولية، يمكن أخذ الطول، L ، فيما وراء نقطة الدلو المنخفضة على أنها حوالي $0,25$ إلى $0,60$ مرة من نصف القطر. وفي هذه الحالة، استخدم $L = 2 \text{ م}$ ، وعمق الدلو بين نهايته والنقطة المنخفضة $= 0,80 \text{ م}$.
وقم بعمل سناد أفقي بعرض $0,61 \text{ م}$ عند مهبط حافة الدلو (الشكل رقم ٥,٧).
ويجب تدقيق هذه الأبعاد الأولية اعتماداً على اختبارات النموذج الهيدروليكي أو معلومات اختبار الأنواع الشبيهة من الدلو المقلوب. وباستخدام المعادلات رقم (٨٤,١٥) ورقم (٨٤,٥ب) نجد طول مسار النفث الأفقي:

$$X = (34^2 \times \sin 50^\circ) / 9.81 = 90 \text{ m}$$

وارتفاع النفث:

$$(34 \times \sin 25^\circ)^2 / (2 \times 9.81) = 10.5 \text{ m}$$

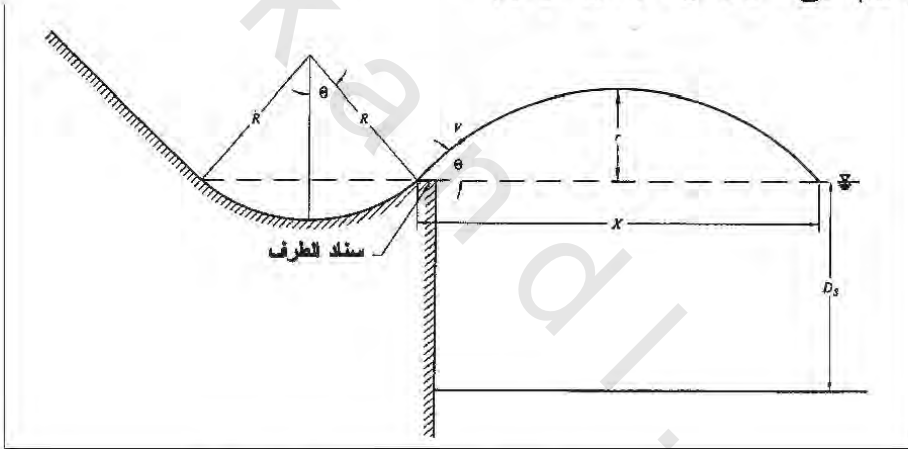
أي يرتفع $10,5 \text{ م}$ فوق نهاية السناد أو حتى منسوب $920,5 \text{ م}$.
الطاقة الحركية التي يضرب بها النفث قاع النهر نظير السقوط من قمة مسار النفث إلى منسوب الماء المتصرف (الخلفي) والذي منسوبه 905 م تساوي

$$H = 920.5 - 905 = 15.5 \text{ m}$$

وباستخدام المعادلة رقم (٥,٨٥) فإن

$$D_s = 1.897 \times 15.5^{0.225} \times 33^{0.54} = 23.2 \text{ m}$$

قم بعمل بركة انغمار بطول ٩٥ م عند ارتفاع حوالي ٢٤ م أسفل منسوب ماء التصميم المتصرف أو عند منسوب ٨٨١ م. ويجب التحقق من قاعدة أرضية بركة الانغمار حتى تكون آمنة ضد الضغوط المحمولة. وبناءً على ظروف الموقع، فإن طول الانغمار يمكن أن يقلل عن طريق اختيار ارتفاعاً أعلى من الدلو لقفزة الزلاجة. وبالتبادل، يمكن تقييم أنواع أخرى من أحواض الترسيب.



الشكل رقم (٥,٧). الرسم التخطيطي للدلو ذو القفزة الزلاجة.

القدرة الكهرومائية Hydroelectric Power

محطة القدرة Power Plant

لمحطة القدرة المائية مكونات عديدة:

- ١- قناة قدرة أو أنبوبة أو نفق، تنقل الماء من المصدر (مثل، خزان أو مدخل نهر) إلى الخزان الأمامي أو البرابخ بالجوار القريب من محطة القدرة.

٢- الخزان الأمامي: قناة قصيرة مفتوحة لها سعة تخزينية صغيرة نسبياً لتمتص تقلبات التدفقات قصيرة المدى (مثل، في الساعة أو النهار). وهي تتصل بقناة الطاقة أو المدخل، الذي يتحكم في دخول الماء إلى البرابخ أو المحركات. واعتماداً على ظروف الموقع، وقد يكون أو لا يكون الخزان الأمامي ضرورياً.

٣- بنية المدخل: يتحكم في تدفق الماء من الخزان الأمامي إلى البرابخ أو المحركات. ويتم عمل شبكة لحجز النفائات مباشرة عند مصعد بنية المدخل لتتحكم في عدم دخول كتل الحجارة والأسماك إلى المحرك.

٤- البرابخ: في حالة المباني الكهرومائية متوسطة أو عالية الضاغط، فإن الماء من الخزان الأمامي أو نفق الطاقة (إذا لم يتم عمل الخزان الأمامي) ينقل إلى مدخل المحرك خلال أنابيب الضغط، وتُصنع عادةً من الفولاذ. سمية أنابيب الضغط هذه بالبرابخ. وهي توضع على مناطق شديدة الانحدار بدون انحناءات حادة لتقليل الفواقد. ويجب أن يكون مدخل البرابخ منغمساً في الماء بما فيه الكفاية لمنع دخول الهواء. وفي حالة الأنفاق الطويلة، يتم عمل صهريج تمور بالقرب من محطة الطاقة بين وصلة النفق والبرابخ، لحماية النفق والبرابخ من ضغوط طرق الماء في حالة التوقف المفاجئ للتدفق خلال المحركات. وفي بعض المنشآت منخفضة الضاغط، حيث يمكن إمداد الماء إلى المحركات خلال القنوات المفتوحة، فإنه يمكن ألا تكون البرابخ ضرورية.

٥- الصندوق الحلزوني: يتم نقل الماء من نهاية البرابخ إلى المحرك خلال صندوق حلزوني، لولبي السطح. والغرض الرئيس من الصندوق الحلزوني هو الحفاظ على سرعة منتظمة تقريباً عند مدخل ريش التوجيه (أو البوابة) عند مدخل المحرك.

٦- بوابة صغيرة: يدخل الماء إلى المحرك خلال بوابة صغيرة.

٧- مولد- المحرك: يوجد العديد من أنواع المحركات متاحة من كثير من الجهات المصنعة ومناسبة لظروف المواقع المختلفة، وهي آلات تستخدم لتحويل طاقة وضع وطاقة حركة الماء إلى شغل مفيد. ويقوم المولد بتحويل هذه الطاقة إلى طاقة كهربية.

٨- أنبوب السحب: يتم تصريف الماء من المحركات في اتجاه التيار خلال أنبوب السحب. ولأنبوب السحب مساحة قطاع عرضي متزايدة بانتظام وبهذا تقل سرعة الخروج إلى قناة مهبط النهر بشكل كبير. وعادةً يتم عمل تصميم أنبوب السحب من قبل المصنعين.

٩- المسرب السفلي: وهي القناة التي يدخل إليها الماء من أنبوب السحب. وهي تنقل الماء المتصرف من محطة الطاقة إلى القناة الطبيعية على جانب مهبط النهر.

ويتم تصنيف محطات القدرة الكهرومائية تبعاً للسعة المركبة، كما يلي:

١- التقليدي: تكون السعة المركبة أكبر من ١٥ ميجاوات.

٢- المقياس الصغير: تكون السعة المركبة بين ١ و ١٥ ميجاوات.

٣- المصغر: تكون السعة المركبة بين ١٠٠ كيلووات و ١ ميجاوات.

٤- الدقيق: تكون السعة المركبة أقل من ١٠٠ كيلووات.

وتشمل الإنشاءات الهيدروليكية المتعلقة بالمبنى الكهرومائي، بناء المدخل، وقناة الطاقة، والنفق، والبرابخ، وصهريج تمور، وأنبوب سحب، وقناة مسرب سفلي. والخطوط الإرشادية لتصميم هذه الإنشاءات متاحة في منشورات عديدة (مثل

ASCE 1989; Monsonyi 1963; USACE 1985; Davis and Sorensen 1970; Zipparo and Hansen 1993; Creager and Justin 1950).

يتم تقدير السعة المركبة أو جهد توليد القدرة المائية لموقع محدد عن طريق المعادلة:

$$P = 9.80 Q H \eta \quad (٥,٨٦)$$

حيث إن:

P = القدرة بالكيلووات.

Q = التدفق (م^٣/ث).

H = صافي الضاغط المتاح (م).

η = كفاءة المولد- المحرك، عادة في مدى من ٨٠٪ إلى ٩٠٪.

يتم تقدير القيم التصميمية لكل من Q و H من جداول مدة التدفق وضغط- التصريف أو من منحنيات مصدر إمداد المياه. ولتعظيم استخدام المياه المتاحة، يمكن اختيار قيمة Q التي تتجاوز من ١٠٪ إلى ٣٠٪ من المرات لتقدير السعة المركبة للمبنى. ويمكن اختبار قيم Q العديدة وقيم H المناظرة لتقدير القيم التي تؤدي إلى السعة المركبة المثلى لاستخدام المياه والاعتبارات الاقتصادية. وفي حالة التخطيط الأولي، يمكن اعتبار أن السعة المركبة تلك التي يكون عندها الزيادة الكبيرة نسبياً في قيمة Q تؤدي للحصول على زيادة صغيرة نسبياً في قيمة P .

لتقدير جهد توليد القدرة المائية السنوي لمبنى، يجب إجراء دراسة لعملية تشغيل الخزان ومحطة الطاقة باستخدام نماذج مثل HEC-3 (USACE 1981) و HEC-5 (USACE 1982) مع متتاليات التدفقات المتاحة والضغط المناظرة للفترة الزمنية الطويلة نسبياً (١٠ إلى ٥٠ سنة أو أكثر). وفي حالة التقديرات الأولية، يمكن استخدام جداول مدة التدفق وضغط التصريف. وفي هذه التقديرات، يجب استخدام المياه الكلية التي تعتمد على كفاءة الموصل، والتي تتراوح من حوالي ٧٠٪ إلى ٨٦٪ وتشمل كفاءات المحرك، والمولد، والمحولات، والمعدات الأخرى. وبالإضافة لذلك، يمكن

عمل بعض الزيادة للكفاءة كأمان لأجل تقلبات الماء المتصرف وزمن الانخفاض غير المتوقع.

مثال رقم (٥,٢٠): متوسط علاقة مدة التدفق السنوي وتصرف الضاغط لمحطة طاقة مجرى النهر موضحة في الجدول رقم (٥,٢٤). استنتج السعة المركبة وجهد توليد الطاقة السنوي للمبنى.

الحل:

يمكن أن يُنصح بتركيب معدات لتعمل عند تدفقات أكبر من $405 \text{ م}^3/\text{ث}$ لأن التدفقات الزائدة على هذا تكون متاحة فقط في حوالي ١١٪ من الأوقات. وسوف تتغير كفاءة الوحدات مع التصرف والضاغط طبقاً للخصائص التي يقدمها المصنع. وفي هذا المثال، افترض كفاءة كلية ثابتة ٨٦٪. ويفترض أن يكون للوحدات معامل أمان لزيادة الحمل قدره ١,١٥. إذن يمكن أن يكون التوليد حتى حوالي ١,١٥ مرة من السعة المركبة المعيارية.

من الجدول رقم (٥,٢٥) الذي يبين التصرف-الضاغط، وفي حالة أقصى تشغيل عند تصرف $405 \text{ م}^3/\text{ث}$ يكون الضاغط يساوي ٣١,٥٣ م. من المعادلة رقم (٥,٨٦)، السعة المركبة:

$$9.80 \times 405 \times 31.53 \times 0.86 = 108,000 \text{ KW}$$

استخدم أربعة وحدات قدرة كل منها ٣٠ ميجاوات، ليكون لها المقدرة على توليد حتى ١٢٠ ميجاوات بدون حمل زائد و ١٣٨ ميجاوات مع معامل حمل زائد قدره ١,١٥. والمواصفات التي يقدمها المصنع يتم استخدامها لحساب أدنى تصرف فعال لتشغيل وحدة توليد المحرك. وفي هذا المثال، من المفترض أنه لا يكون فعال تشغيل أي واحدة من وحدات المولد-المحرك عندما تكون التدفقات أقل من حوالي ١١٦ $\text{م}^3/\text{ث}$. والضاغط المناظر يكون ١٦,٣ م. وتكون الطاقة المتولدة حوالي:

$$9.80 \times 116 \times 16.3 \times 0.86 / 1,000 = 15.9 \text{ MW}$$

الجدول رقم (٥, ٢٤). جدول مدة التدفق وضغط التصريف.

التصريف Q (م ^٣ /ث)	التجاوز (%)	الضغط H (م)
٠	١٠٠	٠
٥	٩٩,٩٩	٣,٥٠
٢٨	٩٠	٩,٧٤
٥٧	٧٠	١١,٠٦
٨٦	٥٤	١٥,٧٤
١١٥	٤١	١٦,١٧
١٤٤	٣٣,٥	١٩,٩٢
١٧٣	٢٩	٢٠,١٣
٢٠٢	٢٥	٢٣,٣٢
٢٣١	٢٢	٢٣,٤٧
٢٦٠	١٩,٥	٢٦,٢٥
٢٨٩	١٧,٥	٢٦,٤٢
٣١٨	١٥,٥	٢٨,٨٧
٣٤٧	١٣,٥	٢٩,٠٨
٣٧٦	١٢	٣١,٢٨
٤٠٥	١١	٣١,٥٣
٤٣٤	١٠,٥	٣٣,٥٠
٤٦٣	١٠	٣٣,٨١
٤٩٢	٩,٥	٣٥,٥٩
٥٢١	٩	٣٥,٩٢
٥٢٢	٠	٣٦,٢٩

أو ٥٣٪ من السعة المركبة لوحدة مفردة. ومن المفترض أن الحمل يمكن أن يكون متساوي التوزيع على الآلات وبهذا يتم الحفاظ على أدنى كفاءة معقولة في كل وحدة تشغيل. وسوف تعمل واحدة واثنان وثلاثة وأربعة من الوحدات بناءً على التصرف والضغوط المتاحة عند أي زمن محدد.

باستخدام التمثيل البياني لجدول مدة التدفق (Q على المحور- y وتجاوز النسبة المثوية على المحور- x)، قسّم التدفقات إلى فترات زمنية عديدة ملائمة للتدفق، وعن طريق الاستكمال الخطي، استنتج متوسط كل فترة زمنية للتدفق. وعلى سبيل المثال، الفترة الزمنية للتدفق الذي يقدر من ٢٩ إلى ٥٧ م^٣/ث يحدث في $(٩٠ - ٧٠) = ٢٠\%$ من المرات.

يمكن تقدير متوسط جهد توليد الطاقة السنوي E (كيلووات) باستخدام

المعادلة:

$$E = 8760 \times 9.8 \times \sum (Q_i p_i H_i \eta_i) / 100 \quad (٥,٨٧)$$

حيث إن:

i = عدد الفترات الزمنية للتدفق.

Q_i = متوسط التصرف في الفترة الزمنية i .

H_i = الضغوط المناظر لقيمة Q_i .

η_i = الكفاءة الكلية المناظرة لكل من Q_i و H_i .

p_i = النسبة المثوية للأزمة التي تغطى بالفترة الزمنية للتدفق.

\sum = تجميع كل الفترات الزمنية للتدفق.

الفترة الزمنية للتدفق المختارة، والنسبة المئوية للأزمة التي تغطيها كل فترة زمنية للتدفق، ومتوسط التدفق خلال الفترة الزمنية، والضغوط المناظر للتدفق المتوسط موضحة في الجدول رقم (٥,٢٥).

ويكون جهد توليد الطاقة السنوي للمبنى ٢٣٢٢٤٦ ميغاوات في الساعة بدون معامل زيادة حمل و ٢٤٨٣٣٧ ميغاوات في الساعة مع معامل زيادة الحمل.

Intakes المداخل

يتم استخدام أنواع متعددة من تصاميم المداخل في مرافق الطاقة الكهرومائية (ASCE 1989). الأنواع شائعة الاستخدام من المداخل تشمل الآتي:

١- بئر رأسي جاف يحتوي على استعدادات رفع للتحكم في فتحات الصمام في المنفذ الأفقي الذي يقع عند قاع نافورة المياه الذي ينقل المياه من الخزان أو النهر إلى نقطة التسليم.

٢- مدخل أنبوبة أفقية صلبة مع بوابة أو صمام عند مدخلها.

٣- أنبوبة مائلة مدعمة على امتداد سطح السد مع وجود فتحات على ارتفاعات مختلفة ومتصلة بالأنبوبة الأفقية تقريباً التي تمتد خلال هيكل السد.

٤- بئر تهوية رأسي مع سدادة سرعة عند المصطبة لمنع تدفق الماء رأسياً إلى المدخل ومتصل بأنبوبة أفقية تقريباً تمتد خلال هيكل السد.

٥- بئر تهوية رأسي حيث يدخل إليه الماء من قمته وأيضاً من الجوانب خلال فتحات المنفذ التي تقع على ارتفاعات مختلفة ويقع صمام التحكم عند أنبوبة المخرج المتصلة بنافورة المياه الرأسي. وتمتد أنبوبة المخرج خلال هيكل السد. وهذا النوع من المداخل يسمى بمدخل البئر المبلل لأن البئر الرأسي يحتوي دائماً على الماء.

الجدول رقم (٥, ٢٥). حسابات توليد الطاقة السنوي.

الفترة الزمنية للتدفق		النسبة الزمنية للزمن المعطى بالفترة الزمنية للتدفق	متوسط التدفق في الفترة الزمنية	الضغوط المناظر للتدفق المتوسط	الطاقة (ميجاوات) باستخدام السعة المركبة الفعلية
Q ₂	Q ₁				
(م ^٣ /ث)	(م ^٣ /ث)			(م)	
٢٨	٠	١٠	١٤	٥,٩٤	٠
٥٧	٢٩	٢٠	٤٣	١٠,٤٢	٠
٨٦	٥٨	١٦	٧٢	١٣,٤٨	٠
١١٥	٨٧	١٣	١٠١	١٥,٩٦	٠
١٤٤	١١٦	٧,٥	١٣٠	١٨,١١	١٣٠٣٦
١٧٣	١٤٥	٤,٥	١٥٩	٢٠,٠٣	١٠٥٨١
٢٠٢	١٧٤	٤	١٨٨	٢١,٧٨	١٢٠٩٢
٢٣١	٢٠٣	٣	٢١٧	٢٣,٤	١١٢٤٧
٢٦٠	٢٣٢	٢,٥	٢٤٦	٢٤,٩١	١١٣١٠
٢٨٩	٢٦١	٢	٢٧٥	٢٦,٣٤	١٠٦٩٦
٣١٨	٢٩٠	٢	٣٠٤	٢٧,٦٩	١٢٤٢٩
٣٤٧	٣١٩	٢	٣٣٣	٢٨,٩٨	١٤٢٥٠
٣٧٦	٣٤٨	١,٥	٣٦٢	٣٠,٢٢	١٢١١٥
٤٠٥	٣٧٧	١	٣٩١	٣١,٤١	٩٠٦٧
٤٣٤	٤٠٦	٠,٥	٤٢٠	٣٢,٥٥	٥٠٤٧
٤٦٣	٤٣٥	٠,٥	٤٤٩	٣٣,٦٦	٥٥٧٩
٤٩٢	٤٦٤	٠,٥	٤٧٨	٣٤,٧٣	٦٠٤٤
٥٢١	٤٩٣	٠,٥	٥٠٧	٣٥,٧٦	٦٠٤٤
٥٢٢	٥٢٢	٩	٥٢٢	٣٦,٢٩	١٠٨٧٩٩
المجموع		١٠٠			٢٤٨٣٣٧
					٢٣٢٢٤٦

a: سوف تكون الآلات قادرة على إنتاج ١٢٠ ميجاوات بدون معامل زيادة حمل و ١٣٨ ميجاوات مع معامل زيادة حمل مقداره ١,١٥ أثناء هذه الفترات.

وتعتمد التصاميم الهيدروليكية للمداخل على معادلات التدفق الموصوفة في الفصل الثالث. ومن المهم تجنب تكون الدوامات عند بوابات مداخل الطاقة. وإن الانغمار الأدنى المطلوب لتجنب تكون الدوامات عند فتحة بوابات الجرس الأفقية للمداخل تعطى بالمعادلة:

$$S = c V d^{0.5} \quad (٥,٨٨)$$

حيث إن:

S = أدنى انغمار مطلوب فوق الحافة العلوية من فتحة الجرس (م).

V = السرعة خلال بوابة المدخل (م/ث).

d = قطر أنبوبة المدخل (م).

$c = ٠,٥٤$ في الظروف المتماثلة، و $٠,٧٢$ في حالة ظروف التدفق المغترب الجانبي.

وفي حالة المداخل الأفقية مع منفذ فتحة جرس:

$$S > 62 V^2 \quad (٥,٨٩)$$

حيث إن:

S = أدنى انغمار مطلوب فوق خط المنتصف من فتحة الجرس (م).

V = سرعة المدخل عند فتحة الجرس.

المعايير البديلة للانغمار عند مثل هذه المداخل الأفقية هي:

$$S/d \leq 0.7 \quad , \quad F = V/\sqrt{(gd)} \leq 0.5 \quad (٥,٩٠)$$

وفي حالة المداخل الرأسية:

$$2.14 F^{0.04} \leq S/d \leq F^{0.12} \quad (٥,٩١)$$

الفاقد في الضاغط خلال المدخل، والمخرج، والانحناءات، وقناة المدخل يمكن

تقديرها باستخدام الطرق الموصوفة في الفصل الثالث. والفاقد في الضاغط خلال

شبكة النفايات المركبة عند بوابة المدخل يمكن تقديره عن طريق المعادلة التالية

:(Davis and Sorensen 1970; Zipparo and Hansen 1993; Chow 1959; ASCE 1989)

$$(٥,٩٢) \quad h_L = k_T (t/b)^{4/3} (V^2 / 2g) \sin \alpha$$

حيث إن:

h_L = الفاقد في الضاغط خلال شبكة النفايات.

k_T = معامل قيمته ٢,٤٢ وهو خاص بقضبان شبكة النفايات التي فتحات مربعة

وقيمته ١,٧٩ للقضبان الدائرية.

t = سمك القضبان (سم).

b = المسافة الفاصلة بين القضبان (سم).

α = زاوية ميل القضيب على الأفقي.

V = سرعة الاقتراب أمام شبكة النفايات.

وطريقة بديلة لتقدير الفاقد في الضاغط خلال شبكة النفايات هي استخدام

معامل الفاقد في الضاغط المعطى بالمعادلة التالية (USBR 1987):

$$(٥,٩٣) \quad k_T = 1.45 - 0.45 a_n / a_g - (a_n / a_g)^2$$

إذن:

$$(٥,٩٤) \quad h_L = k_T (V_n^2 / 2g)$$

حيث إن:

V_n = السرعة خلال المساحة المفتوحة من شبكة النفايات.

a_n = صافي المساحة المفتوحة خلال شبكة النفايات.

a_g = المساحة الإجمالية لشبكة النفايات والدعامات.

في الحالات العملية، يجب تقدير الفاقد في الضاغط خلال شبكة النفايات بفرض انسداد ٥٠ ٪ منها.

ويمكن تقدير الفاقد الناتج عن ضيق الأنبوب أثناء التدفق عن طريق المعادلة التالية (ASCE 1989):

$$h_L = k_e (V_2^2 / 2g) \quad (٥,٩٥)$$

حيث إن:

V_2 = السرعة في مقطع الأنبوب الأصغر.

وقيم k_e النموذجية لنسب الضيق المختلفة معطاة في الجدول رقم (٥,٢٦).

قيم معامل الفاقد k_b النموذجية في حالة انحناء بزاوية ٩٠ درجة مع نصف القطر R في أنبوبة قطرها d موضحة في الجدول رقم (٥,٢٧) (USBR 1987).

الجدول رقم (٥,٢٦). القيم النموذجية لمعامل الضيق في الأنابيب.

K_e	A_2/A_1
٠,٣٦٣	٠,١
٠,٣٣٩	٠,٢
٠,٢٦٨	٠,٤
٠,١٦٤	٠,٦
٠,٠٥٣	٠,٨
١	١,٠

A_2 = مساحة المقطع العرضي لمقطع الأنبوب الأصغر.

A_1 = مساحة المقطع العرضي لمقطع الأنبوب الأكبر.

المصدر: (ASCE 1989).

الجدول رقم (٥,٢٧). القيم النموذجية لمعامل فاقد الانحناء في الأنابيب (انحناء ٩٠ درجة).

R/d	K_b
٠,٨	٠,٣
١,٠	٠,٢٣
١,٥	٠,١٨
٢,٠	٠,١٣
٣,٠	٠,١٠
$\leq ٤,٠$	٠,٠٨

المصدر: (USBR 1987).

مثال رقم (٥,٢١): مستويات الماء في الخزان تتغير بين ٣٠٠ و ٣١٠ م. وارتفاع التخزين الساكن يساوي ٢٩٥ م. يراد إمداد المياه إلى نقطة تبعد ٢٠٠ م من السد على منسوب ٢٨٩,٧٠ م. تصرف إمداد الماء المطلوب من الخزان هو ٢,٨٥ م^٣/ث. احسب أبعاد أنبوبة المدخل المطلوبة لهذه الحالة. واستخدم متوسط معامل احتكاك ٠,١٠.

الحل:

يمكن أن يكون المدخل أنبوبة مائلة موضوعة على امتداد ميل السد أو برج رأسي يقع قريباً من السد. وفي هذه الحالة، يتم قبول البرج الرأسي. ولتجنب الأسماك من أن تصبح عالقة في بئر تهوية المدخل، سيتم عمل مصفاة أسطوانية رأسية عند المدخل لحجز الأسماك، وسرعة الاقتراب في اتجاه المصفاة سوف تكون محدودة إلى ١٥ م/ث. وسيتم عمل سداة سرعة عند قمة المصفاة وبهذا يدخل الماء فقط من خلال ارتفاع المصفاة. ويمكن أن تحتل قضبان المصفاة تقريباً ٢٠٪ من المساحة

الإجمالية للمصفاة. ومع هذا، لأغراض التصميم، افترض أن انسداد مساحة المصفاة بسبب قضبان المصفاة، والأنقاض، والمخلفات يساوي ٥٠٪، إذن:

$$A_n = (1 - 0.20) A_g = 0.80 A_g$$

و

$$A_n \text{ (غير مسدود)} = 0.50 A_n = 0.40 A_g$$

ولتمرير تصرف التصميم:

$$0.15 \times (1 - 0.20) \pi D_s H_s \times 0.50 \geq 2.85$$

أو

$$D_s H_s \geq 15.10 \text{ m}^2$$

حيث إن:

$$D_s = \text{قطر إطار المصفاة الأسطواني الشكل (م).}$$

$$H_s = \text{ارتفاع المصفاة (م).}$$

بفرض أن $D_s = 3.7 \text{ م}$ ، $H_s = 4.1 \text{ م}$. وبفرض بوابة مربعة الأركان لقمة مستديرة من أنبوبة المدخل على ارتفاع ٢٩٦ م، و $D = 3.7 \text{ م}$ ، والتي يقل القطر تدريجياً إلى قطر الأنبوبة، d . ويجب أن يمر بالمدخل تصرف ٢,٨٥ م^٣/ث مع أكثر انخفاض لارتفاع الخزان يساوي ٣٠٠ م. إذن:

$$300 - 289.7 = \left[(k_T + k_e + k_b + f L/d + 1) V^2 / 2g + k_e \left\{ (V^2 / 2g) - (V_b^2 / 2g) \right\} \right]$$

حيث إن:

$$k_T = \text{معامل فقد شبكة النفايات من المعادلة رقم (٥, ٩٣):}$$

$$k_T = 1.45 - 0.45 \times 0.40 - 0.16 = 1.11$$

$$k_e = \text{معامل فاقد المدخل} = 0.70$$

$k_b = \text{معامل فاقد الانحناء للكوع حيث تصبح الأنبوبة الرأسية أفقية تقريباً مع}$

نصف قطر انحناء يساوي ضعف قطر الأنبوبة أو أكثر $= 0.13$

$$k_e = \text{معامل فاقد الضيق من قطر فتحة الجرس إلى قطر الأنبوبة} = 0.25$$

(USBR 1987).

$$V_b = \text{السرعة خلال بوابة المدخل الدائرية:}$$

$$V_b \cong 2.85 / (\pi \times 3.7^2 / 4) = 0.27 \text{ m/s}$$

وبالتالي:

$$10.3 = [1.11 + 0.7 + 0.13 + (0.01 \times 200 / d) + 1] V^2 / 2g + 0.25$$

$$[V^2 / 2g - 0.27^2 / 2g] = [2.94 + 2 / d] V^2 / 2g + 0.25 \quad V^2 / 2g - 0.0009$$

وبفرض تجربة d تساوي ١ م، وبهذا تكون السرعة

$$V = 2.85 / (\pi \times 1.0^2 / 4) = 3.63 \text{ m/s}$$

إذا:

$$h_L = (3.19 + 2.0) [3.63^2 / (2 \times 9.81)] - 0.0009 = 3.485 \text{ m}$$

وبالمثل، نجرب $d = 0.8 \text{ م}$ ، إذن: $V = 5.67 \text{ m/s}$ ، و $h_L = 9.32 \text{ m}$

وفي حالة $d = 0.7822 \text{ م}$ ، تكون $V = 5.931 \text{ m/s}$ ، و $h_L = 10.3 \text{ m}$

وهو تقريباً يساوي الضاغط المتاح. وسوف يتم استخدام أنبوبة قطرها $d = 0.8 \text{ م}$

لتسمح ببعض التغيير في معاملات الفاقد المفترضة.

في حالة ارتفاعات خزان أعلى من ٣٠٠ م، سوف يتم التحكم في التدفق خلال أنبوبة

المدخل عن طريق صمام يقع عند برج المدخل.

خزان النبط Surge Tank

خزان النبط هو خزان يقع عند نهاية مصب نفق الطاقة ونهاية منبع البرايخ. ووظيفة خزان النبط هي إضعاف زيادات الضغط في النفق والبرايخ الناتج عن مقاومة الحمل الفجائي خلال المحرك والتقليل المتعاقب للتدفق أو التوقف التام للتدفق خلال المحركات. ويمكن أن يكون خزان النبط بسيط وعبرة عن بئر تهوية رأسي متصل بالنفق. وأدنى مساحة لخزان النبط يمكن تقديرها عن طريق المعادلة التالية (Davis and Sorensen 1970; Zipparo and Hansen 1993):

$$A_s = A L / (2 g c H) \quad (٥,٩٦)$$

حيث إن:

A_s = أدنى مساحة مطلوبة لخزان النبط.

A = مساحة النفق.

H = الفرق بين منسوب سطح ماء الخزان الطبيعي وخط المنتصف في النفق.

L = طول النفق من الخزان إلى خزان النبط.

c = معامل فاقد الضاغط للنفق حيث إن الاحتكاك والفواقد الأخرى تساوي

$c V^2$ ، حيث

$$c \cong [f L / (2 g d) + \{ (2 g) / \text{معاملات المفقودات الثانوية} \}]$$

d = قطر النفق.

f = معامل احتكاك دارسي-وايزباك (الشكل رقم ٥,٨).

عند التطبيق العملي يجب أن يكون قطر خزان النبط البسيط المقدّر عن طريق

المعادلة رقم (٥,٩٦) أكبر بمقدار يساوي ٥٠٪ أو أكثر. وما لم يكن التدفق الزائد من صهريج التمر مقبولا، يجب أن يكون ارتفاعه أعلى من ارتفاع التخزين الأقصى المتوقع

فوق مستوى الماء في الحالة المستقرة الناتج عن التوقف المفاجئ للتدفق خلال المحرك.
ويتم تقدير ارتفاع التخزين باستخدام معادلة الاستمرارية ومعادلة إويليرين:

$$(٥,٩٧) \quad dz/dt = (A/A_s) V$$

$$(٥,٩٨) \quad (L/g) dV/dt = -(z - c V^2)$$

حيث إن:

z = التغير في مستوى الماء في خزان النبط من مستوى الماء في الخزان، المقدار الموجب في الاتجاه العلوي.

وهذه المعادلات يمكن حلها باستخدام الزيادات النهائية، مع قيمة بداية (عند $t = 0$) لقيمة $z = c V^2$ ، حيث إن V = السرعة في الحالة المستقرة في النفق:

$$(٥,٩٩) \quad \Delta z = (A/A_s) V \Delta t$$

$$(٥,١٠٠) \quad \Delta V = -(g/L) (z - c V^2) \Delta t$$

ولعمل التقديرات الأولية لخزان النبط البسيط، فإنه يمكن إهمال قيمة $c V^2$ (ASCE 1989، إذن:

$$(٥,١٠١) \quad z = (Q_0/A_s) \left[\sqrt{\{A_s L / (A g)\}} \right] \sin \left[\sqrt{\{A g / (A_s L)\}} t \right]$$

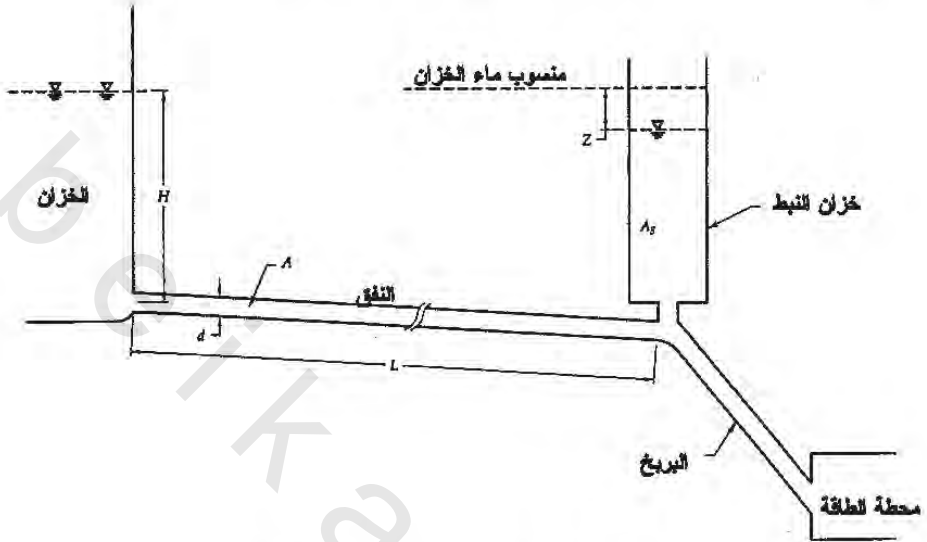
$$(٥,١٠٢) \quad z_{\max} \cong (Q_0/A_s) \sqrt{\{A_s L / (A g)\}}$$

$$(٥,١٠٣) \quad T = 2 \pi \sqrt{\{A_s L / (A g)\}}$$

حيث إن:

z_{\max} = أقصى ارتفاع لسطح الماء فوق مستوى الحالة المستقرة في خزان النبط.

T = الفترة الزمنية لتقلبات مستوى الماء.



الشكل رقم (٥,٨). خزان النبط البسيط.

مثال رقم (٥,٢٢): احسب الأبعاد الأولية لصهرج تخزين أسطواني بسيط مع قطاع عرضي دائري لمحطة طاقة يتم إمدادها بالماء من الخزان من خلال نفق طوله ١٠٠٠ وقطره ١,٧٥ م مبطن بالخرسانة. التصرف خلال النفق في الحالة المستقرة ٦ م^٣/ث. متوسط الضاغط فوق خط منتصف القناة من الخزان إلى خزان النبط يساوي ٣٠ م. افترض أن حالة التصميم هي الإغلاق المفاجئ للصمام عند البربخ. الحل:

في حالة النفق المبطن بالخرسانة، افترض أن $f = 0.015$:

$$V = 6 / (\pi \times 1.75^2 / 4) = 2.4945 \text{ m/s}$$

$$c \cong f L / (2 g d) = 0.015 \times 1000 / (2 \times 9.81 \times 1.75) = 0.437$$

القيمة الأولية أو قيمة الحالة المستقرة للمقدار z :

$$z = c V^2 = 0.437 \times 2.4945^2 = 2.72 \text{ m}$$

مساحة القطاع العرضي للنفق:

$$A = \pi \times 1.75^2 / 4 = 2.405 \text{ m}^2$$

باستخدام المعادلة رقم (٥، ٩٦)، أدنى مساحة لخزان النبط:

$$A_g = 2.405 \times 1000 / (2 \times 9.81 \times 0.437 \times 30) = 9.35 \text{ m}^2$$

وأدنى قطر مطلوب لخزان النبط =

$$\sqrt{(4 \times 9.35 / \pi)} = 3.45 \text{ m}$$

من الملاحظات العملية، استخدم d تساوي ٥، ٥ م، إذا

$$A_g = \pi \times 5.5^2 / 4 = 23.758 \text{ m}^2$$

$$A / A_g = (1.75 / 5.5)^2 = 0.1012$$

ويُهمل فاقد الاحتكاك وباستخدام المعادلة رقم (٥، ١٠٢):

$$z_{\max} \cong (6 / 23.758) \sqrt{\{(5.5 / 1.75)^2 \times 1000 / (9.81)\}} = 8.1 \text{ m}$$

وعند أخذ فاقد الاحتكاك في الاعتبار، يتم تقدير أقصى صهريج تخزين باستخدام

المعادلات رقم (٥، ٩٩) ورقم (٥، ١٠٠) في الحل على ورقة عمل في برنامج الاكسل

(Rouse 1950). والحسابات موضحة في الجدول رقم (٥، ٢٨). خطوات الحسابات

هي:

١- احسب الزمن، t، الذي يتم عنده عمل الحسابات (العمود رقم ١).

٢- احسب فترة حسابات الزمن، Δt (الفرق في قيمتين متتابعين للزمن t في

العمود رقم ١).

٣- ضع قيمة مبدئية للقيم المحسوبة مسبقاً لكل من V و c و cV² في

الأعمدة رقم (٣ و ٥ و ٦) واحسب القيم المبدئية في الأعمدة الأخرى. لاحظ أن

قيمة z المبدئية سالبة لأن مستوى الماء في الحالة المستقرة في خزان النبط يكون أقل من

مستوى الماء في الخزان بسبب الفواقد في النفق.

٤- احسب Δz (العمود رقم ٤) باستخدام المعادلة رقم (٥,٩٩).

٥- احسب z في العمود رقم (٥) (بإضافة Δz إلى z المحسوبة في حساب فترة الزمن السابقة).

٦- احسب $c V^2$ باستخدام قيمة V من فترة الزمن السابقة، وتأكد أن إشارة هذه القيمة في العمود رقم (٦) تكون عكس إشارة قيمة السرعة في فترة الزمن السابقة في العمود رقم (٣)، أي:

$$c V^2 = -c \text{ abs} \cdot (V) \cdot V$$

حيث إن: abs تمثل القيمة المطلقة.

V تشير إلى خطوة فترة السابقة.

٧- احسب قيمة $z - c V^2$ وأدخل النتيجة في العمود رقم (٧).

٨- احسب ΔV باستخدام المعادلة رقم (٥,١٠٠) وأدخل النتيجة في العمود رقم (٨).

٩- احسب V (فترة زمن جديدة) $V = V$ (فترة زمن سابقة) $+ \Delta V$ وأدخل

النتيجة في العمود رقم (٣) لفترة الزمن الحالية.

إن أقصى ارتفاع مقدّر للتخزين فوق مستوى الماء في الخزان هو ٦,٢١ م عند زمن ٥٥ ث، وأدنى ارتفاع أسفل مستوى الخزان هو ٤,٣٦ م عند زمن ١٥٩ ث. إن تأثير الاحتكاك في النفق يقلل أقصى ارتفاع التخزين z_{\max} من ٨,١ م إلى ٦,٢١ م تقريباً. استخدم صهريج تخزين قطره ٥,٥ م وارتفاعه ٧,٢٥ م فوق مستوى ماء الخزان، بما يسمح بجزء ظاهر حر حوالي ١,٠ م.

الجدول رقم (٥, ٢٨). حسابات ارتفاع التخزين.

(٨)	(٧)	(٦)	(٥)	(٤)	(٣)	(٢)	(١)
ΔV	$Z - CV^2$	CV^2	z	Δz	V	Δt	T
•	•	٢,٧٢-	٢,٧٢٠-	•	٢,٤٩٤٥	•	•
•,٠٠٢٥-	•,٢٥١٧	٢,٧١٩٢-	٢,٤٦٧٦-	٢,٢٥٢٤	٢,٤٩٢٠	١	١
•,٠٠٤٩-	•,٤٩٨٥	٢,٧١٣٩-	٢,٢١٥٤-	•,٢٥٢٢	٢,٤٨٧١	١	٢
•,٠٣٦٦-	١,٢٤٣٠	٢,٧٠٣٢-	١,٤٦٠٣-	•,٧٥٥١	٢,٤٥٠٦	٣	٥
•,١١٧٩-	٢,٤٠٤٠	٢,٦٢٤٣-	•,٢٢٠٣-	١,٢٤٠٠	٢,٣٣٢٦	٥	١٠
•,١٦٣٧-	٣,٣٣٧٨	٢,٣٧٧٨-	•,٩٦٠٠	١,١٨٠٣	٢,١٦٨٩	٥	١٥
•,٢٠١٨-	٤,١١٣٣	٢,٠٥٥٧-	٢,٠٥٧٥	١,٠٩٧٥	١,٩٦٧٢	٥	٢٠
•,٢٣٢٧-	٤,٧٤٤٠	١,٦٩١١-	٣,٠٥٢٩	•,٩٩٥٤	١,٧٣٤٥	٥	٢٥
•,٢٥٧٣-	٥,٢٤٥٢	١,٣١٤٧-	٣,٩٣٠٥	•,٨٧٧٦	١,٤٧٧٢	٥	٣٠
•,٢٧٦٢-	٥,٦٣١٦	•,٩٥٣٦-	٤,٦٧٨٠	•,٧٤٧٥	١,٢٠١٠	٥	٣٥
•,٢٩٠٢-	٥,٩١٦٠	•,٦٣٠٣-	٥,٢٨٥٧	•,٦٠٧٧	•,٩١٠٨	٥	٤٠
•,٢٩٩٧-	٦,١٠٩١	•,٣٦٢٥-	٥,٧٤٦٥	•,٤٦٠٩	•,٦١١١	٥	٤٥
•,٣٠٥٠-	٦,٢١٩٠	•,١٦٣٢-	٦,٠٥٥٨	•,٣٠٩٢	•,٣٠٦١	٥	٥٠
•,٣٠٦٦-	٦,٢٥١٦	•,٠٤١٠-	٦,٢١٠٧	•,١٥٤٩	•,٠٠٠٥-	٥	٥٥
•,٠٦٠٩-	٦,٢١٠٦	•١٠×١,٢٩	٦,٢١٠٦	•١٠×٥-	•,٠٦١٥-	١	٥٦
•,٠٦٠٨-	٦,٢٠٢٧	•,٠٠١٧	٦,٢٠٤٤	•,٠٠٦٢-	•,١٢٢٣-	١	٥٧
•,١٨١٣-	٦,١٦٠٧	•,٠٠٦٥	٦,١٦٧٣	•,٠٣٧١-	•,٣٠٣٦-	٣	٦٠
•,٢٩٣٠-	٥,٩٧٣٣	•,٠٤٠٣	٦,٠١٣٦	•,١٥٣٦-	•,٥٩٦٦-	٥	٦٥
•,٥١٥٤-	٥,٢٥٤٣	•,١٥٥٦	٥,٤٠٩٨	•,٦٠٣٨-	١,١١٢١-	١٠	٧٥
•,٤٦٨١-	٣,١٨١٣	•,٥٤٠٤	٣,٧٢١٧	١,٦٨٨١-	١,٥٨٠٢-	١٥	٩٠
•,٠٣٤١-	•,٢٣١٨	١,٠٩١٢	١,٣٢٣٠	٢,٣٩٨٧-	١,٦١٤٣-	١٥	١٠٥
•,٠٣١٠٣	•,٦٣٢٧-	١,١٣٨٨	•,٥٠٦١	•,٨١٦٨-	١,٥٨٣٣-	٥	١١٠
•,٠٦٨٢٠	١,٣٩٠٤-	١,٠٩٥٤	•,٢٩٥٠-	•,٨٠١١-	١,٥١٥١-	٥	١١٥
•,١٠١٢٧	٢,٠٦٤٧-	١,٠٠٣١	١,٠٦١٦-	•,٧٦٦٦-	١,٤١٣٨-	٥	١٢٠
•,١٣٠٠	٢,٦٥٠٥-	•,٨٧٣٥	١,٧٧٧٠-	•,٧١٥٤-	١,٢٨٣٨-	٥	١٢٥
•,١٥٤٤	٣,١٤٦٨-	•,٧٢٠٢	٢,٤٢٦٦-	•,٦٤٩٦-	١,١٢٩٤-	٥	١٣٠
•,١٧٤٤	٣,٥٥٥٥-	•,٥٥٧٤	٢,٩٩٨١-	•,٥٧١٥-	•,٩٥٥٠-	٥	١٣٥

تابع الجدول رقم (٥، ٢٨).

(١)	(٢)	(٣)	(٤)	(٥)	(٦)	(٧)	(٨)
T	Δt	V	Δz	z	CV^2	$Z - CV^2$	ΔV
١٤٠	٥	٠,٧٦٤٧-	٠,٤٨٣٢-	٣,٤٨١٣-	٠,٣٩٨٦	٣,٨٧٩٩-	٠,١٩٠٣
١٤٥	٥	٠,٥٦٢٥-	٠,٣٨٦٩-	٣,٨٦٨٣-	٠,٢٥٥٦	٤,١٢٣٨-	٠,٢٠٢٢٨
١٥٠	٥	٠,٣٥٢٠-	٠,٢٨٤٦-	٤,١٥٢٩-	٠,١٣٨٢	٤,٢٩١١-	٠,٢١٠٥٠
١٥٥	٥	٠,١٣٦٩-	٠,١٧٨١-	٤,٣٣١٠-	٠,٠٥٤١	٤,٣٨٥١-	٠,٢١٥١٠
١٥٦	١	٠,٠٩٤٢-	٠,٠١٣٨-	٤,٣٤٤٨-	٠,٠٠٨٢	٤,٣٥٣٠-	٠,٠٤٢٧٠
١٥٧	١	٠,٠٥١٤-	٠,٠٠٩٥-	٤,٣٥٤٤-	٠,٠٠٣٩	٤,٣٥٨٢-	٠,٠٤٢٨٠
١٥٨	١	٠,٠٠٨٦-	٠,٠٠٥٢-	٤,٣٥٩٦-	٠,٠٠١٢	٤,٣٦٠٧-	٠,٠٤٢٨٠
١٥٩	١	٠,٠٣٤١	٠,٠٠٠٩-	٤,٣٦٠٤-	٠,٠٠٣٩	٤,٣٦٠٥-	٠,٠٤٢٨٠
١٦٠	١	٠,٠٧٦٩	٠,٠٠٣٥	٤,٣٥٧-	٠,٠٠٠٥-	٤,٣٥٦٥-	٠,٠٤٢٧٠
١٦١	١	٠,١١٩٥	٠,٠٠٧٨	٤,٣٤٩٢-	٠,٠٠٢٦-	٤,٣٤٦٦-	٠,٠٤٢٦
١٦٢	١	٠,١٦٢٠	٠,٠١٢١	٤,٣٣٧١-	٠,٠٠٦٢-	٤,٣٣٠٩-	٠,٠٤٢٥
١٦٣	١	٠,٢٠٤٣	٠,٠١٦٤	٤,٣٢٠٧-	٠,٠١١٥-	٤,٣٠٩٣-	٠,٠٤٢٣
١٦٤	١	٠,٢٤٦٣	٠,٠٢٠٧	٤,٣٠٠١-	٠,٠١٨٢-	٤,٢٨١٨-	٠,٠٤٢٠
١٦٥	١	٠,٢٨٨	٠,٠٢٤٩	٤,٢٧٥١-	٠,٠٢٦٥-	٤,٢٤٨٦-	٠,٠٤١٧
١٦٦	١	٠,٣٢٩٢	٠,٠٢٩١	٤,٢٤٦٠-	٠,٠٣٦٢-	٤,٢٠٩٨-	٠,٠٤١٣
١٦٧	١	٠,٣٧٠١	٠,٠٣٣٣	٤,٢١٢٧-	٠,٠٤٧٤-	٤,١٦٥٣-	٠,٠٤٠٩
١٦٨	١	٠,٤١٠٥	٠,٠٣٧٥	٤,١٧٥٢-	٠,٠٥٩٩-	٤,١١٥٤-	٠,٠٤٠٤
١٦٩	١	٠,٤٥٠٣	٠,٠٤١٥	٤,١٣٣٧-	٠,٠٧٣٦-	٤,٠٦٠١-	٠,٠٣٩٨
١٧٠	١	٠,٤٨٩٥	٠,٠٤٥٦	٤,٠٨٨١-	٠,٠٨٨٦-	٣,٩٩٩٥-	٠,٠٣٩٢
١٧٥	٥	٠,٦٧٢٨	٠,٢٤٧٧	٣,٨٤٠٤-	٠,١٠٤٧-	٣,٧٣٥٧-	٠,١٨٣٢
١٨٠	٥	٠,٨٣٤٧	٠,٣٤٠٤	٣,٥٠٠٠-	٠,١٩٧٨-	٣,٣٠٢٢-	٠,١٦٢٠

أنبوب السحب Draft Tube

يتم تصميم أنبوب السحب عادةً عن طريق المصنّع. ومع هذا فإن وضعها بالنسبة للمحرك والمسرّب السفلي ربما يجب التحقق منه للتأكد من أنه ليس هناك

احتمالية لحدوث تكهف عند نقطة التقاء المحرك وأنبوب السحب. ويتم عمل هذا باستخدام معادلة الطاقة التالية (Davis and Sorensen 1970; Zipparo and Hansen 1993):

$$Z_1 + p_1 / \gamma + V_1^2 / 2g = V_3^2 / 2g + fL \left\{ (V_1 + V_2) / 2 \right\}^2 / [2g(d_1 + d_2)/2] + \left\{ (V_2 - V_3)^2 / 2g \right\} + p_{atm} \quad (٥, ١٠٤)$$

حيث إن:

Z_1 = الفرق في المنسوب بين مخرج الترين وأدنى ارتفاع للماء المتصرف.

p_1 = الضغط المطلق عند مخرج الترين.

V_1 = السرعة عند مخرج الترين.

V_2 = السرعة عند مخرج أنبوب السحب.

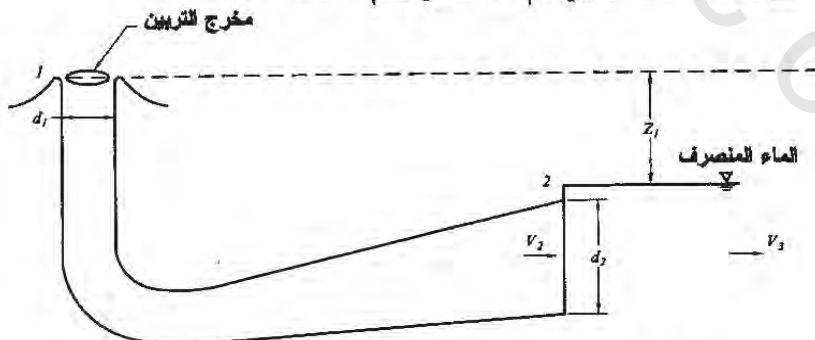
V_3 = السرعة في المسرب السفلي.

d_1 = قطر أنبوب السحب عند مخرج الترين.

d_2 = قطر أنبوب السحب عند المخرج إلى المسرب السفلي.

L = طول أنبوب السحب.

p_{atm} = الضغط الجوي (م) (الشكل رقم ٥, ٩).



الشكل رقم (٥, ٩). الرسم التوضيحي لأنبوب السحب.

مثال رقم (٥,٢٣): اختبر ما إذا كان هناك احتمال حدوث تكهف في أنبوب السحب في ظل تواجد الظروف التالية: الفرق في المنسوب بين مخرج التربين وأدنى ارتفاع متوقع للماء المتصرف هو ٨ م، وسرعة السريان عند مخرج التربين هي ٧ م/ث، وقطر أنبوب السحب عند مخرج التربين هو ١,٥ م، وعند المخرج إلى المسرب السفلي ٣ م، وسرعة السريان في المسرب السفلي هي ١ م/ث، وأنبوب السحب من الخرسانة بطول ٢٠ م. والضغط الجوي عند المسرب السفلي ١٠,٣٤ م (من الماء) وضغط بخار الماء عند مخرج التربين ١,٢٥ م (من الماء).

الحل:

باستخدام المعادلة رقم (٥,١٠٤) حيث إن:

$$Z_1 = 8 \text{ m} \quad , \quad V_1 = 7 \text{ m/s} \quad , \quad d_1 = 1.5 \text{ m} \quad , \quad d_2 = 3 \text{ m}$$

$$V_3 = 1 \text{ m/s} \quad , \quad L = 20 \text{ m} \quad , \quad p_1 = 10.34 \text{ m} \quad , \quad p_{\text{atm}} = 10.34 \text{ m}$$

ولحالة أنبوب السحب من الخرسانة، افترض أن $f = 0.015$. وكذلك في حالة الاستمرارية للتصرف خلال أنبوب السحب:

$$V_2 = V_1 \times (d_1 / d_2)^2 = 7 \times (1.5 / 3)^2 = 1.75 \text{ m/s}$$

وباستخدام المعادلة رقم (٥,١٠٤):

$$p_1 / \gamma = -8 - 7^2 / (2 \times 9.81) + 1 / (2 \times 9.81) + [0.015 \times 20 \{ (7 + 1.75) / 2 \}^2] /$$

$$[2 \times 9.81 \{ (1.5 + 3) / 2 \}] + (1.75 - 1)^2 / (2 \times 9.81) + 10.34 = 0.053 \text{ m}$$

وحيث إن الضغط المحسوب عند مخرج التربين أقل من ضغط البخار إذن هناك احتمال لحدوث التكهف. وللسماح للتقلبات غير المتوقعة في ارتفاعات الماء المتصرف، يجب وضع التربين عند مستوى أقل بحوالي ١,٠ م.

محتوى الأكسجين المذاب في مخرجات محطة الطاقة

Dissolved Oxygen Content of Power Plant Releases

في بعض الحالات، يكون الماء المنطلق من المباني الكهرومائية محتويًا على أكسجين مذاب منخفض (DO)، والذي يكون مهماً للأسماك والكائنات المائية الدقيقة الأخرى والتي تؤدي إلى تقليل القدرة على تمثيل المخلفات المفقودة لقناة مهبط النهر. وبالتالي يصبح ازدياد الأكسجين المذاب اعتباراً بيئياً مهماً. ويحدث هذا في الواقع العملي في المباني الكهرومائية التي تقع على الخزانات ذات الطبقات. وإن الخزانات العميقة تميل إلى أن تكون ذات طبقات وبوجه خاص أثناء شهور الصيف عندما تصبح الطبقة العليا من الماء أكثر دفئاً وأقل كثافة بسبب التعرض لضوء الشمس من طبقة القاع. والعمليات التي تستخدم الأكسجين المذاب في مياه الخزان تشمل تنفس الكائنات الحية، وتحلل المواد العضوية، والتفاعلات الكيميائية بين المادة المذابة ورواسب الخزان. وتحدث هذه العمليات في كل من الطبقة العليا والطبقة السفلى. مع هذا فإن الأكسجين المستنفذ من الطبقة العليا للماء يعاد تعويضه بسبب التعرض إلى الغلاف الجوي وضوء الشمس، لكن في الطبقات السفلى المعزولة في الخزان التراصفي، يكون هناك استنفاد مستمر للأكسجين المذاب مع قليل من إعادة التعويض. ونتيجة لهذا فإن الماء المنسحب من المستويات الأكثر انخفاضاً في الخزان التراصفي له تركيزات أكسجين مذاب أقل. وعندما يمر هذا الماء عبر مناطق الضغط المنخفض من التربين وأنبوب السحب، يطلق الهواء والأكسجين، مؤدياً إلى المزيد من النقص في الأكسجين المذاب. ومن هنا فإن الهواء المنطلق من التربين وأنبوب السحب يحتوي على أكسجين مذاب منخفض.

طرق زيادة الأكسجين المذاب في الماء من محطات القدرة المائية تشمل التالي:

١- مداخل الانسحاب المختارة: تصمم هذه المداخل بمنافذ متعددة لتسحب باستمرار كميات متناسبة من الماء من الطبقة العليا للماء (ذات تركيز الأكسجين المذاب العالي) والطبقة السفلى (ذات تركيز الأكسجين المذاب المنخفض)، ويتم خلطهما قبل الدخول إلى التربين.

٢- تنفيس (تهوية) التربين وحقن الهواء المضغوط في أنبوب السحب (USAEWES 1983): في هذه الحالة يتم شفط أو سحب الهواء إلى مناطق يكون الضغط فيها أدنى من الضغط الجوي في أنبوب السحب أسفل مخرج التربين. وهذه المناطق ذات الضغط الأقل من الضغط الجوي يمكن أن تحدث كما هو موصوف في "أنبوب السحب"، أو ربما تتكون من خلال التصميم. ويتكون التفريغ من خلال تركيب العارضات أو ألواح الانحراف قرب فتحات التنفيس، التي تسبب فصل التدفق ومساحات الضغط المنخفض التي تقع قرب فتحات التنفيس (التهوية). يتم عمل الهوايات غالباً على التربينات المائية كجزء من نظام التغلب على التفريغ من أجل حماية التربين أثناء الغلق السريع ولتقليل الاهتزاز وتكون الفجوات أثناء العملية العادية. وأن حقن الهواء المضغوط في أنبوب السحب يتم استخدامه عندما لا تسمح الظروف الهيدروليكية باستخدام أنبوب التهوية لتنفيس التربين.

٣- تهوية أو إزالة تراصف الخزان: يتضمن هذا حقن الأكسجين باستخدام الرذاذات أو عن طريق عمل ريشة فقاعة هواء منتشرة في عمود الماء. وأن ارتفاع فقائع الماء من الطبقة السفلى للماء إلى الطبقة العليا يميل إلى أن يزيل تراصف الخزان ويضيف أكسجين إلى عمود الماء الأكثر انخفاضاً.

يعتمد تصميم واقتصاديات أجهزة زيادة الأكسجين المذاب على تجارب النموذج، والخبرة في التركيبات المثيلة، واستشارة المصنعين لأجهزة معينة. ويجب اتخاذ الاحتياطات لضمان أن يكون زيادة الأكسجين المذاب لا تؤدي إلى التشبع المفرط للماء بالغازات، والذي يمكن أن يسبب مرض فقاعة الغاز للأسماك. وهو ينتج عندما يتشبع الماء بشكل مفرط بالنيتروجين والأرجون والغازات المذابة الناتجة من الذوبان في دماء الأسماك. وإذا كان المدخل موضوعاً عند عمق كبير في الخزان، يمكن أن ينطلق الماء إلى المسرب السفلي، حيث يمكن أن يكون الضغط أقل والحرارة أعلى. ويمكن أن يكون هذا جهداً للغازات الناتجة من الذوبان، مؤديةً إلى مرض فقاعة الغاز (ASCE 1989).

التسرب في الأنفاق الصخرية Infiltration into Rock Tunnels

بالإضافة إلى تقييم معدات الحجم والتبطين الخاصة بالأنفاق، فإن مهندس مصادر المياه عليه أن يستنتج احتمالية الترسيب خلال الأنفاق الصخرية حتى يمكن للمقاول اتخاذ الترتيبات الملائمة للتحكم في المياه الجوفية أثناء مراحل الإنشاء والتشغيل. والمعدلات المقاسة والمقدرة للتسرب من خلال تكوينات الدولوميت (كربونات الكالسيوم والماغنسيوم البلورية) التي تمت مصادفتها في نفق شيكاغو ونظام خطة الخزان تراوحت من ٦١ إلى ١١٧٦ م^٣/يوم لكل كيلومتر من طول النفق (Dalton and La Russo 1979). وفي كثير من الحالات الميدانية، لا تكون هناك بيانات متاحة كافية لمعايرة وتأدية النفاذية المزدوجة المعقدة أو نماذج تدفق التصدع لمحاكاة تدفق المياه الجوفية المشبعة-غير المشبعة خلال التكوينات الصخرية المتعددة. ويحدث عادةً التسرب من سطح المصطبة أو الغطاء الصخري إلى موقع النفق خلال تكوينات صخرية وسيطة متعددة. وبسبب الطبيعة العملية لإجراءات التقدير يُنصح بتقدير

معدلات التسرب باستخدام نماذج مختلفة متعددة واختيار قيمة التصميم عن طريق الحكم. وبعض الطرق التقريبية موصوفة هنا.

منهج التسلسل Continuum Approach: يتضمن هذا المنهج عرض الوصلات والتصدعات في التكوينات الصخرية التي تقع فوق فلقة النفق عن طريق الأوساط المسامية المتجانسة المكافئة باستخدام التوصيلات الهيدروليكية التي تم الحصول عليها عن طريق اختبار الكتلة أو اختبارات الحشوة في التكوينات المختلفة. وهذا المنهج يعتبر تقريباً معقولاً للخصائص الهيدروليكية إذا كانت المسافة الفاصلة بين الوصلات وأسطح القاع والتصدع كثيفة بشكل معقول والسلوك الهيدروليكي للكتل الصخرية شبيهاً بالأوساط الحبيبية المسامية (Freeze and Cherry 1979).

في هذا المنهج، من المفترض أن معامل التوصيل الهيدروليكي لكل تكوين تم الحصول عليه من اختبارات الكتلة أو الحشوة هو المتسبب في التسرب في الأنفاق. وهذا يعني أن متوسط معامل التوصيل الهيدروليكي المقدر يمثل معامل التوصيل الهيدروليكي الرأسي للتكوين الخاص بها. ومن المفترض أنه في أغلب الأحيان وبشكل محافظ تكون الوصلات أو التصدعات أو الأوساط المسامية في الغطاء الصخري والتكوينات السفلى متصلة هيدروليكيًا.

كل تكوين يمكن أن يكون له معامل توصيل هيدروليكي وسمكاً مختلفاً. ويتم تقدير معامل التوصيل الهيدروليكي الرأسي المكافئ عن طريق المعادلة:

$$K \text{ (equivalent)} = \sum H_n / \sum (H_n / K_n) \quad (٤,٢)$$

حيث إن:

K = معامل التوصيل الهيدروليكي الرأسي المكافئ للتسرب إلى فلقة النفق
(م/اليوم).

H_n = سمك التكوين n (م).

K_n = معامل التوصيل الهيدروليكي للتكوين n (م/اليوم).

Σ = مجموع كل التكوينات التي تقع فوق فلقة النفق.

إن التسرب سوف يكون تحت وحدة الميل الهيدروليكي في الاتجاه الرأسي على امتداد محيط النفق. وسوف يعمل النفق كحوض عند الضغط الجوى. ولهذا ربما يكون هناك بعض التركيز لخطوط السريان في هذا الجوار. ولحساب هذا يمكن استخدام معامل تركيز تدفق يساوي ١,٥. إذن:

$$Q = 1.5 \times K \times i \times L \times P$$

(٥,١٠٥)

حيث إن:

Q = معدل التسرب (م^٣/اليوم).

L = طول فلقة النفق (م).

i = الميل الهيدروليكي للتدفق الرأسي.

P = محيط القطاع العرضي للنفق (م).

في الواقع سوف يحدث الجزء الأكبر من التسرب خلال النصف العلوي من النفق. وتعد المعادلة رقم (٥,١٠٥) تقريبية لأنها تفترض أن التسرب يكون منتظم التوزيع على كل جوانب النفق.

التسرب خلال الفراغات المملوءة بالتربة:

Infiltration through Soil-Filled Joints

في بعض الحالات يمكن أن يكون هناك فراغات ملحوظة مملوءة بالتربة في التكوينات الصخرية. ومعظم هذه الفراغات عادةً تكون مملوءة بجزيئات الرمل الناعم والطمي والطين التي تنتقل من السطح أو الغطاء الصخري مع ماء المطر المتسرب. واعتماداً على البيانات المنشورة حول معامل التوصيل الهيدروليكي، يمكن أن تحدد مواد الملء على أنها ذات معامل توصيل هيدروليكي عالي أو منخفض الحد (مثلاً، 10^{-3} و 10^{-2} سم/ث).

واعتماداً على البيانات الخاصة بالموقع حول توزيع أحجام حبيبات الملء، فإنه يمكن تقدير متوسط الاتساع الموزون والمسافات الفاصلة للفراغات الصخرية. ويتم استخدام المسافات بين الفراغات لتقدير عدد الفراغات المحتملة في فلقة النفق. وعدد مجموعات الفراغات في فلقة النفق يعطى بالمعادلة التالية:

$$N = [(L_T / NW) + (L_T / NE)] \quad (5, 106)$$

حيث إن:

$$L_T = \text{طول فلقة النفق (م).}$$

$$NW = \text{متوسط التباعد الموزون لمجموعة واحدة من الفراغات (م).}$$

$$NE = \text{متوسط التباعد الموزون للمجموعة المتعامدة من الفراغات (م).}$$

وعند الضرورة، يمكن إضافة مجموعات الفراغات الأخرى.

وحيث إن المصفوفة الصخرية متهاسكة نسبياً، فإنه يمكن افتراض إهمال التسرب خلال المصفوفة الصخرية وإن التسرب الكلي يفترض حدوثه فقط خلال الفراغات المملوءة بالتربة تحت الظروف المشبعة. ويفترض أن يكون التدفق خلال الشقوق الرأسية المملوءة بالطين والطمي و/أو الحصى، ويمكن أن يكون هناك تدفق

ضغط بسيط خلال قاع أجزاء النفق. ويفترض أن تفتح الشقوق على امتداد سقف وجدران جانب النفق. وبالتالي:

$$Q = N \times (W + 2T) \times b \times K \times i \quad (٥,١٠٧)$$

حيث إن:

$$Q = \text{التسرب في فلكة النفق (م}^3/\text{اليوم)}.$$

$$N = \text{العدد المقدّر للفراغات الكلية أو التصدعات في فلكة النفق}.$$

$$W = \text{عرض النفق (م)}.$$

$$T = \text{ارتفاع النفق (م)}.$$

$$b = \text{متوسط العرض الموزون للفراغ النموذجي (م)}.$$

$$K = \text{معامل التوصيل الهيدروليكي لمادة الماء (م/اليوم)}.$$

$$i = \text{الميل الهيدروليكي للتسرب الرأسي}.$$

التسرب خلال التصدعات **Infiltration through Fractures**: في بعض

الحالات، يمكن أن يكون التسرب من خلال التصدعات الضيقة في التكوينات.

والتدفق خلال التصدع الضيق معطى بالمعادلة التالية (Streeter 1971):

$$q = g b^3 i / (12 \nu) \quad (٥,١٠٨)$$

حيث إن:

$$q = \text{التدفق (م}^3/\text{ث)} \text{ لكل متر طول من التصدع}.$$

$$b = \text{العرض الظاهري للفراغ المملوء بالماء (م)}.$$

$$i = \text{الميل الهيدروليكي}.$$

$$g = \text{عجلة الجاذبية الأرضية (م/ث}^2\text{)}.$$

$$\nu = \text{اللزوجة الكينماتيكية للماء (م}^2/\text{ث)}.$$

مدى عرض التجاويف المفتوحة المستخدم في بعض التحليلات السابقة يكون من ٠,٠٠١ إلى ٠,٠٠٢ سم (Long and Witherspoon 1985; Freeze and Cherry 1979)، ومع هذا، يمكن أن تكون عرض الفراغات الصخرية أكبر. إذا كانت البيانات الميدانية غير متاحة، فيمكن افتراض عرض تصدع أكبر نسبياً (مثلاً، 0.002 cm). وبسبب الأنماط المتعرجة للتصدعات المشتركة، فإن الماء المتدفق خلال التصدعات المشتركة يتبع مساراً ملتوياً (متوجاً). ويتم تعريف التموج، τ ، على أنه مربع نسبة الطول الفعلي للتدفق على امتداد مسارات التدفق المتعرجة في الوسط المسامي إلى الطول المستقيم. ويعطى هذا الميل الهيدروليكي التقريبي في المعادلة التالية (Brooks and Corey 1964; Delleur 1999):

$$i \cong 1/\sqrt{\tau} \quad (٥,١٠٩)$$

يمكن تقدير الالتواء عن طريق التجارب العملية على العينات الجوفية الصخرية. وعندما لا تكون هناك بيانات متاحة فإن القيمة التقريبية لقيمة τ تساوي خمسة، يمكن استخدامها للتقديرات الأولية ويمكن تعديل النتائج مع عوامل السلامة الملائمة.

يمكن تقدير طول التصدعات (الشروخ) لكل مساحة متر مربع من الصخور من خرائط التصدع. أما لأجل التقديرات التمهيديّة في الحالات التي لا تكون مثل هذه الخرائط متاحة فإن خرائط التصدع لتكوينات أخرى مثيلة يمكن أن تستخدم مع عوامل سلامة ملائمة. إذن:

$$Q = q L_f W L_T \quad (٥,١١٠)$$

حيث L_r يساوي طول التصدعات (الشروخ) لكل متر مربع من الصخور. وإذا بالإضافة إلى سقف النفق، يتوقع وجود فتحات تصدع على امتداد جدران الجانب أيضاً، إذن يجب أن تتغير W في المعادلة رقم (٥،١١٠) إلى $W + 2T$.

مثال رقم (٥،٢٤): ضع تقديراً مبدئياً للتسرب خلال فلقة النفق لتحتوى في مظهر مناقصة لإنشاء نفق. هناك خمسة تكوينات صخرية فوق النفق. وسمك ومعامل التوصيل الهيدروليكي (التي تم الحصول عليها من اختبارات الحشوة) لهذه التكوينات معطاة في الجدول رقم (٥،٢٩). وفحص العينات الجوفية وخرائط التصدع أوضح أنه ربما يكون هناك خلط للفراغات الضيقة والتصدعات مع متوسط طول تجويف قدره ٣ م / م^٢ من السطح الصخري. ومتوسط عرض التجاويف (مع التصدعات الضيقة وبعض الفراغات المملوءة بالماء أو الهواء الواسعة نسبياً) هو ٠،٠١ سم. وعرض فلقة النفق تبلغ ١٠ م، وارتفاعها ٧ م، وطولها ٣٠٠ م. افترض أن τ تساوي خمسة، وأن اللزوجة الكينماتيكية للماء تبلغ $1,31 \times 10^{-6}$ م^٢/ث عند ١٠°م.

الحل:

باستخدام قانون الاستمرارية على اعتبار أن:

$$W = 10 \text{ m} , \quad T = 7 \text{ m} , \quad P = 2 \times (10 + 7) = 34 \text{ m}$$

ويستخدم المعادلة رقم (٤،٢)، فإن معامل التوصيل الهيدروليكي الرأسى المكافئ للتكوينات فوق فلقة النفق:

$$K = 71.6 / 3225.2 = 0.0222 \text{ m/day}$$

وباستخدام المعادلة رقم (٥،١٠٥)، فإن معدل التسرب لفلقة هذا النفق:

$$Q = 1.5 \times 0.0222 \times 1.0 \times 300 \times 34 = 340 \text{ m}^3 / \text{day}$$

باستخدام قانون تدفق التصدع مع اعتبار أن:

$$b = 0.0001 \text{ m} , \quad \tau = 5.0 , \quad v = 1.31 \times 10^{-6} \text{ m}^2 / \text{s}$$

$$W = 10 \text{ m} , \quad L_T = 300 \text{ m} , \quad L_f = 3 \text{ m}$$

$$i = 1/\sqrt{5.0} = 0.447$$

$$q = 9.81 \times (0.0001)^3 \times 0.447 \times 10^6 / (12 \times 1.31) = 0.00000028 \text{ m}^2 / \text{s}$$

$$q = 0.0241 \text{ m}^2 / \text{s}$$

$$Q = 0.0241 \times 300 \times 10 \times 3 = 216.91 \text{ m}^3 / \text{day}$$

أي أن المدى المقدر من معدلات التسرب خلال فلقة النفق يكون من حوالي ٢١٧ إلى ٣٤٠ م^٣/يوم. ويجب أن يتم تحديث هذه التقديرات عندما تصبح البيانات الخاصة بالموقع متاحة.

الجدول رقم (٥،٢٩). السمك ومعامل التوصيل الهيدروليكي للتكوينات فوق قاع النفق.

السمك (م)	معامل التوصيل الهيدروليكي (م/يوم)		
H_n	K_n	H_n/K_n	التكوين
١٢،٢	٠،٠٠٦٧٣٦	١٨١١،٢	A
٢٦،٧	٠،٠٧١٨٠٧	٣٧١،٨	B
٧،٦	٠،٠٥٦٧٥١	١٣٣،٩	C
١٣،٧	٠،٠٣٨٩٥١	٣٥١،٧	D
١١،٤	٠،٠٢٠٤٨٢	٥٥٦،٦	E
٧١،٦	-	٣٢٢٥،٢	المجموع

التحليل الاقتصادي

ECONOMIC ANALYSIS

تقدير تكاليف وفوائد المشروعات الهندسية لمصادر المياه

Estimates of Costs and Benefits of water Resources Engineering Projects

التكاليف التالية متعلقة بمشروع نموذجي لهندسة المصادر المائية:

- ١ - إصلاح الأراضي.
- ٢ - تجميع / تفريق المعدات والعمالة.
- ٣ - مباني للتخزين، وورش العمل، والمنازل.
- ٤ - المنشآت المدنية والمنشآت الأخرى المتعلقة بالمشروع مثل (التحويل أو الخزان، الأنفاق، إنشاء الصهاريج، سد الماء وبنائته، سد لمنع الفيضان، الحماية من الانجراف وعوامل التعرية، القنوات، الآبار، والتنقيب عن الترب الملوثة أو أي أنشطة تتوسط ذلك).
- ٥ - الطرق والمداخل وأنظمة الاتصالات.
- ٦ - إعادة الإصحاح أو التقويم، والانتقال إلى موقع جديد والاستقرار بعد الترحيل.
- ٧ - التصاريح والامتثال البيئي الذي يحتوي على المراقبة.
- ٨ - الإدارة أثناء الإنشاء.

٩- التشغيل والصيانة أثناء عمر المشروع.

الفوائد يمكن أن تتضمن فوائد أو منافع أساسية مثل (إمداد البلدية بالماء، والري، والطاقة الكهربائية، والتحكم في فيضان الماء، والتحسين البيئي والمواقع المتوسطة)، ومنافع ثانوية مثل (التطورات الحادثة بسبب وفرة الإمداد بالماء، ومنشآت التحكم بتدفق الماء، والطاقة الكهربائية والتحسين البيئي). وفوائد تأتي في المرتبة الثالثة مثل (تطور الأعمال الأخرى، والمنافع، والطوارئ الصناعية المتعلقة بتطورات المشروع).

كلاً من التكاليف والفوائد يمكن التعبير عنهم في شروط ملموسة (إعطاء قيمة للدولار) أو/ وغير ملموسة (عدم وجود قيمة للدولار). الشروط غير الملموسة تتضمن التعبير عن أي علاقة ترتبط بالمشروع سواء صغيرة، أو متوسطة، أو أساسية، وغير مهمة أو مهمة. علاوة على ذلك يمكن التعبير عنهم كعدد من الأشخاص أو المقيمين في المنزل، أشجار، مزايا علم التربة والمساحة بالإيكارات مثل (مناطق صيد السمك وبيئة الحياة البرية) متأثرة بالمشروع.

تحليل الأرباح-التكاليف Benefit-Cost Analysis

التحليل الاقتصادي لمشاريع هندسة مصادر الماء يتضمن مقارنة للتكاليف والأرباح (الفوائد) لمشروع أو بديل للمشروع. التكاليف والفوائد يمكن التعبير عنهم كخطه سنوية أو الاستفادة من قيمتهم طوال عمر المشروع بمعدلات ملائمة من خصم معدل الفائدة وتزايد السعر مع مرور الوقت. ولوصف مبسط لتقييم البدائل، يتم دائماً تجاهل تزايد الأسعار. والتكاليف السنوية يمكن أن تتضمن قيم محسوبة لمدة سنة من رأس المال، والتشغيل السنوي وتكاليف الصيانة والتقييم السنوي المسؤول عن الخسائر والتعويض/ التأمين، والتكاليف تشمل إقامة وتشغيل المشروع. والفوائد

السوية يمكن أن تتضمن قيم مالية لفوائد أولية وثنائية تنسب إلى المشروع. وتكلفة الدين والتعويض أو التأمين يمكن أن تتضمن دفعات سنوية لتغطية خسارة مخازن، منشآت تنسب إلى تشغيل منشآت المشروع مثل (تلف نظام الإنذار) أو تلف في طاقة بناية المشروع مثل (خسائر ناتجة عن فشل في السد). علاوة على ذلك فإن هذه التكاليف يمكن أن تتضمن تكلفة رأس المال لإعادة بناء أو إصلاح البناية أو إعطاء فوائد ملائمة حتى الوقت المتبقي لعمر المشروع. تلك التكاليف محسوبة باستخدام احتمال الفشل، عمر المشروع، معدل الخصم والقيمة المالية المحسوبة لعواقب الفشل (ASCE 1988; Prakash 1992a, 1992b).

تكلفه رأس المال (تكلفة الوقت الحاضر) يمكن أن تتحول إلى تكلفة سنوية متساوية بواسطة:

$$(٦,١) \quad CA = CP \cdot i (1+i)^n / [(1+i)^n - 1]$$

حيث إن:

CA = التكاليف السنوية المكافئة.

CP = تكلفه رأس المال (التكلفة الحالية).

i = معدل الخصم في السنة للدولار.

n = العمر المتوقع للمشروع.

كل التكاليف بتكلفة الدولار للوقت الحالي

عامل تغطيه رأس المال (CRF) هو القيمة السنوية التي بعد n عدد من السنين

سوف يحدث تساوي مع دولار واحد مستثمر اليوم. CRF معطى بواسطة المعادلة

التالية:

$$(٦,٢) \quad CRF = i (1+i)^n / [(1+i)^n - 1]$$

طريقة حساب نسبة معدل الفائدة (B/C) هي:

(٦,٣)

$$B/C \text{ ratio} = BA / (CA + OM)$$

حيث إن:

$$BA = \text{الفوائد السنوية.}$$

$$OM = \text{التكلفة السنوية للصيانة والتشغيل.}$$

السعر المستقبلي يتزايد في الوقت الحاضر، والتكاليف والفوائد السنوية يمكن

تحديدها بواسطة (USACE 1979 ; Prakash 1992a):

$$(٦,٤) \quad A = CA (1+j)i \left[\frac{(1+i)^n - (1+j)^n}{(1+i)^n - 1} \right] (i-j)$$

حيث إن:

$$A = \text{تكاليف القيمة السنوية مع تزايد الأسعار.}$$

$$CA = \text{القيمة السنوية المحسوبة للفوائد والتكاليف.}$$

$$j = \text{معدل تزايد الأسعار بالدولار في السنة.}$$

$$i = \text{عادة معدل تزايد الأسعار } z \text{ يكون أقل من معدل الخصم } i.$$

متوسط الخسائر السنوية مؤمن بواسطة مشروع التحكم بالفيضانات ويقدر

بواسطة طريقة القيم المتوقعة:

(٦,٥)

$$ED = \sum D(P) \times \Delta P$$

حيث إن:

$$ED = \text{الخسائر المتوقعة.}$$

$$D(P) = \text{غالباً ما تحدث الخسائر أثناء احتمال التدفق } P.$$

$$\Delta P = \text{احتمال الزيادة أو التردد.}$$

$$\sum = \text{المجموع من ١ إلى جميع أرقام تزايد الاحتمالات.}$$

خطوات الحساب مبينة بالتالي:

- قائمه فتره العوده (T) لتدفقات مختلفه من سنة واحدة إلى تدفق الحد الأقصى (العمود رقم ١ في الجدول رقم ١، ٦).

الجدول رقم (١، ٦). حساب الخسائر المتوقعة لمشروع التحكم بالتدفق.

(١)	(٢)	(٣)	(٤)	(٥)
فتره العوده	الاحتمال	احتمال الزيادة أو التردد	الخسائر	الخسائر المتوقعة
(T)	(P)	(ΔP)	D(P)	D(P) × ΔP
(سنة)			(ألف دولار)	(ألف دولار)
١,٠٠٥	٠,٩٩٥	٠,٠٠٥	صفر	صفر
٢,٠٠٠	٠,٥	٠,٤٩٥	٣٠٠	١٤٨,٥
٢,٥٠٠	٠,٤	٠,١٠٠	٤٠٠	٤٠
٣,٣٣٣	٠,٣	٠,١٠٠	٥٠٠	٥٠
٥,٠٠٠	٠,٢	٠,١٠٠	٥٥٠	٥٥
١٠,٠٠٠	٠,١	٠,١٠٠	٦٠٠	٦٠
٢٠,٠٠٠	٠,٠٥	٠,٠٥٠	٦٥٠	٣٢,٥
٢٥,٠٠٠	٠,٠٤	٠,٠١٠	٧٠٠	٧,٠
٣٣,٣٣٣	٠,٠٣	٠,٠١٠	٧٥٠	٧,٥
٥٠,٠٠٠	٠,٠٢	٠,٠١٠	٨٠٠	٨,٠
١٠٠,٠٠٠	٠,٠١	٠,٠١٠	٨٥٠	٨,٥
٢٠٠,٠٠٠	٠,٠٠٥	٠,٠٠٥	١٠٠٠	٥,٠
٢٠٠ <	٠,٠٠٥ >	٠,٠٠٥	١١٠٠	٥,٥
المجموع		١,٠٠٠		٤٢٧,٥

• حساب احتمال التراكم لكل فترة عوده: $p = 1/T$ (العمود رقم ٢، في الجدول رقم ١، ٦).

• حساب احتمال التزايد بين احتمال التراكم القريب (العمود رقم ٣، في الجدول رقم ١، ٦). ويجب أن يكون مجموع احتمالات التزايد مساوي للواحد الصحيح.

• تقدير الخسائر مع التدفق لكل فترة عوده (العمود رقم ١) والعمود رقم (٤)، في الجدول رقم (١، ٦).

• حساب الخسائر المتوقعة مع كل احتمال تزايد، $D(P) \times \Delta P$ (العمود رقم ٥)، في الجدول رقم (١، ٦).

• تقدير إجمالي الخسائر (المتوقع السنوي) كما هو موضح في المعادلة رقم (٤، ٦) (العمود رقم ٥)، في الجدول رقم (١، ٦).

مثال رقم (١، ٦): مشروع التحكم بالتدفق يتضمن القنوات، وإنشاء السد، والحماية من الانجراف. تكلفه المشروع (بسرعة الدولار الحالي) ٤,٥ مليون دولار. ومعدل خصم معدل الفائدة لعمر المشروع ٥٠ سنة هو ٧٪. وتقدير منع أضرار الفيضان المحتمل بالمشروع موضحة بالعمود رقم (٤) في الجدول رقم (١، ٦). تكلفه الصيانة والتشغيل المقدرة بسعر الدولار في الوقت الحالي ٢٥ ألف دولار للسنة. أحسب نسبه B/C مع تجاهل تزايد السعر وأيضاً بأخذ تزايد الأسعار في الاعتبار بفرض أنها ٣٪ لكل سنة.

الحل:

الخسائر التي يمكن أن تكون قد حدثت أثناء الفيضان لاحتتمالات مختلفة والتي تم تجنبها بواسطة المشروع موضحة في العمود رقم (٢) ورقم (٤) من الجدول رقم

(٦, ١). والتردد أو احتمال التزايد لكل حدث فيضان أو تجنب الخسائر موضح في العمود رقم (٣). والعمود رقم (٣) هو الفرق بين قيمتين متتابعتين لـ P في العمود رقم (٢). والخسائر المتوقعة هي ناتج ضرب العمود رقم (٣) في العمود رقم (٤) وموضحة في العمود رقم (٥).

المجموع السنوي المقدّر للخسائر المتجنبة هو ٤٢٧,٥ ألف دولار. ولكي نوضح التحليل نفترض أن متوسط الفوائد السنوي لا يمكن التحكم فيه أو بالأحرى تقديره تقدير احتمالي.

تجاهل تزايد السعر من المعادلة رقم (٦, ١) يعطي

$$CA = 4.5 \times 0.07 (1.07)^{50} / [(1.07)^{50} - 1] \times 10^6 = 326069 \$$$

بإضافة تكاليف التشغيل والصيانة السنوية، يكون إجمالي التكاليف السنوية =

$$CA + OM = 326069 \$ + 25000 = 351069 \$$$

نسبة معدل الفائدة

$$B/C = 427500 / 351069 = 1.22$$

وبفرض تزايد الأسعار، فإن قيمة الدولار لفوائد المشروع وتكلفة الصيانة والتشغيل سوف تتزايد. وتكلفة رأس المال تسبب هذا بالفعل. ولذلك تزايد الأسعار لن يؤثر على قيمته السنوية. واستخدام المعادلة رقم (٦, ٤) مع فرض معدل تزايد الأسعار يساوي 0.03، تعديل الفوائد السنوية =

$$427500 \times (1.03) \times 0.07 \times [(1.07)^{50} - (1.03)^{50}] / \{(1.07)^{50} - 1\} (0.07 - 0.03) \\ = 427500 \times 1.588 = 678870 \$$$

وبالمثل تعديل تكاليف الصيانة والتشغيل السنوية =

$$1.588 \times 25000 \$ = 39700 \$$$

إجمالي التكاليف السنوية =

$$39700 \$ + 326069 \$ = 365769 \$$$

تعديل نسبة معدل الفائدة

$$B/C = 678870 / 365769 = 1.86$$

تقييم بدائل المشروع الهندسي لمصادر المياه

Evaluation of Water Resources Engineering Project Alternatives

النسبة (B/C) تعتبر مرجع مناسب للتقييم النسبي لعدة بدائل مختلفة للمشروع أو لتقييم الحيوية الاقتصادية للمشروع. ولإضافة أوضح للتحليل الاقتصادي لبدائل المشروع حيث استثمار رأس مال إضافي يمكن أن يزيد فوائد المشروع وذلك لكي نقيم تزايد التكلفة والفوائد الاقتصادية لتعدد بدائل المشروع.

مثال رقم (٦،٢): قيم دراسة الجدوى الاقتصادية من ستة بدائل من مشروع التحكم في الفيضان مع التكاليف والفوائد المتزايدة المشار إليها في الجدول رقم (٦،٢).

الجدول رقم (٦،٢). حساب التكاليف والفوائد المتزايدة.

البديل	التكاليف السنوية (دولار)	التكاليف المتزايدة (دولار)	الفوائد السنوية (دولار)	الفوائد المتزايدة (دولار)	نسبة الفائدة (B/C)	الفوائد المتزايدة / التكاليف المتزايدة
١	٢٢٠٠٠٠	٠	٢٥٠٠٠٠	٠	١,١٤	٠
٢	٢٥٨٠٠٠	٣٨٠٠٠	٣٠٠٠٠٠	٥٠٠٠٠	١,١٦	١,٣١
٣	٣١٠٠٠٠	٥٢٠٠٠	٤٢٠٠٠٠	١٢٠٠٠٠	١,٣٥	٢,٣١
٤	٤١٠٠٠٠	١٠٠٠٠٠	٥٥٠٠٠٠	١٣٠٠٠٠	١,٣٤	١,٣٠
٥	٥٦٨٠٠٠	١٥٨٠٠٠	٦٠٠٠٠٠	٥٠٠٠٠	١,٠٦	٠,٣٢
٦	٦٧٠٠٠٠	١٠٢٠٠٠	٦٨٠٠٠	٨٠٠٠٠	١,٠١	٠,٧٨

الحل:

بناء على نسبة B/C الموضحة في الجدول رقم (٦،٢)، البديل رقم ٣ هو الخيار المفضل. وعلى كل حال إذا كانت القدرة الاقتصادية متاحة من رعاة المشروع، فالبديل رقم ٤ يمكن أن يمدنا بفوائد سنوية إضافية بمبلغ ١٣٠ ألف دولار مع تكاليف

سنوية إضافية بمبلغ ١٠٠ ألف دولار، وقد يستحق أن يوضع في الاعتبار. هذه يشار إليها بنسبة الفوائد المتزايدة / التكاليف المتزايدة من الاتحاد الأكبر.

طريقة ذاتية لتقييم نسبي لبدائل متعددة للمشروع حيث كلاً من التكاليف والفوائد المالية الشرعية يجب أن توضع في الاعتبار كخليط من المشاريع المتاحة وغير معروفة (Prakash 1991). وللوصول لهذا التقييم يتشكل فريق من العلماء تضمن مهندس مصادر الماء، مندوبي الملاك/ التشغيل، متفعين وتأثير الجماعات على المشروع، عضو من الوكالة المنظمة، وعلماء بيئة. وتكوين فريق العمل يمكن أن يتنوع على حسب نوع المشروع وأهمية العلاقة بعوامل التقييم المختلفة. وأعضاء الهيئة يمكن أن يشاركوا في عدة جلسات مغلقة.

في الجلسة الأولى، تدرج كل عوامل التقييم النسبي لبدائل المشروع، ومناقشة البدائل وتعريفها وتأثير اتحادها مع البدائل الأخرى. وكل عضو منفرد يحدد أهمية لكل عامل تقييم بحيث تكون مجموع الأهمية الذي يراها يساوي ١٠ أي أن

$$\sum W(i) = 1.0 \quad (٦,٦)$$

حيث إن $W(i)$ تساوي كسر يحدد أهمية عامل التقييم i ، والمجموع فوق كل عوامل التقييم. وتحدد الأهمية من خلال الأعضاء بجانب عرضه أو عرضها للأسباب ويتم المراجعة بواسطة جميع الأعضاء حتى يتوصلوا بالإجماع على أهمية محددة. وبعد هذه الدراسات، كل عضو في الهيئة يطلب منه مراجعة قراره. وتكرر هذه العملية حتى يتم التوصل لمجموعة محددة من الاتفاقات لكل عوامل التقييم. وتوضع هذه النتائج في عمود المتغير $W(i)$.

في الجلسة الثانية كل عضو في الجلسة يقوم بتحديد نتيجة لكل بديل يتطابق مع كل عامل تقييم بميزان من صفر إلى ١٠. وتحقيق ١٠ يعتبر الأكثر إيجابيه وصفر يعتبر

الأكثر سلبية. وكما كان في الجلسة الأولى نتائج كل أعضاء الهيئة يتم مراجعتها بناءً على بحوث ومناقشات متبادلة حتى يتم الحصول على مجموعة من النتائج المتفق عليها لكل بديل لكل عوامل التقييم. ولعوامل التقييم ذات القيم الكمية مثال (تكلفة رأس المال، الفوائد السنوية، ... إلخ)، نتيجة غير مرغوب فيها من ٥,٠ تحدد للقيمة الوسطى لكل البدائل. أي زيادة أو نقص مع تقدير القيمة الوسطى يتم التعبير عنها بالزيادة الإضافية أو طرح النتيجة الوسطى من ٥,٠. وهذه الزيادات أيضاً يتم تحديدها في الجلسة النهائية.

بناءً على المعلومات عن النتيجة والأهمية، التي يتم جدولتها في قاعدة بيانات تنظيمية واضحة. وعوامل التقييم تشكل الأعمدة، والأرقام التي تمثل البدائل تشكل الصفوف لهذا الجدول. كل صف في الجدول (مصفوفة) يتضمن نتائج يتم تحديدها لبديل مع التقدير لكل عامل تقييم. والأهمية التي تم تحديدها لكل عامل تقييم تم إدراجها في عمود (أي، كعمود رئيس). ونواتج المنظومة المسطحة مع العمود الرئيسي من الأهمية يعطى العمود الرئيس الذي يحتوى على النتيجة المهمة لكل بديل. وكل إدخال في الصف مضاعف بالتقارب مع الأهمية في العمود الرئيس، وكل المنتجات يتم إضافتها للحصول على نتيجة متوسط الأهمية للبدائل في ذلك الصف. ويمكن تحقيق هذا يدوياً أو في جدول حسابات مثل (برنامج الإكسل). النتائج المهمة تمثل التصنيف لكل بديل.

مثال رقم (٦,٣): تسع بدائل وثمان عوامل تقييم تم تعريفهم لمشروع هندسة مصادر المياه. ومعيار النتيجة والأهمية يتم تحديده في جلسة تقييم العمل وموضح في الجدول

رقم (٦,٣)، ورقم (٦,٤)، ورقم (٦,٥). قم بعمل تقييم نسبي للبدايل وقم باختيار الأفضل باستخدام مجموعتين من الأهمية المشار إليه في الجدول رقم (٦,٣).

العواقب المترتبة على الفشل تتضمن تكلفة الخسارة للمخازن والمنشآت الناتجة عن قصور إنشائي مثل (شرح في سد أو جدار أو خزان تخزين ماء). التأثير الاجتماعي يتضمن التوزيع للمجتمعات، نقل المساكن، المدارس، المستشفيات ومنشآت اجتماعية أخرى.

الحل:

معياري التحقيق لعوامل التقييم الملموسة المحدد في جلسات تقييم العمل موضح في الجدول رقم (٦,٤).

ومعيار النتيجة للإنشاء وعوامل أخرى غير ملموسة مدرج في الجدول رقم (٦,٥).

الأهداف الناتجة لكل بديل لكل عوامل التقييم التسعة موضحه في الجدول رقم (٦,٦).

متوسط نتيجة الأهمية للبديل رقم ١ هي:

$$9 \times 0.2 + 3.5 \times 0.2 + 9 \times 0.2 + 9 \times 0.1 + 9 \times 0.05 + 7 \times 0.05 + 9 \times 0.1 + 9 \times 0.1 = 7.8$$

اتباعاً لنفس الأسلوب متوسط نتيجة الأهمية للتسع بدائل موضحه في الجدول رقم (٦,٧).

في هذه الحالة البديل الأقل تكلفة (البديل رقم ١) مشار إليه أنه الخيار المفضل. إذا كانت الفوائد الاقتصادية للمشروع تعطى أهمية عالية، كما هو مشار إليها بالبديل الأهم في الجدول رقم (٦,٣)، ثم النتائج المهمة ستكون كما هي موضحه في الجدول رقم (٦,٨). في هذه الحالة البديل الأعلى يتحول ليكون الاختيار الأفضل.

وهذا يوضح أن هذه الطريقة تأخذ في الاعتبار أنها عوامل موضوعية وأن متخذي القرارات قد يتوجب عليهم الأخذ بالاعتبار في اختيار النطاق المفضل للعمل.

الجدول رقم (٦,٣). وصف البدائل والأهمية لمعيار التقييم.

غير ملموسين					دفعه سنوية (مليون دولار)			
التأثير								
مستخدمين آخرين	اجتماعي	جودة المياه	علم البيئة	الإنشاء	عواقب الفضل	الفوائد	التكلفة	البديل
تقريباً لا شيء	تقريباً لا شيء	الأقل	تقريباً لا شيء	سهل	١,١	١,٠٥	١,٠	١
الأقل	الأقل	معتدل	معتدل	سهل	١,٦	١,٢٢	١,٢	٢
الأقل	الأقل	معتدل	معتدل	سهل	٢,١	١,٣٥	١,٤	٣
معتدل	معتدل	الأقل	معتدل	معتدل	٢,٦	١,٥٢	١,٦	٤
معتدل	معتدل	الأقل	الأقل	معتدل	٣,١	١,٦٠	١,٩	٥
معتدل	معتدل	الأقل	الأقل	صعب	٣,٥	١,٧٥	٢,٢	٦
مهم	مهم	مهم	معتدل	صعب	٤,٠	٢,٠	٢,٦	٧
مهم	مهم	مهم	مهم	صعب جداً	٤,٦	٢,٤	٣,٣	٨
مهم	مهم	الأقل	مهم	صعب جداً	٤,٧	٣,٠	٤,٣	٩
٠,١	٠,١	٠,٠٥	٠,٠٥	٠,١٠	٠,٢	٠,٢	٠,٢	Wt.
٠,٠٨	٠,٠٨	٠,٠٨	٠,٠٨	٠,٠٨	٠,٠٥	٠,٥	٠,٠٥	Alt. Wt.

Wt. = الأهمية محدد له عامل التقييم

Alt. Wt. = بديل الأهمية المحددة له عامل التقييم.

الجدول رقم (٦،٤). معيار النتيجة للعوامل الملموسة.

النتيجة	عواقب الفشل (بالمليون دولار)	النتيجة	الفوائد (بالمليون دولار)	النتيجة	التكلفة (بالمليون دولار)
٩	١,٤ - ١,٠	٣	٠,٩٩ - ٠,٥	٩	١ - ٠,٥
٨	١,٩ - ١,٥	٣,٥	١,١٩ - ١,٠	٨	١,٢٥ - ١,١
٧	٢,٤ - ٢,٠	٤	١,٢٩ - ١,٢	٧	١,٥ - ١,٣
٦	٢,٩ - ٢,٥	٤,٥	١,٤٩ - ١,٣	٦	١,٧٥ - ١,١
٥	٣,٢ - ٣,٠	٥	١,٧ - ١,٥	٥	٢,٠ - ١,٨
٤,٥	٣,٨ - ٣,٣	٦	١,٨ - ١,٧١	٤,٥	٢,٤ - ٢,١
٤,٠	٤,٤ - ٣,٩	٧	٢,١ - ١,٨١	٤,٠	٣,٠ - ٢,٥
٣,٥	٥,٠ - ٤,٥	٨	٢,٥ - ٢,١٥	٣,٥	٤,٠ - ٣,١
٣	٥,٠ <	٩	٢,٥ <	٣	٤,٠ <

الجدول رقم (٦,٥). معيار النتيجة للعوامل غير الملموسة.

الإنشاء		غير ملموسة أخرى	
النتيجة	قيمه العامل	النتيجة	قيمه العامل
٩	سهل	٩	تقريباً لا شيء
٦	معتدل	٧	الأقل
٥	صعب	٥	معتدل
٤	صعب جداً	٤	مهم

الجدول رقم (٦,٦). تقييم المصفوفة.

البديل	عوامل التقييم								الأهمية
	١	٢	٣	٤	٥	٦	٧	٨	
١	٩	٣,٥	٩	٩	٩	٧	٩	٩	٠,٢
٢	٨	٤	٨	٩	٥	٥	٧	٧	٠,٢
٣	٧	٤,٥	٧	٩	٥	٥	٧	٧	٠,٢
٤	٦	٥	٦	٦	٥	٧	٥	٥	٠,١
٥	٥	٥	٥	٦	٧	٧	٥	٥	٠,٠٥
٦	٤,٥	٦	٤,٥	٥	٧	٧	٥	٥	٠,٠٥
٧	٤	٧	٤	٥	٥	٤	٤	٤	٠,١
٨	٣,٥	٨	٣,٥	٤	٤	٤	٤	٤	٠,١
٩	٣	٩	٣,٥	٤	٤	٧	٤	٤	

الجدول رقم (٦,٧). نتيجة متوسط الأهمية الحالة ١.

البديل	نتيجة متوسط الأهمية
١	٧,٨
٢	٦,٨
٣	٦,٥
٤	٥,٦
٥	٥,٣
٦	٥,٢
٧	٤,٧٥
٨	٤,٦
٩	٤,٨٥

الجدول رقم (٦,٨). تعاقب نتيجة متوسط الأهمية الحالة ٢.

البديل	نتيجة متوسط الأهمية
١	٦,٠٩
٢	٥,٤٤
٣	٥,٥٩
٤	٥,٣٤
٥	٥,٤
٦	٥,٧٧
٧	٥,٦٦
٨	٥,٩٥
٩	٦,٦٦٥

المواضيع البيئية ومراقبتها

ENVIRONMENTAL ISSUES AND MONITORING

مقدمة Introduction

المياه مصدر طبيعي ضروري لاستمرار الحياة. وهو يستنفذ باستمرار ويعاد التزود به من خلال الدورة الهيدرولوجية. ومع هذا، هناك عدد كبير من الاستخدامات التنافسية تجعل من تخصيص المياه بشكل منصف للاستخدامات المختلفة أمراً بالغ الصعوبة. وإن تحديد مصادر المياه لواحد أو أكثر من الاستخدامات المختارة يؤثر على إتاحته لاستخدامات أخرى محتملة. وأحد أنواع الاستخدام الذي يمكن أن يعد استهلاكياً في أحد الأشكال يمكن أن يعد غير استهلاكي ضمن إطار العمل المجمل للدورة الهيدرولوجية. فعلى سبيل المثال، المياه التي تحول للاستخدام في الري يمكن أن تعد استهلاكية مادامت مصادر المياه السطحية في نظام المخزون قد تأثرت لأن هذه المياه لن تكون متاحة بسهولة للاستخدامات الأخرى ضمن بيئة محلية بعينها. ومع هذا، فإن كمية المياه المتحولة التي تُفقد بالرشح تعود للظهور كسريان في هيئة مختلفة من المياه يمكن أن تكون استخداماً غير استهلاكي بمعنى الاتزان الكلي للمياه في الطبيعة. وإن عدم إتاحة المياه بالكمية والجودة المطلوبة للاستخدام غير تلك التي تم

تحديد لها لأجلها تحت مشروع هندسة مصادر المياه تشكل أثراً على خصائص بيئية أخرى.

ولضمان الاستخدام الأمثل والمنصف لكمية وجودة المياه المتاحة في إقليم ما، فمن الضروري تقييم كل الآثار البيئية المفيدة محتملة الحدوث والآثار البيئية غير المواتية لمشروع هندسة مصادر المياه. ويشمل مصطلح "البيئة" كل من البيئة الطبيعية والفيزيائية وعلاقة الناس بتلك البيئة (مثل، الأرض، ونظام المياه الجوفية- المياه السطحية، والهواء، والنظام البيئي، والكائنات الحية، وسمات الآثار، والصناعات التاريخية، والوحدات الثقافية، والاجتماعية، والاقتصادية، والسياسية، والقيم الجيولوجية والبيئية في الموقع). ويمكن أن يؤدي إعادة توزيع مصادر المياه بين الأنواع المختلفة من الاستخدامات في الماضي والحاضر والمستقبل التي تلي تحديد مشروع هندسة مصادر المياه إلى النزاع بين المصالح المتنافسة. وأحدى الطرق التي يمكن تطبيقها لحل أو للحد من هذه النزاعات هي إعداد تقييم بيئي (EA) أو بيان الأثر البيئي (EIS) قبل اتخاذ القرار. والأثر هو تغيير أو عاقبة، يمكن أن تكون إيجابية أو سلبية، تنتج عن المشروع.

في الولايات المتحدة، يتم التحكم في تقييم الآثار البيئية للسدود ومشروعات مصادر المياه الأخرى عن طريق التالي:

- تعديل بيان السياسة البيئية القومي (NEPA) لعام ١٩٦٩، (Public Law 91-190، 42 U.S.C. 4321 et seq.)

- تعديل بيان تحسين جودة البيئة لعام ١٩٧٠، (42U.S.C. 4371 et seq.)

- تعديل القرار التنفيذي ١١٥١٤، بعنوان حماية وتحسين جودة البيئة (٥ مارس

١٩٧٠، بالقرار التنفيذي ١١٩٩١، ٢٤ مايو ١٩٧٧).

يعمل بيان السياسة البيئية القومي (NEPA) على تقرير السياسة ووضع الأهداف وتقديم الوسائل لتنفيذ هذه السياسة ويحتوى على تدابير احتياطية لضمان أن تعمل الوكالات الفيدرالية وفقاً لنص وروح البيان. وتضمن إجراءات بيان السياسة البيئية القومي إتاحة البيانات البيئية حول المشروع لعامة المستولين والمواطنين قبل أن يتم اتخاذ القرارات وقبل القيام بالتنفيذ. ومن الضروري لتنفيذ بيان السياسة البيئية القومي وجود تحليل علمي دقيق، وتعليقات من وكالة خبيرة، والأمن العام. وتكون الوكالات الفيدرالية مسئولة عن التالي:

- تفسير وإدارة السياسات والتنظيمات والقوانين العامة المتعلقة ببيان السياسة البيئية القومي.
- تنفيذ الإجراءات لجعل عمل بيان السياسة البيئية القومي أكثر نفعاً لمتخذي القرارات ولل العامة.
- التشديد على المشاكل البيئية والبدائل.
- دمج متطلبات بيان السياسة البيئية القومي مع إجراءات العرض البيئي والتخطيط الأخرى.
- تشجيع وتسهيل المشاركة العامة في القرارات التي تؤثر على جودة بيئة الإنسان.
- استخدام بيان السياسة البيئية القومي لتحديد عمل وتقييم البدائل المعقولة للأعمال المقترحة.
- استخدام كل الوسائل العملية لاستعادة وتحسين جودة بيئة الإنسان ولتجنب أو لتقليل التأثيرات غير المواتية الممكنة على جودة بيئة الإنسان (CFR 40, Part 1500).

يشمل مصطلح "الأثار البيئية" كل الأثار النافعة أو غير المواتية أو التغييرات في النظام الهيدرولوجي الذي ينسب إلى الإنشاء، أو التعديل، أو تشغيل السد، أو تحويل السريان، أو تنفيذ أنشطة هندسة مصادر مائية أخرى. ويمكن أن تكون الأثار بنائية، أو غير بنائية، أو متعلقة بالنظام البيئي، أو جمالية، أو أثرية، أو متعلقة بالمياه والترسبات والتربة، أو اقتصادية (متعلقة بالتجارة)، أو متعلقة بتدفق المجرى المائي وجودة المياه، أو جيومورفية (خاصة بمظاهر السطح)، أو اجتماعية اقتصادية، أو ثقافية وإبداعية. ويجب إعداد بيان الأثر البيئي EISs باستخدام منهج الانضباط المتبادل الذي يضمن الاستخدام المتكامل للعلوم الطبيعية والاجتماعية وفنون التصميم البيئية. وبالإضافة إلى ذلك قامت العديد من الولايات بتحديد خطوط إرشادية أو قوانين لإعداد بيان الأثر البيئي EISs للسدود ومتطلبات التصريح البيئي لمشروعات هندسة مصادر المياه الأخرى في نطاق سلطاتها القضائية.

وقد تم تقرير خطوط إرشادية وقوانين مثيلة من قبل البنك الدولي ومنظمات أخرى تقدم المساعدة في مجال إنشاء وتشغيل مشروعات هندسة مصادر المياه. وبالإضافة إلى ذلك، قامت كثير من الدول بتحديد الخطوط الإرشادية الخاصة بها لإعداد تقرير الأثر البيئي EIR أو بيان الأثر البيئي EIS لمشروعات هندسة مصادر المياه.

ففي بعض الدول، بما فيها الولايات المتحدة، تم تقرير نظام لحقوق المياه لتسهيل توزيع واستخدام المياه الجوفية والمياه السطحية. وهناك نوعان من حقوق المياه: الشاطئية والمخصصة. وسحب المياه من المجاري المائية يتم التحكم فيه عن طريق حقوق المياه الشاطئية أو المخصصة التي تدار بشكل عام عن طريق وكالات الدولة. وضمن الحقوق المخصصة يخول ماللك الأرض المجاورة للمجرى المائي أن

يُستفاد بشكل مفيد ومعقول من التدفق الطبيعي للمجرى المائي بدون تغيير في الجودة أو الكمية. ويمكن للمالك حقوق المياه المخصصة عند منبع التدفق أن يعملوا بشكل كبير على زيادة أو تقليل التدفق الطبيعي لإيذاء مالك حقوق المياه في اتجاه سير التدفق حتى المصب. وتقرر حقوق المياه المخصصة الكميات والأولويات لسحب المياه للاستخدام النافع من قبل كل مالك لحق المياه، ويفرض أن الكميات المتاحة كافية بعد تلبية طلبات حقوق المياه الأعلى مرتبة. وهي تقوم على مفهوم أن الأول في الوقت هو الأول في الحق. ويمكن أن تتحول حقوق المياه من أحد الهيئات أو أحد الملاك إلى آخر. وكذلك يمكن أن تتحول نقاط سحب المياه من أحد المواقع إلى آخر باستخدام الإجراءات القانونية والإدارية. وعندما يكون الماء المتاح قليلاً، فإن مالك حقوق المياه الأعلى مرتبة يمكن أن يستخدم حصته أو حصتها الكاملة، بينما يجب على مالكي حقوق المياه الأقل مرتبة العيش بنقص في المياه. وإن مشروعات هندسة مصادر المياه، التي يمكن أن تمثل خطراً على حقوق المياه الأعلى مرتبة، لا يصرح لها بدون تعويض مناسب. وقد تم تقرير حقوق المياه المخصصة في معظم الولايات الغربية بالولايات المتحدة. وتعد المياه الجوفية في كثير من الحالات، رافد للمياه السطحية التي تتصل بها هيدروليكيًا.

بيان الأثر البيئي

Environmental Impact Statement

تعريف وصياغة بيان الأثر البيئي Definition and Format of an FIS

بيان الأثر البيئي EIS هو وثيقة تصف الأثر الذي سوف ينتج من تنفيذ مشروع ما مقترح على البيئة. وهي أيضاً تصف أثار المشروعات المتخيلة التي يمكن أن تكون بدائل للمشروع المقترح، وكذلك تخطط لتخفيف هذا الأثر. ويعنى التخفيف تقليل أو

إزالة الآثار السلبية. "لا تنفيذ" يعامل أيضاً على أنه بديل للمشروع المقترح. وبمجرد أن تخضع خطة المشروع إلى وكالة منظمة، تقوم الوكالة بإعداد تقييم بيئي EA، التي تقيم ما إذا كان المشروع المقترح له آثار بيئية مهمة وما إذا كان هناك حاجة لبيان الأثر البيئي EIS. وإذا كان التقييم البيئي يحدد أنه ليس هناك حاجة لبيان الأثر البيئي، تصدر الوكالة نتيجة بعدم وجود أثر ذو أهمية والذي يشرح باختصار لماذا لن يكون لهذا العمل أثراً مهماً على البيئة. واعتماداً على الحجم، والوضع، والحساسية، والتفاصيل الخاصة بالمشروع المقترح، يمكن أن يكون من المطلوب عمل بيان الأثر البيئي EIS، أو يمكن أن يكون من المطلوب عمل التقييم البيئي EA وليس بيان الأثر البيئي EIS، أو يمكن ألا يكون هناك حاجة لأي منهما.

تشمل وثيقة بيان الأثر البيئي EIS النموذجية المكونات التالية:

١ - صفحة الغلاف، التي تشمل عنوان العمل، وموقعه، وتحديد دلالة بيان الأثر البيئي (نهائي أم مسودة)، والوكالة الفيدرالية المسؤولة والوكالات المتعاونة، جهة الاتصال بالوكالة، بالاسم، والعنوان، ورقم الهاتف، وموعد استحقاق التعليقات على بيان الأثر البيئي، وملخص من فقرة واحدة.

٢ - الملخص (لا يزيد عن حوالي ١٨ صفحة)، ويشمل موجز عن العمل المقترح والبدايل والخلاصة ونقاط الخلاف والمشاكل الهامة التي يراد تسويتها.

٣ - جدول بالمحتويات، ويشتمل على العناوين الرئيسة والفرعية والأشكال والجداول والاختصارات والرموز العلمية أو غيرها المستخدمة فيه.

٤ - الأقسام التي تصف التالي:

• الغرض والحاجة إلى العمل.

• البدائل، بما فيها العمل المقترح والعمل الغير مقترح، والبدائل غير المدروسة بدقة، والعواقب البيئية للبدائل في شكل مقارنة، ومقاييس التخفيف.

• وصف البيئة المتأثرة.

• العواقب البيئية، بما فيها الآثار المباشرة ومغزاها، والآثار غير المباشرة ومغزاها، والنزاع مع اتحاد، أو ولاية، أو أحد القبائل الأمريكية الأخرى، ومتطلبات الطاقة واحتمالات الوقاية، ومتطلبات الموارد الطبيعية أو المستنفذة واحتمال المحافظة، والآثار على الموارد التاريخية والثقافية، ومقاييس التخفيف.

٥- قائمة بالكتاب، تتضمن الأسماء والمؤهلات.

٦- قائمة التوزيع، التي تشمل التعريف بالوكالات التي يتم طلب التعليق الرسمي منها، والتعريف بالمسؤولين والمنظمات التي يُلتمس منها التعليق، وهؤلاء الذين قاموا بطلب نسخ من بيان الأثر البيئي (رغم أن التعريف بالمواطنين ليس ضرورياً)، وموقع وصول العامة للنسخ.

٧- فهرس بالموضوعات البيئية.

٨- ملحق يحتوي على مواد تم إعدادها لدعم بيان الأثر البيئي، والتحليل لدعم الآثار والحسابات التحليلية المتعلقة بالقرار.

محتوى بيان الأثر البيئي Content of an EIS

بيان الأثر البيئي الخاص بمشروع هندسة مصادر المياه يقدم البيانات التالية:

- وصف العمل المقترح، بتفصيل كاف ليسمح بالتقييم الدقيق للآثار البيئية.
- مناقشة الآثار المحتملة على البيئة النهرية والبشرية ووسائل تخفيف الآثار البيئية المعاكسة.

• التعريف بالآثار البيئية المعاكسة التي لا يمكن تجنبها.

- البدائل التي يمكن أن تساعد على تجنب بعض أو كل الآثار البيئية المعاكسة، بما فيها تحليلات التكاليف والآثار البيئية لهذه البدائل.
- تقييم الآثار التراكمية طويلة المدى، بما فيها علاقتها بالاستخدام قصير المدى للبيئة النهرية مقابل الإنتاجية طويلة المدى الخاصة بالبيئة.
- أي التزام غير قابل للعكس أو لا يمكن تعويضه للموارد التي يمكن أن تنتج أو التي يمكن أن تقلص من الاستخدام النافع للبيئة النهرية ومصادر المياه.
- المناقشات، أو الاعتراضات، أو الملاحظات من قبل الوكالات الفيدرالية أو المحلية أو وكالات الولاية، والمنظمات الخاصة، والأفراد وكيفية الاهتمام بها.
- بيان الأثر البيئي يوثق التالي أيضاً:
- مقاييس جودة المياه التي يمكن تطبيقها وتصنيف أنواع المجاري المائية.
- الاهتمام بقيم التدفق الأدنى المقترح بها.
- طرق حماية وتحسين جودة المياه.
- التأثير على جودة المياه.
- التأثير على الأسماك والحياة البرية والموارد النباتية، بما فيها أنواع الكائنات الحية المهددة والمعرضة للخطر، وطريقة تخفيف التأثير على هذه الموارد.
- التعريف بالمواقع التاريخية والأثرية المتأثرة التي يكون هناك رغبة لاحتوائها في السجل القومي للأماكن التاريخية.
- طريقة تحسين أو خلق فرص ترفيهية.
- التأثير على المناطق الرطبة والأراضي المستخدمة وطرق تخفيف تلك الآثار.
- تنفيذ أو وضع جدول لأي طريقة مقترحة، بما فيها مصادر التمويل للقيام بالتنفيذ.

إن بيان الأثر البيئي أو تقرير الأثر البيئي الخاص بالموقع ومستوى التفاصيل الذي يقدمه يجب أن يكون متناسباً مع تعقيد الأثر البيئي المحتمل. ويشمل بيان الأثر البيئي أو تقرير الأثر البيئي بيانات/ تعهدات تتعلق ببرامج المراقبة أثناء الإنشاء والتشغيل، والحلول البيئية، والبحث والتطوير، وتحديد الطرق التي سوف تعامل كروتين أو كحاجات تظهر للوجود. وهي توثق إمدادات المراقبة السابقة واللاحقة للأثار البيئية المهمة الخاصة بالمشروع، بما فيها برامج مراقبة التغيرات في المرحلة التشغيلية وطرق تحري وتعديل مستوى الضوضاء، ومراقبة جودة الماء والهواء، وعمل بيان مفصل بالأنواع الرئيسة في السلسلة الغذائية، وتحري التغيرات المستحقة في المناخ. وبالإضافة لذلك، يحدد بيان الأثر البيئي أو تقرير الأثر البيئي القوانين الفيدرالية والمحلية والإقليمية وقوانين الولاية والمدونات التي يجب أن تتوافق مع إنشاء وصيانة وتشغيل المشروع.

وفي حالة مشروعات محددة أقل حساسية نسبياً أو مشروعات صغيرة نسبياً، يمكن أن يكون التقييم البيئي EA كافياً. وبشكل عام، يكون التقرير البيئي وثيقة أقل تفصيلاً عن بيان الأثر البيئي أو تقرير الأثر البيئي EIS.

الآثار البيئية لمشروعات هندسة مصادر المياه

Environmental Impacts of Water Resources Engineering Projects

الآثار البيئية للسدود Environmental Impacts of Dams

تشمل آثار السدود على البيئة التأثيرات على السنة القنوات الممتدة في اتجاه التيار أو مصدر المنبع للتيار من السد. ويمكن أن تشمل هذه التأثيرات بوجه خاص التأثير على جودة المياه، وعلم تشكل النهر، والفيضان، ومصايد الأسماك، وموارد

الحياة البحرية، والحياة البرية، والأنواع الحية المهددة والمعرضة للخطر والانقراض، والغطاء النباتي، والموارد الثقافية، واستصلاح الأراضي، والترفيه، والخصائص الجمالية والتاريخية والأثرية، والاقتصاديات الاجتماعية.

الآثار البيئية العامة على البيئات النهرية والتدفق من منبع السريان للسد أو الأبنية الهيدروليكية الأخرى التي يجب أن يتم تحليلها وتقييمها تشمل التالي (ASCE 1989; CFR 18, Chapter 1 and Part 380; Prakash 2002):

- تراكم المواد الراسخة ومجري النهر المصفحة في اتجاه مصب السريان من السد التي يتسبب فيها الطرد الطيني المتعاقب للماء الصافي ونقص إعادة ترسيب المادة المتخمرة.

- حدوث ترسب حراري ثابت ومنخفض نسبياً (غائر) للماء المنطلق من مدخل خزان عميق.

- التراكم الغزير للطحالب الناتج عن الشفافية، والمغذيات، وعدم استقرار القاع، وغياب الرواسب الناعمة.

- النقص في تنوع الكائنات الحية في فصيلة اللافقاريات الكبيرة، التي يمكن أن ينسب لها النقص في اختلافات درجة حرارة الماء الضرورية لاكمال أحداث تاريخ الحياة الهامة، كفقس البيض والنضج.

- تجمع اللافقاريات الكبيرة الزائد والتنوع القليل المرتبط بثبات التدفق أو الحمل العضوي من الخزان.

- التأثير على الأنواع المهددة بالانقراض أو المعرضة للخطر المذكورة من قبل الوكالات الفيدرالية والحكومية.

- التأثير على الحياة البرية والأنهار الخلابة المصنفة فيدرالياً.

- التأثير على مستويات المياه الجوفية في اتجاه مصب السريان للسد بسبب الرشح طويل المدى من تجمع المياه.
- التأثير على الأسماك المهاجرة بسبب انسداد الممر والتكيف الضعيف للأسماك مع الدرجات التي تعبرها الأسماك ومع الطرق السمكية.
- الآثار المتعلقة بالعجز في الأكسجين المذاب DO بسبب العمليات البيولوجية والكيميائية في الخزان الذي يستهلك الأكسجين.
- الآثار المتعلقة بالتركيز المذاب الأعلى من المعادن، مثل الحديد والمنجنيز، بسبب زيادة ذوبانها في البيئة التي ينخفض فيها الأكسجين المذاب.
- الآثار المتعلقة بالتشبع المفرط للماء المنطلق من الخزان، الذي يؤدي إلى مرض فقاعة الغاز في مجتمع الأسماك. وعندما يغمد الماء إلى عمق كبير في اتجاه تيار السد عند نهاية قناة التصريف، يقوم بحبس الهواء. والزيادة في العمق أثناء الغمد تسبب المزيد من الغازات المذابة أكثر مما يحدث عند السطح. وعندما يرتفع الماء المفرط في التشبع هذا من قاع الغمد إلى قرب سطح الماء في قناة اتجاه التيار، تبدأ الغازات في الخروج من المحلول، مسببة مرض فقاعة الغاز. ويكون الماء في الخزانات الأكثر عمقاً مشبعاً بالغازات المذابة. وعندما ينطلق هذا الماء من مدخل خزان عميق، يتعرض لكثير من الضغط المنخفض ودرجات الحرارة الأعلى في قناة اتجاه التيار حيث يمكن أن تبدأ الغازات في الخروج من المحلول، مسببة مرض فقاعة الغاز.
- تعديل نظام النهر بسبب التبديل في المنحنى المائي للتدفق الطبيعي، بما فيها التبديلات في السهول الفيضية، والأراضي الرطبة، والجزر، والحواجز الرملية، والآثار على الكثافة المائية المتعلقة بهذه الخواص.

- مساحة الاستيعاب الأكثر انخفاضاً لقناة اتجاه التيار لتصرفات الماء الفائض بسبب تحولات التدفق وتنظيم السد.
- المخاطرة المتزايدة للفيضان مع الخسارة المرافقة للحياة والممتلكات بسبب احتمال عطل (فشل) السد.
- الآثار المفيدة المتعلقة بالفوائد الرئيسة والثانوية ومن الدرجة الثالثة والفوائد الملموسة وغير الملموسة للسد المرتبطة بالبيئة في اتجاه التيار.
- الآثار البيئية أو البيئة الهيدرولوجية عند منبع التدفق للسد أو أبنية هيدروليكية أخرى، والتي يجب أن يتم تقييمها تشمل التالي:
- المناطق الغارقة أو المغمورة بتجمعات المياه (مثل المرافق، والآثار التاريخية، والمواقع الدينية، والمقابر القديمة، والمزارع، وأي مواقع أخرى مذكورة أو محدد أنها مؤهلة للاحتواء في السجل القومي للأماكن التاريخية)، والتأثير على استصلاح الأراضي، والبيئة البرية، والغابات، والمعادن، والأنظمة البيئية الفريدة.
- الكثافة السكانية المتبدلة والتأثير على صحة الإنسان والأمن وعلى القيم الجمالية والثقافية ومعايير الحياة.
- مستويات الفيضان المتزايدة وتكرار الفيضان بسبب العرقلة الهيدروليكية في قناة النهر الناتجة عن السد.
- احتمال الانهيارات الأرضية وانجراف التربة على امتداد خط الساحل بالخزان.
- الآثار على الحياة النباتية والحيوانية في منطقة الخزان وقناة عكس اتجاه التيار.
- احتمال انخفاض جودة المياه بسبب التفاعل طويل المدى بين الرواسب المترسبة والماء المخزون في الخزان.

- الآثار النافعة المتعلقة بالفوائد الرئيسة والثانوية ومن الدرجة الثالثة والفوائد الملموسة وغير الملموسة للسد المرتبطة بالبيئة في منبع التيار.

الآثار البيئية لمشروعات هندسة مصادر المياه الأخرى

Environmental Impacts of Other Water Resources Engineering Projects

أنشطة هندسة مصادر المياه الأخرى التي تؤدي إلى آثار عكسية على البيئة تشمل تصريف المياه الملوثة من مصادر محددة ومصادر غير محددة. تصريفات المصادر المحددة التي تؤثر على البيئة تشمل مخلفات المياه الصحية، ومخلفات المياه الصناعية، وانسياب مياه العواصف من مناطق الإنشاء أو التعدين، والمباني الصناعية، والطرق، أماكن وقوف السيارات خلال المصاب الفردية. المصادر غير المحددة لتلوث المياه تشمل الانسياب من المناطق الزراعية والغابات.

من المعلوم أن المصادر غير المحددة، التي تشمل أساساً الانسياب الزراعي، تساهم في ثلثي ما يتعلق بآثار جودة المياه على البحيرات والخزانات (NRCS 1996; Ojima *et al.* 1999). وتحتوي تصريفات المصادر غير المحددة من المناطق الزراعية على الملوثات الناتجة من الأسمدة، ومبيدات الأعشاب، ومبيدات الحشرات، ومخلفات الماشية، والأملاح، والرواسب. ويؤدي هذا إلى زيادة درجة الملوحة والحمل الغذائي الزائد، والتعكر الزائد، وامتلاء المجرى المائي بالغرين.

ومصدر مهم آخر من المصادر غير المحددة للآثار البيئية على جودة المياه السطحية هو الجريان السطحي عن طريق التدفق البري من تراكم مخلفات المناجم المهجورة والمناطق القديمة للتخلص من النفايات. وإن تسرب مياه الأمطار من مثل هذه المباني أو دخول أماكن عمل منجم مهجورة إلى تحت الأرض فتدخل بيئة المياه الجوفية على أنها مياه ملوثة (مثل، صرف منجم حمضي أو مياه تحتوي على مستويات

عالية من المواد الصلبة الذائبة)، والتي تصل في النهاية إلى المجرى المائي القريب. وهذا النوع من التأثير يمكن أن يتعلق بمناطق تعدين الفحم القديمة، أو مناجم النحاس أو مناجم معادن أخرى، ومناجم اليورانيوم. وفي أوقات معينة، تصبح بقايا مصنع اليورانيوم التي يتم التخلص منها في سهول الأنهار معرضة لتدفقات النهر وتتطلب معالجة. وإذا تم تصريف التدفق البري أو الرشح من مثل هذه المباني خلال واحد أو أكثر من مصاب الأنهار، فإنها يمكن أن تكون مصدر محدد لتلوث المجرى المائي.

أنواع شبيهة من الآثار تنتج عن الجريان السطحي والرشح من مباني صناعية قديمة مهجورة.

إن معالجة أو تخفيف الآثار الناتجة من الأنشطة التعدينية والصناعية السابقة تم التعهد بها من خلال برامج المعالجة التي تنفذ من قبل الوكالات الحكومية، والإجراءات التي تقوم بها الهيئات الفردية، والأطراف الرئيسية المسؤولة المحددة من قبل الوكالات المنظمة. وفي الولايات المتحدة، يتم التحكم وتنظيم الآثار المتعلقة بالمناجم القائمة والجديدة عن طريق المكتب الفيدرالي لتعدين السطح بمناجم الفحم، والمفوضية الأمريكية للتنظيم النووي بمناجم اليورانيوم، والوكالات الفيدرالية ووكالات الدولة لحماية البيئة للمعادن الأخرى من خلال نظام للتصاريح، والقوانين، والتفتيشات. وهناك قوانين مثيلة تنفذ من قبل وكالات الحكومة في كثير من البلاد الأخرى.

أنشطة التعدين والأنشطة التطويرية الأخرى (بما فيها المدنية والصناعية) تتطلب تغيير موقع أو تحويل المجرى المائي لتعظيم استخلاص الخامات، أو لتقليل التدفق، أو للقيام بإنشاء المباني المجاورة. ولتغيير موقع المجرى المائي أثاراً سلبية على حياة الكائنات الحية بالمجرى المائي. وأحياناً ما تندمج الأماكن المنخفضة والتجاويف

في القناة المنقولة. ويمكن أن يؤدي هذا إلى نقص البيئة الطبيعية المائية المتحركة (المياه المتدفقة) وزيادة البيئة الطبيعية المائية الساكنة (الماء الراكد) في المجرى المائي.

وتؤدي عمليات التصنيع أيضاً إلى آثار متعلقة بجودة المياه على البيئة الهيدرولوجية. وإن الاستخدام الواسع للمداخن العالية وأنابيب المداخن ينبثق عنها غاز الوقود مع مادة محددة تحتوي على مكونات كيميائية مختلفة. وهذه الجزيئات يتم تجمعها على فروع الأشجار، والأغصان، ومنحدرات التل أو يتم الاحتفاظ بها عالقة في الغلاف الجوي. وعندما يمر هواءً رطباً بها، تكون أنوية صغيرة لتكثيف بخار الماء. وتذاب المواد الكيميائية في قطرات المياه وتصل إلى الأرض على شكل تساقط للمطر والبيئة الهيدرولوجية مع الجريان السطحي. وحيث أن القطرات الساقطة تكون ذات خاصية حمضية بشكل كبير، فإن هذه الظاهرة تعرف بالأمطار الحمضية.

وفي الولايات المتحدة، تحت بند ٣٠٣(د) من بيان المياه النقية لعام ١٩٧٢م، يجب على كل ولاية أن تحدد المياه التي لا يُتوقع أن تتوافق مع طرق جودة المياه المناسبة مع وجود مصادر مفردة وغير مفردة للتصريف. ثم يجب على هذه الولاية أن ترتب أولويات هذه المياه الضعيفة، آخذةً بعين الاعتبار شدة التلوث واستخدامات هذه المياه. وبعد وضع الأولويات، يجب أن تحدد أقصى أحمال يومية كلية (TMDLs) سوف تؤدي إلى أن يوافق كل منطقة مياه الطريقة المحيطة، معللة الاختلافات الموسمية وشاملة هامش السلامة (USEPA 1991b; Eheart et al. 1999). ولأجل تحديد أقصى أحمال يومية كلية، فإنه يجب الأخذ في الاعتبار كل من التركيز المستمر للمعايير (CCS) والتركيز الأقصى للمعايير (CMC). وتعرف الوكالة الأمريكية لحماية البيئة (EPA) التركيز المستمر للمعايير والتركيز الأقصى للمعايير، على الترتيب، على أنها متوسط تركيزات أربع أيام ومتوسط تركيزات ساعة واحدة للمادة الملوثة في المياه المحيطة التي

يجب ألا تتجاوز أكثر من مرة واحدة كل ثلاث سنوات في المتوسط. ولأن هناك اختلافات في التأثيرات السامة على الكائنات المائية، فإن هذين التركيزين يختلفان بناءً على المادة الملوثة موضع الاهتمام. وترجمة هذه المعايير إلى حدود تصريح قائمة على جودة المياه، يتم استخدام نماذج توزيع حمل مخلفات مناسب لتحديد نهاية ونقل أي ملوثات تدخل منطقة المياه. وهذه النماذج تؤدي توزيعات حمل مخلفات تصريف متعددة لتصريفات المصادر المفردة تحت ظروف تدفق مجرى التصميم، والتي تؤخذ عادةً على أنها سبعة أيام، عشر سنوات من متوسط التدفق المنخفض (7Q10) للمجرى المائي. ويمكن افتراض أن أحمال المخلفات التي تساهم بها المصادر غير المفردة على أنها ثابتة عن المستويات الموجودة/ المحيطة.

عمليات سحب المياه من النهر لاستخدامات الري والبلدية والصناعية يمكن أن تؤدي إلى سعة تمثيلية أقل للقناة في اتجاه التدفق وإلى تقليل تدفقات المجرى المائي اللازمة للحفاظ على الكثافة المائية والنظام البيئي في الألسنة عند منبع التدفق. التدفقات العائدة من المناطق الزراعية تدخل قنوات المجرى المائي عن طريق تدفق المياه الجوفية وجودة المياه النهرية المؤثرة. وبشكل عام، هذه التدفقات العائدة تساهم بتركيزات عالية من الأملاح، ومبيدات الحشرات، ومبيدات الأعشاب، والأسمدة في البيئة النهرية.

تقييم وتحليل الآثار Evaluation and Analysis of Impacts

في حالة تقييم الآثار البيئية لمشروعات هندسة مصادر المياه، يمكن أن تطلب الوكالات الفيدرالية والحكومية أنواعاً مختلفة من التحليلات، والنماذج الفيزيائية ونماذج الحاسب، والمراقبة الميدانية للمتغيرات المختلفة، والمسح الميداني للكائنات الحية

لظروف المشاريع السابقة واللاحقة في اتجاه مصب التدفق التيار ومنبع التدفق (TECQ 2002). ويكون من المطلوب عمل تحليلات إضافية ومراقبة لدراسة التعليقات التي تقدمها هيئات مختلفة أثناء جلسات الاستماع العامة المتعلقة بالتصديق على بيان الأثر البيئي أو تقرير الأثر البيئي.

إن تقييم ظروف فيضان المشروع السابقة واللاحقة في النهر في اتجاه مصب التدفق ومنبع التدفق للسد أو حاجز الفيضان يتطلب حسابات القطاع الجانبي لسطح مياه الفيضان للمنحنيات المائية لفيضان تصميم المشروع السابقة واللاحقة لألسنة قناة مصب التدفق ومنبع التدفق. وإن تقييم مخاطر الفيضان المتعلقة بعطل السدود أو حواجز الفيضان تتطلب تحليل تصدع السد لأسباب العطل المفترضة ظاهرياً وتحديد تفريغ الطوارئ وخطط التحذير للسدود التي تقع عند منبع التدفق للمناطق الأهلة (المزدحمة) وحواجز الفيضان المقترحة لحماية المناطق الأهلة.

إن تقييم مستويات المياه الجوفية للسد في منطقة منبع التدفق ربما يتطلب نماذج المياه الجوفية مع أو بدون الخزان. وهذه التحليلات يمكن أن تستخدم لتحديد ما إذا كان الرشح من السد سوف يؤدي إلى تشبع المياه والرطوبة الزائدة والمלוحة وتكدس البعوض وحدوث الأمراض في مناطق السد في اتجاه مصب التدفق.

إن مراقبة جودة المياه والتحليلات يكونان مطلوبان بشكل عام لتقييم الآثار على الأكسجين المذاب DO، ودرجة الحرارة، ومتغيرات أخرى مهمة لألسنة نهر محدد ولتقييم الآثار على سعة الاستيعاب للنهر بعد إنشاء السد، وبناء المدخل، ومشروع تقسيم المياه، أو منشآت تصرف مياه العواصف.

ويمكن أن يؤدي انخفاض جودة المياه بسبب تفاعل رواسب المياه إلى الحجز أو إلى تعديلات أخرى في النظام الهيدرولوجي. وإن إنشاء السد أو أي مشروع آخر

لهندسة مصادر المياه يمكن أن يؤدي إلى الفقد في المصنوعات التاريخية، أو الدينية، أو ذات الأهمية الجوهرية. وغالباً يتم مناقشة مثل هذه الآثار في جلسات الاستماع العامة المتعلقة ببيان الأثر البيئي للمشروعات المقترحة ويجب الاهتمام بها.

ومن الضروري إجراء الدراسات التحليلية لتحديد متطلبات التدفق إلى المجرى المائي لأجل السعة الملاحية والترفيهية والتمثيلية والحياة السمكية والمائية في قناة اتجاه مصب التدفق للسد، أو بناء المدخل، أو مشروع تحويل المياه. ويتم استخدام عدد من الطرق التحليلية لتحديد متطلبات التدفق إلى المجرى المائي لأنواع المائية الحية المختلفة.

ومن المطلوب إجراء عمليات مسح ميداني لتحديد الكثافة المائية السابقة واللاحقة للمشروع والتنوع الحيوي في كل من اتجاه التدفق من المنبع إلى المصب لتدفق للسد، أو بناء المدخل، أو مشروع تحويل المياه ولتقييم الآثار المحتملة على النظام البيئي. وتكون عمليات المسح الميداني مطلوبة أيضاً لتحديد مواقع وأحجام الجزر والحواجز الرملية وتعرجات قناة النهر المتواجدة والكثافة النباتية والحيوانية الموجودة المدعمة بهذه الخواص. ومن الضروري إجراء الدراسات الجيومورفية (المتعلقة بمظاهر السطح من حيوانات ونباتات) لتحديد الآثار المحتملة لإنشاء وتشغيل المشروع على هذه الخواص والنظام البيئي الذي تدعمه. ومن المطلوب القيام بالمراقبة الميدانية لتحديد جودة مياه المشروع السابقة واللاحقة.

ومن المطلوب إجراء عمليات المسح الطبوغرافي (التضاريسي) لتحديد المناطق، والمباني السكنية، والمرافق، والقيمة النقدية للملكية، التي يمكن أن تغرق أو تزال بعد إنشاء مشروع هندسة مصادر المياه. وإن تكلفة التعويض عن الآثار التي لا يمكن تجنبها، والتأمين ضد الأضرار أو الآثار غير المواتية، وتكاليف الاستبدال

للخواص المفقودة التي تنسب للمشروع تكون محتواة في حساب نسبة التكلفة-الربح الخاصة بالمشروع. وعندما يتم إعداد تحليل تكلفة-ربح، يجب أن تشمل تحليلات الآثار البيئية غير المحسوبة، والقيم، وأسباب الراحة. وإن الآثار التي لا يمكن حساب التعويض النقدي لها يجب أن يتم التعبير عنها بمصطلحات وصفية جيدة وملائمة بشكل كاف.

وطبقاً للخطوط الإرشادية التنظيمية الفيدرالية والخاصة بالولاية، يتم تقسيم السدود إلى أنواع مختلفة الحجم، بناءً على سعتها التخزينية وارتفاعاتها، وإلى أنواع خطر مختلفة، بناءً على احتمال الضرر على الحياة والملكية بسبب العطل. ويتم تحديد معايير التصميم و/أو الترميم المختلفة لاتحادات مختلفة من تصنيف الخطر والحجم (مثلاً، احتمال الخطر المنخفض، أو المهم، أو العالي مدجماً مع حجم السد الصغير أو المتوسط أو الكبير) (NRC 1985). وفي حالة السدود التي لا تقوم أو لا يمكنها تلبية معايير تصميم محددة، أو حيث تكون عواقب عطل السد أكثر شدة من تلك التي بدون عطل، فقد تم تحديد طرق للقيام بتحليلات المخاطر ولتحديد العطل (ASCE 1988). وتكاليف التأمين ضد الخطر لهذه العواقب البيئية لعطل السد وغير المهيمن عليها الدولار، يمكن أن تحتوي في تحليل التكلفة-الربح للسد.

وفي الولايات المتحدة، يتزايد الإجماع على إزالة عدد من السدود حيث تعد أرباح الإزالة متجاوزة لأرباح التشغيل وصيانة المبانى. وإن تحليل الآثار البيئية (بما فيها تحليل التكلفة-الربح)، ومثل هذه السدود أتضح أن حتى مع وجود ممرات الأسماك فإن هذه السدود قد أصبحت سبباً رئيساً لفناء الأسماك في النظام النهري. وللخزانات مجموعات مخصصة مغمورة وأراضي رطبة طبيعية، والتي كانت ضرورية في تدوير المياه، والمغذيات، والرواسب، والمواد العضوية، والكائنات المائية والأرضية

في النظام البيئي النهري. وإن المصادر الثقافية المهمة للسكان المحليين قد أغرقت أو أصبحت لا يمكن الوصول إليها أو مدفونة.

إن النقل الطبيعي للرواسب الخشنة في اتجاه التيار يساق عن طريق السدود، مما يجعل قناة المهبط غير مستخدمة أو غير ملائمة للأسماك. ويؤدي إنشاء السدود إلى قناة نهر منخفضة أو مدرجة على جانب المهبط. والانجراف لمادة قاع النهر يمكن أن تدرج البيئة الطبيعية للأسماك التي تصعد من البحار إلى الأنهار لوضع البيض، وتسمح بالإنبات على جزر الحصى والسهول الفيضية، وتقلل من تعرج النهر الطبيعي، ومراحل الفيضان المنخفضة، وتقلص من تكون الجانب الأبطأ حركة من القناة، والأراضي الرطبة الدورية، والمناطق المخصصة. وكثير من أنواع الكائنات الحية تتطلب مياه بطيئة الحركة، أو إنبات مخصص، أو مصب نهر فعال لتضع الأسماك بيضها أو لتربيته، والتي تتأثر كلها بإزالة نقل الرواسب الطبيعية. وتؤثر الخزانات على جودة المياه عن طريق العمل كبحيرات ساكنة أثناء الفيضانات، والانزلاقات الأرضية، أو أحداث أخرى، والتي سوف تنتج طبيعياً تدفقات من التعكر في اتجاه التيار. وبسبب الخزان، يصبح التعكر أثناء مثل هذه الأحداث أقل شدة لكن أطول دواماً. وهذه الآثار يجب أن تُقيم وفقاً للشروط الكمية والنوعية.

وفي الولايات المتحدة، يتم التقييم والتحكم في آثار تصريفات المصدر المفرد على البيئة الهيدرولوجية من خلال تصاريح النظام القومي لإزالة تصريف المواد الملوثة الذي يتم إصداره تحت بيان المياه النقية (33 U.S.C 1251). ويتم إصدار تصاريح النظام القومي لإزالة تصريف المواد الملوثة من قبل وكالة حماية البيئة للولايات المتحدة أو وكالات الولاية المستولة عن حماية البيئة. وبشكل عام تشمل هذه التصاريح والقوانين تصرف المياه الفائضة، والمياه المتخلفة من الصناعة، وانسياب مياه العاصفة

من المناطق الصناعية والإنشائية. وأيضاً يتم التحكم في أثار تصريفات المواد المدرجة أو مواد الملء إلى مياه الولايات المتحدة الإقليمية من قبل هيئة مهندسي جيش الولايات المتحدة من خلال التصاريح التي تصدر تحت بند ٤٠٤ من بيان المياه النقية (33 U.S.C. 1344)، ومن تلك التصاريح الخاصة بالتصريفات من مناطق التعدين يتم التحكم فيها من قبل مكتب تعدين السطح، والمفوضية النووية التنظيمية بالولايات المتحدة، ووكالات فيدرالية ووكالات الولاية الأخرى.

ويتم تقدير أثار سحب المياه و دخول تدفقات العودة الزراعية على جودة مياه النهر عن طريق نماذج الجودة لياكل مياه السطح، وتدفق المياه الجوفية، ومراقبة جودة المياه في اتجاه المصب ومن منبع التيار عند نقاط السحب وفي ألسنة المجرى المائي الذي يستقبل تدفقات العودة.

يتم تقييم الآثار الهيدرولوجية المتعلقة بالمصادر المفردة وغير المفردة للتلوث الناتج من المناجم المهجورة والمباني الصناعية عن طريق مراقبة جودة المياه لكل من المياه الجوفية والمياه السطحية، وجريان المياه السطحية ونماذج الانجراف، ونماذج جودة المياه السطحية، ونماذج تدفق ونقل المياه الجوفية.

ولتقييم جودة المياه أو الآثار الحرارية الناتجة عن تصريفات المصادر المفردة إلى المجرى المائي، يتم السماح بمناطق خلط معتادة لتقارن الطول والعرض وقطاع التدفق المحدد (تقريباً ٢٥ إلى ٣٣٪ من مساحة القطاع العرضي أو حجم التدفق) للنهر. ولا يمكن تطبيق مقاييس جودة المياه الطبيعية في مناطق الخلط. ويتم إجراء تحليلات التشتت لإيضاح عدم تأثر أكثر من قطاع محدد من النهر بمنطقة الخلط تحت حالة 7Q10 في النهر. ويتم دمج الرذاذات في تصميم المصب لتقليل حجم منطقة الخلط. وعادةً، لا تكون مناطق الخلط مسموحاً بها في المياه التي تحتوي على كائنات حية

حساسة (مثل، الأنواع المعرضة للخطر)، ومناطق وضع بيض الأسماك، وشواطئ الاستحمام، ومناطق شواطئ صيد السمك، ومنحدرات الوارق، ومناطق الوصول العامة الأخرى، ويجب أن تسمح بوجود منطقة مرور للأحياء المائية التي توافق فيها مقاييس جودة المياه.

المراقبة البيئية Environmental Monitoring

مقدمة Introduction

تشمل الالتزامات في بيان الأثر البيئي أو تقرير الأثر البيئي مشروع محدد يكون الأساس للإنشاء السابق ومتطلبات مراقبة التخفيف السابقة. وهذه الوثائق تحدد الآثار البيئية للمشروع والتي لا يمكن التخفيف منها وطرق التخفيف للآثار التي يمكن تخفيفها عن طريق الوسائل البنائية وغير البنائية، سويًا مع خطط المراقبة لتقييم الآثار التي لا يمكن تخفيفها وفاعلية طرق التخفيف للآثار التي يمكن تخفيفها. ويكون التصديق على بيان الأثر البيئي أو تقرير الأثر البيئي من قبل الوكالات المناسبة مطلوباً قبل تصاريح الإنشاء، أو عمليات التشغيل، أو قبل إصدار تراخيص المباني. وعادةً ما تكون هذه الوثائق جزءاً من استشارة التصريح للمبنى.

إن تقرير الأثر البيئي أو بيان الأثر البيئي وثيقة عامة تصدق عليها الوكالات التنظيمية الملائمة بعد سلسلة من جلسات الاستماع العامة والمراجعات الفنية. والالتزامات التخفيف والمراقبة لآثار بيئية محددة التي تشترط في هذه الوثائق تصبح ملزمة قانونياً وسياسياً على ملاك ومديري السدود والمباني الأخرى. وإن أداء طرق التخفيف وتقدم الآثار التي لا تقبل التخفيف للمشروع أثناء مرحلة التشغيل يتم التدقيق فيها بشكل روتيني من قبل الوكالات التنظيمية، أو العامة المتأثرة، أو المنظمات

غير الحكومية المختلفة (NGOs)، أو المجموعات البيئية. وغالباً ما يتم تقديم تقرير حول الآثار التي تم تخفيفها مسبقاً بالإضافة المتحررة للمشروع (التي ليست محددة في بيان أثر البيئي أو تقرير الأثر البيئي) من قبل المجموعات المذكورة أعلاه في شكل عرائض أو ملاحظات أو اعتراضات. وبعد ما يكفي من التحليل والتقييم، يمكن أن تكون هذه الاعتراضات الأساس لمراقبة بيئية مشروعة وإضافية للمشروع. ومن هنا، تكون متطلبات المراقبة البيئية سابقة التخفيف خاصة بالموقع، اعتماداً على الحساسية والأهمية البيئية لمتغير البيئة المتأثر (مثلاً، البيئة المائية، والنبات، والمورفولوجيا، والهيدرولوجيا، وجودة المياه، والاقتصاديات الاجتماعية).

مكونات المراقبة البيئية Components of Environmental Monitoring

المكونات الرئيسية لخطة المراقبة البيئية تشمل مراقبة الأسماك والحياة البرية والبيئة الطبيعية وجودة المياه. وتشمل مراقبة الأسماك والحياة البرية تكوين، ووفرة، وتوزيع، والبيئة الطبيعية للأنواع الحية من الأسماك واللافقاريات التي توجد عند القاع، واستخدام البيئة الطبيعية من قبل البرمائيات والزواحف. وتشمل مراقبة البيئة الطبيعية المراقبة المائية والأرضية. وتشمل المراقبة المائية عمق المياه، وسرعة المياه، وحجم وتكوين الطبقات السفلية، وكمية البقايا الخشبية الكبيرة. وتشمل المراقبة الأرضية تكوين أنواع النبات للنبات المخصص ونبات السهل الفيضي والأراضي الرطبة، ومساحة سطح الأراضي الرطبة، والحجم والزمن، وعمق، ومساحة، وارتفاع الهضاب الرملية غير المنبتة، ومنسوب المياه الجوفية، والغطاء الأرضي للسهول الفيضية، ومظاهر السطح والفترات المائية الجيومورفولوجية.

وتشمل مراقبة جودة المياه متغيرات المجاري المائية المختلفة موضع الاهتمام في المنطقة، بما فيها الأكسجين المذاب، ودرجة الحرارة، والتعكر، والمغذيات لألسنة النهر، والخزانات، والبيئة الطبيعية للأراضي الرطبة.

متغيرات جودة المياه البيئية للمجاري المائية المختلفة في الولايات المتحدة يتم تسجيلها ونشرها من قبل هيئة المسح الجيولوجي الأمريكية (USGS). ومصدر آخر لمعلومات جودة المياه بالمجرى المائي هو نظام التخزين والاستدعاء التي تحتفظ به USWPA. وتشمل متغيرات جودة المياه شائعة المراقبة لمواصلة النوع، ومستوى أيون الهيدروجين، ودرجة الحرارة، والتعكر، والأكسجين المذاب، ومسببات المغص الغائطي، والتكور العقدي الغائطي، والصلابة، والكالسيوم، والمغنسيوم، والصوديوم، والبوتاسيوم، والخاصص، والمنجنيز، والزنك، والسيليونيوم، والفضة، واليكرونات، والكربونات، والكبريتات، والكلوريد، والفلوريد، والسيليكا، والمواد الصلبة الكلية العالقة والمذابة، والنيتروجين، والفوسفور، والكربون العضوي، والفينيل الثنائي المعالج بالكلور المتعدد، والألدرين، وجزئ الكلوردان، ومادة DDD، ومادة DDT، ومادة DDE، والإلدرين الثنائي، والأزينون الثنائي، والإندرین، والإيزون، والكلور السباعي، والليندان، والملاثيون، وكلور الميزوأكسي، والميثيل نظير الثيون، والميثيل ثلاثي الثيون، ونظير الثيون، والتوكسافين، والثيون الثلاثي، والعوالق النباتية، والبريفيتون.

وفي حالة المشروعات التي تقع ضمن نطاق السلطة القضائية هيئة مهندسي جيش الولايات المتحدة (USACE)، فقد تم تقرير سياسة لإجراء تقييمات الاستجابة البيئية بالنسبة لإمدادات المراقبة البيئية المشتركة في بيان الأثر البيئي (USACE 1999).

ويتم إجراء التقييمات الداخلية للاستجابة بالتزامات المراقبة البيئية سنوياً عن طريق موظفي المشروع/ المبنى. ويتم إجراء التقييمات الخارجية عن طريق مقاولين خارجيين أو موظفين غير معينين في المبنى. ويتم الاحتفاظ بسجلات إمدادات بيان الأثر البيئي أو التعديلات على بيان الأثر البيئي أو القرارات الأخرى التي تتعلق بتقارير التخفيف البيئية من قبل السلطة الملزمة. ويجب جعل إمدادات أخرى متاحة للوكالات المهتمة أو العامة، عند طلبهم لها. ويكون مطلوب تنفيذ المراقبة لضمان الالتزام بالقرارات والمراقبة البيئية، بما فيها مقاييس التخفيف.

بعض الوكالات قامت بتنفيذ برامج مراقبة بيئة محطة (ALMPs) لوضع خصائص للتيارات في الظروف البيئية للبحيرات، ولتحديد مسببات التدرج البيئي، والمراقبة تقدم برامج الترميم، ولتحديث تصنيف البحيرات/ نظام الأولويات بالنسبة لجودة وترميم البيئة. ويتضمن هذا جمع وتحليل جودة المياه وعينات الرواسب وكذلك الملاحظات الميدانية للون المياه، والطقس، وتحلل الرواسب، والطحالب، وأوجه أخرى مهمة للبحيرة. ويتم إجراء مراقبة التيار المحيط لتحديد التيارات طويلة المدى في جودة المياه ولتقييم برامج الترميم. ولهذا الغرض يتم مراقبة البحيرات مرة واحدة أثناء انسياب الربيع ومرحلة التحول (إبريل إلى مايو)، وثلاث مرات أثناء الصيف (يونيو ويوليو وأغسطس)، ومرة واحدة أثناء تحول الخريف (سبتمبر أو أكتوبر). والمتغيرات المحللة تشمل المواد الصلبة العالقة، والمغذيات، والكلوروفيل، والأكسجين المذاب، والقطاعات الجانبية لدرجات الحرارة، ومتغيرات ميدانية أخرى لعينات المياه التي تجمع من مسافة ١ قدم أسفل السطح و ٢ قدم فوق القاع عند أكثر المواقع عمقاً. ويتم إجراء المراقبة المركزة للبحيرة في بعض البحيرات. ويتم اختيار البحيرات من خلال مرحلة أولى (تشخيصية)، ومرحلة ثانية (تقييم)، ومرحلة ثالثة

(تقييم ترميم لاحق) للمراقبة المركزة. بالنسبة للمرحلة الأولى والثانية، يتم إجراء المراقبة بشكل عام مرتين كل شهر من مايو إلى سبتمبر وشهرياً من أكتوبر إلى إبريل لفترة سنة واحدة قبل التنفيذ (مرحلة أولى) ولسنة واحدة أو أكثر أثناء وبعد التنفيذ (مرحلة ثانية). وتتكون مراقبة المرحلة الثالثة عادةً من ثلاث سنوات بأخذ العينات من مسافة ١ قدم أسفل السطح، وعمق متوسط (في أعماق البحيرات)، و ٢ قدم فوق القاع عند أكثر المواقع عمقاً. وتشمل المتغيرات التي تراقب المواد الصلبة العالقة، والمغذيات، والكُلُوروفيل، والأكسجين المذاب، والقطاعات الجانبية لدرجات الحرارة، والموارد البيولوجية الرئيسية (مثل، النباتات العالقة، والأسماك، النباتات المائية، وأحياناً الحيوانات العالقة، والأحياء في القاع). ويتم تحليل عينات الرواسب للمحتوى الصلب، والمغذيات، والكائنات الدائمة، والمعادن الثقيلة في الفترة التشخيصية الأولية. بالإضافة، يتم إجراء تحليلات ملوثات الأسماك أثناء هذه المرحلة الأولية.

بالنسبة للسدود ومشروعات المياه الدولية الأخرى، يطلب البنك الدولي التقييم البيئي أو بيان الأثر البيئي، والتي تعد وثائق عامة تفصح عن الآثار التي لا يمكن تخفيفها والمتعلقة بخطط المراقبة التي يجب أن يقوم بالتحري عنها فريق عمل البنك وآخرين في جلسات الاستماع العامة. والتزامات المراقبة البيئية التي تشترط في هذه الوثائق تكون ملزمة للمالك أو مديري السدود والمباني المتعلقة بها. ويجب أن يشمل وصف برامج المراقبة البيئية أسباب وتكاليف المراقبة والترتيبات التأسيسية للمراقبة، ونتائج المراقبة أثناء التقييم، وبدء الإجراءات الضروري لتقييد الآثار العكسية التي تكشف عنها المراقبة. ومن الإلزام أن يكون هناك مؤسسة لمراقبة الاستجابة ولتأسيس الإجراءات المعزز متى وأينما كان هناك حاجة له.

وقد قام البنك الدولي WB بتحديد الخطوط الإرشادية لتصميم وتنفيذ مراقبة وتقييم المشروعات التي تقوم بتمويلها هيئة البيئة العالمية (WB 1996). ويجب أن تشمل المشروعات التي يقوم بتمويلها البنك الدولي خطط المراقبة والتقييم (M&E)، ويجب أن تشمل المشروعات التي تنصب على التدرج البيئي مؤشرات الأداء البيئي (EPIS)، ومؤشرات أداء الاقتصاديات الاجتماعية (SEIs) في خطط المراقبة والتقييم الخاصة بها. واختيار مؤشرات الأداء البيئي أمر يخص المشروع. وبشكل عام يجب أن يحدد مؤشر الأداء البيئي التالي:

- مؤشرات الضغط، التي تقيس القوى الضمنية التي تؤدي إلى الانحطاط البيئي.

- مؤشرات الحالة، التي تقيس جودة أو حالة البيئة للنظام البيئي المستهدف.
- مؤشرات الاستجابة، والتي تقيس الجهود المبذولة لتحسين بيئة معينة أو لتخفيف درجة انحطاطها.

- مؤشرات الاقتصاد الاجتماعي، التي تنصب على التأثير البشري على البيئة وكيف أن البيئة ستؤثر على صحة الإنسان، والسلامة والرفاهية، والأساس المتأصل للمجتمعات المحلية، والرفاهية الاقتصادية، والفرص التعليمية، والقيم الاجتماعية، والتقدير الذاتي.

بعض الأمثلة على مؤشرات الأداء البيئي موضحة في التالي:

- زيادة المغذيات الكيميائية التي تتضمن مراقبة النيتروجين، والفوسفور، وتركيزات مطلب الأكسجين الحيوي في الماء.
- التلوث السام، بما فيه مراقبة تركيز المعادن الثقيلة في الماء.
- مراقبة مطلب، وإمداد، وجودة مصادر المياه العذبة.

• مراقبة مناطق الغابات المتدهورة.

• مراقبة الكثافة السمكية.

العوامل الأخرى التي يتم مراقبتها لمشروع السد والخزان تشمل التالي (WB 1998):

• الحجم السنوي للرواسب المنقولة إلى الخزان.

• جودة المياه عند نقطة تصرف السد وعند نقاط مختلفة على طول النهر (بما فيها

الملوحة، وتركيز أيون الهيدروجين، ودرجة الحرارة، ومعامل التوصيل الكهربائي،

والتعكر، والأكسجين المذاب، والمواد الصلبة العالقة، والفوسفات، والنترات).

• تكون كبريتيد الهيدروجين والميثان خلف السد.

• أخذ العينات من المياه العذبة للنباتات الدقيقة، والحيوانات الدقيقة،

والأعشاب الضارة المائية، والكائنات في القاع.

• عمليات مسح وتقييم المصايد السمكية (بما فيها الأنواع الحية والكثافة) في

الخزان والنهر.

• الأنواع الحية، والتوزيع، وأعداد الحياة البرية.

• التغييرات النباتية (بما فيها الغطاء، والأنواع الحية، والتكوين، ومعدلات

النمو، والكتل الحيوية) في مجرى السريان المائي، ومنطقة سحب الخزان، ومناطق

مصب النهر.

• الانجراف في مجرى السريان.

• الصحة العامة وناقلات الأمراض.

• هجرة الأفراد من وإلى خارج المكان.

• التغييرات في الأوضاع الاقتصادية والاجتماعية للكثافة المستقرة والناس

الذين يبقون في حوض النهر.

عوامل مراقبة مثيلة يتم تحديدها لمشروعات تتضمن حماية الفيضان، وتحديد مجرى السريان، والري والصرف، والمصايد السمكية، وعلم الصناعة الزراعية، وإدارة الغابات الطبيعية وتحديد المزروعات، وإدارة الأراضي المهملة والماشية، والطرق الريفية.

ليس هناك برنامج مراقبة قياسي للمشروعات الكهرومائية. وإن التقييم البيئي أو بيان الأثر البيئي لهذه المشروعات يجب أن يشمل خطة المراقبة لهذه المتغيرات المنصوص عليها في القائمة الخاصة بمشروعات السد والخزان والمتعلقة بكل موقع بعينه (WB 1998).

مراقبة المشروع هي مسئولية فريق إدارة المشروع. المسئوليات التأسيسية لتقييم الأداء يختلف اعتماداً على تسمية التقييم:

- ١- التقييم الانتقالي (أثناء تنفيذ المشروع).
- ٢- التقييم النهائي (عند نهاية تنفيذ المشروع).
- ٣- تقييم التأثير (عدة سنوات بعد انتهاء المشروع) لقياس الآثار المباشرة وغير المباشرة.

تحديد وتنفيذ وتقييم خطة المراقبة والتقييم تتضمن التالي:

- التقييم الأولي للظروف البيئية والاقتصادية الاجتماعية المتواجدة والكيانات المؤسسية للإدارة والمراقبة والتقييم البيئي.
- تحديد المشاكل الرئيسة التي تسبب التدرج البيئي.
- تحديد مؤشرات مراقبة الأداء.
- تحديد إجراءات جمع البيانات، والطرق التحليلية، وصيانة معدات المراقبة، والتنسيق الإقليمي.

- تحديد المسؤوليات المؤسسية ومصادر التمويل للتنفيذ.
- التقييم الدوري لأداء المشروع وكفاية خطة المراقبة للتقييم.

تقييم الأهمية البيئية للمشروعات

Evaluation of Environmental Significance of Projects

أهمية استدامة وتحسين البيئة الطبيعية للأسماك

Significance for Fish Habitat Sustainability and Enhancement

بعض العوامل المستخدمة لتقييم أهمية مشروعات هندسة مصادر المياه لاستدامة وتحسين البيئة الطبيعية للأسماك تشمل التالي (USDA 1977):

- مساحة منطقة المياه بالايكرات المتاحة لحركة الأسماك، ووضع البيض، والفقس.

- بيان ما إذا كان التدفق مستقر أم غير مستقر (متقطع) خلال السنة وما إذا كانت مستويات المياه تبقى ثابتة تقريباً أم متغيرة بشكل كبير من وقت لآخر.
- جودة المياه، بما فيها درجة الحرارة، وتركيز أيون الهيدروجين، والأكسجين المذاب، وثنائي أكسيد الكربون المذاب، وتركيزات الكيماويات السامة على الأسماك والبشر.

- النسبة المئوية الذي يحتلها طول المجرى المائي الكلي، وتشمل التالي:

- o البرك: قطاعات مجرى مائي تكون أعمق وعادةً أوسع من الطبيعي مع تيار أبطأ تقديرياً من منبع النهر الفوري والسنة المجرى المائي في اتجاه مصب التيار مع قاع مجرى يتكون من خليط من الطمي والرمل الخشن.
- o منحدرات نهريّة: قطاعات مجرى مائي تحتوى على الحصى و/أو الدبش الذي يضطرب فوقه سطح الماء، ويكون التيار سريعاً بما فيه الكفاية بحيث يبقى سطح الحصى والدبش خالياً بشكل معقول من الرمل والطمي.

○ المسطحات: قطاعات مجرى مائي مع تيارات بطيئة للغاية فتصنف على أنها منحدرات نهرية وضحلة للغاية لتصنف على أنها برك. وفي المسطحات، يتكون قاع المجرى المائي عادةً من الرمل أو المواد الأكثر نعومة، مع دبش خشن عرضي، أو الجلاميد، أو صخر الأديم.

○ الشلالات: قطاعات مجرى مائي بدون برك، تتكون أساساً من صخر الأديم مع قليل من الدبش، أو الحصى، أو من مواد أخرى مثل هذه المواد، بحيث أن التيار عادةً يكون أكثر سرعة منه في المنحدر النهرية.

وبالنظر إلى موضوع البيئة الطبيعية للأسماك، فإن قطاع مجرى مائي به حوالي ٣٥٪ من المساحة تحتلها البرك و ٣٥٪ من المنحدرات النهرية يمكن أن يصنف على أنه ممتاز.

• مساحة أو طول مسطح الماء المتأثر بالظل بسبب النمو الخضري (مثل، الأشجار والشجيرات). وبشكل عام، المساحة أو الطول الأكبر من مسطح الماء تحت الظل يكون بيئة طبيعية أفضل للأسماك.

• تعكر سطح الماء. إذا كان يمكن رؤية القاع من مسطح الماء بشكل واضح خلال حوالي ١,٢ م من الماء أو أكثر، فيمكن أن يصنف مسطح الماء بالممتاز من وجهة نظر البيئة الطبيعية المائية.

أهمية الأنشطة الترفيهية Significance for Recreational Activities

بعض العوامل المستخدمة لتقييم صلاحية مشروعات هندسة مصادر المياه للأنشطة

الترفيهية تشمل التالي (USDA 1977):

- القرب من مراكز الكثافة السكانية. المشروعات التي يمكن أن تقدم إمكانية للأنشطة الترفيهية على مدى نصف قطر حوالي ٨٠ كم.
- الوصول. المشروعات أو قطاعات المجرى المائي ضمن ١,٥ كم من طريق جوي كلي يمكن أن تكون جيدة للأنشطة الترفيهية.
- حجم منطقة المياه. يجب أن يكون حجم منطقة المياه كافياً لدعم الأنشطة الترفيهية العامة.
- تقوم بعض العوامل التي تستخدم لتقييم الاحتمال الترفيهي لمشروع هندسة مصادر المياه على نوع النشاط الترفيهي. والأنشطة الترفيهية المتعلقة بمشروع هندسة مصادر المياه وعوامل تحديد صلاحية كل نشاط ترفيهي هي كما يلي:
- صيد السمك: العوامل التي تؤثر على صلاحية النشاط الترفيهي لصيد السمك تشمل وفرة الكثافة السمكية، وإمكانية الوصول، والمنظر الطبيعي، ووجود المنحدرات النهرية والبرك، وفوق كل هذا تنوع سطح الأرض.
- السباحة: العوامل البيئية المرغوبة للسباحة تشمل جودة جيدة للمياه، ومستوى تركيز أيون الهيدروجين pH بين ٦,٥ و ٨,٣، وعدد بكتريا الكوليفورم أقل من ٨٠٠، والماء النقي بتدفق أدنى ٢٤٥٠ ل/ل يوم لكل مغطس، وعمق مياه بحوالي ١,٥ م أو أكثر، وميل خط الساحل أقل من ١٠٪، ويفضل أن يكون من ٢ إلى ٤٪.
- الإبحار في الزوارق والقوارب: يجب أن يكون عمق الماء في مجاري إبحار القوارب على الأقل ٠,٦ م لقوارب التجديف وحوالي ١ م للقوارب التي لها محركات خارج سطحها. ويجب أن يكون العرض على الأقل ٢,٥ مرة من طول القوارب المسموح بها. وعمق المياه في مجاري إبحار الزوارق يمكن أن يكون بانخفاض ١٥ سم للمجاري القصيرة و ٤٥ سم للأجزاء الرئيسية. ويمكن أن يكون عرض المجرى

المائي على الأقل ١,٨ م. ويمكن أن يكون متوسط التدفق حوالي ٣ م^٣/ث، ورغم أن هذا يمكن أن يختلف تبعاً للعرض، والعمق، وميل المجرى المائي.

• التزهة والسير: الممرات الموجودة فوق الماء وجسور المشاة تحسن من استخدام منطقة المياه لأغراض التزهة والسير. ويجب أن تكون الطرق على امتداد منطقة المياه حوالي ١,٢٥ م في العرض مع ميول طولية مرغوبة أقل من ١٠٪.

التحري العلاجي ودراسات الجدوى

Remedial Investigation and Feasibility Studies (RI/FS)

التعريف والنطاق Definition and Scope

أدت الأنشطة الصناعية أثناء أوائل ومتصف القرن العشرين إلى تلوث التربة والمياه الجوفية والمياه السطحية على أو في الجوار القريب في عدد من المواقع. ففي كثير من الحالات، سبب هذا تهديداً على صحة الإنسان بوجه خاص وعلى البيئة بشكل عام. ولدراسة المشاكل المتعلقة بمعالجة هذه المواقع الملوثة، سنّ الكونغرس الأمريكي بيان الاستجابة البيئية الشاملة، والتعويض، والاعتماد (CERCLA, 42 U.S.C. 9601, 1980) وبيان المحافظة على الموارد والمعافة (RCRA, 42 U.S.C. 6921, 1976). ويتضمن التحري العلاجي كل التحقيقات الميدانية والدراسات التحليلية اللازمة لتحديد طبيعة ومدى التلوث الذي يجب معالجته. وتشكل دراسات الجدوى كل الدراسات العملية والميدانية والمكتبية والتجارب اللازمة لتقييم جدوى البدائل المحتملة لإزالة أو تقليل التلوث المحدد إلى مستويات مقبولة. ويمكن أن يكون هدف التحري العلاجي هو تحديد المقاييس اللازمة لتحديد تلوث التربة، ومياه السطح، والمياه الجوفية لمستويات تلوث قصوى مقبولة، أو لتقييد التلوث لمستويات مقبولة قائمة على المخاطرة، أو لتحقيق حماية الموارد بالحالات

النقية. وقد تم تحديد مستويات التلوث المقبولة وأهداف التنظيف أو الأهداف لمعالجة التربة والمياه السطحية والمياه الجوفية تحت ظروف بيئية معينة عن طريق وكالة حماية البيئة للولايات المتحدة ومنظمات الولاية المسؤولة عن الجودة البيئية. وهذه الوكالات قامت أيضاً بتحديد مستويات التلوث القصوى المقبولة لأنواع مختلفة من المياه الجوفية والمياه السطحية.

وبشكل عام، فإن المتطلبات والمكونات الرئيسية للتحري العلاجي / دراسة الجدوى (RI/FS) تشمل التالي (USEPA 1989b):

- تعريف مشكلة وأهداف المعالجة.
- تصميم برامج مراقبة التربة والمياه الجوفية والمياه السطحية.
- حفر التربة وتثبيت أبار المراقبة ومحطات مراقبة المياه السطحية.
- أخذ العينات وتحليل المياه والتربة والرواسب.
- مراقبة وتحليل المياه الجوفية.
- تحليل حركة المادة الملوثة في المياه الجوفية والمياه السطحية.
- التحريات الهيدرولوجية لتحديد خصائص طبقة الماء الأرضي.
- تحديد ممرات الكشف المحتملة والمستقبلات المحتملة للمياه السطحية والمياه الجوفية الملوثة المتنقلة أو في الجوار القريب من الموقع.
- وضع خصائص للموقع.
- تقييم استراتيجيات وتقنيات المعالجة.
- تحديد وتصميم طريقة المعالجة المفضلة أو دمج الطرق.
- تصديق الوكالة على طريقة المعالجة المقترحة.

جزء مهم من التحريات المتعلقة بالتحري العلاجي/ دراسة الجدوى للمواقع الملوثة يركز على تلوث التربة والمياه الجوفية. ويمكن أن تسبق تحريات المعالجة المفصلة بسلسلة من الدراسات التمهيدية. وهذه الدراسات تتضمن التقييم التمهيدي لاحتمال التلوث في الموقع باستخدام خرائط وتفتيش الموقع وتاريخ العمليات في الموقع، والوثائق المتاحة من الوكالات المديرة والوكالات الحكومية. وتحريات المعالجة التفصيلية المتعلقة بالتربة الملوثة تشمل التالي (USEPA 1996c):

١ - تحديد طريقة الموقع المتعلقة بالمفاهيم: وهي صورة ثلاثية الأبعاد أو وصف لحالة الموقع مما يوضح توزيع المواد الملوثة في التربة وآلات الإطلاق الملوثة، وطرق الهجرة والمرور المكشوفة، والمستقبلات المحتملة للملوثات المنطلقة من التربة. ويتضمن تحديد طريقة الموقع المتعلقة بالمفاهيم جمع البيانات (السجلات التاريخية، والخرائط، وخلفية البيانات، وهيئة مسح الترب بالولاية)، وتحليل البيانات لتحديد مصادر التلوث، والأوساط المتأثرة، وطرق الهجرة المحتملة، والمستقبلات، واستطلاع الموقع لتحديد النواقص في البيانات.

٢ - جمع البيانات: ويتضمن هذا زيارة الموقع لعمل تقييم لتوزيع الملوثات، وتحديد خطة أخذ العينة من التربة، وتحديد طريق ملائمة لأخذ العينات والتحليلات الكيميائية، وجمع عينات التربة.

٣ - تحليل بيانات التربة: ويشمل هذا تحليل عينات التربة، وتحديد الملوثات، وتخطيط مدى حيز وعمق التلوث، وتحديد خصائص التربة (مثل، محتوى الكربون العضوي، والقوام، والكثافة الجافة، ومعامل التوصيل الهيدروليكي).

التحريات العلاجية المتعلقة بالمياه الجوفية تشمل التالي (USEPA 1989b):

- وضع خصائص للكميائيات موضع الاهتمام، والتي تشمل تحديد تركيبات معينة وحالاتها الفيزيائية، ومدى التلوث، والإذابة، والامتصاص، والسمية، والتدرج، والكثافة، واللزوجة، والتركيز.
- خصائص الموقع، والتي تشمل:
 - تحديد الوسط أسفل السطح.
 - المسافات من مواقع أبار إمداد المياه داخل وخارج الموقع، والمجاري المائية، وحدود الملكية.
 - السمك الغير مشبع والمشبع من الوسط المسامي عند الموقع وعلى امتداد الممرات المحتملة.
 - التسرب، وصافي التصرف، ومحتوى الماء لمناطق التربة غير المشبعة.
 - النفاذية، والكثافة الظاهرية، ومعامل التوصيل الهيدروليكي، والخصائص الكيميائية، وخصائص التشتت، ومحتوى الكربون العضوي للوسط المسامي.
 - العمق إلى المياه الجوفية في منطقة التربة غير المشبعة.
 - السمك المشبع، والميل الهيدروليكي، والسمات الجيولوجية لمناطق التربة المشبعة.
- يمكن أن تشمل مصادر البيانات لتحريات معالجة المياه الجوفية الكتيبات، والسجلات المحفوظة من قبل مالكي ومديري المباني والمنظمات الفيدرالية ومنظمات الولاية، والدراسات السابقة، والبيانات الميدانية الخاصة بالموقع. واعتماداً على تقييم البيانات الموجودة، فإنه يجب تحديد خطة أخذ عينات المياه الجوفية لجمع البيانات الإضافية للملاءمات في البيانات ولتخطيط المدى الأفقي والرأسي لمحتوى التلوث الموجود والممرات المحتملة لتلوث المياه الجوفية. وأبار المراقبة اللازمة لجمع البيانات

الميدانية يجب أن تشمل عدد كافٍ من الآبار العليا لتقييم خلفية التركيزات للكميماويات موضع الاهتمام، والآبار السفلى لتقييم الإمكانية لهجرة الملوثات داخل وخارج الموقع وللعمل كبنر الاستجابة، والآبار في الموقع لتخطيط مدى تلوث المياه الجوفية.

ويمكن استخدام الطرق الإحصائية لتحديد وفرة عينات التربة والمياه الجوفية لتحليل بيانات مراقبة التربة والمياه الجوفية (USEPA 1989c). وعلى سبيل المثال، إذا كان عدد مواقع العينات المحتمل كبيراً، فإنه يمكن استخدام التوزيع ثنائي الحد (Haan 1977) لتحديد ما إذا كان على الأقل واحد من العينات هو من أكثر الآبار تلوثاً أو من البقع الساخنة. وإذا كان العدد الكلي N من عينات التربة متاحاً من الموقع، فإنه يمكن اختيار n من العينات عشوائياً أقل N من ليتم تحليلها. ثم يمكن حساب احتمالية أنه على الأقل واحدة من عينات التربة n تكون من أسوأ العينات k (أو من البقع الساخنة) في الكثافة الداخلية للعينات N باستخدام التوزيع الهندسي الموسع.

مثال رقم (١، ٧): يتم اختبار عينات مياه جوفية من ٣٠ بئر مراقبة من موقع ما. استنتج الاحتمالية P ، أنه على الأقل واحد من هذه الـ ٣٠ بئر تمثل أسوأ ١٠٪ من المواقع الملوثة في الموقع.

الحل:

في هذه الحالة، يكون عدد مواقع العينة المحتملة (الكثافة) كبيراً، إذن يكون التوزيع ثنائي الحد ملائماً مع n (العدد المختار من العينات) = ٣٠، p (احتمالية أسوأ تلوث في الكثافة) = ٠.١٠. ومن هنا فإن:

احتمالية على الأقل عينة واحدة من أسوأ ١٠٪ من الآبار (P) تساوي

$$P = 1 - (1 - p)^n = 1 - (1 - 0.10)^{30} = 0.96 \quad (\text{Haan 1977})$$

مثال رقم (٧، ٢): إجمالي ١٠٠ عينة تربة متاحة من شبكة مربعة في الموقع. ٣٠ عينة فقط مختارة عشوائياً من العدد الكلي للعينات التي يتم تحليله. استنتاج الاحتمالية، P ، أنه على الأقل واحدة من العينات تمثل أسوأ ١٠ بقع ساخنة في الموقع.

الحل:

في هذه الحالة، تكون الكثافة (أي، مواقع الـ ١٠٠ عينة) معلومة. إذن، يمكن أن يكون التوزيع الهندسي الموسع ملائماً (Haan 1977). وبالنسبة للتوزيع الهندسي الموسع يكون:

$$N = 100, \quad n = 30, \quad k = 10$$

إذن، P (احتمالية أنه على الأقل واحدة من الـ ٣٠ عينة المختارة عشوائياً تكون من أسوأ ١٠ بقع) = $1 -$ احتمالية أنه لا واحدة من الـ ٣٠ عينة تكون من أسوأ ١٠ بقع ساخنة.

وطبقاً للتوزيع الهندسي الموسع، فإن احتمالية أن x من العينات n المختارة عشوائياً من الكثافة N تنتمي إلى أسوأ k من العينات:

$$p(x, N, n, k) = \left[\frac{k!}{x! (k-x)!} \right] \left[\frac{(N-k)!}{(n-x)! (N-k-n+x)!} \right] /$$

$$\left[\frac{N!}{n! (N-n)!} \right] = \{1 \times 90! / 30! 70!\} / \{30! 60! 100!\} = \{90! 70!\} / (60! 100!)$$

$$= \left[(1.48571 \times 10^{138}) \times (1.19785 \times 10^{100}) \right] / \left[(8.32098 \times 10^{81}) \times (9.33262 \times 10^{157}) \right] = 1.77966 / 77.65654 = 0.023$$

(لاحظ أن x تساوي صفر). ويمكن الحصول على قيم المضروبيات من الجداول القياسية (مثل، Abramowitz and Stegun 1972). وبالتالي فإن:

$$P = 1 - 0.023 = 0.98$$

يمكن أيضاً أن يقدر عدم التأكيد المتضمن في تكلفة المعالجة المقدرة والحجم للتربة الملوثة أو المياه الجوفية الذي يقوم على عدد معين من العينات المأخوذة من الموقع، باستخدام الطرق الإحصائية (Spurr and Bonini 1973). والخطوات الحسابية لذلك موضحة في المثال رقم (٧.٣).

مثال رقم (٧،٣): إجمالي ١٠٠ عينة متاحة من شبكة مربعة في موقع ما. كل عينة تمثل تقريباً ٢٠٠٠ طن من وزن التربة، وتكلفة المعالجة تقدر بـ ١٠٠٠ دولار لكل طن. أوضح التحليل الكيميائي أن ٣٠ من العينات تكون فوق مستوى التلوث المسموح به. استنتج عدم التأكد في تكلفة المعالجة عند مستوى ثقة ٩٥٪ وكذلك تكلفة عدم التأكد القصوى.

الحل:

العدد الكلي للعينات:

$$N = 100$$

الوزن الكلي للتربة المدروسة =

$$2,000 \times 100 = 200,000 \text{ tons}$$

نسبة العينات الملوثة:

$$p = 30/100 = 0.30$$

الخطأ القياسي في النسبة p:

$$S_p = \sqrt{\{p(1-p)/N\}} = \sqrt{\{0.30(1-0.30)/100\}} = 0.0458$$

وأعلى خطأ قياسي في العينة:

$$S_p(\max) = 0.5/\sqrt{N} = 0.5/\sqrt{100} = 0.05$$

عند مستوى ثقة α (٩٥٪)، يكون الحد الأعلى للتأكد في النسبة p :

$$p_u = p + t_{\alpha, N} \cdot S_p$$

حيث إن $t_{\alpha, N}$ هي t الإحصائية لمستوى التأكد α لحجم عينة N ، وتأخذ من الجداول الإحصائية (Spurr and Bonini 1973) وتساوي ١,٦٥ (في حالة α تساوي ٩٥٪، و N تساوي ١٠٠)، وبالتالي فإن

$$p_u = 0.30 + 1.65 \times 0.0458 = 0.3756$$

ومقياس عدم التأكد:

$$M_u = p_u - p = t_{\alpha, N} \cdot S_p = 0.0756$$

و

$$M_u (\max) = 1.65 \times 0.05 = 0.0825$$

وتكون تكلفة عدم التأكد عند مستوى ثقة ٩٥٪:

$$0.0756 \times 200,000 \times 1,000 = 15,120,000 \$$$

وتكون تكلفة أقصى قيمة لعدم التأكد:

$$0.0825 \times 200,000 \times 1,000 = 16,500,000 \$$$

لاحظ أن تكلفة عدم التأكد تقل مع الزيادة في عدد العينات لأن كل من $t_{\alpha, N}$ و S_p يقلان مع الزيادة في عدد العينات. ويمكن عمل المنحنيات البيانية المفصلة بين تكلفة عدم التأكد عند مستويات تأكد مختلفة وعدد العينات، ويمكن اتخاذ قرار حول عدد العينات المطلوبة للحصول على تكلفة معقولة لعدم التأكد عند مستوى تأكد مقبول.

تشمل دراسات الجدوى المتعلقة بمعالجة التربة والمياه الجوفية الملوثة التقييم المقارن للتقنيات المختلفة بما فيها تقنية الإزالة أو الاستخراج، وتقنية المعالجة

الموضعية، وتقنية الإضعاف الطبيعي، والتقنيات المناسبة الأخرى (انظر الجزء في هذا الفصل بعنوان "عمليات ومظاهر الهيدرولوجية المناسبة").

أمثلة على تلوث المياه السطحية والرواسب العالقة أو الناتجة من تلوث التربة والمياه الجوفية تحدث في الحالات التالية:

- عندما يتم تصريف المياه الجوفية الملوثة إلى مناطق المياه السطحية، فإن تركيزات الملوثات المخففة يمكن أن تكون ذات أهمية بالنسبة لآثارها على الحيوانات والنباتات المائية، والتدفق الكلي للملوثات التي تدخل النظام البيئي المستقبل يمكن أن تكون مهمة بالنسبة للسعة التمثيلية لمنطقة المياه السطحية المستقبلية.

- عندما يتم انجراف التربة الملوثة في المواقع الصناعية أثناء العواصف الممطرة، وتنتقل إلى منطقة المياه السطحية القريبة، وترسب في قاع وسهول المجاري المائية، أو في المستنقعات أو الأراضي الحوضية، أو خلف العوائق، مثل السدود.

- وحيثما تؤدي حركة تصريف مياه العاصفة الملوثة من المواقع الصناعية إلى ترسيب الرواسب الملوثة على قاع وفضتي منطقة أسطح مائية قريبة.

- وعندما تترسب الرواسب الملوثة بالملوثات البيولوجية أو أنواع أخرى من الملوثات خلف السدود، أو في المستنقعات، أو في الأرض الحوضية، أو أن تكون التحليلات مطلوبة لتقدير أحجام الرواسب المترسبة والنماذج اللازمة لنقل وتوزيع الرواسب التي تمت إزالتها عن طريق رفع الوحل أو الغسيل في قنوات المصب والسهول الفيضية.

وتختلف البيانات المطلوبة للتحليلات الهيدرولوجية، والهيدروليكية وتحليلات المخاطرة المتعلقة بتلوث المياه السطحية والرواسب من موقع إلى آخر. وعلى العموم، تشمل هذه البيانات التالي:

- الخرائط التضاريسية (الكتورية) التي توضح مواقع مناطق المياه السطحية بالنسبة للموقع.
- خصائص تربة السطح، بما فيها الانجراف، والمنحدرات، والغطاء النباتي، وممارسات المحافظة على التربة، والنفاذية، وتوزيع حجم الحبيبات.
- الكيماويات موضع الاهتمام وخصائص الامتصاص / المج والإذابة في الماء.
- الصفة الكيميائية (أي، تركيز الكيماويات موضع الاهتمام) لتربة السطح.
- تدفق، ومراحل، والقطاعات الجانبية، وجودة مياه منطقة المياه في الموقع بالجوار القريب والمناطق المائية الشبيهة كي تكون المستقبلات للتلوث المتعلق بالموقع.
- توزيع حجم جزيء رواسب قاع المجرى المائي والرواسب العالقة.
- جودة المياه، وقياس الأعماق، وتوزيع حجم جزيء وأعماق الرواسب عند قاع التجمعات المائية في الجوار القريب.
- بيانات نزول المطر للموقع ومجري السريان للمجري المائية القريبة.
- نتائج تدفق المياه الجوفية الملوثة التي تدخل منطقة المياه السطحية المتأثرة.
- الأحمال اليومية الكلية القصوى أو محددات التصرف على المجرى المائي (مثل بند ٣٠٣ (د) من وثيقة تخصيص استخدام معين). (USEPA 1991b).

المنظور التنظيمي Regulatory Perspective

بيان الاستجابة والتعويض والاعتماد البيئي، والذي تم تعديله عن طريق التعديلات عالية التمويل وبيان إعادة الترخيص لعام ١٩٨٦ (SARA)، يرخص للحكومة الفيدرالية أن تستجيب إلى إطلاقات أو مخاطر إطلاق المواد الخطرة، أو الملوثات في البيئة. وفي التابع لإمدادات هذا البيان، فإن كل المواقع الملوثة المخصصة للتقييم في العمق من خلال تحري المعالجة/ دراسة الجدوى تكون محتواة في قائمة

الأولويات القومية (NPL). وجزء من دراسات الجدوى لهذه المواقع هو تحديد تقييم المخاطرة لأثار المشروع المتعلقة بالصحة والمنسوبة إلى المواقع. ويكون تقييم المخاطرة قائماً على نتائج تقييم كشف الموقع. ويقوم بتقييم كشف الموقع بتقييم نوع ومدى الملوثات المنطلقة التي تلي الإطلاق، وتضمن الصلة الناتجة مع الكثافة البشرية المائية المكشوفة.

وبالإضافة إلى ذلك، فإن لدى الوكالات التنظيمية السلطة لعدم إصدار المزيد من خطابات المعالجة للمواقع (الغير محتواة في قائمة الأولويات القومية) المدرجة في برامج التنظيف التطوعية بعد قيام/ مدير الموقع، من خلال التحقيق السليم والمعالجة، بتوضيح أن الموقع المعالج لا يشكل تهديداً على صحة الإنسان أو البيئة. وقد تم تحديد الإجراءات لتقييم المخاطرة على صحة الإنسان عن طريق إطلاقات الملوثات في هذه المواقع وتحديد أهداف المعالجة لحماية المياه السطحية، والمياه الجوفية، والرواسب، والنظام البيئي. وإن هدف هذه الإجراءات تقديم حماية كافية لصحة الإنسان والبيئة بناءً على مخاطر الكشف. وتشمل ممرات كشف الإنسان الطبيعية أو الصناعية الحالة الفيزيائية التي يمكن أن تعرض صحة الإنسان للخطر بسبب وجود الملوثات موضع الاهتمام، وطريق الكشف، ونشاط المستقبل عند نقطة الكشف.

وقد قامت بعض الوكالات التنظيمية بتحديد منهج مصفوف لأهداف العمل التصحيحي للمواقع الملوثة. تقييم الصف ١ لتحديد أهداف العمل التصحيحي يقارن التركيزات الملوثة المسجلة عند الموقع بأهداف المعالجة المناظرة الموصوفة للملكيات السكنية والصناعية/ التجارية. تقييم الصف ٢ يستخدم تحليل يقوم على المخاطرة، وتقييم الصف ٣ يسمح بالمتغيرات والعوامل البديلة كي تستخدم في تحليل أهداف

المعالجة. تقييمات الصف ٢ والصف ٣ تتطلب تحليلات أكثر تفصيلاً من تقييمات الصف ١ (مثل، IPCB 2001).

في حالة كل من قائمة الأولويات القومية ومواقع التنظيف التطوعية، فإنه يجب على الوكالات التنظيمية أن تكون مقنعة، عن طريق التحليلات التقنية والبيانات الميدانية، وحول كفاية التحريات العلاجية المختارة.

ومادام هناك اهتمام بتلوث المياه السطحية والرواسب والمخاطر المعرض لها صحة الإنسان والبيئة، فإنه يجب على عالم الهيدرولوجيا أن يقوم بإجراء التحليلات الهيدرولوجية/الهيدروليكية وتحليلات النقل وتحليلات المخاطرة الاحتمالية لتقييم المخاطرة المحتملة للملوثات التي تصل نقطة الكشف المحتملة. ويجب على عالم السميات أو الصحة أن يقيم المخاطرة الناتجة على صحة الإنسان، وعلى عالم الجيولوجيا أن يقيم المخاطرة على الحياة المائية.

وبالنظر إلى حماية المياه السطحية من التلوث بسبب المصادر المفردة وغير المفردة، فقد قام الكونجرس الأمريكي في عام ١٩٧٢م بسن بيان المياه النقية. ويتطلب بند ٣٠٣ (د) من بيان المياه النقية وجود عبارات لتحديد ما إذا كانت مناطق المياه السطحية ضمن حدودها تتوافق مع مقاييس جودة المياه. وبالنسبة لمناطق المياه السطحية التي لا تقوم أو لا يمكن أن تتوافق مع مقياس معين، حتى مع وجود حدود لفرع النهر، فالمراد من عبارات تحديد منطقة المياه عند تلفه وتحديد أقصى حمل من الملوثات (أو أقصى أحمال يومية كلية) يمكن أن تستقبله منطقة المياه وما زال يتوافق مع مقاييس جودة المياه. إذن، فالمفروض من العبارات توزيع أقصى أحمال يومية محتملة بين هذه المصادر التي تصرف إلى منطقة المياه، مع أهداف تقليل تصريف الملوثات إلى منطقة المياه التالفة وجعله يتوافق مع المقاييس (USEPA 1991b). ومن خلال النماذج

الهيدرولوجية، والهيدروليكية، ونماذج جودة المياه، على عالم الهيدرولوجيا أن يحدد مدى المعالجة الذي يحد من الحمل في المجرى المائي أو البحيرة إلى هذا المذكور من قبل وكالات الولاية.

العمليات والمحاكاة الهيدرولوجية المناسبة

Relevant Hydrologic Processes and Simulations

العمليات الهيدرولوجية Hydrologic Processes

العمليات الهيدرولوجية الخاصة بالتحري العلاجي RI/ دراسة الجدوى FS للمواقع الملوثة تشمل التالي:

١- تساقط المطر-الجريان السطحي: قياس تساقط المطر، والجريان السطحي، والانجراف المحتمل من حدوث تساقط المطر-الجريان السطحي، والجزء من المطر المتساقط الذي ينتقل إلى المياه الجوفية على هيئة تسرب أو إعادة خزن.

٢- التسرب ونقل المياه الجوفية: تحدد الجزء من المطر المتساقط المتاح للمج، وللذوبان، ولنقل الملوثات القابلة للذوبان خلال الرشح لمناطق المياه الجوفية ومناطق التربة المشبعة.

٣- نقل المياه السطحية للملوثات القابلة للامتزاج: تشمل الخلط، وحركة الهواء الأفقية، والتشتت، والمج أو الامتصاص للملوثات التي تدخل منطقة المياه السطحية عن طريق رشح المياه الجوفية، أو تصريف المياه الفائضة، أو تصريف مياه العاصفة.

٤- نقل الرواسب: تشمل انجراف ومج الرواسب الملوثة من أسطح التربة، أو نقلها خلال مجرى السيول، أو عن طريق التدفق البري، وترسيبها في دلتا الأنهار، والخزانات، والأراضي الرطبة، والمستنقعات، ومصاب الأنهار.

تعتبر خطوات التحليل التالية مطلوبة لمحاكاة عملية تساقط المطر-الجريان السطحي وتقييم مدى ترسيب المواد الملوثة في منطقة المياه السطحية الناتج من العمليات سالفة الذكر:

- حصل أو قم صناعياً بتكوين متتابعات لتساقط المطر في الساعة (أو ١٥ - دقيقة) لفترة لتحليل. وبالتبادل، لتحليل مبسط، استنتج مدة وعمق تساقط المطر لأحداث العاصفة الهامة المنفصلة لكل سنة. ويمكن أن تُعرف أحداث العاصفة الهامة على أنها تلك التي تكون لها شدة كافية من تساقط المطر بحيث تتسبب في انجراف ملحوظ للتربة. وتُعرف وكالة حماية البيئة للولايات المتحدة أن ١,٠ بوصة هو أدنى عمق لتساقط المطر قادراً على إنتاج خصائص تساقط المطر/ الجريان السطحي الضرورية لتكوين حجم كافٍ من الجريان السطحي لتحليل عينة ذا معنى لمياه العاصفة (40 CER Parts 122, 123, and 124; Federal Register Vol. 55, No. 222, Friday, November 16, 1990, Page 48018; ISEPA 1991d). وحدث العاصفة القادر على التسبب في انجراف للتربة ملحوظ يجب أن يكون أكبر وأكثر شدة.

- استنتج أحجام ومعدلات الجريان السطحي وانجراف التربة من الموقع أثناء أحداث العاصفة المنفصلة.

- استنتج الانجراف أثناء أحداث المطر الاعتبارية (أحداث تساقط المطر التي يمكن ألا تنتج انجراف ملحوظ للتربة) من معلومات جودة المياه للرواسب العالقة.

- احسب كمية الرواسب المنقولة خلال المجرى المائي مع الجريان السطحي وانجراف التربة الداخلة من مساحة الموقع، بما فيه الانجراف والترسيب في قاع المجرى المائي، والسهول الفيضية، وأحواض مهبط النهر.

• استنتج الأجزاء الملوثة/ غير الملوثة من الرواسب المترسبة في المجرى المائي والأحواض عن طريق التوزيع النسبي اعتماداً على الأجزاء الملوثة وغير الملوثة من مجرى السريان.

• تحقق من معقولية المدى المقدر لتلوث الرواسب باستخدام معلومات عينة التربة من المواقع المختارة والاستكمال القياسي عن طريق برنامج حاسب أو أي من إجراءات الاستكمال قياسي/ الاستكمال الخطي الأخرى.

وبالنسبة لتصرف المياه الجوفية من المواقع الملوثة والتصرفات الأخرى من المصادر المفردة وغير المفردة الملوثة بالمكونات القابلة للامتزاج، فإن الوكالات التنظيمية تكون مسئولة عن الوصف الحاد والمزمن لمناطق الخلط التنظيمي (ARMZ and CRMZ) لمناطق المياه السطحية المستقبلية والتي لا تطبق فيها مقاييس جودة المياه الطبيعية (Hutcheson 1998). ومنطقة الخلط هي تلك المنطقة من مناطق المياه السطحية في اتجاه مصب التيار عند نقطة تصرف الملوثات حيث يحدث الخلط الفيزيائي في كل الاتجاهات حتى تحقق المكونات في التصرف تركيزات منتظمة في منطقة المياه المستقبلية. ويجب أن يكون التركيز المنتظم المتوقع للكميائيات موضع الاهتمام ضمن مستويات التلوث القصوى سالفة الذكر، ويجب أن يكون تدفق الكتلة الكلي لهذه الكيماويات ضمن الحمل الكلي المسموح به لهذه المنطقة المائية. ويجب الحفاظ على حجم منطقة الخلط عند أدناها ويجب أن تسمح بالرشح الآمن، والحماية، وتطور الكائنات المائية. والمعيار الشائع الاستخدام لوضع حد للخلط الكامل أو منطقة الخلط هو أن التركيز عند أي نقطة في القطاع العرضي عند حد منطقة الخلط يجب ألا يتجاوز ٥٪ من القيمة المتوسطة للقطاع العرضي (Fischer et al. 1979). وفي الحالات التي يقع تصرف المياه الجوفية من المواقع الملوثة في البحيرات والأحواض،

فإن التدفق الكتلي الكلي للملوثات والتركيزات في منطقة المياه السطحية أثناء الفترات الحرجة بالنسبة لفقس ونمو البيئة الطبيعية المائية يعتبر من العوامل المقيدة. وتحدد معظم مقاييس جودة المياه استخدام Q10V لتقييم أثار التصرفات المفردة وغير المفردة على جودة مياه المجاري المائية. وخطوات التحليلات المستخدمة بشكل عام لتقييم مدى تلوث المياه السطحية الناجمة من تصرفات المياه الجوفية من المواقع الملوثة تشمل التالي:

- حدد مصدر المياه الجوفية الملوثة التي تدخل المجرى المائي أو البحيرة بدلالة تركيزات الكيماويات موضع الاهتمام، وتدفق الكتلة، وأبعاد مساحة المصدر. واعتماداً على ظروف الموقع المحددة أو درجة تعقيد التحليلات المطلوبة، قم بتصريف المصدر كمفرد، أو مصدر خطي (رأسي أو أفقي)، أو كمصدر غير منتظم الشكل محدد بشبكات مستطيلة أو مثلثة، أو عناصر نظيرة مستطيلة.

- حدد الخصائص الهيدروليكية وخصائص جودة المياه لمنطقة المياه السطحية المستقبلية (مثل، القطاع العرضي، والتدفق، وسرعات التدفق، وجودة المياه المحيطة، ومتغيرات التشتت/ الانتشار للمجري المائية، والتدفقات، والانصبابات، وسعة التخزين، واحتمال التراصف، وجودة المياه المحيطة من البحيرات والأحواض). ويعتمد مدى البيانات المطلوبة على تعقيد التحليلات المطلوبة.

- احصل على البيانات المناخية المطلوبة لنماذج جودة المياه للبحيرات والأحواض.

- قم بأداء تحليل التشتت الأفقي مع المجرى/ الامتصاص لنقل الملوثات التي تدخل المجرى المائي مع تصرف المياه الجوفية خلال المجرى المائي المتأثر و/ أو البحيرة المتأثرة.

• استنتج حدود وأبعاد منطقة الخلط والكتلة الكلية المذابة وقارنها مع السعة التمثيلية لمنطقة المياه السطحية التي تقرر عن طريق الوكالات التنظيمية. عادةً، لا تكون البيانات الكافية الخاصة بالموقع متاحة للمعايرة والتحقق من دقة نتائج النماذج والتحليلات المتعلقة بتلوث المياه السطحية والرواسب. ويجب أن يتعادل تعقيد النموذج المختار أو التقنيات التحليلية المختارة مع كمية البيانات المتاحة الخاصة بالموقع. إذن، في معظم الحالات، تكون نتائج التحليلات والنماذج لها دقة محدودة. ومع هذا، فإن هدف التحري العلاجي / دراسة الجدوى هو جمع وتحديد البيانات الكافية لتحديد المصادر الأساسية، والطبيعية، ومدى التلوث، وتحديد الأطراف الأساسية المسؤولة عن التلوث، وتوزيع مسؤوليات المعالجة وتحديد تفاصيل مستوى الجدوى لطرق المعالجة المحتملة. ويجب أن يتم تحديد التصميم المفصل وتكاليف المعالجة لاحقاً بناءً على البيانات الإضافية حول مدى التلوث ومستويات التنظيف المتفق عليها مع الوكالات التنظيمية ونتائج الاختبارات المرشدة لفاعلية تقنية المعالجة المختارة.

وتحاكي النماذج الهيدرولوجية والعمليات الهيدرولوجية لمجرى سريان الماء السطحي وتحت السطحي والناجمة عن الجريان السطحي على سطح الأرض، وتفاعل المياه الجوفية، وتحميل ملوثات المصدر غير المفرد. وتعتبر هذه النماذج الهيدرولوجية قاعدة لتحليلات بيئية متنوعة، وخاصة عند التعامل مع مشاكل إدارة مجرى السريان وتقييم أثار مصادر منبع النهر ومناطق المياه المستقبلية. وتعتمد هذه النماذج على العمليات المعتمدة على الأرض والأنشطة البشرية التي تحدث ضمن مجرى سريان الصرف لتقدير التدفق، والرواسب، وحمل الملوث الأخر. وبشكل عام، يتم تصميم كثير من هذه النماذج لعمل توقع متكامل لتوازن الماء وحركة الملوث من المصادر

المفردة وغير المفردة. ويتم عمل هذه التوقعات غالباً على مدى فترة طويلة من الزمن (أحياناً على مدى عقود) لتقييد أثار التغيير التي تطبق على أفاق زمنية أطول.

ويتم تقدير الحجم والمنحنى المائي للجريان السطحي باستخدام النماذج القائمة على الأحداث مثل (HEC-1 USACE 1991a)، و (HEC-HMC USACE 2001) أو نماذج محاكاة التدفق المستقر مثل (HSPF USEPA 1991a)، و (NWSRFS NWS 1998؛ و (Prakash and Dearth 1990)، و (SSAR USACE 1986). ويمكن تقدير انجراف الرواسب المحتمل أثناء أحداث العاصفة المنفصلة باستخدام المعادلة العالمية المعدلة للفقد في التربة (MUSLE). ويمكن تقدير متوسط الانجراف السنوي للرواسب باستخدام المعادلة العالمية للفقد في التربة (USLE). وبناءً على طول وشدة انحدار مسار الجريان السطحي، فإن الكمية الكلية للرواسب المنجرفة من مساحة الموقع يمكن ألا تصل إلى المجرى المائي المستقبل. ولتعليل ترسيب الرواسب على طول مسار الجريان السطحي، فإنه يجب تقدير نسبة تسليم الرواسب (SDR) واستخدامها (USEPA 1988a). وفي حالة عمليات المحاكاة القائمة على الأحداث، فإنه يمكن استخدام النماذج التي تحاكي كل من الجريان السطحي وانجراف الرواسب. وكمثال، فإن نموذج (SEDIMOT II Wilson 1984) هو نموذج يقوم على الأحداث يمكنه حساب حجم الجريان السطحي والمنحنى المائي، وانجراف الرواسب باستخدام المعادلة العالمية للفقد في التربة MUSLE أو المعادلة العالمية المعدلة للفقد في التربة USLE ونسبة تسليم الرواسب SDR، وحجم وتركيزات الرواسب التي تصل المستقبل (مثل، أحواض الترسيب)، وترسيب الرواسب في المستقبل (انظر الفصل الثالث).

وعلى عالم هيدرولوجيا المياه السطحية القيام بتقدير الجزء من نزول المطر الذي يحتمل أن يتسرب من خلال رشح الماء إلى المناطق شبه الجوفية ومناطق التربة المشبعة.

ويقوم عالم هيدرولوجيا المياه الجوفية بمحاكاة نقل ملوثات السطح مع ماء المطر المتسرب وتدفق المياه الجوفية إلى الرشع على طول الضفاف تحت، أو فوق، أو أسفل ارتفاع سطح الماء في منطقة المياه السطحية. ويمكن محاكاة تدفقات المياه الجوفية هذه كمصادر مفردة، أو خطية، أو مسطحة تقع عند ضفة منطقة المياه السطحية (انظر الفصل الرابع).

ويكون التسرب الرأسي لماء الرشع خلال المناطق شبه الجوفية ومناطق التربة المشبعة، عملية بطيئة نسبياً. ويتم عادةً استخدام متوسط التسرب السنوي لتقييم احتمال الحركة في الاتجاه السفلي للملوثات مع تسرب مياه المطر. ويعتمد معدل النقل الرأسي على معامل التوصيل الهيدروليكي الرأسي لماء الرشع خلال المناطق شبه الجوفية ومناطق التربة المشبعة في الموقع. ويكون معامل التوصيل الهيدروليكي دالة في رطوبة التربة ولهذا يصعب تحديده بسبب أحوال رطوبة التربة المتغيرة بشكل مؤقت وحيزي. ويعتمد تقدير متوسط التسرب السنوي بشكل عام على العلاقات العملية والبيانات الإقليمية المتاحة. ويمكن استخدام طريقة رقم المنحنى لخدمة المحافظة على التربة (SCS)، مع رقم منحنى مختار ليعكس أحوال متوسط الجريان السطحي السنوي لمساحة الموقع، لتقدير الفقد الكلي في نزول المطر بسبب الصد، والبخر، والتسرب (ASCE 1996). ويمكن استخدام الطرق العملية (مثل، معاملات تسرب ماكسي-إيكنين Maxey-Eakin) لأحوال الموقع الخاصة (Avon and Durbin 1994). وفي حالة أحواض النهر، حيث تكون متاحة بيانات المتوسط السنوي للجريان السطحي، فإن الفرق يمكن أن يقدم تقديراً للفقد الكلي في نزول المطر. وفي الحالات التي فيها إجراء محاكاة التدفق المستمر باستخدام النماذج سابقة الذكر، فإن مكون حساب رطوبة التربة للنموذج يقدم تقديراً للتسرب. ويستخدم متوسط معدل التسرب السنوي لمحاكاة

حركة الملوثات الذائبة من مصادر السطح إلى سطح المياه الجوفية من خلال منطقة الماء الراشح شبه الجوفي (Prakash 1996, 2000a). ويتم محاكاة نقل الملوثات خلال المنطقة المشبعة باستخدام تدفق أحادي، وثنائي، وثلاثي البعد ونماذج النقل (انظر الفصل الرابع).

تشمل المكونات المتعلقة بنماذج جودة المياه السطحية عمليات النقل الهيدرولوجي، والهيدروديناميكي، وعمليات نقل الرواسب. وتحاكي النماذج الهيدروديناميكية نقل مياه العاصفة والرواسب الملوثة خلال أنظمة المياه السطحية. ويقدم النموذج الهيدروديناميكي ارتفاعات سطح الماء، والسرعة الأفقية والرأسية، وإجهاد القص، والتشتت المضطرب للتنبؤ بنقل الرواسب العالقة والملوثات الذائبة والممتصة. ويحاكي نموذج نقل المادة الملوثة حركة الملوثات الذائبة والرواسب الممتزة عن طريق التأفق، والتصلب الدقائق، والتشتت المضطرب، وحركة الهواء الأفقية، والتشتت الجزيئي، والانتشار الهيدروديناميكي، والخلط الحيوي.

وتشمل نماذج نقل الرواسب محاكاة الانجراف، والنقل، والترسيب الناتج عن المياه، والرياح، والجاذبية. ويمكن أن يكشف الانجراف الترب الملوثة، التي يمكن أن تكون متعرضة لمسارات الكشف بسبب الانجراف الإضافي عن طريق المياه والرياح. ويمكن أن يضعف نقل الرواسب الملوثة من الجودة البيئية عن طريق حركة الملوثات الممتصة إلى مستقبلات أخرى محتملة (مثل، الأنهار، والبحيرات، ومصاب الأنهار). ويمكن أن يؤثر ترسيب الرواسب الملوثة على السهول الفيضية للنهر، والمستنقعات، والأراضي الحوضية ويمكن أن يهدد بيئة المياه الجوفية بسبب تسرب وشرح الملوثات.

Remediation Methods طرق المعالجة

الطرق شائعة الاستخدام لمعالجة التربة والمياه الجوفية تشمل الإزالة، والمعالجة، والإضعاف الطبيعي.

الإزالة Removal: تعد الإزالة طريقة معالجة مألوفة للرواسب الملوثة. وهي تتضمن النقل، والمعالجة، والتخلص من الرواسب الملوثة واستخراج والتخلص من المياه الجوفية الملوثة. وتعتمد حيوية التخلص الفيزيائي للرواسب على طبيعة الرواسب، وأنواع الملوثات، وعمق الترسيب، وسمك وحجم الرواسب، وإتاحة المعدات المطلوبة. ويكون الجرف والنقل ملائماً عندما تكون الآثار البيئية لعدم الفعل غير مقبولة، أو الأحوال البيئية مثل فعل الموجة، أو الفيضان، أو منع الانجراف الذي يترك الرواسب في مكانها، أو الرواسب القابعة في الممرات المائية الملاحية ولا بد من إزالتها. والطرق الشائعة للجرف تشمل الجرف الميكانيكي، والهيدروليكي، والهوائي. ويتضمن الجرف الميكانيكي جرف الرواسب أو الحفر باستخدام معدات تحريك الأرض التقليدية. ويستخدم الجرف الهيدروليكي جرافات محمولة، ويدوية، وجرافات المص المتبسط، وجرافات رأس المقطع، وجرافات الكناسة، وجرافات القادوس. وتشمل الجرافات الهوائية جرافات الرافعة الهوائية وجرافات الغاز.

المعالجة Treatment: تشمل المعالجة في المكان وخارج المكان للملوثات (عن طريق التغطية، والتجمد، والتثبيت، والتجميد الأرضي)، وغسل التربة، والمعالجة الكيميائية بما فيها الاستخراج الكيميائي والتدمير/التحويل، والمعالجة البيولوجية، والحرق في الأفران. وتتضمن التغطية وضع مادة نظيفة فوق قمة الرواسب الملوثة.

ويقوم التجمد والتثبيت والتجميد الأرضي بتجميد الرواسب الملوثة عن طريق معالجتها بالكاشف لتجميدها أو تثبيتها، وغسيل التربة هو عملية تقليل حجم تعتمد على المياه يتم فيها استخراج المواد الملوثة ودمجها في أجزاء صغيرة متبقية من الحجم الأصلي باستخدام وسائل فيزيائية أو كيميائية. وتشمل المعالجة الكيميائية عمليات نزع الكلور والأكسدة. وهي تقوم بإضافة الكاشفات إلى الرواسب حتى تدمر، وتزيل السمية، أو لإزالة المواد الملوثة. وتشمل المعالجة الكيميائية المعالجات الحيوية الهوائية واللاهوائية. ويتضمن الحرق في الأفران حرق المواد الملوثة عند درجات حرارة عالية والتخلص من الرماد والخبث الناتج.

المعالجة عن طريق الإضعاف الطبيعي:

Remediation by Natural Attenuation (RNA)

وهي تتضمن التقليل المستمر والمتقدم لتركيزات المواد الملوثة في التربة والمياه الجوفية في الموقع القريب بسبب التشتت الجزيئي، والانتشار الميكانيكي، والتخفيف عن طريق إعادة الملء بسبب تسرب مياه المطر، والتصعيد، والامتزاز، والتفاعلات الكيميائية (مثل، التميؤ/ الإحلال، والإزالة، والأكسدة/ الاختزال)، والتحلل الحيوي الهوائي و أو اللاهوائي، بما فيه إزالة الهالوجينات. ومن بعض مزايا المعالجة عن طريق الإضعاف الطبيعي الإزعاج الأدنى للموقع، والاستخدام المستمر للموقع أثناء المعالجة، والتكلفة المالية المنخفضة، وقابلية التطبيق على التربة والمياه الجوفية أسفل المباني والمناطق الأخرى التي يمكن أن يتعذر الوصول إليها. وبالإضافة لذلك يمكن استخدام المعالجة عن طريق الإضعاف الطبيعي كمعوض لتقنيات المعالجة الأخرى.

ويتطلب تقييم صلاحية المعالجة عن طريق الإضعاف الطبيعي نماذج وحساب معدلات وممرات تدرج المواد الملوثة لإظهار أن العمليات الطبيعية لتدرج المواد الملوثة سوف يقلل من تركيز المواد الملوثة إلى مستويات مقبولة قبل اكتمال ممرات الكشف المحتملة. ويجب أن تستمر عمليات مراقبة المياه الجوفية وأخذ العينات من الرواسب لفترة كافية من الزمن ضمان حدوث التدرج بمعدلات ثابتة مع أهداف التنظيف المقررة. ويمكن إيضاح جدوى المعالجة عن طريق الإضعاف الطبيعي على أنه مقياس معالجة مقبول من خلال جمع البيانات الميدانية الغير غالية نسبياً، والتحليلات العملية، والنماذج أثناء مرحلة وضع خصائص الموقع. وإذا وجد أنه لا جدوى من المعالجة عن طريق الإضعاف الطبيعي، فإن البيانات التي تم جمعها (مع أو بدون عمل ميداني إضافي) يمكن استخدامها لتصميم مقاييس تعويضية أو علاجية أخرى. ومع هذا، تتطلب المعالجة عن طريق الإضعاف الطبيعي مراقبة التربة والمياه الجوفية لفترة طويلة نسبياً من الوقت قبل وبعد المعالجة ويمكن أن تتطلب إزالة للمصدر و/ أو التقرير، والموافقة، والصيانة طويلة المدى لمناطق إدارة المياه الجوفية (GMZs). ومناطق إدارة المياه الجوفية هي مناطق ثلاثية الأبعاد تحتوى على مياه جوفية يتم إدارتها لتخفيف التلف الناتج عن إطلاق الملوثات موضع الاهتمام عند الموقع العلاجي.

الخطوات البحثية لإظهار صلاحية الإضعاف الطبيعي عند موقع ما تشمل التالي:

- وضع خصائص للموقع، بما فيها تحديد المصدر، وترتيب المميزات، وتحديد خصائص طبقة الماء الأرضي.

- تقييم جدوى المصدر أو إزالة المنتج الحر.

- جمع بيانات عن تلوث التربة والمياه الجوفية لفترات متعددة من الزمن

ومقارنة تركيزات التلوث للفترات المختلفة.

- التحليلات المعملية لإظهار التحلل الحيوي للملوثات موضع الاهتمام.
- نماذج التوصيل والنقل لإظهار أن تركيز الملوث سوف يتم إضعافه عن طريق العمليات الطبيعية قبل التأثير على أي من المستقبلات المحتملة مع أو بدون إزالة المصدر.
- التحليل القائم على المخاطرة لإظهار أنه ليس هناك تهديداً محتملاً لكشف المادة الملوثة على المدى القصير أو الطويل.
- القابلية العملية لمراقبة المياه الجوفية المستمرة لفترات طويلة بشكل كافٍ من الزمن في المستقبل.
- تقييم إتاحة تقرير وصيانة مناطق إدارة المياه الجوفية لفترات زمنية محددة في المستقبل.

تقنيات المعالجة Remediation Technologies

تقنيات المعالجة شائعة الاستخدام للتربة الملوثة تتضمن المعالجات التالية:

- ١ - المعالجة الحيوية في المكان: وهي تشمل إزالة الملوثات المتطايرة (VOCs) وشبه المتطايرة (SVOCs) من التربة باستخدام طرق التحلل الحيوي أو التنفس الحيوي.
- ٢ - المعالجة الفيزيائية/الكيميائية في المكان: وهي تشمل غسل التربة (لإزالة الملوثات المتطايرة والمعادن)، واستخراج بخار التربة (لإزالة الملوثات المتطايرة)، واستخراج البخار المحسن حرارياً (لإزالة الملوثات المتطايرة وشبه المتطايرة)، وتقنيات التجمد أو التثبيت (لإزالة المواد شبه المتطايرة والمعادن).
- ٣ - المعالجة الفيزيائية/الكيميائية خارج المكان: وهي تشمل إزالة الهالوجينات (لإزالة الملوثات المتطايرة وشبه المتطايرة)، وغسل التربة (لإزالة الملوثات المتطايرة

وشبه المتطاييرة والمعادن)، واستخراج بخار التربة (لإزالة الملوثات المتطاييرة)، والمج الحراري منخفض الحرارة (لإزالة الملوثات المتطاييرة)، والحرق في الأفران (لإزالة الملوثات المتطاييرة وشبه المتطاييرة).

تشمل تقنيات معالجة المياه الجوفية والمياه السطحية ومعالجة الترشيع التالي:

١ - المعالجة الحيوية في المكان: وهي تشمل استخدام المعالجة الحيوية بتحسين الأكسجين لإزالة الملوثات المتطاييرة وشبه المتطاييرة.

٢ - المعالجة الفيزيائية/ الكيميائية في المكان: وهي تشمل رش الهواء لإزالة الملوثات المتطاييرة، والاستخراج ثنائي المرحلة لإزالة الملوثات المتطاييرة، وجدران المعالجة الخاملة كيميائياً لإزالة الملوثات المتطاييرة وشبه المتطاييرة والمعادن، وجدران الطين السائل لتحتوى نزوح الملوثات المتطاييرة وشبه المتطاييرة والمعادن، واستخراج بخار الهواء لإزالة الملوثات المتطاييرة وشبه المتطاييرة والمعادن.

٣ - المعالجة الفيزيائية/ الكيميائية خارج المكان: وهي تشمل نزع الهواء لإزالة الملوثات المتطاييرة وشبه المتطاييرة، وامتصاص الكربون لإزالة الملوثات المتطاييرة وشبه المتطاييرة والمعادن، وأكسدة الأشعة فوق البنفسجية لإزالة الملوثات المتطاييرة وشبه المتطاييرة.

تشمل تقنيات معالجة تركيزات تلوث المرحلة الذائبة التالي:

١ - تقييم مخاطرة الكشف على الإنسان والبيئة وتحديد خطط العمل التصحيحي المعتمد على المخاطرة (IPCB 2001) (RBCA).

٢ - المعالجة عن طريق الإضعاف الطبيعي بما فيها مراقبة تقدم الإضعاف الطبيعي.

٣- التحلل الحيوي المتسارع للملوثات المرحلة الذائبة باستخدام أنواع مختلفة من العوامل المساعدة.

٤- الحدود المنفذة (مثل، نظام مصارف الغاز والبوابة باستخدام برادة الحديد) لمصرف غاز المياه الجوفية المتأثر لتحديد مساحة المعالجة.

٥- نظام الضخ والمعالجة لاستخراج المياه الجوفية الملوثة للمعالجة والتخلص منها.

٦- تؤخذ العوامل التالية في الاعتبار عند اختيار طرق المعالجة:

- مصدر وطبيعة المواد الملوثة.
- الخصائص الفيزيائية وموضع الموقع.
- استخدام منطقة المياه القريبة لمثل هذه الأغراض كمصدر للمياه، والملاحة، والترفيه، والصناعة، وتصرف البلدية، أو مجموعة من هذه الأمور.
- جودة وكمية الرواسب الملوثة.
- الخواص الفيزيائية للرواسب أو للتربة (مثل، نعومة الحبيبات أو خشونة الحبيبات).

- محتوى المادة العضوية في الرواسب أو التربة.
- محتوى الماء في المكان في الرواسب أو التربة.
- إتاحة الحركة والإتاحة البيولوجية للمواد الملوثة في الرواسب أو التربة (مثل، أحوال تركيز أيون الهيدروجين المنخفضة أو العالية).
- ملوحة الرواسب (التنقية) والمياه. والمنقي هو ماء يتم الحصول عليه من صرف الرواسب المشبعة/ المنغمرة.

- المحتوى الكبريتي في الرواسب أو التربة.

- كمية ونوع الكاتيونات والأنيونات.
- كمية الحديد والمنجنيز النشط المحتملة في الرواسب أو التربة.
- خصائص المواد الملوثة (مثل، الميل إلى الامتصاص في جزئ الراسب أو الذوبان في الماء).
- الخصائص الكيميائية والمدى ثلاثي الأبعاد لتركيز المياه الجوفية الملوثة.
- الخصائص الهيدرولوجية للوحدات حيث تقع أعلى تركيزات للمياه الملوثة.

obeikandi.com

المراجع

References

- Abramowitz, M., and IA. Stegun (1972). Handbook of mathematical functions, Dover, New York, 1,046 pp.
- Abt, S.R., J.F. Ruff, and R.J. Wittier (1991). "Estimating flow through riprap." J. Hydraul Eng., 117(5), 670-675.
- Adams, E.E. (1982). "Dilution analysis for unidirectional diffusers." J. Hydr. Div., 108(HY3), 327-342.
- ASCE (1959). "Time of concentration for overland flow." Civil Engineering, March 1959.
- ASCE (1976). "Design and construction of sanitary and storm sewers." ASCE Manuals and Reports on Engineering Practice No. 37, New York, 332 pp.
- ASCE (1988). Evaluation procedures for hydrologic safety of dams, New York, 95 pp.
- ASCE (1989). Civil engineering guidelines for planning and designing hydroelectric developments, New York.
- ASCE (1996). "Hydrology handbook." ASCE Manuals and Reports on Engineering Practice No. 28, 2d Ed., New York, 784 pp.
- Anderson, M.P., and W.W. Woessner (1992). Applied groundwater modeling Academic, San Diego, 381 pp.
- ASTM (1995). "Standard guide for risk-based corrective action applied at petroleum release sites." EI 1739-95, West Conshohocken, Pa., 51 pp.
- Avon, L., and T.J. Durbin (1994). "Evaluation of the Maxey-Eakin method for estimating recharge to ground-water basins in Nevada." Water Resources Bulletin, 30(1), Feb. 1994, 99-111.
- Baehr, A.T. (1987). "Selective transport of hydrocarbons in the unsaturated zone due to aqueous and vapor phase partitioning." Water Resources Research, 23(10), 1923-1938.
- Bair, E.S., A.E. Springer, and G.S. Roadcap (1992). "An analytical flow model for simulating confined, leaky confined, or unconfined flow to wells with superposition of regional water levels." CAPZONE, IGWMC, Colorado School of Mines, Golden, Colo.

- Bansal, M.K. (1971). "Dispersion in natural streams."/. Hydr. Div., 97(HY11), 1867-1886.
- Barfield, B.J., R.C. Warner, and C.T. Haan (1981). Applied hydrology and sedimentology for disturbed areas, Oklahoma Technical, Stillwater, Okla., 603 pp.
- Batu, V. (1998). Aquifer hydraulics: A comprehensive guide to hydrogeologic data analysis, Wiley, New York, 727 pp.
- Bear, J. (1979). Hydraulics of groundwater, McGraw-Hill, New York, 569 pp.
- Bouwer, H., and R.C. Rice (1976). "A slug test for determining hydraulic conductivity of unconfined aquifers with completely or partially penetrating wells." Water Resources Research, 12(3), 423-428.
- Bouwer, H. (1989). "The Bouwer and Rice slug test—an update." Ground Water, 27(3), May-June 1989, 304-309.
- Bouwer, H., J.T. Back, and J.M. Oliver (1999). "Predicting infiltration and groundwater mounds for artificial recharge." J. Hydrol. Eng., 4(4), 350-357.
- Bradley, C., and D.J. Gilvear (2000). "Saturated and unsaturated flow dynamics in a floodplain wetland." Hydrological Processes, 14(16-17), Nov.-Dec. 2000, 2945-2958.
- Bras, R.L. (1990). Hydrology, an introduction to hydrologic science, Addison-Wesley, Reading, Mass., 643 pp.
- Brater, E.F., H.W. King, J.E. Lindell, and C.Y. Wei (1996). Handbook of hydraulics, McGraw-Hill, New York.
- Brooks, R.H. and A.T. Corey (1964). "Hydraulic properties of porous media." Hydrology Papers, No. 3, Colorado State University, Fort Collins, Colo.
- Campbell, D.B., and P.C. Johnson (1984). "RCC dam incorporates innovative hydraulic features." Water resources development: Proc. of the conf. of the Hydraulics Div., August 14-17, 1984, 138-142.
- CAP (2001). "Culvert Analysis Program." <http://www.waterengr.com/freeprog.htm>.
- Carslaw, H.S., and J.C. Jaeger (1984). Conduction of heat in solids, Oxford Univ. Press, New York, 510 pp.
- Central Board of Irrigation and Power (CBIP) (1971). "Manual on river behavior control and training." Publication No. 40, New Delhi, India, 432 pp.
- Chamani, M.R., and N. Rajaratnam (1994). "Jet flow on stepped spillways," J. Hydraulic. Eng., 120(2), 254-259.
- Chanson, H. (1994). "Comparison of energy dissipation between nappe and skimming flow regimes on stepped chutes." J. Hydraulic Research, 32(2), 213-218.
- Chapra, S.C. (1997). Surface water-quality modeling, McGraw-Hill, New York, 844 pp.
- Charbeneau, R.J. (2000). Groundwater hydraulics and pollutant transport, Prentice Hall, Upper Saddle River, N.J., 593 pp.
- Chin, D.A. (1985). "Outfall dilution: The role of a far-field model." J. Environ. Eng., 111(4), 473-486.
- Chow, V.T. (1959). Open-channel hydraulics, McGraw-Hill, New York, 680 pp.

- Chow, V.T., ed. (1964). *Handbook of applied hydrology*, McGraw-Hill, New York.
- Coastal Engineering Research Center (CERC) (1984). *Shore protection manual* Dept of the Army, Corps of Engineers, Waterways Experiment Station, Vicksburg, Miss.
- Code of Federal Regulations 18 (CFR 18) (1999). Chapter 1, Conservation of Power and Water Resources, and Part 380, Regulations Implementing the National Environmental Policy Act, Office of the Federal Register, National Archives and Records Admin., U.S. Government Printing Office, Washington, D.C.
- Code of Federal Regulations 18 (CFR 18) (1999). Chapter 1, Federal Energy Regulatory Comm., U.S. Dept. of Energy, Washington, D.C.
- Code of Federal Regulations 40 (CFR 40), Part 1500 (1999). Office of the Federal Register, National Archives and Records Admin., U.S. Government Printing Office, Washington, D.C.
- Cooper, H.H., J.D. Bredehoeft, and I.S. Papadopoulos (1967). "Response of a finite-diameter well to an instantaneous charge of water." *Water Resources Research*, 3(1), 1st qtr. 1967, 263-269.
- Creager, W.D., and J.D. Justin (1950). *Hydroelectric handbook*, Wiley, New York.
- Crippen, J.R. (1982). "Envelope curves for extreme flood events." *J. Hydr. Div.*, 108(HY10), 1208-1212.
- Dalton, F.E., and R.S. La Russo (1979). "Chicago's TARP solves problems in big way." *Water & Wastes Engineering*, Technical Publishing Co.
- Davis, C.V., and K.E. Sorensen, eds. (1970). *Handbook of applied hydraulics*, McGraw-Hill, New York.
- Delleur, J.W. (1999). *The handbook of groundwater engineering*, CRC, Boca Raton, Fla.
- Domenico, P.A., and G.A. Robbins (1985). "A new method of contaminant plume analysis." *Ground Water*, 23(4), 476-485.
- Domenico, P.A. (1987). "An analytical model for multidimensional transport of a decaying contaminant species." *J. Hydrology*, 91, 49-58.
- Domenico, P.A., and F.W. Schwartz (1998). *Physical and chemical hydrogeology*, 2d Ed., Wiley, New York, 506 pp.
- Donovan, D.J., and T. Katzer (2000). "Hydrologic implications of greater groundwater recharge to Las Vegas Valley, Nevada." *JAWRA*, 36(5), Oct. 2000, 1133-1148.
- Dragun, J. (1988). "The soil chemistry of hazardous materials." *Hazardous Materials Control Research Institute*, Greenbelt, Md.
- Driscoll, F.G. (1989). *Groundwater and wells*, 2d Ed., Johnston Filtration Systems, Inc., St. Paul, Minn., 1,089 pp.
- Duffield, G.M., and J.O. Rumbaugh (1989). "Aquifer test solver, AQTESOLV." Geraghty & Miller, Inc., Reston, Va., 134 pp.
- Eheart, J.W., A.J. Wildermuth, and E.E. Herricks (1999). "The effects of climate change and irrigation on criterion low stream flows used for determining total maximum daily loads." *JAWRA*, 35(6), Dec. 1999, 1365-1372.

- Federal Emergency Management Agency (FEMA) (1993). "Flood insurance study guidelines and specifications for study contractors." *FEMA 37*, Washington, D.C.
- Fetter, C.W. (1999). *Contaminant hydrogeology*, 2d Ed., Prentice Hall, Upper Saddle River, N.J., 500 pp.
- Fetter, C.W. (2001). *Applied hydrogeology*, 4th Ed., Prentice Hall, Upper Saddle River, N.J., 598 pp.
- Fiering, M.B., and B.B. Jackson (1971). "Synthetic stream flows." *Water Resources Monograph 1*, American Geophysical Union, Washington, D.C, 98 pp.
- Fischer, H.B.J.E. List, R.C.Y. Koh, J. Imberger, and N.H. Brooks (1979). *Mixing in inland and coastal waters*, Academic, New York, 483 pp.
- Foster, G.R., K.G. Renard, D.C. Yoder, D.K. McCool, and G.A. Weesies (1996). *RUSLE user's guide*. Soil and Water Conservation Soc, 173 pp.
- Fread, D.X. (1988). "The NWS DAMBRK model." Hydrologic Research Lab., Office of Hydrology, National Weather Service, NOAA, Silver Spring, Md.
- Freeze, R.A., and J A Cherry (1979). *Groundwater*, Prentice Hall, Upper Saddle River, N.J., 604 pp.
- Gale Research Co. (1985). *Climates of the states*. Volumes 1 and 2, Book Tower, Detroit, Mich., 1,572 pp.
- Gerbert, W.A., D.J. Graczyk, and W.R. Drug (1989). *Average annual runoff in the United States, 1951-1980*, Hydrologic Investigations Atlas, U.S. Geological Survey, Reston, Va.
- Glover, R.E. (1985). *Transient ground water hydraulics*. Water Resources Publications, Highlands Ranch, Colo.
- Golze, A.R., ed. (1977). *Handbook of dam engineering*, Van Nostrand Reinhold, New York, 793 pp.
- Graf, J.B. (1995). "Measured and predicted velocity and longitudinal dispersion at steady and unsteady flow, Colorado River, Glen Canyon Dam to Lake Mead." *Water Resources Bulletin*, 31(2), 265-281.
- Haan, C.T. (1977). *Statistical methods in hydrology*, Iowa State Univ. Press, Ames, Iowa, 378 pp.
- Hampton, D.R. (1990). "Monitoring of free products in wells: Purposes and pitfalls." *4th national outdoor action conf. on aquifer restoration, ground water monitoring and geophysical methods*, Assoc. of Ground Water Scientists and Engineers & U.S. Environmental Protection Agency, Las Vegas, Nev., May 14-17.
- Hawkins, R.H., A.T. Hjelmfelt, and A.W. Zevenbergen (1985). "Runoff probability, storm depth, and curve numbers." *J. Irrig. Drain. Div.*, 111(4), Dec. 1985, 330-340.
- Hershfield, D.M. (1961). "Rainfall frequency atlas of the United States." *Technical Paper No. 40*, U.S. Dept. of Commerce, Weather Bureau, Washington, D.C, 115 pp.

- Huff, F.A., and J.R. Angel (1989). "Frequency distributions and hydro climatic characteristics of heavy rainstorms in Illinois." *ISWS/BUL-70/89*, Illinois State Water Survey, Champaign, 111., 177 pp.
- Hutcheson, M.R. (1998). "Implementation of acute criteria for conservative substances." *JAWRA*, 34(5), 1025-1033.
- Illinois Pollution Control Board (IPCB) (2001). "Tiered Approach to Corrective Action Objectives (TACO)." *35 Ill. Adm. Code Part 742-R97-12(A)*, Bureau of Land, Springfield, 111.
- Javandel, I., and C.F. Tsang (1986). "Capture-zone type curves: A tool for aquifer cleanup." *Ground Water*, 24(5), Sep.-Oct. 1986, 616-625.
- Johnson, P.C., C.C. Stanley, M.W. Kemblowski, D.L. Buyers, and J.D. Colthart (1990). "A practical approach to the design, operation, and monitoring of in-situ soil-venting systems." *Ground Water Monitoring Review*, 10(2), 159—178.
- Johnson, T.L. (1999). "Design of erosion protection for long-term stabilization." *NUREG-1623, draft report*, U.S. Nuclear Regulatory Comm., Washington, D.C.
- KYPIPE2 and KYPIPE3 (1992). *Hydraulic network analysis program*, Civil Engineering Software Center, Univ. of Kentucky, Lexington, Ky.
- Leps, T.M. (1973). *flow through rockfiU, in embankment-dam engineering*, R.C. Hirschfeld and S.J. Poulos, eds., Wiley, New York, 87-107.
- Levy, B., and R. McCuen (1999). "Assessment of storm duration for hydrologic design" *J. Hydrol Eng.*, 4(3), 209-213.
- Linsley, R.K., J.B. Franzini, D.L. Freyberg, and G. Tchobanoglous (1992). *Water-resources engineering*, 4th Ed., McGraw-Hill, New York, 841 pp.
- Long, J.C.S., and P A. Witherspoon (1985). "The relationship of the degree of interconnection to permeability in fracture networks." *J. Geophysical Research*, 90(B4), March 10, 1985, 3087-3098.
- Long, J.C.S., J.S. Remer, C.R. Wilson, and PA Witherspoon (1982). "Porous media equivalents for networks of discontinuous fractures." *Water Resources Research*, 18(3), June 1982, 645-658.
- Low, H.S. (1989). "Effect of sediment density on bed-load transport." *J. Hydraul Eng.*, 115(1), 124-138.
- Lyman, W.J., W.F. Reehl, and D.H. Rosenblatt (1984). *Handbook of chemical property estimation methods*, McGraw-Hill, New York.
- Maidment, D.R., ed. (1993). *Handbook of hydrology*, McGraw-Hill, New York, 1,404 pp.
- Martin, J.L., and S.C. McCutcheon (1999). *Hydrodynamics and transport for water quality modeling*, CRC, Boca Raton, Fla., 794 pp.
- Maynard, S.T., J.F. Ruff, and S.R. Abt (1989). "Riprap design." *J. Hydraul Eng.*, 115(7), 937-949.
- Mays, L.W., ed. (1999). *Hydraulic design handbook*, McGraw-Hill, New York.
- McCuen, R.H.M., S.L.Wong, and W.J. Rawls (1984). "Estimating urban time of concentration." *J. Hydraul. Eng.*, 110(7), 887-904.

- McCuen, R.H.M. (1998). *Hydrologic analysis and design*, 2d Ed., Prentice Hall, Upper Saddle River, N.J., 814 pp.
- Miller, J.F. (1963). *Probable maximum precipitation and rainfall frequency data for Alaska*, U.S. Dept. of Commerce, Weather Bureau, Washington, D.C.
- Monsonyi, E. (1963). *Water power development*, Hungarian Academy of Sciences, Budapest, Hungary.
- Muellerhoff, W.P., AM. Soldate, D.J. Baumgartner, M.D. Schuldt, L.R. Davis, and W.E. Frick (1985). "Initial mixing characteristics of municipal ocean discharges." *EPA/600/3-85/073*, U.S. Environmental Protection Agency, Washington, D.C.
- National Bureau of Standards (NBS) (1972). "American national standard, building code requirements for minimum design loads in buildings and other structures." *ANSI, A58.1-1972*.
- National Oceanic and Atmospheric Administration (NOAA) (1973). *Precipitation-frequency atlas of the western United States*, NOAA Atlas 2, Volumes I to XI, Silver Spring, Md.
- National Research Council (NRC) (1985). *Safety of dams, flood and earthquake criteria*, National Academic Press, Washington, D.C., 321 pp.
- National Resources Conservation Service (NRCS) (1996). *State of the land for the Northern Plains region*, Northern Plains Regional Office, Lincoln, Neb.
- National Weather Service (NWS) (1998). *National Weather Service River Forecast System (NWSRFS) model, user's manual*, Office of Hydrology, National Weather Service, Silver Spring, Md. (www.nws.noaa.gov/oh/hrl/nwsrfs/users_manual).
- Nelson, J.D., S.R. Abt, R.L. Volpe, D. Van Zyl, N.E. Hinkle, and W.P. Straub (1986). "Methodologies for evaluating long-term stabilization of uranium mill tailings impoundments." *NUREG/CR-4620, ORNL/TM-10067*, for U.S. Nuclear Regulatory Coram., Washington, D.C., 145 pp.
- Ojima, D., L. Garcia, E. Elgaali, K. Miller, T.G.F. Kittel, and J. Lackett (1999). "Potential climate change impacts on water resources in the great plains." *JAWRA*, 35(6), Dec. 1999, 1443-1454.
- Pankow, J.F., and J.A. Cherry (1996). *Dense chlorinated solvents and other DNAPLs in groundwater: History, behavior, and remediation*, Waterloo, Portland, Ore., 522 pp.
- Peterka, A.J. (1958, 1978). "Hydraulic design of stilling basins and energy dissipaters." *Engineering Monograph No. 25*, U.S. Bureau of Reclamation, Denver, Colo., 222 pp.
- Pinder, G.F., J.D. Bredehoeft, and H.H. Cooper (1969). "Determination of aquifer diffusivity from aquifer response to fluctuations in river stages." *Water Resources Research*, 5(4), Aug. 1969, 850-855.
- Ponce, V.M. (1989). *Engineering hydrology, principles and practices*, Prentice Hall, Englewood Cliffs, N.J., 640 pp.
- Potter, M.C., and D.C. Wiggert (1991). *Mechanics of fluids*, Prentice-Hall, Englewood Cliffs, N.J., 692 pp.

- Prakash, A., and G. Dearth (1990). "Stream flow simulation using deterministic model." *Irrigation and Drainage Engineering*, 116(4), July/Aug. 1990, 566-580.
- Prakash, A. (1977). "Convective-dispersion in perennial streams." *J. Environ. Eng.*, 103 (EE2), 321-340.
- Prakash, A. (1978). "Optimal sequence of incremental precipitation." *J. Hydr. Div.*, 104(HY12), Dec. 1978, 1668-1671.
- Prakash, A. (1982). "Groundwater contamination due to vanishing and finite size continuous sources." *J. Hydr. Div.*, 108(4), 572-590.
- Prakash, A. (1983). "Deterministic and probabilistic perspectives of the PMF." *Proc. of the conf. on frontiers in hydraulic engineering*, ASCE/MIT, Cambridge, Mass., August 9-12, 1983, 535-540.
- Prakash, A. (1984). "Groundwater contamination due to transient sources of pollution." *J. Hydraul. Eng.*, 110(11), 1642-1658.
- Prakash, A. (1987). "Current state of hydrologic modeling and its limitations." *Road hydrology*, V.P. Singh, ed., Reidel, Dordrecht, The Netherlands, 1-16.
- Prakash, A. (1991). "Evaluation of rehabilitation alternatives for small hydropower plants." *Water Power* 91, 1884-1893.
- Prakash, A. (1992a). "Implications of design uncertainty in benefit-cost analysis." *Water Forum* 92, New York.
- Prakash, A. (1992b). "Design basis flood for rehabilitation of existing dams." *J. Hydraul. Eng.*, 118(2), 291-305.
- Prakash, A. (1995). "Analysis of hydraulic barriers for ground water in stream-aquifer systems." *Proc. of the int. symp. on groundwater management*, San Antonio, Tex., August 14-16, 1995, 337-342.
- Prakash, A. (1996). "Desorption of soil contaminants due to rainwater infiltration." *J. Hydraul. Eng.*, 122(9), 523-525.
- Prakash, A. (1997). "Estimating diffusivity of aquifers with sloping water tables." *Proc. of the 27th congress of the Int. Assoc. for Hydraulic Research*, San Francisco, Calif., August 10-15, 1997, 15-20.
- Prakash, A. (1999). "Risk-based analysis of remediation requirements." *Proc. of the int. water resources engineering conf.*, Seattle, Wash., August 8-12, 1999.
- Prakash, A. (2000a). "Analytical modeling of contaminant transport through vadose and saturated soil zones." *J. Hydraul. Eng.*, 126(10), 773-777.
- Prakash, A. (2000b). "Evaluation of bank protection methods." *Proc. of ASCE's joint conf. on water resources engineering and water resources planning and management*, Minneapolis, Minn., July 30-August 2, 2000.
- Prakash, A. (2002). "Environmental issues of construction and demolition of dams." *Proc. Of EWRI/ASCE conf on managing water resources extremes*, Water Resources Planning and Management Council, Roanoke, Va., May 19-22, 2002.
- Quimpo, R.G. (1968). "Stochastic analysis of daily river flows." *J. Hydr. Div.*, 94(HY1), Jan. 1968, 43-57.

- Rai, D., and J.M. Zachara (1984). "Chemical attenuation rates, coefficients, and constants in leachate migration." Battelle, Pacific Northwest Lab., Richland, Wash.
- Renard, K.G., G.R. Foster, G.A. Weesies, and J.P. Porter (1991). "RUSLE: Revised Universal Soil Loss Equation." *J. Soil Water Conservation*, 46(1), 30-33.
- Rouse, H. (1950). *Engineering hydraulics*, Wiley, New York, 1,039 pp.
- Seo, I.W., and T.S. Cheong (1995). "Predicting longitudinal dispersion coefficient in natural streams." *J. Hydraul Eng.*, 124(1), 25-31.
- Simons, D.B., and F. Senturk (1976, 1992). *Sediment transport technology*, Water Resources Publications, Fort Collins, Colo., 919 pp.
- Simons, D.B., R.M. Li, and W.T. Fullerton (1981). "Theoretically derived sediment transport equations for Pima County, Arizona." Prepared for Pima County DOT and Flood Control District, Ariz.
- Singh, B. (1967). *Fundamentals of irrigation engineering* Nem Chand & Bros., Roorkee, India, 532 pp.
- Soil Conservation Service (SCS) (1954). "Handbook of channel design for soil and water conservation." *SCS-TP-61*, Stillwater Outdoor Hydraulic Lab., Stillwater, Okla.
- Soil Conservation Service (SCS) (1978). *Water management and sediment control for urbanizing areas*, Columbus, Ohio.
- Sorensen, R.M. (1985). "Stepped spillway hydraulic model investigation." *J. Hydraul. Eng.*, 111(12), 1461-1472.
- Spurr, W.A., and C.P. Bonini (1973). *Statistical analysis for business decisions*, Richard D. Irwin, Inc., Homewood, 111., 724 pp.
- Streeter, V.L. (1971). *Fluid mechanics*, McGraw-Hill, New York, 751 pp.
- Sudicky, E.A., and R. Therien (1999). *Variably-saturated groundwater flow and transport in discretely fractured porous media, FRAC3DVS*, Waterloo Hydrogeologic, Inc., Waterloo, Ont., Canada.
- Sudicky, E.A. (1988). *Parallel crack model, CRAFLUSH*, Waterloo Center of Groundwater Research, Univ. of Waterloo, Waterloo, Ont., Canada.
- SURGE5 (1996). Civil Engineering Software Center, Univ. of Kentucky, Lexington, Ky.
- Swamee, P.K., and A.K. Jain (1976). "Explicit equations for pipe-flow problems." *J. Hydr. Div.*, 102(HY5), May 1976.
- Tchobanoglous, G., and F.L. Burton (1991). *Wastewater engineering, treatment, disposal, and reuse*, McGraw-Hill, New York, 1,334 pp.
- Texas Commission on Environmental Quality (TCEQ) (2002). *Guidelines for preparation of environmental, social, and economic impacts statements*, TCEQ Rules, Chapter 261, Austin, Tex. (www.tnrc.state.us/oprd/rules).
- Thompson, J.R. (1964). "Quantitative effect of watershed variables on the rate of gully head advancement." *Transactions, American Society of Agricultural Engineers*, 7(1), St. Joseph, Mich., 54-55.
- Todd, D.K. (1980). *Ground water hydrology*, Wiley, New York, 535 pp.

- Tschantz, BA., and R.M. Mojib (1981). "Application of and guidelines for using available dam break models." *Water Resources Research Center*, Univ. of Tennessee, Knoxville, Tenn., 84 pp.
- Tullis, J.P., N. Amanian, and D. Waldron (1995). "Design of labyrinth spillways." *J. Hydraul. Eng.*, 121(3), 247-255.
- U.S. Army Corps of Engineers (USACE) (1960). "Routing of floods through river channel." *EM-U10-2-1408*, Washington, D.C.
- U.S. Army Corps of Engineers (USACE) (1970, 1994). "Hydraulic design of flood control channels." *EM-1110-2-1601*, Washington, D.C.
- U.S. Army Corps of Engineers (USACE) (1971a). *Monthly stream flow simulation, HEG-4, user's manual*, Hydrologic Engineering Center, Davis, Calif.
- U.S. Army Corps of Engineers (USACE) (1971b). "Dewatering and groundwater control for deep excavations." *Technical Manual No. 5-818-5*, Washington, D.C.
- U.S. Army Corps of Engineers (USACE) (1974). *Dimensionless graphs of floods from ruptured dams*. Hydrologic Engineering Center, Davis, Calif., 60 pp.
- U.S. Army Corps of Engineers (USACE) (1977). "Guidelines for calculating and routing a dam-break flood." *Research Note No. 5*, Hydrologic Engineering Center, Davis, Calif.
- U.S. Army Corps of Engineers (USACE) (1978). *Water Quality for River-Reservoir Systems (WQRRS)*, Hydrologic Engineering Center, Davis, Calif., 288 pp.
- U.S. Army Corps of Engineers (USACE) (1979). "Feasibility studies for small scale hydropower additions." *DOE/RA-0048*, Hydrologic Engineering Center, Davis, Calif.
- U.S. Army Corps of Engineers (USACE) (1981). *Reservoir system analysis for conservation, HEG3*, Hydrologic Engineering Center, Davis, Calif.
- U.S. Army Corps of Engineers (USACE) (1982). *Simulation offload control and conservation systems, HEC-5*, Hydrologic Engineering Center, Davis, Calif.
- U.S. Army Corps of Engineers (USACE) (1984). *Shore protection manual, volumes I and II*, Coastal Engineering Research Center, Waterways Experiment Station, Vicksburg, Miss.
- U.S. Army Corps of Engineers (USACE) (1985). "Hydropower engineering manual." *EM-1110-2-1701*, Engineering Design, Washington, D.C.
- U.S. Army Corps of Engineers (USACE) (1986). *Stream flow Synthesis and Reservoir Regulation (SSAR)*. U.S. Army Engineer Div., North Pacific, Portland, Ore.
- U.S. Army Corps of Engineers (USACE) (1989). "Sedimentation investigation of rivers and reservoirs." *EM-1100-2-4000*, Engineering Design, Washington, D.C.
- U.S. Army Corps of Engineers (USACE) (1991a). *Hood hydrograph package, HEC-1, user's manual*, Hydrologic Engineering Center, Davis, Calif.
- U.S. Army Corps of Engineers (USACE) (1991b). *Simulation of flood control and conservation systems, HEC-5, user's manual*, Hydrologic Engineering Center, Davis, Calif.

- U.S. Army Corps of Engineers (USACE) (1991c). *Surface water profiles, HEC-2*, Hydrologic Engineering Center, Davis, Calif.
- U.S. Army Corps of Engineers (USACE) (1991d). *Scour and deposition in rivers and reservoirs, HEC-6*, Hydrologic Engineering Center, Davis, Calif.
- U.S. Army Corps of Engineers (USACE) (1992). *Interior Flood Hydrology package, HEC-IFH*, Hydrologic Engineering Center, Davis, Calif.
- U.S. Army Corps of Engineers (USACE) (1994). "Hydraulic design of flood control channels," *EM-1110-2-1601*, Washington, D.C.
- U.S. Army Corps of Engineers (USACE) (1995). *HEC Flood flow Frequency Analysis, HEC-FFA*, Hydrologic Engineering Center, Davis, Calif.
- U.S. Army Corps of Engineers (USACE) (1998). *River Analysis System HEC-HMS*, Hydrologic Engineering Center, Davis, Calif.
- U.S. Army Corps of Engineers (USACE) (1999). *Engineer regulations, civil works, environmental compliance assessments and environmental management program planning* (www.usace.army.mil/inet/usace-docs/eng-regs/), Washington, D.C.
- U.S. Army Corps of Engineers (USACE) (2002). *Hydrologic Modeling System, HEC-HMS*, Hydrologic Engineering Center, Davis, Calif.
- U.S. Army Engineer Research and Development Center (USAEEDC) (2003). *Effect of riprap on riverine and riparian ecosystems*, Vicksburg, Miss.
- U.S. Army Engineer Waterways Experiment Station (USAEWES) (1977). *Hydraulic design criteria*, Vicksburg, Miss.
- U.S. Army Engineer Waterways Experiment Station (USAEWES) (1983). *Techniques for reaeration of hydropower releases*, Technical Report E-83-5, Vicksburg, Miss.
- U.S. Bureau of Reclamation (USBR) (1966). "Effect of snow compaction on runoff from rain on snow." *Engineering Monograph No. 35*, Denver, Colo.
- U.S. Bureau of Reclamation (USBR) (1971). *A procedure to determine sediment deposition in a settling basin*. Denver, Colo., 8 pp.
- U.S. Bureau of Reclamation (USBR) (1977). *Design of small dams*, Denver, Colo., Second edition (revised reprint), 816 pp.
- U.S. Bureau of Reclamation (USBR) (1978). *Design of small canal structures*, Denver, Colo., 435 pp.
- U.S. Bureau of Reclamation (USBR) (1984). *Computing degradation and local scour*, Denver, Colo., 48 pp.
- U.S. Bureau of Reclamation (USBR) (1987). *Design of small dams*, Denver, Colo., Third edition, 860 pp.
- U.S. Dept. of Agriculture (USDA) (1959). "The SAF stilling basin." *Agriculture Handbook No. 156*, Agriculture Research Service, St. Anthony Falls Hydraulics Lab., Minneapolis, Minn., 16 pp.
- U.S. Dept. of Agriculture (USDA) (1966). "Procedures for determining rates of land damage, land depreciation, and volume of sediment produced by gully erosion." *Technical Release No. 32*, Geology, Soil Conservation Service.

- U.S. Dept. of Agriculture (USDA) (1969). "Summary of reservoir sediment deposition." *Misc. Pub. No. 1143*, Agricultural Research Service, 64 pp.
- U.S. Dept. of Agriculture (USDA) (1972, 1985). *National engineering handbook, section 4, hydrology*, Soil Conservation Service, Washington, D.C.
- U.S. Dept. of Agriculture (USDA) (1976). "A Water Surface Profile computer program for determining flood elevation and flood areas for certain flow rates, WSP2." *Technical Release No. 61*, Soil Conservation Service, Washington, D.C.
- U.S. Dept. of Agriculture (USDA) (1977). "Design of open channels." *Technical Release No. 25*, Oct. 1977, Soil Conservation Service, Washington, D.C.
- U.S. Dept. of Agriculture (USDA) (1981). "Simplified dam-breach routing procedure." *Technical Release No. 66*, Design Unit, Soil Conservation Service, Washington, D.C.
- U.S. Dept. of Agriculture (USDA) (1982). *Wind erosion equation, technical notes*. Resource Conservation Planning-VY-2. Soil Conservation Service, Casper, Wyo.
- U.S. Dept. of Agriculture (USDA) (1983a). "Computer program for project formulation hydrology." *Technical Release 20*, Soil Conservation Service, Washington, D.C.
- U.S. Dept. of Agriculture (USDA) (1983b). "Colorado wind erosion guide." *Agronomy Technical Note 53*, Soil Conservation Service, Denver, Colo.
- U.S. Dept. of Agriculture (USDA) (1986). "Urban hydrology for small watersheds." *Technical Release 55*, Soil Conservation Service, Washington D.C.
- U.S. Dept. of Commerce (USDOC) (1961). "Generalized estimates of probable maximum precipitation and rainfall frequency data for Puerto Rico and Virgin Islands." *Technical Paper No. 42*, Washington, D.C.
- U.S. Dept. of Commerce (USDOC) (1962). "Rainfall-frequency atlas of the Hawaiian Islands." *Weather Bureau Technical Paper No. 43*, Washington, D.C.
- U.S. Dept. of Commerce (USDOC) (1965). "Probable maximum and 1V A precipitation over the Tennessee River Basin above Chattanooga." *Hydro meteorological Report No. 41*, Washington, D.C.
- U.S. Dept. of Commerce (USDOC) (1969). "Interim report, probable maximum precipitation in California." *Hydro meteorological Report No. 36*, Washington, D.C.
- U.S. Dept. of Commerce (USDOC) (1977). "Probable maximum precipitation estimates, Colorado River and Great Basin drainages." *Hydro meteorological Report No. 49*, Silver Spring, Md.
- U.S. Dept. of Commerce (USDOC) (1978). "Probable maximum precipitation estimates, United States east of the 105th Meridian." *Hydro meteorological Report No. 51*, Washington, D.C.
- U.S. Dept. of Commerce (USDOC) (1982). "Application of probable maximum precipitation estimates, United States east of the 105th Meridian." *Hydro meteorological Report No. 52*, Silver Spring, Md.

- U.S. Dept. of Commerce (USDOC) (1983). "Probable maximum precipitation and snowmelt criteria for southeast Alaska." *Hydro meteorological Report No. 54*, Silver Spring, Md.
- U.S. Dept. of Commerce (USDOC) (1988). "Probable maximum precipitation estimates, United States between the Continental Divide and the 103rd Meridian." *Hydro meteorological Report No. 55A*, Silver Spring, Md.
- U.S. Dept. of Commerce (USDOC) (1994). "Probable maximum precipitation, Pacific Northwest states." *Hydro meteorological Report No. 57*, Silver Spring, Md.
- U.S. Environmental Protection Agency (USEPA) Region VIII and U.S. Dept. of Agriculture (USDA) (1977). "Preliminary guidance for estimating erosion on areas disturbed by surface mining activities in the interior Western United States, interim final report," *EPA-908/4-77-005*.
- U.S. Environmental Protection Agency (USEPA) (1980). "An approach to water resources evaluation of nonpoint silvicultural sources." *EPA-600/8-80-fJ12*, Environmental Research Lab., Athens, Ga.
- U.S. Environmental Protection Agency (USEPA) (1985). "Water quality assessment. a screening procedure for toxic and conventional pollutants in surface and ground water" Part I, *EPA/600/6-85/002a*, and Part II, *EPA/600/6-85/002b*, Environmental Research Lab., Athens, Ga.
- U.S. Environmental Protection Agency (USEPA) (1987a). "The Enhanced Stream Water Quality Models, QUAL2E and QUAL2E UNCAS." *EPA/600/3-87/007*, Environmental Research Lab., Athens, Ga.
- U.S. Environmental Protection Agency (USEPA) (1987b). "Diffusion in near-shore and riverine environments." *EPA 91019-87-168*, Region 10.
- U.S. Environmental Protection Agency (USEPA) (1988a). "Superfund exposure assessment manual." *EPA/540/1-88/001*.
- U.S. Environmental Protection Agency (USEPA) (1988b). "A hydrodynamic and water quality model, WASP4." *EPA/600/3-86/034*, Environmental Research Lab., Athens, Ga.
- U.S. Environmental Protection Agency (USEPA) (1989a). *Storm Water Management Model, SWMM*. Environmental Protection Technology Series, Washington, D.C.
- U.S. Environmental Protection Agency (USEPA) (1989b). "Guidelines for conducting remedial investigations and feasibility studies under CERCLA." *EPA/540/G-89/004*, Office of Emergency and Remedial Response, Washington, D.C.
- U.S. Environmental Protection Agency (USEPA) (1989c). *Statistical analysis of groundwater monitoring data at RCRA facilities, interim final guidance*, Office of Solid Waste, Waste Management Div., Washington, D.C.
- U.S. Environmental Protection Agency (USEPA) (1991a). *Hydrologic Simulation Program-Fortran (HSPF)*, Environmental Research Lab., Office of Research and Development, Athens, Ga.

- U.S. Environmental Protection Agency (USEPA) (1991 b). *Guidance for water quality-based decisions: The TMDL process*, Office of Water, Washington, D.C.
- U.S. Environmental Protection Agency (USEPA) (1991c). "Technical support document for water quality-based toxics control." *EPA/505/2-90-001, PB 91-127415*, Office of Water, Washington, D.C.
- U.S. Environmental Protection Agency (USEPA) (1991d). *Guidance manual for the preparation of NPDES permit applications for storm water discharges associated with industrial activity*, Office of Water Enforcement and Permits, Washington, D.C.
- U.S. Environmental Protection Agency (USEPA) (1992). *A Modular Three-Dimensional Transport Model (MT3D) for simulation of advection, dispersion, and chemical reactions of contaminants in groundwater systems*, National Risk Management Research Lab., Ada, Okla.
- U.S. Environmental Protection Agency (USEPA) (1993). *Well Head Protection Area (WHPA) delineation code*, National Risk Management Research Lab., Ada, Okla.
- U.S. Environmental Protection Agency (USEPA) (1994). *Dilution ITWdels for effluent discharges, PLUMES*, Center for Exposure Assessment Modeling (CEAM), National Exposure Research Lab., Athens, Ga.
- U.S. Environmental Protection Agency (USEPA) (1995). *The Hydrologic Evaluation of Landfill Performance (HELP) model*, Risk Reduction Engineering Lab., Office of Research and Development, Cincinnati, Ohio.
- U.S. Environmental Protection Agency (USEPA) (1996a). *A hydrodynamic mixing zone model and decision support system for pollutant discharges into surface waters, CORMIX*, Center for Exposure Assessment Modeling (CEAM), National Exposure Research Lab., Athens, Ga.
- U.S. Environmental Protection Agency (USEPA) (1996b). *Multimedia Exposure Assessment Model (MULTIMED) for evaluating the land disposal of wastes*, Environmental Research Lab., Athens, Ga.
- U.S. Environmental Protection Agency (USEPA) (1996c). "Soil screening guidance, user's guide." *Publication 9355.4-23*, Office of Solid Waste and Emergency Response, Washington, D.C.
- U.S. Environmental Protection Agency (USEPA) (1997). *BIOSCREEN*, National Risk Management Research Lab., Ada, Okla.
- U.S. Environmental Protection Agency (USEPA) (2000). "Drinking water standards and health advisories." *EPA822-B-00-001*, Office of Water, Washington, D.C.
- U.S. Geological Survey (USGS) (1983). "Precipitation-Runoff Modeling System (PRMS): User's manual," *Water & sources Investigations Report 83-4238*, Denver, Colo.
- U.S. Geological Survey (USGS) (1994). "Nationwide summary of U.S. Geological Survey regional regression equations for estimating magnitude and frequency of floods for ungaged sites." 1993 *Water & sources Investigations Report 94-4002*, Reston, Va., 196 pp.

- U.S. Geological Survey (USGS) (2000a). "Estimation of peak stream flows for unregulated rural streams in Kansas." *Water & sources Investigations & report 00-4079*, Lawrence, Kan., 33 pp.
- U.S. Geological Survey (USGS) (2000b). *A modular three-dimensional finite difference ground-water flow model: MODFLOW*, Reston, Va.
- U.S. Nuclear Regulatory Commission (USNRC) (1976). "Estimating aquatic dispersion of effluents from accidental and routine reactor releases for the purpose of implementing Appendix I." *Regulatory Guide 1.113*, Washington, D.C.
- U.S. Nuclear Regulatory Commission (USNRC) (1977). "Design basis floods for nuclear power plants." *Regulatory Guide 1.59*, Rev. 2, August 1977.
- U.S. Nuclear Regulatory Commission (USNRC) (1982). "Literature review of models for estimating soil erosion and deposition from wind stresses on uranium mill tailings covers." *NUREG/CR-2768*, PNL-4302.
- U.S. Water Resources Council (USWRC) (1981). "Guidelines for determining flood flow frequency." *Bulletin #17B*, Washington, D.C.
- Valliappan, S., and N. K. Naghadeh (1991). "Flow through fractured media." *Computer methods and advances in geomechanics*, Beer, Becker and Carter, eds., Balkema, Rotterdam, The Netherlands.
- Vanoni, V.A. (1977). "Sedimentation engineering." *ASCE Manuals and Reports on Engineering Practice No. 54*, New York.
- Vetter, C.P. (1940). "Technical aspects of the silt problem on the Colorado River." *Civil Engineering*, 10, Nov. 1940, pp. 698-701.
- Watters, G.Z. (1984). *Analysis and control of unsteady flow in pipelines*, 2d Ed., Butterworth, Stoneham, Mass., 349 pp.
- Weast, R.C., ed. (1987). *CRC handbook of chemistry and physics*. 68th Ed., CRC, Boca Raton, Fla. -
- Wenzel, L.K. (1942), "Methods of determining permeability of water bearing materials, with special reference to discharging well methods." *U.S. Geological Survey Water Supply Paper 887*, Washington, D.C.
- West Consultants, Inc. (1996). *Riprap design system*, Carlsbad, Calif., 72 pp.
- Williams, J.R. (1975). "Sediment yield prediction with universal equation using runoff energy factor." *USDA-ARS, S-40*, U.S Dept. of Agriculture, Washington, D.C., 244-252.
- Wilson, B.N., B.J. Barfield, and L.D. Moore (1984). *A hydrology and sedimentology watershed model, SEDIMOT II*, Dept. of Agricultural Engineering, Univ. of Kentucky, Lexington, Ky.
- Wood, I.R., and T. Liang (1989). "Dispersion in an open channel 'With a step in the cross section," *J Hydraulic Research*, 27(5).
- World Bank (WB) (1996). *Monitoring and evaluation guidelines for World Bank-GEF into waters projects*, Washington, D.C.
- World Bank (WB) (1998). *Environmental assessment source book*, Vols. I, II, III, Washington, D.C.

- World Meteorological Organization (WMO) (1986). "Manual for estimation of probable maximum precipitation." *operational Hydrology Report Number 1, VVMO Number 332*, Geneva, Switzerland, 269 pp.
- Yevjevich, V. (1972a, 1997). *Probability and statistics in hydrology*, Water Resources Publications, Fort Collins, Colo., 302 pp.
- Yevjevich, V. (1972b, 1982). *Stochastic processes in hydrology*, Water Resources Publications, Fort Collins, Colo., 276 pp.
- Young, M.F. (1982). "Feasibility study of a stepped spillway." *Proc. of the Hydr. Div. specialty conf*, Jackson, Miss., August 1982.
- Zheng, C. (1990). *A modular three-dimensional transport model for simulation of advection, dispersion, and chemical reactions of contaminants in groundwater systems*, U.S. Environmental Protection Agency, Ada, Okla.
- Zheng, C., and G.D. Bennett (2002). *Applied contaminant transport modeling*, 2d Ed., Wiley-Inter Science New York, 621 pp.
- Zipparro, Vj., and H. Hansen, eds. (1993). *Davis' handbook of applied hydraulics*, McGraw-Hill, New York.

obeikandi.com

قائمة الاختصارات

List of abbreviations

7Q10	متوسط التدفق المنخفض في سبعة أيام خلال عشر سنوات
ARMZ	مناطق الخلط التنظيمي الحاد
ASCE	جمعية المهندسين المدنيين الأمريكية
BOD	مطلب الأكسجين الكيميائي الحيوي
C	معامل شيزي
CCC	التركيز المستمر للمعايير
C_d	معامل التصرف
C_H	معامل هازن- ويليام
CMC	التركيز الأقصى للمعايير
CN	رقم المنحنى
CRMZ	مناطق الخلط التنظيمي المزمّن
d_{90}	قطر الحبيبات التي تشكل ٩٠٪ من المادة
DAD	عمق-مساحة-مدة المطر
DNAPL	سوائل الطور غير المائي الثقيلة

DO	الأكسجين المذاب
D _y	معامل التشتت العرضي
D _z	معامل التشتت الرأسي
e	نسبة الفراغات
EA	التقييم البيئي
EIR	تقرير الأثر البيئي
EIS	بيان الأثر البيئي
EISs	إعدادات بيان الأثر البيئي
EPA	وكالة حماية البيئة
EPIs	مؤشرات الأداء البيئي
F	رقم فرود
f	معامل الاحتكاك لدارسي-ويسباك
FPS	النظام الإنجليزي للوحدات
FS	دراسات الجدوى
G	معامل الالتواء
GEF	هيئة البيئة العالمية
HEC-HMS	نظام التشكيل الهيدرولوجي
HSPF	برنامج المحاكاة الهيدرولوجي فورترن
IDF	شدة-مدة-تكرار المطر
K	معامل الالتفاف
k	النفذية أو النفذية الذاتية

K	معامل التوصيل الهيدروليكي
K _a	معامل إعادة التهوية
K _B	ثابت قانون هنري
K _{oc}	معامل الكربون العضوي
L _{mix}	طول الخلط
LNAPL	سوائل الطور غير المائي الخفيفة
M&E	المراقبة والتقييم
MCL	أقصى مستويات تلوث
MUSLE	المعادلة العالمية المعدلة لفقد في التربة
n	معامل ماننق
NAPLs	سوائل الطور غير المائي
NEPA	بيان السياسة البيئية القومي
non-VOCs	مركبات عضوية قابلة للذوبان غير طيارة
NPDES	تصاريح النظام القومي لإزالة تصريف المواد الملوثة
NRCS	هيئة المحافظة على الموارد الطبيعية
P	الاحتمالية
PCE	إيثيلين الكلور الرباعي
pH	مستوى أيون الهيدروجين
PMF	أقصى فيضان محتمل
PMP	أقصى تساقط محتمل
PRMS	نظام تشكيل التساقط-الجريان السطحي

Q	التصرف
Q	تصرف البئر المخترق كلياً
Q _p	تصرف البئر المخترق جزئياً
R _o	رقم رينولد
RI	التحري العلاجي
RNA	المعالجة عن طريق الإضعاف الطبيعي
R _o	رقم ريتشاردسون
S	الانحراف القياسي
S	معامل التخزين
SCS	خدمة المحافظة على التربة
SDR	نسبة تسليم الرواسب
SEIs	مؤشرات أداء الاقتصاديات الاجتماعية
SF	معامل الأمان
SI	النظام العالمي للوحدات
S _p	السعة النوعية للبئر
S _r	درجة التشيع
S _s	التخزين النوعي
SSARR	نموذج بناء تدفق المجرى المائي وتنظيم الخزان
STORET	نظام التخزين والاستدعاء
SVOC	الملوثات شبه المتطايرة
SVOCs	مركبات عضوية شبه طيارة

S_w	الهبوط في سطح الماء بالبئر
SWMM	نموذج إدارة مياه العاصفة
S_{wp}	الهبوط في سطح الماء بالبئر بسبب الاختراق الجزئي
T	قابلية النقل
t_c	الزمن الحرج
TCE	إيثيلين الكلور الثلاثي
TEL	الطاقة الكلية
TMDL	أقصى أحمال يومية كلية
TMDLs	تحدد أقصى أحمال يومية كلية
USACE	هيئة مهندسي جيش الولايات المتحدة
USGS	هيئة المسح الجيولوجي الأمريكية
USLE	المعادلة العالمية لفقد التربة
V	الحجم الكلي للتربة
V	سرعة السريان
V_g	الحجم المشغول بالغاز أو الهواء بالتربة
VOC	الملوثات المتطايرة
VOCs	مركبات عضوية قابلة للذوبان طيارة
V_s	حجم حبيبات التربة
V_v	حجم الفراغات بالتربة
W(u)	دالة البئر
WB	البنك الدولي

W_d	وزن الحجر الذي قطره d مم
\bar{X}	المتوسط
ξ	العمق اللابعدي
λ	معامل التحلل
γ_s	وحدة الوزن لحبيبات التربة
γ_d	وحدة الوزن الظاهرية الجافة للتربة
γ_m	وحدة الوزن الرطبة للتربة
ϕ	المسامية الكلية
ω	المحتوى المائي
ϕ_w	المحتوى المائي الحجمي
δ	الانخساف
λ	معامل التحلل
τ_{max}	أقصى إجهاد قص

ثبت المصطلحات

أولاً: عربي - إنجليزي

١

wells	الآبار
production wells	آبار الإنتاج
monitoring wells	آبار المراقبة
observation wells	آبار الملاحظة
boating and canoeing	الإبحار في الزوارق والقوارب
Hydraulic structures	الأبنية الهيدروليكية
expansion	الانتساع
environmental impact	الأثر البيئي
socioeconomic	اجتماعية اقتصادية
shear stress	إجهاد القص
energy dissipation devices	أجهزة تشتيت الطاقة

incremental probability	احتمال الزيادة
probability	الاحتمالية
riprap sizes	أحجام أحجار الدكة
Snow Loads	أحمال الجليد
Suspended loads	الأحمال المعلقة
Detention basins	أحواض الاحتجاز
sedimentation basin	أحواض الترسيب
Stilling Basins	أحواض الترسيب
Aquatic biota	الأحياء المائية
pumping test	اختبار الضخ
Slug Tests	اختبارات الكتلة
errors of prediction	أخطاء التنبؤ
management	الإدارة
Low flow	أدنى تدفق (التدفق المنخفض)
minimum permissible velocity	أدنى سرعة مسموح بها
wave height	ارتفاع الموجة
Removal	الإزالة
Decontamination	إزالة التلوث
Lag times	أزمنة الإعاقة أو التخلف
Concentration times	أزمنة التركيز
Sustainability and Enhancement	استدامة وتحسين

Slope Stability	استقرار الميل
Paved surfaces	الأسطح الممهدة
unpaved surfaces	الأسطح غير الممهدة
Land acquisition	إصلاح الأراضي
longest watercourse	أطول مسار للماء
Recharge by Precipitation	إعادة الملء (التغذية) نتيجة تساقط المطر
Induced Recharge	إعادة الملء المستحث
Report preparation	إعداد التقارير
Channelization	إقامة القنوات
maximum shear stress	أقصى إجهاد قص
potential maximum retention	أقصى احتباس محتمل
total maximum daily loads	أقصى أحمال يومية كلية
Peak flow	أقصى تدفق
probable maximum precipitation	أقصى تساقط محتمل
maximum permissible velocity	أقصى سرعة مسموح بها
probable maximum flood	أقصى فيضان محتمل
maximum contaminant levels	أقصى مستويات تلوث
dissolved oxygen	الأكسجين المذاب
oxidation/reduction	الأكسدة/الاختزال
Historic Places	الاماكن التاريخية
adsorption/ desorption	الامتزاز/ المبع

Annual precipitation	الأمطار السنوية
vent pipe	أنبوب التنفيث
Draft Tube	أنبوب السحب
Safe Yield	الإنتاجية الآمنة
specific yield	الإنتاجية النوعية
Gaseous diffusion	الانتشار الغازي
Gas phase transport	انتقال الطور الغازي
Contaminant Transport	انتقال الملوثات
Channel Transitions	انتقالات القناة
Soil Erosion on Slopes	انجراف التربة على المنحدرات
Wind Erosion	الانجراف بسبب الرياح
Erosion in the watershed	الانجراف في مجرى السريان
Steep Slopes	الانحدارات الشديدة
Standard deviation	الانحراف القياسي
Subsidence	الانخساف
Dry bulk	الانضغاطية
unique ecosystems	الأنظمة البيئية الفريدة
crest submergence	انغمار المصطبة
nose groin	أنف الحنية
endangered species	الأنواع المهددة بالانقراض
environmental significance	الأهمية البيئية



test well

بئر اختبار

Partially Penetrating Well

البئر المخترق جزئياً

Lakes

بحيرات

Evaporation

البخر

Evapotranspiration

البخر نتح

Project Alternatives

بدائل المشروع

culverts

البرابنج

Software

برامجيات

Pools

البرك

intake structure

بناء المدخل

World Bank

البنك الدولي

gates

البوابات

Act

بيان

environmental impact statement

بيان الأثر البيئي

National Environmental Policy Act

بيان السياسة البيئية القومي



advection

التأفق

longitudinal advection

التأفق الطولي

flood insurance

تأمين الفيضان

Drain Spacing

تباعد المصارف

vadose	التجاويف أو الفراغات
Aesthetics	التجدد
Remedial Investigation	التحري العلاجي
bridge modification	تحسين الكوبري
Control	التحكم
Flood Control	التحكم في الفيضان
decay	التحلل
biodegradation	التحلل الحيوي
anaerobic biodegradation	التحلل الحيوي اللاهوائي
aerobic biodegradation	التحلل الحيوي الهوائي
statistical analysis	التحليل الإحصائي
Benefit-Cost Analysis	تحليل الأرباح-التكاليف
Regression Analysis	تحليل الارتداد
risk analysis	تحليل المخاطر
Scoping analysis	تحليل النطاق
Hydrologic analysis	التحليل الهيدرولوجي
Hydraulic analysis	التحليل الهيدروليكي
Sediment Transport Analysis	تحليل انتقال الرواسب
Sediment Yield Analysis	تحليل حصىلة الترسبات
Flow Duration Analysis	تحليل مدة التدفق
Mass Curve Analysis	تحليل منحنى الكتلة

Economic analysis	التحليلات الاقتصادية
diversion of flow	تحويل السريان
Routing	التخديد
Conservation Storage	تخزين الإبقاء
Freeboard or Surplus Storage	تخزين الجزء الظاهر أو الفائض
Dead Storage	التخزين الميت
specific storage	التخزين النوعي
Flood Control Storage	تخزين ضبط الفيضان
Inactive Storage	التخزين غير الفعال
Planning and design	تخطيط وتصميم
Waste Disposal	التخلص من النفايات
Seawater InhvSION	تداخل مياه البحر
volumetric flow	التدفق الحجمي
baseflow	تدفق القاعدة
Skimming Flow	تدفق الكشافة
cumulative flows	التدفق المتراكم
streamflow	تدفق المجرى المائي
Nappe Flow	التدفق المغترب
Flow toward Drains	التدفق في اتجاه المصارف
Intermittent flow	تدفق متقطع
constant flow	تدفق مستقر

Peak Flows	تدفقات القمة
Groundwater Mound	تراكم المياه الجوفية
frequency	التردد
Reservoir Sedimentation	ترسبات الخزان
sediment deposition	الترسبات المترسبة
Recreation	الترفيه
Criteria Maximum Concentration	التركيز الأقصى للمعايير
Criteria Continuous Concentration	التركيز المستمر للمعايير
dissolved concentration of metals	تركيز المعادن الذائبة
Infiltration	التسرب
Infiltration through Fractures	التسرب خلال التشققات
Infiltration through Soil-Filled Joints	التسرب خلال الفراغات المملوءة بالتربة
Infiltration into Rock Tunnels	التسرب في الأنفاق الصخرية
supersaturation	التشبع المفرط
Far-Field Dispersion	تشتت الحقل البعيد
transverse dispersion	التشتت العرضي
Open-Channel Dispersion	تشتت القناة المفتوحة
turbulent diffusion	التشتت المضطرب
molecular diffusion	التشتت والانتشار الجزيئي
mechanical dispersion	التشتت والانتشار الميكانيكي
Operation and maintenance	التشغيل والصيانة

Hydraulic designs	التصاميم الهيدروليكية
Dam-break	تصدع السد
design discharge	التصرف التصميمي
discharge pollutant	تصريف المواد الملوثة
Design of Filters	تصميم المرشحات
Classifications hazard	تصنيفات المخاطر
bioscreen	التصوير الحيوي
Well Purging	تطهير البئر
Well Development	تطوير البئر
turbidity	التعكر
indemnification/insurance	التعويض / التأمين
alterations in the hydrologic regime	التغيرات في النظام الهيدرولوجي
biodegradation	التفسخ الحيوي
channel junctions	تقاطعات القناة
self esteem	التقدير الذاتي
environmental impact report	تقرير الأثر البيئي
Barometric Pressure Fluctuations	تقلبات الضغط الجوي
water level fluctuations	تقلبات مستوى المياه
Remediation Technologies	تقنيات المعالجة
Interim evaluation	التقييم الانتقالي
environmental assessment	التقييم البيئي

Impact evaluation	تقييم التأثير
Periodic evaluation	التقييم الدوري
Evaluation matrix	تقييم المصفوفة
Terminal evaluation	التقييم النهائي
annual costs	التكاليف السنوية
maintenance cost	تكاليف الصيانة
Incremental cost	التكاليف المتزايدة
present-day capital cost	تكلفة رأس المال اليومية الحالية
capital cost	تكلفه رأس المال
cavitation	التكهف
Substrate composition	تكوين الطبقات السفلية
soil contamination	تلوث التربة
toxic contamination	التلوث السام
stream pollution	تلوث المجرى المائي
water contamination	تلوث المياه
hydrolysis/substitution	التميؤ/ الإحلال
bioventing	التنفس الحيوي
Documentation	توثيق
Hydraulic Conductivity	التوصيل الهيدروليكي



Schedule	الجدولة
economic feasibility	الجدوى الاقتصادية
Pneumatic dredging	الجرافات الهوائية
Runoff	الجريان السطحي
bridges	الجسور
boulders	الجلاميد
Snowfall	الجليد
Snowmelt	الجليد الذائب
compacted snow	الجليد الملبّد
Data collection	جمع البيانات
hydropower generation potential	جهد توليد القدرة المائية
freeboard	الحافة الحرة
Grain size	حجم الحبيبات
Riprap Sizing	حجم الدكة الحجرية
volume of sediment	حجم الرواسب
Substrate size	حجم الطبقات السفلية
rockfill	الحشوة الصخرية
coarse gravel	الحصى الخشن
sediment yield	حصيلة الترسبات
Damage protection	حماية الضرر

protect populated areas

حماية المناطق الأهلة

Erosion protection

الحماية من الانجراف

solid groins

حنيات صلبة غير منفذة

permeable groins

حنيات منفذة

Groins

الحنية

attracting groin

الحنية الجاذبة

repelling groin

الحنية الطاردة

Straight groin

الحنية المستقيمة

levees proposed

حواجز الفيضان المقترحة

wildlife

الحياة البرية



Soil Conservation Service

خدمة المحافظة على التربة

Topographic maps

الخرائط التضاريسية

SurgeTank

خزان النبض

Reservoirs

الخزانات

expected damage

الخسائر المتوقعة

pipe wall roughness

خشونة جدار الأنبوب

soil characteristics

خصائص التربة

dispersion characteristics

خصائص التشتت

chemical characteristics

الخصائص الكيميائية

Hydrologic characteristics

الخصائص الهيدرولوجية

Subwatershed

الخط الفرعي لتقسيم المياه

Proposed plan

الخطة المقترحة

guidelines

الخطوط الإرشادية

biological mixing

الخلط الحيوي

complete mixing

الخلط الكامل

behind a dam

خلف السد

well function

دالة البئر

Rock Riprap

الدبش الصخري

Feasibility Studies

دراسات الجدوى

Degree of saturation

درجة التشبع

Annualized

دفعه سنوية

riprap

الدكة الحجرية

Concrete Bulkheads

الرؤوس الخرسانية

Diffusers

الراذافات

seepage

الرشح أو التسريب

Curve Number

رقم المنحنى

Richardson number

رقم ريتشاردسون

Reynolds number

رقم رينولد

Froude number

رقم فرود

fine sediments

الرواسب الناعمة

ز

angle of convergence

زاوية نقطة الالتقاء

travel time

زمن الانتقال

time of concentration

زمن التركيز

critical time

الزمن الحرج

time basin lag

زمن تأخر حوض النهر

س

Swimming

السباحة

Seal

سدادة الإحكام

Dams & Levees

السدود

Seepage velocity

سرعة الترشح

critical velocity

السرعة الحرجة

flow velocity

سرعة السريان

shear velocity

سرعة القص

water velocity

سرعة المياه

Nonsilting, Nonscouring Velocity

سرعة لا ترسيب ولا نفايات

velocity of pressure wave

سرعة موجة الضغط

One-Dimensional Flow

السريان أحادي البعد

turbulent flow

السريان الاضطرابي

transitional flow

السريان الانتقالي

Free Surfac Flow	السيان الحر
critical flows	السيان الحرج
Darcian Flow	السيان الدارسي
Laminar Flows	السيان الطبقي
sheet flow	السيان الطبقي
Steady Flow	السيان المستقر
Steady-State Radial Flow	السيان المستقر نصف القطري
Pressure Flow	السيان المضغوط
uniform flow	السيان المنتظم
Subcritical Flows	السيان تحت الحرج
Flow Through Bends	السيان خلال المنعطفات
Non-Darcian Flow	السيان غير الدارسي
unsteady flows	السيان غير المستقر
unsteady groundwater flow	سيان غير المستقر للمياه الجوفية
Nonuniform Flow	السيان غير المنتظم
Supercritical Flows	السيان فوق الحرج
Pipe Flow	السيان في الأنابيب
Radial Flow	السيان نصف القطري
Free surface	السطح الحر
assimilative	سعة الاستيعاب
reservoir capacity	سعة الخزان

specific capacity of the well

السعة النوعية للبر

Future price

السعر المستقبلي

rainfall-depth-duration-frequency

سقوط المطر - العمق - المدة - التكرار

saturated thickness

السماك المشبع

unsaturated thickness

السماك غير المشبع

nonaqueous phase liquids

سوائل الطور غير المائي

Dense nonaqueous phase liquids

سوائل الطور غير المائي الثقيلة

light nonaqueous phase liquids

سوائل الطور غير المائي الخفيفة



precipitation intensity

شدة التساقط

rainfall intensity

شدة سقوط المطر

Rainfall intensity-duration-frequency

شدة سقوط المطر - المدة - التكرار

breach in a dam

شرح في سد

Fabriform

الشكل الليفي المركب

Water Surface Profiles

شكل سطح الماء

Cascades

الشلالات

Shore

الشواطئ



Fractured Rock

الصخر المتصدع

acid mine drainage

صرف منجم حمضي

hardness

الصلادة

Paved and impervious

صماء وغير منفذة

valves

الصمامات

Flood Proofing

الصمود أمام الفيضان



velocity head

ضاغط السرعة

vapor pressure

ضغط البخار

contraction

الضيق



total energy

الطاقة الكلية

Hydropower

الطاقة المائية

specific energy

الطاقة النوعية

Confining Unit

الطبقة المقيدة

Artesian Aquifer

طبقة المياه الجوفية الارتوازية

Leaky Phreatic Aquifer

طبقة المياه الجوفية الحرة المتسربة

Confined Aquifer

طبقة المياه الجوفية المحصورة

Leaky Confined Aquifer

طبقة المياه الجوفية المحصورة المتسربة

Perched Aquifer

طبقة المياه الجوفية المعلقة

Semi-Confined Aquifer

طبقة المياه الجوفية شبه محصورة

unconfined aquifer

طبقة المياه الجوفية غير محصورة

Statistical Methods

الطرق الإحصائية

Stochastic Methods

طرق التسلسل العشوائي

Deterministic Methods

الطرق الحتمية

Water Hammer

الطرق المائي

Cutoffs

الطرق المختصرة (الاقتطاع)

Remediation Methods

طرق المعالجة

Kinematic Wave Method

طريقة الموجة الكينيماتيكية

cumulative demand

الطلب المتراكم

length of fractures

طول التصدعات (الشروخ)

length of tunnel

طول النفق

hydraulic length

الطول الهيدروليكي

length of well screen

طول مصفاة البئر

principal storm

العاصفة الرئيسة

nutrients, bed instability

عدم استقرار القاع

top width

العرض العلوي

bottom width

عرض القاع

top width of a gully

عرض قمة الأخدود

Ecological

علم البيئة

lifetime of the project

عمر المشروع

precipitation depth

عمق التساقط

critical depth

العمق الحرج

dimensionless depth

العمق اللابعدي

water depth	عمق الماء
Precipitation depth	عمق المطر
hydraulic depth	العمق الهيدروليكي
biological and chemical processes	العمليات البيولوجية والكيميائية
Hydrologic Processes	العمليات الهيدرولوجية
Failure consequences	عواقب الفشل
Evaluation factors	عوامل التقييم
tangible factors	العوامل الملموسة
intangible factors	العوامل غير الملموسة
forests	الغابات
soil flushing	غسل التربة
vegetation	الغطاء النباتي
Well Casing	غلاف البئر
losses due to expansion	الفاقد أثناء الاتساع
losses due to contraction	الفاقد أثناء الضيق
friction loss	فاقد الاحتكاك
nozzles	الفتحات
time duration	الفترة الزمنية
wave period	فترة الموجة

Return periods	فترة العودة
annual benefits	الفوائد السنوية
Incremental benefit	الفوائد المتزايدة
Soil losses	فواقد التربة
minor losses	الفواقد الثانوية
physical	فيزيائية
Flood	فيضان

ج

transmissibility	قابلية النقل
Impermeable Base	قاعدة غير منفذة
Hydroelectric Power	القدرة الكهرومائية
hydraulic jump	القفزة الهيدروليكية
Siphon spillway	قناة التصريف السيفونية
Stepped spillways	قناة التصريف المتدرجة
Ogee (Overflow) Spillway	قناة التصريف المستدقة الرأس (الفيضان)
Straight Drop Spillway	قناة السقوط المباشر
Conduit or Tunnel Spillways	قناة تصريف الأنابيب أو الأنفاق
Fuse-Plug Spillway	قناة تصريف القابس المنصهر
Side Channel Spillway	قناة تصريف القناة الجانبية
Morning Glary or Glary Hole Spillway	قناة تصريف مجد الصباح أو حفرة المجد

Free Overfall Spillway	قناة تصريف مسقط مياه السد الحر
rough channels	القنوات الخشنة
Erodible Channels	القنوات القابلة للانجراف
Earth-Cut Spillway	القنوات المقتطعة من الأرض
Open Channels	القنوات المكشوفة
smooth channels	القنوات الناعمة
Chute or Trough Spillways	قنوات تصريف الحوض أو الشلال
Labyrinth Spillways	قنوات تصريف المتاهة
Nonerodible Channels	القنوات غير القابلة للانجراف
Articulated Concrete Blocks	قوالب الخرسانة المفصلية
Soil Texture	قوام التربة
gravitational forces	قوة الجاذبية
inertial forces	قوة القصور الذاتي
	
dry density	الكثافة الجافة
bulk density	الكثافة الظاهرية
rubble stone	كسارة الحجر
well efficiency	كفاءة البئر
trap efficiency	كفاءة الحجز
sediment load	كمية الترسبات
suspended sediment load	كمية الترسيب المعلق

Quantity and quality

الكمية والجودة

Apron

منزر (غطاء)

Response indicators

مؤشرات الاستجابة

Socioeconomic indicators

مؤشرات الاقتصاد الاجتماعي

State indicators

مؤشرات الحالة

Pressure indicators

مؤشرات الضغط

still water

الماء الراكد

freshwater

الماء العذب

saltwater

الماء المالح

Requirements

متطلبات

Hydraulic parameters of channels

المتغيرات الهيدروليكية للقنوات

7-day Average 10-yr Low Flow

متوسط التدفق المنخفض لسبعة أيام في

عشر سنوات

Waterways

المجري المائية

Filter Pack

مجموعة المرشحات

Simulations

المحاكاة

Dissolved Oxygen Content

محتوى الأكسجين المذاب

organic carbon content

محتوى الكربون العضوي

Water content

المحتوى المائي

Limited water	محدودية المياه
Power Plant	محطة القدرة
wetted perimeter	المحيط المبتل
Intakes	المداخل
hydroelectric facilities	مرافق الطاقة الكهربائية
Terrestrial monitoring	المراقبة الأرضية
environmental Monitoring	المراقبة البيئية
Aquatic monitoring	المراقبة المائية
monitoring and evaluation	المراقبة والتقييم
volatile soluble organic compounds	المركبات العضوية القابلة للذوبان الطيارة
nonvolatile soluble organic compounds	المركبات العضوية القابلة للذوبان غير الطيارة
semi-volatile organic chemicals	مركبات عضوية شبه طيارة
soluble inorganic compounds	المركبات غير العضوية القابلة للذوبان
Water Table	مستوى المياه الجوفية
drainage area	مساحة منطقة الصرف
Porosity	المسامية
total porosity	المسامية الكلية
Preliminary surveys	المسح التمهيدي
Field surveying	مسح الحقل

topographic surveys

المسح الطبوغرافي

Flats

المسطحات

water division project

مشروع تقسيم المياه

Projects

مشروعات

hydroelectric projects

المشروعات الكهرومائية

water resources engineering projects

مشروعات هندسة مصادر المياه

Water Resources

مصادر المياه

Interior Drainage

المصارف الداخلية

fisheries

مصايد الأسماك

downstream

مصب السريان

Sharp-Crested

المصطبة الحادة

Broad-Crested

المصطبة العريضة

crest

مصطبة أو قمة أو ذروة

Ogee Crest

المصطبة مستدقة الرأس

Screen

المصفاة

biochemical oxygen demand

مطلب الأكسجين الكيميائي الحيوي

geomorphic

مظاهر السطح

geomorphologic

مظاهر سطح الأرض (الجيو مورفية)

continuity equation

معادلة الاستمرار

continuity equation

معادلة الاستمرارية

regression equation

معادلة الانحسار (الارتداد)

energy equation	معادلة الطاقة
Modified Universal Soil Loss Equation	المعادلة العالمية المعدلة للفقد في التربة
universal soil loss equation	المعادلة العالمية للفقد في التربة
Geological Survey Equation	معادلة المسح الجيولوجي
rational formula	المعادلة المنطقية
Isbash Equation	معادلة إيزباش
Einstein-Strickler-Manning Equation	معادلة اينشتين-ستركلر-ماننق
Bernoulli's equation	معادلة برنولي
mass conservation equation	معادلة بقاء الكتلة
Theis equation	معادلة ثايس
Darcy-Weisbach Equation	معادلة دارسي-ويسباك
Dendy and Boulton Equation	معادلة دندي-بولتون
Domenico equation	معادلة دومينيكو
Strickler's Equation	معادلة ستریکلر
Chezy's Equation	معادلة شيزي
Shields Equation	معادلة شيلدز
Camp's Equation	معادلة كامب
Kennedy's Equation	معادلة كيندي
Lacey's Equation	معادلة لاسي
Manning's Equation	معادلة ماننق
Meyer-Peter-Muller Equation	معادلة ماير-بيتر-مولر

Hazen-Williams Equation	معادلة هازن-وليم
Horton's equation	معادلة هورتون
Remediation	المعالجة
Remediation by Natural Attenuation	المعالجة عن طريق الإضعاف الطبيعي
re-aeration coefficient	معامل إعادة التهوية
Darcy-Weisbach coefficient	معامل الاحتكاك لدارسي-ويسباك
stability coefficient	معامل الاستقرار
Kurtosis coefficient	معامل الالتفاف
Skew coefficient	معامل الالتواء
decay coefficient	معامل التحلل
storage coefficient	معامل التخزين
coefficient of dispersion	معامل التشتت
discharge coefficient	معامل التصرف
thickness coefficient	معامل السمك
contraction coefficients for pipes	معامل الضيق في الأنابيب
organic carbon coefficient	معامل الكربون العضوي
modulus of elasticity	معامل المرونة الحجمي
factor of safety	معامل أمان
soil erodibility factor	معامل انجراف التربة
vertical velocity distribution coefficient	معامل توزيع السرعة العمودية
rainfall factor	معامل سقوط المطر

Chezy's coefficient	معامل شيزي
soil cover factor	معامل غطاء التربة
bend loss coefficients for pipes	معامل فاقد الانحناء في الأنابيب
Manning's coefficient	معامل ماننق
Hazen-Williams coefficient	معامل هازن- ويليام
Regression coefficients	معاملات الانحسار
Runoff Coefficients	معاملات الجريان السطحي
Structural Measures	المعايير الإنشائية
Nonstructural Measures	المعايير غير الإنشائية
equipment	معدات
discount rate	معدل الخصم
rates of reservoir sedimentation	معدل تخزين الترسبات
rate of sediment deposition	معدل ترسيب الرواسب
rate of price escalation	معدل تزايد الأسعار
sediment delivery ratio	معدل توزيع أو تسليم الترسبات
Sedimentation rates	معدلات الترسيب
Scoring criteria	معيار النتيجة
Eutrophication	المغذيات الكيميائية
spillways	المفائض أو قنوات تصريف المياه
Conceptual Site Model	مفاهيم الموقع النموذجي
volatile contaminants	الملوثات المتطايرة

semi-volatile contaminants	الملوثات شبه المتطايرة
Flood bypass	ممرات الفيضان
Copper mines	مناجم النحاس
uranium mines	مناجم اليورانيوم
acute regulatory mixing zones	مناطق الخلط التنظيمي الحاد
chronic regulatory mixing zones	مناطق الخلط التنظيمي المزمن
wetlands	المناطق الرطبة
Areas inundated	المناطق الغارقة
upstream	منبع التدفق أو السريان
Riffles	منحدرات نهريّة
unit hydrograph	المنحنى المائي
Dimensionless Unit Hydrograph	المنحنى المائي الحدودي اللابعدي
the natural flow hydrograph	المنحنى المائي للتدفق الطبيعي
hydrographs	المنحنيات المائية
Combining Hydrographs	المنحنيات المائية المدجة
surface runoff hydrograph	المنحنيات المائية للجريان السطحي
Moody's diagram	منحنيات مودي
groundwater elevation	منسوب المياه الجوفية
Drop Structures	منشآت الإسقاط
Irrigation structures	منشآت الري
Capture zone	منطقة التأثير

unsaturated soil zones	منطقة التربة غير المشبعة
Hydrodynamic Mixing Zone	منطقة الخلط الهيدروديناميكية
Saturated Zone	المنطقة المشبعة
Regulatory Perspective	المنظور التنظيمي
Continuum Approach	منهج التسلسل
viscous fluids	الموائع اللزجة
suspended solids	المواد الصلبة العالقة
dissolved solids	المواد الصلبة المذابة
living marine resources	موارد الحياة البحرية
environmental issues	المواضيع البيئية
breaking waves	الموجات المتكسرة
nonbreaking waves	الموجات غير المتكسرة
Wind Wave	موجة الرياح
randomly placed	موضوعة عشوائياً
Location	الموقع
municipal water	المياه البلدية
Groundwater	المياه الجوفية
Surface water	المياه السطحية
stormwater	مياه العواصف
flowing water	المياه المتدفقة
Clean Water	المياه النقية

side slopes

ميل الجوانب

bed slope

ميل القاع

hydraulic gradient

الميل الهيدروليكي

suitable side slope

الميل الجانبي المناسبة

ن

Weighted average score

نتيجة متوسط الأهمية

void ratio

نسبة الفراغات

hydraulic radius

نصف القطر الهيدروليكي

Ecosystem

النظام البيئي

Storage and Retrieval system

نظام التخزين والاستدعاء

thermal regime

النظام الحراري

Water supply systems

نظام إمداد المياه

GIS

نظم المعلومات الجغرافية

Permeability

النفذية

Sediment transport

نقل الرواسب

natural transport

النقل الطبيعي

computer modeling

نماذج الحاسب

hydrodynamic models

النماذج الهيدروديناميكية

Hydrologic Models

النماذج الهيدرولوجية

Hydraulic Models

النماذج الهيدروليكية

Continuous Flow Simulation Models

نماذج محاكاة السريان المستمر

Wave runup

نمو الموجة



drawdown at the well

الهبوط في البئر

broad-crested weir

الهدار عريض المصطبة

Weirs

الهدارات

Global Environment Facility

هيئة البيئة العالمية

Geological Survey

هيئة المسح الجيولوجي

hydrology

هيدرولوجيا

hydraulic

هيدروليكا



Moist unit weight of soil

وحدة الوزن الرطبة للتربة

bulk unit weight of soil

وحدة الوزن الظاهرية الجافة للتربة

unit weight of soil grains

وحدة الوزن لحبيبات التربة

horizontal apron

الوزرة الأفقية

sloping apron

الوزرة المائلة أو المنزر المنحدر

molecular weight

الوزن الجزيئي

Porous Media

الوسط المسامي

porous medium

الوسط المسامي

Description of alternatives

وصف البدائل

Regulatory agency

الوكالات المنظمة

Environmental Protection Agency

وكالة حماية البيئة

ثانياً : إنجليزي - عربي

متوسط التدفق المنخفض لـ سبعة أيام في

7-day Average 10-yr Low Flow

عشر سنوات

A

acid mine drainage

صرف منجم حمضي

Act

بيان

acute regulatory mixing zones

مناطق الخلط التنظيمي الحاد

adsorption/ desorption

الامتزاز/ المبع

advection

التأفق

aerobic biodegradation

التحلل الحيوي الهوائي

Aesthetics

التجدد

alterations in the hydrologic regime

التغيرات في النظام الهيدرولوجي

anaerobic biodegradation

التحلل الحيوي اللاهوائي

angle of convergence

زاوية نقطة الالتقاء

annual benefits

الفوائد السنوية

annual costs

التكاليف السنوية

Annual precipitation

الأمطار السنوية

Annualized

دفعه سنوية

Apron	متزر (غطاء)
Aquatic biota	الأحياء المائية
Aquatic monitoring	المراقبة المائية
Areas inundated	المناطق الغارقة
Artesian Aquifer	طبقة المياه الجوفية الارتوازية
Articulated Concrete Blocks	قوالب الخرسانة المفصلية
assimilative	سعة الاستيعاب
attracting groin	الحنية الجاذبة

B

Barometric Pressure Fluctuations	تقلبات الضغط الجوي
baseflow	تدفق القاعدة
bed slope	ميل القاع
behind a dam	خلف السد
bend loss coefficients for pipes	معامل فاقد الانحناء في الأنابيب
Benefit-Cost Analysis	تحليل الأرباح-التكاليف
Bernoulli's equation	معادلة برنولي
biochemical oxygen demand	مطلب الأكسجين الكيميائي الحيوي
biodegradation	التحلل الحيوي
biodegradation	التفسخ الحيوي
biological and chemical processes	العمليات البيولوجية والكيميائية
biological mixing	الخلط الحيوي

bioscreen	التصوير الحيوي
bioventing	التنفس الحيوي
boating and canoeing	الإبحار في الزوارق والقوارب
bottom width	عرض القاع
boulders	الجلاميد
breach in a dam	شرخ في سد
breaking waves	الموجات المتكسرة
bridge modification	تحسين الكوبري
bridges	الجسور
Broad-Crested	المصطبة العريضة
broad-crested weir	الهدار عريض المصطبة
bulk density	الكثافة الظاهرية
bulk unit weight of soil	وحدة الوزن الظاهرية للجافة للتربة
C	
Camp's Equation	معادلة كامب
capital cost	تكلفه رأس المال
Capture zone	منطقة التأثير
Cascades	الشلالات
cavitation	التكهف
channel junctions	تقاطعات القناة
Channel Transitions	انتقالات القناة

Channelization	إقامة القنوات
chemical characteristics	الخصائص الكيميائية
Chezy's coefficient	معامل شيزي
Chezy's Equation	معادلة شيزي
chronic regulatory mixing zones	مناطق الخلط التنظيمي المزمّن
Chute or Trough Spillways	قنوات تصريف الحوض أو الشلال
Classifications hazard	تصنيفات المخاطر
Clean Water	المياه النقية
coarse gravel	الحصى الخشن
coefficient of dispersion	معامل التشتت
Combining Hydrographs	المنحنيات المائية المدمجة
compacted snow	الجليد الملبّد
complete mixing	الخلط الكامل
computer modeling	نماذج الحاسب
Concentration times	أزمنة التركيز
Conceptual Site Model	مفاهيم الموقع النموذجي
Concrete Bulkheads	الرؤوس الخرسانية
Conduit or Tunnel Spillways	قناة تصريف الأنابيب أو الأنفاق
Confined Aquifer	طبقة المياه الجوفية المحصورة
Confining Unit	الطبقة المقيدة
Conservation Storage	تخزين الإبقاء

constant flow	تدفق مستقر
Contaminant Transport	انتقال الملوثات
continuity equation	معادلة الاستمرار
continuity equation	معادلة الاستمرارية
Continuous Flow Simulation Models	نماذج محاكاة السريان المستمر
Continuum Approach	منهج التسلسل
contraction	الضيق
contraction coefficients for pipes	معامل الضيق في الأنابيب
Control	التحكم
Copper mines	مناجم النحاس
crest	مصطبة أو قمة أو ذروة
crest submergence	انغمار المصطبة
Criteria Continuous Concentration	التركيز المستمر للمعايير
Criteria Maximum Concentration	التركيز الأقصى للمعايير
critical depth	العمق الحرج
critical flows	السريان الحرج
critical time	الزمن الحرج
critical velocity	السرعة الحرجة
cultural and recreational	ثقافية وإبداعية
culverts	البرابخ
cumulative demand	الطلب المتراكم

D

cumulative flows

التدفق المتراكم

Curve Number

رقم المنحنى

Cutoffs

الطرق المختصرة (الاقتطاع)

Damage protection

حماية الضرر

Dam-break

تصدع السد

Dams

السدود

Darcian Flow

السريان الدارسي

Darcy-Weisbach coefficient

معامل الاحتكاك لدارسي-ويسباك

Darcy-Weisbach Equation

معادلة دارسي-ويسباك

Data collection

جمع البيانات

Dead Storage

التخزين الميت

decay

التحلل

decay coefficient

معامل التحلل

Decontamination

إزالة التلوث

Degree of saturation

درجة التشبع

Dendy and Boulton Equation

معادلة دندي-بولتون

Dense nonaqueous phase liquids

سوائل الطور غير المائي الثقيلة

Description of alternatives

وصف البدائل

design discharge

التصرف التصميمي

Design of Filters

تصميم المرشحات

Detention basins	أحواض الاحتجاز
Deterministic Methods	الطرق الحتمية
Diffusers	الراذات
dimensionless depth	العمق اللابعدي
Dimensionless Unit Hydrograph	المنحنى المائي الوحدوي اللابعدي
discharge coefficient	معامل التصرف
discharge pollutant	تصريف المواد الملوثة
discount rate	معدل الخصم
dispersion characteristics	خصائص التشتت
dissolved concentration of metals	تركيز المعادن المذابة
dissolved oxygen	الأكسجين المذاب
Dissolved Oxygen Content	محتوى الأكسجين المذاب
dissolved solids	المواد الصلبة المذابة
diversion of flow	تحويل السريان
Documentation	توثيق
Domenico equation	معادلة دومينيكو
downstream	مصب السريان
Draft Tube	أنبوب السحب
Drain Spacing	تباعد المصارف
drainage area	مساحة منطقة الصرف
drawdown at the well	الهبوط في البئر

Drop Structures

منشآت الإسقاط

Dry bulk

الانضغاطية

dry density

الكثافة الجافة

E

Earth-Cut Spillway

القنوات المقتطعة من الأرض

Ecological

علم البيئة

Economic analysis

التحليلات الاقتصادية

economic feasibility

الجدوى الاقتصادية

Ecosystem

النظام البيئي

Einstein-Strickler-Manning Equation

معادلة اينشتين-ستركلر-ماننق

endangered species

الأنواع المهددة بالانقراض

energy dissipation devices

أجهزة تشتيت الطاقة

energy equation

معادلة الطاقة

environmental assessment

التقييم البيئي

environmental impact

الأثر البيئي

environmental impact report

تقرير الأثر البيئي

environmental impact statement

بيان الأثر البيئي

environmental issues

المواضيع البيئية

environmental Monitoring

المراقبة البيئية

Environmental Protection Agency

وكالة حماية البيئة

environmental significance

الأهمية البيئية

equipment

معدات

Erodible Channels

القنوات القابلة للانجراف

Erosion in the watershed

الانجراف في مجرى السريان

Erosion protection

الحماية من الانجراف

errors of prediction

أخطاء التنبؤ

Eutrophication

المغذيات الكيميائية

Evaluation factors

عوامل التقييم

Evaluation matrix

تقييم المصفوفة

Evaporation

البخر

Evapotranspiration

البخر نتح

expansion

الاتساع

expected damage

الخسائر المتوقعة

F

Fabriform

الشكل الليفى المركب

factor of safety

معامل امان

Failure consequences

عواقب الفشل

Far-Field Dispersion

تشتت الحقل البعيد

Feasibility Studies

دراسات الجدوى

Field surveying

مسح الحقل

Filter Pack

مجموعة المرشحات

fine sediments

الرواسب الناعمة

fisheries	مصايد الأسماك
Flats	المسطحات
Flood	فيضان
Flood bypass	ممرات الفيضان
Flood Control	التحكم في الفيضان
Flood Control Storage	تخزين ضبط الفيضان
flood insurance	تأمين الفيضان
Flood Proofing	الصمود أمام الفيضان
Flow Duration Analysis	تحليل مدة التدفق
Flow Through Bends	السريان خلال المنعطفات
Flow toward Drains	التدفق في اتجاه المصارف
flow velocity	سرعة السريان
flowing water	المياه المتدفقة
forests	الغابات
Fractured Rock	الصخر المتصدع
Free Overfall Spillway	قناة تصريف مسقط مياه السد الحر
Free Surfac Flow	السريان الحر
Free surface	السطح الحر
freeboard	الحافة الحرة
Freeboard or Surplus Storage	تخزين الجزء الظاهر أو الفائض
frequency	التردد

freshwater	الماء العذب
friction loss	فاقد الاحتكاك
Froude number	رقم فرود
Fuse-Plug Spillway	قناة تصريف القابس المنصهر
Future price	السعر المستقبلي

G

Gas phase transport	انتقال الطور الغازي
Gaseous diffusion	الانتشار الغازي
gates	البوابات
Geological Survey	هيئة المسح الجيولوجي
Geological Survey Equation	معادلة المسح الجيولوجي
geomorphic	مظاهر السطح
geomorphologic	مظاهر سطح الأرض (الجيومورفية)
GIS	نظم المعلومات الجغرافية
Global Environment Facility	هيئة البيئة العالمية
Grain size	حجم الحبيبات
gravitational forces	قوة الجاذبية
Groins	الحنية
Groundwater	المياه الجوفية
groundwater elevation	منسوب المياه الجوفية
Groundwater Mound	تراكم المياه الجوفية

H

guidelines	الخطوط الإرشادية
hardness	الصلادة
Hazen-Williams coefficient	معامل هازن- ويليام
Hazen-Williams Equation	معادلة هازن-وليم
Historic Places	الأماكن التاريخية
horizontal apron	الوزرة الأفقية
Horton's equation	معادلة هورتون
hydraulic	هيدروليكا
Hydraulic analysis	التحليل الهيدروليكي
Hydraulic Conductivity	التوصيل الهيدروليكي
hydraulic depth	العمق الهيدروليكي
Hydraulic designs	التصاميم الهيدروليكية
hydraulic gradient	الميل الهيدروليكي
hydraulic jump	القفزة الهيدروليكية
hydraulic length	الطول الهيدروليكي
Hydraulic Models	النماذج الهيدروليكية
Hydraulic parameters of channels	المتغيرات الهيدروليكية للقنوات
hydraulic radius	نصف القطر الهيدروليكي
Hydraulic structures	الأبنية الهيدروليكية
Hydrodynamic Mixing Zone	منطقة الخلط الهيدروديناميكية

hydrodynamic models

النماذج الهيدروديناميكية

hydroelectric facilities

مرافق الطاقة الكهربائية

Hydroelectric Power

القدرة الكهربائية

hydroelectric projects

المشروعات الكهربائية

hydrographs

المنحنيات المائية

Hydrologic analysis

التحليل الهيدرولوجي

Hydrologic characteristics

الخصائص الهيدرولوجية

Hydrologic Models

النماذج الهيدرولوجية

Hydrologic Processes

العمليات الهيدرولوجية

hydrology

هيدرولوجيا

hydrolysis/substitution

التميؤ / الإحلال

Hydropower

الطاقة المائية

hydropower generation potential

جهد توليد القدرة المائية

I

Impact evaluation

تقييم التأثير

Impermeable Base

قاعدة غير منفذة

Inactive Storage

التخزين غير الفعال

Incremental benefit

الفوائد المتزايدة

Incremental cost

التكاليف المتزايدة

incremental probability

احتمال الزيادة

indemnification/insurance

التعويض / التأمين

Induced Recharge	إعادة الملء المستحث
inertial forces	قوة القصور الذاتي
Infiltration	التسرب
Infiltration into Rock Tunnels	التسرب في الأنفاق الصخرية
Infiltration through Fractures	التسرب خلال التصدعات
Infiltration through Soil-Filled Joints	التسرب خلال الفراغات المملوءة بالتربة
intake structure	بناء المدخل
Intakes	المداخل
intangible factors	العوامل غير الملموسة
Interim evaluation	التقييم الانتقالي
Interior Drainage	المصارف الداخلية
Intermittent flow	تدفق متقطع
Irrigation structures	منشآت الري
Isbash Equation	معادلة إيزباش

K

Kennedy's Equation	معادلة كيندي
Kinematic Wave Method	طريقة الموجة الكينماتيكية
Kurtosis coefficient	معامل الالتفاف

L

Labyrinth Spillways	قنوات تصريف المتاهة
Lacey's Equation	معادلة لاسي

Lag times	أزمة الإعاقة أو التخلف
Lakes	بحيرات
Laminar Flows	السريان الطبقي
Land acquisition	إصلاح الأراضي
Leaky Confined Aquifer	طبقة المياه الجوفية المحصورة المتسربة
Leaky Phreatic Aquifer	طبقة المياه الجوفية الحرة المتسربة
length of fractures	طول التصدعات (الشروخ)
length of tunnel	طول النفق
length of well screen	طول مصفاة البئر
Levees	السدود
levees proposed	حواجز الفيضان المقترحة
lifetime of the project	عمر المشروع
light nonaqueous phase liquids	سوائل الطور غير المائي الخفيفة
Limited water	محدودية المياه
living marine resources	موارد الحياة البحرية
Location	الموقع
longest watercourse	أطول مسار للماء
longitudinal advection	التأفق الطولي
losses due to contraction	الفاقد أثناء الضيق
losses due to expansion	الفاقد أثناء الاتساع
Low flow	أدنى تدفق (التدفق المنخفض)

M

maintenance cost	تكاليف الصيانة
management	الإدارة
Manning's coefficient	معامل ماننق
Manning's Equation	معادلة ماننق
mass conservation equation	معادلة بقاء الكتلة
Mass Curve Analysis	تحليل منحني الكتلة
maximum contaminant levels	أقصى مستويات تلوث
maximum permissible velocity	أقصى سرعة مسموح بها
maximum shear stress	أقصى إجهاد قص
mechanical dispersion	التشتت والانتشار الميكانيكي
Meyer-Peter-Muller Equation	معادلة ماير-بيتر-مولر
minimum permissible velocity	أدنى سرعة مسموح بها
minor losses	الفواقد الثانوية
Modified Universal Soil Loss Equation	المعادلة العالمية المعدلة لفقد في التربة
modulus of elasticity	معامل المرونة الحجمي
Moist unit weight of soil	وحدة الوزن الرطبة للتربة
molecular diffusion	التشتت والانتشار الجزيئي
molecular weight	الوزن الجزيئي
monitoring and evaluation	المراقبة والتقييم
monitoring wells	آبار المراقبة

Moody's diagram

منحنيات مودي

Morning Glary or Glary Hole Spillway

قناة تصريف مجد الصباح أو حفرة المجد

municipal water

المياه البلدية

N

Nappe Flow

التدفق المغترب

National Environmental Policy Act

بيان السياسة البيئية القومي

natural transport

النقل الطبيعي

nonaqueous phase liquids

سوائل الطور غير المائي

nonbreaking waves

الموجات غير المتكسرة

Non-Darcian Flow

السريان غير الدارسي

Nonerodible Channels

القنوات غير القابلة للانجراف

Nonsilting, Nonscouring Velocity

سرعة لا ترسيب ولا نفايات

Nonstructural Measures

المعايير غير الإنشائية

Nonuniform Flow

السريان غير المنتظم

nonvolatile soluble organic compounds

المركبات العضوية القابلة للذوبان غير

الطيارة

nose groin

أنف الحنية

nozzles

الفتحات

nutrients, bed instability

عدم استقرار القاع

O

observation wells

آبار الملاحظة

Ogee (Overflow) Spillway	قناة التصريف المستدقة الرأس (الفيضان)
Ogee Crest	المصطبة مستدقة الرأس
One-Dimensional Flow	السريان أحادي البعد
Open Channels	القنوات المكشوفة
Open-Channel Dispersion	تشتت القناة المفتوحة
Operation and maintenance	التشغيل والصيانة
organic carbon coefficient	معامل الكربون العضوي
organic carbon content	محتوى الكربون العضوي
oxidation/reduction	الأكسدة/الاختزال
P	
Partially Penetrating Well	البئر المخترق جزئياً
Paved and impervious	صماء وغير منفذة
Paved surfaces	الأسطح الممهدة
Peak flow	أقصى تدفق
Peak Flows	تدفقات القمة
Perched Aquifer	طبقة المياه الجوفية المعلقة
Periodic evaluation	التقييم الدوري
Permeability	النفذية
permeable groins	حنيات منفذة
physical	فيزيائية

Pipe Flow	السريان في الأنابيب
pipe wall roughness	خشونة جدار الأنبوب
Planning and design	تخطيط وتصميم
Pneumatic dredging	الجرافات الهوائية
Pools	البرك
Porosity	المسامية
Porous Media	الوسط المسامي
porous medium	الوسط المسامي
potential maximum retention	أقصى احتباس محتمل
Power Plant	محطة القدرة
Precipitation depth	عمق المطر
precipitation depth	عمق التساقط
precipitation intensity	شدة التساقط
Preliminary surveys	المسح التمهيدي
present-day capital cost	تكلفة رأس المال اليومية الحالية
Pressure Flow	السريان المضغوط
Pressure indicators	مؤشرات الضغط
principal storm	العاصفة الرئيسية
probability	الاحتمالية
probable maximum flood	أقصى فيضان محتمل
probable maximum precipitation	أقصى تساقط محتمل

production wells	آبار الإنتاج
Project Alternatives	بدائل المشروع
Projects	مشروعات
Proposed plan	الخطة المقترحة
protect populated areas	حماية المناطق الأهلة
pumping test	اختبار الضخ

Q

Quantity and quality	الكمية والجودة
----------------------	----------------

R

Radial Flow	السريان نصف القطري
rainfall factor	معامل سقوط المطر
rainfall intensity	شدة سقوط المطر
Rainfall intensity-duration-frequency	شدة سقوط المطر - المدة - التكرار
rainfall-depth-duration-frequency	سقوط المطر - العمق - المدة - التكرار
randomly placed	موضوعة عشوائياً
rate of price escalation	معدل تزايد الأسعار
rate of sediment deposition	معدل ترسيب الرواسب
rates of reservoir sedimentation	معدل تخزين الترسبات
rational formula	المعادلة المنطقية
re-aeration coefficient	معامل إعادة التهوية
Recharge by Precipitation	إعادة الملء (التغذية) نتيجة تساقط المطر

Recreation	الترفيه
Regression Analysis	تحليل الارتداد
Regression coefficients	معاملات الانحسار
regression equation	معادلة الانحسار (الارتداد)
Regulatory agency	الوكالات المنظمة
Regulatory Perspective	المنظور التنظيمي
Remedial Investigation	التحري العلاجي
Remediation	المعالجة
Remediation by Natural Attenuation	المعالجة عن طريق الإضعاف الطبيعي
Remediation Methods	طرق المعالجة
Remediation Technologies	تقنيات المعالجة
Removal	الإزالة
repelling groin	الحنية الطاردة
Report preparation	إعداد التقارير
Requirements	متطلبات
reservoir capacity	سعة الخزان
Reservoir Sedimentation	ترسبات الخزان
Reservoirs	الخزانات
Response indicators	مؤشرات الاستجابة
Return periods	فترة العودة
Reynolds number	رقم رينولد

Richardson number	رقم ريتشاردسون
Riffles	منحدرات نهريّة
riprap	الدكة الحجرية
Riprap Protection	جدار حماية
riprap sizes	أحجام أحجار الدكة
Riprap Sizing	حجم الدكة الحجرية
risk analysis	تحليل المخاطر
Rock Riprap	الدبش الصخري
rockfill	الحشوة الصخرية
rough channels	القنوات الخشنة
Routing	التخديد
rubble stone	كسارة الحجر
Runoff	الجريان السطحي
Runoff Coefficients	معاملات الجريان السطحي
S	
Safe Yield	الإنتاجية الآمنة
saltwater	الماء المالح
Saturated Zone	المنطقة المشبعة
saturated thickness	السماك المشبع
Schedule	الجدولة
Scoping analysis	تحليل النطاق

Scoring criteria	معيار النتيجة
Screen	المصفاة
Seal	سدادة الإحكام
Seawater Inhvsiion	تداخل مياه البحر
sediment delivery ratio	معدل توزيع أو تسليم الترسبات
sediment deposition	الترسبات المترسبة
sediment load	كمية الترسبات
Sediment transport	نقل الرواسب
Sediment Transport Analysis	تحليل انتقال الرواسب
sediment yield	حصيلة الترسبات
Sediment Yield Analysis	تحليل حصيلة الترسبات
sedimentation basin	أحواض الترسيب
Sedimentation rates	معدلات الترسيب
seepage	الرشح أو التسريب
Seepage velocity	سرعة الترشح
self esteem	التقدير الذاتي
Semi-Confined Aquifer	طبقة المياه الجوفية شبه محصورة
semi-volatile contaminants	الملوثات شبه المتطايرة
semi-volatile organic chemicals	مركبات عضوية شبه طيارة
Sharp-Crested	المصطبة الحادة
shear stress	إجهاد القص

shear velocity	سرعة القص
sheet flow	السيان الطبقي
Shields Equation	معادلة شيلدرز
Shore	الشواطئ
Side Channel Spillway	قناة تصريف القناة الجانبية
side slopes	ميل الجوانب
Simulations	المحاكاة
Siphon spillway	قناة التصريف السيفونية
Skew coefficient	معامل الالتواء
Skimming Flow	تدفق الكشافة
Slope Stability	استقرار الميل
sloping apron	الوزرة المائلة أو المتزر المنحدر
Slug Tests	اختبارات الكتلة
smooth channels	القنوات الناعمة
Snow Loads	أحمال الجليد
Snowfall	الجليد
Snowmelt	ذوبان الجليد أو الجليد الذائب
socioeconomic	اجتماعية اقتصادية
Socioeconomic indicators	مؤشرات الاقتصاد الاجتماعي
Software	برامجيات
soil characteristics	خصائص التربة

Soil Conservation Service	خدمة المحافظة على التربة
soil contamination	تلوث التربة
soil cover factor	معامل غطاء التربة
soil erodibility factor	معامل انجراف التربة
Soil Erosion on Slopes	انجراف التربة على المنحدرات
soil flushing	غسل التربة
Soil losses	فواقد التربة
Soil Texture	قوام التربة
solid groins	حنيات صلبة غير منفذة
soluble inorganic compounds	المركبات غير العضوية القابلة للذوبان
specific capacity of the well	السعة النوعية للبيئر
specific energy	الطاقة النوعية
specific storage	التخزين النوعي
specific yield	الإنتاجية النوعية
spillways	المفائض أو قنوات تصريف المياه
stability coefficient	معامل الاستقرار
Standard deviation	الانحراف القياسي
State indicators	مؤشرات الحالة
Statistical Methods	الطرق الإحصائية
statistical analysis	التحليل الإحصائي
Steady Flow	السريان المستقر

Steady-State Radial Flow	السرطان المستقر نصف القطري
Steep Slopes	الانحدارات الشديدة
Stepped spillways	قناة التصريف المتدرجة
still water	الماء الراكد
Stilling Basins	أحواض الترسيب
Stochastic Methods	طرق التسلسل العشوائي
Storage and Retrieval system	نظام التخزين والاستدعاء
storage coefficient	معامل التخزين
STORET	نظام التخزين والاستدعاء
stormwater	مياه العواصف
Straight Drop Spillway	قناة السقوط المباشر
Straight groin	الحنية المستقيمة
stream pollution	تلوث المجرى المائي
streamflow	تدفق المجرى المائي
Strickler's Equation	معادلة ستريكلر
Structural Measures	المعايير الإنشائية
Subcritical Flows	السرطان تحت الحرج
Subsidence	الانخفاض
Substrate composition	تكوين الطبقات السفلية
Substrate size	حجم الطبقات السفلية
Subwatershed	الخط الفرعي لتقسيم المياه

suitable side slope

الميل الجانبية المناسبة

Supercritical Flows

السريان فوق الحرج

supersaturation

التشبع المفرط

surface runoff hydrograph

المنحنيات المائية للجريان السطحي

Surface water

المياه السطحية

Surface water

المياه السطحية

SurgeTank

خزان النبض

Suspended loads

الأحمال المعلقة

suspended sediment load

كمية الترسيب المعلق

suspended solids

المواد الصلبة العالقة

Sustainability and Enhancement

استدامة وتحسين

Swimming

السباحة

T

tangible factors

العوامل الملموسة

Terminal evaluation

التقييم النهائي

Terrestrial monitoring

المراقبة الأرضية

test well

بئر اختبار

the natural flow hydrograph

المنحنى المائي للتدفق الطبيعي

Theis equation

معادلة ثايس

thermal regime

النظام الحراري

thickness coefficient

معامل السمك

time basin lag	زمن تأخر حوض النهر
time duration	الفترة الزمنية
time of concentration	زمن التركيز
top width	العرض العلوي
top width of a gully	عرض قمة الأخدود
Topographic maps	الخرائط التضاريسية
topographic surveys	المسح الطبوغرافي
total energy	الطاقة الكلية
total maximum daily loads	أقصى أحمال يومية كلية
total porosity	المسامية الكلية
toxic contamination	التلوث السام
transitional flow	السريان الانتقالي
transmissibility	قابلية النقل
transverse dispersion	التشتت العرضي
trap efficiency	كفاءة الحجز
travel time	زمن الانتقال
turbidity	التعكر
turbulent diffusion	التشتت المضطرب
turbulent flow	السريان الاضطرابي
unconfined aquifer	طبقة المياه الجوفية غير محصورة

uniform flow

السريان المتظم

unique ecosystems

الأنظمة البيئية الفريدة

unit hydrograph

المنحنى المائي

unit weight of soil grains

وحدة الوزن لحبيبات التربة

universal soil loss equation

المعادلة العالمية لفقد في التربة

unpaved surfaces

الأسطح غير الممهدة

unsaturated soil zones

منطقة التربة غير المشبعة

unsaturated thickness

السماك غير المشبع

unsteady flows

السريان غير المستقر

unsteady groundwater flow

سريان غير المستقر للمياه الجوفية

upstream

منبع التدفق أو السريان

uranium mines

مناجم اليورانيوم

V

vadose

التجاويف أو الفراغات

valves

الصمامات

vapor pressure

ضغط البخار

vegetation

الغطاء النباتي

velocity head

ضاغط السرعة

velocity of pressure wave

سرعة موجة الضغط

vent pipe

أنبوب التنفيث

vertical velocity distribution coefficient	معامل توزيع السرعة العمودية
viscous fluids	الموائع اللزجة
void ratio	نسبة الفراغات
volatile contaminants	الملوثات المتطايرة
volatile soluble organic compounds	المركبات العضوية القابلة للذوبان الطيارة
volume of sediment	حجم الرواسب
volumetric flow	التدفق الحجمي
W	
Water Hammer	الطرق المائي
Waste Disposal	التخلص من النفايات
Waterways	المجري المائية
water contamination	تلوث المياه
Water content	المحتوى المائي
water depth	عمق الماء
water division project	مشروع تقسيم المياه
water level fluctuations	تقلبات مستوى المياه
Water Resources	مصادر المياه
water resources engineering projects	مشروعات هندسة مصادر المياه
Water supply systems	نظام إمداد المياه
Water Surface Profiles	شكل سطح الماء

Water Table	منسوب المياه الجوفية
water velocity	سرعة المياه
wave height	ارتفاع الموجة
wave period	فترة الموجة
Wave runup	نمو الموجة
Weighted average score	نتيجة متوسط الأهمية
Weirs	الهدارات
Well Casing	غلاف البئر
Well Development	تطوير البئر
well efficiency	كفاءة البئر
well function	دالة البئر
Well Purging	تطهير البئر
wells	الآبار
wetlands	المناطق الرطبة
wetted perimeter	المحيط المبتل
wildlife	الحياة البرية
Wind Erosion	الانجراف بسبب الرياح
Wind Wave	موجة الرياح
World Bank	البنك الدولي

كشاف الموضوعات

أخطاء التنبؤ ٣٦	١
ارتفاعات موجة الرياح وتصميم الحماية	اتساع القناة ٣٨٧، ٣٩١
من الانجراف ٤٥٣	الآثار البيئية ٥٦٦
إزالة التلوث من بئر المراقبة والتخلص	الآثار البيئية للسدود ٥٧١
من النفايات ٣٨٠	الآثار البيئية لمشروعات هندسة مصادر
إزالة الرواسب الملوثة ٦١٥	المياه ٥٧١، ٥٧٥
استقرار الرواسب ١٣٥	الإجراءات التصورية لصدّ التيار الرئيس
استقرار الميل ٣٩٤	بعيداً عن المصرف ٤٢٣
الإسقاط العمودي المستقيم ٤٢٦	احتمالية حدوث فيضان ٨٦
الإسقاط باستخدام مئزر مائل ٤٢٨	أحجام الدكة الحجرية ٤١٤
إعادة الملء (التغذية) نتيجة تساقط المطر	أحواض الاحتجاز ٤٠١
٢٩٥	أحواض الترسيب وأجهزة تشتيت
إعادة الملء المستحث ٢٩٣	الطاقة ٤٩٨
أعماق الجرف ٤٢١	اختبار فترة السحب ٣٣٥
أقصى تساقط محتمل ٧٨	اختبارات الكتلة لبئر ٣٤٣

أهمية الأنشطة الترفيهية ٥٩٣

أقصى فيضان محتمل ٨٠

ب

أنابيب الصرف ٢٧٧

البئر المخترق جزئياً ٢٨٩

أنبوب السحب ٥١٥، ٥٣٤

البئر المخترق كلياً ٢٨٩، ٣١١

الإنتاجية الآمنة والسعة النوعية والكفاءة

بيان الأثر البيئي ٥٦٧

٣٠٧

بيانات زمن السحب ٣٣٦، ٣٤٢

الإنتاجية القصوى ٣٠٧

ت

الإنتاجية النوعية ٣١٠

تأثر مستويات المياه الجوفية بالتغيرات في

انتقال الطور الغازي ٣٧٣

مستوى ماء النهر ٣٢٢

انتقال الملوثات خلال مناطق التربة غير

تأثير تقلبات الضغط البارومتري ٣٠١

المشبعة والمشبعة ٣٦٧

تباعد المصارف ٣١٥

انتقال الملوثات في المنطقة المشبعة ٣٥١

تتالي عواصف التصميم ٥٩

انتقالات القناة ٣٨٥

التحري العلاجي ودراسات الجدوى

انجراف التربة على المنحدرات ١٨٣

٥٩٥

الانجراف بسبب الرياح ١٩٧

التحريات العلاجية المتعلقة بالتربة الملوثة

الانحراف القياسي ٣٧

٥٩٧

الانخساف ٣٠٢

تحسين الكوبري ٤٠١

الانضغاطية ٢٧٠

التحكم في الانجراف ٤٠٦

أنواع التبطين بالنباتات ١٤١

التحكم في الفيضان ٣٩٣

أنواع الوسط المسامي ٢٦٥

التحليل الإحصائي للبيانات ٣٧، ٤٣

أهمية استدامة وتحسين البيئة الطبيعية

تحليل الأرباح-التكاليف ٥٤٨

للأسماك ٥٩٢

التدفق في اتجاه المصارف ٣١٥	تحليل الارتداد ٩٢
تدفقات القمة ١٢، ٣٥، ٣٧، ٤٣، ٨٠	التحليل الاقتصادي ٥٤٧
تراكم المياه الجوفية ٢٨٢	تحليل التكلفة - الربح ٨٧
ترسبات الخزان ٤٤٥	تحليل المخاطر وتقدير احتمالات الانهيار ٨٥
تركيب آبار المراقبة ٣٧٧	التحليل الهيدرولوجي ٩
تركيز الأكسجين المذاب في المجاري المائية ٢٢٥	تحليل انتقال الرواسب ٢٠٠
التسرب خلال التصدعات ٥٤٣	تحليل حصيلة الترسبات ١٨٧
التسرب خلال الفراغات المملوءة بالتربة ٥٤٢	تحليل مدة التدفق ٩٧
التسرب في الأنفاق الصخرية ٥٣٩	تحليل منحني (تموج) الكتلة ١٠٧، ٩٨
التسريب ٣٩٤	التخزين النوعي ٣٠٩
تشئت الحقل البعيد ٢٠٩	تخزين ضفاف النهر ٣١٢
تشئت القناة المفتوحة ٢٠٦	تخطيط مشروعات هندسة مصادر المياه ٣
تشئت قرب الحقل ٢٠٦	تخطيط وتصميم إقامة السدود والخزانات ٤٤١
التصاميم الهيدروليكية ٣٨٥	تداخل الآبار ٢٩١
التصرف على طول المنحدرات ١٧٨	تداخل مياه البحر ٢٩٧
تصميم القنوات القابلة للانجراف ١٣١	تدرج أحجام أحجار الدكة ٤١٢
تصميم القنوات المزروعة ١٤١	تدفق القاعدة ٧١
تصميم القنوات غير القابلة للانجراف ١٢٦	تدفق الكشافة ٤٩٠
	التدفق المغترب ٤٩٠

- تصميم المتر ٤٢٣
- تصميم المرشحات ٤١٦
- تصميم برنامج اختبار ضخ ٣٣٩
- تصميم جدار الحامية ٤٠٨
- تصنيف السريان ١٢١
- تصنيف الطبقات الحاملة للمياه ٢٦٥
- تطوير وتطهير بئر المراقبة ٣٧٩
- تعريف وصياغة بيان الأثر البيئي ٥٦٧
- التغليف بغطاء (متر) ٤٢١
- تقدير تدفقات القمة ١٢
- تقدير تكاليف وفوائد المشروعات
- الهندسية لمصادر المياه ٥٤٧
- تقدير تكاليف وفوائد مصادر المياه ٤
- تقدير معامل التشتت ٢٢٢
- تقدير معاملات الطبقة الحاملة للمياه ٣٣٤
- تقرير الأثر البيئي ٥٦٦
- تقلبات مستوى المياه ٣٤٢
- تقنيات المعالجة ٦١٨
- تقنيات معالجة المياه الجوفية والمياه
- السطحية ٦١٩
- تقنيات معالجة تركيزات تلوث المرحلة
- الدائبة ٦١٩
- تقييم الأثار البيئية لمشروعات هندسة
- مصادر المياه ٥٧٨
- تقييم الأهمية البيئية للمشروعات ٥٩٢
- تقييم بدائل المشروع الهندسي لمصادر المياه
- ٥٥٤
- تقييم وتحليل الآثار ٥٧٨
- التكاليف السنوية ٥٤٩
- تكرار-مدة-شدة المطر ٢٨، ٢٧
- تكرار-مدة-عمق المطر ٢٨، ٢٦
- التكلفة السنوية للصيانة والتشغيل ٥٥٠
- تكلفه رأس المال ٥٤٩
- تكوين متابعات تدفق المجرى المائي ٩١
- تواجد المياه الجوفية ٢٦٥
- توثيق دراسات هندسة مصادر المياه ٤
- التوزيع الطبيعي ٣٩
- التوزيع اللوغاريتمي الطبيعي ٣٩
- توزيع بويسون ٨٧
- توزيع بيرسون اللوغاريتمي ٤١
- توزيع جامبل ٤١
- التوصيل الهيدروليكي ٢٦٨

- خطوة الهبوط ٣٣٥
- الجلد الذائب وأحمال الجليد ٦٧
- الخواص الطبيعية للماء النقي ٢٧٠
- الخواص الوسط المسامي ٢٦٦
- الحافة الحرة ١٤٩
- حالات تلوث المياه السطحية ٥٩٥، ٦٠٣
- دالة البئر ٣٢٥
- الدراسات التحليلية ٦
- دراسات تشغيل الخزان ٩١
- دراسات هندسة مصادر المياه ٤
- درجة التشبع ٢٦٧
- الحجم الكلي للتربة ٢٦٨
- الحجم المشغول بالغاز أو الهواء ٢٦٨
- حسابات تقلبات مستوى المياه ٣٢٤
- حفر آبار المراقبة ٣٧٨
- رقم رينولد ١٢٢
- الحماية من الانجراف ٣٩٥، ٣٩٨، ٤٠٤
- حسابات تقلبات مستوى المياه ٣٢٤
- حفر آبار المراقبة ٣٧٨
- زمن الانتقال ٥٤
- الحماية من الانجراف عند مرتكز جدار ٤١٧
- زمن الانتقال للتدفق الطبقي ٢٠
- الدعم ٤١٧
- زمن التأخير ٨٣، ١٥
- حماية نقطة ارتكاز جدار دعم المجرى ٤٢٤
- زمن التركيز ١٣
- زمن الهبوط ٣٣٦
- الحنية ٣٩٦
- السدود ٣٩٣
- خزان النبط ٥٢٨
- السدود والخزانات ٤٤١
- الخصائص الهيدرولوجية لمناشئ المياه ٥
- السدود، والخزانات، والمفائض ١٠
- سرعات السريان السطحي ١٩

- سرعات السريان المتوسطة ٢١
- السريان المضطرب في الأنابيب ٢٣٥
- السرعات المسموح بها في القنوات ١٤٨
- السريان المضغوط ١٢١
- سرعة الترشح ٣٦١
- السريان المنتظم ١٢١
- سرعة القص ٢٢٢، ٢١٦، ١٣٠
- السريان تحت الحرج ١٢٢
- السرعة القصوى المسموح بها ١٣١
- السريان خلال المنعطفات ١٤٨
- السرعة خلال فراغات التربة ٢٥٩
- السريان عبر المنحدرات شديدة الميل ١٦٢
- سرعة لا ترسيب ولا نفايات ١٣٣
- السريان الاضطرابي ١٢٢
- السريان الانتقالي (غير المستقر) للمياه
- الجوفية ٣٠٩
- السريان الحر ١٢١
- السريان الحرج ١٢٢، ١٥٤
- السريان الدارسي ٢٧٤
- السريان الطبقي ١٢٢
- السريان الطبقي في الأنابيب ٢٣٣
- السريان المتفرع ١٥٢
- السريان المستقر ١٢١
- السريان المستقر أحادي الاتجاه للمياه
- الجوفية ٢٧٤
- السريان المستقر المنتظم في القنوات
- المفتوحة ١٢٣
- السريان المستقر نصف القطري ٢٨١
- السريان غير الدارسي ٢٧٨
- السريان غير المستقر ١٢١، ١٧٦، ٣٠٩
- السريان غير المستقر أحادي البعد ٣٠٩
- السريان غير المنتظم ١٢١
- السريان فوق الحرج ١٢٢
- السريان في الأنابيب ٢٣٣
- السريان لبثر منفرد ٢٨١
- السريان نصف القطري غير المستقر لبثر
- مخترق كلياً طبقة غير محصورة ٣٣٣
- السريان نصف القطري غير المستقر لبثر
- مخترق كلياً طبقة محصورة ٣٢٥
- سريان وانتقال الملوثات خلال الصخر
- المتصدع ٣٦٥
- سعة الخزان ٤٤٣

الطرق الإحصائية وطرق التسلسل

العشوائي ٩٧

الطرق الحتمية ٩٢

الطرق المائي ٢٥٧

الطرق المختصرة ٣٩٨

طرق المعالجة ٦١٥

طرق تصريف الأنابيب أو الأنفاق ٤٧٨

طرق تقنية لحماية نقطة ارتكاز حافة

الدعم ٤٢٤

طرق زيادة الأكسجين المذاب في الماء

٥٣٨

طرق فنية تقنية لحماية حافة المجرى ٤٢٤

طريقة SCS 58

الطريقة المنطقية ١٢

طريقة الموجة الكينيماتيكية ٥٦

طريقة رقم المنحنى ٦٢

طريقة رقم منحنى خدمة المحافظة على

التربة لتقدير زمن التركيز ١٥

طريقة سنة المحطة ٣١

طريقة سنيدر لتقدير زمن التركيز ١٦

طريقة كريبيش لتقدير زمن التركيز ١٥

السعة النوعية للبئر ٣٠٧

سقوط المطر - الجريان السطحي ٨٤

سوائل الطور غير المائي ٣٥٢، ٣٥٤

ش

شدة المطر (شدة التساقط) ٢٤

شكل سطح المياه ١٥٠

ص

الصمود أمام الفيضان ٤٠١

ض

الضغط الهيدروستاتيكي ٣٠٣

ضيق القناة ٣٨٧، ٣٩١

ط

الطاقة النوعية ١٥٤

طبقة المياه الجوفية الارتوازية ٢٦٥

طبقة المياه الجوفية الحرة المتسربة ٢٦٦

طبقة المياه الجوفية المحصورة ٢٦٥

طبقة المياه الجوفية المعلقة ٢٦٦

طبقة المياه الجوفية المقيدة ٢٦٦

طبقة المياه الجوفية شبه محصورة ٢٦٦

طبقة المياه الجوفية غير محصورة ٢٦٦

عوامل مراقبة مشروع السد والخزان

٥٩٠

غ

غلاف بئر المراقبة والمصفاة ومجموعة

المرشحات وسدادة الأحكام ٣٧٨

ف

فرضيات دويوت ٢٨٢

الفقد الأولي الثابت ٦٢

الفوائد السنوية ٥٥٠

فواقد التربة ٦٢

ق

قابلية النقل ٣٠٩

قانون دارسي ٢٧٤

القدرة الكهرومائية ٥١٣

القفزة الهيدروليكية ١٦٣، ١٧٠

قناة التصريف السيفونية ٤٨٥

قناة التصريف المتدرجة ٤٩٠

قناة التصريف المستدقة الرأس ٤٦٥

قناة تصريف الأنابيب أو الأنفاق ٤٧٨

قناة تصريف القابس المنصهر ٤٦٣

قناة تصريف القناة الجانبية ٤٧١

طريقة كوبر جاكوب ٣٣٥

طريقة مكتب استصلاح الأراضي

بالولايات المتحدة لتقدير زمن التركيز

١٦

طريقة هيدروليكا المجرى المائي لتقدير

زمن التركيز ١٨

طريقة هيري - هاثاواي لتقدير زمن

التركيز ٢١

طول مصفاة البئر ٢٨٩

ع

عامل تغطيه رأس المال ٥٤٩

العرض العلوي والسطح الحر للقناة

٣٩٥

علاقة غايين - هيرتزبرج ٢٩٧

عمق ومدة المطر التصميمي ٥٧

العمليات الهيدرولوجية الخاصة

بالتحري العلاجي ودراسة الجدوى

٦٠٧

عملية إقامة القنوات ٤٠٠

عملية التحلل (التفسخ الحيوي) ٣٥٦

العوائق النباتية ١٤١، ١٤٣

- قناة تصريف مجد الصباح ٤٧٨
 قناة تصريف مسقط مياه السد الحر ٤٦٤
 القنوات المقطعة من الأرض مع
 مكافحة الأعشاب أو الأحجار ٤٦٣
 قنوات تصريف الحوض أو الشلال ٤٧٦
 قنوات تصريف المتاهة والمفايض ذات
 المدخل شبه الدائري أو مزدوج الجانب
 ٤٩٤
 قنوات تصريف المياه ٤٦٢
- ك**
 كفاءة الترسيب في الخزان ٤٥٣
- ل**
 اللزوجة الديناميكية ٢٧٠
 اللزوجة الكينماتيكية ٢٧٠، ٢٧٤
- م**
 مؤشرات الأداء البيئي ٥٨٩
 المتغيرات الهيدروليكية للقنوات ٤١٣
 متوسط التدفق المنخفض السنوي لسبعة
 أيام ١١٤
 متوسط التدفق المنخفض لسبعة أيام في
 عشر سنوات ١٠٨
- المتوسط الحسابي ٣٧
 محتوى الأكسجين المذاب في مخرجات
 محطة الطاقة ٥٣٧
 المحتوى الغازي ٢٦٧
 المحتوى المائي ٢٦٧
 المحتوى المائي الحجمي ٢٦٧
 محتوى بيان الأثر البيئي ٥٦٩
 محطة القدرة ٥١٣
 المداخل ٥٢٠
 المراقبة البيئية ٥٨٤
 مركبات عضوية شبه طيارة ٣٥٧
 مركبات عضوية طيارة قابلة للذوبان
 ٣٥٧
 المسافة بين أنابيب الصرف ٢٧٦
 المسامية الكلية ٢٦٧
 مشروعات التعدين ١٠
 مشروعات التنمية الاجتماعية ٩
 مشروعات الطاقة الكهرومائية ١١
 مشروعات الطاقة النووية ١١
 مشروعات هندسة مصادر المياه ٣
 المصارف الداخلية ٣٩٤

- المصطبة مستدقة الرأس (العقدية) ١٥٨ معادلة لاسي ١٣٣
- معادلات الانحسار ٣٥ معادلة ماتاي ٨٠
- معادلة الاستمرارية ٣١٠ معادلة ماننق ١٢٣
- معادلة الانتشار التشتتي ٣٥٥ معادلة ماير-بيتر-مولر ١٣٦
- معادلة الانحسار ٢٩٦ معادلة هازن-وليم ٢٣٦
- معادلة السريان الطبقي لتقدير زمن المعالجة الحيوية ٦١٨
- الانتقال ٢٠ المعالجة الفيزيائية والكيميائية ٥١٩
- معادلة أوكونور ٢٢٨ معالجة الملوثات ٦١٥
- معادلة اينشتين لبدء الحركة ١٣٧ المعالجة عن طريق الإضعاف الطبيعي
- معادلة اينشتين-ستكلير-ماننق ١٣٦ ٦١٦
- معادلة ثايس ٣٢٥ معامل الإعاقة ٢٢
- معادلة دارسي-ويزباك ١٢٣ معامل الانتفاف ٣٧
- معادلة ستريتر-فليس ٢٢٦ معامل الالتواء ٣٧
- معادلة ستريكلر ١٢٤ معامل التخزين ٣٠٩
- معادلة شيزي ١٢٣ معامل التخلف اللابعدي ٣٥٥
- معادلة شيلدز لإجهاد القص ١٣٥ معامل التكرار ٤٠
- معادلة كامب ١٣٨ معامل التوصيل الهيدروليكي ٢٧٤، ٢٧١
- معادلة كريين ٨٠ معامل الجريان السطحي المركب ١٣
- معادلة كريجر ٨٠ معامل الضيق في الأنابيب ٥٢٤
- معادلة كيندي لسرعة لا ترسيب معامل انجراف التربة ١٨٩
- ولانفايات ١٣٣ معامل خشونة جدار الأنوب ٢٢٢

معامل دارسي للخشونة ٢٣٦	معيار النتيجة للتقييم ٥٥٩، ٥٥٧
معامل شيزي ١٣٠	مكونات المراقبة البيئية ٥٨٥
معامل فاقد الانحناء في الأنابيب ٥٢٥	ممر الفيضان ٤٠٠
معامل لاسي ١٣٣	مناشئ المياه الفرعية ٨٥، ٨٣، ٧٢
معامل ماننق ٢١، ١٢٥، ١٣٢، ١٤٥، ٢٢٠	منحنى الطاقة النوعية النموذجي ١٦٨
معامل هازن-ويليم ٢٣٨	المنحنى المائي الوحدوي ٥٢
معاملات الانحسار ٣٥	المنحنى المائي الوحدوي اللابعدى ٥٣
معاملات التشتت ٢٢٢	المنحنى المائي الوحدوي لسنايدر ٥٤
معاملات الجريان السطحي ١٣	المنحنى المائي الوحدوي لكلاكرك ٥٣
معاملات ماكسي-إيكين ٢٩٦	المنحنى المائي لأقصى فيضان محتمل ٧٧
معاينة بئر المراقبة ٣٨٠	منحنى بلنش النموذجي ١٦٨
المعايير الإنشائية ٣٩٣	منحنى خدمة المحافظة على التربة ١٥
المعايير الإنشائية للتحكم في الانجراف ٣٩٣	منحنى سطح الماء ١٣٥
المعايير غير الإنشائية ٤٠٢	منحنيات الكتلة للتدفق والطلب المتغير ١٠٠
معدل الخصم ٥٤٩	المنحنيات المائية المدجة والتخديد خلال القنوات ٧١
معدل الفقد المنتظم ٦٢	المنحنيات المائية للجريان السطحي ٤٩، ٦٥
معدل تزايد الأسعار ٥٥٠	منشآت الإسقاط ٤٢٦
معدلات تسرب التربة ٦٣	منطقة التأثير ٢٨٥
معيار التحقيق للتقييم ٥٥٧	

نماذج سريان وانتقال المياه الجوفية ٣٨٠

نماذج محاكاة السريان المستمر ١١٨

نموذج 61 HEC-1

نموذج إدارة مياه العاصفة ١١٨

نموذج الانتقال المعياري ثلاثي الأبعاد

للمواد الملوثة في أنظمة المياه الجوفية ٣٨٢

نموذج الانجراف والترسيب في الأنهار

وأحواض السدود ٢٦١، ٣٩٣

نموذج التصوير الحيوي ٣٨٢

نموذج التقسيم الهيدروليكي لأداء

الأرض المشبعة ٣٨١

نموذج الفرق النهائي لسريان المياه

الجوفية ثلاثي الأبعاد المعياري ٣٨٠

نموذج القطاعات الجانبية لسطح الماء ٢٦٠

نموذج الهيدرولوجيا المدنية لمناشئ المياه

الصغيرة ١١٧

نموذج برنامج المحاكاة الهيدرولوجي ١١٩

نموذج برنامج تحليل البربخ ٢٦٠

نموذج برنامج هيدرولوجيا صياغة

المشروع ١١٧

المنظور التنظيمي ٦٠٤

منهج التسلسل ٥٤٠

منهج نموذج 61 HEC-1

المواضيع البيئية ومراقبتها ٥٦٣

المياه الجوفية ٢٦٥

الميل الهيدروليكي ٢٧٤

الميول الجانبية المناسبة للقنوات القابلة

للانجراف ١٣٣

الميول الجانبية المناسبة للقنوات غير

القابلة للانجراف ١٢٨

ن

نسبة الفراغات ٢٦٧

نسبة سرعة الموجة ٤٥٥

نصف قطر التأثير ٢٩٠

النفذية ٢٦٨

نماذج التخفيف لتصرفات أفرع النهر ٢٦٣

النماذج الهيدرولوجية ١١٦

النماذج الهيدروليكية ٢٥٩

نماذج تحديد وتحديد المنحنيات المائية

لانسحاب العاصفة ١١٦

نماذج جودة مياه المجارى المائية المحسنة

نموذج نظام تشكيل التساقط-الجريان
السطحي ١١٨

٥

الهدارات ذات المصطبة الحادة ١٥٦
الهدارات ذات المصطبة العريضة ١٥٦
هندسة مصادر المياه ١
هيدروليكا الأنابيب متعددة الفتحات
(الرذاذة) ٢٢٨

هيدروليكا الرذاذات ٢٤٦

هيدروليكا الهدارات والمفايض ١٥٦

٥

وحدة الأوزان الظاهرية الجافة للأوساط
المسامية ٢٦٩

وحدة الوزن الرطبة للتربة ٢٦٧

وحدة الوزن الظاهرية الجافة للتربة ٢٦٧

وحدة الوزن المغمورة لحبيبات التربة ٢٦٨

وحدة أوزان الجزيئات ٢٦٩

وحدة وزن حبيبات التربة ٢٦٧

وصف البدائل والأهمية لمعيار التقييم ٥٥٨

نموذج بناء تدفق المجرى المائي وتنظيم

الخزان ١١٩

نموذج تحليل تكرار تدفق الفيضان ١٢٠

نموذج تحليل نظام الخزان للمحافظة

ومحاكاة نموذج لمراقبة الفيضان ونظم

المحافظة ١٢٠

نموذج تصدع السد ٢٦٠

نموذج تقييم عداد التعريض متعدد

الأوساط ٣٨١

نموذج جودة المياه في حالة أنظمة النهر-

حوض السد ٢٦٣

نموذج حزمة المنحنى المائي للفيضان ١١٦

نموذج شفرة تحديد مساحة حماية ضاغط

البئر ٣٨١

نموذج محاكاة تدفق المجرى المائي

الشهري ١١٩

نموذج منطقة الخلط الهيدروديناميكية ٢٦٢

نموذج نظام التشكيل الهيدرولوجي ١١٧

نموذج نظام التنبؤ بالأحوال الجوية للنهر

١١٨

نموذج نظام تحليل النهر ٢٦٠

obeikandi.com

نبذة عن المؤلف

الأستاذ الدكتور عبدالرحمن علي العذبة
أستاذ هندسة نظم المياه والري - قسم الهندسة الزراعية
كلية علوم الأغذية والزراعة - جامعة الملك سعود، الرياض
<http://faculty.ksu.edu.sa/alazba>

- من مواليد ١٣٨١هـ بقرية آل ماشي، محافظة أحدر فيدة، منطقة عسير. التحق عام ١٤٠٠هـ بجامعة الملك سعود، كلية علوم الأغذية والزراعة، قسم الهندسة الزراعية، وبعد التخرج عين معيدا بالقسم في جمادى الأولى عام ١٤٠٥هـ (١٩٨٥م).
- ابتعث الى الولايات المتحدة الأمريكية للحصول على الماجستير والدكتوراة، حيث اكمل مرحلة اللغة الانجليزية بجامعة ولاية أوهايو، كولومبس، أوهايو، ١٤٠٧هـ (١٩٨٥م).
- حصل على الماجستير في الهندسة الزراعية من قسم الهندسة الزراعية والكيميائية بكلية الهندسة، جامعة ولاية كولورادو، ١٤١٠هـ (١٩٨٩م).
- حصل على الدكتوراه في هندسة الري، تخصص رئيس، ومصادر المياه (إدارة وهيدروليكا)، تخصص رديف من قسم هندسة الموارد الطبيعية والزراعة بكلية الهندسة والمعادن، جامعة اريزونا، ١٤١٤هـ (١٩٩٤م).
- اهتماماته البحثية في مجال المياه والري مرتبطة بتقدير الطلب على مياه الري في المملكة، وتحسين طرق تقدير الاحتياجات المائية للمحاصيل، وإدارة مياه الري، وترشيد المياه ورفع كفاءة استخدامها في الري على النحو الأمثل، وحصاد المياه واستغلال مياه الأمطار في الري، والري الناقص وتطبيقاته في المملكة. نشر العديد من الابحاث في النمذجة والبرمجة، والأمثلية واستخدام نظم المعلومات الجغرافية، ونظم القرار المساند.

- أستاذ هندسة نظم المياه والري والمشرف على كرسي الشيخ محمد بن حسين العمودي لأبحاث المياه، وترأس قسم الهندسة الزراعية بجامعة الملك سعود، وشارك في عضوية كثير من اللجان، ومنها اللجنة الوطنية لترشيد مياه الري، وخبير إيفاد الداخلي في مشروع تطوير سهول تهامة ومناطق جازان لدراسة المياه وشبكات الري، وشارك في اللجنة السعودية-اليابانية لدراسة الموت القمي في منطقة عسير (مجموعة المياه والأرصاء المناخية)، وعضو اللجنة الفرعية للمياه والري بالغرفة التجارية بالرياض، عضو فريق دراسة وضع الري في المملكة العربية السعودية، وعضو مبادرة ترشيد استخدام المياه في الري بصندوق التنمية الزراعية.
- عضو جمعية المهندسين المدنيين الأمريكية، وجمعية المهندسين الزراعيين الأمريكية، وجمعية المهندسين الزراعيين الآسيوية، والجمعية السعودية للعلوم الزراعية، وعضو مؤسس في جامعة أهلية، وعضو مؤسس في جمعية القمح السعودية، وعضو في جمعية حماية المستهلك. وعضو اللجنة العليا الإشرافية للبوابة الإلكترونية بجامعة الملك سعود، ومستشار فريق تقنية المعلومات والبوابة الإلكترونية لكلية علوم الأغذية والزراعة.
- مستشار غير متفرع بوزارة التعليم العالي ووكالة جامعة الملك سعود للثئون الأكاديمية، ومستشار متعاون مع شركات زراعية لترشيد المياه والطاقة ونشر ثقافة وتطبيق إدارة مياه الري في المملكة العربية السعودية.
- أشرف على رسائل ماجستير وممتحن خارجي لرسائل الدكتوراه.
- ألف كتاب ميكانيكا الموضع التطبيقية، وترجم مع آخرون كتاب تصميم نظم الري "المنظور الهندسي".
- له محاولات جادة في تفعيل وتطبيق إدارة المياه والري في المملكة، ومن خلال تجاربه في ذلك تبين أن التحدي كبير ويحتاج إلى بذل الكثير من الجهد والتضحية.